

# SAGVNTVM

PAPELES DEL LABORATORIO DE ARQUEOLOGÍA  
DE VALENCIA

53

2021

100  
ANYS FENT  
ARQUEOLOGIA



VNIVERSITATĀ VALÈNCIA

FACULTAT DE GEOGRAFIA I HISTÒRIA

**Departament de Prehistòria,  
Arqueologia i Història Antiga**



## SAGVNTVM. Papeles del Laboratorio de Arqueología de Valencia

Volumen 53, 2021

### DIRECCIÓN:

Consuelo Mata Parreño (Universitat de València)

### SECRETARÍA:

Yolanda Carrión Marco (Universitat de València)

Oreto García Puchol (Universitat de València)

Agustín Ángel Díez Castillo (Universitat de València)

Manuel Albaladejo Vivero (Universitat de València)

### AYUDANTE DE REDACCIÓN:

Lluís Molina Balaguer (Universitat de València)

### CONSEJO DE REDACCIÓN:

Helena Bonet Rosado (SIP, Diputació Provincial de València)

Francisca Chaves Tristán (Universidad de Sevilla)

Carolina Doménech Belda (Universitat d'Alacant)

Inés Domingo Sanz (ICREA, Universitat de Barcelona)

Juan Francisco Gibaja Bao (Institut Milà i Fontanals, CSIC, Barcelona)

Giulia Baratta (Università di Macerata, Italia)

Jesús F. Jordá Pardo (UNED)

Esther López Montalvo (CNRS-UMR 5608, Université de Toulouse 2 Le Mirail, Francia)

Bartolomé Mora Serrano (Universidad de Málaga)

Josep Maria Palet Martínez (Institut Català d'Arqueologia Clàssica)

M. Jesús de Pedro Michó (SIP, Diputació Provincial de València)

### CONSEJO ASESOR:

Carmen Aranegui Gascó (Universitat de València)

Lorenzo Abad Casal (Universitat d'Alacant)

C. Michael Barton (Arizona State University, EE.UU.)

Maria Belén Deamos (Universidad de Sevilla)

Francisco Beltrán Lloris (Universidad de Zaragoza)

Jean-Pierre Bost (Université Michel de Montaigne-Bordeaux 3, Francia)

Primitiva Bueno Ramírez (Universidad de Alcalá de Henares)

Marta Campo Díaz (Gabinet Numismàtic de Catalunya)

Teresa Chapa Brunet (Universidad Complutense de Madrid)

Germán Delibes de Castro (Universidad de Valladolid)

Isabel Figueiral (Centre de Bio-Archéologie et d'Ecologie UMR 5059, Montpellier, Francia)

Mauro S. Hernández Pérez (Universitat d'Alacant)

Sarah B. McClure (University of California, Santa Barbara, EE.UU.)

Claire Manen (CNRS-UMR 5608, Université de Toulouse 2 Le Mirail, Francia)

Bernat Martí Oliver (SIP, Diputació Provincial de València)

Gabriela Martín Ávila (Universidade Federal de Pernambuco, Brasil)

Marianella Pasquinucci (Università di Pisa, Italia)

Leonor Peña Chocarro (Instituto de Historia, CSIC, Madrid)

Alonso Rodríguez Díaz (Universidad de Extremadura)

Marina Picazo Gurina (Universitat Pompeu Fabra)

Maria Saña Seguí (Universitat Autònoma de Barcelona)

Daniela Scagliarini (Università di Bologna, Italia)

Anna Maria Sestieri (Università del Salento, Italia)

Lawrence G. Straus (University of New Mexico, EE.UU.)

Juan Manuel Vicent García (Instituto de Historia, CSIC, Madrid)

Peter Van Dommelen (Brown University, Rhode Island, EE.UU.)

Valentín Villaverde Bonilla (Universitat de València)

João Zilhão (ICREA, Universitat de Barcelona)

© Universitat de València

Departament de Prehistòria, Arqueologia

i Història Antiga

Facultat de Geografia i Història

I.S.S.N. imprenta: 0210-3729

I.S.S.N. *online*: 2174-517X

Título Clave: SAGVNTVM

Título abreviado: SAGVNTVM

Depósito Legal: V-771-1967

Imprime: La Imprenta

JAVIER CÁMARA MANZANEDA, XAVIER CLOP GARCIA, JAUME GARCIA ROSSELLÓ, ENRIQUETA PONS I BRUN Técnicas de modelado de cerámicas y prácticas funerarias durante el Bronce Final: análisis traceológico de las producciones cerámicas de la necrópolis de incineración del Pi de la Lliura (NE península Ibérica) ..... 9 <i>Pottery forming processes and funerary practices during the Late Bronze Age: traceological analysis of ceramic vessels from the cremation cemetery of El Pi de la Lliura (NE Iberian peninsula)</i>	9
ALFREDO MEDEROS MARTÍN El santuario fenicio de la calle Méndez Núñez-plaza de las Monjas (Huelva, España) y el inicio de los asentamientos fenicios en la península Ibérica ..... 35 <i>The phoenician sanctuary of Méndez Núñez-plaza de las Monjas (Huelva, Spain) and the beginning of the phoenician settlements in the Iberian peninsula</i>	35
PEDRO MIGUEL NARANJO Nuevos datos para la caracterización material de la transición Bronce Final - Hierro I y Hierro I en Alarcos (Poblete, Ciudad Real) ..... 59 <i>Material characterization of the transition Late Bronze Age - Early Iron Age and Early Iron Age levels of Alarcos (Poblete, Ciudad Real)</i>	59
BENJAMÍN CUTILLAS VICTORIA El final del Hierro Antiguo en el SE ibérico: contextos cerámicos de transición procedentes del asentamiento de Los Casarejos (Lorca, Murcia) ..... 79 <i>The end of Early Iron Age in the Iberian SE: transition pottery assemblages from Los Casarejos settlement (Lorca, Murcia)</i>	79
RAMON CARDONA COLELL Fins que es podreixi el fang. Complexos terrissers d'època ibèrica a l'àrea catalana ..... 103 <i>Until clay putrefies. Iberian second Iron Age pottery workshops in the Catalan area</i>	103

ANA B. RUIZ OSUNA, MANUEL RUBIO VALVERDE Urnas de tradición indígena en Corduba - Colonia Patricia. Una propuesta actualizada para el ámbito funerario .....	131
<i>Indigenous tradition urns in Corduba - Colonia Patricia. An updated proposal for understanding the funerary contexts</i>	
ALEJANDRO PÉREZ-MALUMBRES LANDA, JUAN ANTONIO MARTÍN RUIZ Figura de bronce con representación de Hércules procedente de Málaga .....	151
<i>Bronze figure representing Hercules from Málaga</i>	
PEDRO R. MOYA-MALENO, MACARENA BUSTAMANTE-ÁLVAREZ, ALBERTO DORADO ALEJOS, AITZIBER SUÁREZ-BILBAO, MARCOS GALEANO-PRADOS, DANIEL GARCÍA-MARTÍNEZ Ocupación romana de la cueva de Los Toriles (Carrizosa, Ciudad Real): primeros testimonios y trascendencia .....	165
<i>Roman frequentation of the Los Toriles cave (Carrizosa, Ciudad Real): first testimonies and implications</i>	
JESÚS GARCÍA SÁNCHEZ, JOSÉ MANUEL COSTA-GARCÍA ¿Labra fictilia? Una propuesta interpretativa para tres terracotas decoradas procedentes de Segisamo (Sasamón, Burgos) y Villabermudo (Palencia) .....	179
<i>Labra fictilia? An interpretative proposal for three decorated terracotta fragments from Segisamo (Sasamón, Burgos) and Villabermudo (Palencia)</i>	
JÚLIA OLIVÉ-BUSOM, OLALLA LÓPEZ-COSTAS, NICHOLAS MÁRQUEZ-GRANT, HELENA KIRCHNER Estudio antropológico de las alquerías de Benizahat y Zeneta (Vall d'Uixó, Castellón). Una ventana a la vida rural andalusí .....	193
<i>Anthropological study of Benizahat and Zeneta hamlets. A window into andalusian rural life</i>	
ANDREA MORENO MARTÍN, MIGUEL MEZQUIDA FERNÁNDEZ, ELOY ARIZA JIMÉNEZ No sólo cuerpos: la cultura material exhumada de las fosas del franquismo en Paterna .....	213
<i>Not just bodies: the material culture documented in the mass graves from Francoism repression in Paterna</i>	
NOTICIARIO	
BEATRIZ GAVILÁN CEBALLOS, MARTÍN MAS CORNELLÀ Casas de Don Pedro (Belmez, Córdoba): menhires y cronología .....	239
<i>Casas de Don Pedro (Belmez, Córdoba): menhirs and chronology</i>	
ENRIC COLOM MENDOZA, JORDI LÓPEZ VILAR Un nou fragment d'àmfora africana del tipus <i>Statio 48</i> d'Òstia, amb marca <i>M-(palma)-C</i> , trobat a la costa de <i>Tàrraco</i> .....	245
<i>New fragment of african amphora type <i>Statio 48 Ostia</i> with stamp <i>M-(palma)-C</i> found in the coast of Tarraco</i>	
Normas para la presentación de originales .....	253
SAGVNTVM - EXTRA. Títulos publicados en la serie .....	257



# TÉCNICAS DE MODELADO DE CERÁMICAS Y PRÁCTICAS FUNERARIAS DURANTE EL BRONCE FINAL: ANÁLISIS TRACEOLÓGICO DE LAS PRODUCCIONES CERÁMICAS DE LA NECRÓPOLIS DE INCINERACIÓN DEL PI DE LA LLIURA (NE PENÍNSULA IBÉRICA)

*Pottery forming processes and funerary practices during the Late Bronze Age: traceological analysis of ceramic vessels from the cremation cemetery of El Pi de la Lliura (NE Iberian peninsula)*

JAVIER CÁMARA MANZANEDA<sup>1</sup> , XAVIER CLOP GARCIA<sup>1</sup> , JAUME GARCIA ROSSELLÓ<sup>2</sup> , ENRIQUETA PONS I BRUN<sup>3</sup>

- (1) ARCHAEOLOGIA, Dpt. de Prehistòria, Universitat Autònoma de Barcelona. javier.camara@uab.cat, xavier.clop@uab.cat  
(2) ArqueoUIB, Dpt. de Ciències Històriques i Teoria de les Arts, Universitat de les Illes Balears. jaume.garcia@uib.es  
(3) Museu d'Arqueologia de Catalunya - Girona. eponsbrun@gmail.com

## RESUMEN:

*En este trabajo se presentan los resultados sobre los procesos de modelado identificados en un conjunto de vasos cinerarios y platos-tapadera procedentes de la necrópolis de incineración del Pi de la Lliura (Vidreres, Girona, c. 1017-739 cal. ANE). El reconocimiento de las trazas de fabricación ha permitido documentar dos secuencias de modelado de cerámicas y analizar varias cuestiones vinculadas con la relación entre los procesos de modelado y el tipo de recipientes (urnas, platos-tapadera y una pátera), la extensión temporal de las técnicas de modelado identificadas y si había o no una relación entre estas 'formas de hacer' y la edad de los individuos incinerados. Estos resultados permiten ampliar el conocimiento sobre las prácticas técnicas de la comunidad o comunidades que utilizaron esta necrópolis para enterrar a sus muertos y sobre el papel de los productos cerámicos en el ámbito de las prácticas funerarias desarrolladas por esas comunidades.*

*Palabras clave: tecnología cerámica, trazas de fabricación, formas de hacer, campos de urnas, Bronce Final.*

## ABSTRACT:

*This paper presents the results on the forming processes identified in several cinerary urns and pottery lids from the cremation cemetery of El Pi de la Lliura (Vidreres, Girona, c. 1017-739 cal BCE). The recognition of ceramic macro-traces allowed us to identify two pottery forming sequences and analyse several issues concerning the relationship between the forming techniques and the types of vessels (cinerary urns, pottery lids and one patera), the time-span of these ways of doing and whether or not there was a relationship between the two forming processes and the age of the individuals buried. These results provide new insights into the technical practices of the community who used this cemetery to bury their deceased members and the role of ceramic vessels on the funerary practices performed in this cemetery.*

*Key words: pottery technology, manufacturing traces, technical know-how, urnfields, Late Bronze Age.*



A partir de la segunda mitad del II milenio cal. ANE, y en el marco de una serie de profundas transformaciones en las estructuras sociales, económicas e ideológicas que acabaron por afectar al conjunto de Europa, se produce la incorporación de nuevas prácticas funerarias donde la incineración se convierte en la costumbre predominante. Los cambios que se introducen con esta práctica funeraria no solo afectan al tratamiento de los cuerpos sino también comportaron cambios en las estructuras donde se depositaban los restos, en las concentraciones de estas estructuras en el espacio que a menudo constituyen verdaderas necrópolis (los campos de urnas), en el papel de los vasos cerámicos en esas prácticas funerarias o en las características de los elementos materiales que conforman el ajuar de acompañamiento de los difuntos (Ruiz Zapatero 1985; 2014; Neumaier 1995; 2006; De Mulder *et al.* 2008; Stig Sørensen y Rebay-Salisbury 2008; López Cachero 2011; Pons 2012; Fokkens y Harding 2013). En este marco general, sin embargo, existe una importante variabilidad a escala regional y local de los rituales de enterramiento (Mazière *et al.* 2017; Teržan 1999), habiéndose constatado así mismo la existencia de distintos focos y ritmos espacio-temporales en la adopción de esta nueva práctica (Capuzzo y Barceló 2015).

En el noreste de la península Ibérica todos estos cambios, incluido el inicio de la práctica de las incineraciones, se documentan a partir del 1200 cal. ANE, aunque existe un periodo de transición en la sustitución de las prácticas de las inhumaciones por las incineraciones entre el 1000 y el 900 cal. ANE (Capuzzo y López Cachero 2017). En esta zona, y como sucede en otras partes de Europa, la diversidad intrarregional afecta también a la arquitectura funeraria, a las diferencias en los ajuares de acompañamiento de los individuos o a las formas de los vasos cinerarios (López Cachero 2011; Pons 2012).

Entre los distintos elementos materiales que forman parte de los rituales de incineración de los cuerpos, cabe remarcar el papel que adquieren los vasos cerámicos. En efecto, si hasta ese momento la presencia de cerámica en contextos funerarios se interpreta como algo que forma parte del ajuar funerario, con la aparición de la necrópolis de incineración, el papel de los recipientes cerámicos se amplía y adquiere relevancia. A partir de entonces, los restos de los individuos incinerados habitualmente se depositarán en el interior de recipientes cerámicos, las urnas cinerarias, que en muchos casos se sellan con otro vaso, los denominados platos-tapadera. Además, en las estructuras funerarias suele añadirse un número variable

de vasos que forman parte del ajuar de los individuos depositados en esas estructuras.

En general, la investigación sobre los vasos cerámicos utilizados en las necrópolis de incineración se ha centrado en determinar sus características morfológicas y métricas con el objetivo de definir tipologías que permitan establecer, fundamentalmente, hipótesis cronológicas y su vinculación con los individuos incinerados (e.g. Carlús *et al.* 2007; Castro 1994; López Cachero 2005). En cambio, son escasos los estudios que profundizan de manera rigurosa en las diferentes etapas del proceso de producción de esos vasos.

En este trabajo se presentan los resultados del estudio de las técnicas de modelado de un amplio conjunto de vasos cinerarios y platos-tapadera documentados en la necrópolis de incineración del Pi de la Lliura (Vidreres, Girona, España). La realización de un extenso análisis traceológico ha permitido determinar los métodos de formación de los vasos, lo que ha hecho posible abordar posteriormente cuestiones acerca de los modos de manufactura de las urnas y platos-tapadera, y la existencia o no de una relación entre las técnicas de fabricación y edad de los individuos incinerados. Se ha analizado asimismo si se utilizaron o no las mismas técnicas de fabricación en diferentes momentos de utilización de la necrópolis a partir de las tumbas que disponen de dataciones de radiocarbono. La integración de los resultados obtenidos también ha hecho posible ampliar el conocimiento sobre las ‘formas de hacer’ de la comunidad o las comunidades que utilizaron esta necrópolis para depositar a sus muertos y sobre el papel de los productos cerámicos en las prácticas funerarias desarrolladas.

## LA NECRÓPOLIS DEL PI DE LA LLIURA

La necrópolis del Pi de la Lliura se encuentra en el municipio de Vidreres (Girona, España), en la parte más meridional de la *Serralada Litoral*, a 400-405 m s.n.m. (fig. 1, a). Se trata de una necrópolis de incineración del Bronce Final IIIb, fechada entre 1017-675 cal. ANE (1 $\sigma$ ) (Pons y Solés 2008).

Durante los trabajos de excavación de la necrópolis, localizada en 1999 y excavada intermitentemente hasta 2007, se documentaron 77 sepulturas y un total de 81 individuos incinerados. Sesenta y siete tumbas contenían un vaso cinerario de cerámica, la mayoría de los cuales estaban cubiertos con un plato-tapadera, también de cerámica.

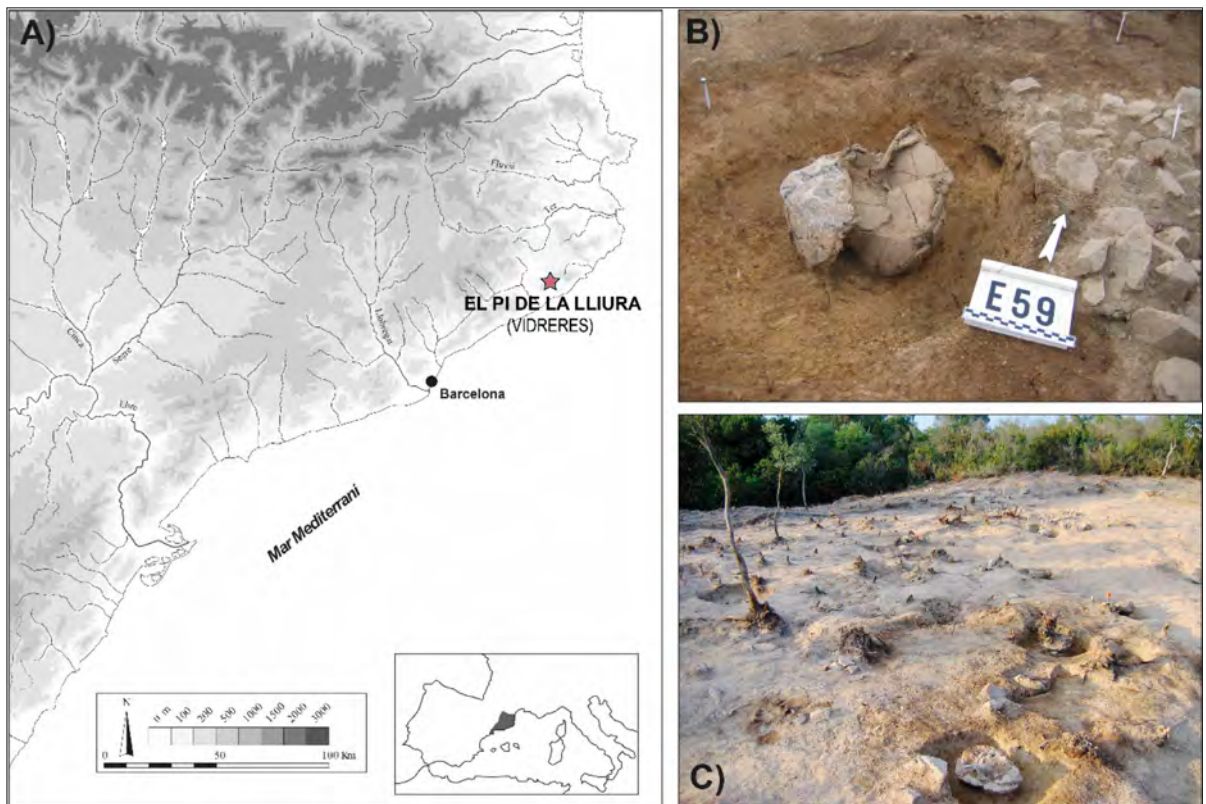


Fig. 1: Localización de la necrópolis del Pi de la Lliura (Vidreres, Girona) (a) y estructuras de los enterramientos de incineración (b y c).

La mayor parte de las sepulturas (60) se concentraban en una pequeña explanada de 250 m<sup>2</sup>, mientras que el resto se situaba hacia el O o lo largo de unos 100 m (fig. 1, b-c). Además, se documentaron dos piras funerarias (*ustrina* y *bustum*) y tres estelas de delimitación y señalización del lugar (Pons y Solés 2002; 2004; 2008).

Las sepulturas estaban formadas generalmente por una fosa simple, dentro de la cual se colocaba la urna con los restos óseos, muy ajustada al agujero. Sesenta y una de las sepulturas contenían una urna cineraria y una tapadera, en dos sepulturas se utilizaron platos como contenedores cinerarios y cuatro sepulturas contenían dos urnas con sus respectivas tapaderas. Las diez sepulturas restantes no contenían ninguna urna. En siete tumbas se encontraron pequeños vasos de ofrenda o de acompañamiento y en ocho se recuperaron objetos personales fabricados en bronce, como agujas de cabeza enrollada o navajas de afeitar (Rovira 2008). Las estructuras estaban cubiertas por un pequeño montículo de tierra o de tierra y piedras y, a veces, tenían una piedra de señalización (Pons y Solés 2008; Subirà *et al.* 2012).

Las urnas cinerarias están representadas por dos morfotipos principales que corresponden a urnas de perfil bitroncocónico (forma U1) o globular (forma U3) y a urnas bitroncocónicas con cuello diferenciado (forma U2), la mayoría de ellas de gran tamaño (fig. 2) (Pons y Solés 2008). Las bases presentan una tipología variable, con fondos planos o cóncavos asociados a los distintos tipos de urnas, que a veces presentan un pequeño pie anular con la sola excepción de un caso con un pie alto (E15). La mayoría de las urnas están decoradas en la parte superior del cuerpo y en el cuello diferenciado con incisiones de tres o más trazos con los que forman composiciones de motivos geométricos. Esta técnica decorativa está bien documentada en el llamado grupo arqueológico de Bora Tuna-Pi de la Lliura, en el NE peninsular (Pons y Solés 2008; Pons 2012). En menor frecuencia se utilizó la decoración de bandas de líneas acanaladas y ocasionalmente la incisa de doble trazo.

Los platos-tapadera corresponden a vasos abiertos de perfil mayoritariamente troncocónico, con paredes rectilíneas (forma P1) o convexas (forma P2) y con un fondo

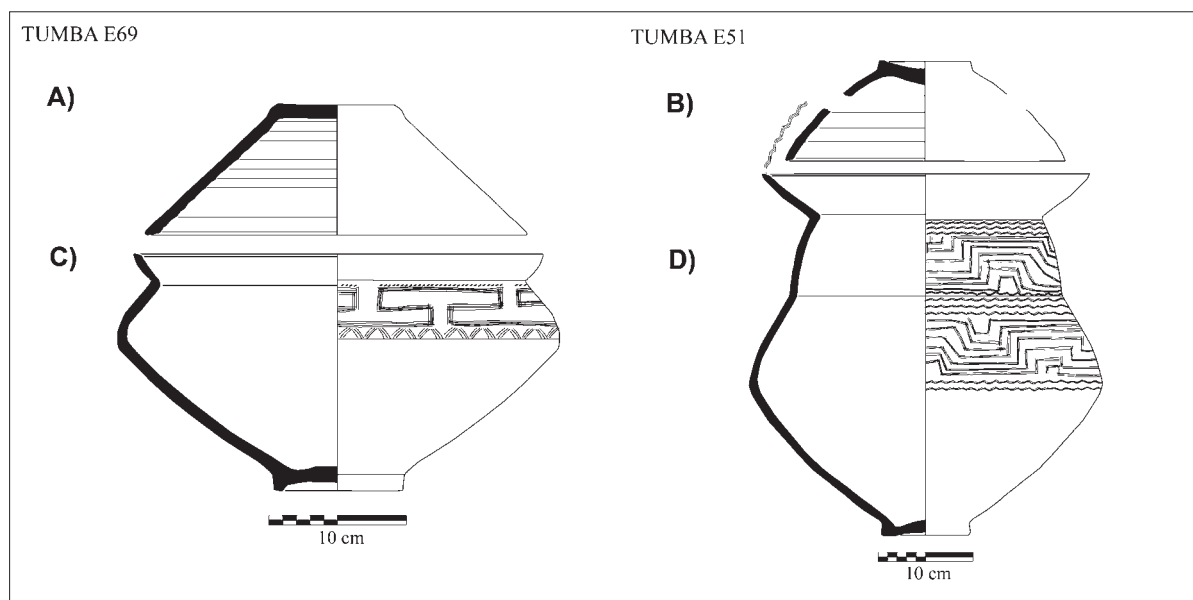


Fig. 2: Principales formas cerámicas documentadas en El Pi de la Lliura: platos-tapadera con perfil troncocónico (a) o convexo (b), urnas bitroncocónicas (c) y urnas bitroncocónicas con cuello (d).

TUMBA	MUESTRA	CÓDIGO	DATACIÓN BP	1 $\sigma$ CALIBR. (68,3%)	2 $\sigma$ CALIBR. (95,4%)	REFERENCIA
E15 (PLL99)	Carbón <i>Erica sp</i>	Beta-136241	2850±40	1017-906 (68.3%)	1086-895 (84.2%) 880-832 (11.2%)	Pons/Solés 2002; 2008
E59 (PLL05)	Carbón	Beta-237093	2730±40	901-826 (68.3%)	971-955 (2.3%) 935-806 (93.2%)	Pons/Solés 2008
E53 (PLL05)	Carbón	Beta-224358	2630±40	821-782 (68.3%)	899-864 (7.9%) 845-768 (87.5%)	Pons/Solés 2008
E28 (PLL01)	Carbón	Beta-210739	2580±40	804-769 (68.3%)	824-741 (87.7%) 690-665 (3.7%) 640-592 (4.1%)	Pons/Solés 2008
E51 (PLL05)	Carbón	Beta-224357	2530±40	799-739 (66.6%) 679-675 (1.7%)	805-662 (84.7%) 649-576 (10.7%)	Pons/Solés 2008

Fig. 3: Calibración de las dataciones de radiocarbono del Pi de la Lliura mediante el programa OxCal v.4.4.4 con la curva IntCal20 (Reimer *et al.* 2020) a 1 $\sigma$  y 2 $\sigma$ .

plano o cóncavo (fig. 2) (Pons y Solés 2008). Dentro de este grupo de vasos abiertos están las llamadas páteras, caracterizadas por tener un borde reentrante (forma P3) y que se usaban como cubiertas o, en algún caso, como soportes en la base de las urnas (Pons y Solés 2008; García del Río y Pons 2014). La mayoría de estos vasos estaban decorados con franjas de acanalados en toda su superficie interna.

La realización de un estudio petroarqueológico ha permitido constatar que en la producción de los recipientes cerámicos de esta necrópolis se utilizaron dos tipos

distintos de tierras que, en todo caso, se pueden encontrar sin dificultad en las proximidades de la misma, por lo que se ha propuesto que la hipótesis más probable es que se trate de producciones locales (Clöp 2008).

El estudio antropológico de los restos óseos depositados en los 47 vasos cinerarios localizados en 43 sepulturas determinó un NMI de 48 individuos (Subirà *et al.* 2012). Por rangos de edad, destaca la presencia de un importante número de individuos infantiles (n=19) y subadultos (n=9), que en conjunto representan el 60,42% de

la población estudiada. Además, se determinó la presencia de adultos (n=10) y de un cierto número de individuos indeterminados (n=9). Cabe destacar que una de las urnas contenía los restos de un adulto y un perinatal (E78). Los restos de individuos infantiles de 0-6 años se depositaban sobre todo en urnas bitroncocónicas/globulares, mientras que las urnas con cuello diferenciado generalmente se utilizaban para individuos infantiles de 7-12 años, subadultos o adultos, aunque con variaciones en sus dimensiones en función de su edad (García del Río y Pons 2014).

La cronología absoluta de la necrópolis se ha determinado a partir de la realización de dataciones radiocarbónicas de cinco tumbas con urnas de incineración (Pons y Solés 2008) (fig. 3). A partir de la calibración de estas dataciones, hemos realizado una modelización de la probabilidad de los momentos de inicio y final del uso de la necrópolis. Los resultados obtenidos estiman su inicio entre 1105-917 cal. ANE a  $1\sigma$  y entre 1308-837 cal. ANE a  $2\sigma$ , mientras que su finalización se sitúa entre 786-616 cal. ANE a  $1\sigma$  y entre 797-366 cal. ANE a  $2\sigma$ . El modelo realizado permite apreciar que la probabilidad del evento de inicio coincide con las dataciones de cada tumba mientras que la probabilidad del evento final es amplia y menos precisa al coincidir en la curva de calibración con la denominada “meseta de Hallstatt” (Capuzzo 2014).

## MATERIALES Y MÉTODO

### MUESTRA ANALIZADA

En las 77 estructuras de enterramiento que conforman la necrópolis del Bronce Final del Pi de la Lliura se ha recuperado un total 152 recipientes cerámicos, de los que 112 corresponden a urnas, platos-tapadera y páteras (fig. 4) (Pons y Solés 2008).

En general, tanto las urnas como los platos-tapadera se localizaron altamente fracturadas y deformadas por las presiones sufridas después de su deposición en las fosas (Lara 2008) (fig. 1, b-c). Su estado de conservación también es desigual, habiendo recipientes prácticamente enteros o que tienen el perfil completo mientras que en otros casos solo conservan una parte de él (base, partes del cuerpo o del borde) sin que puedan llegar a relacionarse con ninguna forma concreta. Una parte importante de estos vasos, además, fueron recuperados durante la excavación mediante el uso de engasados y varias urnas también fueron posteriormente restauradas. La propia

TIPOLOGÍA DE LOS VASOS CERÁMICOS	Nº TOTAL DE VASOS	Nº DE VASOS ANALIZADOS
urnas	66	14
platos-tapadera	43	19
páteras	3	1
vasos de acompañamiento	11	0
indeterminados	29	0
TOTAL	152	34

Fig. 4: Total de recipientes identificados en la necrópolis del Pi de la Lliura y muestra de vasos analizada.

conservación de los recipientes y las actuaciones posteriores han limitado las posibilidades de analizar las trazas de modelado de una importante parte del conjunto cerámico del Pi de la Lliura.

De acuerdo con el grado de conservación actual de las urnas, platos-tapadera y páteras, se seleccionaron 34 recipientes para analizar las trazas de fabricación que pudieran estar preservadas en las superficies internas y externas y dispusieran de varias fracturas transversales visibles. En total, se ha realizado el análisis traceológico de 14 urnas cinerarias (globulares, bitroncocónicas y con cuello), 19 platos-tapadera y una pátera (fig. 4). Para este estudio, no se seleccionó ninguno de los vasos restaurados (n=13) porque solo se puede analizar la superficie exterior.

La muestra seleccionada procede de 20 estructuras funerarias, de las que dos corresponden a tumbas dobles y en una la urna contenía una incineración doble. En 13 estructuras se ha analizado la urna cineraria y el plato-tapadera, en seis estructuras solo se ha podido analizar el plato-tapadera (dos de ellos cinerarios) y en una estructura únicamente la urna.

Respecto a los individuos incinerados, los vasos cinerarios estudiados están vinculados a un perinatal, siete infantiles I (0-6 años), dos infantiles II (7-12 años), tres subadultos, cinco adultos y tres indeterminados. Tres de las estructuras incluidas en este estudio (E51, E53 y E59) fueron datadas en carbón (Pons y Solés 2008).

### APROXIMACIÓN TECNOLÓGICA Y ANÁLISIS DE LAS TRAZAS DE FABRICACIÓN

Los procesos de modelado constituyen uno de los aspectos del proceso de fabricación a mano de los vasos cerámicos que permiten conocer las ‘maneras de hacer’, la transmisión del conocimiento vinculado con las prácticas técnicas y los procesos de trabajo desarrollados en la

producción cerámica. El aprendizaje de estas técnicas normalmente está asociado a una interacción cercana entre los aprendices y sus maestros/as a través de la observación y la práctica, lo que comporta que estas prácticas técnicas sean más resistentes a los cambios y más estables a lo largo del tiempo (Gosselain 2011; 2018; Calvo Trias y García Rosselló 2012; 2014; Roux *et al.* 2017; Roux 2019).

En este estudio se ha considerado la determinación tanto de las técnicas de modelado primario (técnicas de formación, técnicas auxiliares, fases de construcción y reforzamiento) como las técnicas con las que se regulariza y se obtiene la forma final de los vasos (García Rosselló y Calvo Trias 2013). A partir de las técnicas de formación utilizadas en la confección de las partes esenciales que conforman cada vaso (base, cuerpo inferior, espalda/cuerpo superior, cuello y borde), se han podido establecer las correspondientes secuencias o métodos de formación (Roux 2011; 2019).

La metodología que se ha utilizado para determinar estas técnicas se basa en el examen de las trazas vinculadas con el modelado de los vasos. Estas comprenden las irregularidades en la topografía y la morfología de las superficies, las variaciones formales del perfil, los modos de ruptura y la estructura interna de los vasos en las fracturas transversales (Livingstone Smith 2007; García Rosselló y Calvo Trias 2013; Cámara 2019). La observación de todas las trazas se ha llevado a cabo mediante observación a ojo desnudo y con lupas binoculares de distintos aumentos (5x a 16x).

El registro de las trazas se basa en dos métodos que permiten, respectivamente, describir sistemáticamente las macro-trazas (García Rosselló y Calvo Trias 2013; 2019) y la estructura interna de los vasos en el plano radial (Livingstone Smith 2007). Los registros han sido incorporados a una base de datos relacional que permite diferenciar entre los datos empíricos (trazas de fabricación) y su interpretación técnica (técnicas de formación). De forma paralela, se ha realizado el registro fotográfico de las trazas identificadas con una cámara digital alternando dos objetivos, uno intermedio de 18-55 mm y uno macro de 90 mm. En total, en los 34 recipientes cerámicos analizados se han registrado 289 trazas de fabricación (tabla A, material suplementario).

La interpretación de las técnicas se ha inferido posteriormente a partir de la correlación global de las trazas y su comparación con series de colecciones de referencia etnográficas y experimentales (García Rosselló y Calvo Trias 2013; 2019; Gelbert 2005; Lara 2017; Livingstone Smith 2007; Martineau 2000; Roux 2019; Rye 1981).

## ANÁLISIS ESTADÍSTICO

En el caso de los recipientes elaborados mediante el urdido de colombinos, se ha analizado si existen diferencias cuantitativas en relación a la altura de los colombinos. Para ello, se han medido las alturas de los colombinos identificados en las secciones transversales de los vasos, así como el grosor de las paredes de cada vaso. En cada parte del cuerpo de los recipientes se midió la altura mayor de uno de los colombinos y su grosor correspondiente (grosor de la pared). Las medidas obtenidas se compararon entre los distintos tipos de recipientes (urnas cinerarias y platos-tapadera) y en función de su ubicación en la pieza (cuerpo y borde de los platos-tapadera, y cuerpo, espalda, cuello y borde de las urnas).

La realización de un gráfico de cajas ha permitido visualizar si existen similitudes o diferencias en la distribución de las medidas de la altura de los colombinos y el grosor de las paredes en función del tipo de vaso y de su ubicación en el cuerpo, teniendo en cuenta que en cada caja se representa el rango intercuartil y la mediana. A continuación, se ha evaluado el grado de variabilidad de las medidas de los colombinos dentro de cada grupo mediante el coeficiente de variación (CV) y las posibles diferencias entre las medias de la altura de los colombinos de cada grupo mediante la prueba de *Tukey's pairwise*, con un umbral de significación probabilística de  $\alpha=0,08$  (Hammer *et al.* 2001). Finalmente, se ha analizado si hay correlación entre la altura máxima de los colombinos (cuerpo, espalda, cuello y borde) y el grosor de las paredes mediante el coeficiente de correlación de Pearson y los gráficos de dispersión, con un umbral de no correlación probabilística de  $\alpha=0,05$  (Hammer *et al.* 2001).

## RESULTADOS

### LOS PROCESOS DE FORMACIÓN

El análisis de las trazas de fabricación ha permitido identificar las secuencias de formación de cada uno de los individuos cerámicos estudiados (tablas B y C, material suplementario). Globalmente, se han podido definir dos métodos de formación (PLL1 y PLL2) que se diferencian exclusivamente por las técnicas de construcción de las bases (fig. 5). La técnica de formación de las bases del primer método y la formación de la parte superior de los vasos de ambos métodos (cuerpo y borde

MÉTODOS DE FORMACIÓN	N.º VASOS	%	FORMACIÓN DE LA BASE	FORMACIÓN DEL PIE (elementos añadidos)	FORMACIÓN DEL CUERPO (incluyendo la espalda y el cuello en el caso de las urnas)	FORMACIÓN DEL BORDE	REGULARIZACIÓN Y OBTENCIÓN DE LA FORMA FINAL
PLL1	23	67,7	Colombinos en espiral mediante presiones discontinuas (configuraciones subcirculares)	Sistema 1, 2 y 3 o sin el añadido de elementos auxiliares	Urdido con colombinos generalmente alternos, no deformados o parcialmente estirados (configuración en forma de S/Z)	Urdido con varios colombinos (más finos que los anteriores o estirados), con un último colombino encabalgado interna o externamente. No determinado en 8 vasos	Raspado de la superficie interior del cuerpo (determinado en 6 urnas y 2 platos-tapadera) y de la superficie exterior del cuerpo (1 tapadera)
PLL2	3	8,8	Dos elementos superpuestos (discontinuidad horizontal en las secciones)	Sistema 1, 2 o sin el añadido de elementos auxiliares	Urdido con colombinos generalmente alternos, no deformados o parcialmente estirados (configuración en forma de S/Z)	Urdido con varios colombinos (más finos que los anteriores o estirados), con un último colombino encabalgado interna o externamente	Raspado de la superficie interior del cuerpo (determinado en 1 urna)
-	8	23,5	No determinable en 4 vasos y no preservado en 4 vasos	Sistema 2 No determinado en 2 vasos y no preservado en 5 vasos	Urdido con colombinos generalmente alternos, no deformados o parcialmente estirados (configuración en forma de S/Z)	Urdido con varios colombinos (más finos que los anteriores o estirados), con un último colombino encabalgado interna o externamente. No determinado en 2 vasos	Raspado de la superficie interior del cuerpo (determinado en 2 urnas)
TOTAL	34						

Fig. 5: Reconstrucción de los métodos de formación de los vasos cerámicos del Pi de la Lliura (PLL).

en los platos-tapadera y cuerpo, espalda, cuello y borde en las urnas) ha sido inferida a partir de la comparación con colecciones de referencia de trazas. En el caso del segundo método, la formación de las bases se ha identificado a partir de la correlación conjunta de las trazas de fabricación y de su comparativa con los paralelos existentes en otros contextos arqueológicos, al no disponer prácticamente de colecciones de referencia. En ocho casos no ha sido posible asignarlos a ninguna de las secuencias de formación mencionadas por no conservarse las bases (tres platos-tapadera y una pátera), por su estado de degradación (una urna) o por la integridad de la base (tres urnas).

El método PLL1 engloba un total de 23 recipientes, de los cuales nueve corresponden a urnas y 14 a platos-tapadera. Las bases que están fracturadas presentan una fracturación de tendencia escalonada y anular en vista cenital (fig. 6, b1). En algunos casos, en la topografía interna y externa se aprecian variaciones circulares onduladas con presencia de hendiduras hemisféricas (fig. 6, b2). En el plano radial, las fracturas transversales de las bases presentan una estructura interna heterogénea formada por configuraciones subcirculares con una distribución regular (fig. 6, c; fig. 9). La correlación del conjunto de estas trazas señala que las bases están formadas por colombinos en espiral mediante presiones discontinuas.

El método PLL2 comprende tres vasos (dos platos y una urna). Las bases presentan en sus márgenes fracturas de tendencia subcircular que está vinculada a la formación de fracturas laminares paralelas a las superficies (fig. 7, d). En el plano radial, las fracturas laminares coinciden con la formación de grietas y discontinuidades horizontales localizadas en la mitad de las secciones de las bases (fig. 7, c). Estas discontinuidades horizontales también pueden estar asociadas con configuraciones subcirculares localizadas en la parte inferior o superior de las secciones. Además, las bases preservan en la topografía de las superficies hendiduras hemisféricas y, en el caso de la urna de la tumba E59, variaciones circulares onduladas (fig. 7, d).

La formación de configuraciones subcirculares en el plano radial y las variaciones de concavidad y convexidad circulares en las superficies están generalmente asociadas a la configuración de las bases mediante colombinos en espiral (García Rosselló y Calvo Trias 2019). En cambio, no se dispone de referencias etnoarqueológicas y tan solo de algún limitado referencial experimental (Giligny 2010) que permita interpretar la formación de las fracturas laminares y las discontinuidades horizontales en las secciones como las documentadas en estas bases. Esta morfología de trazas de fabricación se asocia a la superposición de dos elementos y ha sido interpretada en distintos contextos arqueológicos como

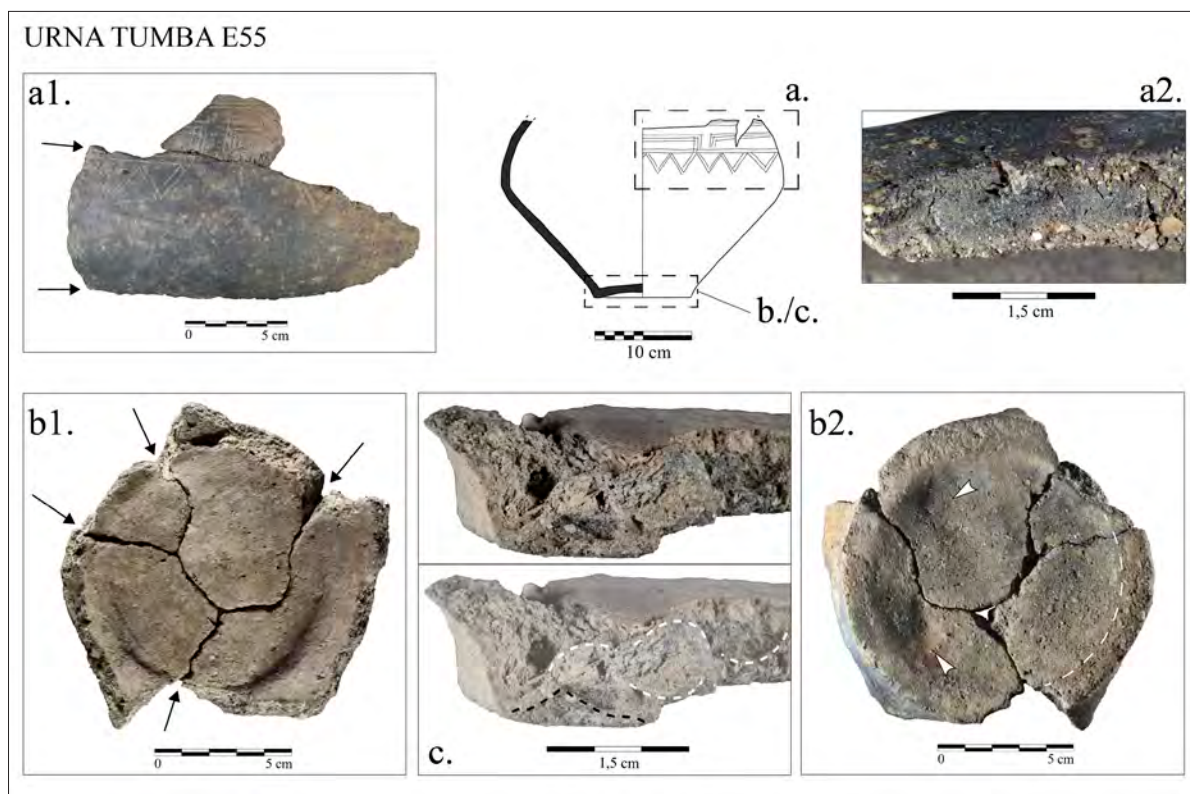


Fig. 6: Macrotrazas vinculadas con el método de formación PLL1. a1: Fracturaciones lineales continuas de tendencia horizontal y diagonal en el cuerpo y la espalda. a2: Sección oblicua localizada en las fracturas horizontales/diagonales. b1: Vista cenital de la superficie interna de la base: fracturas escalonadas y anulares de la base. b2: Vista cenital de la superficie externa de la base: hendiduras hemisféricas enfrentadas (flechas blancas) y rebaba de tendencia circular en el borde de la base (línea discontinua blanca). c: Fractura transversal de la base: configuraciones de forma subcircular (líneas discontinuas blancas) y discontinuidad lineal en la parte inferior (línea discontinua negra). El conjunto de estas trazas sugiere la formación del vaso mediante el urdido con colombinos: la base, con un colombino en espiral y el añadido de un colombino en el borde inferior de la base, y el cuerpo con colombinos en horizontal.

la superposición de dos placas (Giligny 2010; Colas *et al.* 2015) previamente elaboradas con colombinos en espiral (Gomart *et al.* 2020). La comparación de las trazas de los tres recipientes del Pi de la Lliura con estos casos permite formular como hipótesis que sus bases fueron fabricadas mediante dos elementos superpuestos, posiblemente dos placas o discos elaborados previamente con colombinos en espiral.

La formación de las bases también incorpora el añadido de elementos auxiliares periféricos que permiten realizar los pies de las bases y las peanas (fig. 8; fig. 9). En varios vasos se identifica el añadido de un colombino en el borde inferior de la base (sistema 1), mientras que en otros casos el añadido del colombino para formar el pie es lateral (sistema 2). En dos casos, se identifica el añadido de al menos dos colombinos unidos entre ellos para formar las peanas de las bases (sistema 3).

Además, juntamente con estos sistemas, en algunas bases también se pueden identificar refuerzos internos entre la base y el inicio del cuerpo. El añadido de colombinos (sistema 1, 2 y 3) para elaborar los pies se identifica prácticamente en todas bases de las urnas de los dos métodos de formación (PLL1 y PLL2). En cambio, en las bases de la mayor parte de platos-tapadera no se constata el añadido de ninguno de estos elementos auxiliares.

En el cuerpo y las partes superiores de las urnas, los platos-tapadera y la pátera se aprecian trazas de fabricación similares, tanto en los vasos asociados al método PLL1 como al método PLL2. Los patrones de fracturación de los vasos son en horizontal y diagonal y coinciden con la formación de fracturas verticales escalonadas (fig. 6, a; fig. 7, a). La sección de estas fracturas es oblicua interna-externa, en 'V' o en 'U' invertida. Las paredes disponen de variaciones formales de concavidad y

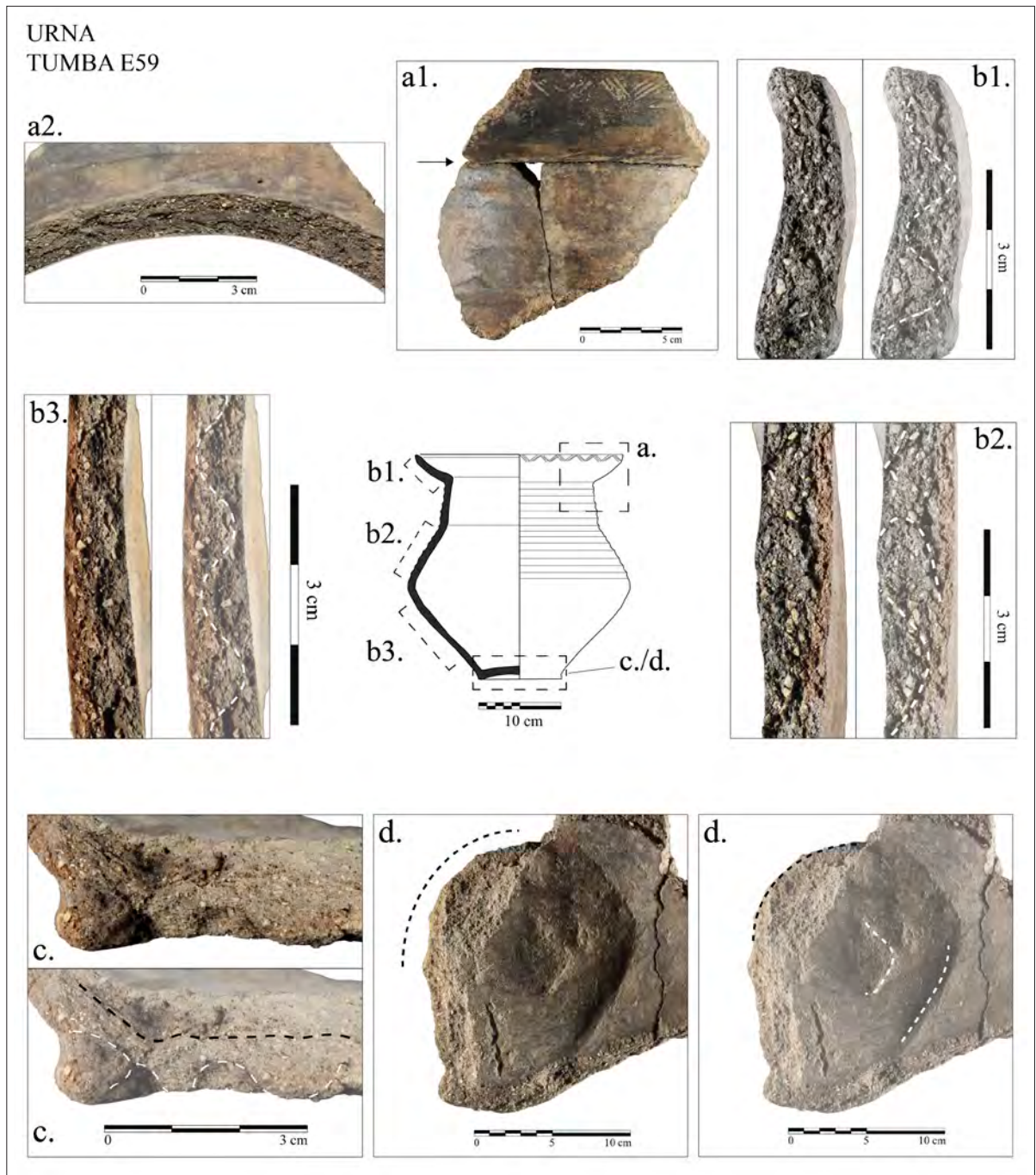


Fig. 7: Macrotrazas vinculadas con el método de formación PLL2. a1-a2: Fracturación lineal continua entre el cuello y el borde con una sección plana. b1-b3: Secciones transversales del borde, la espalda y el cuerpo. Las configuraciones son en forma de 'S/Z', poco deformadas en el borde (b1) y modificadas en el cuerpo después del ensamblaje (b3). En la espalda las configuraciones también son oblicuas y en forma de 'U' invertida (b2). c. Sección transversal de la base: discontinuidad alargada en el centro de la sección (línea discontinua negra) y configuraciones subcirculares en la mitad inferior de la base (líneas discontinuas blancas). d: Fractura laminar interna de tendencia circular (línea discontinua negra) y variaciones circulares onduladas en la topografía interior de la base (líneas discontinuas blancas). En conjunto, estas trazas sugieren la formación de la base con la superposición de dos elementos, posiblemente placas realizadas con colombinos en espiral. La formación del cuerpo y de las partes superiores de la urna se realiza mediante el urdido de colombinos alternados, modificados en el cuerpo (b3), también superpuestos y arrastrados interna y externamente en la espalda (b2) y prácticamente no deformados en el borde (b1).

MÉTODOS DE FORMACIÓN	SISTEMAS DE FORMACIÓN DE LOS PIES	N.º VASOS	FORMACIÓN DE LA BASE	FORMACIÓN DEL PIE (elementos añadidos)
PLL1	-	13	Colombino en espiral mediante presiones discontinuas	Sin añadido de elementos en las bases
	Sistema 1	5	Colombino en espiral mediante presiones discontinuas	Rulo anular añadido debajo del borde de la base (se puede añadir un reforzamiento interno)
	Sistema 2	3	Colombino en espiral mediante presiones discontinuas	Rulo anular añadido en el borde lateral de la base (se puede añadir un reforzamiento interno)
	Sistema 3	2	Colombino en espiral mediante presiones discontinuas	Pie formado por dos colombinos ensamblados y añadidos debajo del borde de la base (se añade un reforzamiento interno)
PLL2	-	1	Dos elementos superpuestos (posibles placas creadas mediante colombinos en espiral)	Sin añadido de elementos en las bases
	Sistema 1	1	Dos elementos superpuestos (posibles placas creadas mediante colombinos en espiral)	Rulo anular añadido debajo del borde de la base
	Sistema 2	1	Dos elementos superpuestos (posibles placas creadas mediante colombinos en espiral)	Rulo anular añadido en el borde lateral de la base
-	Sistema 2	2	No determinable (uso de presiones discontinuas)	Rulo anular añadido en el borde lateral de la base
TOTAL		28		

Fig. 8: Sistemas de formación auxiliares de las bases de acuerdo con cada método de formación.

convexidad, en vertical onduladas (fig. 10, b), y de rebabas horizontales onduladas (fig. 11, b). En conjunto, estas trazas sugieren que la formación del cuerpo y de las partes superiores de los vasos se realizaba mediante el urdido de colombinos.

En el plano radial, las fracturas transversales del cuerpo y las partes superiores presentan una estructura interna heterogénea, que también indica el ensamblaje de colombinos. Las unidades se encuentran regularmente distribuidas, con una orientación de los poros y las partículas no-plásticas en vertical y oblicua formando configuraciones en forma de ‘S’ o ‘Z’ (fig. 7, b1-b3; fig. 10, a-d; fig. 11, c). Este tipo de configuraciones pueden ser características del ensamblaje de colombinos finos superpuestos que son posteriormente modificados y estirados con la regularización y el adelgazamiento de las paredes (Livingstone Smith 2007: 121) o bien de colombinos alternando sucesivamente mediante cabalgadura interna y externa durante el ensamblaje, seguido de un adelgazamiento y estiramiento que solo comportan el aumento de su altura (Martineau 2000: 157-158).

En las producciones cerámicas del Pi de la Lliura estas configuraciones se relacionan generalmente con colombinos que son poco o no deformados durante el ensamblaje y que pueden ser alternados, encabalgándose parcialmente desde el interior y el exterior. Los gestos

alternados no solo se observan en las secciones transversales, sino también en aquellos vasos que disponen de secciones oblicuas o en ‘V’ en las fracturas horizontales (Fig. 6, a2). Sin embargo, los colombinos también pueden superponerse en las inflexiones y en determinadas partes del cuerpo donde aparecen muy poco deformados (configuraciones subcirculares o en ‘U’ invertida) (fig. 7, b2). La deformación de los colombinos se produce, en cualquier caso, después del ensamblaje: los colombinos pueden estirarse (fig. 10, d), modificarse con la regularización de las paredes (fig. 7, b3; fig. 11, c) o bien permanecer prácticamente no deformados (fig. 10, a). Estas variaciones en la deformación de los colombinos se identifican tanto en los distintos vasos estudiados como en las distintas partes que componen un mismo vaso (e.g. fig. 7, b1-b3), por lo que se ha considerado conveniente evaluar cuantitativamente su grado de variabilidad y deformación en las diferentes partes del cuerpo y el borde de los platos-tapadera y de las urnas (ver apartado siguiente).

En algunos de los vasos estudiados la regularización de las superficies está relacionada con la técnica del raspado de las superficies. En varios recipientes se identifican trazas de acanaladuras con estrías (fig. 11, d). Estas trazas se vinculan con las acciones de raspado que permiten regularizar las paredes de los vasos (García Rosselló y Calvo Trias 2013: 226) y pueden comportar, al mismo

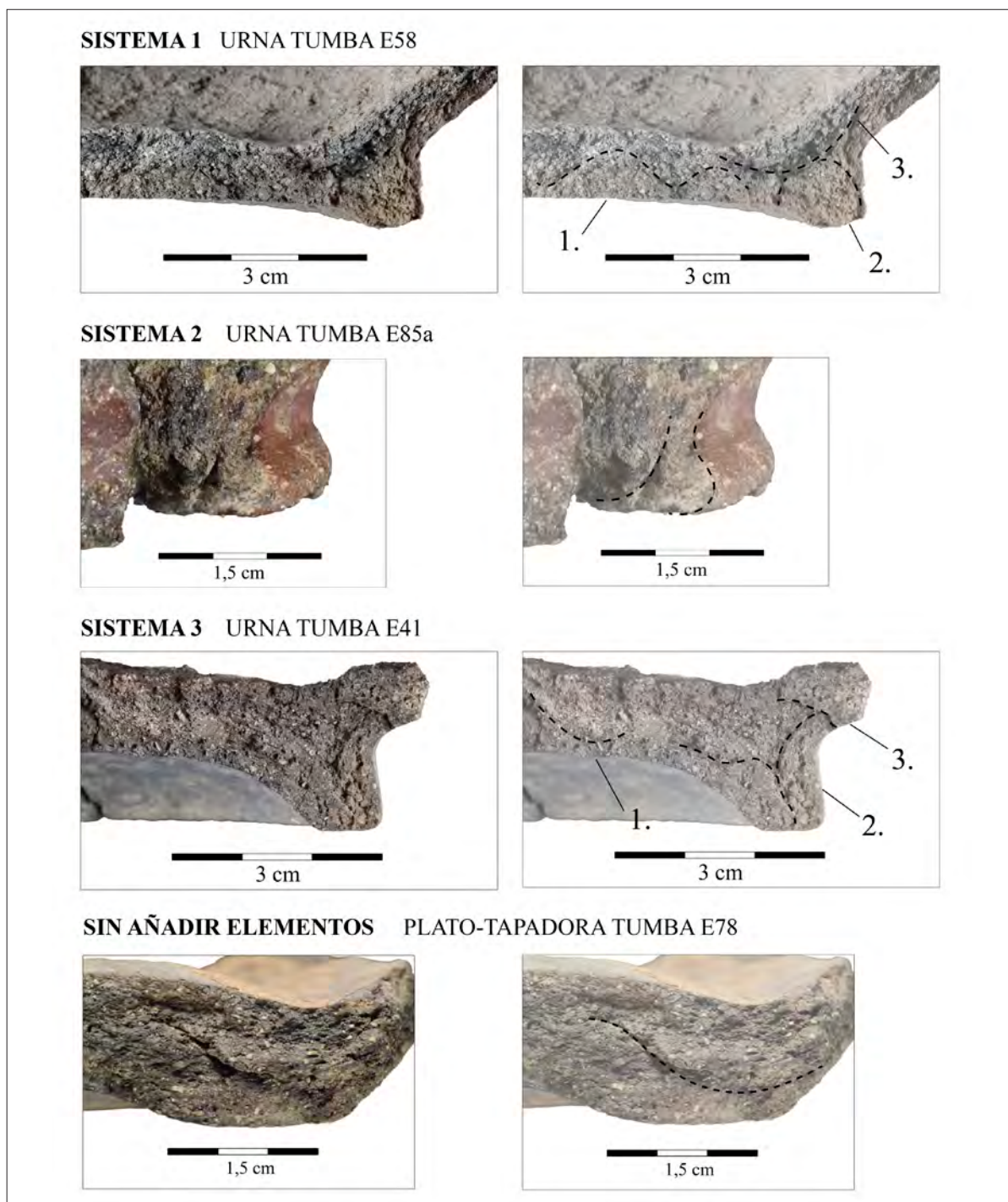


Fig. 9: Macrotrazas asociadas a la formación de los pies de las bases. Sistema 1: Colombinos en espiral (configuraciones subcirculares en la sección transversal con una orientación subcircular de los poros y partículas) (1), con el añadido de un colombino en el borde inferior de la base (2) y un colombino añadido como refuerzo interno (3). Sistema 2: grieta lateral subcircular en la fractura transversal del pie que indica el añadido de un colombino en el borde lateral de la base. Sistema 3: Colombinos en espiral (configuraciones de forma subcircular) (1) con la formación del pie mediante dos colombinos solapados entre sí (discontinuidad oblicua alargada en la sección del pie) (2), el añadido de un refuerzo interno y el inicio del cuerpo (3). Base sin el añadido de elementos: la formación del cuerpo se inicia superponiendo un colombino encima del borde de la base (grieta diagonal en la fractura transversal).



Fig. 10: Macrotrazas vinculadas con la formación de los platos-tapadera con colombinos alternados. a: Sección transversal del cuerpo: orientación de las partículas y poros formando configuraciones en forma de 'S'. Los colombinos prácticamente no se deforman. b: Topografía exterior de las tapaderas con variaciones de concavidad y convexidad, en vertical onduladas. c: Acanalados concéntricos localizados en la superficie interior de los platos-tapadera. d: Sección transversal del cuerpo: orientación de las partículas y los poros en vertical y oblicua formando configuraciones en 'S/Z'. La orientación vertical de la porosidad indica un estirado de los colombinos después del ensamblaje.

tiempo, una modificación de la estructura interna y recortar o eliminar materia de los colombinos (Thér 2020). Por ello, en aquellos casos donde se observan modificaciones en la altura de los colombinos y en el grosor de las paredes, no es descartable que se haya realizado un raspado para regularizar las paredes (fig. 7, b3; fig. 11, c). Esta técnica se ha podido identificar en la superficie interior de nueve urnas, en dos platos-tapadera no decorados y en el exterior de una de las tapaderas. En cambio, las trazas de manufactura localizadas en las superficies exteriores de las urnas están obliteradas por las acciones de pulir y decorar las superficies con acanalados (fig. 6, a) e incisiones de trazos múltiples (fig. 11, a). En el caso de los platos-tapadera, las trazas están

obliteradas en las superficies interiores por el alisado y el pulido de las superficies y por la realización de los acanalados concéntricos (fig. 10, c).

En último lugar, los individuos cerámicos se modelaron en distintas fases de construcción, identificables al formarse varias fracturas horizontales preferenciales. Las urnas presentan fracturas continuas a lo largo del cuerpo y en los puntos de inflexión como, por ejemplo, entre el cuerpo y la espalda (fig. 6, a) y entre el cuello y el borde (fig. 7, a; fig. 11, a). En los platos-tapadera también se forman fracturas continuas a lo largo del cuerpo y en la última parte del perfil, entre el cuerpo y el borde. Estas fracturas desarrollan secciones en 'U' o en 'V' invertida muy marcadas e indican una construcción discontinua de

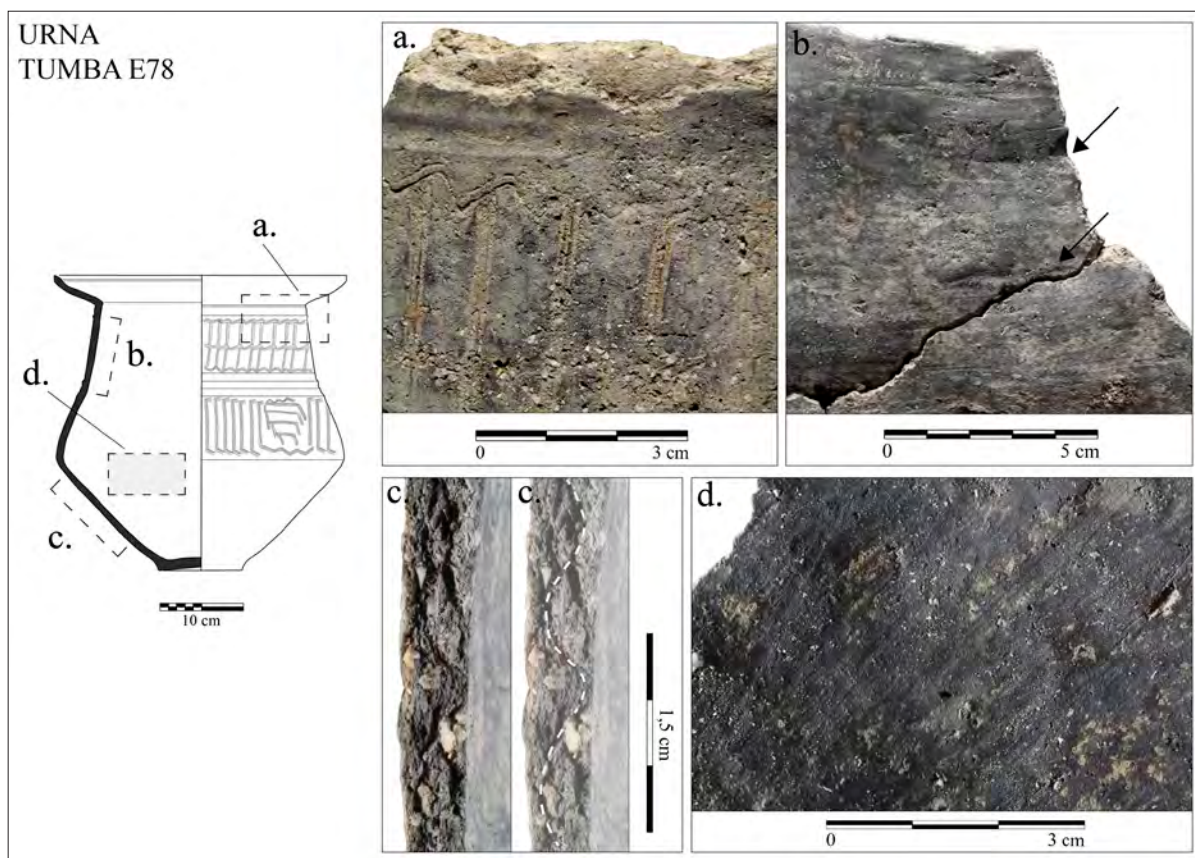


Fig. 11: Macrotrazas vinculadas con la formación de las urnas por colombinos alternados y la técnica del raspado. a: Fractura horizontal entre el cuello y el borde de sección en forma de 'U' invertida. b: Rebabas horizontales onduladas localizadas en la topografía interior del cuello. c: Sección transversal del cuerpo: configuraciones en forma de 'S'. La orientación de los poros y las partículas no-plásticas es vertical y oblicua. d: Acanalados localizados en la superficie interna del cuerpo. La distribución es en diagonal y presentan un margen marcado y una sección en 'U'. La topografía también presenta granos salientes y la extracción de granos de la superficie.

los recipientes a partir de secados parciales entre las distintas partes de los vasos. Los secados parciales suelen utilizarse con el objetivo de conseguir una mayor solidez de los recipientes durante su confección y previenen su colapso, facilitando sobre todo la producción de recipientes de grandes proporciones y perfiles compuestos (García Roselló y Calvo Trias 2013; Roux 2019). En algunos programas experimentales también se constata que se necesita una mayor inversión de tiempo en el montaje con colombinos de los vasos con formas compuestas y de mayor volumen y altura (Brođà *et al.* 2009). En este sentido, la disposición de un mayor número de fracturas continuas a lo largo del perfil de las urnas puede indicar que su inversión de tiempo en el montaje era mayor que en el caso de los platos-tapadera, y también mucho mayor en el caso de aquellas urnas con cuello al tener perfiles compuestos con varias inflexiones en el cuerpo, la espalda y el cuello.

#### VARIABILIDAD EN LA ALTURA DE LOS COLOMBINOS Y EL GROSOR DE LA PARED

La distribución de los valores en el gráfico de cajas muestra que las urnas y los platos-tapadera presentan medidas similares en la altura de los colombinos y el grosor de las paredes, presentando un cierto grado de variabilidad en función de las partes del vaso donde se localicen (fig. 12). En los cuerpos de los dos tipos de recipientes los valores de la altura son similares, habiendo sin embargo alguna excepción. En cambio, la altura de los colombinos es ciertamente más variable en la espalda, el cuello y el borde de las urnas y en el borde de los platos-tapadera. Respecto al grosor de las paredes, las medidas de los platos-tapadera son ligeramente menos variables que las de las urnas, aunque también se observa que ambos tipos de recipientes comparten grosores de las paredes similares.

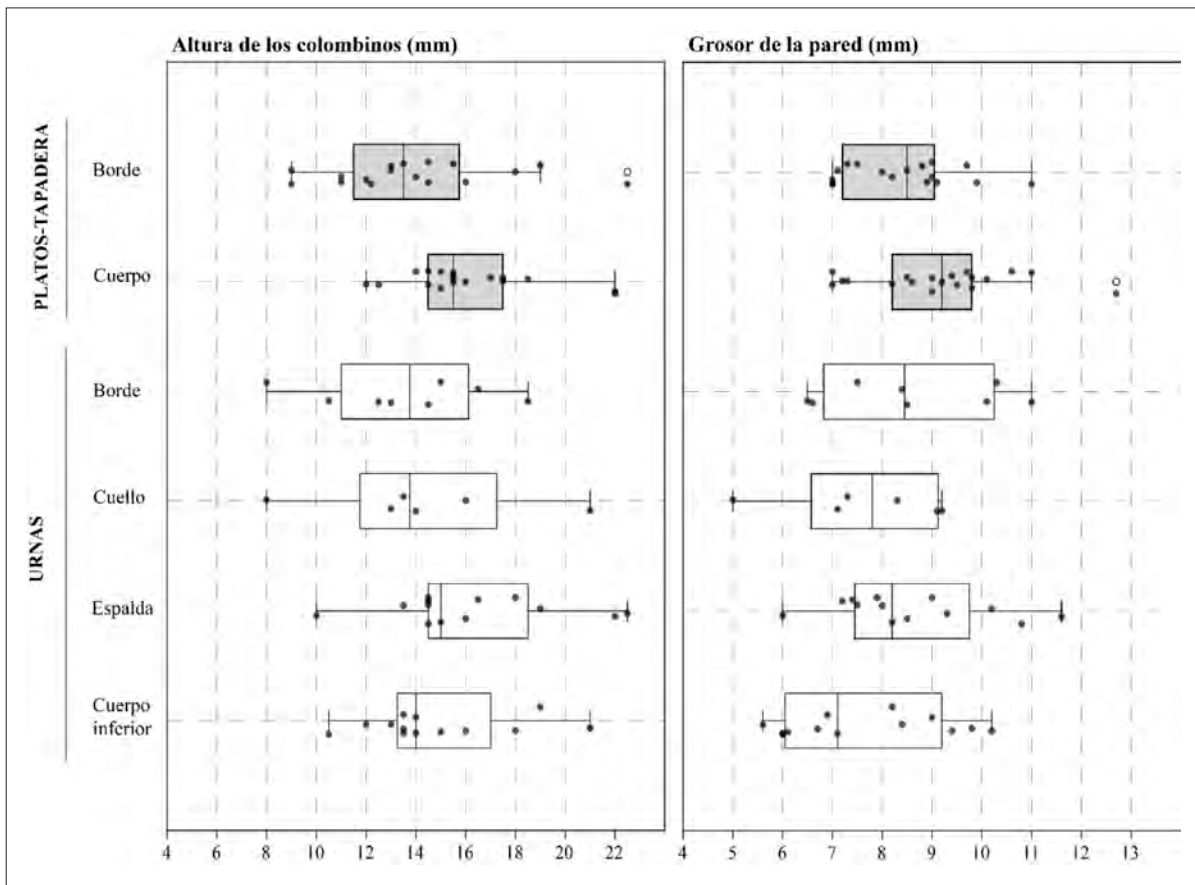


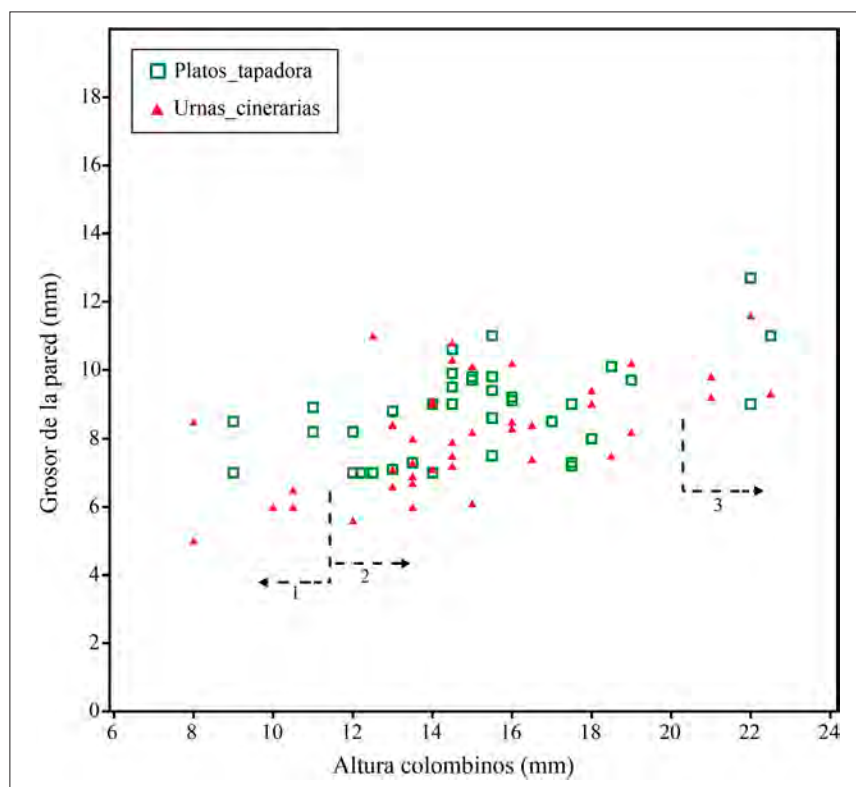
Fig. 12: Diagrama de cajas con las medidas de la altura máxima de los colombinos y el grosor de las paredes de las urnas (cuerpo, espalda, cuello y borde) y los platos-tapadera y la pátera (cuerpo y borde).

Al comparar las medidas de los colombinos en función del tipo de vaso y de su localización (cuerpo, espalda, cuello y borde), los valores p de la prueba de *Tukey's pairwise* (Tabla E, material suplementario) indican que no hay una diferenciación significativa entre las medias de las medidas en función de estos factores; es decir, se usan colombinos con alturas similares tanto en las diferentes partes que componen las urnas como en los platos-tapadera. No obstante, si se analizan las variaciones dentro de cada grupo de medidas mediante el coeficiente de variación (CV), los porcentajes son más elevados, y por tanto más variables, en unas partes de los vasos que en otras (Tabla D, material suplementario). Por orden, en el cuello, el borde y la espalda de las urnas y en el borde de los platos-tapadera, los CV son más elevados que en el cuerpo de ambos tipos de recipientes. Estos resultados permiten apuntar que, aunque se utilicen colombinos con alturas similares (o se

deformen hasta adquirir una altura similar), si se consideran las distintas partes de los platos-tapadera y de las urnas, hay una mayor variación en las partes superiores de los vasos en términos de altura y el grado de deformación de los colombinos.

Si se compara la altura de los colombinos con el grosor de las paredes, se observa una correlación de tendencia lineal tanto en las urnas como en los platos-tapadera (fig. 13). Las alturas varían de 8 mm (para un grosor de la pared de 5 mm) a 22,5 mm (para un grosor de la pared de 11 mm). Globalmente, los valores p de correlación del Coeficiente de Pearson revelan que la variable de la altura se correlaciona con el grosor de las paredes en ambos tipos de vasos (Tabla F, material suplementario). De manera específica, esta correlación también se constata en el cuerpo, la espalda y el cuello de las urnas, así como en el borde de los platos-tapadera. En cambio, los valores p de la prueba no muestran ninguna correlación lineal en el caso del

Fig. 13: Gráfico de dispersión con la distribución de la altura máxima de los colombinos y el grosor de las paredes en urnas (triángulos) y platos-tapadera (cuadrados). Altura de los colombinos de 8 a 10 mm (grosos de 5 a 9 mm) (1), de 12 a 19 mm (grosos de 5,5 a 11 mm) (2) y de 20 a 22 mm (grosos de 9 a 12,5 mm).



borde de las urnas y del cuerpo de los platos-tapadera. Estos resultados indican, por tanto, que la altura de los colombinos se correlaciona en general con el grosor de las paredes. Sin embargo, también se constatan algunas excepciones en las que no se da esta correlación (cuerpo de platos-tapadera y borde de urnas cinerarias), lo que permite plantear que puede haber variaciones en función tanto de la altura y deformación de los colombinos como del grosor de las paredes.

## DISCUSIÓN

### EL MODELADO DE LAS URNAS Y LOS PLATOS-TAPADERA

La disposición de un número elevado de fracturas en las bases y a lo largo del cuerpo de los recipientes ha facilitado el reconocimiento de la estructura interna, la contrastación global de las trazas en cada vaso y su comparación entre los dos tipos principales de productos cerámicos incluidos en el estudio. Estas evidencias permiten constatar varias similitudes y diferencias en los

procesos de modelado realizados para confeccionar las urnas y los platos-tapadera que después fueron utilizados en las prácticas funerarias de esta necrópolis.

Las urnas cinerarias (globulares, bitroncocónicas y con cuello) y los platos-tapadera fueron elaborados en un número muy elevado de casos (67,7%) mediante el método de formación PLL1, realizándose sus bases mediante colombinos en espiral. Dentro de este método de formación, las variaciones en la elaboración de las bases solo se constatan en el añadido de colombinos periféricos (sistemas 1, 2 y 3) (fig. 9) que son usados en la práctica totalidad de las urnas con escasos ejemplos en los bordes de las bases de los platos-tapadera. Este hecho puede indicar que el añadido de estos colombinos auxiliares estaba principalmente relacionado con la confección de las urnas cinerarias y la morfología de sus bases, en función también del tipo de pie o peana. No obstante, dentro del grupo de las urnas el añadido de estos elementos también puede corresponder a variaciones estructurales menores (Calvo Trias y García Rosselló 2012) vinculadas con maneras particulares de elaborar las bases en función de los/las alfareros/as que producían estos vasos cinerarios.

Tan solo en una de las urnas cinerarias y en dos de los platos-tapadera (8,8% de los vasos) se identifica una técnica de elaboración distinta en la parte central de las bases mediante la utilización de dos posibles placas (PLL2). Se trata de una técnica de formación similar a los sistemas de elaboración de las bases documentada en diferentes producciones cerámicas del Neolítico europeo (Giligny 2010; Colas *et al.* 2015; Gomart *et al.* 2020), sobre la que no se disponen actualmente de datos sobre su uso en las producciones cerámicas del Bronce Final. A diferencia del añadido de colombinos auxiliares, esta técnica de elaboración contrasta con aquellas bases hechas solo con un disco mediante colombinos en espiral (PLL1), por lo que puede reflejar una manera de hacer distinta dentro de los procesos de producción cerámica. En el caso de aquellas urnas que conservan íntegra la base y por ello no se ha podido determinar su formación (E66, E78 y E85a), no es descartable que se elaboraran también con una de las dos técnicas identificadas.

La manufactura del cuerpo y las partes superiores de las urnas y de los platos-tapadera es similar en los dos métodos de formación (PLL1 y PLL2), ya que ambas utilizan el urdido con colombinos. A nivel continental, las secuencias de formación por colombinos están bien documentadas en la producción de cerámica en cronologías del Bronce Medio europeo (1600-1350 ANE) (Manem 2008; 2020) y también durante el Bronce Final en distintas regiones de Francia (Visseyrias 2007; Lachenal 2017) y en el nordeste de la península Ibérica (Colomer Solsona 1999; Cámara *et al.* 2018, 2021), aunque se constatan variaciones en lo que respecta a los gestos de ensamblaje de los colombinos o su combinación con el posible uso de moldes externos (Colomer Solsona 1999).

El análisis de las secciones transversales de los vasos estudiados del Pi de la Lliura indica que los colombinos generalmente se deformaban poco y se aplicaban mediante gestos alternos –encabalgados parcialmente desde el interior y exterior–, sin una distinción clara en su ensamblaje tanto entre los platos-tapadera como entre los distintos tipos de urnas cinerarias. El análisis realizado, sin embargo, permite constatar que en función de su localización en el cuerpo se producen variaciones en la deformación y estirado de los colombinos y, en general, se incrementa el grosor de la pared en aquellos casos en los que los colombinos son más largos.

En las urnas, la producción del cuerpo inferior es de las menos variables, con el uso de colombinos generalmente finos que posteriormente pueden ser modificados

mediante el raspado de las superficies (fig. 11, c). Esto se ha podido constatar efectivamente en la mayor parte de las urnas, salvo en algunos casos (E41, E51, E55) en los que los colombinos son más altos, o más estirados, y las paredes son más gruesas. En cambio, en la confección de las partes superiores de las urnas (espalda, cuerpo y borde), la altura y la deformación de los colombinos tiende a ser más variable, habiendo tanto colombinos finos que se conservan poco deformados como colombinos que son más alargados y estirados.

En el caso de los platos-tapadera, los colombinos también están poco deformados (fig. 10, a) y tan solo en algunos pocos casos (E50, E78, E59) y en la pátera (E50) son más alargados o estirados tanto en el cuerpo como en el borde (fig. 10, d).

El uso de los mismos procedimientos de ensamblaje de los colombinos en la mayor parte los vasos cerámicos analizados permite plantear la posibilidad que existiese cierta regularidad o una normativización técnica en los procesos de modelaje en la mayor parte de urnas y platos-tapadera, sobre todo en los vasos realizados con el método PLL1, en el que todas las bases también se confeccionan de la misma manera. No obstante, en aquellas partes de los recipientes donde se constata una mayor altura de los colombinos o estos fueron estirados (en las partes superiores de varias urnas y en algunos platos-tapadera), no es descartable que estas variaciones pudiesen responder a adaptaciones de los gestos técnicos en función de la forma de los vasos y la orientación de sus perfiles o bien a variaciones de carácter individual de los productores/as que fabricaron estos recipientes.

A diferencia de las técnicas de formación, las variaciones en la manufactura de cada tipo de forma se evidencian en las fases de construcción y en las técnicas para la obtención de la forma final. El número de fases de secado parciales de los recipientes visibles a partir de las fracturas continuas se vincula con las proporciones de los vasos y con el número de inflexiones a lo largo del perfil (García Rosselló y Calvo Trias 2013); en este caso, si se consideran las proporciones de la mayor parte de urnas con cuello diferenciado, su inversión de tiempo en el modelaje era mayor que el de las urnas bitroncocónicas y el de las tapaderas (García del Río y Pons 2014). Estas particularidades en la manufactura de los recipientes indican que, independientemente de la técnica de confección, existían adaptaciones técnicas o se adecuaban los procesos de trabajo en función de los requisitos formales de cada urna cineraria o plato-tapadera.

En relación a la regularización de las superficies, el raspado de las superficies interiores se documenta en un mayor número de urnas que de platos-tapadera; de hecho, los últimos no disponen de marcas de fabricación preservadas en las superficies internas al estar pulidos y decorados con acanalados concéntricos (fig. 10, c). En efecto, la realización de estas decoraciones, utilizadas sobre todo como elemento decorativo en las superficies interiores de los platos-tapadera, también podía condicionar la obtención de la forma final de estos platos a partir de su elaboración. Algunos estudios disponibles sobre la producción de cerámicas en el Bronce Final vinculan la realización de acanalados concéntricos de los platos-tapadera con un recortado mediante una herramienta cortante empleando energía rotatoria, tras la confección de la forma básica o durante el ensamblaje sucesivo de los colombinos (Visseyrias 2007; Pétrequin 2020). En el caso de los platos-tapadera del Pi de la Lliura, para aquellos que tienen

acanaladuras concéntricas muy regulares (fig. 10, c) se puede plantear la hipótesis de que hayan sido realizadas mediante movimientos de rotación discontinuos con algún tipo de dispositivo.

#### PRÁCTICAS FUNERARIAS Y PROCESOS DE MODELADO

Las dataciones radiocarbónicas permiten constatar que los dos métodos de formación (PLL1 y PLL2) aparecen al menos vinculados a tres momentos de uso de la necrópolis, entre 901 y 675 ANE calibrado a  $1\sigma$  (fig. 1; fig. 14). Además, estas dos ‘maneras de hacer’ se han documentado en estructuras funerarias en las que hay individuos de distintas edades. Los vasos elaborados con el método de formación PLL1 (platos-tapadera y urnas biconcónicas, globulares y con cuello) son utilizados tanto para el entierro de adultos como de individuos

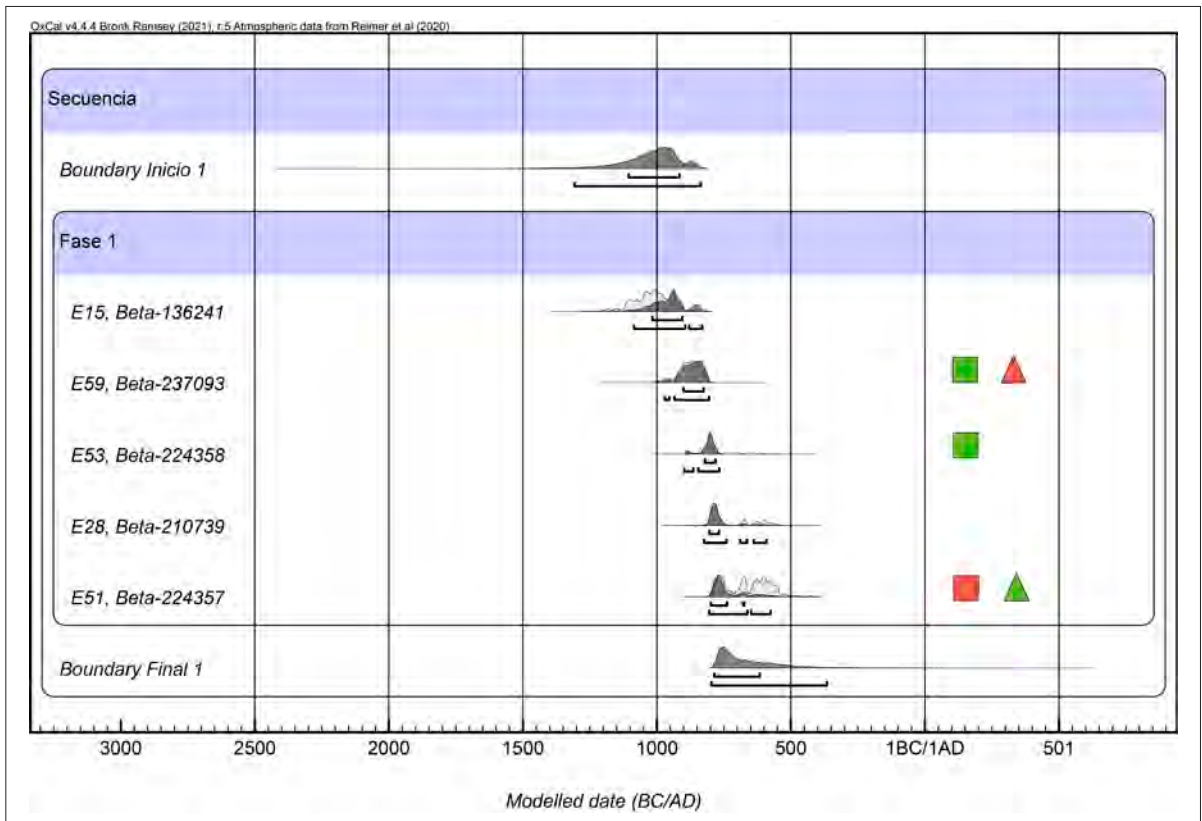


Fig. 14: Modelización mediante *boundaries* de la secuencia de inicio y final de uso de la necrópolis del Pi de la Lliura a partir de las dataciones radiocarbónicas disponibles (Pons y Solés 2008). Calibraciones a  $1\sigma$  y  $2\sigma$  mediante el programa OxCal v.4.4.4 con la curva IntCal20 (Reimer *et al.* 2020). Los cuadrados corresponden a los platos-tapadera analizados y los triángulos a las urnas analizadas de esas estructuras. En gris claro, vasos asociados al método PLL1 y en gris oscuro, al método PLL2.

subadultos e infantiles (fig. 15). En el caso del método PLL2, se ha identificado en una urna de un individuo subadulto (E59) y en dos platos-tapadera localizados en dos estructuras funerarias con adultos (E51 y E77b). Por tanto, a partir de los recipientes analizados se constata que se usaban unas prácticas técnicas muy similares para el modelado de los recipientes funerarios de toda la comunidad, independientemente de su franja de edad.

Esta constatación contrasta con el estudio global del registro material del Pi de la Lliura, que permite apreciar que existe una distinción en el uso de las urnas cinerarias en función de la edad de los individuos, con el uso de urnas de menores proporciones (urnas bitroncocónicas y globulares) en el caso de los individuos infantiles y subadultos y el uso de urnas de mayor talla (urnas con cuello diferenciado) para la deposición de adultos (Pons y Solés 2008; García del Río y Pons 2014). Además, otros indicadores como el uso del combustible (Piqué y Mensua 2012) o la distribución de los ajuares (Subirà *et al.* 2012) también plantean la existencia de ciertas diferencias en el desarrollo del tratamiento funerario entre los individuos adultos y los infantiles.

En este sentido, los resultados obtenidos sobre los procesos de fabricación de las urnas y de los platos-tapadera del Pi de la Lliura permiten ampliar el conocimiento de algunos aspectos específicos sobre el grupo de personas que utilizaban este espacio de enterramiento y sobre las prácticas técnicas que usaban en la producción cerámica.

El amplio uso documentado en la muestra analizada del método de formación PLL1 permite plantear que los individuos de la comunidad que utilizaron este sitio para depositar los restos incinerados de sus muertos compartían unas mismas ‘maneras de hacer’ en los procesos de formación de los vasos. Esta ‘forma de hacer’ sería compartida y, posiblemente también, transmitida entre los individuos de esta comunidad si se considera el margen de duración temporal de la necrópolis (fig. 14). En cualquier caso, en el seno de esta comunidad podrían haber existido variaciones de carácter individual en las prácticas del modelado de cerámicas al detectarse en algunos casos diferencias en la deformación de los colombinos o en los sistemas de elaboración de los pies de urnas.

Además, la determinación de que las cerámicas del Pi de la Lliura son producciones locales con dos grupos de tierras procedentes del entorno del yacimiento (Clöp 2008), señala que, probablemente, los productos cerámicos amortizados en los enterramientos de la necrópolis habrían sido realizados por la misma comunidad, tratándose

bien de vasos realizados para utilizarlos en distintas actividades cotidianas que, finalmente, son utilizados en el marco de las prácticas funerarias del grupo, bien de vasos realizados expresamente para su uso en dichas prácticas. La realización de otros análisis sobre el uso efectivo de estos recipientes, ya sea mediante el análisis de los residuos orgánicos o las trazas de uso o desgaste (e.g. Vieugué 2014; Forte *et al.* 2018), puede proporcionar nuevos datos al respecto.

Es necesario también hacer referencia a la presencia de tres vasos con una técnica diferente de confección de las bases (PLL2), pero en los que se usaban los mismos procesos técnicos que los usados en el método PLL1 en la confección del cuerpo y las partes superiores. Las diferencias identificadas en la confección de las bases mediante los métodos de formación PLL1 y PLL2 permiten plantear distintas hipótesis explicativas.

Una primera hipótesis es que los productores de los recipientes analizados en El Pi de la Lliura perteneciesen a una misma comunidad en la que coexistían, al menos, dos ‘formas de hacer’ ligeramente diferentes, lo que podría apoyarse en el hecho de que en las estructuras funerarias donde hay un vaso realizado con el método de formación PLL2 siempre hay otro vaso realizado con el método de formación PLL1.

Una segunda posibilidad es que individuos de una comunidad que hacían sus vasos con el método PLL2 se incorporaron al grupo que usaba el método PLL1 en la manufactura cerámica. Estos individuos producirían vasos según sus propias ‘formas de hacer’, pero también tendrían acceso a productos realizados con las ‘formas de hacer’ de la comunidad en la que ahora vivían, lo que explicaría que en el momento de necesitar vasos para el tratamiento funerario de un individuo puedan utilizar vasos realizados con ambas ‘maneras de hacer’.

Finalmente, podría plantearse la posibilidad de que la comunidad que fabricaba sus vasos con el método PLL1 pudiera estar en contacto con individuos con unas ‘formas de hacer’ parcialmente distintas –que hicieran sus recipientes con el método PLL2– y que hubiera un cierto trasvase de una comunidad a la otra, visible en recipientes que en algunos casos acabarían formando parte de las prácticas funerarias documentadas en esta necrópolis. En este caso, la constatación de que los productos cerámicos son producciones locales conlleva que deba considerarse la posibilidad de que existieran productores/as procedentes de distintas comunidades e instalados relativamente cerca los unos de los otros.

TUMBA	INDIVIDUOS (EDAD)	N.º INDIVIDUOS	FOSA	TIPO URNA	MÉTODO FORM. URNAS	T. PLATO-TAPADERA	MÉTODO FORM. TAPADERA	AJUAR	DATACIÓN BP
E32	subadulto	individual	simple	con cuello	-	T	PLL		
E34	infantil I	individual	agujero con piedras	con cuello	PLL1/S1	T	-		
E41	grácil-indet.	individual	simple	bitroncocónica	PLL1/S3	TA	PLL1		
E50	infantil I	individual	simple	globular	PLL1/S2	TA	PLL	pátera (PLL)	
E51	adulto indet.	individual	simple	con cuello	PLL1/S2	TA	PLL1/S1	vaso acompañamiento	2530±40 (Beta-224357)
E53	adulto indet. masc.	individual	simple	con cuello	-	T	PLL1	metal	2630±40 (Beta-224358)
E55	subadulto	individual	simple	bitroncocónica	PLL1/S1	TA	PLL1		
E57	infantil I	individual	simple	plato cinerario	PLL1			vaso acompañamiento	
E58	adulto indet.	individual	simple	con cuello	PLL1/S1	T	PLL1	metal	
E59	subadulto	individual	simple	con cuello	PLL2/S2	T	PLL1		2730±40 (Beta-237093)
E66	infantil I	individual	simple	forna abierta	PLL	TA	PLL1		
E68	infantil I	individual	simple	globular	-	T	PLL1		
E69	indeterminate	individual	simple	bitroncocónica	PLL1/S1	TA	PLL1		
E72	infantil I	individual	simple	globular	-	TA	PLL1/S2	vaso acompañamiento	
E74	indeterminado	individual	agujero con piedras	plato cinerario	-	no	PLL		
E77a	infantil I	individual	doble	bitroncocónica	PLL1/S1	TA	PLL		
E77b	adulto	individual	doble	con cuello	PLL1/S3	TA	PLL2	metal/ vaso acompañamiento	
E78	adulto grácil-perinatal	doble	simple	con cuello	PLL1/S2	TA	PLL1	metal / vaso acompañamiento	
E85a	infantil II 7-12 años	individual	doble	con cuello	PLL/S2	T	PLL1		
E85b	infantil II 7-12 años	individual	doble	con cuello	PLL	T	PLL1		

Fig. 15: Estructuras funerarias con la información de los individuos incinerados (Pons y Solés 2008; Subirà *et al.* 2012) y su asociación con los métodos de formación de cerámicas PLL1, PLL2 y aquellos no asignados a un método específico (PLL). Sistemas de fabricación de los pies y peanas de las bases (S1, S2, S3) (este estudio).

## CONCLUSIONES

En líneas generales, los resultados obtenidos a partir del estudio de las trazas de fabricación de una serie de urnas cinerarias, platos-tapadera y de una pátera procedentes de la necrópolis del Pi de la Lliura destacan por la amplia utilización de uno de los dos procesos de formación identificados en la manufactura de estos vasos (PLL1). El amplio uso de esta secuencia de formación (con colombinos en espiral en la base y el urdido de colombinos generalmente poco deformados y, en algunos casos, también estirados en el cuerpo) permite plantear la hipótesis de que los individuos que frecuentaban este espacio funerario compartían unas ‘maneras de hacer’ y unas prácticas técnicas bastante similares en el ámbito de la producción de cerámica, al menos en varios de los momentos de uso de la necrópolis como indica la calibración de las dataciones a  $1\sigma$  (c. 901-739 cal. ANE).

Estos resultados concuerdan con las interpretaciones generales realizadas sobre esta necrópolis de incineración, que consideran que pudo ser mayormente utilizada por una comunidad con una cierta movilidad o trashumante, al

localizarse en una cota elevada de la Sierra Prelitoral (Pons y Solés 2008). En este espacio funerario, además, fueron enterrados individuos de distinta edad, siendo particularmente destacado el importante número de individuos infantiles determinados (Pons y Solés 2008; Subirà *et al.* 2012), sobre todo en comparación con los datos disponibles de otras necrópolis de incineración del NE peninsular (Carlús *et al.* 2007; López Cachero y Rovira 2012). En este contexto, el uso de unas ‘formas de hacer’ muy similares en la manufactura de urnas destinadas para el entierro de individuos de distintas edades hace pensar que fuesen los/las mismos/as productores/as de dentro de la comunidad los o las que se encargaban de la fabricación de las urnas cinerarias para su uso funerario y, en todo caso, podían adecuar su forma y proporciones de acuerdo a la edad de cada difunto (García del Río y Pons 2014).

Por otro lado, dentro del conjunto de platos-tapadera y urnas analizadas, en tres de los recipientes se identifica una ‘manera de hacer’ parcialmente distintas a la predominante, con elaboración de las bases con dos posibles placas, hechas con colombinos en espiral (PLL2). Esta técnica de confección podría indicar que dentro de la

misma comunidad que frecuentaba esta necrópolis también coexistieron varias 'maneras de hacer' o que pudieron haber participado individuos procedentes de otro grupo o colectivo que se integrarían en la comunidad y en la que introdujeron una nueva forma de modelar vasos. Una tercera posibilidad también puede relacionarse con el hecho de que la presencia de esta técnica fuese el resultado de un trasvase bien de productos materiales, bien de conocimientos entre productoras o productores situados, en todo caso, relativamente cerca unos de los otros.

En cualquier caso, la contrastación de una u otra de las hipótesis formuladas en este trabajo requiere del estudio de eventuales conjuntos cerámicos de sitios de habitación cercanos a la necrópolis o de un incremento notable de nuevos estudios de las técnicas de modelado de las producciones cerámicas realizadas durante el Bronce Final en el NE peninsular, tanto en lugares de habitación como en otras necrópolis de incineración.

## AGRADECIMIENTOS

Este trabajo ha sido financiado en el marco del proyecto *Arqueobioquímica de la alimentación durante el neolítico peninsular: nuevos marcadores y referenciales para el estudio de las pautas de producción y consumo en Arqueología* (HAR2017-88304-P) (Ministerio de Economía y Competitividad de España) y por el Grup de Recerques Arqueològiques al Mediterrani i al Proper Orient (GRAMPO) (2017 SGR 1302) (Generalitat de Catalunya).

Queremos agradecer muy sinceramente a la restauradora y conservadora Laura Lara, al director Dr. Ramón Buxó y al equipo técnico del Museu d'Arqueologia de Catalunya-Girona todas las facilidades y la ayuda que se nos ha proporcionado para poder realizar este trabajo.

También queremos agradecer al Dr. G. Capuzzo (Lab. of Anthropology and Human Genetics, ULB) y al Dr. J. A. Barceló (LaQu, Dept. de Prehistòria, UAB) los comentarios y sugerencias sobre el modelo de *boundaries* de las dataciones de radiocarbono y el procedimiento estadístico aplicado en este trabajo. Así mismo, agradecemos a los/las revisores/as anónimos/as sus comentarios y correcciones que han permitido mejorar la calidad del trabajo.

## BIBLIOGRAFÍA

BRODÀ, Y.; CANNAVÒ, V.; LEVI, E.; GOVI, S. T.; MARCHETTI DORI, S.; PELLACANI, G. (2009): Bronze age Terramare pottery from Northern Italy: exercises in experimental reproduction, *Vessels: inside and outside. Proceedings of the Conference EMAC'07* (K. Biró, V. Szilágyi, A. Kreiter, eds.), Budapest, 103-110.

CALVO TRIAS, M.; GARCÍA ROSSELLÓ, J. (2012): Tradición técnica y contactos: un marco de reflexión centrado en la producción cerámica, *Congrés Internacional Xarxes al Neolític - Networks in the Neolithic. Rubricatum. Revista del Museu de Gavà 5* (M. Borrell, F. Borrell, J. Bosch, X. Clop, M. Molist, eds.), Gavà, 393-401.

CALVO TRIAS, M.; GARCÍA ROSSELLÓ, J. (2014): Acción técnica, interacción social y práctica cotidiana: Propuesta interpretativa de la tecnología, *TP 71* (1), 7-22. DOI: <https://doi.org/10.3989/tp.2014.12121>

CÁMARA, J. (2019): Entre trazas, gestos y productores : el análisis traceológico como método de aproximación a las técnicas de modelado en las producciones cerámicas prehistóricas, *Treballs d'Arqueologia 23*, 37-61. DOI: <https://doi.org/10.5565/rev/tda.94>

CÁMARA, J.; CLOP, X.; GARCÍA ROSSELLÓ, J.; PONS, E.; SAÑA, M. (2018): Els processos de fabricació de ceràmiques a la Dou (Vall d'en Bas, la Garrotxa) durant el bronze final (1290-920 cal ANE). Primers resultats, *Cypsela 21*, 43-66.

CÁMARA, J.; CLOP, X.; GARCÍA ROSSELLÓ, J.; PONS, E.; SAÑA, M. (2021): Identifying forming techniques and ways of doing from a diachronic perspective : the example of pottery production of La Dou ( Northeast Iberian Peninsula ) during the Middle Neolithic I and Late Bronze Age, *Apport des approches technologiques de la céramique à l'anthropologie et à l'archéologie des sociétés pré et protohistoriques (Proceedings of the XVIII UIPSS World Congress. 4-9 June 2018)* (F. Giligny, E. Dolbunova, L. Gormart, A. Livingstone Smith, S. Méry, eds.), Oxford, 19-35.

CAPUZZO, G. (2014): *Space-temporal analysis of radiocarbon evidence and associated archaeological record: from Danube to Ebro rivers and from bronze to iron ages*, Tesis doctoral, Universitat Autònoma de Barcelona, <<http://hdl.handle.net/10803/283401>>.

CAPUZZO, G.; BARCELÓ, J. A. (2015): Cultural changes in the second millennium BC: a Bayesian examination of radiocarbon evidence from Switzerland and Catalonia, *World Archaeology 47* (4), 622-641. DOI: <https://doi.org/10.1080/00438243.2015.1053571>

CAPUZZO, G.; LÓPEZ CACHERO, F. J. (2017): De la inhumación a la cremación en el nordeste peninsular: cronología y sociedad, *Actas del Congreso de Cronometrías Para la Historia de la Península Ibérica (IberCrono 2017)*. Barcelona, Spain, September 17-19, 2016, CEUR Workshop Proceedings, 192-208.

CARLÚS, X.; LÓPEZ CACHERO, F. J.; OLIVA, M.; PALOMO, A.; RODRÍGUEZ, A.; TERRATS, N.; LARA, C.; VILLENA, N., eds. (2007): *Cabanes, sitges i tombes. El paratge de Can Roqueta (Sabadell, Vallès Occidental) del 1300 al 500 AC*, Sabadell.

CASTRO, P. V. (1994): *La Sociedad de los Campos de Urnas en el nordeste de la Península Ibérica: la necrópolis de El Calvari (El Molar, Priorat, Tarragona)*, B.A.R.-I.S. 592, Oxford.

- CLOP, X. (2008): Terres i terrisses al Pi de la Lliura, *La necròpolis d'incineració del Pi de la Lliura (Vidreteres) ara fa 3.000 anys* (E. Pons i Brun, A. Solés, eds.), Vidreteres, 60-67.
- COLAS, C.; GOMART, L.; GILIGNY, F. (2015): Les techniques de fabrication des poteries néolithiques de l'Aisne du Rubané au Néolithique Final : choix et traditions, *Revue Archéologique de Picardie* 3/4, 121-134.
- COLOMER SOLSONA, E. (1999): Estudi tecnològic del conjunt ceràmic prehistòric, *Can Roqueta. Un establiment pagès prehistòric i medieval (Sabadell, Vallès Occidental)* (R. Mora, A. Martín, P. González, eds.), Barcelona, 148-166.
- DE MULDER, G.; LECLERCQ, W.; VAN STRYDONCK, M. (2008): Influence from the "Group Rhin-Suisse-France Orientale" on the pottery from the Late Bronze Age urnfields in Western Belgium. A confrontation between pottery forming technology, *14C-dates and typo-chronology, Breaking the Mould: Challenging the Past through Pottery* (I. Berg, ed.), B.A.R.-I.S. 1861, Oxford, 105-115.
- FOKKENS, H.; HARDIN, A., eds. (2013): *The Oxford Handbook of European Bronze Age*, Oxford.
- FORTE, V.; NUNZIANTE CESARO, S.; MEDEGHINI, L. (2018): Cooking traces on Copper Age pottery from central Italy: An integrated approach comprising use wear analysis, spectroscopic analysis and experimental archaeology, *JAS: Reports* 18: 121-138.  
DOI: <https://doi.org/10.1016/j.jasrep.2017.12.052>
- GARCÍA DEL RÍO, J.; PONS, E. (2014): Análisis integral entre las formas y los usos sociales de las urnas de la necrópolis de incineración del Pi de la Lliura (Vidreteres, Selva), *La transició Bronze final-1a Edat del Ferro en els Pirineus i territoris veïns. XV Col·loqui Internacional d'Arqueologia de Puigcerdà. Congrés Nacional d'Arqueologia de Catalunya* (O. Mercadal i Fernández, ed.), Puigcerdà, 463-477.
- GARCÍA ROSSELLÓ, J.; CALVO TRIAS, M. (2013): *Making Pots. El modelado de la cerámica y su potencial interpretativo*, B.A.R.-I.S. 2193, Oxford.
- GARCÍA ROSSELLÓ, J.; CALVO TRIAS, M. (2019): Etnoarqueología como experimentación: propuesta para la interpretación de los patrones de fractura, *Treballs d'Arqueologia* 23, 181-202.  
DOI: <https://doi.org/10.5565/rev/tda.108>
- GELBERT, A. (2005): Reconnaissance des techniques et des méthodes de façonnage par l'analyse des macrotraces: étude ethnoarchéologique dans la vallée du Sénégal, *Pottery Manufacturing Processes: Reconstitution and Interpretation* (A. Livingstone Smith, D. Bosquet, R. Martineau, eds.), B.A.R.-I.S. 1349, Oxford, 67-78.
- GILIGNY, F. (2010): Reconstitution des techniques de fabrication de la céramique néolithique dans le Bassin parisien. Un état des recherches, *Les nouvelles de l'archéologie* 119, 20-25.  
DOI : <https://doi.org/10.4000/nda.961>
- GOMART, L.; ANDERS, A.; KREITER, A.; MARTON, T.; OROSS, K.; RACZKY, P. (2020): Innovation or inheritance? Assessing the social mechanisms underlying ceramic technological change in early Neolithic pottery assemblages in Central Europe, *Detecting and explaining Technological Innovations in Prehistory* (M. Spataro, M. Furholt, eds.), Leiden, 49-72.
- GOSSELAIN, O. P. (2011): Fine if I Do, Fine if I Don't. Dynamics of Technical Knowledge in sub-Saharan Africa, *Investigating Archaeological Cultures: Material culture, variability, and transmission* (B. W. Roberts, M. Vander Linden, eds.), New York, 211-227.
- GOSSELAIN, O. P. (2018): *Pottery chaînes opératoires as Historical Documents*, Oxford.  
DOI: <https://doi.org/10.1093/acrefore/9780190277734.013.208>
- HAMMER, Ø.; HARPER, D. A. T.; RYAN, P. D. (2001): PAST: Paleontological statistics software package for education and data analysis, *Palaeontologia Electronica* 4 (1), 9.
- LACHENAL, T. (2017): Norme formelle et variabilité technique des productions céramiques à l'âge du Bronze. Exemple de l'étape moyenne du Bronze final en Provence occidentale, *Normes et variabilités au sein de la culture matérielle des sociétés de l'âge du Bronze, Séances de la Société préhistorique française, 10, Dijon, 15 June, 2013* (C. Mordant, S. Wirth, dirs.), Paris, 85-104.
- LARA, L. (2008): El treball de laboratori, *La necròpolis d'incineració del Pi de la Lliura (Vidreteres) ara fa 3.000 anys* (E. Pons i Brun, A. Solés, eds.), Vidreteres, 39-43.
- LARA, C. (2017): *Aportes del enfoque tecnológico a la arqueología precolombina: pasado y presente de la alfarería en el valle del río Cuyes y su región (Andes sur-orientales del Ecuador)*, Paris Monographs in American Archaeology 47, Archaeopress, Oxford.
- LIVINGSTONE SMITH, A. (2007): *Chaîne Opératoire de la poterie. Références ethnographiques, analyses et reconstitution*, Royal Museum for Central Africa (MRAC-KMMA), Tervuren.
- LÓPEZ CACHERO, F. J. (2005): *La necròpolis de Can Piteu-Can Roqueta (Sabadell) en el context del Bronze Final y Primera Edad del Hierro en el Vallés*, Tesis doctoral, Universitat de Barcelona, <<http://hdl.handle.net/10803/2590>>.
- LÓPEZ CACHERO, F. J. (2011): Cremation Cemeteries in the Northeastern Iberian Peninsula: Funeral Diversity and Social Transformation during the Late Bronze and Early Iron Ages, *EJA* 14 (1-2), 116-132.  
DOI: <https://doi.org/10.1179/146195711798369382>
- LÓPEZ CACHERO, F. J.; ROVIRA, M. C. (2012): El món funerari a la depressió Prelitoral catalana entre el Bronze final i la Primera edat del Ferro: ritual i dinamisme social a partir del registre arqueològic, *Les necròpolis d'incineració entre l'Ebre i el Tíber (segles IX-VI aC) : metodologia, pràctiques funeràries i societat* (M. C. Rovira Hortalà, F. J. López Cacheró, F. Mazzière, eds.), Barcelona, 37-55.

- MANEM, S. (2008): *Les fondements technologiques de la Culture des Duffaits (Âge du Bronze Moyen)*, Thèse de doctorat, Nanterre, Université Paris Nanterre.
- MANEM, S. (2020): Modeling the evolution of ceramic traditions through a phylogenetic analysis of the chaînes opératoires: the European Bronze Age as a case study, *Journal of Archaeological Method and Theory*. DOI: <https://doi.org/10.1007/s10816-019-09434-w>
- MARTINEAU, R. (2000): *Poterie, techniques et sociétés. Etudes analytiques et expérimentales à Chalain et Clairvaux (Jura), entre 3200 et 2900 av.J.-C.*, Thèse de doctorat, Dijon, Université de Franche-Comté.
- MAZIÈRE, F.; DEDET, B.; CARLÚS, X.; LÓPEZ CACHERO, F. J.; ROVIRA, M. C. (2017): Le souvenir des morts du Rhône à l'Èbre, du Xe au Ve s. av. J.-C., *Arquitecturas funerarias y memoria: la gestión de las necrópolis en Europa occidental (ss. X-III a.C.)* (S. Adroit, R. Graells, eds.), Madrid, 181-232.
- NEUMAIER, J. (1995): Los Campos de Urnas del sudoeste europeo desde el punto de vista centroeuropeo, *RAP* 5, 53-80.
- NEUMAIER, J. (2006): Mito, artesanía e identidad cultural: los "campos de urnas" peninsulares y languedocienses a la luz de elementos "italianizantes": a propósito del paradigma de los urnenfelder "norte" y "sur" entorno del 1300-700 arq. ane, *QPAC* 25, 147-166.
- PÉTREQUIN, P. (2020): Approche expérimentale des céramiques néolithiques et protohistoriques, *Expérimentation en archéologie de la préhistoire*, Editions des archives contemporaines, 81-100. DOI : <https://doi.org/10.17184/eac.2613>
- PIQUÉ, R.; MENSUA, C. (2012): El combustible en el ritual funerario del bronce final-primera edad del ferro: les necrópolis del nord-est peninsular, *Les necrópolis d'incineració entre l'Ebre i el Tíber (segles IX-VI aC) : metodologia, pràctiques funeràries i societat* (M. C. Rovira Hortalà, F. J. López Cachero, F. Mazière, eds.), Monografies MAC, Vol. 14, Barcelona, 409-415.
- PONS, E. (2012): Les necrópolis d'incineració en el nord-est català (1100-550 ane): una nova síntesi, *Les necrópolis d'incineració entre l'Ebre i el Tíber (segles IX-VI aC) : metodologia, pràctiques funeràries i societat* (M. C. Rovira Hortalà, F. J. López Cachero, F. Mazière, eds.), Monografies MAC, Vol. 14, Barcelona, 57-74.
- PONS, E.; SOLÉS, A. (2002): Primeros resultados de la necrópolis de incineración del Bronce final (1120-910 a. C.): Pi de la Lliura (Vidreres - La Selva), *Bolskan: Revista de arqueologia del Institut de Estudios Altoaragoneses* 19 (19), 97-114.
- PONS, E.; SOLÉS, A. (2004): *El jaciment del Pi de la Lliura (Vidreres, la Selva). Una necrópolis d'incineració del Bronce final III (1120-910 aC)*, Centre d'Estudis Selvatans, Santa Coloma de Farners.
- PONS, E.; SOLÉS, A. (eds.) (2008): *La necrópolis d'incineració del Pi de la Lliura (Vidreres) ara fa 3.000 anys*, Vidreres.
- REIMER, P.; AUSTIN, W. E. N.; BARD, E.; BAYLISS, A.; BLACKWELL, P. G.; BRONK RAMSEY, C.; BUTZIN, M.; CHENG, H.; EDWARDS, R. L.; FRIEDRICH, M.; GROOTES, P. M.; GUILDERSON, T. P.; HAJDA, I.; HEATON, T. J.; HOGG, A.; HUGHEN K. A.; KROMER, B.; MANNING, S. W.; MUSCHELER, R.; PALMER, J. G.; PEARSON, C.; van der PLICHT, J.; REIMER, R. W.; RICHARDS, D. A.; SCOTT, E. M.; SOUTHON, J. R.; TURNEY, C. S. M.; WACKER, L.; ADOLPHI, F.; BÜNTGEN, U.; CAPANO, M.; FAHRNI, S.; FOGTMANN-SCHULZ, A.; FRIEDRICH, R.; KÖHLER, P.; KUDSK, S.; MIYAKE, F.; OLSEN, J.; REINIG F.; SAKAMATO, M.; SOOKDEO, A.; TALAMO, S. (2020): The IntCal20 Northern Hemisphere Radiocarbon Age Calibration Curve (0-55 cal kBP), *Radiocarbon* 62 (4), 725-757. DOI: <https://doi.org/10.1017/RDC.2020.41>
- ROUX, V. (2011): Anthropological interpretation of ceramic assemblages: foundations and implementations of technological analysis, *Archaeological Ceramics: A Review of Current Research* (S. Scarella, ed.), B.A.R.-I.S. 2540, Oxford, 80-88.
- ROUX, V. (2019): *Ceramics and society. A technological approach to archaeological assemblages*, Cham. DOI: <https://doi.org/10.1007/978-3-030-03973-8>
- ROUX, V.; BRIL, B.; CAULIEZ, J.; GOJON, A. L.; LARA, C.; MANEN, C.; DE SAULIEU, G.; ZANGATO, E. (2017): Persisting technological boundaries: Social interactions, cognitive correlations and polarization, *Journal of Anthropological Archaeology* 48, 320-335. DOI: <https://doi.org/10.1016/j.jaa.2017.09.004>
- ROVIRA, M. C. (2008): La rellevància dels aixovars metàl·lics, *La necrópolis d'incineració del Pi de la Lliura (Vidreres) ara fa 3.000 anys* (E. Pons i Brun, A. Solés, eds.), Vidreres, 75-79.
- RUIZ ZAPATERO, G. (1985): *Los Campos de Urnas del NE. de la Península Ibérica*, Madrid.
- RUIZ ZAPATERO, G. (2014): The Urnfields, Iberia. *Protohistory of the Far West of Europe: From Neolithic to Roman conquest* (M. Almagro-Gorbea, ed.), Burgos, 195-215.
- RYE, O. S. (1981): *Pottery technology: principles and reconstruction*, Taraxacum. Washington, D.C.
- STIG SØRENSEN, M. L.; REBAY-SALISURY, K. C. (2008): The impact of 19 th century ideas on the construction of 'urn-field' as a chronological and cultural concept: tales from Northern and Central Europe, *Construire le temps: histoire et méthodes des chronologies et calendriers des derniers millénaires avant notre ère en Europe occidentale, Actes du xxxe colloque international de Halma-Ipel (CNRS, Lille 3, MCC, 7-9 Décembre 2006)* (A. Lehoërf, ed.), Bibracte, Glux-en-Glenne, 57-67.
- SUBIRÀ, M. E.; ROVIRA, M. C.; RUÍZ, J.; PONS, E. (2012): La necrópolis d'incineració del Pi de la Lliura (Vidreres, Girona): una aproximació demogràfica, *Les necrópolis*

- d'incineració entre l'Ebre i el Tíber (segles IX-VI aC): metodologia, pràctiques funeràries i societat* (M. C. Rovira Hortalà, F. J. López Cachero, F. Mazzière, eds.), Monografies MAC 14, Barcelona, 145-151.
- TERŽAN, B. (1999): An Outline of the Urnfield Culture Period in Slovenia, *Arheološki Vestnik* 50, 97-143.
- THÉR, R. (2020): Ceramic technology. How to reconstruct and describe pottery-forming practices, *Archaeol Anthropol Sci* 12, 172. DOI: <https://doi.org/10.1007/s12520-020-01131-0>
- VIEUGUÉ, J. (2014): Use-wear analysis of prehistoric pottery: Methodological contributions from the study of the earliest ceramic vessels in Bulgaria (6100-5500BC), *JAS* 41, 622-630. DOI: <https://doi.org/10.1016/j.jas.2013.09.004>
- VISSEYRIAS, A. (2007): Les formes de la tradition : techniques et savoir-faire céramiques à la fin de l'Âge du Bronze, entre Rhin et Rhône, *BSPF* 104 (3), 604-609. DOI : <https://doi.org/10.3406/bspf.2007.13598>

## APÉNDICE: MATERIAL SUPLEMENTARIO

Tipo de vasos	N.º Vasos	Topografía, textura y variaciones formales		Patrones de fracturación y grietas	Estructura interna (orientación de los poros y las partículas)		
		Superficie externa	Superficie interna		Base	Cuerpo, cuello y espalda	Borde
urnas globulares/bicónicas	6	5	5	6	5	6	4
urnas con cuello	8	5	6	8	5	8	4
platos lisos	9	8	8	9	6	9	8
platos con acanalados	11	9	11	11	9	11	9
TOTAL	34	27	30	34	25	34	25

Tab. A: Trazas de manufacturación reconocibles en cada tipología de vasos.

CÓDIGO VASO	TIPO PLATO	FORMACIÓN DE LA BASE		FORMACIÓN DEL CUERPO			FORMACIÓN DEL BORDE			TÉCNICA DE OBTENCIÓN DE LA FORMA FINAL
		TÉCNICA	ELEM. AÑAD.	TÉCNICA	H.	T.	TÉCNICA	H.	T.	
32T	T1	No preservado		Formación por colombinos (configuración en S/Z)	14,5	9,5	Colombino encabalgado internamente (discontinuidad oblicua interna)	14	9	
41T	T2	Colombinos en espiral (configuración subcircular)		Colombinos no deformados	14,5	10,6	No preservado	-	-	
50P	P3	No preservado		Formación por colombinos (configuración en S/Z), estirados	18,5	10,1	Colombino encabalgado internamente (discontinuidad oblicua interna)	19	9,7	
50T	T2	Colombinos en espiral (configuración subcircular)		Formación por colombinos (configuración en S/Z), estirados	22	9	Colombino encabalgado internamente (discontinuidad oblicua interna), estirado	22,5	11	
51T	T2	Dos elementos superpuestos (discontinuidad horizontal)	Sistema 1	Formación por colombinos (configuración en S/Z)	15	9,8	Colombino encabalgado internamente (discontinuidad oblicua interna)	16	9,1	
53T	T1	Colombinos en espiral (configuración subcircular)		Formación por colombinos (configuración en S/Z)	16	9,2	Colombino encabalgado internamente (discontinuidad oblicua interna)	13	8,8	
55T	T1	Colombinos en espiral (configuración subcircular)		Formación por colombinos (configuración en S/Z)	12,5	7	Colombino encabalgado internamente (discontinuidad oblicua interna)	14,5	9	
57T	T1	Colombinos en espiral (configuración subcircular)		Formación por colombinos (configuración en S/Z)	15,5	9,8	Colombino encabalgado internamente (discontinuidad oblicua interna)	9	8,5	
58T	T2	Colombinos en espiral (configuración subcircular)		Formación por colombinos (configuración en S/Z)	17,5	7,3	Colombino encabalgado internamente (discontinuidad oblicua interna)	14,5	9,9	Modificación del grosor de las paredes y la altura de colombinos
59T	T1	Colombinos en espiral (configuración subcircular)	Refuerzo interno	Formación por colombinos (configuración en S/Z), alargados	17	8,5	Colombino encabalgado externamente (discontinuidad oblicua externa)	12,2	7	Modificación del grosor de las paredes y la altura de colombinos
66T	T2	Colombinos en espiral (configuración subcircular)		Formación por colombinos (configuración en S/Z)	12	8,2	Colombino encabalgado internamente (discontinuidad oblicua interna)	-	-	
68T	T1	Colombinos en espiral (configuración subcircular)		Formación por colombinos (configuración en S/Z)	-	-	Formación por colombinos	-	-	
69T	T1	Colombinos en espiral (configuración subcircular)		Formación por colombinos (configuración en S/Z)	15,5	9,4	Colombino encabalgado internamente (discontinuidad oblicua interna)	12	7	
72T	T2	Colombinos en espiral (configuración subcircular)	Sistema 2 y refuerzo interno	Formación por colombinos (configuración en S/Z)	14	7	Colombino encabalgado externamente (discontinuidad oblicua externa)	15,5	7,5	
74T	T1	No preservado		Formación por colombinos (configuración en S/Z)	15	9,7	Colombino encabalgado externamente (discontinuidad oblicua externa)	9	7	
77aT	T2	No preservado		Formación por colombinos (configuración en S/Z)	15,5	11	Colombino encabalgado externamente (discontinuidad oblicua externa)	18	8	
77bT	T2	Dos elementos superpuestos (discontinuidad horizontal)		Formación por colombinos (configuración en S/Z)	22	12,7	Colombino encabalgado internamente (discontinuidad oblicua interna)	11	8,2	Raspado de la superficie exterior
78T	T2	Colombinos en espiral (configuración subcircular)		Formación por colombinos (configuración en S/Z), estirados	17,5	7,2	Colombino encabalgado externamente (discontinuidad oblicua externa), estirado	13	7,1	
85aT	T2	Colombinos en espiral (configuración subcircular)		Formación por colombinos (configuración en S/Z)	15,5	8,6	Colombino encabalgado externamente (discontinuidad oblicua externa)	13,5	7,3	
85bT	T2	Colombinos en espiral (configuración subcircular)		Formación por colombinos (configuración en S/Z)	17,5	9	Colombino encabalgado internamente (discontinuidad oblicua interna)	11	8,9	

Tab. B: Secuencia de formación de los platos-tapadera (T) y de una pátera (P). H: altura máxima de los colombinos (mm). T: grosor de las paredes (mm).

TÉCNICAS DE MODELADO DE CERÁMICAS Y PRÁCTICAS FUNERARIAS DURANTE EL BRONCE FINAL: ANÁLISIS TRACEOLÓGICO DE LAS PRODUCCIONES CERÁMICAS DE LA NECRÓPOLIS DE INCINERACIÓN DEL PI DE LA LLIURA (NE PENÍNSULA IBÉRICA)

CÓDIGO VASO	TIPO URNA	FORMACIÓN DE LA BASE		FORMACIÓN DEL CUERPO			FORMACIÓN DE LA ESPALDA			FORMACIÓN DEL CUELLO <i>(solo aquellas urnas con cuello)</i>			FORMACIÓN DEL BORDE			TÉCNICA DE OBTENCIÓN DE LA FORMA FINAL
		TÉCNICA	ELEM. AÑADID.	TÉCNICA	II.	T.	TÉCNICA	II.	T.	TÉCNICA	II.	T.	TÉCNICA	II.	T.	
34U	U4	Colombinos en espiral (configuración subcircular)	Sistema 1	Formación por colombinos (configuración en S/Z)	16	10,2	Formación por colombinos, estirados (configuración en S/Z)	14,5	7,5	Formación por colombinos	-	-	No preservado	-	-	-
41U	U1	Colombinos en espiral (configuración subcircular)	Sistema 3 y refuerzo interno	Formación por colombinos (configuración en S/Z)	19	8,2	Colombinos arastrados y estirados (configuración en S/Z)	22,5	9,3				No preservado			
50U	U3	Colombinos en espiral (configuración subcircular)	Sistema 2	Formación por colombinos finos (configuración en S/Z)	10,5	6	Formación por colombinos, estirados (configuración en S/Z)	13,5	8				Formación por colombinos (configuración en S/Z), estirados	18,5	7,5	Raspado de la superficie interna del cuerpo
51U	U2	Colombinos en espiral (configuración subcircular)	Sistema 2	Formación por colombinos (configuración en S/Z), estirados	21	9,8	Formación por colombinos (configuración en S/Z)	18	9	Formación por colombinos (configuración en S/Z)	16	8,3	Formación por colombinos (configuración en S/Z)	15	10,1	Raspado de la superficie interna del cuerpo
55U	U1	Colombinos en espiral (configuración subcircular)	Sistema 1	Formación por colombinos (configuración en S/Z), estirados	18	9,4	Formación por colombinos (configuración en S/Z)	14,5	10,8				No preservado			
58U	U2	Colombinos en espiral (configuración subcircular)	Sistema 1 y refuerzo interno	Formación por colombinos (configuración en S/Z)	13	8,4	Formación por colombinos (configuración en S/Z)	15	8,2	Formación por colombinos finos (configuración en S/Z)	14	9,1	Formación por colombinos	-	-	Modificación del grosor de las paredes (¿raspado?)
59U	U2	Dos elementos superpuestos (discontinuidad horizontal)	Sistema 2	Formación por colombinos (configuración en S/Z)	14	9	Colombinos oblicuos y superpuestos (configuración en S y en U invertida)	22	11,6	Formación por colombinos (configuración en S/Z), estirados	21	9,2	Formación por colombinos (configuración en S/Z)	14,5	10,3	Modificación del grosor de las paredes (¿raspado?)
66U	U1	No determinable (uso de presiones discontinuas) *	-	Formación por colombinos (configuración en S/Z)	13,5	6,7	Formación por colombinos (configuración en S/Z)	10	6				Colombino encabalgado internamente (discontinuidad oblicua interna)	-	-	-
69U	U1	Colombinos en espiral (configuración subcircular)	Sistema 1	Formación por colombinos (configuración en S/Z), estirados	13,5	6,9	Formación por colombinos (configuración en S/Z)	16	8,5				Formación por colombinos (configuración en S/Z)	10,5	6,5	Modificación del grosor de las paredes (¿raspado?)
77aU	U1	Colombinos en espiral (configuración subcircular)	Sistema 1	Formación por colombinos (configuración en S/Z)	13,5	6	Formación por colombinos (configuración en S/Z), estirados	19	10,2				Colombino encabalgado internamente (discontinuidad oblicua interna)	8	8,5	Raspado de la superficie interna del cuerpo
77bU	U2	Colombinos en espiral (configuración subcircular)	Sistema 3 y refuerzo interno	Formación por colombinos	-	-	Formación por colombinos (configuración en S/Z)	16,5	7,4	Formación por colombinos finos (configuración en S/Z)	8	5	Formación por colombinos (configuración en S/Z)	12,5	11	Modificación del grosor de las paredes (¿raspado?)
78U	U2	No determinable (uso de presiones discontinuas) *	Sistema 2	Formación por colombinos (configuración en S/Z)	12	5,6	Formación por colombinos (configuración en S/Z)	14,5	7,2	Formación por colombinos (configuración en S/Z)	13	7,1	Formación por colombinos (configuración en S/Z), estirados	16,5	8,4	Raspado de la superficie interna del cuerpo, espalda y cuello
85aU	U2	No determinable (uso de presiones discontinuas) *	Sistema 2	Formación por colombinos (configuración en S/Z), estirados	14	7,1	Colombinos oblicuos y superpuestos (configuración en S y en U invertida)	14,5	7,9	Formación por colombinos (configuración en S/Z), estirados	13,5	7,3	Formación por colombinos	13	6,6	Modificación del grosor de las paredes (¿raspado?)
85bU	U2	No determinable	-	Formación por colombinos (configuración en S/Z)	15	6,1	Formación por colombinos	-	-	Formación por colombinos	-	-	Formación por colombinos	-	-	-

Tab. C: Secuencia de formación de las urnas cinerarias (U) H: altura máxima de los colombinos (mm). T: grosor de las paredes (mm). \*Bases preservadas no fracturadas.

	Altura colombinos						
	Urnas				Platos-tapadera		Total
	Cuerpo	Espalda	Cuello	Borde	Cuerpo	Borde	
N.º medidas	13	13	6	8	19	17	76
Min	10,5	10	8	8	12	9	8
Max	21	22,5	21	18,5	22	22,5	22,5
Media	14,85	16,19	14,25	13,56	16,18	13,98	15,03
DS	2,94	3,46	4,24	3,33	2,64	3,51	3,31
CV (%)	19,8	21,34	29,75	24,57	16,29	25,13	21,99

	Grosor de las paredes						
	Urnas				Platos-tapadera		Total
	Cuerpo	Espalda	Cuello	Borde	Cuerpo	Borde	
N.º medidas	13	13	6	8	19	17	76
Min	5,6	6	5	6,5	7	7	5
Max	10,2	11,6	9,2	11	12,7	11	12,7
Media	7,65	8,58	7,67	8,61	9,14	8,41	8,45
DS	1,6	1,57	1,57	1,71	1,46	1,18	1,53
CV (%)	20,92	18,24	20,52	19,9	16,01	13,98	18,08

Tab. D: Medidas de la altura máxima de los colombinos y del grosor de las paredes de las urnas (cuerpo, espalda, cuello y borde) y de los platos-tapadera (cuerpo y borde), la desviación estándar (DS) y el coeficiente de variación en porcentaje (CV).

		Urnas				Platos-tapadera	
		Cuerpo	Espalda	Cuello	Borde	Cuerpo	Borde
Urnas	Cuerpo		0,8963	0,999	0,95	0,8605	0,9786
Urnas	Espalda			0,8292	0,4703	1	0,4423
Urnas	Cuello				0,9987	0,7987	1
Urnas	Borde					0,4008	0,9997
Platos	Cuerpo						0,335
Platos	Borde						

Tab. E: Valores p de la prueba de Tukey's pairwise de las medidas de la altura máxima de los colombinos de las urnas (cuerpo, espalda, cuello y borde) y de los platos-tapadera (cuerpo y borde) de la Figura 7.

	Altura de colombinos – grosor de las paredes						
	Urnas				Platos-tapadera		Total
	Cuerpo	Espalda	Cuello	Borde	Cuerpo	Borde	
N.º medidas	13	13	6	8	19	17	76
r	0,69472	0,71739	0,91628	0,08238	9,38716	0,6124	0,54513
r <sup>2</sup>	0,48264	0,51465	0,83957	0,0067865	0,14989	0,37503	0,29716
p (no corr.)	0,0084034	0,0057713	0,0272	0,84623	0,1015	0,0089689	3,55E-07

Tab. F: Valores p de no correlación del coeficiente de correlación de Pearson de la Figura 8. Se han incluido los valores p de no correlación de todas las medidas.



# EL SANTUARIO FENICIO DE LA CALLE MÉNDEZ NÚÑEZ-PLAZA DE LAS MONJAS (HUELVA, ESPAÑA) Y EL INICIO DE LOS ASENTAMIENTOS FENICIOS EN LA PENÍNSULA IBÉRICA

*The Phoenician sanctuary of Méndez Núñez-plaza de las Monjas (Huelva, Spain) and the beginning of the Phoenician settlements in the Iberian peninsula*

ALFREDO MEDEROS MARTÍN 

Dpto. Prehistoria y Arqueología. Universidad Autónoma de Madrid. alfredomederosmartin@gmail.com

---

## RESUMEN:

*El hallazgo de las cerámicas fenicias más antiguas en la península Ibérica está relacionado con la presencia de santuarios litorales en Huelva, en la desembocadura de los ríos Tinto y Odiel, y La Rebanadilla (Málaga) en la desembocadura del río Guadalhorce. El santuario estaba bien conservado en La Rebanadilla, pero debió ser destruido en Huelva por la extracción mecánica del sedimento, al estar bajo el agua, por debajo del nivel freático, aunque el santuario sí se conservaba en estratos superiores de los ss. VIII-VI a. C. Los artefactos recuperados incluyen la presencia de betilos y diversas artesanías que sugieren que nos encontramos en un contexto sacro con ofrendas y talleres anexos al santuario. Destaca la calidad y cantidad de las cerámicas importadas: fenicias orientales, geométricas griegas, chipriotas, sardas y vilanovianas. Las dataciones radiocarbónicas de ambos santuarios se sitúan entre el 971-921 cal a. C. para La Rebanadilla y 968-845 cal a. C. para Huelva.*

**Palabras clave:** fenicios, península Ibérica, santuarios, betilos, comercio, cerámica griega geométrica.

## ABSTRACT:

*The discovery of the oldest Phoenician ceramics in the Iberian Peninsula is related to the presence of coastal sanctuaries in Huelva, at the mouth of the Tinto and Odiel rivers, and La Rebanadilla (Málaga) at the mouth of the Guadalhorce river. The sanctuary was well preserved in La Rebanadilla, but it must have been destroyed in Huelva by the mechanical extraction of the sediment, since it was under water, below the water table, although the sanctuary itself was preserved in upper levels from the 8th-6th centuries BC. The recovered artefacts include the presence of baetyli and various crafts that suggest that we are in a sacred context with offerings and workshops attached to the sanctuary. The quality and quantity of imported pottery stand out: Eastern Phoenicians, Greek Geometric, Cypriot, Sardinian and Vilanovian. The radiocarbon dates of both sanctuaries are between 971-921 cal BC for La Rebanadilla and 968-845 cal BC for Huelva.*

**Key words:** Phoenicians, Iberian Peninsula, sanctuaries, baetyli, trade, Greek Geometric pottery.



El descubrimiento más importante de la presencia fenicia en la península ibérica en las últimas dos décadas ha sido que la instalación de los primeros santuarios litorales se retrotrae muy probablemente a mediados del s. X a.C. (Mederos 2006: 172 y 2013: 486; Brandherm 2008: 98; González de Canales *et al.* 2009: 3), aunque se han propuesto cronologías mucho más recientes del 850-800 a.C. (Gilboa 2013: 326-327), 850-770 a.C. (Núñez Calvo 2018a: 171) u 810-750 a.C. (Fantalkin *et al.* 2011: 184).

Los dos sitios claves en la investigación han sido Huelva y La Rebanadilla (Málaga), y en ambos casos no se trató de excavaciones sistemáticas a medio plazo. El primero fue resultado de la recuperación de los materiales de los niveles inferiores bajo el nivel freático, vaciados de una parcela del centro de Huelva, en la calle Méndez Núñez-plaza de las Monjas (González de Canales *et al.* 2004), que había sido excavada en sus niveles superiores de los ss. VIII-VI a.C. (Osuna *et al.* 2001). En el segundo caso, consecuencia de una excavación de urgencia por la construcción del aeropuerto de Málaga (Sánchez *et al.* 2011; 2018).

El detallado estudio realizado del material recuperado de la calle Méndez Núñez-plaza de las Monjas identificó 7936 fragmentos con forma reconstruible que fueron estudiados, un 9% del total (González de Canales *et al.* 2004: 29), además de unos 82.000 amorfos (González de Canales *et al.* 2006: 107). Entre las formas reconstruibles, las cerámicas del Bronce Final III B local suponen

4703 ejemplares, el 59,26%, mientras las cerámicas fenicias son 3233 fragmentos, el 40,73% (González de Canales *et al.* 2004: 29-30).

El otro yacimiento es La Rebanadilla (Málaga), situado a 3 km de la línea actual de costa y a 1,9 km del poblado del cerro del Villar, en la desembocadura del río Guadalhorce. En la fase IV o inicial de La Rebanadilla se identificaron varias estructuras excavadas en el suelo, siguiendo la tradición indígena, que muestra diversos talleres vinculables a un santuario. En la casi inmediata fase III de La Rebanadilla ya se construyó un muro perimetral con adobes de 0,60 m de grosor y en su interior un santuario con dos templos I y II, los edificios 4 y 5 (Sánchez *et al.* 2012: 308-309, fig. 3-4 y 2018: 308-311, fig. 3-4; Sánchez 2021: 66-67, fig. 11 y 12, 69-70, fig. 13-15), presentando también habitaciones de planta rectangular, con muros construidos con ladrillos de adobe de 0,45 x 0,30 m y bancos corridos junto a las paredes (Arancibia *et al.* 2011: 130, 139, fig. 4-5; Sánchez *et al.* 2011: 191, 192, fig. 4; 2012: 76).

El templo I comprende una habitación de 4 x 3 m, donde se identificó un altar u hogar rectangular de 0,46 x 0,33 m y un agujero inmediato para colocar un betilo (Sánchez *et al.* 2018: 308-309, fig. 3; Sánchez 2021: 64-67, fig. 11 y 12). El templo II es de mayores dimensiones, con un patio de 4,5 x 3,37 m que presentaba un altar u hogar rectangular de arcilla de 0,38 x 0,28 m y un quemaperfumes, con dos habitaciones rectangulares anexas; la primera de 2,58 x 2,30 m, con bancos

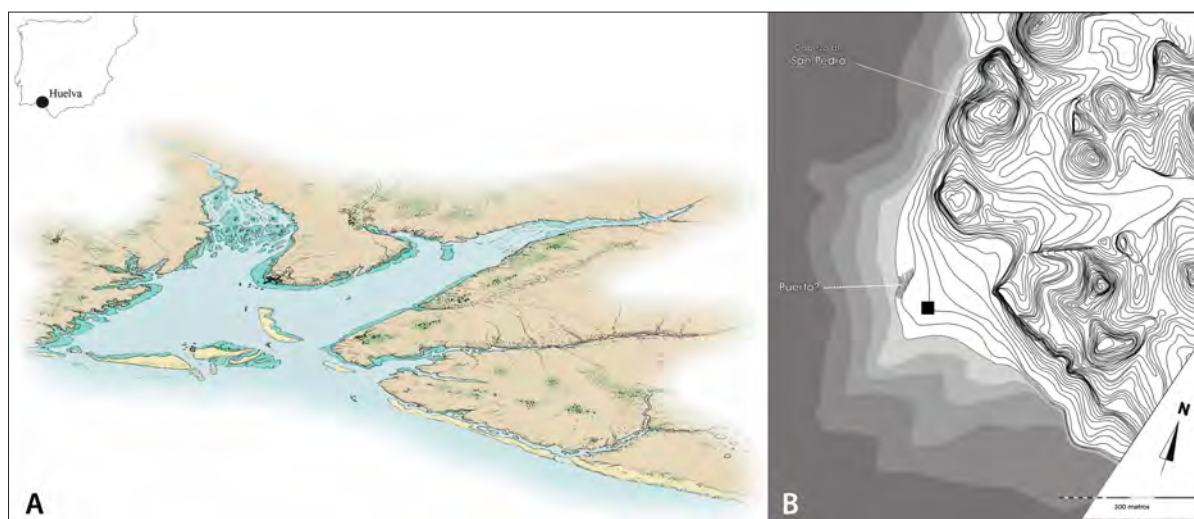


Fig. 1: Huelva en el SO de la península Ibérica. A: Huelva entre las desembocaduras de los ríos Tinto y Odiel. B: Emplazamiento del posible antiguo puerto de Huelva junto a la actual plaza de las Monjas (a partir de Gómez Toscano 2012: 313 fig. 3).

corridos en tres de sus lados, uno de ellos enlucido en rojo, que tenía una cornamenta de un bóvido en la entrada de la puerta, y una segunda habitación o *sancta sanctorum* propiamente dicho, de 1,90 x 1,30 m, que tenía al fondo una estructura rectangular excavada en el suelo de 0,77 x 0,50 m, identificándose la presencia de un betilo de piedra y un gran pebetero cerámico con decoración de bandas pintadas (Sánchez *et al.* 2012: 81-82, fig. 19; 2018: 309-311, fig. 4-5; Sánchez 2021: 68-70, fig. 13-15).

### EL SANTUARIO FENICIO DE LA CALLE MÉNDEZ NÚÑEZ-PLAZA DE LAS MONJAS

La importancia de los hallazgos materiales descubiertos en la calle Méndez Núñez 7-13 ha hecho que no se preste suficiente atención a los solares inmediatos y niveles superiores de la propia parcela donde ya había un santuario fenicio, a pesar de que ya lo enfatizamos en nuestra primera valoración del descubrimiento (Mederos 2006: 171-172; 2008: 83; Almagro Gorbea *et al.* 2018: 299, fig. 1).

La calle Méndez Núñez comenzó a ser excavada en intervenciones de urgencia a partir de 1985, con una primera actuación en el solar Méndez Núñez 4-6 (Fernández Jurado 1987b) y otra el solar Méndez Núñez 8 en 1987 (Fernández Jurado y Rufete 1990) (fig. 1).

La zona inmediata al santuario, el solar de la calle Méndez Núñez 5, fue inicialmente excavada por Fernández Jurado (1987a) entre noviembre y diciembre de 1985, de la cual se publicaron los conjuntos de cerámicas griegas y etruscas (Fernández Jurado 1988-1989; Fernández Jurado *et al.* 1994). El dato más significativo para valorar hasta qué nivel alcanzaron es la indicación de la localización del nivel freático a sólo -2,75 m de profundidad, aunque fue una excavación en pleno invierno por lo que el nivel freático estaba más elevado.

El santuario se encontraba a la izquierda o NO de la calle Méndez Núñez 5, en la parcela Méndez Núñez 7 y 13, que tiene una prolongación hacia el O o plaza de las Monjas 12, presentando una superficie de 2145 m<sup>2</sup>. Aunque se solicitó excavar en extensión una superficie de 500 m<sup>2</sup>, sólo se autorizó un corte de 24 m<sup>2</sup> o 6 x 4 m. Como previamente habían excavado en el solar contiguo de Méndez Núñez 5, se situó el corte en el solar más inmediato de Méndez Núñez 7, donde sólo se alcanzó la profundidad de -3,85 m, momento en que apareció el agua del nivel freático, que al inicio de la excavación estaba a -3,94 m (Fernández Jurado y García Sanz 2001: 336-337, 339, fig. 2). Como ha sido una constante en la ciudad de Huelva, no se continuó la excavación, aunque los estratos arqueológicos con niveles fértiles continuaban en cotas inferiores.

El solar se encuentra a 240 m de la calle Palos 20-27, donde se localizó un fragmento de crátera ática del Geométrico Medio II (del Amo 1976: 38-40, fig. 8, 41,

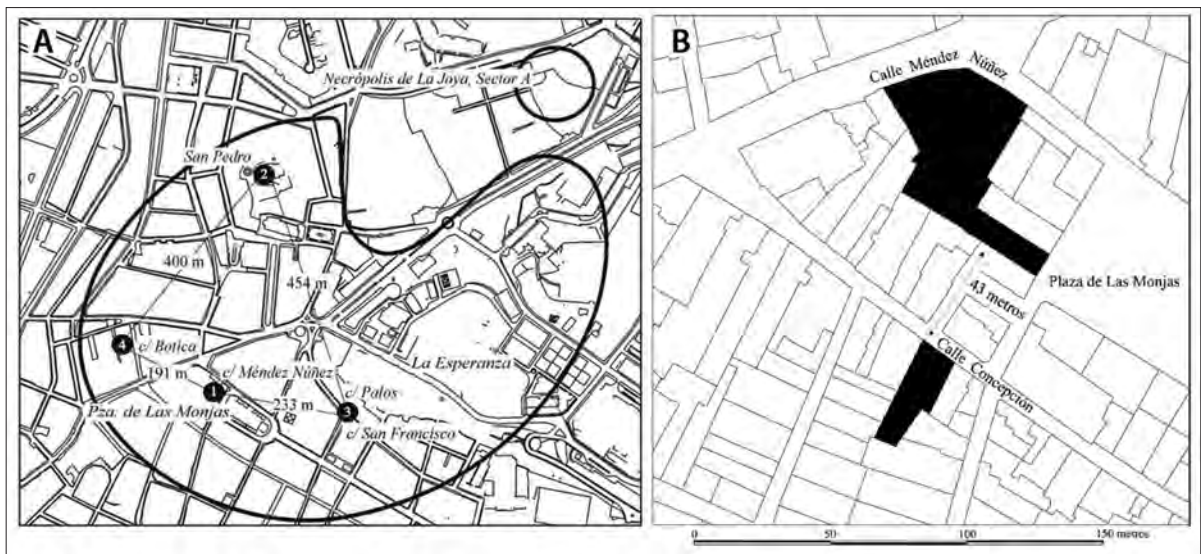


Fig. 2: Emplazamiento de los solares de Méndez Núñez 7-13, plaza de las Monjas 12 y Concepción 3 en Huelva (González de Canales *et al.* 2018: 78, fig. 7).

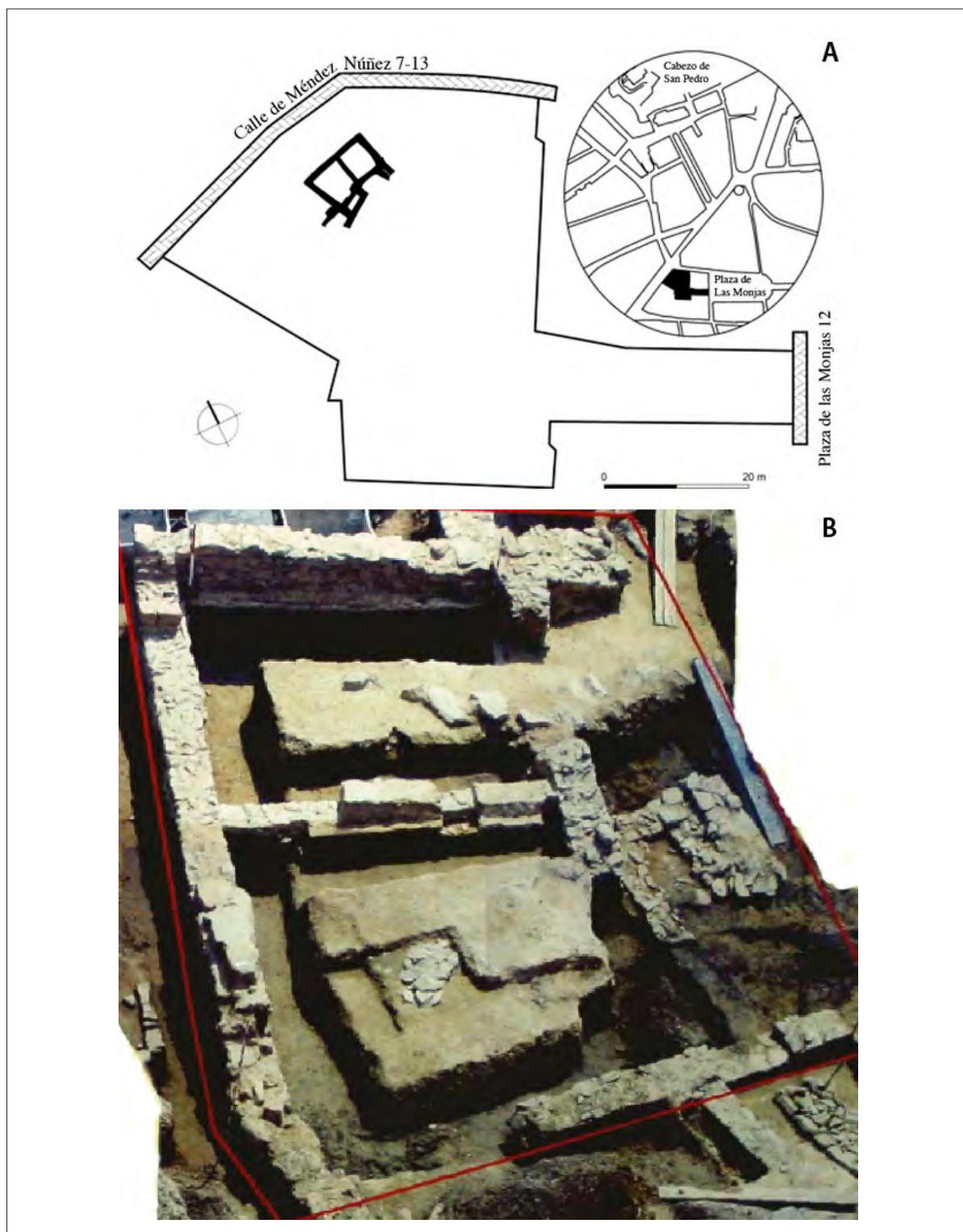


Fig. 3: A: Planta de la fase I del santuario de Méndez Núñez-plaza de la Monjas (a partir de Osuna *et al.* 2001: 179, fig. 3 y Almagro Gorbea *et al.* 2018: 299, fig. 1); B: Vista de la fase I del santuario de Méndez Núñez-plaza de la Monjas (Osuna *et al.* 2001: 178, fig. 1; Cortesía F. González de Canales).

fig. 9) y una jarra de estribo o *stirrup jar* que podría corresponder a una producción filistea del Heládico Final IIC Inicial o Medio (Gómez Toscano y Mederos 2018: 118-125, 122-123, fig. 6-7), en un estrato con cerámica mayoritaria de los ss. VII-V a.C., alterado por la presencia de una factoría de salazones romana (fig. 2).

Ante la importancia de las estructuras descubiertas, se encomendó la continuación de la excavación de Méndez Núñez al entonces director del museo de Huelva entre 1997 y 2002, Manuel Osuna Ruiz, quien aceptó a cambio de poder excavar en extensión el solar. Esta segunda campaña de excavación se desarrolló entre los meses de marzo, abril y mayo de 1998, incluyendo ambos solares de Méndez Núñez 7 y 13, siendo subdirectores J. Bedía, G. Castillo, C. Corchero y A. M. Domínguez. Además contaron con una treintena de colaboradores (Osuna *et al.* 2001: 177, n. 1), que no se enumeran, pero entre los cuales se encontraban F. González de Canales, L. Serrano y J. Llompart (com. pers.).

En la actuación se detectó una primera fase constructiva de un santuario, atribuida a fines del s. VIII o inicios del s. VII a.C., aunque la presencia de un escarabeo del *Lyre Player Group* indica la segunda mitad del s. VIII a.C. (Serrano *et al.* 2010). Se trataba de un pequeño templo de planta rectangular de ca. 9 x 5,75 m, que presentaba muros de adobe sin zócalo de piedra, pavimentos de arcilla y un hogar sobre placas cuadrangulares de arcilla (Osuna *et al.* 2001: 179, fig. 3, 184), similar al presente en el templo I de La Rebanadilla (Sánchez *et al.* 2018: 308, fig. 3; Sánchez 2021: 67, fig. 12). Esta misma forma rectangular aparece en el altar documentado en la calle Císter en Malaka con 0,32 x 0,48 m (Arancibia *et al.* 2011: 133, 147, fig. 20-21; Arancibia y Mora 2018: 357-358, fig. 4-5) de finales del s. VII a la primera mitad del s. VI a.C. El propio Osuna era consciente de ello pues comparó el hogar rectangular de arcilla con el *ara o altar* de Coria del Río (Sevilla) (Escacena 2009: 98, fig. 1, a-b). También menciona un supuesto *espacio reservado para el degüelle de los animales ofrecidos en sacrificio* (Osuna *et al.* 2001: 179, 186). La “fase más antigua” del santuario continuaba en niveles inferiores pues era *difícil determinar su inicio como consecuencia de las dificultades técnicas ocasionadas por la situación del nivel freático* (Osuna *et al.* 2001: 184) (fig. 3).

Este santuario perduró durante toda la fase fenicia hasta el 575 a.C., cuando la zona parece ser destruida por un posible “maremoto”, resultado de la localización en la parte superior de *abundantes de restos de origen marino*

(Osuna *et al.* 2001: 179), sin más precisiones. Esta fase presentó un *tintinabulum* de bronce, incensarios, lucernas fenicias y griegas, trípodes, urnas Cruz del Negro, platos de barniz rojo, grafitos fenicios y abundante cerámica griega (Osuna *et al.* 2001: 180, 184).

Además de la estructura cultural se documentó un horno de copelación de plata, un pequeño lingote de plata con forma de piel de buey de 2,6 x 3,9 x 5,4 cm o un pequeño lingote de bronce (Osuna *et al.* 2001: 180-181, 186, fig. 14), indicativos de la presencia de talleres artesanales metalúrgicos inmediatos al templo, donde se procesaban minerales de plata y cobre.

Durante la fase II del santuario situado en los solares de Méndez Núñez 7 y 13 sólo parece existir un círculo con cuñas de pizarra para insertar en ellos una serie de cinco betilos, los cuales se mantienen en uso en la fase III (Osuna *et al.* 2001: 179-180, fig. 4-5).

Esta última fase, que comenzaría hacia el 550-500 a.C., aunque tiene varias unidades de habitación anexas al pequeño santuario, parece tener una función de almacenaje de ánforas púnicas, y al exterior se localizó galeña, escorias de *silíce libre* y un posible taller de orfebre (Osuna *et al.* 2001: 181, fig. 6), volviéndose a identificar la presencia de algún taller artesanal metalúrgico en sus inmediaciones (fig. 4).

Esta función religiosa, vinculada a un espacio sacro, creemos que debió existir previamente en los niveles inferiores entre -5 y -6 m, de la que proceden los materiales arqueológicos recuperados, y explicaría bien su gran calidad y abundancia (Mederos 2006: 171-172). Un conjunto similar no se repite en solares próximos como Concepción 3, excavado posteriormente, donde también se ha extraído el nivel inferior bajo el freático localizado entre -4,70 y -5,50 m de profundidad (González de Canales *et al.* 2017: 3). Este dato es muy importante porque indica que no todos los espacios de la fase arcaica en Huelva tienen materiales arqueológicos de la calidad y variedad de Méndez Núñez-plaza de las Monjas 7-13, lo que refuerza la impresión que también en los niveles inferiores nos encontramos con una zona especial, muy probablemente parte de un santuario.

La finalización de la excavación propició el traslado del edificio del santuario que fue desmontado y reconstruido en los jardines del Museo de Huelva (Osuna *et al.* 2001: 178, fig. 1-2), pero el traslado de M. Osuna a la dirección del Museo de Ciudad Real en 2002 no favoreció la continuidad de la investigación con los materiales arqueológicos recuperados en el santuario. Simultáneamente,

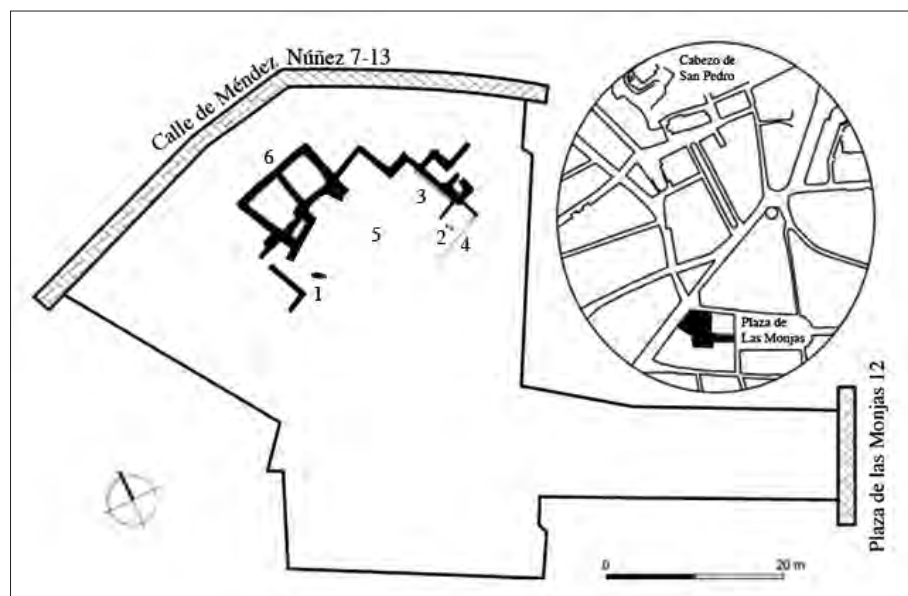


Fig. 4: Planta de la fase III del santuario de Méndez Núñez-plaza de las Monjas. 1. Túmulo. 2. Hogares. 3. Bancos adosados al muro. 4. Muro de cerramiento. 5. Témenos. 6. Santuario (a partir de Osuna *et al.* 2001: 181 fig. 6 y Almagro Gorbea *et al.* 2018: 299 fig. 1).

prosiguió la construcción de varias plantas de garaje, lo que implicó el vaciado de la parcela de la calle Méndez Núñez-plaza de las Monjas 7-13 (González de Canales *et al.* 2004: 23).

Así pues, los sedimentos de un estrato gris-negruzco con sus correspondientes materiales arqueológicos fueron extraídos con medios mecánicos pues los sedimentos inferiores se encontraban bajo el nivel freático (González de Canales *et al.* 2004: 24; Gómez Toscano 2013: 87-88). Dado que eran reconocibles por su coloración, pudieron ser cribados, después de un gran trabajo, una décima parte aproximadamente del total de los sedimentos extraídos de este nivel inferior presente en ambos solares (L. Serrano, com. pers.).

## CULTO BETÍLICO Y ARTEFACTOS CULTUALES

Entre los objetos con claro uso cultural se identificaron cuatro pequeños betilos de roca ostionera (González de Canales *et al.* 2004: 140, láms. 36, 12-15 y 62, 9-12), que se recuperaron agrupados (González de Canales, com. pers.), el mayor de los cuales tiene unos 30 cm, además de otro más dudoso en roca volcánica, similares al localizado en el templo II de La Rebanadilla (Sánchez *et al.* 2012: 81-82, fig. 19; 2018: 310, fig. 5, 4). Se han manifestado dudas sobre su carácter de betilos y poder tratarse de molinos por no ser de piedra volcánica los cinco posibles ejemplares (Torres 2005: 295), pero

precisamente el hecho de que el más dudoso, por estar más fragmentado, sea el de piedra volcánica apoya la opción contraria (fig. 5).

Por otra parte, el betilo localizado en el templo II de La Rebanadilla está elaborado también en piedra ostionera (Sánchez *et al.* 2018: 310, fig. 5, d y com. pers.). Como puede observarse en las fotos, una de sus características es que la parte superior tiene una forma redondeada, mientras que la zona de la base ha sido seccionada para crear una superficie horizontal. Otro argumento a favor son sus pequeñas dimensiones, en tres de ellos menos de 20 cm, mientras el único molino claramente preservado está elaborado en una roca ígnea básica que tiene cerca de 40 cm (fig. 6, a-b).

Para un fenicio *Bait-yl* o *Baitylos* era la *casa de dios/El (Bet-Yl)*, en hebreo *bēth-ēl*, por lo que estos monolitos eran objeto de culto pues en ellos se manifestaba la presencia divina (Moore 1903: 203; Lipinski 1995: 76).

Según Filóstrato (*Vita Apol.* V, 5), en el santuario de Melqart en Sancti Petri (San Fernando, Cádiz), a mediados del s. I d. C., había dos altares de bronce sin adornos en honor del *mlqrt* egipcio y otro de piedra que tenía esculpidos los trabajos de Hércules dedicado al *mlqrt* tebano o griego, destacando Silio Itálico (III, 30) *la falta de estatuas o imágenes de dioses*. Esto sugiere que la divinidad se materializaba, como sucedía en Tiro, en dos betilos, cuatro si había dos altares. Deben ser los dos mencionados por Filóstrato (*Vita Apol.* V, 5) de un cúbito de altura, que de tratarse del codo egipcio real tendrían 0,52 m de altura. Podrían estar dedicados a Melqart y su paedro Astarté.

Fig. 5: Betilos sobre roca ostionera de la calle Méndez Núñez - plaza de la Monjas (González de Canales *et al.* 2004: lám. 62, 9-13).

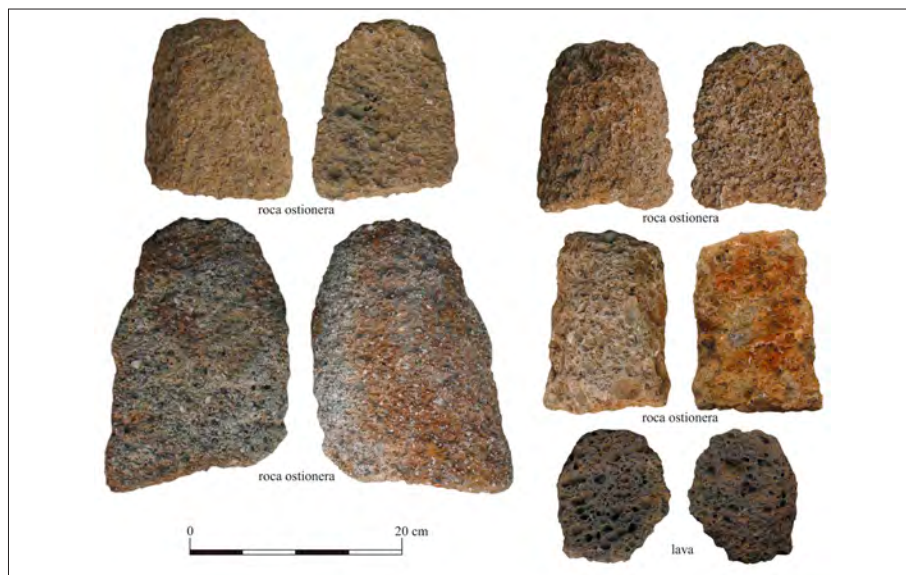


Fig. 6: Izquierda: Betilo *in situ* en el templo II o edificio 5 de la fase III de La Rebanadilla (Sánchez *et al.* 2012: 82 fig. 19). Derecha: Betilo sobre roca ostionera de la fase III de La Rebanadilla (Sánchez *et al.* 2018: 310 fig. 5, d).



Los betilos son importantes porque eran los elementos cultuales más significativos dentro de los santuarios fenicios en el Levante y Chipre (Seco 2010), como ejemplifican los casos de Tiro, Sidón, Biblos o Paphos. En ocasiones nos encontramos con dos, como sucede en uno de los templos de Melqart en Tiro, o sólo con un betilo en Sidón, Biblos, Paphos o en el de Astarté en Tiro, que siempre se trata de santuarios dedicados a Astarté o Afrodita

En Andalucía, en las áreas fenicia y tartésica, los ejemplos más claros son dos betilos de piedra, de 19 y 17,5 cm, del yacimiento de Montemolín (Sevilla), aunque de un contexto expoliado (de la Bandera *et al.* 2004: 244, 248, fig. 5, 249-251, fig. 8-9), que nuevamente son de dimensiones pequeñas. Por otra parte, durante la excavación del nivel 3 en la zona oriental del Carambolo Bajo

(Sevilla) por Carriazo (1973: 275) apareció debajo de un olivo una piedra *labrada casi en forma de media columna*, pero una vez excavada comprobó que *era una piedra natural, y que en todo caso no estaba labrada en verdadera semicolumna*. En cualquier caso, posteriormente ha sido identificada como un posible betilo (Belén 2000: 72), fechable quizás en el s. V o inicios del IV a.C. (de la Bandera *et al.* 2004: 249).

Uno de los contextos más interesantes es el castro de Ratinhos por la cronología de su fase 1b, 830-760 a.C., a partir del último cuarto del s. IX a.C., que indica un proceso de aculturación fenicio en el interior del valle del Guadiana, en una zona no accesible por vía fluvial. En este momento aparece por primera vez un edificio de planta rectangular, posible santuario con torre anexa, que

creen dedicado a una divinidad masculina y femenina a la vez, Asherah y Baal, el cual cuenta con una modulación arquitectónica fenicia de codos de 0,52 m, en múltiplos de 3 (Prados 2010: 268-270, fig. 128-129; Berrocal *et al.* 2012: 174-179, fig. 4-5). Dentro del santuario o estructura MN23-b había tallado en la roca un agujero redondo para colocar un posible betilo inmediato a un hogar-altar de planta redonda (Berrocal y Silva 2010: 112, fig. 47, 1; 190, fig. 89). Este posible betilo de la fase 1b, que corresponde a una pizarra de sección plana con algo más de 1 m de altura, apareció amortizado en el suelo de la fase 1a y debía estar hincado entre las piedras pequeñas situadas dentro del agujero redondeado, por lo que un lado de su extremo inferior es más estrecho (Berrocal y Silva 2010: 113, fig. 48, 198, 199, fig. 95).

En la calle Méndez Núñez-plaza de las Monjas también se documentaron quemaperfumes (González de Canales *et al.* 2004: lám. 15, 23-24), alguna cáscara de huevo de avestruz con restos de pintura, que en tumbas suele asociarse a la reencarnación (González de Canales *et al.* 2004: 171, lám. 70, 5), o huesos astrágalos (González de Canales *et al.* 2004: 169, lám. 43, 39-49 y 69, 37-41), generalmente relacionados con la adivinación que menciona Pausanias (VII, 25, 1), la *astragalomanteia* (Gilmour 1997: 173). Otros elementos que podrían relacionarse con una función cultual son dos cráneos de bóvido con los cuernos parcialmente cortados (González de Canales *et al.* 2004: lám. 70, 1-2), pues uno también se encontró en la entrada del templo II de La Rebanadilla (Sánchez *et al.* 2018: 310), que pueden estar vinculados con sacrificios de bóvidos en los momentos fundacionales.

Entre las posibles ofrendas se identificaron terracotas de animales (González de Canales *et al.* 2004: 53, lám. 10, 1-2 y 49, 3-4) y en particular 508 fragmentos de lucernas, aunque sólo se conservaban 21 relativamente completas, todas de un solo pico (González de Canales *et al.* 2004: 80-81, lám. 15, 29-37 y 54, 12-20). La relativa abundancia de grafitos también podría apoyar este carácter de ofrendas, dos de los cuales, nº 2 y 5, indican *perteneciente a*, un ánfora nurágica y un quemaperfumes (Heltzer en González de Canales *et al.* 2004: 133-134, lám. 35, 2 y 5, lám. 61, 2 y 5).

Un número tan elevado de lucernas se conoce en muy pocos yacimientos fenicios, siendo Mogador especialmente interesante por su elevado número, donde en el entorno del betilo de 1,47 m de altura, su probable *témenos*, se hallaron 316 fragmentos de lucernas, en este caso de dos picos (López Pardo 1996: 362, 365; López Pardo y Mederos 2008: 187, 205, fig. 74, a, 206, 305-306).

Lógicamente, lucernas, quemaperfumes, terracotas, astrágalos o huevos de avestruz pueden aparecer en contextos domésticos, pero la única presencia de un molino completo y sólo 138 cerámicas de cocina (González de Canales *et al.* 2004: 119, 140; 2010: 296, fig. 15) entre las 4703 cerámicas indígenas, apenas suponen el 2,93% y entre el conjunto cerámico completo de 7936 fragmentos, sólo un 1,73%. Por otra parte, como hemos visto, el número de lucernas supera más de tres veces al número de cerámicas de cocina, pues suponen el 6,40% del total cerámico. Si optamos por la cerámica de cocina fenicia (González de Canales *et al.* 2004: 78-79, fig. 15, 3-19), apenas se identificaron 18 fragmentos, que junto a las indígenas ya mencionadas suman 156 fragmentos, lo que supone sólo un 1,96% del total.

## ZONA DE TALLERES Y MERCADO

Cabe pensar que otros artefactos indican la presencia de posibles talleres artesanales junto al santuario. Así se ha identificado un taller de marfil, con múltiples restos de talla entre los 816 fragmentos recuperados (González de Canales *et al.* 2004: 165-166, lám. 67, 1-55 y 68, 1-50), aunque el supuesto colmillo de elefante realmente se trataba de un cuerno de un uro, como poco después se indicó (González de Canales *et al.* 2004: 166, lám. 67, 56; 2006: 117, n. 65).

Otro taller de marfil también ha sido constatado en la fase IV del santuario de Rebanadilla donde en tres estructuras se recuperaron 68 fragmentos en bruto o recortados. Una de ellas es la UE 2113 que amortiza la gran estructura ovalada UE 2260, de 11 m de longitud (Marzoli *et al.* 2016: 101-102, fig. 13, 103, fig. 14).

Otros fragmentos de cáscara de huevo de avestruz (González de Canales *et al.* 2004: lám. 70/5) podrían estar destinados a huevos pintados o cuentas de collar. La presencia de núcleos de ágata pudo utilizarse para elaborar cuentas de collar o colgantes, pero también podría sugerir un taller de sellos y escarabeos (González de Canales *et al.* 2004: 141, lám. 62, 16-17). La concentración de un centenar de conchas de *Murex brandaris* y *Murex trunculus* (González de Canales *et al.* 2004: 176, lám. 72, 5-6) podría apuntar a la existencia de algún tipo de taller para el teñido de textiles con púrpura. La localización de alguna fusayola de arcilla (González de Canales *et al.* 2004: lám. 28, 38-39) puede indicar el trabajo de textiles

de lana, que podría asociarse también con una pieza fusiforme de madera para enrollar hilo (González de Canales *et al.* 2004: 159, lám. 66, 2).

La existencia de talleres metalúrgicos en las inmediaciones se confirma por la identificación de ladrillos de arcilla vitrificados que permiten reconstruir las paredes de un posible horno (González de Canales *et al.* 2004: 146, lám. 37, 7-12 y 63, 1-5). A ello se une la presencia de mineral de covellina, un sulfuro de cobre (González de Canales *et al.* 2004: 152, tabla 9), 87 fragmentos de toberas de sección rectangular o redonda para introducir aire avivando el fuego dentro del horno (González de Canales *et al.* 2004: 147, 153, tabla 11, lám. 37, 15-24 y 63, 6-15), crisoles (González de Canales *et al.* 2004: 148, lám. 37, 13-14 y 63, 18-21), moldes de fundición elaborados en arenisca o sobre limos de la marisma (González de Canales *et al.* 2004: 151, lám. 37, 25-29 y 63, 26-30), escorias de cobre, de hierro, de sílice libre para plata y un goterón de plata (González de Canales *et al.* 2004: 148-150, 151-152, tablas 7-8, lám. 63, 22-25 y 64, 8-17).

Estos talleres metalúrgicos también están presentes en La Rebanadilla (Sánchez *et al.* 2011: 189, 190, fig. 2), habiéndose documentado en un pozo ritual de la fase IV un molde bivalvo para piezas de orfebrería (Sánchez *et al.* 2011: 189, fig. 3; 2018: 314, 315, fig. 9, 5). De otras estructuras proceden una lingotera (Aranzibia *et al.* 2011: 130, 138, fig. 2) o un fragmento de lingote plano-convexo de cobre (Sánchez *et al.* 2011: 190). Pero el conjunto principal se localizó en una estructura excavada en el sustrato geológico con escorias de cobre y bronce, goterones de plomo y artefactos como puntas de flecha y un anzuelo de bronce (Sánchez *et al.* 2011: 189).

Los numerosos fragmentos de madera podrían estar vinculados en unos casos con la elaboración de muebles (González de Canales *et al.* 2004: láms. 39, 1-45, 65, 1-45 y 66, 1-22) y en otros, dada la inmediata presencia de la línea de costa, con talleres de carpintería naval para la reparación y construcción de embarcaciones, actividad fundamental en un santuario litoral donde muchos visitantes llegaban en barco. Este uso parece claro en algunos fragmentos por su curvatura y grosor (González de Canales *et al.* 2004: 161, lám. 40, 23-25 y 66, 23-25).

La realización de transacciones comerciales en las zonas inmediatas al santuario, algunas probablemente utilizando metales preciosos o intercambiando materias primas valiosas como el ámbar o el marfil, lo ejemplifica

la presencia de varios pesos de plomo de 0,5, 1 y 3 shekels de la unidad de 9,54 g, con pesos de 4,49 g, 9,54 g, 9,59 g y 26,62 g (González de Canales *et al.* 2004: 154, láms. 38, 10-13 y 64, 21-24).

Otros elementos podrían indicar el registro de operaciones comerciales como algunos punzones de marfil (González de Canales *et al.* 2004: 166, lám. 64, 4) que se utilizarían sobre una película de cera, protegida por dos hojas de madera que se cerraban sobre sí, un objeto excepcional documentado en Huelva que conocemos por el pecio de Uluburun (González de Canales *et al.* 2004: 160, lám. 66, 7).

### CERÁMICAS FENICIAS ARCAICAS ASOCIADAS CON CERÁMICAS EUBEAS Y ÁTICAS DEL GEOMÉTRICO MEDIO

En el nivel inferior de la calle Méndez Núñez-plaza de las Monjas se localizó el conjunto más amplio de cerámicas del Geométrico Medio del Mediterráneo Occidental con nueve cerámicas áticas del Geométrico Medio II (González de Canales *et al.* 2004: 82-86, lám. 18, 1-8 y láms. 55-56) y 21 fragmentos eubeos, de ellos 15 platos con semicírculos colgantes y dos *skyphoi* con semicírculos colgantes (González de Canales *et al.* 2004: 86-94, lám. 19, 1-21 y láms. 57-58). No obstante, este conjunto de 33 ejemplares, apenas supone el 0,41% dentro de las cerámicas recuperadas. En cualquier caso, son muy importantes para la cronología de los materiales asociados a estas cerámicas geométricas y para definir la propia cronología del Geométrico Medio II en el Mediterráneo (fig. 7).

Entre las cerámicas áticas hay dos cántaros, ambos con el arranque del asa, una forma que aparece en el Geométrico Medio II, dos *skyphoi*, tres fragmentos de cántaros o *skyphoi*, dos fragmentos de un jarro de boca trilobulada y una posible asa de cántaro (González de Canales *et al.* 2004: 82-86). De las cerámicas de posible taller eubeo, aunque se ha demostrado recientemente que hay imitaciones de *skyphoi* con semicírculos colgantes elaboradas en Macedonia (Gimatizidis y Weninger 2020: 21), hay 15 platos con semicírculos colgantes, de los cuales tres conservan el asa o su arranque, además de un fragmento aislado de un asa (González de Canales *et al.* 2004: 87-92, lám. 57, 4-10 y lám. 58, 1-7), dos *skyphoi* con semicírculos colgantes (González de Canales *et al.* 2004: 86-87, lám. 57, 1-3), un alabastrón (González de Canales *et al.* 2004: 92, lám. 59, 2), dos jarros (González

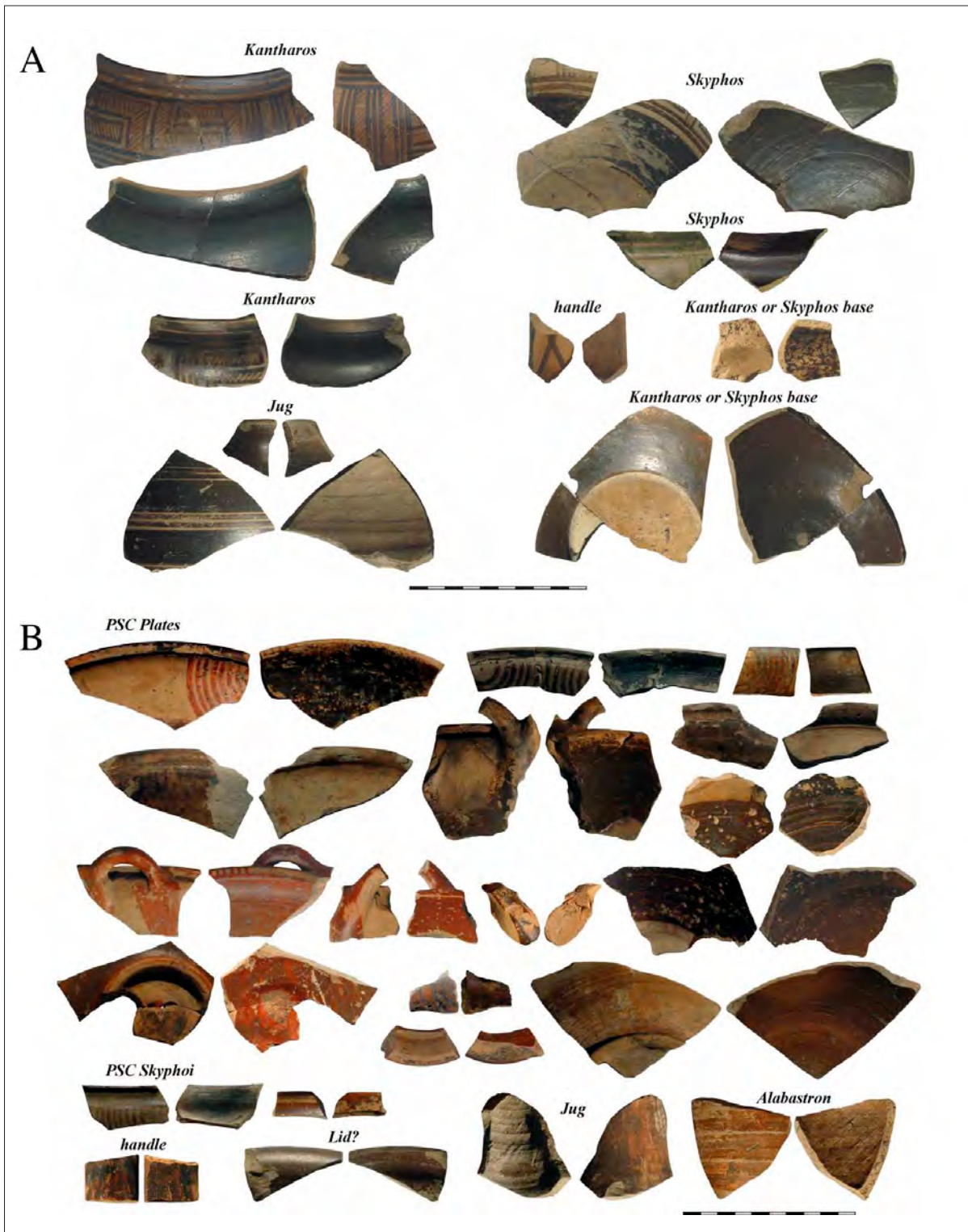


Fig. 7: Cerámica ática del Geométrico Medio II (A) y cerámica eubea del Subprotogeométrico (B) de la calle Méndez Núñez-plaza de las Monjas (González de Canales *et al.* 2004: lám. 57-59).

de Canales *et al.* 2004: 93, lám. 59, 1 y 4) y una posible tapadera (González de Canales *et al.* 2004: 92, lám. 59, 3). La presencia de platos, jarros, alabastrones y tapaderas, indican una variabilidad formal mucho más amplia que la conocida en otros yacimientos donde priman los *skyphoi*.

De los platos con semicírculos colgantes, tres fueron asignados al Sub-Protogeométrico I-II (González de Canales *et al.* 2004: 185, lám. 57, 3, 6-7; 2006: 115; 2008a: 642, 650-651, fig. 10, 1-3; 2008b: 63), mientras los dos *skyphoi* con semicírculos colgantes (González de Canales *et al.* 2004: 184) y otros cinco platos fueron atribuidos a una fase más avanzada del Sub-Protogeométrico III (González de Canales *et al.* 2004: 88, láms. 19, 4-57, 10, 19, 6-57, 5, 89, láms. 19, 8-58, 1, 19, 9-58, 4, 90, lám. 19, 10-57, 4; 2009: 17). Otros investigadores han considerado los 15 platos con semicírculos colgantes del Sub-Protogeométrico I-II, mientras se mantiene la asignación de los dos *skyphoi* con semicírculos colgantes al Sub-Protogeométrico III (Domínguez Monedero 2013: 16). Por otra parte, las cerámicas áticas son asignadas a un momento transicional del Geométrico Medio II al Geométrico Final (Domínguez Monedero 2017: 220), fechando el conjunto cerámico geométrico entre el 810-750 a.C. (Domínguez Monedero 2017: 219), pero esto nos sitúa en el Sub-Protogeométrico IIIb, 800-760 a.C. según la secuencia clásica del geométrico griego (Coldstream 1968: 330; 1998: 358; Lemos 2002: 26).

Para otros investigadores, tanto los platos como los *skyphoi* con semicírculos colgantes son asignables al Sub-Protogeométrico III por la poca profundidad de los platos, la forma de los bordes y la presencia de un *skyphos* de tipo 5 (Núñez Calvo 2018b: 338; 2018b: 338), siguiendo la propuesta tipológica y cronológica de Coldstream (1995) y la presencia de un *skyphos* en la tumba TT110/111 de Al-Bass (fig. 5).

En todo caso, no existen aún contextos suficientemente bien estratificados y fechados, a la espera de la publicación de las excavaciones en Sindos (Macedonia, Grecia), que permitan plantear con garantías una evolución de los *skyphoi* y los platos con semicírculos colgantes, los cuales además debieron fabricarse en diferentes talleres del Egeo donde los debieron imitar, no sólo en alfares de Eubea. Normalmente son los que fechan un contexto de materiales, pero una alternativa lógica sería que el contexto mayoritario con cerámicas locales fecha-se las puntuales importaciones geométricas.

En el caso de Méndez Núñez-plaza de las Monjas la mediana de las dataciones es 968-845 a. C, lo que nos ha llevado, entre otros yacimientos, a plantear la necesidad de revisar la cronología del Geométrico Medio II (Mederos 2005: 329, tabla 13; 2020: 522-523, tablas 9-10), periodo que hemos situado recientemente entre el 925-875 a.C. (Mederos 2020: 522-523, tablas 9-10), que parece tener una posible ratificación en la secuencia de Sindos donde recientemente se ha fechado el Geométrico Medio II entre el 930-870 a.C. (Gimatidis y Weninger 2020: 23, fig. 11).

La otra vía de análisis es valorar la antigüedad de algunas de las cerámicas fenicias que aparecen en estos mismos contextos (González de Canales *et al.* 2004; Mederos 2006), identificaciones que han sido matizadas planteando una mayor pervivencia de las formas a partir de su comparación con la secuencia de la acrópolis de Tiro publicada por Bikai (1978). El análisis más detallado es un excelente estudio de Núñez Calvo (2018a) a partir de los contextos cerámicos de Tiro, que conoce perfectamente por haberlos excavado en la necrópolis de Al Bass, recientemente en su acrópolis y ser el tema de su tesis doctoral, que ha ampliado con estudios en curso sobre cerámicas del Bronce y Hierro de Beirut, Jiyeh y Chhim. Este autor paraleliza el registro de la calle Méndez Núñez-plaza de las Monjas con los niveles de Tiro 8/7-4 y los encuadra entre el 850-770 a.C., con una posible prolongación hasta 750-740 a.C., dentro de la cronología baja del Levante (Núñez Calvo 2017: 20 fig. 6; 2018a: 171, 173-174).

A pesar de que valora las dataciones de Huelva y reconoce que se sitúan entre el 930-830 a.C., considera que las dataciones corresponderían a niveles indígenas previos del Bronce Final mezclados con los estratos con cerámicas fenicias y geométricas (Núñez Calvo 2017: 23, 20 fig. 5; 2018a: 168, 172 fig. 27; 2018b: 338-340). Esta ha sido la hipótesis previamente mantenida por Gómez Toscano (2013: 296), a partir del estudio de la cerámica indígena, por la presencia de cazuelas A1a y copas B1 con decoración bruñida en el interior, pues considera que hay materiales de finales del segundo milenio a.C.

Del mismo modo, ya las primeras dataciones publicadas de La Rebanadilla (Sánchez *et al.* 2011: 191; 2012: 69, tabla 2), sugerían una mediana entre el 971-936 a.C., con intervalos máximos entre 1049-829 a.C. con un 95% de probabilidad. Estas dataciones de la fase IV de La Rebanadilla, aunque han sido publicadas en 2011, 2012 y 2016, no han sido valoradas en los últimos trabajos de

Núñez Calvo, por no haberse publicado el conjunto cerámico en detalle, sino una selección de piezas fenicias, sardas y geométricas de la fase III, pero en cualquier caso las considera un conjunto coherente que debe adscribirse al s. VIII a.C. (Núñez Calvo, com. pers.), unos 150 años más reciente que los datos que indica el carbono 14 para la fase IV.

Entre las cerámicas fenicias de la calle Méndez Núñez-plaza de las Monjas creemos que existen materiales significativamente más antiguos que los niveles VIII-VII de Tiro (González de Canales *et al.* 2004: 185, 198-199; 2006: 114-115; 2018: 70-71, 72, fig. 2; Mederos 2006: 172-175; 2013: 486-490), aunque otros colegas consideran que una simple similitud en dibujos no es suficiente y existen explicaciones alternativas a las identificaciones propuestas por González de Canales *et al.* (Núñez Calvo 2018a). Por otra parte, Núñez Calvo (2018b: 334, 338) cree que si el contexto fuera más antiguo hay ausencia de importaciones del Chipro-Geométrico III, de decoraciones concéntricas en la panza de las jarras o de cantimploras.

Desde nuestro punto de vista, el problema de partida procede principalmente de que se trabaja con una excavación antigua de 1973, hace casi 50 años, donde Bikai (1978: 1) no contó con ninguna otra ayuda de campo y los niveles fueron excavados por obreros, que por muy cualificados que puedan ser, no pueden matizar a veces determinados problemas estratigráficos en un tell con una larga ocupación, con intrusiones y fosas romanas y otomanas. Esto explica la presencia de material redepositado en casi todos los niveles, normalmente con porcentajes menores al 1%. A ello se suma que ningún estrato ha sido objeto de datación radiocarbónica, por lo que toda la propuesta cronológica de Bikai (1978 y 1987) se fundamenta en paralelos tipológicos con cerámicas egeas y chipriotas de las regiones vecinas que sólo nos aportan una datación relativa. Sin embargo, Núñez Calvo (com. pers.) considera que la distribución estratigráfica de los tipos es perfectamente coherente en la acrópolis de Tiro, pues los contextos cerrados y fases de la necrópolis de Al Bass lo corroboran. En cambio, Gilboa y Sharon (2003: 38; Gilboa 2013: 331 n. 20) consideran que el estrato Tiro 14, por ejemplo, está completamente mezclado.

Un elemento relevante es la presencia de cráteras, una forma antigua que tiene su máximo en el estrato XIV de Tiro, pero continúa su uso hasta el estrato IX, de donde proceden 129 de los 137 ejemplares identificados (Bikai 1978: 31-32, tabla 5a), aunque hay pocos ejemplos

ilustrados en su libro, para luego ser residuales en los niveles VIII, VI y V cuando desaparecen. Se identificaron dos ejemplares en Huelva, una crátera con tres fragmentos que permite su reconstrucción, mientras los dos fragmentos de la segunda son menos precisos (González de Canales *et al.* 2004: 51, lám. 9/27-28 y lám. 47/1-2), que han sido asignadas correctamente a Chipre por el color de la pasta y el tono mate de las decoraciones (Núñez Calvo 2018a: 112). La mejor conservada ha sido atribuida al Chipro-Arcaico I, fase que Núñez Calvo (2018a: 113, 141-142; 2018b: 338) cree que podría comenzar a finales del s. IX a.C. y está presente en Megiddo VA-IVB, por lo que no podría utilizarse para tratar de identificar una fase aún más antigua en Huelva, de frecuentación, no asentamiento (Mederos 2006: 172). En el caso de las cráteras, al ser una cerámica de grandes dimensiones donde se mezclaba el vino con agua, cabe presumir una mayor longevidad en su uso, hasta que finalmente son depositadas en contextos funerarios. Ello las convierte en unas piezas que deben valorarse con prudencia. En las tumbas porque pueden aparecer en contextos más recientes que la propia crátera, la cual normalmente ha tenido un mayor uso. En los ámbitos domésticos coloniales porque es complicado que una cerámica frágil viaje décadas después de haber sido usada y sería más lógico que llegase en fechas contemporáneas a su fabricación, pero perviva su utilización, porque es una pieza especial.

Otras cerámicas de las que sugeríamos su posible mayor antigüedad eran las bases anilladas de tipo 11 de los cuencos hondos o *deep bowl* con carena baja de tipo 6 (Bikai 1978: 32, 48, tabla 11a), de las que se identificaron 13 ejemplares en Huelva (González de Canales *et al.* 2004: 46, lám. 7, 15-21 y lám. 47, 8-11; 2018: 70-71), aunque a falta de ejemplares completos no sería prudente usarlos de momento para los inicios de esa fase antigua de frecuentación que sugeríamos correlacionar con Tiro 14 (Mederos 2006: 172). Son muy escasas entre los estratos XIV-VIII, con un ejemplar en los niveles IX y VIII, e incluso no aparecen en los estratos XIII-XII y XI, por lo que apuntan a una significativa antigüedad. No obstante, Núñez Calvo (2018a: 140; 2018b: 335-336) sugiere que las bases de tipo 11 son más gruesas y en algún caso puedan pertenecer a cuencos con bases anulares altas, los cuales aparecen en el N de Israel en Megiddo VA-IVB, la fase 3 en Samaria o el estrato III de Tell Abu Hawam. Por otra parte, no aparecen bordes de cuencos hondos de tipo 6 en Huelva, pues suele ser una forma más frecuente en el Levante en contextos del Bronce Final (Núñez Calvo,

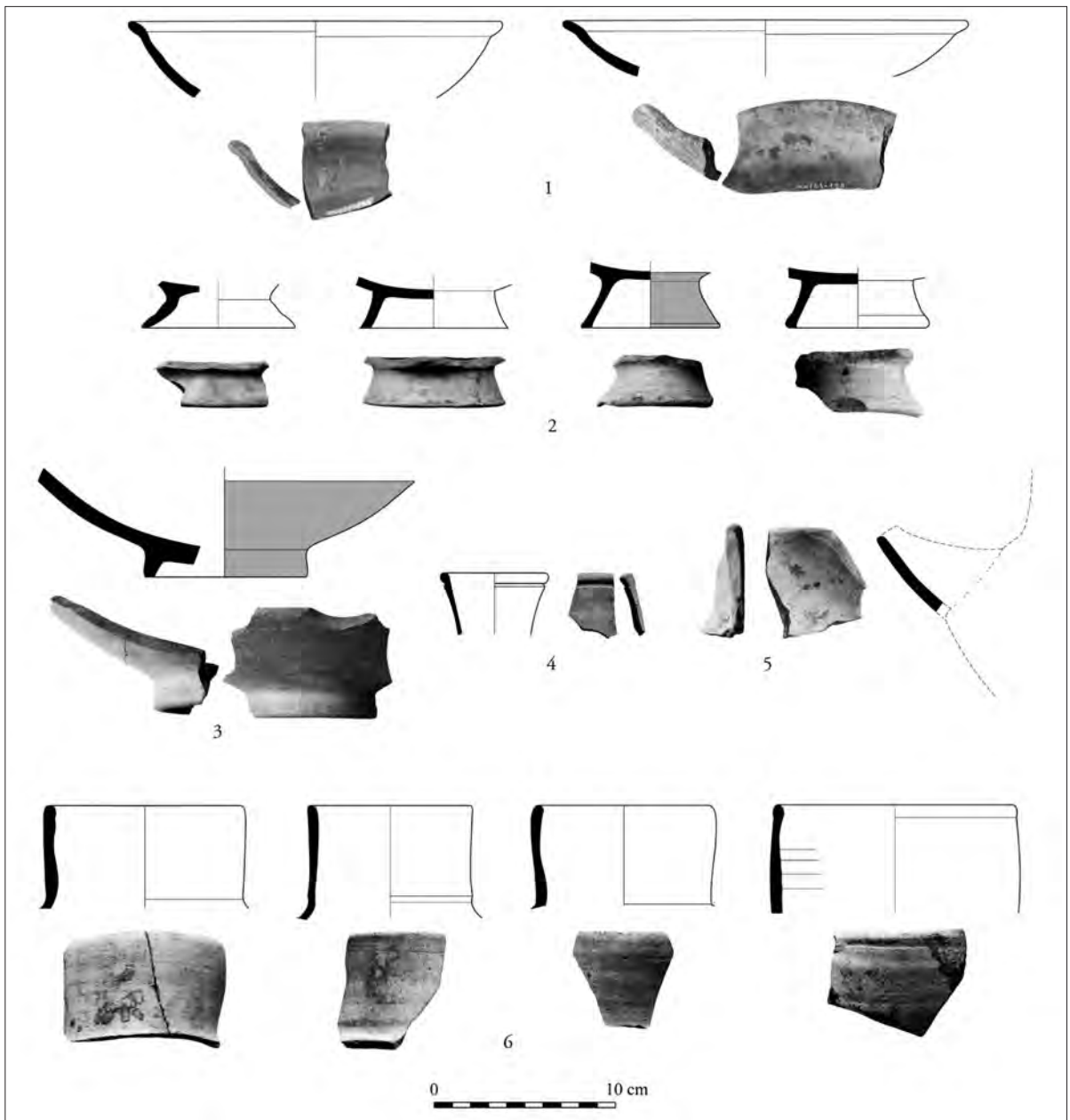


Fig. 8: Cerámica fenicia oriental, formas antiguas de la calle Méndez Núñez-plaza de las Monjas: 1. Platos tipo 14 de Tiro. 2. Bases tipo 11 de cuencos hondos. 3. Base tipo 10 de cuenco hondo. 4. Borde de jarro tipo 9. 5. Escanciadores o jarra tipo 11. 6. Bordes de ánforas tipo 12 (González de Canales *et al.* 2018: 72 fig. 2).

com. pers.), y la lógica indica que si se identificaron 13 bases debería haber aparecido también algún borde que son mucho más frecuentes que las bases en Tiro 14. Estos cuencos hondos de tipo 6 sólo aparecen significativamente hasta Tiro 14 con un 1,2%, para después figurar residualmente hasta Tiro 7 (fig. 8, 2).

Los denominados cuencos tipo 6 de Huelva (González de Canales *et al.* 2004: 48, lám. 8, 25-30 y lám. 48, 8-9), que no se correlacionan directamente con tipos de Tiro, se ha sugerido que podrían ser próximos a los cuencos tipo 4 y este tipo de bordes también aparecen en cuencos dobles de incensarios en Chipre (Núñez Calvo

2018a: 138-139; Bikai 1987: lám. 17, 415-416). Estos cuencos tipo 4 son residuales hasta Tiro 8.

Otra base anular, la tipo 10 de Tiro (Bikai 1978: 32, 48 tabla 11a), aparece con un único ejemplar en Huelva (González de Canales *et al.* 2004: 46, lám. 7, 14 y 47, 7; 2018: 71) y como el tipo 11 tiene su máxima presencia en el estrato XVII, con un 0,66%, aunque continúa puntualmente hasta Tiro 10.2, pero no sería una asignación correcta según Núñez Calvo (com. pers.) pues no cree que sea el tipo 10 y puede tratarse incluso de una base anular de crátera chipriota (fig. 8, 3).

La identificación “con reservas” de dos ejemplares de Huelva del plato tipo 14 de Tiro (González de Canales *et al.* 2004: 38, lám. 3, 28-29 y lám. 45, 5-6; 2018: 70), que ya son residuales en Tiro 13 por ser una forma del Bronce Final, ha sido modificada y se ha propuesto asignarlos a platos del tipo 2-3 de Tiro (Núñez Calvo 2018a: 127-128; 2018b: 335), que aparecen en el estrato IV de Tiro para tener su máximo en el nivel III, aunque siguen siendo frecuentes en los estratos II y I (fig. 8, 1).

El mejor ejemplo para defender la antigüedad de la serie cerámica de la calle Méndez Núñez-plaza de las Monjas creemos que son los 11 ejemplares de las ánforas tipo 12 de Tiro con bordes altos (González de Canales *et al.* 2004: 68, lám. 13, 1-11 y 51, 1-11; 2018: 71; Mederos 2006: 172, 175, tabla 7; Gilboa 2013: 321), muy bien representadas en el estrato XV de Tiro con 39 ejemplares, que alcanzan en el nivel XIV un máximo de 80 fragmentos y descienden ligeramente en el estrato XIII-1 con 65 piezas. No obstante, siguen estando presentes hasta el estrato IX con 16 casos, para desaparecer en los niveles VIII, VI y V, e identificarse sólo un ejemplar en los niveles VII, IV y III. Si hay sólo tres ejemplares entre los estratos VIII-III de Tiro, resulta dudoso que los 11 casos de Huelva no hayan llegado antes de Tiro 9, durante las fases XIII-IX, niveles que Bikai (1978: 68; 1987: 68-69, tabla 2; Schreiber 2003: 208 n. 94) sitúa entre el 1070/1050-800 a.C. y nosotros entre el 975-900 a.C. (Mederos 2005: 334 tabla 16; 2006: 178, tabla 10). Se trata de cuellos cilíndricos de altura variable, pero más altos que las ánforas de tipo 9, con engrosamiento redondeado al interior del borde. Esta forma ya se la considera un tipo escaso desde el nivel XI (Bikai 1978: 44-45, tablas 10a y 10b). La conclusión más lógica para estos ejemplares aislados de los estratos VII, IV y III es que debe haber intrusiones de los niveles más recientes en estratos más antiguos, por lo que hemos propuesto correlacionar estas ánforas de tipo 12 con el nivel XIII de Tiro

donde suponen el 2,54% (Mederos 2006: 172, 175, tabla 7), aunque sin descartar que podrían provenir de los niveles XII o IX, donde se mantienen con un 0,91 y 0,84%, mientras casi desaparecen en los niveles XI y Xb y Xa. Esta ánfora, ausente en otros yacimientos del Mediterráneo Occidental, presupone una fase anterior a las conocidas previamente en la península Ibérica (González de Canales *et al.* 2004: 181; 2006: 115; 2018: 71). El ánfora tipo 12 de Tiro se vincula con el horizonte Kouklia en Chipre (Bikai 1987: 67-69, tabla 2) (fig. 8, 6).

Sin embargo, Torres (2005: 298) y más recientemente Núñez Calvo (2018a: 109-111) indican que bordes de ánforas similares al tipo 12 de Tiro, redondeados por dentro, aparecen en contextos de la segunda mitad del s. IX a.C. en Horvat Rosh Zayit IIA, Megiddo VB y VA-IVB o Samaria. Los bordes incurvados no serían ánforas tipo 12 sino que corresponderían a ánforas decoradas (Bikai 1987: lám. 21, 574-575 y 578). Por otra parte, los fragmentos conservados en Huelva, tanto de hombros del cuerpo del ánfora como la forma ancha de las bases con un ligero aplanamiento y la forma redondeada de las asas sugiere que no se trata de ánforas arcaicas con perfil triangular del Hierro Inicial y prima una forma piriforme. La fase IIA de Horvat Rosh Zayit es situada por Núñez Calvo (2018b: 329, fig. 1) entre 840-825 a.C., paralela a Tiro 7-6 (Núñez Calvo 2018b: 332 fig. 2). La serie de Horvat Rosh Zayit IIA, presenta tres conjuntos de dataciones, uno de seis, combinadas 2733±15 BP, 912-827 a.C., otra de cuatro dataciones, combinadas 2722±19 BP, 907-817 a.C. y una tercera de nueve dataciones, combinadas 2709±15 BP, 899-814 a.C. (Sharon *et al.* 2007: 34-35 tabla), actualizadas a la curva intcal20, lo que implica una cronología entre el 912-814 a.C., optando Núñez Calvo por la opción más reciente, 850-800 a.C.

Otra forma antigua es el plato tipo 13 de Tiro (Bikai 1978: 20-25, tabla 3a), presente en Huelva con 11 ejemplares (González de Canales *et al.* 2004: 37-38, lám. 3/14-22 y lám. 45, 1-4), algunos de los cuales han sido considerados por Núñez Calvo (2018a: 129) como platos del tipo 7 por el engrosamiento cuadrangular del labio y otros podrían ser platos del tipo 6 cuando tienen el borde incurvado. Los platos de tipo 13, que tienen una ligera carena debajo del borde, después de un máximo en los niveles XIII-XI, casi desaparecen a partir del nivel VI donde aún tienen un 3,17%, sustituidos por los platos tipo 7 que sólo están presentes significativamente a partir de Tiro 4, con el 8,98%. No obstante, si lo comparamos

estos posibles platos de tipo 13 con los platos tipo 7 presentes en Huelva, con 380 ejemplares (González de Canales *et al.* 2004: 35, lám. 1, 1-24 y 44, 1-3), hay algunas diferencias.

Otras piezas interesantes son los jarros tipo 9 y tipo 10 de Tiro (Bikai 1978: 37, 34, tabla 6a), ambas presentes en Huelva. El tipo 9 cuenta con un ejemplar (González de Canales *et al.* 2004: 62-63, lám. 11, 46 y 50, 24; 2018: 71) y el tipo 10 con tres fragmentos (González de Canales *et al.* 2004: 63, lám. 11, 47-49 y lám. 50, 25), si bien son formas que tienen una mayor pervivencia. El jarro tipo 9 tiene su mayor representación en el estrato XIIIa, con un 1,06%, aunque se mantiene con porcentajes bajos hasta el estrato VI con el 0,59%, siendo asignado al horizonte Kouklia en Chipre (Bikai 1987: 62, lám. 4-6). Sin embargo, el ejemplar de Huelva sólo tiene el borde, pero no conserva el cuello y el cuerpo, que es lo más indicativo, además de haber un paralelo en Hazor VI (Núñez Calvo 2018a: 117; 2018b: 337). Por otra parte, las decoraciones de círculos concéntricos, presentes en los fragmentos de la lámina 11, 47 y 49 de Huelva, aparecen hasta el estrato VI de Tiro y el final de Al Bass II y tampoco cabe descartar que puedan ser *Black on Red* chipriotas (Núñez Calvo 2018a: 117; 2018b: 337-338). Su pervivencia hasta la fase más reciente de Méndez Núñez-plaza de las Monjas se observa con la presencia de un ejemplar en la calle Concepción 3 (González de Canales *et al.* 2017: 18, 16 lám. 6/14, 36, lám. 16, 4). Más frecuente es el jarro 10 que tiene máximos en los estratos XIIIb con el 5,92% y el Xb con el 5,06%, pero mantiene hasta un 1,86% en el estrato V, para pasar después a ser residual (fig. 8, 4).

Finalmente, entre las formas cerámicas antiguas que merecen resaltarse por su excepcionalidad también hay escanciadores o *spouted jug*, la jarra tipo 11 (Bikai 1978: 41, 34, tabla 6a), que presenta dos fragmentos en el estrato XV de Tiro con el 0,16%, cuatro en el nivel XIV con el 0,27% y es más común entre los estratos XIII-IX, donde oscila entre un máximo del 0,63% del estrato XII y el 0,37% del estrato IX. La propia Bikai (1978) asume implícitamente que los fragmentos aislados que aparecen en los estratos V, IV, II y I deben ser redepositados por intrusiones o mezclas al excavar, aunque Núñez Calvo (com. pers.) señala que aparecen hasta el final de Al Bass II, coetáneo a Tiro 6 y Torres (2005: 298) indica su presencia en estratos como Megiddo VB o Tel Dor. En Huelva se identificaron con dudas tres posibles fragmentos del pico vertedor, dibujados en sección (González de Canales *et al.* 2004: 64, lám. 11, 53-55 y 50, 26; 2018: 71), que también son considerados

dudosos por Núñez Calvo (2018a: 124) por la forma de su sección y orientación. En cambio, ha propuesto la asignación a este tipo de otros tres posibles fragmentos (Núñez Calvo 2018a: 124; 2018b: 334), dos bordes inicialmente asignados a jarras de cuello anillado del tipo 8 (González de Canales *et al.* 2004: lám. 11, 27 y 29, lám. 50, 18) y un fragmento con decoración de bandas horizontales pintadas que suelen aparecer por debajo del pico vertedor, el cual fue clasificado como estilo IV de Sarepta, aunque sin descartar una posible vinculación con un jarro de tipo 11 con *pitrorro* o *caño colador* (González de Canales *et al.* 2004: 63, lám. 11, 52) (fig. 8, 5).

## CONCLUSIONES. SIGNIFICADO Y CRONOLOGÍA DEL PRIMER SANTUARIO FENICIO EN HUELVA

El yacimiento de Huelva ha sido considerado un poblado del Bronce Final II fundado desde el 1250 a.C. (Gómez Toscano 2009: 37); un enclave tartésico en el cabezo de San Pedro, fundado en el s. X a.C., antes de los contactos con los fenicios en el s. IX a.C. (Delgado 2008: 355, 358); un *emporio* o establecimiento comercial fenicio mediante un acuerdo con un asentamiento indígena inmediato (Mederos 2006: 170-171; Torres 2008: 71; Ruiz-Gálvez 2013: 297-299; Ruiz Mata *et al.* 2014: 108 n. 164); un emporio precolonial fenicio con participación indígena (González de Canales *et al.* 2008b: 61; 2009: 3-4), que en una fase más tardía pudo alcanzar 20 ha (González de Canales *et al.* 2006: 116, fig. 11; 2009: 12); un barrio fenicio al pie del cabezo de San Pedro, junto al actual puerto (Ortega 1999: 268-270, fig. 2); o bien una ciudad fenicia (González Wagner 2011: 121; Padilla Monge 2016: 98, 108) de unas 2 ó 3 ha (Pellicer 1986-1989: 191, fig. 1) que alcanzó 10 ha en el s. VII a.C. (Pellicer 1996: 121).

Desde nuestro punto de vista, este asentamiento indígena se remonta con seguridad al s. XI a.C. durante el Bronce Final IIIA, 1050-950 a.C., y probablemente ya en el Bronce Final IIC 1150-1050 a.C. Desde entonces debía mantener contactos con marinos chipriotas, filisteos y fenicios (Gómez Toscano y Mederos 2018: 118, 122, fig. 5). Un ejemplo de ello sería el hallazgo de la ría de Huelva, que asociamos a un pecio cargado de chatarra de bronce hundido hacia el 950 a.C., un momento coetáneo con la construcción de un santuario fenicio junto al puerto de Huelva (Mederos 2006: 168-171; 2008: 77-79, 83-85).

Una propuesta alternativa para Huelva es defendida por Delgado (2008: 353-354, 359; 2010: 5-7), quien considera que entre el 1050-900 a.C. *no conocemos asentamientos estables en el entorno de la Ría de Huelva*, las deposiciones metálicas en la ría de Huelva serían actos rituales intencionales y cree que tanto Huelva como El Carambolo, antes de la fundación del poblado y santuario, eran inicialmente *lugares [que] acogían celebraciones sociales y rituales en las que participaban grupos dispersos de la región*, por lo que posteriormente *se convirtió, desde el punto de vista de las gentes locales, en el lugar idóneo para canalizar los nuevos tráficos* con los marinos fenicios. Estos paisajes sacros indígenas son considerados áreas liminales que conectan rutas marítimas y territorios interiores.

Esta diferente perspectiva, desde el punto de vista de los materiales cerámicos, se refleja en la propuesta de una ocupación de Huelva desde el 1250 a.C. (Gómez Toscano 2009: 37), frente a quienes consideran que la cerámica documentada en cabezo de San Pedro es coetánea a las identificadas en Méndez Núñez-plaza de las Monjas (González de Canales *et al.* 2010: 653, 667-670).

Todos los asentamientos que conocemos con una fase fenicia inicial en el Mediterráneo Central y Occidental, bien por disponer de dataciones radiocarbónicas como Utica, La Rebanadilla o Huelva, o bien por haber referencias textuales en las fuentes clásicas como Gadir o Lixus, corresponden a santuarios litorales accesibles por mar o ríos, en ocasiones en islas como La Rebanadilla y Gadir, que estimulaban la celebración de mercados en sus inmediaciones, facilitando las transacciones comerciales de mercaderes fenicios e indígenas mediante juramentos realizados ante la divinidad del santuario, lo que atraía también a artesanos locales u otros foráneos que se instalaban en sus proximidades (López Castro 2018; Mederos 2018). Este espacio dedicado al intercambio era denominado *mqm hdš*, “mercado nuevo” (Garbini 1992: 186-187), también asociado a la plaza donde desembocan las puertas de una ciudad (Lipinski 1994: 123), o a un espacio abierto cubierto por una columnata (Lipinski 1994: 123-124).

El santuario fenicio de Méndez Núñez-plaza de las Monjas parece estar inmediato a un asentamiento indígena, pues las cerámicas fenicias suman 3233 fragmentos, el 40,73% del total, mientras que las cerámicas del Bronce Final IIIB local suponen 4703 ejemplares, el 59,26%.

Podría argumentarse que por la destrucción de los niveles bajo el freático, no hay continuidad del santuario en los estratos inferiores y estamos en un contexto doméstico

y no cultural, pero la cerámica de cocina indígena y fenicia sólo suma 156 fragmentos, lo que supone sólo un 1,96% del total, y en cambio, por ejemplo, sólo las lucernas fenicias de un pico suponen el 6,40% del total cerámico.

Las fases II y III del santuario más reciente contaban con cinco betilos como elementos culturales donde se manifestaba la divinidad y es posible que así sucediera en los niveles inferiores donde también se recuperaron otros cinco betilos agrupados.

Respecto al momento de fundación de estos santuarios, y más en concreto de los casos de Huelva y La Rebanadilla, los tres primeros análisis de carbono 14 sobre huesos de bóvidos recuperados en la calle Méndez Núñez-plaza de las Monjas (Nijboer y van der Plicht 2006: 32 tabla; 133 tabla 2): GrN-29.512= 2775±25 BP (cal AC 2σ 998 (916) 834; GrN-29.511= 2745±25 BP (cal AC 2σ 969 (898) 828); y GrN-29.513= 2740±25 BP (cal AC 2σ 968 (896-845) 827), presentan una mediana calibrada entre 915-845 a.C. (fig. 9).

Dos dataciones posteriores sobre semillas, recuperadas mediante cribado por González de Canales *et al.* (2004: 175), son interesantes porque proceden de un segundo laboratorio. En un caso ratifica la serie anterior sobre una semilla de *Hordeum vulgare*: Beta-406.165= 2800±30 BP (cal AC 1009 (968-925) 840), mientras que otra, procedente de una semilla de *Vitis vinifera*: Beta-295.783= 2640±30 BP (Pérez Jordá *et al.* 2017: 533, tabla 2) (cal AC 832 (804) 793), podría sugerir que había originalmente una sucesión estratigráfica y no un estrato homogéneo como algunos ya hemos sugerido (Mederos 2006: 172, 175; Gilboa 2013: 321; Domínguez Monedero 2017: 218; Núñez Calvo 2018a: 164). Incluso se ha llegado a sugerir que podría tratarse de un depósito de sedimentación de larga duración (Núñez Calvo 2018a: 164), en concreto un depósito en el espacio intermareal del puerto, por lo que no serían estratos de ocupación (Gómez Toscano 2013: 295, nº 6), hipótesis que no compartimos. No obstante, la fase más reciente parece estar escasamente representada entre los materiales datados, que se asocian en su práctica totalidad al momento más antiguo. Esta última fecha podría hacer pensar que la viticultura corresponde a un momento más avanzado de la instalación de los fenicios, pero una última datación se ha realizado también sobre semilla de *Vitis vinifera*: CNA-3773.1.1= 2795±30 BP (González de Canales *et al.* 2020: 39, 38, tabla 1) (cal AC 1041 (967-923) 837) y confirma por un tercer laboratorio,

EL SANTUARIO FENICIO DE LA CALLE MÉNDEZ NÚÑEZ-PLAZA DE LAS MONJAS (HUELVA, ESPAÑA) Y EL INICIO DE LOS ASENTAMIENTOS FENICIOS EN LA PENÍNSULA IBÉRICA

Yacimiento	Provincia	B.P.	±	máx. CAL (2 δ)	med. CALAC	mín. CAL (2 δ)	Lab. nº & Material
La Rebanadilla, fase IV, pozo	Málaga	2810	40	1107 1049	971 959 936	835 835	Beta-AMS-264.171/C
La Rebanadilla, fase IV, taller marfil	Málaga	2804	25	1044 1005	969 960 930	858 897	MAMS-24337-AMS/Marf elefante
La Rebanadilla, fase IV, taller marfil	Málaga	2793	38	1045 1016	967 963 922	833 832	MAMS-23744-AMS/Marf hipo
La Rebanadilla, fase IV, taller marfil	Málaga	2791	25	1010 1002	966 964 921	843 840	MAMS-24338-AMS/Marf hipo
La Rebanadilla, fase IV, taller metalúrgico	Málaga	2780	40	1041 1000	917	826 829	Beta-AMS-264.170/C
Méndez Núñez-Plaza de las Monjas, Huelva	Huelva	2800	30	1045 1009	968 961 925	840 840	Beta-406.165/S <i>Hordeum vulgare</i>
Méndez Núñez-Plaza de las Monjas, Huelva	Huelva	2795	30	1041 1015	967 963 923	837 889	CNA-3773.1.1/S <i>Vitis vinifera</i>
Méndez Núñez-Plaza de las Monjas, Huelva	Huelva	2775	25	1002 998	916	835 834	GrN-29.512/H <i>Bos taurus</i>
Méndez Núñez-Plaza de las Monjas, Huelva	Huelva	2745	25	968 969	898	819 828	GrN-29.511/H <i>Bos taurus</i>
Méndez Núñez-Plaza de las Monjas, Huelva	Huelva	2740	25	930 968	896 875 862 847 845	816 827	GrN-29.513/H <i>Bos taurus</i>
La Rebanadilla, fase I	Málaga	2700	40	922 919	832	800 801	Beta-AMS-264.173/C
La Rebanadilla, fase I	Málaga	2610	40	895 893	806	573 590	Beta-AMS-264.172/C
La Rebanadilla, San Isidro, tumba 9, fase II	Málaga	2660	60	981 975	812	594 596	Beta-AMS-264.174/M
Méndez Núñez-Plaza de las Monjas, Huelva	Huelva	2640	30	894 832	804	777 793	Beta-295.783/S <i>Vitis vinifera</i>
Concepción 3, Huelva	Huelva	2630	30	890 830	802	774 790	Beta-429.022/S <i>Vitis vinifera</i>
Concepción 3, Huelva	Huelva	2590	30	812 811	796	594 673	Beta-406.164/S <i>Vitis vinifera</i>

Fig. 9. Dataciones disponibles para La Rebanadilla y el entorno de Huelva. Tipos de muestras: C= Carbón (*Charcoal*). S= Semillas (*Seeds, Charred Cereal Grains*). H= Hueso (*Bone*). MARF= Marfil (*Ivory*). Beta: Florida. CNA: Sevilla. GrN/A: Groningen. MAMS: Mannheim. Huelva, Concepción 3 (Pérez Jordá *et al.* 2017: 533 tabla 2), Huelva, Méndez Núñez-Plaza de las Monjas (Nijboer y van der Plicht 2006: 32 tabla 1; Pérez Jordá *et al.* 2017: 533 tabla 2; González de Canales *et al.* 2020: 38 tabla 1), La Rebanadilla (Arancibia *et al.* 2011: 137 tabla 1; Sánchez *et al.* 2011: 191, 193; 2012: 69-70, fig. 2-4 y com. pers.; Marzoli *et al.* 2016: 123 tabla 7). Curva de calibración Intcal20 según Reimer *et al.* (2020), gráfico según OxCal 4.4, comparada con curva de calibración Intcal98, Calib v. 4.2 según Stuiver *et al.* (1998).

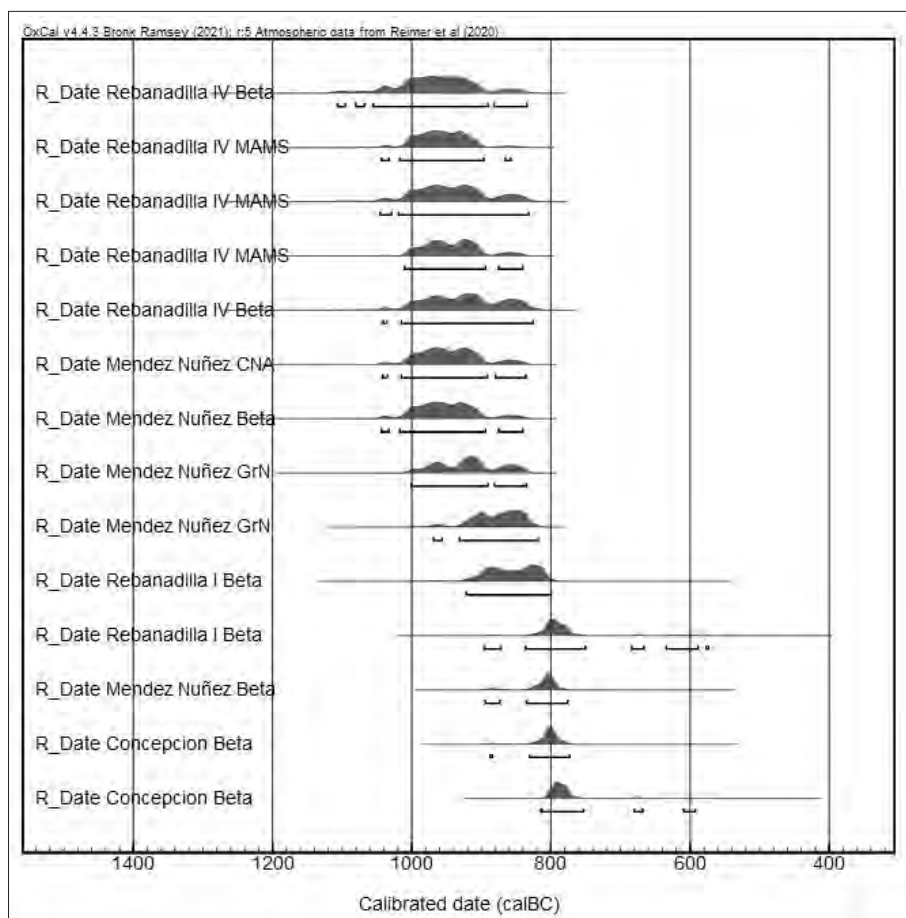


Fig. 10: Diferencia entre las dataciones de dos fases cronológicas presentes en Huelva y La Rebanadilla. Fase más antigua con La Rebanadilla IV y Méndez Núñez-plaza de las Monjas, c. 950-900 cal AC y fase reciente en La Rebanadilla I, Concepción 3 y Méndez Núñez-plaza de las Monjas c. 800 cal AC. Oxcal 4.4. Intcal20.

Groningen, Beta y finalmente el Centro Nacional de Aceleradores del CSIC en Sevilla, la antigüedad de la serie onubense.

En conjunto, esta serie de cinco dataciones de Méndez Núñez-plaza de las Monjas sugiere una media calibrada entre 968-845 cal a.C., de la que claramente se aleja la primera datación sobre *Vitis vinifera* con una mediana de 804 a.C.

Esta datación, que indica una fase más reciente de uso del santuario de la calle Méndez Núñez-plaza de las Monjas, parece ser contemporánea a la documentada en la excavación de la calle Concepción 3 de Huelva, donde se realizaron dos dataciones, ambas sobre semillas de *Vitis vinifera*: Beta-429.022= 2630±30 BP (Pérez Jordà *et al.* 2017: 533 tabla 2), (cal AC 815 (802) 799) y Beta-406.164= 2590±30 BP (cal AC 819 (796) 593), con una mediana de 802-796 AC. En esta fase ya se identifican importaciones de ánforas malagueñas en Huelva (González de Canales *et al.* 2017: 35, 32, lám. 14, 12), y en cambio no se han constatado las ánforas tipo 12 de Tiro.

Estos datos son confirmados y complementados por las dataciones radiocarbónicas de La Rebanadilla (Málaga). De la fase IV se realizaron primero dos dataciones, una procedente de un pozo ritual (Sánchez *et al.* 2018: 315 fig. 10): Beta-264.171= 2810±40 BP (cal AC 1049 (971-936) 835) y la otra de uno de los talleres metalúrgicos (Sánchez *et al.* 2011: 188, fig. 2 y com. pers.): Beta-264.170= 2780±40 BP (Sánchez *et al.* 2011: 191 y 2012: 69 tabla 2) (cal AC 1000 (917) 829), con una mediana calibrada entre 971-936 AC. Sin embargo, con el material cerámico actualmente publicado, Núñez Calvo (com. pers.) cree que se corresponde a comienzos del s. VIII a.C.

Por otra parte, en esta misma fase IV se localizaron tres talleres donde se trabajaba marfil importado (Marzoli *et al.* 2016: 102, fig. 13, 103, fig. 14). De estos contextos se realizaron en un segundo laboratorio en Mannheim tres nuevas dataciones de dos de los talleres (Marzoli *et al.* 2016: 123, tabla 7), una sobre marfil de elefante: MAMS-24337-AMS= 2804±25 BP (cal AC 1024 (969-

930) 897), y dos sobre marfil de hipopótamo: MAMS-23744-AMS= 2793±38 BP (cal AC 1039 (967-922) 839) y MAMS-24338-AMS= 2791±25 BP (cal AC 1008 (966-921) 851). Sus resultados implican una mediana aún más antigua, entre el 969-921 AC. Por otra parte, estas dataciones antiguas proceden de cuatro laboratorios diferentes, Groningen, Beta, Mannheim y CNA, con sede en cuatro países, Holanda, Estados Unidos, Alemania y España, lo que imposibilita que haya una desviación generalizada hacia fechas más antiguas (fig. 10).

Puede argumentarse que la fase III de La Rebanadilla no está fechada, pero los autores indican que no se aprecian diferencias significativas entre los materiales de las fases IV y III (Sánchez *et al.* 2011: 189; 2018: 320), aunque la fase IV sólo se documenta en los extremos NE, principalmente, y SO del yacimiento, superponiéndose el muro perimetral de adobe de la fase III sobre el posible pozo ritual de fundación de la fase IV (Sánchez *et al.* 2018: 313-314, 315, fig. 10). Si la fase IV se data ca. 975-925 a.C., una estimación prudente para la ampliación del santuario o fase III, que se cree muy poco separada de la fase IV, podría ser ca. 925-900 a.C., perviviendo hasta su abandono ritual durante buena parte del s. IX a.C. Resulta difícil pensar que están funcionando talleres especializados como los de marfil importado para las élites indígenas, a la vez que procesan metal de cobre que podría exportarse, sin un pequeño santuario o asentamiento inmediato. Puesto que el santuario de la fase III ocupa una gran superficie de 1,2 ha, cabe presumir que debió existir alguna estructura ritual previa más pequeña asignable a la fase IV, que no pudo ser detectada en las zonas excavadas, aunque serán futuras dataciones de la fase III y el estudio cerámico el que defina con más precisión la proximidad de ambos momentos constructivos.

Las dataciones de Huelva resultan incompatibles, según Núñez Calvo (2017: 20, fig. 5; 2018a: 171, 174), con la secuencia de Tiro de acuerdo con la cronología baja en el Levante, pues encuadra su cerámica con Tiro 8/7-4, la cual fecha entre el 850-770 a.C., con una posible prolongación hasta 750-740 a.C. Por ello considera que es posible que entre los niveles mezclados hubo estratos indígenas previos a la presencia fenicia lo que explicaría la antigüedad de algunas dataciones (Núñez Calvo 2017: 23, 20, fig. 5). Este momento más antiguo fue situado previamente por Gilboa (2013: 322) hacia el 850 a.C., quien también enfatiza los problemas estratigráficos del conjunto cerámico de Huelva, pero en cualquier caso 80 años antes que el margen inferior propuesto por Núñez Calvo. El problema

real no es tanto la correlación con los estratos de Tiro, sino la ausencia de dataciones radiocarbónicas para sus fases, que permitan valorar mejor la antigüedad y duración de cada una de ellas (Mederos 2005: 329-335, tabla 16).

En todo caso, estas propuestas partidarias de la cronología baja, como las de Núñez Calvo o Gilboa, no explican porqué en la península Ibérica la fase IV de La Rebanadilla, y su inmediata fase III, cuando se construyó o amplió un santuario fenicio de nueva fundación, presenta similar antigüedad que Huelva, a pesar de carecer de niveles indígenas previos del Bronce Final III. Por otra parte, la serie de La Rebanadilla procede de dos laboratorios (Beta, Mannheim) y la de Huelva se obtuvo en otros tres (GrN, Beta, CNA) y resultan coherentes entre ellas. Finalmente, las medianas calibradas de La Rebanadilla, 971-921 AC, y Huelva, 968-845 AC, sitúan en la segunda mitad del s. X y primera mitad del s. IX a.C. la utilización de estos dos santuarios litorales fenicios.

En conclusión, la fecha del primer establecimiento colonial de los fenicios en la península Ibérica, sigue siendo un motivo de discusión en la actualidad como ha podido apreciarse, pues oscilan entre el 950 y 770 a.C. Desde nuestro punto de vista comenzaría hacia mediados del s. X a.C. (Mederos 2006: 172, 2013: 486; 2020: 521), con una frecuentación previa más intensa durante la primera mitad del s. X a.C. Las sucesivas dataciones radiocarbónicas publicadas desde 2006, procedentes de distintos laboratorios, sólo han ido ratificando la necesidad de revisar las cronologías tradicionales.

## AGRADECIMIENTOS

Queremos agradecer la lectura y comentarios al texto de F. González de Canales y F. Núñez Calvo, y a Vicente Sánchez atender a nuestras consultas y cesión de fotografías. Este trabajo se adscribe al proyecto HAR2017-86334-R, *El sector norte de Utica fenicio-púnica (Túnez): espacios sagrados, morfología urbana y puerto de comercio (siglos IX a.C.-I d.C.)*, bajo la dirección de J.L. López Castro, del Ministerio de Economía, Industria y Competitividad.

Este trabajo está dedicado a Paloma Cabrera.

## BIBLIOGRAFÍA

ALMAGRO GORBEA, M.; GONZÁLEZ DE CANALES, F.; LLOMPART, J. (2018): Un ánfora ática de la 'Botkin class' en Huelva y la fecha final del emporio focense, *Ma-drider Mitteilungen* 59, 298-313.

- AMO Y DE LA HERA, M. DEL (1976): Dos factorías romanas de salazón. 1. Factoría en la calle Palos. Restos materiales de la población romana de Onuba, *Huelva Arqueológica* 2, 25-43.
- ARANCIBIA, A.; GALINDO, L.; JUZGADO, M.; DUMAS, M.; SÁNCHEZ, V. M. (2011): Aportaciones de las últimas intervenciones a la arqueología fenicia de la Bahía de Málaga, *Fenicios en Tartessos: nuevas perspectivas (Málaga, 2008)* (M. Álvarez Martí-Aguilar, ed.), B.A.R.-I.S. 2245, Oxford, 129-149.
- ARANCIBIA, A.; MORA, B. (2018): Malaka before the polis: a colonial emporium of the 7th Century BC inheritor of the archaic Phoenician settlement on the Guadalhorce river mouth, *De Huelva a Malaka. Los fenicios en Andalucía a la luz de los descubrimientos más recientes* (M. Botto, ed.), Roma, 351-369.
- BANDERA, M. L. DE LA; FERRER, E.; GARCÍA FERNÁNDEZ, F. J.; CAMACHO, M. (2004): Nuevas evidencias de cultos betílicos en Turdetania, III Congreso Español del Antiguo Oriente (Huelva, 2003), *Huelva Arqueológica* 20, 241-255.
- BELÉN DEAMOS, M. (2000): Itinerarios arqueológicos por la geografía sagrada del Extremo Occidente, *Santuarios fenicio-púnicos en Iberia y su influencia en los cultos indígenas. XIV Jornadas de Arqueología Fenicio-Púnica (Eivissa, 1999)* (B. Costa, J.H. Hernández, eds.), Eivissa, 57-102.
- BERROCAL, L.; SILVA, A.C. (2010): *O Castro dos Ratinhos (Barragem do Alqueva, Moura). Escavações num povoado proto-histórico do Guadiana, 2004-2007*, O Arqueólogo Português, Suplemento 6, Lisboa.
- BERROCAL, L.; SILVA, A. C.; PRADOS, F. (2012): El Castro dos Ratinhos. Un ejemplo de orientalización entre las jefaturas del Bronce Final del Suroeste, *Sidereum Ana II. El río Guadiana en el Bronce Final (Mérida, 2008)* (J. Jiménez Ávila, ed.), Badajoz, 167-183.
- BIKAI, P. M. (1978): *The Pottery of Tyre, Aris & Philips*, Warminster.
- BIKAI, P. M. (1987): *The Phoenician Pottery in Cyprus*, Nicosia.
- BRANDHERM, D. (2008): Vasos a debate. La cronología del Geométrico griego y las primeras colonizaciones en Occidente, *Contacto cultural entre el Mediterráneo y el Atlántico (siglos XII-VIII ANE): La Precolonización a debate* (S. Celestino, N. Rafel, X.L. Armada, eds.), Roma: 93-106.
- BRONK RAMSEY, C. (2020): *OxCal software version 4.4*, <https://c14.arch.ox.ac.uk/oxcal.html>
- CARRIAZO Y ARROQUIA, J. DE M. (1973): *Tartessos y El Carrañolo. Investigaciones arqueológicas sobre la Protohistoria de la Baja Andalucía*, Madrid.
- COLDSTREAM, J. N. (1968): *Greek Geometric Pottery. A survey of ten local styles and their chronology*, London.
- COLDSTREAM, J. N. (1995): Greek Geometric and Archaic Import from the Tombs of Amathus-II, *Report of the Department of Antiquities Cyprus* 1995, 199-214.
- COLDSTREAM, J. N. (1998): The First Exchanges Between Euboeans and Phoenicians: Who Took the Initiative?, *Mediterranean Peoples in Transition. Thirteenth to Early Tenth Centuries BCE. In Honor of Professor Trude Dothan*, (S. Gitin, A. Mazar, E. Stern, eds.), Jerusalem, 353-360.
- DELGADO HERVÁS, A. (2008): Fenicios en Iberia, *De Iberia a Hispania* (F. Gracia, ed.), Madrid-Barcelona, 347-474.
- DELGADO HERVÁS, A. (2010): Encuentros en la liminalidad: espacios sagrados, contactos e intercambios en el sur de Iberia en los inicios del I milenio a.C., *International Congress of Classical Archaeology (Rome, 2008)*, *Bolletino di Archeologia, volume speciale*, 1-14.
- DOMÍNGUEZ MONEDERO, A. (2013): Los primeros griegos en la península ibérica (s. IX-VI a.C.): mitos, probabilidades, certezas, *El Oriente griego en la Península Ibérica: epigrafía e historia* (M.P. de Hoz, G. Mora, eds.), Madrid, 11-42.
- DOMÍNGUEZ MONEDERO, A. (2017): Euboeans in the Far West? New data and interpretations, *An Island between two Worlds. The Archaeology of Euboea from Prehistoric to Byzantine Times* (Z. Tankosic, F. Mavridis, M. Kosma, eds.), Athens, 215-234.
- ESCACENA CARRASCO, J. L. (2009): La Éggersis de Melqart. Hipótesis sobre una teología solar cananea, *Complutum*, 20 (2), 95-120.
- FANTALKIN, A.; FINKELSTEIN, I.; PIASETZKY, E. (2011): Iron Age Mediterranean Chronology: A Rejoinder, *Radio-carbon* 53 (1), 179-198.  
DOI: <https://doi.org/10.1017/S00033822200034469>
- FERNÁNDEZ JURADO, J. (1987a): Excavaciones de urgencia del solar nº 5 de la calle Méndez Núñez (Huelva), 1985, *AAA 1985, III, Actividades de Urgencia*, 174-176.
- FERNÁNDEZ JURADO, J. (1987b): Excavaciones de urgencia en el solar nº 4-6 de la calle Méndez Núñez en Huelva, *AAA 1985, III, Actividades de Urgencia*, 185-186.
- FERNÁNDEZ JURADO, J. (1988-1989): Presencia de cerámicas etruscas en Huelva, Tartessos y Huelva, *Huelva Arqueológica* 10-11 (3), 101-120
- FERNÁNDEZ JURADO, J.; GARCÍA SANZ, C. (2001): Excavaciones arqueológicas en el solar 7-13 de la calle Méndez Núñez y 12 de la Plaza de las Monjas de Huelva, *AAA 1997, III, Actividades de Urgencia*, 336-339.
- FERNÁNDEZ JURADO, J.; RUFETE, P. (1990): Excavación arqueológica en el solar nº 8 de la calle Méndez Núñez, *AAA 1987, III, Actividades de Urgencia*, 280-284.
- FERNÁNDEZ JURADO, J.; RUFETE, P.; GARCÍA SANZ, C. (1994): Cerámicas griegas en el solar nº 5 de la C/Méndez Núñez de Huelva, *Iberos y griegos: lecturas desde la diversidad (Ampurias, 1991)* (P. Cabrera, R. Olmos, E. Sanmartí, eds.), Huelva, 67-96.
- FILÓSTRATO (1992): *Vida de Apolonio de Tiana*, Trad. A. Bernabé Pajares, Biblioteca Clásica Gredos 18, Madrid.
- GARBINI, G. (1992): Magomadas, *RSF* 20 (2), 181-187.  
DOI: <https://doi.org/10.1007/BF00299714>

- GILBOA, A. (2013): À-propos Huelva: a reassessment of 'Early' Phoenician in the West, *Tarteso. El emporio del metal (Huelva, 2011)* (J. Campos, J. Alvar, eds.), Córdoba, 311-342.
- GILBOA, A.; SHARON, I. (2003): An Archaeological Contribution to the Early Iron Age Chronological Debate: Alternative Chronologies for Phoenicia and their Effects on the Levant, Cyprus and Greece, *Bulletin of the American Schools of Oriental Research* 332, 7-80.  
DOI: <https://doi.org/10.2307/1357808>
- GILMOUR, G. (1997): The Nature and Function of Astragalus Bones from Archaeological Contexts in the Levant and Eastern Mediterranean, *OJA* 16 (2), 167-175.  
DOI: <https://doi.org/10.1111/1468-0092.00032>
- GIMATZIDIS, S.; WENINGER, B. (2020): Radiocarbon dating the Greek Protogeometric and Geometric periods: The evidence of Sindos, *Plos One* 15 (5), 1-28.  
DOI: <https://doi.org/10.1371/journal.pone.0232906>
- GÓMEZ TOSCANO, F. (2009): Huelva en el año 1000 a.C., un puerto cosmopolita entre el Atlántico y el Mediterráneo, *Gerión* 27 (1), 33-65.
- GÓMEZ TOSCANO, F. (2012): El Bronce Final en el Bajo Guadiana: Huelva y la resolución de un paradigma, *Sidereum Ana II. El río Guadiana en el Bronce Final* (J. Jiménez Ávila, ed.), Madrid, 309-326.
- GÓMEZ TOSCANO, F. (2013a): El mundo mediterráneo y Tarteso a la luz de nuevas evidencias, *Tarteso. El emporio del metal (Huelva, 2011)* (J. Campos, J. Alvar, eds.), Córdoba, 289-309.
- GÓMEZ TOSCANO, F. (2013b): Contactos del Mediterráneo oriental en el suroeste de la Península Ibérica durante los siglos XIV-VIII a.C. ¿Marinos orientales o Fenicios atemporalizados, *Onoba*, 1, 79-98.  
DOI: <https://doi.org/10.33776/onoba.v0i1.1858>
- GÓMEZ TOSCANO, F.; MEDEROS, A. (2018): La reanudación de los intercambios entre el Mediterráneo Oriental y el Occidental después de la crisis del siglo XII AC. Un fragmento de cerámica a torno pintada del Heládico/Minoico Final IIC en Huelva (1150-1050 AC), *CPAUM* 44, 115-131.  
DOI: <https://doi.org/10.15366/cupaum2018.44.006>
- GONZÁLEZ DE CANALES, F.; MONTAÑO, A.; LLOMPART, J. (2020): The beginning of grape cultivation in the Iberian Peninsula: a reappraisal after the Huelva (southwestern Spain) archaeological finds and new radiocarbon datings, *Onoba* 8, 35-42.  
DOI: <https://doi.org/10.33776/onoba.v8i0.3651>
- GONZÁLEZ DE CANALES, F.; SERRANO, L.; LLOMPART, J. (2004): *El emporio fenicio precolonial de Huelva (ca. 900-770 a.C.)*, Madrid.
- GONZÁLEZ DE CANALES, F.; SERRANO, L.; LLOMPART, J. (2006): Las evidencias más antiguas de la presencia fenicia en el sur de la península, *Tiempos de Púrpura. Málaga antigua y antigüedades hispanas (Vélez-Málaga, 2006)* I (M. Corrales et al., eds.), Málaga, 105-128.
- GONZÁLEZ DE CANALES, F.; SERRANO, L.; LLOMPART, J. (2008a): Tarsis y la monarquía unificada de Israel. Con un Addendum sobre la deposición primaria de los materiales de época emporitana-precolonial exhumados en Huelva, *Gerion* 26 (1), 61-88.
- GONZÁLEZ DE CANALES, F.; SERRANO, L.; LLOMPART, J. (2008b): The emporium of Huelva and Phoenician Chronology, *Beyond the Homeland: Markers in Phoenician Chronology* (C. Sagona, ed.), Leuven, 631-655.
- GONZÁLEZ DE CANALES, F.; SERRANO, L.; LLOMPART, J. (2009): The two phases of Western Phoenician expansion beyond the Huelva finds: An interpretation, *Ancient West and East* 8, 1-20.  
DOI: <https://doi.org/10.2143/AWE.8.0.2045835>
- GONZÁLEZ DE CANALES, F.; SERRANO, L.; LLOMPART, J. (2010): El inicio de la Edad del Hierro en el Suroeste de la Península Ibérica, las navegaciones precoloniales y cuestiones en torno a las cerámicas locales de Huelva, *IV Encuentro de Arqueología del Suroeste (Aracena, Huelva, 2008)* (J.A. Pérez Macías, E. Romero, eds.), Huelva, 648-698.
- GONZÁLEZ DE CANALES, F.; SERRANO, L.; LLOMPART, J.; GARCÍA FERNÁNDEZ, M.; RAMÓN TORRES, J.; DOMÍNGUEZ MONEDERO, A. J.; MONTAÑO, A. (2017): Archaeological finds in the deepest anthropogenic stratum at 3 Concepción Street in the city of Huelva, Spain, *Ancient West and East* 16, 1-61.
- GONZÁLEZ WAGNER, C. (2011): Fenicios en Tartessos: ¿interacción o colonialismo?, *Fenicios en Tartessos: nuevas perspectivas (Málaga, 2008)* (M. Álvarez Martí-Aguilar, ed.), B.A.R.-I.S. 2245, Oxford, 119-128.
- LEMONS, I. S. (2002): *The Protogeometric Aegean. The Archaeology of the Late Eleventh and Tenth Centuries BC*, Oxford.
- LIPINSKI, E. (1994): L'aménagement des villes dans la terminologie phénico-puniqué, *L'Africa Romana X (1)*, *Atti del Convegno di Studio (Oristano, 1992)* (A. Mastino, P. Ruggeri, eds.), Sassari, 121-133.
- LIPINSKI, E. (1995): *Dieux et déesses de l'univers phénicien et puniqué*, Leuven.
- LÓPEZ CASTRO, J. L. (2018): MQM. Phoenician Emporia in the South of the Iberian Peninsula (9th to 7th Centuries BC), *Trade and Colonisation in the Ancient Western Mediterranean: The Emporium from the Archaic to the Hellenistic Period* (E. Gailledrat, M. Dietler, R. Plana-Mallart, eds.), Montpellier, 79-90.
- LÓPEZ PARDO, F. (1996): Informe preliminar sobre el estudio del material cerámico de la factoría fenicia de Essaouira (antigua Mogador), *Homenaje al Profesor Manuel Fernández-Miranda* (M. A. Querol, T. Chapa, eds.), Madrid, 359-367.
- LÓPEZ PARDO, F.; MEDEROS, A. (2008): *La factoría fenicia de la isla de Mogador y los pueblos del Atlas*, Sevilla-Tenerife.

- MARZOLI, D.; BANERJEE, A.; SÁNCHEZ, V. M.; GALINDO, L. (2016): Elfenbeinwerkstätten in Huelva und La Rebanadilla (Málaga), den ältesten phönizischen Niederlassungen auf der Iberischen Halbinsel, *MM* 57, 88-138.
- MEDEROS MARTÍN, A. (2005): La cronología fenicia. Entre el Mediterráneo Oriental y el Occidental, *Congreso de Protohistoria del Mediterráneo Occidental. El periodo orientalizante (Mérida, 2003)* (S. Celestino, J. Jiménez Ávila, eds.), Mérida, 305-346.
- MEDEROS MARTÍN, A. (2006): Fenicios en Huelva, en el siglo X AC, durante el reinado de Hiram I de Tiro, *Spal* 15, 167-188. DOI: <https://doi.org/10.12795/spal.2006.i15.08>
- MEDEROS MARTÍN, A. (2008): El Bronce Final, *De Iberia a Hispania* (F. Gracia, ed.), Madrid-Barcelona, 19-91.
- MEDEROS MARTÍN, A. (2013): La cronología de Huelva fenicia, *Fenicios e Púnicos, por terra e mar. VI Congresso Internacional de Estudos Fenícios e Púnicos (Lisboa, 2005) I* (A. Arruda, ed.), Lisboa, 482-495.
- MEDEROS MARTÍN, A. (2018): Phoenician Emporia in the Atlantic Coast of Africa, *Trade and Colonisation in the Ancient Western Mediterranean: The Emporion from the Archaic to the Hellenistic Period* (E. Gailledrat, M. Dietler, R. Planamallart, eds.), Montpellier, 55-65.
- MEDEROS MARTÍN, A. (2020): La cronología absoluta del Protogeométrico y Geométrico griego y su impacto en los inicios de la colonización fenicia, *Entre Utica y Gadir. Navegación y colonización fenicia en el Mediterráneo Occidental a comienzos del I milenio AC. IX Coloquio Internacional del Centro de Estudios Fenicios y Púnicos (Almería, 2015)* (J. L. López Castro, ed.), Granada, 479-556.
- MOORE, G. F. (1903): Baetylia, *AJA* 2<sup>a</sup> S 7 (2), 198-208. DOI: <https://doi.org/10.2307/496676>
- NIJBOER, A. J.; PLICHT, J. VAN DER (2006): An interpretation of the radiocarbon determinations of the oldest indigenous-Phoenician stratum thus far, excavated at Huelva, Tartessos (south-west Spain), *BABesch* 81, 31-36. DOI: <https://doi.org/10.2143/BAB.81.0.2014423>
- NÚÑEZ CALVO, F. J. (2017): Phoenician Plates Overseas and their Sequential and Chronological Connections with the Motherland, *RSF* 45 (1), 7-35.
- NÚÑEZ CALVO, F. J. (2018a): Una lectura tipológico-secuencial de los materiales cerámicos orientales más antiguos hallados en Huelva, *De Huelva a Malaka. Los fenicios en Andalucía a la luz de los descubrimientos más recientes* (M. Botto, ed.), Roma, 107-182.
- NÚÑEZ CALVO, F. J. (2018b): El trasfondo secuencial y cronológico de la primera expansión fenicia a Occidente, *Cartagine fuori da Cartagine. Mobilità nordafricana nel Mediterraneo centro-occidentale tra VIII e II sec. a.C.* (Ravenna, 2017) (A. C. Fariselli, R. Secci, eds.), La Spezia, 317-350.
- ORTEGA BLANCO, J. (1999): Poblamiento y población en la Onuba prerromana: algunas consideraciones, *Complutum* 10, 267-277.
- OSUNA, M.; BEDIA, J.; DOMÍNGUEZ, A. M. (2001): El santuario protohistórico hallado en la calle Méndez Núñez (Huelva), *Ceràmiques jònies d'època arcaica: centres de producció i comercialització al Mediterrani Occidental (Empúries, 1999)* (P. Cabrera, M. Santos, eds.), Empúries, 177-188.
- PADILLA MONGE, A. (2016): Huelva y el inicio de la colonización fenicia de la Península Ibérica, *Pyrenae* 47 (1), 95-117.
- PAUSANIAS (1994): *Descripción de Grecia. Libros III-VII*, Trad. M<sup>a</sup>.C. Herrero, Biblioteca Clásica Gredos 197, Madrid.
- PELLICER CATALÁN, M. (1986-1989): Precisiones sobre las colonizaciones orientales en Iberia, *Ampurias* 48-50, 190-199.
- PELLICER CATALÁN, M. (1996): Huelva Tartésica y Fenicia, *RSF* 24 (2), 119-140.
- PÉREZ-JORDÀ, G.; PEÑA CHOCARRO, L.; GARCÍA FERNÁNDEZ, M.; VERA, J. C. (2017): The beginnings of fruit tree cultivation in the Iberian Peninsula: plant remains from the city of Huelva (southern Spain), *Vegetation History & Archaeobotany* 26 (5), 527-538. DOI: <https://doi.org/10.1007/s00334-017-0610-6>
- PRADOS MARTÍNEZ, F. (2010): La Arquitectura sagrada: Un santuario del siglo IX A.C., *O Castro dos Ratinhos (Barragem do Alqueva, Moura). Escavações num povoado proto-histórico do Guadiana, 2004-2007* (L. Berrocal, A. C. Silva, eds.), Lisboa, 259-276.
- REIMER, P.; AUSTIN, W. E. N.; BARD, E.; BAYLISS, A.; BLACKWELL, P. G.; BRONK RAMSEY, C.; BUTZIN, M.; EDWARDS, R. L.; FRIEDRICH, M.; GROOTES, P. M.; GUILDERSON, T. P.; HAJDA, I.; HEATON, T. J.; HOGG, A.; KROMER, B.; MANNING, S. W.; MUSCHELER, R.; PALMER, J. G.; PEARSON, C.; van der PLICHT, J.; REIM RICHARDS, D. A.; SCOTT, E. M.; SOUTHON, J. R.; TURNER, C. S. M.; WACKER, L.; ADOLPHI, F.; BÜNTGEN, U.; FAHRNI, S.; FOGTMANN-SCHULZ, A.; FRIEDRICH, R.; KÖHLER, P.; KUDSK, S.; MIYAKE, F.; OLSEN, J.; SAKAMATO, M.; SOOKDEO, A.; TALAMO, S. (2020): IntCal20 Northern Hemisphere radiocarbon age calibration curve (0-55 cal kBP), *Radiocarbon* 62, 1-33. DOI: <https://doi.org/10.1017/RDC.2020.41>
- RUIZ-GÁLVEZ PRIEGO, M. L. (2013): *Con el fenicio en los talones. Los inicios de la Edad del Hierro en la cuenca del Mediterráneo*, Barcelona.
- RUIZ MATA, D.; PÉREZ, C. J.; GÓMEZ FERNÁNDEZ, V. (2014): Una nueva zona fenicia de época arcaica en Cádiz: el solar de la 'calle Ancha, nº 29', *Los fenicios en la bahía de Cádiz. Nuevas investigaciones* (M. Botto, ed.), Pisa-Roma, 83-122.
- SÁNCHEZ, V.; GALINDO, L.; JUZGADO, M.; BELMONTE, J. A. (2018): La Rebanadilla, santuario litoral fenicio en el Sur de la Península Ibérica, *De Huelva a Malaka. Los fenicios en Andalucía a la luz de los descubrimientos más recientes* (M. Botto, ed.), Pisa-Roma, 305-325.

- SÁNCHEZ, V.; GALINDO, L.; JUZGADO, M.; DUMAS, M. (2011): La desembocadura del Guadalhorce en los siglos IX y VIII a.C. y su relación con el Mediterráneo, *Gadir y el Círculo del Estrecho revisados. Propuestas de la arqueología desde un enfoque social* (J. C. Domínguez Pérez, ed.), Cádiz, 187-197.
- SÁNCHEZ, V.; GALINDO, L.; JUZGADO, M.; DUMAS, M. (2012): El asentamiento fenicio de la Rebanadilla a finales del siglo IX A.C., *Diez años de Arqueología Fenicia en la provincia de Málaga (2001-2010). María del Mar Escalante Aguilar in memoriam* (E. García Alfonso, ed.), Málaga, 67-85.
- SCHREIBER, N. (2003): The Cypro-Phoenician Pottery of the Iron Age, *Culture and History of the Ancient Near East* 13, Brill, Leiden-Boston.  
DOI: <https://doi.org/10.1163/9789004494558>
- SECO SERRA, I. (2010): *Piedras con Alma. El Betilismo en el Mundo Antiguo y sus manifestaciones en la Península Ibérica*, Sevilla.
- SERRANO, L.; GONZÁLEZ DE CANALES, F.; LLOMPART, J.; MONTAÑO, A. (2010): Scaraboid Seal of the Lyre-Player Group at the Huelva Museum, *V Encuentro de Arqueología do Sudoeste Peninsular (Almodôvar, 2010)* (M. M. M. de Deus, ed.), Almodôvar, 279-288.
- SHARON, I.; GILBOA, A.; JULL, T. A. J.; BOARETTO, E. (2007): Report on the first stage of the Iron Age Dating Project in Israel: supporting a Low Chronology, *Radiocarbon* 49 (1), 1-46.  
DOI: <https://doi.org/10.1017/S0033822200041886>
- SILIO ITÁLICO, T. C. A. (2005): *La Guerra Púnica*, Trad. de J. Villaiba Álvarez, Akal Clásica 77, Madrid.
- STUIVER, M.; REIMER, P. J.; BARD, E.; BECK, J. W.; BURR, G. S.; HUGHEN, K. A.; KROMER, B.; McCORMAC, G.; PLICHT, J. VAN DER; SPURK, M. (1998): Intcal98 radiocarbon age calibration, 24.000-0 cal BP, *Radiocarbon* 40 (3), 1041-1083.  
DOI: <https://doi.org/10.1017/S0033822200019123>
- TORRES ORTIZ, M. (2005): Tartesios, Fenicios y Griegos en el Sudoeste de la Península Ibérica: algunas reflexiones sobre los recientes hallazgos de Huelva, *Complutum* 15, 292-299.
- TORRES ORTIZ, M. (2008): Los 'tiempos' de la precolonización, *Contacto cultural entre el Mediterráneo y el Atlántico (siglos XII-VIII ANE): La Precolonización a debate* (S. Celestino, N. Rafel, X. L. Armada, eds.), Roma, 59-91.





# NUEVOS DATOS PARA LA CARACTERIZACIÓN MATERIAL DE LA TRANSICIÓN BRONCE FINAL - HIERRO I Y HIERRO I EN ALARCOS (POBLETE, CIUDAD REAL)

*Material characterization of the transition Late Bronze Age - Early Iron Age and Early Iron Age levels of Alarcos (Poblete, Ciudad Real)*

PEDRO MIGUEL NARANJO 

Dpto. de Historia. Universidad de Castilla-La-Mancha. pedro\_n90@hotmail.com

---

## RESUMEN:

*En este artículo se estudian de forma exhaustiva los materiales arqueológicos exhumados en los niveles del Bronce Final-Hierro I y Hierro I en el Sector III de Alarcos (Poblete-Ciudad Real, Ciudad Real) durante la campaña de 2017, un conjunto fundamentalmente cerámico que ofrece una importante información para la caracterización material de estas fases culturales en el Alto Guadiana. Las características de los materiales permiten plantear la inclusión de Alarcos en la órbita de influencia de la cultura tartésica que durante este periodo estaba experimentando un importante desarrollo cultural.*

**Palabras clave:** *Alto Guadiana, cerámica, tipología, Tarteso.*

## ABSTRACT:

*In this paper, I study the archaeological materials found in the Late Bronze Age-Iron Age and Iron Age levels in Sector III from Alarcos (Poblete-Ciudad Real, Ciudad Real) during 2017, fundamentally ceramic materials that offer important information for the material characterization of the transitional period between the Late Bronze Age and the Iron Age and Iron Age in the Upper Guadiana. The characteristic of the pottery allows to consider the inclusion of Alarcos in the influence of the Tartessian culture, which it had an important cultural development during this period.*

**Key words:** *Upper Guadiana, pottery, typology, Tartessos.*



## LOCALIZACIÓN DEL YACIMIENTO, OBJETIVOS Y METODOLOGÍA

El yacimiento arqueológico de Alarcos (Poblete-Ciudad Real, Ciudad Real) se sitúa en la orilla izquierda del río Guadiana, a una altura de 654 m sobre el nivel del mar y a unos 100 m sobre el valle (fig. 1). Su privilegiada posición en altura le permitió una defensa natural y el control visual de un territorio circundado por fértiles llanos, aptos para las actividades agropecuarias, aunque también controló las rutas comerciales que unían la meseta N con el SO peninsular.

Según la documentación actual, el enclave presenta una ocupación desde la transición Bronce Final-Hierro I hasta época medieval, pasando por una importante fase íbera (García Huerta *et al.* 2018; 2020).

Los primeros testimonios conocidos sobre el Bronce Final-Hierro I y Hierro I en Alarcos se localizaron en posición secundaria debido a las alteraciones ocasionadas por las posteriores construcciones íberas y medievales (García Huerta y Fernández Rodríguez 2000). Adscritas a estas fases, se publicaron las tumbas 1 y 4 del Sector IV-E en las que se hallaron un cuenco pintado estilo Medellín y un vaso bicónico con incrustaciones metálicas, empleados como urnas cinerarias (Fernández Rodríguez 2001). También se realizó el corte C-23 en el Sector IV del que se obtuvieron las primeras fechas radiocarbónicas relativas a estas etapas y algunos materiales *in situ*, aunque escasos y muy fragmentados (Fernández Rodríguez 2012).

En los últimos años se ha podido avanzar en el conocimiento de estas etapas en Alarcos gracias a los trabajos sistemáticos realizados por la Universidad de Castilla-La Mancha en el Sector III (García Huerta y Morales 2017; García Huerta 2019). En estas intervenciones se han constatado varias estructuras, como agujeros de poste, algunos hogares y dos habitaciones interpretadas como cabañas, una de ellas de planta circular. La publicación de estas estructuras ha venido acompañada por los materiales asociados, mayoritariamente cerámica realizada a mano y decorada con múltiples técnicas: pintura, mame-lones, incisiones, unguilaciones, etc.

Los últimos trabajos realizados en el Sector III sobre niveles correspondientes a estos periodos se desarrollaron durante 2017 y 2018, cuyas estructuras, estratigrafía y algunos materiales han sido publicados recientemente (García Huerta *et al.* 2020). Dicha publicación nos permite prescindir del estudio estratigráfico y arquitectónico para centrar la atención en el estudio exhaustivo de los materiales

inéditos exhumados en 2017, ya que los relativos a 2018 se encuentran en fase de estudio. De este análisis se exceptúan las cerámicas a mano pintadas al haber sido publicadas recientemente (Miguel 2020). A grandes rasgos, la excavación arqueológica durante la campaña de 2017 se centró en los niveles situados por debajo de la cabaña circular anteriormente citada. La zona intervenida se dividió en dos zonas (U18-3, U18-2), diferenciándose en la U18-3 cinco niveles arqueológicos (U18-3-1, U18-3-2, U18-3-3, U18-3-4, U18-3-5) y otros cinco en la U18-2 (U18-2-1, U18-2-2, U18-2-3, U18-2-4, U18-2-5), además de dos interfaces en esta última zona (U18-2-2/3, U18-2-3/4). Todos estos niveles se caracterizan por presentar una escasa compacidad y contener mucha materia orgánica, como carbones, cenizas y fauna que se asocian a la gran cantidad de cerámicas estudiadas en este trabajo. Estos estratos, algunos con una potencia máxima de 40 cm, oscilan entre el negro y el marrón oscuro, contrastando con los suelos de tierra clara y apisonada de unos 2 cm de potencia que definen las interfaces en la U18-2 y algunos niveles de la U18-3. Todos los materiales muestran homogeneidad tipológica evidenciando su adscripción a una misma fase cultural.

La relevancia de este trabajo radica en el gran desconocimiento que actualmente se tiene sobre la cultura material de las comunidades que poblaron el Alto Guadiana durante estas fases protohistóricas, debido fundamentalmente a la escasez de yacimientos excavados de esta época y a la ausencia de restos arqueológicos estratificados que permitan establecer cronologías, seriaciones cerámicas o interpretaciones sobre los usos por asociación de materiales. Así, tan sólo se cuenta en la actualidad con los materiales del nivel 13 de la Bienvenida-Sisapo (Fernández Ochoa *et al.* 1994; Zorzalejos *et al.* 2012) y los de los niveles 1 y 2 del C-23 de Alarcos (Fernández Rodríguez 2012: 60), además de algunos niveles tanto del Sector III de este último (García Huerta y Morales 2017) como del Cerro de Las Cabezas (Esteban *et al.* 2003), como referentes para la sistematización material de la transición Bronce Final-Hierro I en el Alto Guadiana.

Por su parte, el Hierro I queda representado por los niveles 11-12 del Corte A1 (ab) y el edificio del Área 4 de La Bienvenida-Sisapo (Fernández Ochoa *et al.* 1994: 144-145; Zorzalejos *et al.* 2017), Villanueva de la Fuente-Mentesa Oretana (Benítez de Lugo 2004), los niveles inferiores del Cerro de las Cabezas, bien fechados por una fíbula de doble resorte (Vélez y Pérez Avilés 1999), los niveles 3 y 4 del C-23 (Fernández Rodríguez 2012: 60) y otros del Sector III de Alarcos (García Huerta y

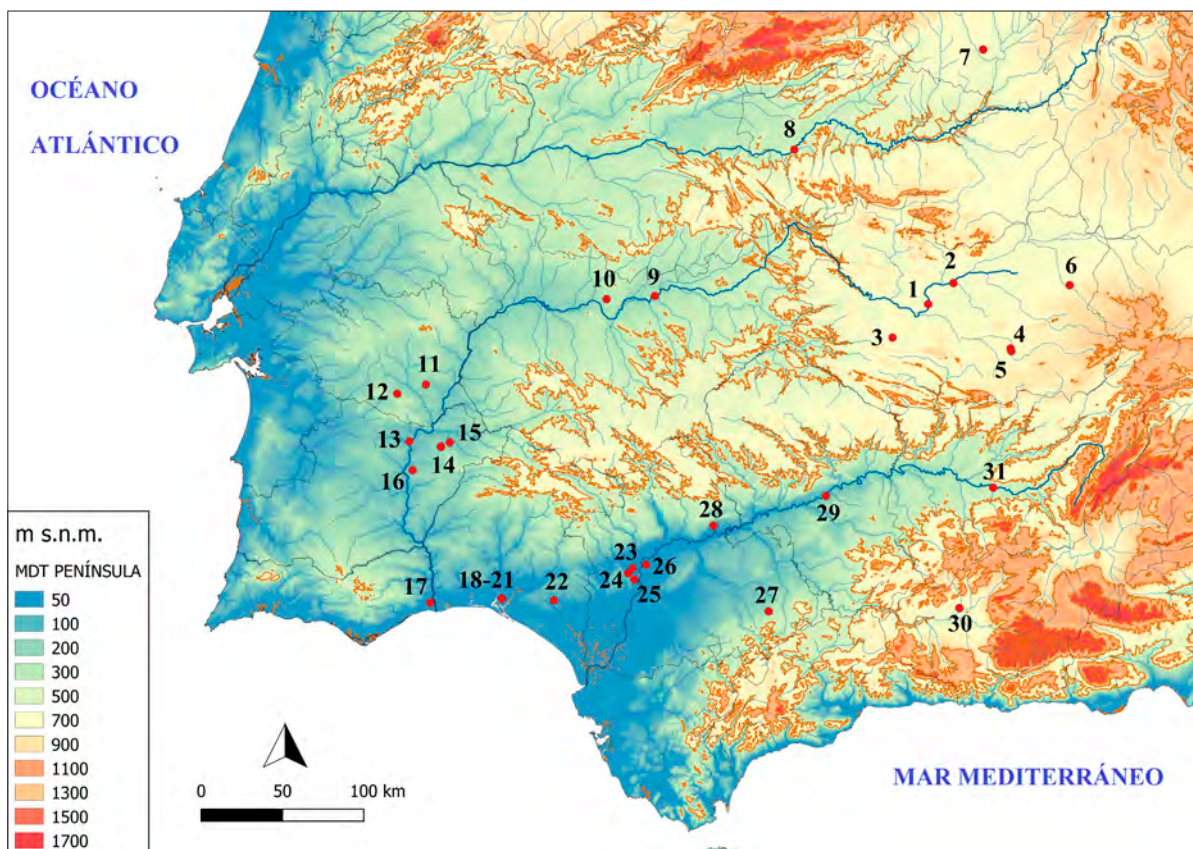


Fig. 1: Mapa de la península ibérica con los yacimientos citados en el texto: 1. Alarcos (Poblete-Ciudad Real, Ciudad Real); 2. Calatrava la Vieja (Carrión de Calatrava, Ciudad Real); 3. La Bienvenida-Sisapo (Almodóvar del Campo, Ciudad Real); 4. Cerro de las Cabezas (Valdepeñas, Ciudad Real); 5. Casa de Rana (Valdepeñas, Ciudad Real); 6. Peñarroya (Argamasilla de Alba, Ciudad Real); 7. Cerro de San Antonio (Madrid); 8. Tumba de El Carpio (Belvís de la Jara, Toledo); 9. Medellín (Badajoz); 10. Escuela de Hostelería (Mérida, Badajoz); 11. Rocha do Vigio 2 (Reguengos de Monsaraz, Alentejo); 12. Monte do Bolor 3 (São Brissos, Beja); 13. Poço Novo 1 (Barros de Beja, Beja); 14. Torre Velha 3 (Serpa); 15. Cabeço Redondo (Sobral da Adiça, Moura); 16. Salsa 3 (Serpa); 17. Castro Marim (Faro, Algarve); 18. Méndez Núñez 7-13/Plaza de las Monjas 12 (Huelva); 19. Cabezo de San Pedro (Huelva); 20. La Joya (Huelva); 21. La Piterilla (Huelva); 22. San Bartolomé (Almonte, Huelva); 23. Jardín de Alá (Salteras, Sevilla); 24. Cerro de la Cabeza (Valencina de la Concepción, Sevilla); 25. El Carambolo (Camas, Sevilla); 26. Cerro Macareno (La Rinconada, Sevilla); 27. Cuesta de los Cipreses (Osuna, Sevilla); 28. Mesa de Setefilla (Lora del Río, Sevilla); 29. Colina de los Quemados (Córdoba); 30. Cerro de los Infantes (Pinos Puente, Granada); 31. Cerro del Viento (Puente del Obispo, Baeza, Jaén).

Morales 2017) y las estructuras de Peñarroya (García Huerta *et al.* 1999) o los niveles inferiores del A-16 de Calatrava la Vieja (Miguel 2019), los dos últimos casos de un momento avanzado.

Los materiales estratificados de estos yacimientos, especialmente los del corte A1 (ab) de la Bienvenida-Sisapo, han sido de referencia para secuenciar estas fases culturales en el Alto Guadiana, sirviendo de guía para la ubicación cronológica y cultural de los materiales descontextualizados de Calatrava la Vieja (Miguel 2019) y otros hallados en niveles superficiales o en prospecciones (Zarzalejos *et al.* 2012).

De esta forma, en el actual estado de la investigación, los datos que proporcionan los materiales en posición primaria de Alarcos revisten el máximo interés, sobre todo si se tiene en cuenta su asociación a muestras analizadas por C-14, ofreciendo una cronología calibrada que, hasta la actualidad y en el contexto del Alto Guadiana de la primera mitad del Primer milenio a.C., se restringe a la información de Alarcos.

En cuanto a la metodología, los materiales se han clasificado en cerámica, lítica y metal. La cerámica constituye, con gran diferencia, el material arqueológico más abundante. Para su estudio se ha distinguido entre las

formas y las decoraciones, agrupando los recipientes, en función de su perfil y relación diámetro/profundidad, en cazuelas, fuentes, cuencos, platos, vasos esferoides y elipsoides y soportes de carrete. En un apartado dentro de la cerámica se han diferenciado los objetos cerámicos que no constituyen un recipiente, como las fichas y las pesas de telar. Dentro de cada grupo, y tras el estudio de sus características técnicas, se han determinado tipos. Para su denominación se han empleado las distintas tipologías al uso en la investigación, como la de Ruiz Mata (1995) y la de González de Canales *et al.* (2010) para las formas del SO, la de González Prats (1983) para el levante o la de Blasco *et al.* (1991) para los vasos característicos de la meseta.

## ESTUDIO DE LOS MATERIALES ARQUEOLÓGICOS

### CERÁMICA

El material cerámico exhumado durante la campaña de 2017 está elaborado a mano en su totalidad.

### LAS FORMAS

Algunas de las formas registradas en 2017 ya se conocían, pues gran parte de la zona intervenida (U18-2) corresponde, en realidad, a los niveles inferiores de la mitad de la estructura circular anteriormente referida. La otra mitad restante ya fue excavada en campañas anteriores, lo cual explica que muchas de las piezas de 2017 pegaran con otras de 2013, como alguna cazuela de carena alta (fig. 3, 2) o el vaso à *chardon* con decoración incisa (fig. 9, 11; García Huerta y Morales 2017: fig. 6). Esta circunstancia también explica las semejanzas entre

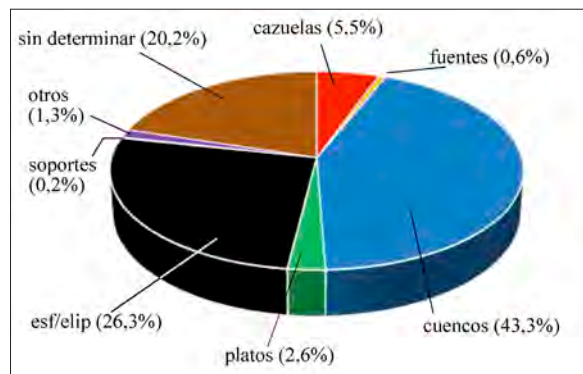


Fig. 2: Proporción de las formas documentadas en 2017.

todas las fechas radiocarbónicas obtenidas (García Huerta *et al.* 2020: tabla 12).

Como se puede observar en la proporción total del material cerámico típico exhumado durante la campaña de 2017 (fig. 2), correspondiente a 529 fragmentos (número mínimo de individuos), son predominantes los cuencos (43,3%), seguido de los recipientes esferoides y elipsoides (26,3%). Las cazuelas (5,5%) y los platos (2,6%), en cambio, presentan escasas proporciones, mientras que las fuentes y los soportes de carrete se hallan casi de forma testimonial con el 0,6% y el 0,2% respectivamente. Los objetos cerámicos, como fichas o pesas de telar, suponen el 1,3%.

### Cazuelas

Del 5,5% de total, el 2,1% corresponde a cazuelas de carena alta marcada y el 1,7% a cazuelas de carena alta suave. Los diámetros oscilan entre los 22 y los 31 cm, mientras que los grosores de las paredes se sitúan entre los 4 y los 14 mm.

Las cazuelas suelen tener pastas muy decantadas, de granulometría fina o media, y unas cocciones mayoritariamente reductoras, aunque existen algunas cocciones irregulares y puntuales cocciones oxidantes. Las superficies, generalmente bruñidas, presentan colores que oscilan entre el negro y el castaño oscuro (fig. 9, 2-3). Dicha coloración obedece a la cocción de la pieza, aunque en alguna se aplicó un engobe marrón rojizo (fig. 9, 1). El empleo del término “cazuela” responde a su uso generalizado en las tipologías de referencia, aunque las características técnicas de las piezas, unido a la ausencia de marcas por exposición al fuego, apuntan hacia su uso para el servicio o presentación de los alimentos.

En cuanto a la morfología, las cazuelas de carena alta marcada tienen siempre el borde exvasado, ya sea redondeado o apuntado. Su característica principal es la carena que se marca en el tercio superior del recipiente, desarrollándose desde este punto y hasta el borde un perfil más o menos cóncavo. En alguna ocasión, como ocurre en muchas de las cazuelas del tipo A.I.a de Ruiz Mata (1995: fig. 2), la carena reprodujo un escalón redondeado (fig. 3, 1), mientras que en otros casos esta parte fue seleccionada para la aplicación de un mamelón con perforación vertical (fig. 3, 2), como ocurre en algunas cazuelas del estrato VIII de Setefilla (Aubet *et al.* 1983: fig. 35, 181) o del fondo XXXII-XXXIII de San Bartolomé (Fernández Jurado y Ruiz Mata 1986: lám. II, 6). La fragmentación de las cazuelas no ha permitido conocer los fondos, aunque sus paralelos apuntarían hacia fondos planos.

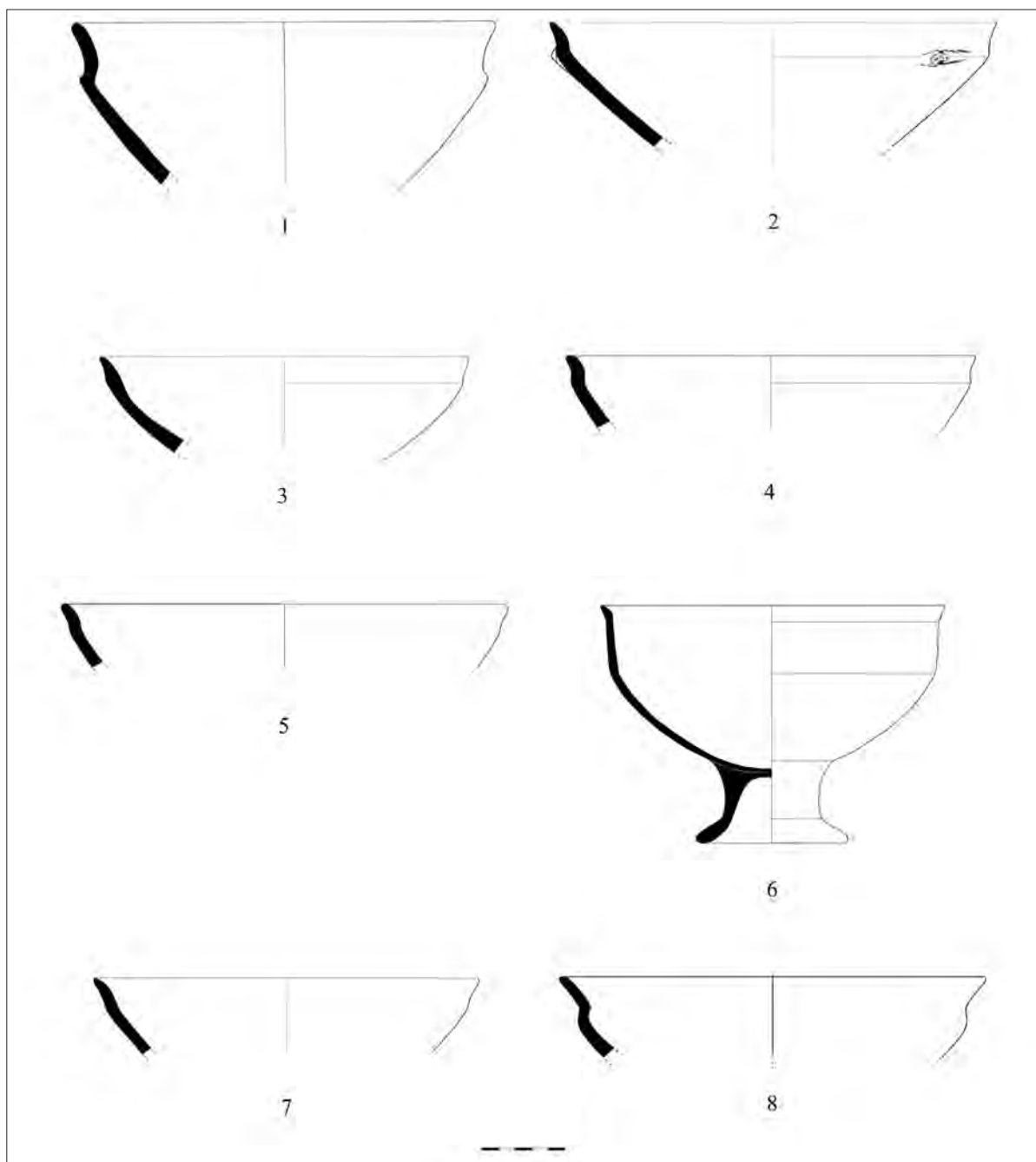


Fig. 3: Cazuelas.

Muchas de las cazuelas corresponden al tipo A.I.a de Ruiz Mata (1995: fig. 4, 8), concretamente a su variante Guadalquivir que se caracteriza por un borde almendrado y un rehundimiento interno a la altura de la carena (fig. 3, 2-3). Esta forma, asimilable al tipo A'16 de López Roa

(1977: 362) o 6C de González de Canales *et al.* (2010: fig. 14), halla su paralelo exacto en un ejemplar del fondo V de San Bartolomé (Fernández Jurado y Ruiz Mata 1986: fig. 32, 302), aunque también guarda grandes similitudes con algunas cazuelas A.I.a de la fase Ic del Cabezo de San Pedro

(Ruiz Mata *et al.* 1981: figs. 38, 72, 90; 44, 225) y el estrato XI de Setefilla (Aubet *et al.* 1983: fig. 32, 140). Dicha forma perduró, aunque más escasamente, en la fase II del Cabezo de San Pedro (Ruiz Mata *et al.* 1981: figs. 49, 351; 50, 391; 56, 542) y en la fase III de Setefilla (Aubet *et al.* 1983: figs. 35, 181; 38, 225; 41, 245), considerándose residual en el nivel 2 de La Piterilla (Rufete 2002: lám. 2, 6). Otra variante con el borde más cóncavo (fig. 3, 4) aparece en los niveles transicionales del Bronce Final-Hierro I del Cerro de las Cabezas (Esteban *et al.* 2003: fig. 6, 10-11), conviviendo con cazuelas de perfil más suave. La perduración de la cazuela A.I.a también se atestigua en el cercano yacimiento de La Bienvenida-Sisapo, estratificada en el nivel 13 del corte A1 (ab) (Fernández Ochoa *et al.* 1994: fig. 122) y en las fases 3 y 4 del edificio orientalizante del área 4 (Zarzalejos *et al.* 2017: 58, fig. 12, 7, 12). La primera de ellas y la documentada fuera de contexto en Casa de Rana (Pérez Avilés y Vélez 1996: lám. I, 5) se adscriben a la variante onubense de Ruiz Mata (1995), caracterizada por un borde más vertical y un pronunciado escalón en la carena.

Entre las cazuelas de carena alta destaca una de 22 cm de diámetro del borde, 9,2 cm de diámetro de base y 10,3 cm de profundidad (fig. 3, 6). Esta cazuela, sometida a análisis de contenido sin resultado positivo (García Huerta 2019: Anexo II: M4), presenta una carena media-alta y un pie indicado que le concedió un perfil de crátera muy característico. Fue hallada junto a un cuenco (fig. 4, 5) y un soporte de carrete (figs. 8, 1; 9, 9) en el nivel 3 de la U18-3 (U18-3-3), del que se extrajo una muestra de carbón (Beta-473984) y otra de hueso (Beta-475572) para su análisis por C-14 (fig. 10). La forma recuerda a algunos vasos abiertos con pie indicado del SO (Aubet *et al.* 1983: fig. 59, 3; Ruiz Mata 1995: fig. 28, 1-3) y el centro de la Meseta (Blasco *et al.* 1991: fig. 30, 20), aunque el borde tiene su paralelo exacto en el cuenco incompleto del fondo XV-A de San Bartolomé (Fernández Jurado y Ruiz Mata 1986: lám. XXXVII, 519) y en un vaso del nivel 12 de Colina de los Quemados (Luzón y Ruiz Mata 1973: lám. XII, c).

En segundo lugar, se encuentran las cazuelas de carena alta suave (figs. 3, 5; 3, 7-8), asimilables al tipo A.II.a de Ruiz Mata (1995: 273), como las de la fase II del Cabezo de San Pedro (Ruiz Mata *et al.* 1981: figs. 52, 454-455; 55, 516), la fase III de Setefilla (Aubet *et al.* 1983: fig. 34, 178), el fondo XIV-B de San Bartolomé (Fernández Jurado y Ruiz Mata 1986: láms. XLIII, 589-591; XLIV, 597), la fase V de El Carambolo (Fernández Flores y Rodríguez Azogue 2007: figs. 16, CAR-2528-7; 17, CAR-2576), Salsa 3 (Antunes *et al.* 2012: fig. 13, 3),

Monte do Bolor 3 (Antunes *et al.* 2017: fig. 5, 1. MBL.3. 10.1088) o el nivel 1 del Cerro de San Antonio (Blasco *et al.* 1991: fig. 29, 8, 18). En algunas se ha podido concretar su adscripción segura a la variante A.II.a.1 de Ruiz Mata (1995: fig. 4, 26) (fig. 3, 7), mientras que otras, con el borde redondeado y la carena algo más marcada (fig. 3, 5), muestran más analogías con el tipo A.I-II.a (Ruiz Mata 1995: fig. 4, 36), como las del nivel 16 de Colina de los Quemados (Luzón y Ruiz Mata 1973: lám. VII, h), el fondo I.1 de San Bartolomé (Fernández Jurado y Ruiz Mata 1986: fig. 32, 1242) o la fase II del Cerro de la Cabeza (Ruiz Mata 1995: fig. 19, 3).

En dos de los casos, la carena mostró un destacado abombamiento que creó un cierto perfil en S (fig. 3, 8), acercándose al tipo III.A de Blasco *et al.* (1991: figs. 39, 14; 63, 2) que aparece en el nivel 3 del Cerro de San Antonio y en el fondo XIV-A de San Bartolomé (Fernández Jurado y Ruiz Mata 1986: lám. XXV, 469).

#### Fuentes

Las escasas fuentes, con una proporción del 0,6% del total de las formas registradas, presentan cocciones irregulares o reductoras y superficies que oscilan entre el castaño claro y el negro. El tratamiento de las superficies suele ser bruñido o alisado y, en ocasiones, fueron pintadas, como el excepcional ejemplar de perfil hemisférico adscrito al estilo Meseta (Miguel 2020: fig. VIII, 22). La calidad que reflejan estos tratamientos contrasta con otros ejemplares de pastas poco decantadas o desgrasantes medios o gruesos. Los perfiles son troncocónicos o hemisféricos, con diámetros entre 28 y 36 cm y paredes con un grosor entre 7 y 8 mm.

Las grandes fuentes con mamelones triangulares en el borde (fig. 9, 4), datadas en algunos contextos del interior peninsular a partir del último cuarto del s. VII a.C. (Valenciano y Polo 2010: figs. 13-14), también se registraron en el nivel 3 del C-23 de Alarcos (Fernández Rodríguez 2012: fig. 10, 1-2), en este caso con una mayor antigüedad. En términos generales, se trata de una forma muy habitual en la Meseta durante el Hierro I, definiendo el tipo VI de Blasco *et al.* (1991: fig. 64).

#### Cuencos

Los cuencos, con el 43,3% del total de individuos reconocidos, suponen los recipientes más abundantes. Los de carena alta suave, con un 11,3% del total, son los más habituales, seguido por los cuencos sin carena (9,5%) y los de carena alta marcada (5,1%).

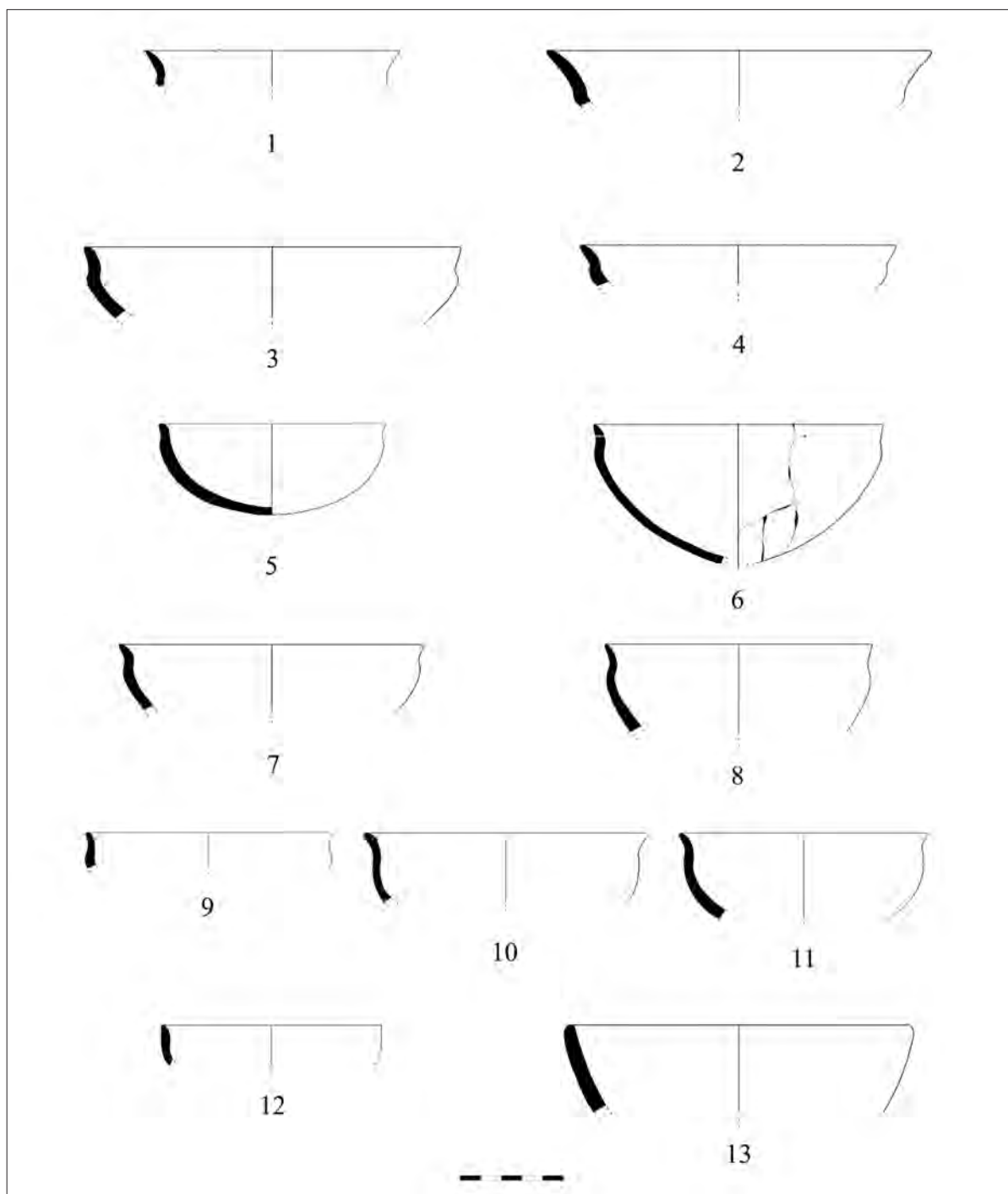


Fig. 4: Cuencos.

En cuanto a la técnica, destaca la maestría que los alfareros de Alarcos desarrollaron en estas formas que muchas veces no sobrepasaron el centímetro de grosor. Se trata de

piezas excepcionales, con pastas muy decantadas y desgrasantes muy finos, casi imperceptibles. Las cocciones fueron mayoritariamente reductoras, aunque hay casos de

nervios de cocción e incluso alguna de cocción oxidante. Las superficies, entre marrones y negras, destacan por un excelente bruñido que ofreció un aspecto muy brillante (fig. 9, 5-6). Todas estas características, unidas a la compacidad de las pastas, convierten a los cuencos en las piezas más sobresalientes del conjunto cerámico exhumado en Alarcos, de ahí que fuera el soporte más proclive para el desarrollo de la delicada decoración pintada (Miguel 2020).

En lo relativo a la morfología, los cuencos suelen reproducir las mismas formas que las cazuelas, aunque a menor escala. Sus diámetros se sitúan entre los 8 y los 20 cm, aunque son más frecuentes aquellos entre los 10 y los 15 cm, mientras que los grosores de las paredes suelen oscilar entre 1 y 9 mm. Entre los cuencos de carena alta (fig. 4, 1-4), con el borde apuntado o redondeado, están aquellos con un característico perfil en Z (fig. 4, 1). Este tipo de cuencos se halla en Valencina de la Concepción con las mismas características (Ruiz Mata 1995: fig. 19, 1) o en cerro Macareno (Ruiz Mata 1995 fig. 19, 11), ambos adscritos al Hierro I al igual que los ejemplares análogos de la Meseta (Blasco *et al.* 1991: fig. 44, 20). De Cerro Macareno (Ruiz Mata 1995: fig. 19, 20) también procede la versión con el borde más desarrollado y sin el anterior tramo recto (fig. 4, 2), aunque es más próximo el ejemplar del Bronce Final-Hierro I del Cerro de las Cabezas (Esteban *et al.* 2003: fig. 6, 7).

En otras ocasiones, los cuencos de carena alta pronunciada reprodujeron el perfil de las copas B.I de Ruiz Mata (1995: fig. 7) (fig. 4, 3), concretamente la variante de carena marcada redondeada y borde más vertical que aparece en el fondo XIV-A de San Bartolomé (Fernández Jurado y Ruiz Mata 1986: fig. 34). Los cuencos del tipo B.II.a también aparecen representados, siendo muy habituales en la fase II del Cabezo de San Pedro (Ruiz Mata *et al.* 1981: figs. 53, 459; 56, 542, 572; 61, 684; 63, 728, 735).

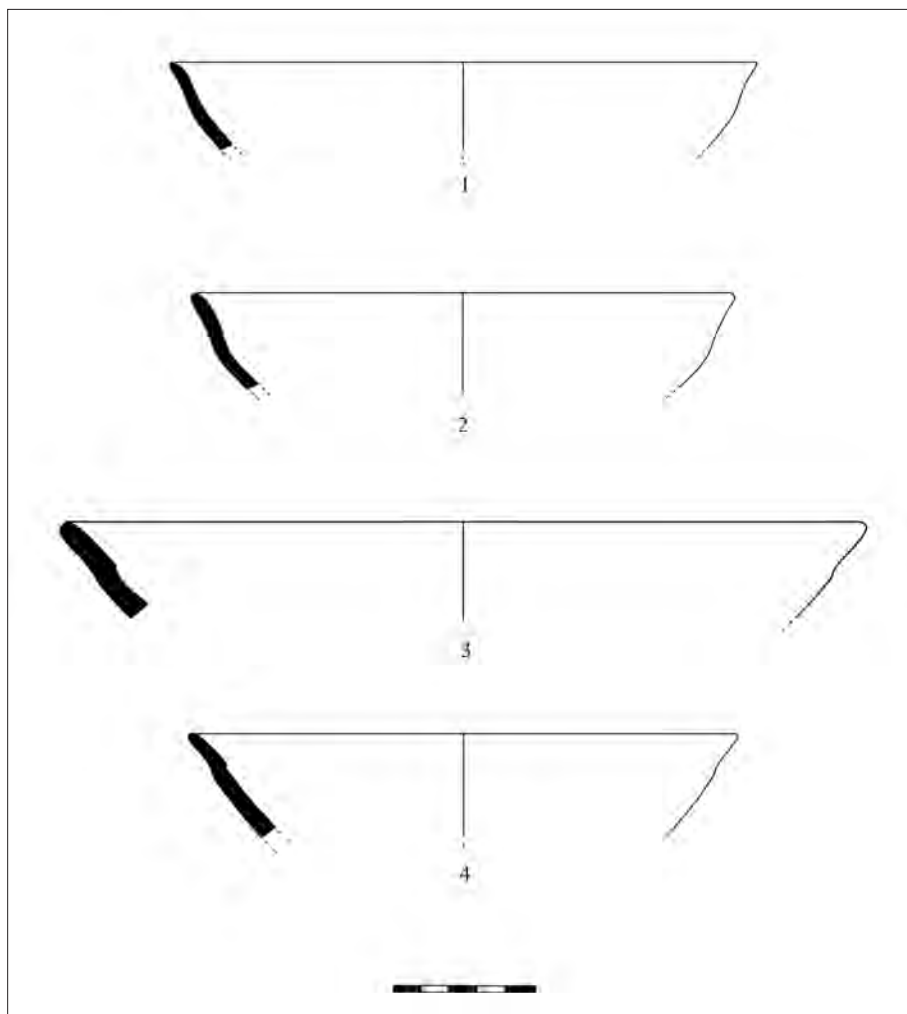
Los cuencos de carena alta suave corresponden a la forma B.II.b.1 de Ruiz Mata (1995). Son muchos los elementos morfológicos que se podrían distinguir con respecto a la dirección del borde, algo típico de las cerámicas a mano en las que existen múltiples variables formales, aunque todos tienen en común la configuración de un perfil carenado suave que los integran sin problemas en este tipo. El cuenco B.II.b.1 aparece en Monte do Bolor 3 en los ss. VII-VI a.C., (Antunes *et al.* 2017: 166, fig. 5, 1. MBL3.10.1200). También aparecen en la Cuesta de los Cipreses (Ferrer *et al.* 2017: fig. 8, 14) y, de forma abundante y pintados al estilo Meseta, en la tumba de El Carpio (Pereira 2019: figs. 3-5) fechada a principios del s. VII a.C.

En los porcentajes de los cuencos de carena alta suave se han incluido aquellos que podrían considerarse formas transicionales entre los cuencos de carena alta suave y los cuencos sin carena (fig. 4, 5-9), ya que existe una ligera protuberancia en el tercio superior que corresponde al punto en el que se desarrolló la carena en los cuencos carenados. Se trata de la forma B.II.c de Ruiz Mata (1995) en la que se pueden distinguir algunas variantes en función de la agudeza del estrangulamiento del cuello y la verticalidad del borde. Los bordes pueden ser apuntados o redondeados, con una base umbilicada en el único ejemplar completo. Este tipo de cuencos se fecharon en Rocha do Vigio 2, junto a un cuenco del tipo B.II.b.1, entre finales del s. IX y principios del VIII a.C. (Mataloto 2012: 202-203, fig. 21, 1-2), aunque en el cercano yacimiento del Cerro de las Cabezas se halla en un contexto algo más reciente (Esteban *et al.* 2003: fig. 6, 6).

Por último, se encuentran los cuencos sin carena (fig. 4, 10-13), casi todos asimilables al tipo B4a de González Prats (1983) o B.II.d de Ruiz Mata (1995: 276) (fig. 4, 10-11). Dichos cuencos, con un característico perfil en S, responden a una forma simple de perfil hemisférico y borde exvasado que puede ser apuntado o redondeado. En cuanto a la profundidad, existen ejemplares con una mayor verticalidad y profundidad, concretamente con una altura máxima conservada de 3,4 cm. Esta forma aparece en los fondos II (Fernández Jurado y Ruiz Mata 1986: fig. 34; Ruiz Mata 1995: fig. 4, 43-44) y XI de San Bartolomé (Fernández Jurado y Ruiz Mata 1986: fig. 34). Algunos presentan un borde vuelto, como el paralelo de Torre Velha 3 fechado entre los ss. VII-VI a.C. (Antunes *et al.* 2017: 180, fig. 14, tercera fila-dcha).

Entre los cuencos sin carena también se encuentran aquellos con bordes rectos y sin el perfil en S que caracterizaba a los anteriores (fig. 4, 12). Por último, está el cuenco de algo menos de media esfera, relacionado con el tipo 2E de González de Canales *et al.* (2010: fig. 14) y representado únicamente por un ejemplar con una altura máxima conservada de 4,5 cm (fig. 4, 13). Tiene un cierto perfil cónico y un borde recto ligeramente entrante que guarda grandes paralelismos con el recipiente de pie indicado del nivel 11 de Colina de los Quemados (Luzón y Ruiz Mata 1973: lám. XIX, b) y algunos vasos del fondo VII de San Bartolomé (Fernández Jurado y Ruiz Mata 1986: lám. LXVII, 927) y la fase II de Castro Marim (Arruda *et al.* 2017: fig. 4, 11-12), aunque habría que admitir que se trata de una forma simple muy común en varios periodos y culturas. Así, en el cercano yacimiento

Fig. 5: Platos.



de Calatrava la Vieja se ubica en la UE 80, adscrita a un momento avanzado del Hierro I o de transición al Ibérico Antiguo (Miguel 2019: fig. 3, 1), mientras que en el Cerro de las Cabezas se encuadra en un contexto transicional del Bronce Final al Hierro I (Esteban *et al.* 2003: fig. 6, 9).

#### **Platos**

Los platos representan el 2,6% del total de formas registradas, con diámetros entre los 15 y los 27 cm, aunque la mayoría oscila entre los 19 y los 27 cm. Los grosores de las paredes están entre los 5 y los 8 mm.

Los platos se caracterizan por unas pastas menos decantadas que en el caso de los cuencos, siendo habitual los desgrasantes de granulometría media. Esta menor calidad también se detecta en el tratamiento de las superficies,

muchas alisadas por ambos lados. Sin embargo, también existen platos con pastas muy depuradas y superficies bruñidas. Las cocciones suelen ser reductoras o irregulares, concediendo a las superficies unos colores castaños, marrones oscuros o negros (fig. 9, 7).

En lo que respecta a la morfología, la mayoría de los platos, con el borde exvasado y redondeado, muestran un sencillo perfil en S o reproducen el perfil de las cazuelas A.II.a. (fig. 5, 1). Algún ejemplar muestra un pequeño escalón interno para diferenciar el borde del cuerpo (fig. 5, 3-4). Esta característica, que define al tipo 11C1 de González de Canales *et al.* (2010: fig. 15), aparece en algunos platos de la fase III de Setefilla (Aubet *et al.* 1983: figs. 38, 210; 41, 248) y en un plato de casquete esférico de la fase I-II de San Bartolomé (Fernández Jurado y Ruiz Mata 1986: fig. 32, 743).

### **Recipientes esferoides y elipsoides**

Los recipientes cerrados suponen el 26,3% del total registrado, aunque solo se han podido reconstruir dos formas, recipientes de cuerpo esférico (fig. 6, 1-4), con una proporción del 1,5%, y los de cuerpo elipsoide (figs. 6, 5-8; 7, 1), con el 3,6% del total de formas. La mayor parte de los fragmentos que presuponen estas formas cerradas, reconocidas por la similitud en los tratamientos de las superficies, corresponden a bordes o bases planas que no han permitido concretar su adscripción segura a estos dos grupos diferenciados (fig. 7, 5-7).

La mayoría de estos recipientes presentan superficies toscas o un ligero alisado, aunque hubo algunos que tuvieron un tratamiento diferente, como un vaso à *chardon* cuyas superficies fueron bruñidas (fig. 9, 11). Las incisiones, sobre todo a lo largo del borde (fig. 7, 2-3), también fue una característica en este tipo de recipientes, aunque también se desarrollaron en sucesión a lo largo del hombro (fig. 8, 8) o del cuerpo (fig. 9, 11).

Las cocciones suelen ser irregulares o reductoras, ofreciendo unos tonos entre castaño y negro para ambas superficies y las pastas. Muchas de estas piezas tienen manchas negras relacionadas con una prolongada y asidua exposición al fuego. Esta característica, junto con el descuido de las superficies, relaciona algunos de estos recipientes con la cocina o procesado de alimentos, aunque muchos de ellos también pudieron emplearse como recipientes de almacenamiento.

Dentro de estos dos tipos, establecidos en función del perfil del cuerpo, se han podido distinguir variantes que se han determinado según algunos elementos morfológicos. De esta forma, dentro de los recipientes de cuerpo esférico, destacan aquellos que, con un borde plano, redondeado o apuntado, pueden mostrar una dirección recta, exvasada o invasada.

Los más numerosos son los de borde invasado o entrante (fig. 6, 1-3), relacionados con la forma A3 de González Prats (1983) o 13E de González de Canales *et al.* (2010: fig. 15), con diámetros entre los 22 y los 29 cm y paredes entre los 11 y 12 mm de grosor. Uno de ellos se decoró con un mamelón a la altura del borde e incisiones a lo largo del labio (fig. 6, 1). Se trata de una forma simple, muy común en varias culturas y periodos. En contextos del Bronce Final y la Primera Edad del Hierro aparece en los fondos X-B (Fernández Jurado y Ruiz Mata 1986: lám. I, 18-20), XXXII-XXXIII (Fernández Jurado y Ruiz Mata 1986: lám. IX, 147), I-2 (Fernández Jurado y Ruiz Mata 1986: lám. LVII, 773) y VIII de San Bartolomé

(Fernández Jurado y Ruiz Mata 1986: lám. XC, 1127), calle Méndez Núñez 7-13/Plaza de las Monjas 12 (González de Canales *et al.* 2010: fig. 15), el fondo A del Jardín de Alá (Hunt y García Rivero 2017: fig. 29, JA-62), Cuesta de los Cipreses (Ferrer *et al.* 2017: figs. 7, 9, 11; 22, 203-5; 23, 404-11), la Escuela de Hostelería de Mérida (Jiménez y Heras 2017: fig. 6, tercera fila izquierda) o Salsa 3 (Antunes *et al.* 2017: fig. 11, 24), este último con decoración digitada. El paralelo más cercano se encuentra, también con un mamelón vertical por debajo del borde, en la fase III de Castro Marim (Arruda *et al.* 2017: fig. 6, 13). En la meseta también son frecuentes en estas fases culturales, como se muestra en el Cerro de San Antonio (Blasco *et al.* 1991: fig. 35, 17, 21).

Los recipientes de cuerpo elipsoide u ovoide (fig. 6, 5-8), entre los 12 y los 28 cm de diámetro y los 5 y 14 mm de grosor, suelen tener el borde redondeado o ligeramente apuntado. También se aprecia en ellos una diferenciación a partir del estrangulamiento del cuello que puede ser más o menos acusado.

Todos estos recipientes de cuerpo elipsoide pertenecen al tipo G.I de Ruiz Mata (1995: fig. 14), el cual define a un conjunto de ollas con el borde diferenciado del cuerpo en el que se han establecido algunos subtipos. Así, hay ollas que se ajustan al subtipo G.I.a.1, concretamente aquella variante caracterizada por un hombro muy marcado del que parte un cuello entrante que finaliza en borde recto o ligeramente exvasado (fig. 6, 5) (Ruiz Mata 1995: fig. 14: 1), como las de la fase I (Ruiz Mata *et al.* 1981: figs. 35, 5; 36, 21), II (Ruiz Mata *et al.* 1981: fig. 60, 653) y III del Cabezo de San Pedro (Ruiz Mata *et al.* 1981: fig. 80, 4). También aparecen en los fondos XXXII-XXXIII (Fernández Jurado y Ruiz Mata 1986: láms. X, 166; XI, 167, 169, 171-174), V (Fernández Jurado y Ruiz Mata 1986: lám. XXII, 332; XXIV, 339) y II de San Bartolomé (Fernández Jurado y Ruiz Mata 1986: lám. LXXXI, 1041) o el fondo F del Jardín de Alá (Hunt y García Rivero 2017: fig. 31, JA-262).

Otra variante con el hombro marcado, correspondiente a la forma 12C de González de Canales *et al.* (2010: fig. 15), muestra un borde más exvasado que agudizó el estrangulamiento del cuello (fig. 6, 6) (Ruiz Mata 1995: fig. 14, 2). Esta forma también se atestigua en la fase I (Ruiz Mata *et al.* 1981: fig. 37, 33) y II del Cabezo de San Pedro (Ruiz Mata *et al.* 1981: fig. 54, 502; 59, 622), las fases III y IV de Setefilla (Aubert *et al.* 1983: figs. 32, 157; 43, 297), los fondos XXXII-XXXIII (Fernández Jurado y Ruiz Mata 1986: lám. XI, 168) y V de San Bartolomé

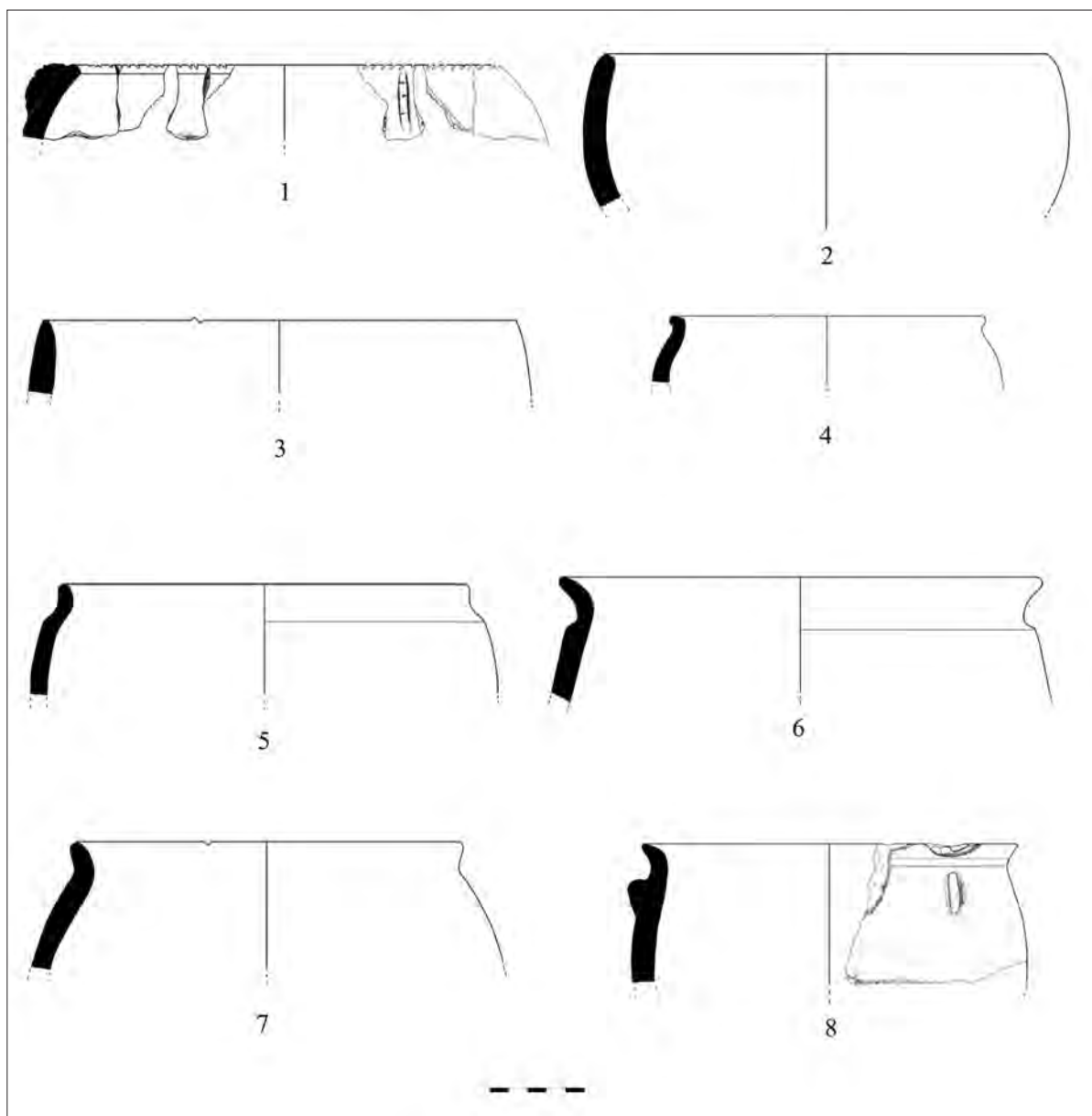


Fig. 6: 1-4. Recipientes esféricos; 5-8. Recipientes elipsoides.

(Fernández Jurado y Ruiz Mata 1986: lám. XXIII, 334), la U.E. 15c de El Carambolo (Fernández Flores y Rodríguez Azogue 2007: fig. 53, CAR-15C-14), Torre Velha 3 (Antunes *et al.* 2017: fig. 14, 1 abajo-izquierda) y los fondos F (Hunt y García Rivero 2017: fig. 31, JA-334) y J del Jardín de Alá (Hunt y García Rivero 2017: fig. 33, JA-820), a veces con el típico mamelón en el hombro del recipiente (Ruiz Mata *et al.* 1981: figs. 36,

20; 37, 32; 38, 62; 41, 160; Fernández Jurado y Ruiz Mata 1986: láms. XI, 180; XXIII, 333; XXVI). En el Alto Guadiana aparece esta forma sin contexto y con decoración grafitada en Calatrava la Vieja (Miguel 2019: fig. 5, 3), aunque en La Bienvenida-Sisapo se estratifica, con decoración digitada, en los niveles del Hierro I (Fernández Ochoa *et al.* 1994: figs. 116, 42-43; 118, 51; 119, 57).

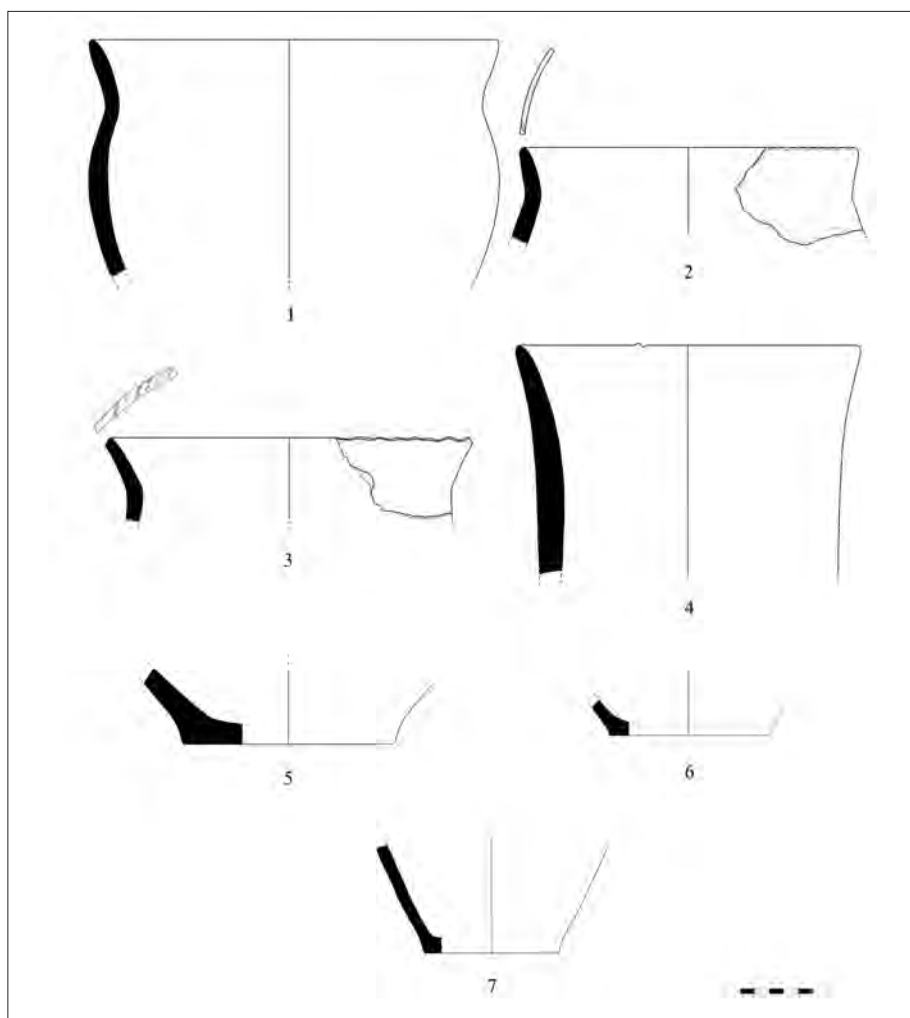


Fig. 7: 1. Recipiente elipsoide; 2-3. Bordes con incisiones; 4. Perfil acampanado; 5-7. Bases planas.

En ocasiones, el hombro no quedó marcado (fig. 6, 7-8), aunque el cuello se estranguló por el exvasado de un borde muy corto, dando lugar a un perfil en S más suave y continuo que ocasionalmente aplicó un mamelón por debajo del borde (figs. 6, 8; 9, 8). Estas características, que definen al tipo G.I.a.2 de Ruiz Mata (1995: fig. 14, 4), aparecen en la fase I del Cabezo de San Pedro (Ruiz Mata *et al.* 1981: figs. 36, 14) y en los fondos XXXII-XXXIII (Fernández Jurado y Ruiz Mata 1986: lám. XIII, 199-200, 203) y V de San Bartolomé de Almonte (Fernández Jurado y Ruiz Mata 1986: lám. XXIV, 341-342), aunque también se registra en el Cerro de las Cabezas (Esteban *et al.* 2003: fig. 4, 4), la fase 3 del edificio orientalizante del área 4 de La Bienvenida-Sisapo (Zarzalejos *et al.* 2017: fig. 12, 4), Salsa 3 (Antunes *et al.* 2017: fig. 11, 26), Cabeço Redondo (Monge Soares y

Monge Soares 2017: fig. 12, 2), el Cerro de San Antonio (Blasco *et al.* 1991: fig. 44, 19) y en la Escuela de Hostelería (Jiménez y Heras 2017: figs. 6, primera fila derecha, segunda fila izquierda, cuarta fila izquierda; 7, segunda fila izquierda). Todos estos testimonios muestran una gran amplitud cronológica que prácticamente ocupa todo el Hierro I. Uno de los paralelos más claros, fechado en la segunda mitad del s. VII a.C., se encuentra en la fase III de Castro Marim (Arruda *et al.* 2017: fig. 6, 1-2), contexto en el que, al igual que Alarcos, el recipiente se asocia a cerámica estilo Medellín.

Cuando el tramo del cuello fue más amplio adquirió la forma de las ollas del tipo G.I.c (Ruiz Mata 1995: fig. 14, 9) o I.B de Blasco *et al.* (1991: fig. 62, 6), como el ejemplar que se halló prácticamente completo en el nivel 3 de la U18-2, junto al testigo N (fig. 7, 1). Esta forma,

que ocasionalmente muestra incisiones a lo largo del borde (fig. 7, 2-3), también aparece en otros yacimientos de la Primera Edad del Hierro de la meseta con esta misma decoración, como en el Cerro de San Antonio (Blasco *et al.* 1991: figs. 20, 8; 37, 1, 4-5), si bien parece ser un recurso decorativo habitual en el Alto Guadiana como demuestran los vasos análogos del Cerro de las Cabezas (Esteban *et al.* 2003: fig. 4, 7).

Entre los recipientes de cuerpo ovoide se encuentran aquellos con el cuello muy desarrollado y con un perfil acampanado (figs. 7, 4; 9, 11), clasificado como urna por Fernández Jurado y Ruiz Mata (1986: fig. 36), aunque en los estudios cerámicos de la Primera Edad del Hierro son más conocidos como vaso à *chardon*. Este vaso, cuya mitad fue hallada en las anteriores campañas (García Huerta y Morales 2017: fig. 6), se elaboró a mano desde finales del s. IX a.C. (Torres 2008a: 659; Mataloto 2012: 202-203, fig. 21, 10), aunque la cronología radiocarbónica de Setefilla elevaría el límite superior entre el 840 y el 820 cal. a.C. (Brandherm y Krueger 2017: fig. 6). Precisamente el vaso à *chardon* o E.II.b del túmulo B de Setefilla es el que guarda mayores similitudes con el de Alarcos (Ruiz Mata 1995: fig. 23, 3), aunque también habría que considerar las formas análogas de la sepultura 4 de Poço Novo I (Figueiredo y Mataloto 2017: fig. 8, 4) y la urna acampanada del conjunto 70/12A-3 de la necrópolis de Medellín (Almagro y Torres 2008: 736), ambos fechados entre mediados y finales del s. VII a.C. Es muy probable que algunos de los bordes acampanados registrados, en especial uno de 52 cm de diámetro y superficies bruñidas (fig. 7, 4), pertenezcan a esta forma, aunque su fragmentación impide su clasificación segura.

El vaso à *chardon* es una forma típica de los contextos funerarios tartésicos onubenses (Garrido y Orta 1978: figs. 16, 30-31; 103, 1) y del Bajo Guadalquivir (Ruiz Mata 1995: figs. 22-24), aunque también se extendieron por el S de Portugal (Arruda *et al.* 2017: fig. 10, 1; Santos *et al.* 2017: fig. 14, abajo izquierda; Figueiredo y Mataloto 2017: fig. 10, 4) y el Guadiana Medio (Almagro 1977: figs. 100; 101: abajo derecha; Torres 2008a: 658-622). Durante el s. VIII a.C. se utilizó como urna cineraria, aunque a finales del mismo empezó a usarse como vaso de ofrendas (Torres 2008a: 659), perdurando a mano hasta el s. VI a.C. (Arruda *et al.* 2017: fig. 10, 1). En el nivel 13 de La Bienvenida-Sisapo también se conserva un ejemplar de este tipo a mano (Fernández Ochoa *et al.* 1994: fig. 125, 22), posiblemente con un uso funerario según la interpretación de dicho nivel (Zarzalejos *et al.* 2012: 28).

Sin embargo, el hecho de que sean los contextos funerarios donde se documenten los ejemplares más completos no quiere decir que estén ausentes en los poblados. Así, el vaso à *chardon* se ha constatado en el cerro Macareno (Pellicer *et al.* 1983: fig. 70, 553) o en el poblado de Alarcos como los ejemplares presentados. No obstante, cuando aparecen en poblados es mayoritaria su presencia en contextos culturales, como santuarios (Torres 2008a: 659; Santos *et al.* 2017: 254).

#### **Soportes de carrete**

Los soportes de carrete quedan reducidos a un único ejemplar completo de 14 cm de diámetro, 9 cm de altura y 12 mm de grosor máximo (figs. 8, 1; 9, 9). Presenta una pasta depurada de granulometría fina, nervio de cocción y unas superficies muy bruñidas que oscilan entre el castaño y el negro. Quizás muchos de los pequeños bordes que se presuponen acampanados pertenezcan a esta forma, aunque su fragmentación no permite afirmarlo con seguridad.

Esta forma, que solo supone el 0,2% del total, se corresponde con el tipo D.II de Ruiz Mata (1995: fig. 21). Es muy típica en el S peninsular, como en las tumbas 1 (Orta y Garrido 1963: fig. 15, 2) y 12 de la necrópolis de la Joya (Garrido y Orta 1978: fig. 17, 3), el nivel 24 del corte V-20 de cerro Macareno (Pellicer *et al.* 1983: fig. 68, 417), el nivel VI del cerro de los Infantes (Molina *et al.* 1983, 694), en la fase V de El Carambolo (Casado 2015: fig. 51, DJ/2002/24/2544-93+94+97) o la tumba E5 del CE1 de la necrópolis del cerro del Viento (Lechuga y Soto 2017, 16 n° 6), todos del Hierro I.

#### **Otros elementos cerámicos**

En este apartado se encuentran todos aquellos elementos realizados en cerámica que no corresponden a recipientes y que suponen el 1,3% del total del material cerámico recuperado. Dichos elementos se reducen a tres fichas (fig. 8, 2), una posible impronta de cestería (fig. 8, 3) y dos elementos circulares con una perforación central (fig. 8, 4-5), quizás pesas de telar como han apuntado García Huerta *et al.* (2020: 48).

Las fichas (fig. 8, 2), entre los 7 y 11 mm de grosor y entre los 4 y 10 cm de diámetro, presentan una pasta semidecantada o muy depurada, con desgrasantes finos o medios y cocciones irregulares o reductoras. Las superficies, entre castañas y negras, suelen tener las superficies alisadas, bruñidas o alternando ambos tratamientos.

Las pesas de telar (fig. 8, 4-5), con pasta de granulometría gruesa o media y cocción reductora, presentan

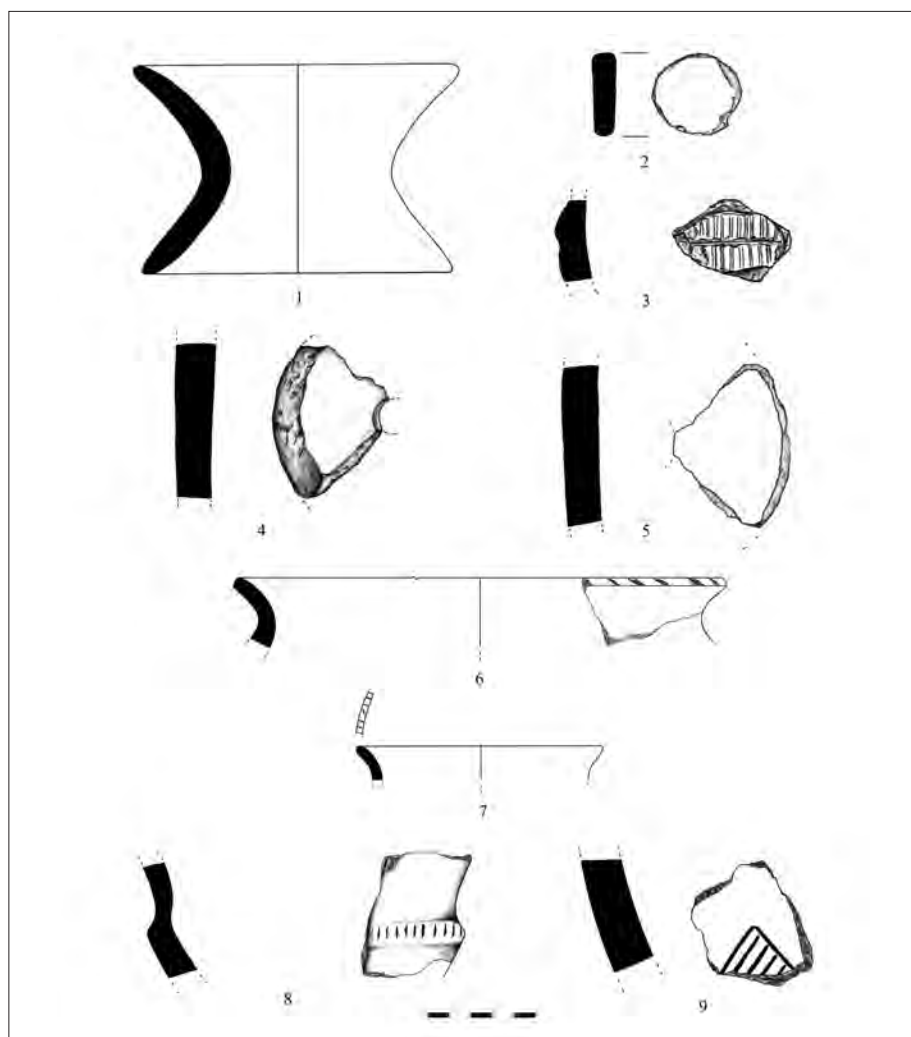


Fig. 8: 1. Soporte de carrete; 2. Ficha de cerámica; 3. Posible impronta sobre cerámica; 4-5. Pesas de telar; 6-9. Bordes y galbos con decoración incisa.

unos grosores entre 13 y 17 mm y un diámetro entre los 10 y 12 cm. Las superficies, entre beige y marrón, suelen estar alisadas o arrasadas. Tanto las fichas como las pesas de telar se elaboraron frecuentemente a partir de la reutilización de galbos.

#### LAS DECORACIONES

En lo relativo a la decoración, se observa el predominio de las cerámicas sin decorar, con el 74,5% del total de cerámica documentada. Por su parte, la cerámica pintada supone el 19,3%, correspondiendo el 13,23% al estilo San Pedro II, el 3,8% al estilo Meseta, el 1,7% a la cerámica monocroma en amarillo, el 0,6% al estilo Medellín y el 0,4% al estilo Valcorchero (Miguel 2020).

En cuanto a la concentración de la cerámica a mano con decoración pintada, cuyo estudio exhaustivo ha sido

recientemente publicado (Miguel 2020), la cerámica estilo San Pedro II y estilo Meseta aparecen asociadas en todos los niveles constatados, destacando su importante proporción en los niveles 3 y 4 de la U18-2. En ambos niveles también es donde se han hallado los nueve únicos fragmentos de cerámica monocroma en amarillo, localizándose un fragmento de cerámica estilo Medellín en el nivel 1 de la U18-1 y dos en el nivel 3 de la U18-3.

La cerámica incisa (figs. 6, 1; 7, 2-3; 8, 6-9), con el 3,6% de la cerámica decorada, muestra un repertorio exclusivamente geométrico, como triángulos (fig. 8, 9), líneas horizontales, círculos, etc. que fueron ejecutados con un instrumento romo cuando el barro estaba fresco. Fue muy habitual la decoración de incisiones sucesivas a lo largo de los bordes de los recipientes esferoides y elipsoides (figs. 6, 1; 7, 2-3; 8, 6-7), documentándose algún



Fig. 9: Selección de materiales exhumados en 2017: 1-3. Cazuelas; 4. Fuente; 5-6. Cuencos; 7. Plato; 8. Olla con mamelón; 9. Soporte de carrete; 10. Restos de pieza de bronce; 11. Vaso à chardon con decoración incisa.

caso con incisiones a lo largo del hombro (fig. 8, 8). La cerámica incisa se documenta en todos los niveles constatados, destacando la decoración en el vaso à *chardon* del nivel 2 de la U18-2 (fig. 9, 11), una composición con una ejecución ligera y poco cuidada, como si fuera fruto de una reacción espontánea.

La tendencia por decorar los bordes a partir de incisiones continuas fue muy habitual en yacimientos del Hierro I de la meseta, como el cerro de San Antonio (Blasco *et al.* 1991: figs. 19, 2; 20, 1; 25, 18-20; 26, 5-7; 29, 1-7).

Las aplicaciones mamilares (figs. 6, 1 y 8; 9, 4 y 8), que supone el 1,5% del total de la cerámica decorada, suele restringirse a recipientes esferoides y elipsoides de superficies toscas, localizándose fundamentalmente por debajo de los bordes. Sin embargo, los mamelones también se aplicaron sobre los bordes de fuentes troncocónicas (fig. 9, 4) o semiesféricas y en las carenas de algunas cazuelas (fig. 3, 2). Los mamelones aparecen frecuentemente perforados para su probable suspensión, ya sea horizontal o vertical. Los recipientes con mamelones aparecen en los niveles U18-3-1, U18-3-2, U18-3-3-1 y, especialmente representados, en el nivel 4 de la U18-2.

## METALES

Entre el repertorio material se pudieron recuperar algunos elementos amorfos de bronce cuya mala conservación no han permitido su identificación. Dichos restos aparecen en el nivel 2 de la U18-3 y en el nivel 1 de la U18-2, en este caso un botón circular y un vástago de sección plana (fig. 9, 10).

## INDUSTRIA ÓSEA

En el nivel 3 de la U18-3 también apareció un elemento alargado con algunas marcas de trabajo, aunque no se ha podido concretar su forma ya que aparece muy fragmentado.

## INDUSTRIA LÍTICA

Los elementos líticos se reducen a tres cantos de río, probablemente utilizados como bruñidores o piedras de afilar, y restos amorfos de roca volcánica que pudieron formar parte de algún molino de mano como fue habitual en la zona y en el propio yacimiento en época íbera (García Huerta *et al.* 2020: 119). Sin embargo, ninguno de estos elementos líticos presenta marcas o evidencias de transformación por el ser humano, por lo que podría tratarse de materia prima sin un uso establecido.

## ALARCOS Y EL ALTO GUADIANA EN LA TRANSICIÓN BRONCE FINAL-HIERRO I Y HIERRO I

Durante la etapa transicional Bronce Final-Hierro I y, sobre todo, durante el Hierro I se observa en el Alto Guadiana una tendencia hacia los elementos arqueológicos que definen a la cultura tartésica, ya sea en la arquitectura (Zarzalejos *et al.* 2017) o en las formas y decoraciones cerámicas (Esteban *et al.* 2019; García Huerta 2019; García Huerta *et al.*, 2020; Miguel 2020). Tanto es así que hay autores que han reivindicado la plena inclusión de esta región en las dinámicas culturales de Tarteso (Zarzalejos *et al.* 2017: 42-43). Sin embargo, como se apuntó anteriormente, los datos estratificados aún son escasos para establecer una seriación contrastada de los materiales que definen estas etapas en el Alto Guadiana, si bien es cierto que en los últimos años se han logrado grandes avances gracias a las intervenciones sistemáticas y continuadas en yacimientos como Alarcos, La Bienvenida-Sisapo, el cerro de las Cabezas o Calatrava la Vieja.

En el estudio de las cerámicas de Alarcos se ha podido comprobar la existencia de materiales que remiten en su mayoría al Hierro I del SO peninsular, como el vaso à *chardon* con decoración incisa, la cerámica a mano pintada estilo Medellín o estilo San Pedro II, así como las cazuelas A.II, cuencos B.II y soportes del tipo D.II de la tipología de Ruiz Mata (1995). A la Primera Edad del Hierro también pertenecen formas cerámicas con paralelos en la meseta, como las cazuelas y los vasos troncocónicos que definen respectivamente las formas III.A y VI de Blasco *et al.* (1991), además de la cerámica pintada bícroma estilo Meseta (Miguel 2020). Sin embargo, también existen formas cerámicas tradicionalmente adscritas a los momentos precedentes del Bronce Final como las cazuelas A.I.a, las ollas G.I., los vasos E.I.b o las cazuelas A.I-II de la tipología de Ruiz Mata (1995). Algunos de estos tipos tuvieron proporciones destacadas dentro de sus grupos, como es el caso de las cazuelas A.I.a con respecto a las A.II. No obstante, los grandes porcentajes de cuencos B.II señalan a estas cazuelas de carena alta marcada como perduraciones o elementos residuales.

Por tanto, y como ocurría en el C-23 del Sector IV de Alarcos (Fernández Rodríguez 2012: 60), nos hallamos ante un contexto material típico de la Primera Edad del Hierro en el que pervivieron elementos anteriores. Una situación análoga se constata en los niveles correspondientes a la transición Bronce Final-Hierro I del cerro de las Cabezas, en el que las cerámicas a mano pintadas

estilo Medellín (Esteban *et al.* 2003: fig. 6, 3-5), típicas de la Primera Edad del Hierro, convivieron con cazuelas A.I.a (Esteban *et al.* 2003: fig. 6, 10-11). Llama la atención que en este contexto transicional del Bronce Final a la Primera Edad del Hierro en el Alto Guadiana no se constata cerámica a torno, sobre todo si se tienen en cuenta las incuestionables relaciones con el SO peninsular donde se estaban desarrollando producciones a torno tartésicas y coloniales a causa de la presencia estable fenicia desde finales del s. IX cal. a.C. (Torres 2008b: 139). Esta circunstancia plantea la posibilidad de que dichas producciones a torno no entraran dentro de los gustos o las concepciones locales, explicando la causa por la que no fueron adquiridas ni producidas por las comunidades del Alto Guadiana. Estos contextos, en los que se documentan materiales de la Primera Edad del Hierro con perduraciones anteriores y con una total ausencia de cerámica a torno, se repite tanto en el Alto Guadiana, caso del estrato 13 del corte A1 (ab) de La Bienvenida-Sisapo (Fernández Ochoa *et al.* 1994) o Alarcos, como en el Bajo Guadiana, caso de Monte do Bolor 3 (Antunes *et al.* 2017: 166). Lo mismo ocurre en la Meseta donde se ha diferenciado un Hierro Antiguo o Hierro I con la práctica inexistencia de cerámica a torno (Blasco *et al.* 1991). Esta progresiva introducción de los elementos coloniales en el valle del Guadiana estaría relacionada con su localización geográfica y las dinámicas culturales del momento, diferentes a las del Bajo Guadalquivir donde la interacción entre las poblaciones locales y fenicias fue mucho más estrecha e intensa.

En lo referente a la cronología, el conjunto cerámico y los paralelos señalados indican un periodo que se centra entre finales del s. IX y durante todo el s. VIII a.C., aunque existen recipientes cuyos paralelos se estratifican en contextos más recientes. La cronología radiocarbónica de las muestras analizadas de estos niveles oscilan entre finales del s. X cal. a.C. y el 750 cal. a.C. (fig. 10). Sin embargo, si se atiende exclusivamente a las muestras de vida corta (Beta-475572, Beta-513968), los intervalos de probabilidad

se concentran fundamentalmente en el periodo comprendido entre el 850 y el 750 cal. a.C. Es posible que los resultados de la muestra de carbón (Beta-473984) muestren una cronología más antigua a la del contexto, quizás por estar sometida al efecto de “madera vieja”, ya que el hueso analizado (Beta-475572) en el mismo nivel presenta una cronología más reciente que no llega al s. X cal. a.C. como la primera. Las fechas obtenidas del nivel I del C-23 de Alarcos comparten este espacio cronológico (Fernández Rodríguez 2012: tab. 1), así como las de Setefilla donde se halló un vaso à chardon similar al de Alarcos (Barndherm y Krueger 2017: fig. 6). La fase V de El Carambolo, en la que también se han apuntado algunos paralelos, se fecharía a finales del s. IX o principios del s. VIII cal. a.C. según la cronología que arrojan los niveles fundacionales (Fernández Flores y Rodríguez Azogue 2007: fig. 14).

Por tanto, considerando la cronología que aportan los materiales y las muestras analizadas por radiocarbono, los niveles de Alarcos exhumados en 2017 y los materiales asociados se fecharían en torno a mediados del s. VIII a.C. o un poco antes, por lo que durante los últimos años de la transición Bronce Final-Hierro I o los primeros años de la Primera Edad del Hierro. Sin embargo, si se atiende exclusivamente a la cronología radiocarbónica, el contexto estudiado comprendería los momentos finales del s. IX y toda la primera mitad del s. VIII cal a.C., por lo que dentro de lo que se ha denominado como período transicional Bronce Final-Hierro I.

Esta etapa se caracterizó por una estrecha vinculación con la cultura tartésica, por lo que, como se viene aceptando desde los años setenta del s. XX para el Guadiana medio (Almagro 1977; Rodríguez González 2018) y como se viene reivindicando desde los años noventa para el cercano yacimiento de La Bienvenida-Sisapo (Fernández Ochoa *et al.* 1994: 144-145; Zarzalejos *et al.* 2017: 60; Esteban *et al.* 2019: 80, nota 2), es muy posible que Alarcos se deba integrar en los límites en los que la cultura tartésica ejerció una gran influencia, sobre todo si las recientes investigaciones han considerado el espacio

Contexto	Muestra	Referencia	Fecha BP	Ratio	Cal BC 1 sigma	Cal BC 2 sigma
AL17-U18-3-3	Carbón	Beta-473984	2700±30BP	-25.0	905-806 AC	851-813 AC
AL17-U18-2-4	Hueso	Beta-513968	2640±30BP	-20.6	846-789 AC	893-876 AC
AL17-U18-3-3	Hueso	Beta-475572	2530±30BP	-21.1	797-731 AC	791-750 AC

Fig. 10: Dataciones radiocarbónicas (a partir de García Huerta *et al.* 2020: tabla 12).

situado algo más al N de la línea del Guadiana como el límite para el desarrollo de la misma (Rodríguez González 2018: fig. 1). De esta forma, la zona correspondiente al Alto Guadiana quedaría inserta en el fenómeno de la cultura tartésica, aunque con diferencias con respecto a la zona nuclear del Bajo Guadalquivir, ya que esta región contaría con sus propias dinámicas culturales y redes de contacto que le ofrecerían una personalidad propia dentro del espacio geográfico que delimita a Tarteso.

En el caso particular de Alarcos, aunque sería extensible a todo el Alto Guadiana, parece que, en un primer momento, correspondiente a la transición Bronce Final-Hierro I que se fecharía poco antes de mediados del s. VIII a.C., determinados aspectos que se estaban desarrollando entre las poblaciones tartésicas del Bajo Guadalquivir, como la citada cerámica a torno, no fueron del gusto o no entroncaron con las concepciones de estas comunidades del Alto Guadiana. Sin embargo, las producciones cerámicas a mano de dichas comunidades fueron exactamente las mismas a las producidas por las poblaciones tartésicas de la zona nuclear en el Bajo Guadalquivir, tanto en formas como en decoración. Esta circunstancia tendría que ver con los propios gustos, ya que tanto la tecnología a mano, como las cocciones reductoras, las superficies oscuras y bruñidas o las formas carenadas estarían acordes con las tradiciones y con las producciones que se estaban desarrollando hasta ese momento en la meseta S. Así, las similitudes entre la cultura material del Alto Guadiana y la del Bajo Guadalquivir se establecieron, en un primer momento, a través de las producciones a mano típicamente tartésicas, como el repertorio de formas estudiado en este trabajo. Sin embargo, y reiterando la idea anterior, la posición geográfica de Alarcos favoreció el contacto con otras regiones geográficas, por lo que, dentro de un ambiente cultural de tinte fundamentalmente tartésico, existieron elementos culturales diferenciadores en el Alto Guadiana que no aparecen en la zona nuclear de Tarteso, como la cerámica bícroma estilo Meseta o todas aquellas cerámicas a mano con paralelos en la meseta o la Alta Andalucía.

Posteriormente, en pleno Hierro I, se documentan cambios más drásticos en el Alto Guadiana. Dichos cambios se materializan en el desarrollo de una arquitectura de filiación tartésica o una producción cerámica a torno que reinterpreta tipos y estilos tartésicos o fenicios, como la cerámica de barniz rojo, la cerámica gris o la cerámica bícroma a torno entre otras (Zarzalejos y López 2005), además de la introducción del rito incinerador como

constata la necrópolis del Sector IV-E de Alarcos (Fernández Rodríguez 2001) o la necrópolis de Los Cotos (Alhambra, Ciudad Real) (Benítez de Lugo y Fuentes 2021), si bien la incineración en el vaso bicónico con incrustaciones metálicas del sector IV-E de Alarcos parece ser anterior y, como consecuencia, indicaría el inicio del desarrollo de la incineración en un período que se adscribiría a la transición Bronce Final-Hierro I. En esta época también se adquirieron algunas importaciones griegas o fenicias, como constata un fragmento de *kotyle* protocorintia y el borde de ánfora fenicia del tipo T.10.1.2.1 del área 4 de la Bienvenida-Sisapo (Zarzalejos *et al.* 2017: figs. 14; 15, 6), así como la cerámica de barniz rojo y la copa jonia del tipo B2 de los niveles 11a y 12a del corte A1 (ab) de este mismo yacimiento (Fernández Ochoa *et al.* 1994: fig. 98, 1), una cerámica de barniz rojo fenicia que también se registra en el nivel 4 del C-23 de Alarcos (Fernández Rodríguez 2012: 46).

Por tanto, se podría defender, según la documentación expuesta, la inclusión plena de Alarcos en particular y del Alto Guadiana en general en la órbita de la cultura tartésica, aunque se trata de un espacio con elementos propios que lo diferencian de otras regiones en las que se desarrolló el mismo fenómeno cultural y que se explican por el propio sustrato local o los contactos comerciales y culturales entre el Alto Guadiana y otras regiones geográficas, como la meseta o la Alta Andalucía.

## AGRADECIMIENTOS

Mi más sincero agradecimiento al equipo de investigación del área de Prehistoria de la Universidad de Castilla-La Mancha, dirigido por la Dra. Dña. M. del Rosario García Huerta, por haberme permitido el estudio y publicación de los materiales del Sector III de Alarcos.

## BIBLIOGRAFÍA

- ALMAGRO, M. (1977): *El Bronce Final y el Periodo Orientalizante en Extremadura*, Madrid.
- ALMAGRO, M.; TORRES, M. (2008): Cerámica a mano, *La necrópolis de Medellín. II. Estudio de los hallazgos* (M. Almagro, dir.), Madrid, 734-748
- ANTUNES, A. S.; DE DEUS, M.; MONGE SOARES, A.; SANTOS, F.; ARÊZ, L.; DEWULF, J.; BAPTISTA, L.; OLIVEIRA, L. (2012): Povoados abertos do Bronze Final do Médio Guadiana, *Sidereum Ana II. El río Guadiana en el Bronce Final* (J. Jiménez ed.), Mérida, 277-308.

- ANTUNES, A. S.; DE DEUS, M.; ESTELA, S.; LARRAZABAL, J.; MONGE SOARES, R.; SALVADOR MATEOS, R. M. (2017): Monte do Bolor 3, Monte do Pombal 2, Salsa 3 e Torre Velha 3: contextos de planície da Idade do Ferro do Alentejo interior, *Sidereum Ana III. El río Guadiana y Tartessos* (J. Jiménez ed.), Mérida, 159-185.
- ARRUDA, A. M.; DE OLIVEIRA, C. F.; TEIXEIRA, V. (2017): Castro Marim entre indígenas, fenicios e tartéssicos, *Sidereum Ana III. El río Guadiana y Tartessos* (J. Jiménez ed.), Mérida, 443-466.
- AUBET, M. E.; SERNA, M. R.; ESCACENA J. L.; RUIZ DELGADO, M. M. (1983): *La Mesa de Setefilla. Lora del Río (Sevilla). Campaña de 1979*, Madrid.
- BENÍTEZ DE LUGO, L. (2004): Conclusiones y valoración final 1998-2000, *Mentesa Oretana 1998-2002* (L. Benítez de Lugo, dir.), Ciudad Real, 269-274.
- BENÍTEZ DE LUGO, L.; FUENTES, J. L. (2021): Representaciones del poder en ámbitos funerarios de la Oretania septentrional: el reflejo del poder en la muerte, *La Cámara sepulcral de Toya (1918-2018), cien años de investigaciones*, Jaén.
- BLASCO, M. C.; LUCAS, R.; ALONSO, A. (1991): Excavaciones en el poblado de la Primera Edad del Hierro del Cerro de San Antonio (Madrid), *Arqueología, paleontología y etnografía*, Madrid, 9-159.
- BRANDHERM, D.; KRUEGER, M. (2017): Primeras determinaciones radiocarbónicas de la necrópolis de Setefilla (Lora del Río) y el inicio del periodo orientalizante en Andalucía occidental, *TP 74* (2), 296-318.  
DOI: <https://doi.org/10.3989/tp.2017.12196>
- CASADO, M. (2015): *La cerámica con decoración geométrica del Carambolo*, Sevilla.
- ESTEBAN, G.; HEVIA, P.; PÉREZ AVILÉS, J. J.; VÉLEZ, J. (2003): La transición del Bronce Final a la Primera Edad del Hierro en el Cerro de las Cabezas (Valdepeñas, Ciudad Real), *Cuadernos de Estudios Manchegos* 24-25, 10-46.
- ESTEBAN, G.; ZARZALEJOS, M.; HEVIA, P. (2019): Cerámicas a mano pintadas de Sisapo-La Bienvenida (Almodóvar del Campo, Ciudad Real), *Las cerámicas a mano pintadas postcocción de la península ibérica durante la transición entre el Bronce Final y la I Edad del Hierro* (E. Rodríguez González, S. Celestino eds.), Mérida, 75-109.
- FERNÁNDEZ FLORES, A.; RODRÍGUEZ AZOGUE, A. (2007): *Tartessos desvelado. La colonización fenicia del suroeste peninsular y el origen y ocaso de Tartessos*, Córdoba.
- FERNÁNDEZ OCHOA, C.; ZARZALEJOS, M.; HEVIA, P.; ESTEBAN, G. (1994): *Sisapo I. Excavaciones arqueológicas en "La Bienvenida", Almodóvar del Campo (Ciudad Real)*, Toledo.
- FERNÁNDEZ RODRÍGUEZ, M. (2001): La necrópolis del Sector IV-E de Alarcos, *Arqueología funeraria. Las necrópolis de incineración* (M. R. García Huerta, F. J. Morales, coords.), Cuenca, 259-284.
- FERNÁNDEZ RODRÍGUEZ, M. (2012): Apuntes sobre el Bronce Final y la Primera Edad del Hierro en Alarcos (Ciudad Real), *Sidereum Ana II. El río Guadiana en el Bronce Final* (J. Jiménez ed.), Mérida, 41-64.
- FERRER, E.; RUIZ CECILIA J. I.; GARCÍA FERNÁNDEZ, F. J. (2017): Nuevos datos sobre el Bronce Final en Osuna, *Territorios comparados: Los valles del Guadalquivir, el Tajo y el Guadiana en época tartésica* (S. Celestino; E. Rodríguez González eds.), Mérida, 79-119.
- FIGUEIREDO, M.; MATALOTO, R. (2017): Necrópolis rurales sídericas do Baixo Alentejo setentrional: sociedade e mundo funerário nos Barros de Beja, *Sidereum Ana III. El río Guadiana y Tartessos* (J. Jiménez ed.), Mérida, 353-398.
- GARCÍA HUERTA, M. R. (2019): Las cerámicas postcocción de la Meseta Sur: El ejemplo de Alarcos (Ciudad Real), *Las cerámicas a mano pintadas postcocción de la península ibérica durante la transición entre el Bronce Final y la I Edad del Hierro* (E. Rodríguez González y S. Celestino, eds.), Mérida, 39-74.
- GARCÍA HUERTA, M. R.; FERNÁNDEZ RODRÍGUEZ, M. (2000): La génesis del mundo ibérico en la submeseta sur: El tránsito del Bronce Final-I Edad del Hierro en Alarcos, *CuPAUAM*, 26, 47-68.  
DOI: <https://doi.org/10.15366/cupauam2000.26.003>
- GARCÍA HUERTA, M. R.; MORALES, F. J. (2017): El poblado de Alarcos (Ciudad Real) en los inicios del I milenio a.C.: estructuras y materiales cerámicos, *TP 74*(1), 108-126.  
DOI: <https://doi.org/10.3989/tp.2017.12186>
- GARCÍA HUERTA, M. R.; MORALES, F. J.; OCAÑA, A. (1999): El poblado de la Edad del Hierro de Peñarroya (Argamasilla de Alba, Ciudad Real), *I Jornadas de Arqueología ibérica en Castilla-La Mancha* (M. A. Valero, coord.), Toledo, 221-258.
- GARCÍA HUERTA, M. R.; MORALES, F. J.; RODRÍGUEZ GONZÁLEZ, D. (2018): *De la muerte a la eternidad: la necrópolis ibérica de Alarcos (Ciudad Real)*, Madrid.
- GARCÍA HUERTA, M. R.; MORALES, F. J.; RODRÍGUEZ GONZÁLEZ, D. (2020): *El Cerro de Alarcos (Ciudad Real): formación y desarrollo de un oppidum ibérico*, Oxford.
- GARRIDO, J. P.; ORTA, E. M. (1978): *Excavaciones en la necrópolis de "La Joya" Huelva II (3ª, 4ª y 5ª campañas)*, Madrid.
- GONZÁLEZ DE CANALES, F.; SERRANO PICHARDO, L.; LLOMPART, J. (2010): El inicio de la Edad del Hierro en el suroeste de la península ibérica, las navegaciones precoloniales y cuestiones en torno a las cerámicas de Huelva, *IV Encuentro de Arqueología del Suroeste. Aracena (Huelva), 27-29 de noviembre de 2009* (J. A. Pérez Macías, E. Romero Bomba, eds.), Huelva, 648-697.
- GONZÁLEZ PRATS, A. (1983): *Estudio arqueológico del poblamiento antiguo de la sierra de Crevillente (Alicante)*, Alicante.

- HUNT, M. A.; GARCÍA RIVERO, D. (2017): El asentamiento protohistórico de Jardín de Alá (Salteras, Sevilla), *Territorios comparados: Los valles del Guadalquivir, el Tajo y el Guadiana en época tartésica* (S. Celestino, E. Rodríguez González eds.), Mérida, 47-77.
- JIMÉNEZ, J.; HERAS, F. J. (2017): La ocupación orientalizante de la Escuela de Hostelería de Mérida, *Sidereum Ana III. El río Guadiana y Tartessos* (J. Jiménez ed.), Mérida, 107-129.
- LECHUGA, M. A.; SOTO, M. (2017): La tumba de la mujer y el joven del cerro de los Vientos (Puente del Obispo, Baeza), *La Dama, el Príncipe, el Héroe y la Diosa*, Jaén, 9-17.
- LÓPEZ ROA, C. (1977): La cerámica con decoración bruñida en el suroeste peninsular, *TP* 34, 341-370.
- LUZÓN, J. M.; RUIZ MATA, D. (1973): *Las raíces de Córdoba. Estratigrafía de la Colina de los Quemados*, Córdoba.
- MATALOTO, R. (2012): Os Sehnores e as Serras: o final da Idade do Bronze no Alentejo Central, *Sidereum Ana II. El río Guadiana en el Bronce Final* (J. Jiménez, ed.), Mérida, 185-213.
- MIGUEL, P. (2019): Calatrava la Vieja (Carrión de Calatrava, Ciudad Real) durante la Primera Edad del Hierro (c. fin s. VIII-550 a.C.), *Spal*, 28(1), 79-96.  
DOI: <https://doi.org/10.12795/spal.2019.i28.04>
- MIGUEL, P. (2020): *Definición y caracterización de las cerámicas a mano con decoración pintada del sur de la península ibérica en época tartésica*, Oxford.
- MOLINA, F.; MENDOZA, A.; SAEZ, L.; ARTEAGA, O.; AGUAYO, P.; ROCA, M. (1983): Nuevas aportaciones para el estudio del origen de la cultura ibérica en la Alta Andalucía. La Campaña de 1980 en el cerro de los Infantes, *XVI Congreso Nacional de Arqueología, Cartagena, 1982*, Zaragoza, 689-708.
- MONGE SOARES, R.; MONGE SOARES, A. M. (2017): O Cabeço Redondo (Moura). Um edifício monumental e singular na margen esquerda do Guadiana, *Sidereum Ana III. El río Guadiana y Tartessos* (J. Jiménez, ed.), Mérida, 421-441.
- ORTA, E. M.; GARRIDO, J. P. (1963): La tumba orientalizante de «La Joya», Huelva, *TP* 11, 7-36.
- PELLICER, M.; ESCACENA, J. L.; BENDALA, M. (1983): *El cerro Macareno*, Madrid.
- PEREIRA, J. (2019): Las cerámicas pintadas del Tajo: el ejemplo de la Casa del Carpio (Toledo), *Las cerámicas a mano pintadas postcocción de la península ibérica durante la transición entre el Bronce Final y la I Edad del Hierro* (E. Rodríguez González, S. Celestino eds.), Mérida, 145-160.
- PÉREZ AVILÉS, J. J.; VÉLEZ, J. (1996): Estudio sobre la Protohistoria de Valdepeñas y su comarca, *Cuadernos de Estudios Manchegos* 22, 9-37.
- RODRÍGUEZ GONZÁLEZ, E. (2018): *El poblamiento del valle medio del Guadiana durante la I Edad del Hierro*, Madrid.
- RUFETE, P. (2002): *El final de Tartessos y el periodo turdetano en Huelva*, Huelva.
- RUIZ MATA, D. (1995): Las cerámicas del Bronce Final. Un soporte tipológico para delimitar el espacio y el tiempo tartésico”, *Tartessos, 25 años después (1968-1993). Actas del Congreso Conmemorativo del V Symposium Internacional de Prehistoria Peninsular*, Cádiz, 265-313.
- RUIZ MATA, D., BLÁZQUEZ, J. M.; MARTÍN DE LA CRUZ, J. C. (1981): Excavaciones en el Cabezo de San Pedro (Huelva). Campaña de 1978, *Huelva Arqueológica* 5, 149-316.
- RUIZ MATA, D.; FERNÁNDEZ JURADO, J. (1986): *El yacimiento metalúrgico de época tartésica de San Bartolomé de Almonte (Huelva)*, Huelva.
- SANTOS, F.; ANTUNES, S.; DE DEUS, M.; GRILO, C. (2017): A Necrópole de Palhais (Beringel, Beja), *Sidereum Ana III. El río Guadiana y Tartessos* (J. Jiménez ed.), Mérida, 227-261.
- TORRES, M. (2008a): Vasos «a Chardón», *La necrópolis de Medellín. II. Estudio de los hallazgos* (M. Almagro dir.), Madrid, 658-662.
- TORRES, M. (2008b): The Chronology of the Late Bronze Age in Western Iberia and the beginning of the Phoenician colonization in the Western Mediterranean, *A new Dawn for the Dark Age? Shifting Paradigms in Mediterranean Iron Age Chronology*, Oxford: 135-147.
- VALENCIANO, M. C.; POLO, J. (2010): Una necrópolis del Hierro en Atalaya del Cañavate, Cuenca: La Cañada del Santo, *Actas de las II Jornadas de Arqueología de Castilla-La Mancha* (A. Madrigal, M. R. Perlins, coords), Toledo, 344-367.
- VÉLEZ, J.; PÉREZ AVILÉS, J. J. (1999): Oretanos en la meseta sur. El yacimiento ibérico del cerro de las Cabezas (Valdepeñas), *Revista de Arqueología* 20 (213), 46-55.
- ZARZALEJOS, M.; LÓPEZ, J. (2005): Apuntes para una caracterización de los procesos orientalizantes en la Meseta Sur, *El periodo Orientalizante* (S. Celestino, J. Jiménez, eds.), Mérida, 809-842.
- ZARZALEJOS, M.; ESTEBAN, G.; HEVIA, P. (2012): El Bronce Final en el Alto Guadiana. Viejos y nuevos datos para una lectura histórica, *Sidereum Ana II. El río Guadiana en el Bronce Final* (J. Jiménez, ed.), Mérida, 15-40.
- ZARZALEJOS, M.; ESTEBAN, G.; HEVIA, P. (2017): El Alto Guadiana entre los siglos VIII y VI a.C. Novedades estratigráficas en el Área 4 de Sisapo-La Bienvenida (Almodóvar del Campo, Ciudad Real), *Sidereum Ana III. El río Guadiana y Tartessos* (J. Jiménez, ed.), Mérida, 39-67.



# EL FINAL DEL HIERRO ANTIGUO EN EL SE IBÉRICO: CONTEXTOS CERÁMICOS DE TRANSICIÓN PROCEDENTES DEL ASENTAMIENTO DE LOS CASAREJOS (LORCA, MURCIA)

*The end of Early Iron Age in the Iberian SE: transition pottery assemblages from Los Casarejos settlement (Lorca, Murcia)*

BENJAMÍN CUTILLAS VICTORIA 

Grupo de Investigación en Arqueología (E041-02). Universidad de Murcia. benjamin.cutillas@um.es

---

## RESUMEN:

*En la segunda mitad del s. VI a.C., las comunidades del SE ibérico se ven inmersas en un profundo período de reestructuración territorial, con abandonos y procesos de contracción urbana que retratan las inestabilidades del período. Sin embargo, el núcleo de Los Casarejos se ocupa durante este momento en una posición poco apta y alejada de las principales rutas de comunicación de la región. En este artículo se presenta la revisión de la intervención realizada en este yacimiento, tanto en lo relativo a su secuencia cronoestratigráfica como sobre sus contextos cerámicos. Los resultados obtenidos han permitido recuperar nuevos datos a nivel material y territorial a partir de los que analizar las dinámicas que llevaron a la creación de este asentamiento monofásico, reconociendo además patrones y estrategias de ocupación complementarias que retratan la complejidad del período de transición entre el final del Hierro Antiguo y la emergencia de la cultura ibérica.*

**Palabras clave:** SE ibérico, Edad del Hierro, asentamientos, vajillas cerámicas, dinámicas territoriales.

## ABSTRACT:

*In the second half of the 6th century BC, the communities of the Iberian SE were immersed in a deep period of territorial restructuring, with abandonment and processes of urban contraction that reflect the instabilities of the period. However, the site of Los Casarejos was occupied at this phase of transition in an unsuitable position, far from the main communication routes in the region. This work presents a review of the archaeological excavation carried out at this site, both in terms of its chronostratigraphic sequence and its ceramic assemblage. The results obtained have made it possible to recover new material and territorial data from which to analyse the dynamics that led to the creation of this single-phase settlement, also recognising complementary occupation patterns and strategies that point to the complexity of the transition period between the end of the Early Iron Age and the emergence of Iberian culture.*

**Key words:** Iberian Southeast, Iron Age, settlements, ceramic assemblage, territorial dynamics.



Dentro de los diversos fenómenos históricos que se dan en el SE de la península Ibérica durante el Ier milenio a.C., la transición entre el final del Hierro Antiguo y los inicios del período Ibérico continúa siendo uno de los peor conocidos. En una horquilla cronológica que se prolongó aproximadamente desde la segunda mitad del s. VI a mediados del V a.C., se sucedieron importantes procesos de reestructuración poblacional que afectaron tanto a las comunidades del corredor prelitoral del Segura-Guadalentín (González Prats 1983; Ros 1989; Cutillas y Ros 2020; Lorrio *et al.* 2020), como a los entornos litorales en los que hasta ese momento se habían concentrado las ocupaciones de raigambre fenicio occidental (Rouillard *et al.* 2007; González Prats 2011; Ros 2017). Ligados o no a un posible descenso demográfico, tales cambios transformaron los paisajes y marcos relacionales de las comunidades de la región, además de alterar los modelos sociopolíticos, económicos y culturales desarrollados desde el s. VIII a.C. (fig. 1).

A nivel territorial, la principal consecuencia de esta coyuntura fue la contracción o directamente el abandono de una parte de los asentamientos de las cuencas de los ríos Segura y Vinalopó. Esta situación ha servido como argumento para vincular estos procesos con la identificada crisis del s. VI a.C. que afecta directamente al mundo fenicio oriental (Elayi 2013: 214-215), y cuyas consecuencias se han traspolado a las colonias fenicias ibéricas (Frankenstein 1997: 211; Aubet 2009: 344 y ss.). Sin embargo, el problema de esta posición es que, más allá de infravalorar la propia autonomía de las colonias occidentales y el carácter de sus relaciones con las economías y sociedades locales (Ruiz y Vallejo 2002: 206), también condiciona el análisis de los grupos autóctonos del Hierro Antiguo bajo una determinada magnificación de los hábitats fenicios y las transformaciones que en ellos se sucedieron (Martín Ruiz 2007: 154).

De esta manera, sin dejar de considerar los importantes efectos que la reestructuración de los entornos coloniales implicó entre las comunidades autóctonas del SE, es necesario adoptar un enfoque consciente de la agencia de estos grupos (Van Dommelen 1998; Vives-Ferrándiz 2005) mediante el que poder identificar sus propios mecanismos y dinámicas internas. Una perspectiva que, dentro de una coyuntura de transición, se vuelve aún más necesaria ya que en la última fase del Hierro Antiguo se encuentra la emergencia del período Ibérico. De ahí la importancia que cobra la revisión de asentamientos con niveles de estas cronologías para realizar aproximaciones

menos condicionadas, siendo estas especialmente significativas cuando se trata de asentamientos monofásicos adscritos a esta etapa como parece que es el caso de Los Casarejos (Lorca, R. Murcia).

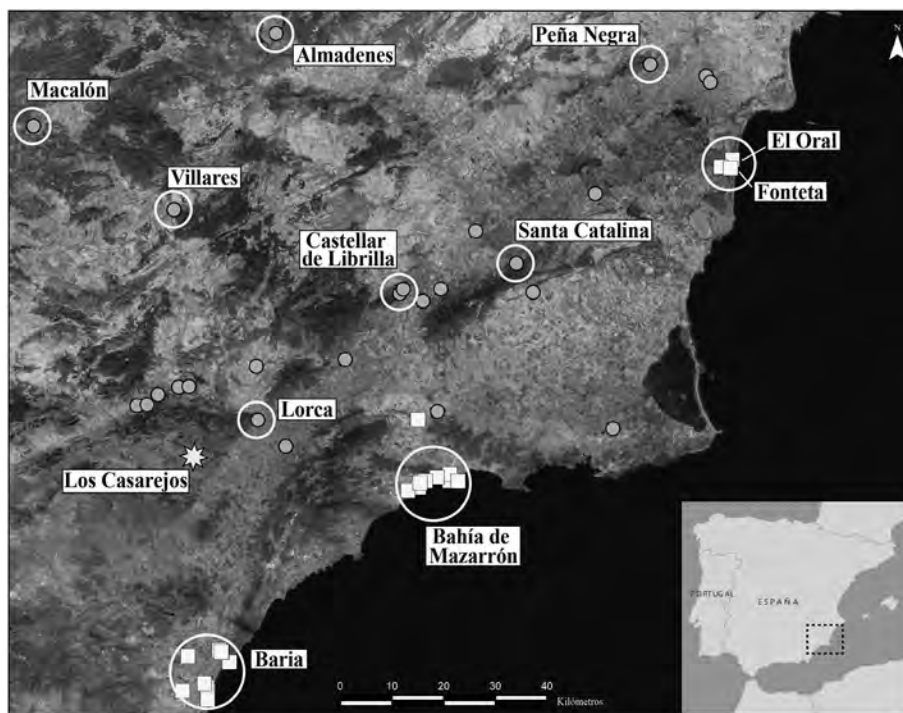
En el año 2009, durante la construcción de la zanja para un gaseoducto en el paraje conocido como Los Casarejos, se identificaron una serie de niveles arqueológicos que llevaron a la ejecución de una intervención arqueológica al S de la línea practicada. En la memoria redactada y su posterior publicación se planteaba que este yacimiento se adscribía al Bronce Final y perduraba durante la I Edad del Hierro y época ibérica (Mancha 2010). Sin embargo, la revisión de esta intervención ha arrojado unos resultados muy distintos de los hasta ahora presentados, pudiendo adscribir esta ocupación a un momento estrechado al final del Hierro Antiguo y el inicio del Ibérico Antiguo. El objetivo de este trabajo es recuperar este yacimiento para la arqueología del SE presentando los datos obtenidos a partir del análisis acometido de su paisaje, secuencia y repertorio vascular.

## LA SEGUNDA MITAD DEL S. VI A.C. EN EL SE IBÉRICO: UNA NUEVA ETAPA DE CAMBIO Y CONTINUIDAD

A partir del año 550 a.C. se suceden en el SE de la península Ibérica una serie de episodios que marcan el comienzo de una coyuntura de profundos cambios. El nuevo refuerzo de la muralla de Fonteta (Rouillard *et al.* 2007: 133) se enmarca en un período de conflictividad creciente que se traduce en el horizonte autóctono en el posible asalto y abandono de Peña Negra (Lorrio *et al.* 2020: 519), así como en una primera destrucción de El Macalón (Chapa *et al.* 2019: 386). La aparición de puntas de doble filo y arpón lateral en estos yacimientos (Lorrio *et al.* 2016), la ocultación del tesoro de Peña Negra (González Prats 1983) y la destrucción intencionada de las esculturas de El Macalón (Cutillas y Navarro 2018: 259), son síntomas evidentes de la magnitud de estas tensiones. No obstante, no todos los episodios de abandono que tuvieron lugar se dieron a raíz de eventos traumáticos y/o violentos, sino que los procesos de reorganización interna también jugaron un papel clave en esta transición.

Este es el caso del abandono de los asentamientos fortificados de Los Almadenes, en la cuenca del río Mundo (Cañavate *et al.* 2017; Sala *et al.* 2020); el Cabezo de la Fuente del Murtal, entendido como una parte más del

Fig. 1: Localización del yacimiento arqueológico de Los Casarejos en el contexto de los asentamientos fenicios y autóctonos del SE ibérico durante el Hierro Antiguo (Elaboración propia. MDT-Instituto Geográfico Nacional).



Castellar de Librilla (Cutillas y Ros 2020: 90); o, aún con unos resultados preliminares, posiblemente el Castellar de Villena (Esquembre y Ortega 2017). Misma tendencia se aprecia en el caso de los establecimientos en llano, donde las inestabilidades del sistema provocaron que la mayor parte de estos núcleos no se prolongasen más allá de mediados del s. VI a.C. Los datos procedentes del Campo de Elche, que agrupa los asentamientos de Hacienda Botella, Casa de Secà, Finca del Tío Bou o Galanet (Soriano *et al.* 2012), o del hinterland de Lorca, con la Torre de Sancho Manuel (Cutillas 2019) y la cuenca del río Corneros (Sánchez González *et al.* 2010), son muy significativos en tanto reflejan no solo la caída de posiciones concretas, sino el desajuste de redes poblacionales articuladas destinadas a la explotación de un determinado territorio.

La situación en estos escenarios litorales y prelitorales apuntaría a una caída drástica de los sistemas establecidos desde el Bronce Final reciente. Sin embargo, es justamente en este punto donde es necesario ampliar el enfoque para analizar qué está sucediendo en otros de los principales escenarios de la región y cómo estas comunidades, tanto de raigambre local como colonial, se superponen a las nuevas dinámicas que tienen lugar durante la transición entre los ss. VI y V a.C.

En la desembocadura del río Segura, el abandono que se detecta en Fonteta durante el último cuarto del s. VI a.C. (Rouillard *et al.* 2007: 149) es sincrónico a la creación de El Oral, un asentamiento de nueva planta situado en una loma amesetada a dos kilómetros al N (Abad y Sala 1993; 2001). Su modelo urbanístico complejo y la construcción de su muralla en un momento previo al resto de construcciones del núcleo, denota el carácter planificado de este asentamiento y sirve como argumento para plantear un probable traspaso de población procedente de Fonteta (Sala 2010: 944). Precisamente estos movimientos coinciden con la continuidad de las estructuras de Baria donde, a pesar de entrar en un nuevo período denominado como Fase II o Fenicia Urbana Plena (López Castro *et al.* 2011: 63), las estructuras en uso durante el s. VI a.C. permanecieron a lo largo de la primera mitad del s. V a.C. (López Castro *et al.* 2010: 116). Una continuidad que no solo se ha planteado para la colonia, sino también para una parte de las unidades de su hinterland –Hoya de Taray, Garrucha, Salar de la Porrera o Cabecico Parra– que mantuvieron su actividad durante este período (López Castro *et al.* 2010). Más compleja parece la situación de la Bahía de Mazarrón, a medio camino entre la depresión de Vera y la desembocadura del Segura, debido a la ausencia hasta la fecha de niveles identificados

adscritos a esta cronología. Pese a ello, la continuidad de este entorno parece demostrada como revelan los hallazgos de materiales tardoarcaicos en Punta de los Gaviñanes (Ros y Cutillas 2020) y, más al interior, en El Canal (Correa 2010).

En vista de los datos actuales, estos procesos poblacionales distan de significarse como eventos de abandono o de destrucción de los asentamientos de raigambre colonial; incluso, retratan la agencia de estas comunidades por permanecer en unos entornos ocupados desde el s. VIII a.C. No obstante, esta continuidad también se produce, por un lado, por la emergencia de una nueva dinámica comercial que recupera los territorios del SE ibérico bajo una clara iniciativa de la órbita económica del Círculo del Estrecho en el que los envases anfóricos de la serie T-11 juegan un papel destacado (Abad y Sala 2001; Ros y Cutillas 2020: 794); y, por otro, por la probable pero todavía mal conocida presencia púnica arcaica cuyo reflejo se consolida durante el s. V a.C. y que cristaliza en determinadas manifestaciones arquitectónicas y funerarias como el recinto de culto con emblema en forma de lingote chipriota de El Oral (Sala 2010: 943), los hipogeos de Baria/Villaricos (Astruc 1951; Rodero *et al.* 1996) o, en el prelitoral, los templos de Lorca equipados con altares en forma de piel de toro (Cárceles *et al.* 2011; 2015).

En este sentido, la reconfiguración de territorios y asentamientos no se restringió únicamente a los núcleos del litoral. Entre las sociedades autóctonas también se produjeron intensos procesos de reorganización poblacional y remodelaciones urbanísticas que afectaron principalmente a los asentamientos en altura. En el Castellar de Librilla se han podido documentar diversos movimientos internos que llevaron al abandono de los sectores elevados para concentrar su tejido urbano en las zonas medias y bajas del asentamiento (Ros 1989; Cutillas y Ros 2020); mientras que en Santa Catalina del Monte se constataron una serie de niveles adscritos al final del s. VI y la primera mitad del s. V a.C. (Ros 1986-1987: 81) que permiten plantear la continuidad del asentamiento entre ambas fases de plenitud. Más difícil es apuntar qué sucede en Lorca, donde apenas contamos con datos de la fase preibérica –reducidos al contexto productivo de La Alberca (Martínez 2006)–, pero que aparece en el s. V a.C. como un *oppidum* estructurado cuya entidad lo convirtió en uno de los centros más importantes del SE (López Mondéjar 2012; Cárceles *et al.* 2015).

Otra reorganización a nivel urbanístico reseñable es la que se ha planteado en Los Saladares, concretamente a partir de la segunda mitad del s. VI a.C. cuando se produce la remodelación de la construcción IV y la edificación poco después de la construcción VI (Arteaga y Serna 1975: 33). La continuidad de este asentamiento, ocupado desde el Bronce Final reciente, se completa con la pervivencia del Cabezo de la Rueda, localizado en la confluencia de los ríos Guadalentín y Segura (García Cano e Iñiesta 1987), con una secuencia que arranca probablemente en la primera mitad del s. VI a.C. y que mantiene su ocupación durante este período de transición. En ambos casos se trata de un tipo de asentamiento intermedio entre las unidades productivas tipo granja y los asentamientos principales en altura que probablemente pudo soportar mejor las fluctuaciones del sistema.

Por tanto, el análisis de las dinámicas territoriales y poblacionales del SE ibérico revela como las comunidades que habitaron esta región fueron capaces de sobreponerse a la reconfiguración del horizonte colonial mediante la reestructuración de sus núcleos y la reordenación de sus territorios. No obstante, la implementación de estrategias novedosas no solo se construyó a procesos de carácter intraurbano o de micromovilidad (Cutillas y Ros 2020), sino que también determinados grupos apostaron por traslados poblacionales y la consiguiente creación de núcleos de nueva planta. A pesar de los escasos datos con los que contamos, es en este marco de movimientos donde consideramos que debe contextualizarse la creación de Los Casarejos, lejos de las principales rutas de comunicación de la región, pero cuyo registro material apunta hacia una plena inserción en los circuitos comerciales regionales y suprarregionales.

## EL YACIMIENTO ARQUEOLÓGICO DE LOS CASAREJOS

### CONTEXTO PAISAJÍSTICO Y TERRITORIAL

El asentamiento de Los Casarejos se localiza en el conjunto de estribaciones de pequeña y mediana altura dispuesto al S de la sierra de la Torrecilla y al O de la Sierra de Cumbre. El encadenamiento de estas alturas, la aridez de su paisaje debido a los afloramientos de esquistos (fig. 2, A), la falta de áreas de cultivo y la ausencia de corredores de comunicación natural han condicionado la escasa densidad de poblamiento en la zona. A ello se suma un

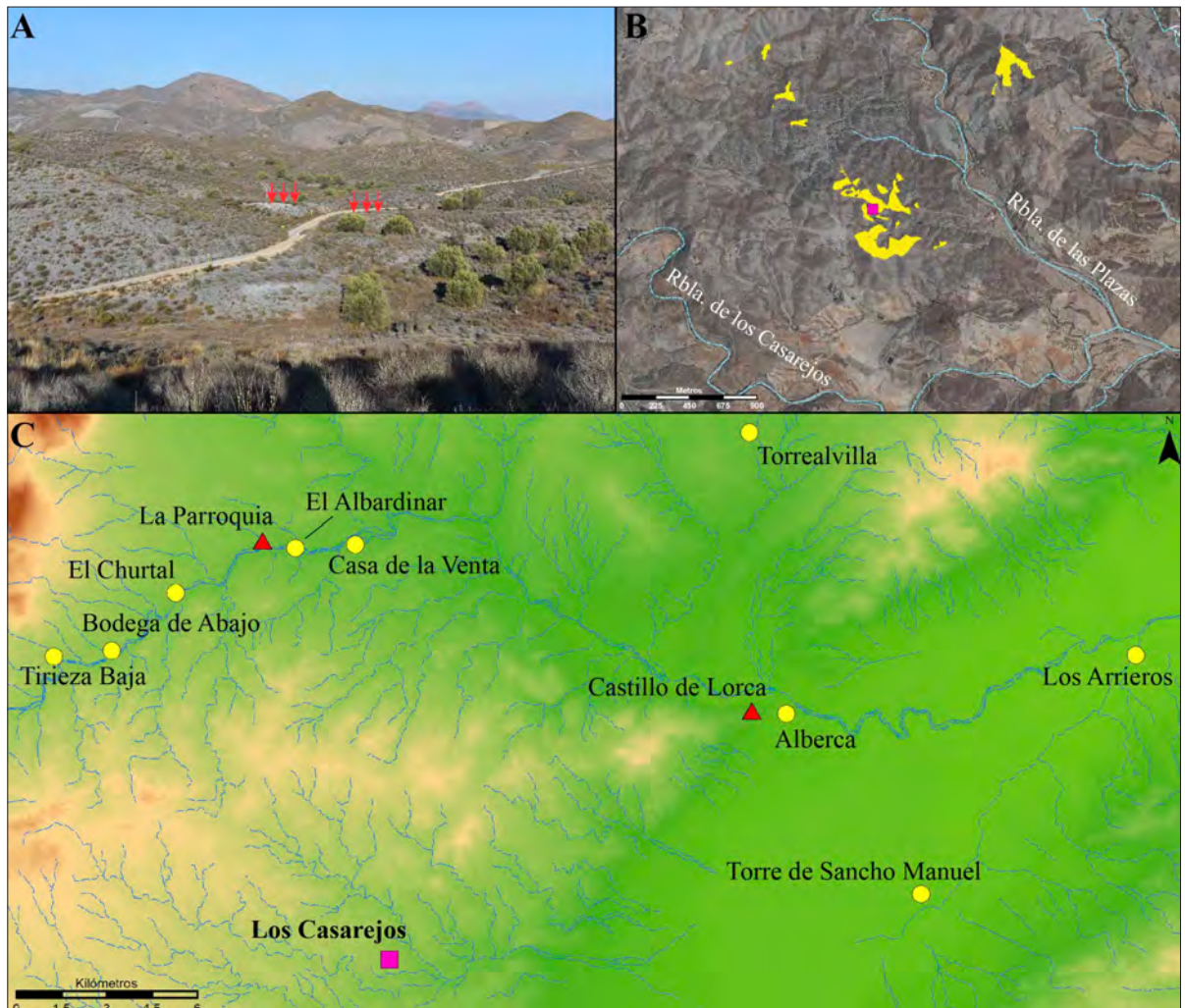


Fig. 2: Entorno en el que se ubica el yacimiento de Los Casarejos (A), análisis de visibilidad desde el asentamiento (B) y distribución de los núcleos identificados en el hinterland de Lorca (C) adscritos al Hierro Antiguo (círculos) o al Ibérico Antiguo (triángulos) (Imagen del autor. Cartografía propia a partir del MDT-IGN).

marco ambiental que tiende hacia una creciente intensificación de la aridez y en la que durante el I milenio a.C. tuvo lugar un importante retroceso de las formaciones boscosas, el establecimiento permanente del matorral mediterráneo y un fuerte aumento de taxones termófilos (García Martínez y Ros 2010: 554-555). Únicamente la existencia de algunas ramblas mitigaría esta situación, como sucede con las ramblas de Las Plazas y Los Casarejos, cercanas al asentamiento aquí tratado y cuyas cuencas transitan hasta desembocar en el valle del Guadalentín.

Sin embargo, el núcleo de Los Casarejos no se encuentra inmediato a ninguno de los cauces anteriores, sino llamativamente alejado de los mismos, concretamente a una

distancia de 800 m de la primera y 1,5 km de la rambla homónima. Esta separación implica un aislamiento significativo respecto a su entorno inmediato, a lo que se suma su emplazamiento en una posición baja que le reporta un radio de visibilidad realmente reducido (fig. 2, B). Desde la posición en la que se ubicó el asentamiento quedan fuera de su horizonte visual tanto las ramblas citadas, como gran parte de los pasos naturales de la zona.

Las características de la posición de Los Casarejos responden a las propias de un núcleo ubicado en llano entre cuyas atribuciones no se encontraba el control de su territorio (fig. 2, B). De ahí que la elección de este lugar tuvo que ser premeditada ya que las estribaciones próximas

al asentamiento –tanto la elevación contigua en su lado occidental, como especialmente la inmediata colina del Castellar por su parte meridional– cuentan con cuencas visuales amplias y se constituyen como puntos de control más ventajosos. Sin embargo, a pesar del grado de alteración antrópica que han sufrido en particular las cimas del Castellar, no se han detectado evidencias arqueológicas en sus cimas y laderas a partir de las que inferir la existencia de otras ocupaciones en el entorno. Una condición importante ya que permite descartar por el momento que Los Casarejos pudiera formar parte de un núcleo de mayor entidad que se localizase en sus inmediaciones.

De esta manera, el emplazamiento elegido para la creación de este asentamiento se presenta como uno de los principales interrogantes que aparecen a la hora de abordar la propia idiosincrasia de Los Casarejos. El análisis de las dinámicas poblacionales de la franja prelitoral del SE en general (González Prats 1983; Ros 1989; García Borja *et al.* 2007; López Castro *et al.* 2010; Soriano *et al.* 2012; Lorrío *et al.* 2020), y de la zona de Lorca en particular (López Mondéjar 2015; Cutillas 2016), revelan que los asentamientos del Hierro Antiguo se posicionaban conectados a cauces fluviales y rutas de paso principales. Además del propio núcleo urbano de Lorca, ubicado junto al río Guadalentín, los asentamientos rurales que posiblemente formaron parte de su hinterland (fig. 2, C) siguieron estos mismos parámetros: en la cuenca del río Corneros, que sirve de unión con la zona de Vélez Blanco, se sitúan Bodega de Abajo I, El Albardinar I, El Churtal, Casa de la Venta I y Tirieza Baja (Sánchez González *et al.* 2010); en la rambla de Torrealvilla, a medio camino entre Lorca y sierra Espuña, se encuentra el yacimiento del mismo nombre donde, entre otros materiales, se localizó una *oil bottle* similar a las identificadas en Fonteta (González Prats 2011: 423); y, en tierras óptimas para el cultivo junto a la rambla de la Viznaga, uno de los principales cauces del valle que desemboca en el Guadalentín, los asentamientos de La Torre de Sancho Manuel (Cutillas 2019) y Los Arrieros.

La creación de Los Casarejos rompe con el patrón hasta entonces establecido en un momento, además, de profunda reestructuración del hinterland de Lorca donde parece que todos los asentamientos rurales anteriormente citados desaparecen. A pesar de contar con datos exigüos sobre esta transición, sí que pueden atisbarse ciertos movimientos poblacionales como el que se produce en el valle del río Corneros, donde se dio una reestructuración de las comunidades allí asentadas hacia el

núcleo de La Parroquia, en el que se han documentado ánforas del tipo T-11.2.1.3 (Sánchez González *et al.* 2010: 1155) que remiten a este horizonte transitorio y rompe la idea de vacío poblacional que se había expuesto sobre esta vía (López Mondéjar 2012: 150). Concretamente a uno de estos movimientos que se dan durante la segunda mitad del s. VI a.C. tuvo que deberse la creación de Los Casarejos, si bien es cierto que la elección de su emplazamiento implicase un aislamiento significativo respecto a los principales ejes de comunicación y tránsito del SE.

#### ESTRUCTURAS, ASENTAMIENTO Y SECUENCIA CRONOESTRATIGRÁFICA

Según los resultados recogidos en la memoria de excavación de Los Casarejos y su posterior publicación (Mancha y León 2009; Mancha 2010), en las dos cuadrículas planteadas al S de la zanja para la tubería del gas se detectaron hasta tres estructuras negativas consideradas como posibles fosas o basureros. No obstante, la interpretación de estos contextos, junto a los datos presentados y la descripción de los mismos, mostraban una serie de problemas e interrogantes que han acabado por condicionar la propia comprensión de este yacimiento. De ahí la necesidad de revisar esta intervención y la configuración de su registro arqueológico para poder contextualizar tanto los materiales aparecidos, como replantear el significado de estas supuestas estructuras y su vinculación con el asentamiento al que tuvieron que corresponder.

Centrándonos en la cuadrícula de dimensiones mayores, la C1, el primer aspecto que destaca de esta área de intervención es la identificación de una fosa denominada como Estructura 1 cuya extensión coincide con los límites de la cuadrícula: 13 m de longitud, más de 3 m de anchura y 1,30 m de profundidad aproximada (Mancha 2010: 45). Sin embargo, este último dato difiere de lo descrito para el nivel arqueológico –UE2– que según lo publicado también se encuentra extendido por toda la superficie excavada, pero cuya potencia va modificándose como se refleja en el perfil N producido por las obras de apertura de la zanja (fig. 3, A). En sentido E-O, la medida inicial de la capa arqueológica documentada apenas alcanza los 25 cm de potencia, mientras que en su parte central aumenta hasta los 90 cm y vuelve a disminuir en la zona más oriental hasta los 60 cm (Mancha y León 2009: 28). Esta disposición se explica por el buzamiento

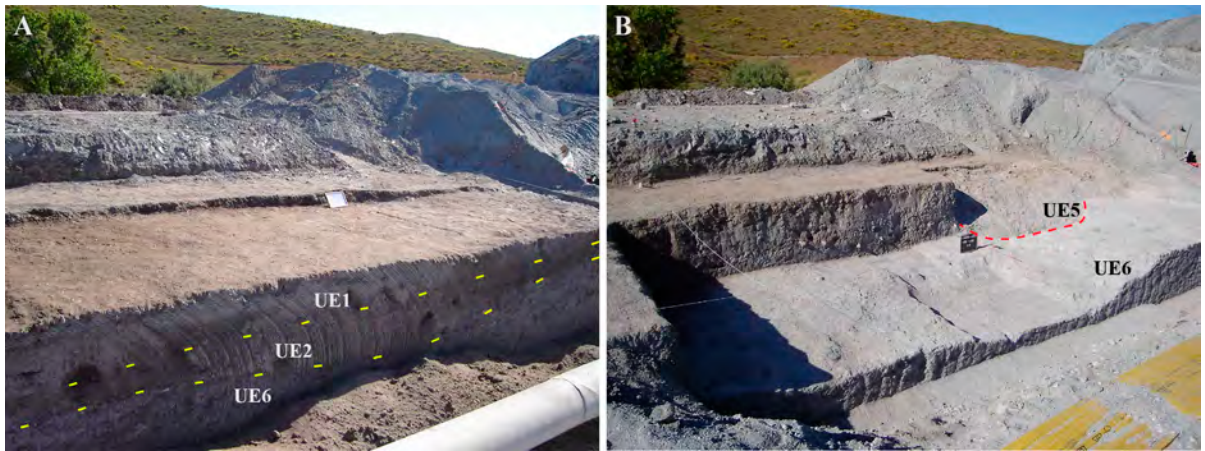


Fig. 3: Vista general de la intervención arqueológica practicada en Los Casarejos antes del inicio de la excavación (A) y una vez finalizada (B) (imágenes extraídas de Mancha y León 2009).

que presenta la capa geológica –compuesta por pizarras y vetas de cuarzo– debido a la existencia de una serie de diversos escalones naturales sobre los que se asienta el nivel arqueológico UE2.

Precisamente es en la interpretación de la relación entre ambas unidades cuando, bajo nuestro punto de vista, aparece uno de los principales problemas de esta intervención. A pesar de valorar el carácter natural de estos desniveles del terreno, sus excavadoras consideraron la zona de contacto entre la capa arqueológica y el buzamiento irregular del nivel geológico como las paredes de tendencia irregular de una posible fosa o estructura (Mancha 2010: 45). Esta identificación, ya de por sí arriesgada en base a la información arqueológica disponible, tampoco se reconocía en el resto de la supuesta estructura como se desprende de la descripción del extremo opuesto de la Cuadrícula 1: *el contorno de la estructura negativa se difumina no pudiendo conocer el límite de la misma con claridad* (Mancha y León 2009: 25). A esta indefinición se debe añadir la práctica ausencia de materiales arqueológicos en el sector más oriental de la cuadrícula (Mancha 2010: 46), lo que permite cuestionar la existencia de esa estructura.

De esta manera, no hay datos concluyentes que apunten a que el nivel arqueológico o UE2 se encontrase delimitado por una estructura negativa previa, ni tampoco queda contrastada la existencia de esas paredes que, aun siendo de morfología irregular, sirvieran como argumento para justificar la existencia de esta fosa. Los resultados de la excavación únicamente permiten constatar que el nivel arqueológico se adapta a la estructura de la capa

geológica, incluyendo el buzamiento natural que ocasiona la mayor profundidad de la UE2 (fig. 3, B), hasta acabar perdiéndose en dirección E conforme se aleja del probable núcleo del asentamiento. Esta lectura se ve contrastada por los resultados obtenidos en la Cuadrícula 2 de la intervención, localizada en una posición más al E y en la que se planteó la existencia de una segunda estructura negativa (Mancha 2010: 46-47) que, a la vista de los datos estratigráficos y los exiguos materiales que aparecieron, debe descartarse. Así, la existencia de estas extensas estructuras negativas de Los Casarejos debe matizarse en gran medida y restringir esta definición a la fosa identificada en la Cuadrícula 1 como UE5. Esta última se interpretó como un basurero que cortaba el nivel arqueológico UE2 (fig. 3, B) y contenía una cantidad significativa de material arqueológico, orgánico y cenizas (Mancha 2010: 45-46); pese a ello, la presencia del mismo tipo de material cerámico que en el resto del yacimiento apunta a que todo el contexto pertenece a un mismo horizonte cronológico.

Ante los datos expuestos, consideramos que la denominada como Estructura 1 responde realmente a un área extensa y abierta para el depósito de desechos de actividades domésticas que se encuentra en uso hasta acabar configurando una zona de basurero en un espacio abierto. En lo relativo al tiempo que este área se mantuvo indirectamente en activo, el análisis de los conjuntos vasculares de los diversos niveles del yacimiento arroja una horquilla temporal muy constreñida a la segunda mitad del s. VI a.C., con probabilidad concentrada en el último tercio del mismo, lo que pondría de manifiesto la reducida

ocupación de Los Casarejos. No obstante, esta concentración de evidencias arqueológicas no puede entenderse sin plantear la existencia inmediata de ese asentamiento de probable carácter monofásico que justificaría la presencia considerable de material cerámico, restos de fauna, carbones dispersos, fragmentos de metal o pellas de abobe en las UE2 y UE5.

A este respecto se deben tener en cuenta dos consideraciones para plantear tentativamente la localización de las unidades habitacionales que constituyeron el asentamiento de Los Casarejos. Por un lado, la orientación de la capa arqueológica UE2 y la pendiente del nivel geológico sugieren que el área ocupada debería situarse en las posiciones más elevadas que quedan al O y NO del área

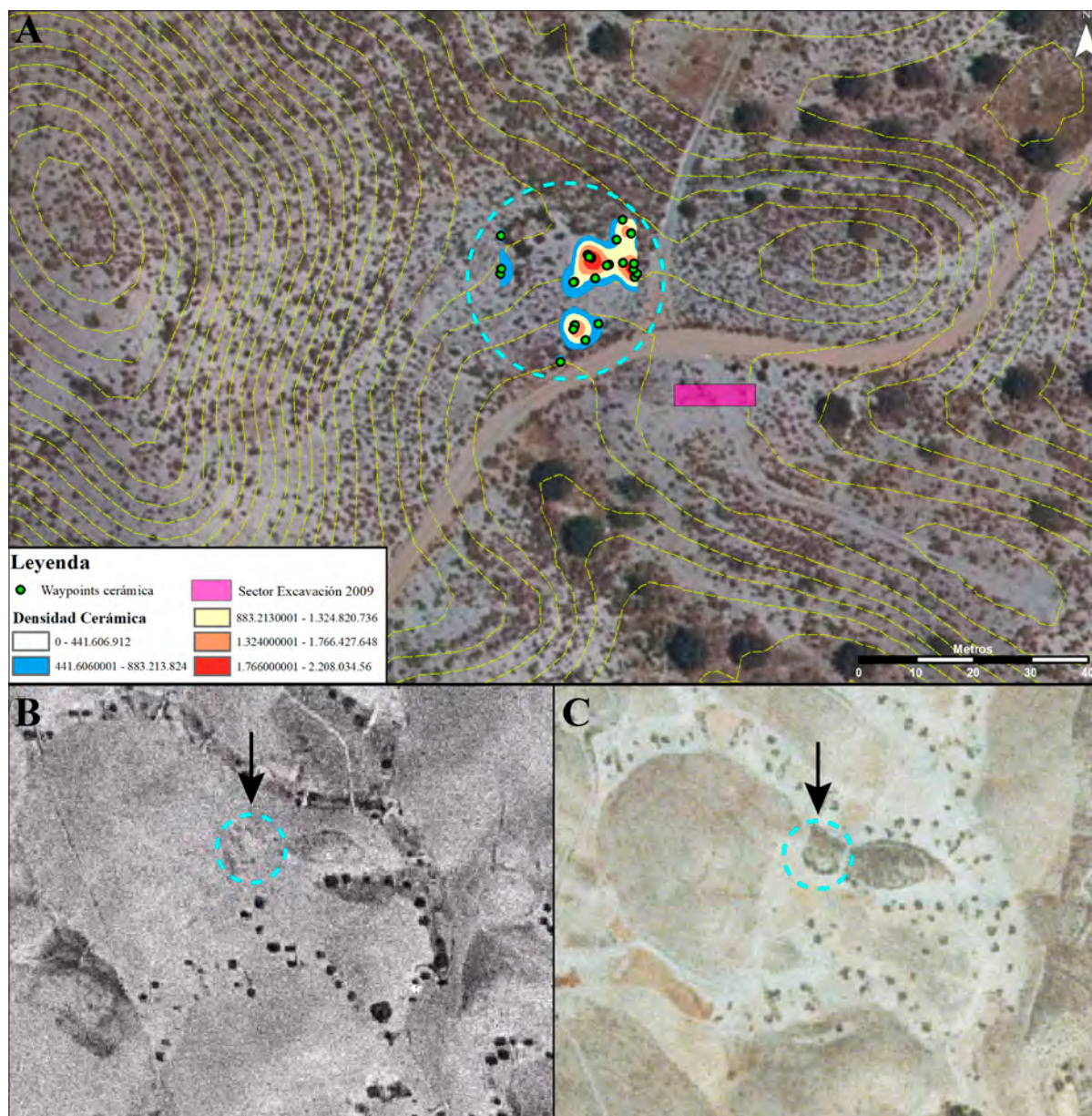


Fig. 4: Distribución microespacial del yacimiento arqueológico de Los Casarejos, incluyendo la localización de la zona intervenida y un análisis de densidad a partir de los restos cerámicos visibles en superficie (A). Fotografías del vuelo americano de 1956 (B) y quinquenal de 1998-2003 (C) en el que se aprecia con mayor claridad la loma (Imágenes procedentes de la Fototeca del IGN).

de intervención de 2009, y no hacia el E donde el volumen de evidencias arqueológicas se perdía de forma progresiva. Por otro, durante la inspección del yacimiento se identificó un área próxima con materiales en superficie (fig. 4, A) que se adscriben con claridad al mismo horizonte cronocultural que los materiales identificados en Los Casarejos. Esta concentración se disponía sobre una de las suaves lomas que queda al NO de la excavación y se presenta como un espacio favorable en el que situar un pequeño núcleo y las estructuras habitacionales que lo conformaron por su posición algo más elevada respecto a las zonas bajas de ramblizo como se aprecia en diversas fotografías aéreas históricas (fig. 4, B y C). De ahí que consideremos factible realizar una nueva lectura de Los Casarejos como un asentamiento mayor de lo hasta ahora planteado, con una zona de hábitat situada en la loma citada y una zona más baja al exterior del núcleo como vertedero de desechos de actividades domésticas que coincide con parte del espacio excavado durante la intervención de 2009.

## LOS CONTEXTOS CERÁMICOS

Aunque durante la intervención arqueológica de Los Casarejos se diferenciaron diversas unidades estratigráficas, el examen del repertorio cerámico exhumado apunta a que todos los materiales se adscriben a un horizonte cronológico común. Es por ello que para su análisis y contextualización se ha apostado por un enfoque transversal en el que este registro vascular se analiza desde el punto de vista de la funcionalidad. Esta orientación permite evaluar con mayor precisión los cambios y continuidades que se dan entre las vajillas cerámicas como consecuencia de la evolución de las dinámicas que, a nivel sociocultural y territorial, se dieron en la región durante la segunda mitad del s. VI a.C.

## ENVASES Y CONTENEDORES

La categoría cerámica representada en mayor número es la de los envases de transporte. Partiendo de la premisa de la posible multifuncionalidad de estas cerámicas -concebidas en un primer momento para el transporte de productos y cuya utilidad podía prolongarse en el interior de los espacios domésticos como recipientes contenedor-, son dos los grupos en los que los individuos procedentes de Los Casarejos pueden agruparse: ánforas y jarras o tinajas.

Respecto a las primeras, sobresale la convergencia entre aquellos tipos característicos que se expanden desde la segunda mitad del s. VIII a.C. y la aparición de una serie de nuevas ánforas que marcan el incipiente cambio de período hacia el Ibérico Antiguo. Todas responden a una misma funcionalidad y pueden ser incluidas bajo la categoría de ánforas con cuerpo de saco y hombro carenado. Sin embargo, aunque la identificación de diversos tipos no sea un argumento definitivo para plantear en la mayoría de los casos adscripciones concretas (Ramon 1995: 231; Ros *et al.* 2016: 229), a partir de la morfología de sus bordes se detecta el cambio incipiente a nivel socioeconómico y material que se está dando en la región.

En este sentido, se han localizado diversas formas que pueden clasificarse dentro del tipo T.10.1.2.1 de Ramon (1995: 463, fig. 109), contando con bordes engrosados de caras rectilíneas y oblicuo exvasados (fig. 5, 1-2; 7-8), en algún caso muy pronunciados (fig. 5, 3) y con una línea de ruptura de perfil al interior (figs. 5, 4-6) que señala tipos ya evolucionados como los identificados en Fonteta VI (González Prats 2011: 357-362). A estas producciones se suman las propias del horizonte autóctono como las ánforas de borde engrosado inclinado al exterior o recto (figs. 5, 9-11) que se enmarcan bajo el tipo VIII.P.5 del Castellar de Librilla (Ros 1989: 286-288), también representado en Los Almadenes (Sala *et al.* 2020: 845, fig. 5, 40) o dentro del poco preciso tipo B1 de Peña Negra (González Prats 1979: 63). Sin embargo, junto a estas formas tradicionales del Hierro Antiguo, aparece un ánfora con borde corto y perfil triangular engrosado al exterior (fig. 5, 12) con paralelos en el Alt de Benimaquía (Álvarez *et al.* 2000: 124, fig. 3, 3) y Fonteta Vb (Rouillard *et al.* 2007: 314, fig. 250, 4), así como un segundo envase anfórico de borde redondeado con perfil almendrado (fig. 5, 13) que probablemente se sitúa a medio camino entre los tipos de la serie T.10 y las ánforas puramente ibéricas de boca casi plana con bordes almendrados.

Respecto a los envases anfóricos, también se ha de señalar la identificación de dos galbos que cuentan con sendas marcas anepigráficas. La primera se encuentra sobre un fragmento de superficie exterior anaranjada e interior gris clara, que presenta una marca incisa y compleja de la que se han conservado tres trazos rectilíneos, limitados y articulados a partir de un punto (fig. 5, 14) cuya disposición recuerda a alguna de las marcas presentes en las ánforas ibéricas del pecio de Binisafuller (Mata y Soria

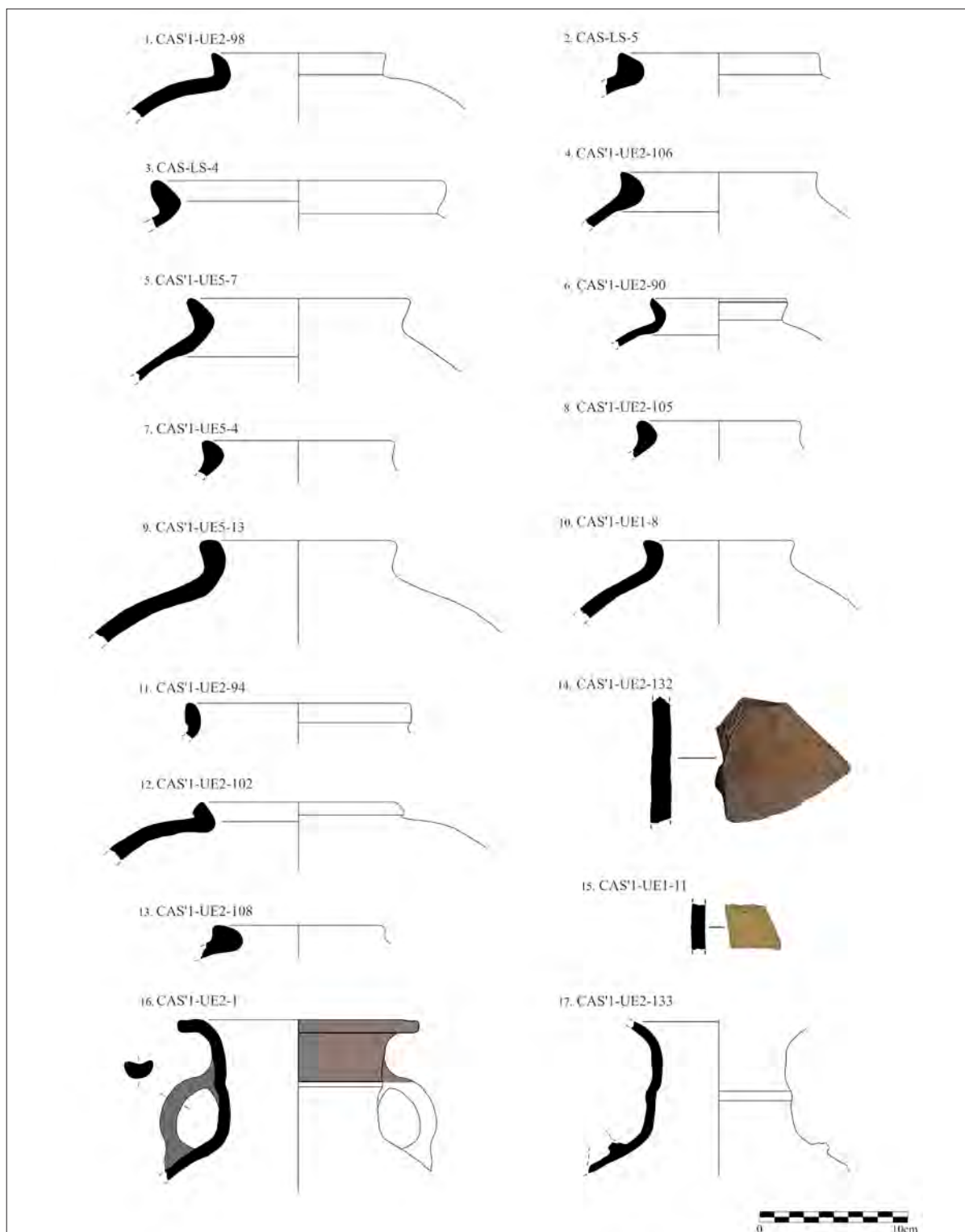


Fig. 5: Repertorio vascular procedente del asentamiento arqueológico de Los Casarejos. Contenedores de transporte. Elaboración del autor.

1997: 336, fig. 14, Núm. 23.168). En cuanto a la segunda, se trata de una marca impresa de enmarque circular y campo vacío sobre una pared de superficies ocre (fig. 5, 15). Motivos similares se han constatado en el taller alfarero de La Panca en agrupaciones de tres de estas estampillas (Martín Córdoba *et al.* 2006: 277, fig. 16) y sus productos alcanzaron la fachada levantina como se constata en la Fase II de Fonteta (Elayi 2011: 277-278). Sin embargo, durante el s. V a.C. también se han detectado agrupaciones de tres enmarques circulares al interior del SE, concretamente en una tinaja de Los Villares y en dos ánforas del Castellón de Hellín, aunque en este último caso los enmarques tienen un tamaño superior y presentan dos pequeñas muescas situadas diametralmente (Mata y Soria 1997: 366, Lám. 4).

En los individuos de Los Casarejos parece posible considerar estas incisiones precocción como marcas de alfar, si bien es difícil plantear por el momento el origen de ambos envases ante los todavía escasos datos con los que contamos sobre este tipo de distintivos alfareros. No obstante, esta cuestión se plantea compleja y va más allá de las meras vajillas cerámicas, pues también se han encontrado marcas circulares en pesas de telar en yacimientos como Camposoto y la Illeta dels Banyets (Zamora 2019: 405-406). Una relación que tentativamente podría poner de manifiesto la conexión entre dos ámbitos peninsulares alejados, pero que se encontraban bien conectadas como se refleja en Los Casarejos a partir de la llegada de otras cerámicas para transporte como las jarras.

El segundo grupo que destaca entre estos recipientes es el formado por aquellos contenedores de capacidad media definidos como jarras. Aunque es posible reconocer diferentes tipos, cumplen una funcionalidad similar y, además, han sido básicos para precisar la cronología de Los Casarejos al tratarse de formas evolucionadas que se sitúan en plena transición hacia el Ibérico Antiguo (Cela 2006). Este es el caso de las jarras tipo Cruz del Negro localizadas en el asentamiento, dos vasos de cuello estrecho con moldura, cuerpo globular y dos asas, pero que presentan una variante en el modo de concebir la forma del borde, con el labio vuelto al exterior como se ha conservado en uno de los individuos (fig. 5, 16-17). Aunque sigan los cánones formales de este tipo de vasos definidos bajo la Forma 35A de Fonteta (González Prats 2014b: 602 y ss.) –al que se podría añadir una tercera jarra con cuello de Los Casarejos (fig. 6, 2), similar a la variante 35B (González Prats

2014b: 636-638)–, se trata de envases que ya no incorporan los acabados tradicionales en engobe rojo o pintura en estilo bícromo. Pueden mantener ciertas partes pintadas, como ocurre con una de las jarras de Los Casarejos que presenta un campo en marrón, pero estos acaban por desaparecer como también le sucede a uno de estos vasos localizado en Fonteta a finales del s. VI a.C. (Rouillard *et al.* 2007: 304, fig. 240, 14).

Otra de las formas que en este caso destaca por su procedencia es la jarra de espalda carenada sin cuello, borde alto oblicuo y banda pintada en rojo (fig. 6, 1) cuyos paralelos inmediatos se han identificado en El Oral (Abad y Sala 1993: 208, fig. 158) y, probablemente como potenciales focos de origen a falta de análisis arqueométricos, en el taller alfarero de Camposoto bajo el tipo CIIIa1 (Ramon *et al.* 2007: 77-78 y 243, fig. 151) y Málaga (Arancibia *et al.* 2021: 272-273, fig. 5, 10). La aparición de esta jarra permite, por un lado, reconocer la participación de Los Casarejos en circuitos comerciales de largo alcance como los desarrollados por el círculo gadirita en época tardoarcaica (Ros y Cutillas 2020); y, por otro, precisar la cronología este asentamiento a finales del s. VI a.C. considerando estas jarras dentro de las primeras producciones del alfar gadirita. Estas conexiones con el mediodía peninsular también se reflejan en la llegada de otros vasos de origen foráneo como el contenedor CAS'1-UE2-82 (fig. 6, 9), una olla de transporte de borde engrosado vuelto al exterior con paralelos en Cerro del Villar (Aubet *et al.* 1999: 119, fig. 75, c), y el lebrillo CAS'1-UE2-181 (fig. 6, 12) que también cuenta con paralelos en Cerro del Villar (Aubet *et al.* 1999: 233, 151, f-g) y podría enmarcarse dentro del tipo BIIIb de Camposoto (Ramon *et al.* 2007: 239-240, figs. 147-148).

Este marco cronológico se ve reforzado por la importancia que cobran en el registro material de Los Casarejos los contenedores de tendencia bicónica con borde exvasado y labio vuelto al exterior recto o de perfil triangular muy estilizado. Estas formas han sido denominadas como jarras (Rouillard *et al.* 2007), urnas (Abad y Sala 1993: 158) o tinajillas (Grau y Segura 2013: 99), pero, en esencia, representan un mismo tipo cerámico que responde a la evolución de las jarras tipo *pithei* (González Prats 1979: 89; Ros 1989: 268 y ss.; Pla 2014) que adelgazan sus perfiles y pierden sus asas hasta constituirse en uno de los tipos principales y más extendidos durante el período ibérico (Mata y Bonet 1992: 149-151). Las primeras apariciones en el SE ibérico de

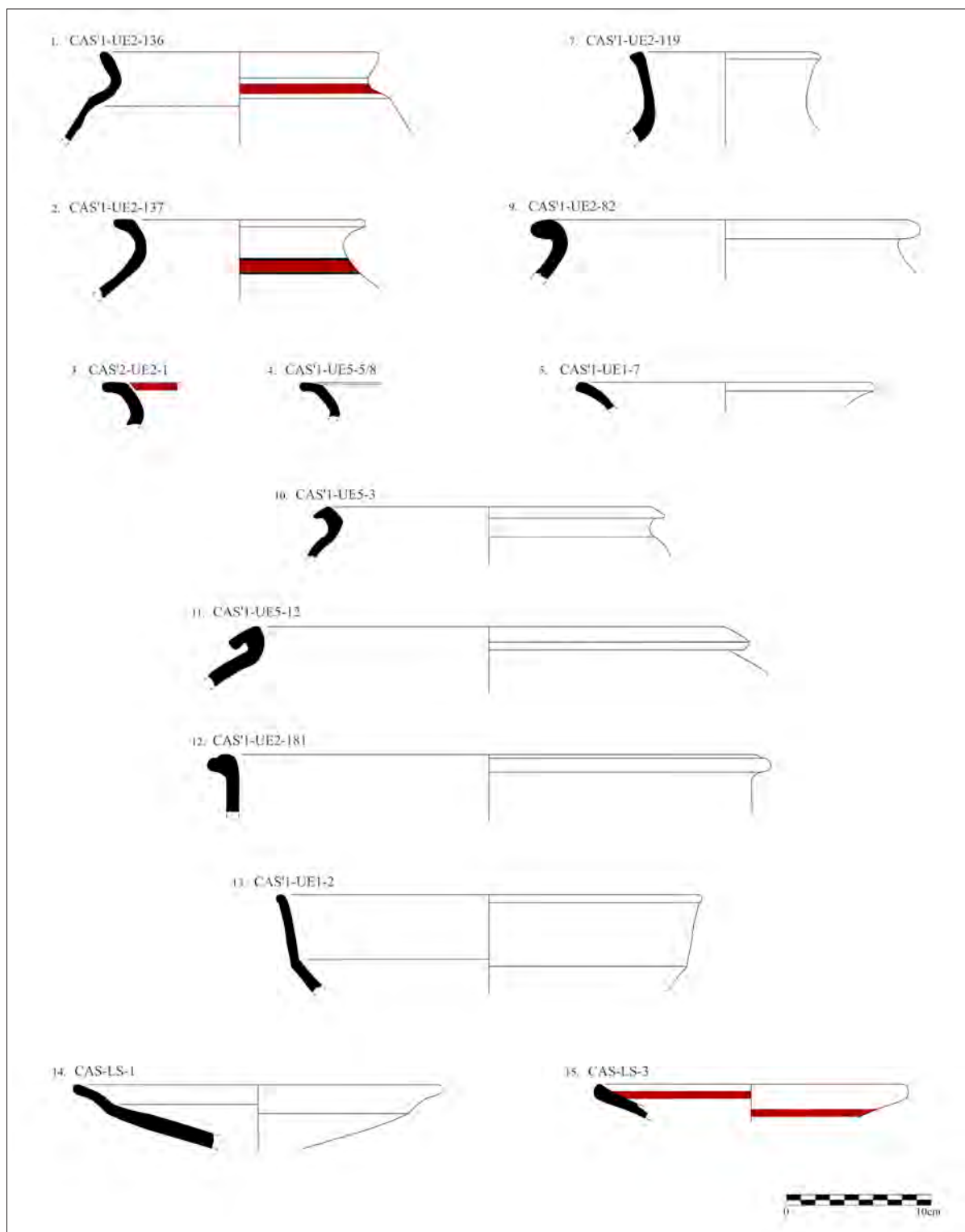


Fig. 6: Repertorio vascular procedente del asentamiento arqueológico de Los Casarejos. Contenedores de transporte y vajilla de mesa. Elaboración del autor.

este tipo de jarras se aprecian en el segundo cuarto del s. VI a.C. en Fonteta (Rouillard *et al.* 2007: 269, fig. 208, 5-6), en la Fase I de Baria (López Castro *et al.* 2011: 61, fig. 26) o en Los Almadenes (Sala *et al.* 2020: fig. 5, 10). Sin embargo, es a partir de la segunda mitad del s. VI a.C. cuando estas formas comienzan a generalizarse tanto en los asentamientos coloniales, como en determinados núcleos autóctonos como Peña Negra, bajo los tipos 25 y 26 (González Prats 1979: 88); el Castellar de Librilla con el tipo K.7 (Ros 1989: 273-274); el Puig d'Alcoi (Grau y Segura 2013: 99); o Los Saladares a partir de su fase IIB (Arteaga y Serna 1975: figs. 29 y 30).

En Los Casarejos no solo se han identificado varias de estas jarras, algunas con decoración pintada a modo de bandas rojizas (fig. 6, 2-4), sino que también aparecen otros contenedores que se significan como elementos reconocibles de la transición hacia los nuevos cánones formales, funcionales y estéticos que se generalizarán durante la Segunda Edad del Hierro. Nos referimos a una tinaja de cuerpo profundo, hombro marcado y perfil abierto mediante labio saliente de sección triangular (fig. 6, 10) y un protolebes de cuerpo globular, borde recto y labio vuelto al exterior muy pendiente (fig. 6, 11). Individuos similares se encuentran en un número muy elevado en El Oral (Abad y Sala 1993: 210-211) y también se han localizado en los niveles de transición e ibéricos de los cortes C3 y D3 de Santa Catalina del Monte (Ros 1986-1987).

## SERVICIOS DE MESA

El primer aspecto que sobresale de la vajilla de mesa localizada en Los Casarejos es la drástica desaparición de recipientes manufacturados a mano y los cambios que a nivel tipológico y estético se dan entre las producciones a torno. Ambas dinámicas se enmarcan en el período de tránsito que se produce a finales del s. VI e inicios del s. V a.C. y sus repercusiones se repiten con cierta similitud en otros asentamientos de la región como el Castellar de Librilla (Ros 1989: 384) o Los Saladares (Arteaga y Serna 1975: 70-71). El abandono de las formas tradicionales a mano se acompaña del de otras producciones de raigambre colonial como los engobes rojos, desplazando así gran parte de los ajuares propios del Hierro Antiguo para dar paso a un nuevo ajuar cuyo éxito se demuestra en su generalización durante el período ibérico. No obstante, estas modificaciones

también provocaron otros cambios significativos a nivel tipológico y estético que permiten retratar la complejidad material de esta fase.

Una de las principales características del repertorio de mesa de Los Casarejos es el predominio de los platos sin labio y de galbo continuo en forma de casquete esférico que acaban en fondo plano con el talón indicado. Aunque se hayan identificado diversas variantes de este tipo en función de la forma del extremo del borde –redondeado (fig. 7, 1-5), almendrado (fig. 7, 6-9) o de tendencia reentrante con bisel interior (fig. 7, 10-12)–, es muy significativa la desaparición total de platos de ala o labio vuelto al exterior, una de las formas más típicas del Hierro Antiguo que fue adaptada y reproducida por los alfares de los asentamientos autóctonos. Únicamente el individuo CAS-LS-1 presenta un borde al exterior con labio redondeado y carena media-alta (fig. 6, 14), una forma muy específica de plato que, además de ser similar a la forma B5a de Peña Negra (González Prats 1979: 82), también se ha identificado entre los materiales inéditos procedentes de la intervención de La Alberca en Lorca (Martínez 2006).

Más allá de la cuestión tipológica, el abandono de esta variante de plato conlleva una serie de cambios significativos en términos de comensalidad y posiblemente dietas que apuntan a ese horizonte de transición entre dos horizontes en el que se sitúa Los Casarejos. Por un lado, la generalización del casquete esférico con bordes rectos podría suponer un mayor protagonismo de alimentos líquidos o semisólidos, mientras que los labios reentrantes favorecerían a un menor derrame de los mismos. Por otro, la pérdida del borde o ala vuelta supuso una alteración significativa en los gestos practicados en torno a la comensalidad que principalmente afectaron al modo de sujeción y el paso del plato de un comensal a otro. De esta manera, se podría plantear tentativamente que entre las consecuencias del desvanecimiento de estos perfiles se encontró un menor dinamismo en los ámbitos de comensalidad colectiva, frente a la pervivencia de aquellos platos que por su propia forma eran más propicios para un consumo de tipo individual.

Estas apreciaciones a partir de un tipo concreto de vajilla, sin embargo, también se pueden extraer del análisis de otros elementos de los servicios de mesa identificados en el asentamiento o, incluso, de las ausencias. Tal es el caso de las fuentes, una de las principales formas de los servicios cerámicos de mesa desde el Bronce Final pleno (González Prats 1990: 266-267; Ros 1990: 354; Lorrio 2008: 222 y ss.; García Borja *et al.* 2007: 97 y 100; García Borja *et al.* 2010: 47) y cuyo éxito perdura durante el

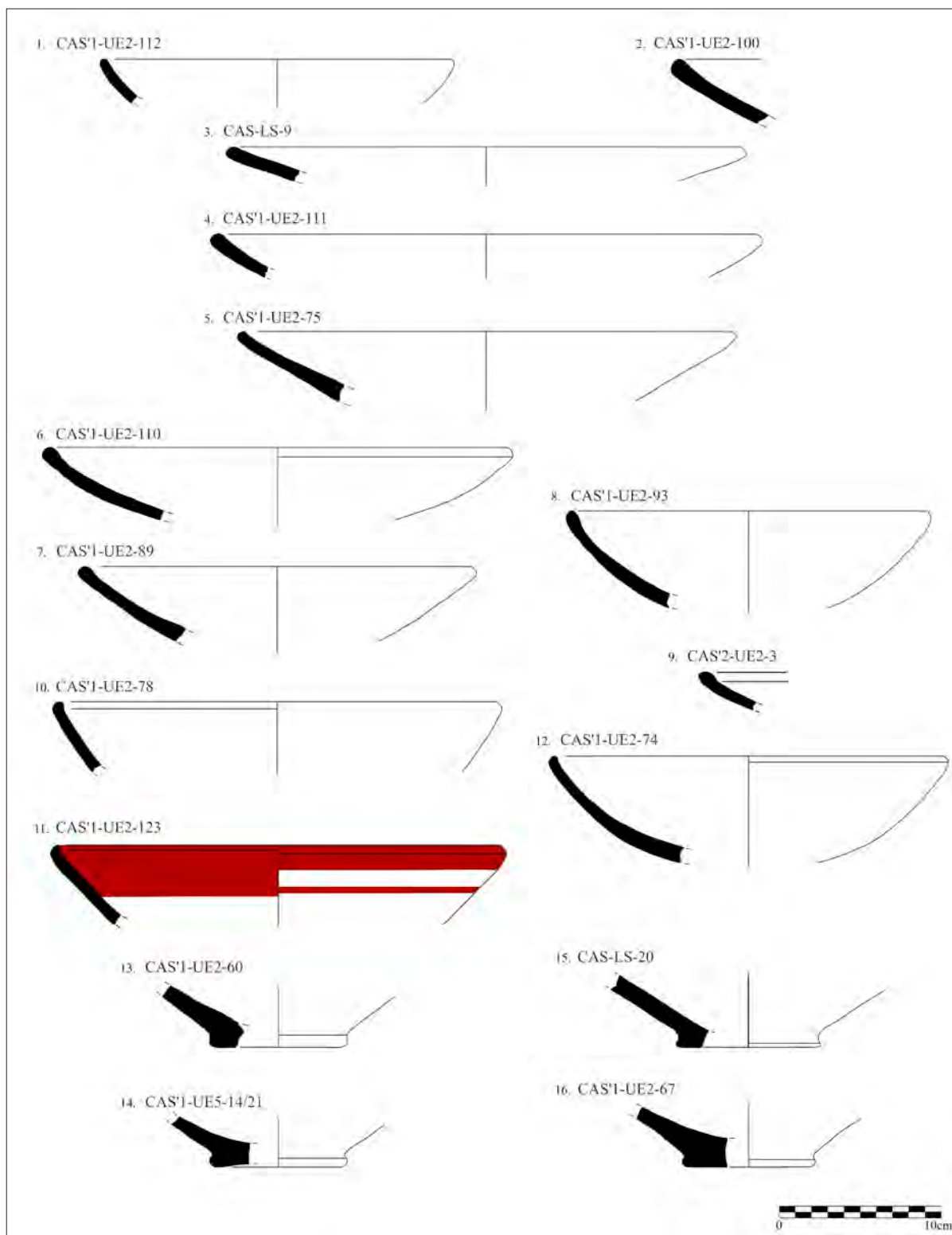


Fig. 7: Repertorio vascular procedente del asentamiento arqueológico de Los Casarejos. Vajilla de mesa. Elaboración del autor.

Hierro Antiguo (Arteaga y Serna 1975: Láms. 13 y 19; González Prats 1983; Ros 1989: 211 y ss.), que, sin embargo, apenas encontramos representada en Los Casarejos. Sólo el individuo CAS'1-UE1-2 se corresponde con una fuente abierta con borde recto ligeramente exvasado, labio redondeado vuelto al exterior y carena media que conserva un bruñido de buena calidad (fig. 6, 13) con paralelos en la Fase II de La Torre de Sancho Manuel (Cutillas 2019: 23, Lám. 6) y Los Villares del Estrecho de la Encarnación (Ros *et al.* 2016: 230, fig. 8).

Otro ejemplo claro del mayor protagonismo de las formas cerámicas destinadas al consumo individual, concretamente relacionadas con la bebida, se reconoce en la aparición de dos pequeños cuencos de tipo caliciforme con borde exvasado y carena sin marcar (fig. 8, 3-4). En torno al origen de estos vasos, se ha planteado que se trate de la evolución de los pequeños cuencos de carena media o alta del horizonte Peña Negra I (González Prats 1983: 190; Abad y Sala 1993: 2015). No obstante, en nuestra opinión estos caliciformes estarían más relacionados con aquellos cuencos carenados o tacitas de paredes finas cuyo diámetro es inferior a 10 cm y que se identifican en el Castellar de Librilla –Tipos D.2 y E.3 (Ros 1989: 234-239)–, Villares (Ros *et al.* 2016: 230, fig. 8) o la Torre de Sancho Manuel (Cutillas 2019: 18, Lám. 2, 16). En cualquier caso, parece que en la segunda mitad del s. VI a.C. comienzan a aparecer estos caliciformes en el SE ibérico bajo las directrices propias con las que se acabará generalizando en época ibérica. A los dos individuos de Los Casarejos se suma un ejemplar de este tipo de vaso producido en cerámica gris y localizado en Fonteta (Rouillard *et al.* 2007: 289, fig. 226, 9), mientras que son varios los ejemplares en cerámica gris, pintada y común localizados en El Oral a partir del s. V a.C. (Abad y Sala 1993: 213, 215 y 220).

Pero los caliciformes de Los Casarejos no solo son significativos por la novedad tipológica que suponen, sino que también destacan por encontrarse realizados en atmósferas oxidantes de cocción y contar con superficies anaranjadas alisadas; una apariencia que también se repite en el vaso de perfil en “S” y carena completamente redondeada (fig. 8, 1). Este cambio de acabados y, por ende, de estéticas aplicadas, debe contextualizarse en ese ambiente de transformación que afecta por entero a las vajillas cerámicas en esta fase. A nivel productivo, durante este último período del s. VI a.C. las cerámicas grises (fig. 6, 13-14 y fig. 7, 5-6 y 8-10) comienzan a verse desplazadas por esos nuevos recipientes con superficies

marrones, beige o anaranjadas de cocción oxidante (fig. 7, 1-4, 6-7, 12) y que pueden presentar pintura roja a modo de bandas o campos (figs. 6, 15 y 7, 11). Esto implica a su vez un cambio de tendencia en las estrategias productivas de los talleres alfareros y una modificación importante en los gustos y hábitos de consumo de las comunidades del SE ibérico. La estética gris de acabados bruñidos se va a resentir a partir de este período, aunque no llegará a desaparecer durante los siglos siguientes y todavía presenta ciertas producciones innovadoras como sucede con el soporte anular de perfil escalonado CAS'1-UE5-50, una forma evolucionada sin paralelos claros hasta el momento (fig. 8, 2). A pesar de ello, el paso de estas vajillas grises a un segundo plano es ya una realidad como demuestra el repertorio material de Los Casarejos, tanto en el caso de los servicios de mesa, como en gran parte de los contenedores de almacenaje tipo jarras y tinajillas manufacturadas bajo estas nuevas técnicas y acabados.

## RECIPIENTES DE COCINA

El servicio cerámico destinado al procesamiento y preparación de los alimentos de Los Casarejos destaca por estar exclusivamente compuesto por producciones manufacturadas a mano. Esta tendencia productiva difiere de lo hasta ahora expuesto sobre el repertorio vascular del asentamiento, pero es altamente significativo ya que retrata la continuidad de los repertorios de cocina y parte de las dietas asociadas. La forma principal identificada es la olla globular mediana con borde inclinado al interior y labio redondeado que se encuentra puntualmente apuntado (fig. 8, 5-7), así como fondo plano que puede o no contar con talón indicado (fig. 8, 8-15). Aunque es más probable que no todos los individuos estuvieran destinados a funciones de cocina, sus pastas de factura gruesa y con una cantidad significativa de inclusiones plásticas les prepararía para soportar los continuos choques térmicos resultado de la proximidad al fuego durante el cocinado.

A nivel tipológico, esta clase de olla se encuentra muy extendida por los ambientes domésticos del Bronce Final y el Hierro Antiguo, habiendo sido definida en el SE ibérico, entre otros, bajo los tipos II.F.1 y II.F.4 del Castellar de Librilla (Ros 1989: 242-243), A2 y A3 de Peña Negra (González Prats 1983: 64 y 65), A7 de Mola d'Agres (Peña *et al.* 1996: 102) e, incluso, en el registro vascular de Fonteta bajo el tipo A2 (Ortiz 2014: 26-28). No obstante, lo que destaca de estos recipientes cuyas formas y estéticas

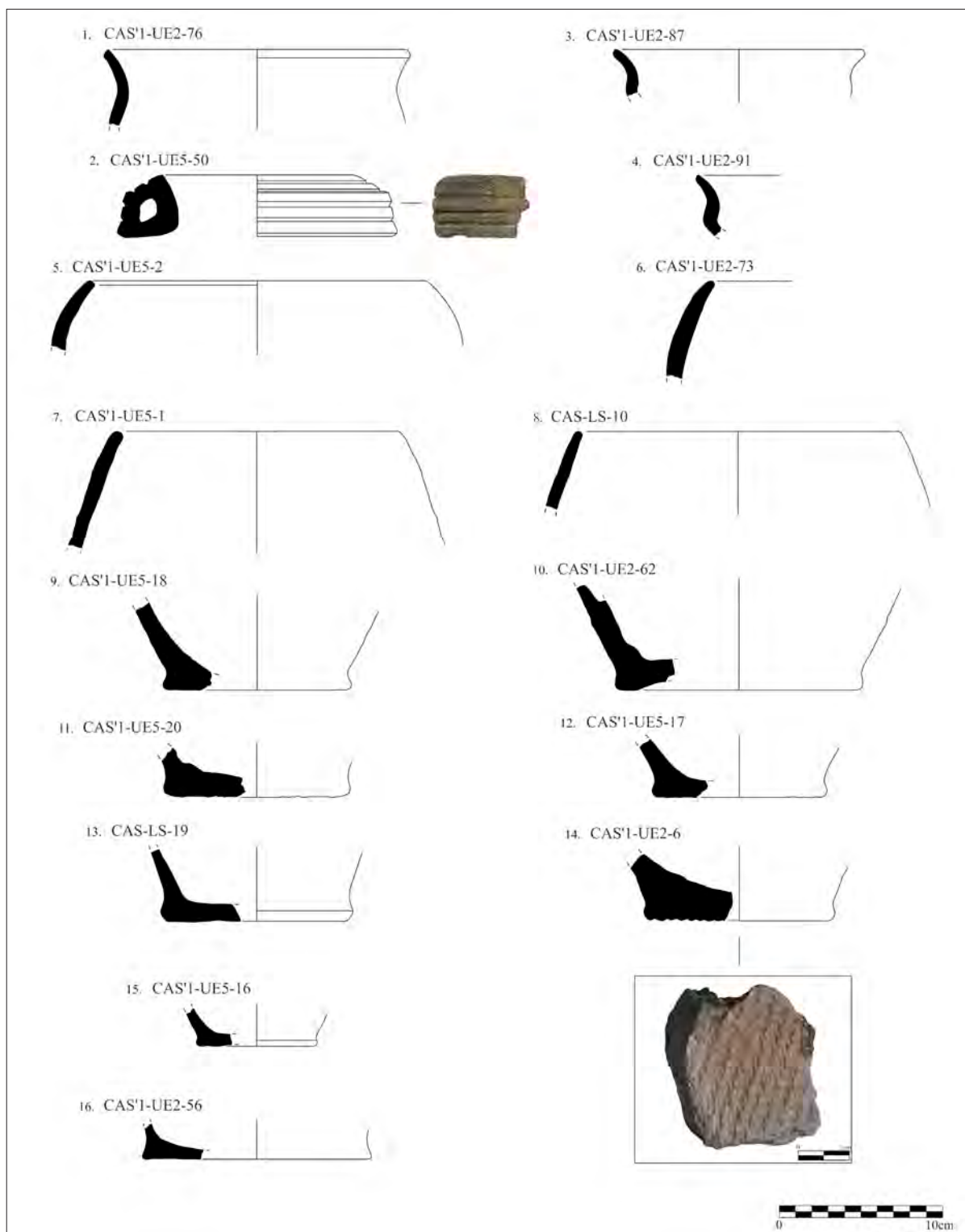


Fig. 8: Repertorio vascular procedente del asentamiento arqueológico de Los Casarejos. Vajilla de mesa y servicios de cocina. Elaboración del autor.

arraigan en el repertorio vascular argárico es su perduración hasta el final del s. VI a.C., como se ha comprobado en Fonteta (Rouillard *et al.* 2007: 310-312), y alcanzando las primeras décadas del s. V a.C. en el Puig d'Alcoi (Grau y Segura 2013: 96-97) o el Castellar de Librilla (Ros 1989: 365 y 382). Una realidad que, por el contrario, no se da en el asentamiento de El Oral, donde a inicios del s. V a.C. las ollas de cocina se limitan a producciones exclusivamente a torno (Abad y Sala 1993: 222-223) y que permite retratar el inicio del abandono de las ollas a mano para dar paso a la generalización de las ollas a torno que se encuentran plenamente establecidas en el SE a mediados del s. V a.C.

De esta manera, la ausencia de recipientes de cocina a torno y de otros materiales manufacturados a mano que no sean ollas de cocina –o secundariamente de almacenaje– permite contrastar la cronología planteada para Los Casarejos en el último tercio del s. VI a.C. o inicios del V a.C. La resistencia por mantener los tipos y producciones tradicionales no solo se aprecia a nivel tipológico, sino que las estéticas y pastas elegidas apenas cambian respecto a las de las centurias anteriores; algo que se aprecia con claridad en la impronta de esterilla que presenta el fondo plano CAS'1-UE2-6 (fig. 8, 14) y que responde a un gesto cultural muy marcado del Bronce Final del SE (Papí 1992-94) que se mantiene hasta este período. De ahí que, a pesar de los cambios que se están dando a nivel tecnológico y en términos de consumo de otras vajillas cerámicas, es evidente la agencia de las comunidades autóctonas por mantener sus formas y estrategias tradicionales de cocinar y preparar sus alimentos.

### MOVILIDAD POBLACIONAL Y REAJUSTE TERRITORIAL EN EL SE IBÉRICO A PARTIR DEL ASENTAMIENTO MONOFÁSICO DE LOS CASAREJOS

En un contexto en el que el abandono y los procesos de contracción y reorientación urbana parecen la norma (Ros 1989; Lorrio *et al.* 2016; Cutillas y Ros 2020; Sala *et al.* 2020), los datos recuperados de Los Casarejos ponen de manifiesto una realidad novedosa para este horizonte, a la par que complementaria respecto a las dinámicas descritas hasta el momento. Precisamente, uno de los problemas más importantes que aparecen al final del Hierro Antiguo es reconocer hacia dónde se dirigen las comunidades que abandonan parte de los asentamientos de

este período. De ahí la oportunidad de contar con un núcleo de nueva planta y adscrito probablemente por entero a esta fase con el que mejorar nuestro conocimiento sobre esta transición, aunque es cierto que este yacimiento no se encontraba exento de problemáticas por su secuencia cronoestratigráfica (Mancha y León 2009; Mancha 2010) y su localización en una zona en principio poco apta para cualquier tipo de poblamiento.

La reinterpretación planteada del registro arqueológico permite descartar esa idea de Los Casarejos como dos fosas basurero, con la excepción de la estructura UE5. Las fosas se entienden como un tipo de unidad negativa que responde a un acto humano intencionado y que, con posterioridad, son rellenadas de forma natural o antrópica. Es cierto que durante el Bronce Final reciente y la transición hacia el Hierro Antiguo se han detectado en diversos puntos de la península Ibérica estructuras excavadas en el sustrato geológico, algunas de dimensiones considerables que se aproximan a las medidas que se atribuyen a Los Casarejos, como Salsa 3 en el Bajo Alentejo (De Deus *et al.* 2010), Pocito Chicho (Ruiz y López Amador 2001), Villares de Jerez de la Frontera en Cádiz (López Rosendo 2009) o Cortijo Riquelme en la Depresión de Vera (López Castro *et al.* 2017). Sin embargo, la característica principal de estos contextos –al igual que otros de menores dimensiones y geográficamente más cercanos como es el de Casa de Secà (Soriano *et al.* 2012)–, es que esos rellenos se realicen sobre una fosa practicada previamente cuyo resultado es la generación de depósitos antrópicos estructurados (Suárez y Márquez 2014; López Castro *et al.* 2017).

En este sentido, consideramos que los niveles documentados en Los Casarejos no se pueden clasificar dentro de estas fosas-estructuras, sino que responden a la deposición de desechos de actividades domésticas en un área abierta en la que se aprovecha la pendiente que dibuja el propio estrato geológico y que termina por adquirir un cierto carácter estructurado. De ahí que no se encontrasen los límites de ninguna estructura negativa y los materiales arqueológicos disminuyeran hacia su costado oriental. Así, el planteamiento de esta hipótesis y la orientación de los niveles ha sido fundamental para apuntar que lo excavado en 2009 se trata de un contexto ubicado al exterior o en el límite de la zona nuclear del asentamiento, la cual debe emplazarse en la suave loma que todavía hoy se conserva al N de la zanja practicada y en la que se ha identificado una concentración significativa de material sincrónico en superficie.

Este tipo de patrón en el que se aprovechan zonas algo sobreelevadas no es extraño entre los asentamientos localizados en zonas rurales, aunque su emplazamiento no perseguía en ningún caso mejorar sus capacidades visuales o defensivas. En el valle del Corneros, los núcleos de Bodega de Abajo, Casa de la Venta I y El Churtal se ubican sobre terrenos de suave pendiente que no destacan sobre su paisaje inmediato (Sánchez González *et al.* 2010), algo que también sucede en el Cabezo Ventura de Cartagena, donde el núcleo poblacional se restringe al inicio de la falda de la propia elevación (Cutillas 2018: 81). La definición del tipo de asentamiento al que corresponde Los Casarejos era una de las cuestiones que quedaba pendiente, además de ser una información básica para contextualizar el registro arqueológico documentado tanto a nivel cronológico, como vascular y funcional.

El análisis del repertorio vascular exhumado revela que este asentamiento estuvo ocupado apenas unas décadas en un horizonte próximo al último tercio del s. VI a.C., quizás alcanzando los inicios de la centuria siguiente. Por ello el drástico retroceso que sufren las producciones a mano y el incipiente cambio que se produce a nivel tipológico, funcional y estético entre las vajillas de mesa

y transporte/almacenaje. El abandono de la cerámica a mano es evidente, ausente entre los registros de mesa y cuya presencia se limita a las ollas de cocina o posible almacenaje. En total, el porcentaje de número de individuos a mano se queda en el 9,8% del registro total del yacimiento, pero es altamente significativo que precisamente perviva en las vajillas destinadas a la preparación de los alimentos. Esta respuesta cristaliza la agencia y resistencia cultural de las sociedades autóctonas por mantener desde el Bronce Final determinadas tradiciones y costumbres tan ligadas a la identidad como son las relacionadas con la cocina y la alimentación.

En cuanto a las producciones torneadas, estas incrementan su presencia a la vez que basculan hacia nuevos tipos y estéticas cada vez más alejadas de los ajuares tradicionales del Hierro Antiguo. Sobre estos cambios estuvieron que influir ciertas modificaciones alrededor de las prácticas de comensalidad, más relacionadas con la individualidad como suele suceder en período de crisis o transformación social. Esto se tradujo en los servicios de mesa en la desaparición de las fuentes y platos de ala vuelta, dando paso al éxito de los platos de casquete esféricos y los incipientes caliciformes. A la iberización de las vajillas (Cela 2006) también contribuyó la desaparición de los acabados en engobe rojo y el menor protagonismo de la cerámica gris, en gran parte sustituida por pastas anaranjadas o marrones de cocción oxidante que pueden incorporar motivos simples pintados, principalmente bandas y líneas en este período de transición. Todo ello sin dejar de lado las innovaciones que tienen lugar entre los envases de transporte y almacenaje, con la aparición de ánforas y contenedores propiamente ibéricos, la llegada de formas novedosas como las jarras Cruz del Negro evolucionadas o la irrupción de las jarras tipo tinajilla.

Esta situación que se percibe en Los Casarejos también se ha detectado en otros asentamientos de la región, como en el Castellar de Librilla, donde en el último cuarto del s. VI a.C. hay una cierta resistencia de los tipos tradicionales a mano y la cerámica gris bruñida (Ros 1989: 365-366), aunque acaban disminuyendo de forma significativa en el segundo cuarto del s. V a.C. y la cerámica a torno sin tratamiento dobla su presencia (Ros 1989: 292). Este proceso también se aprecia en Los Saladares, concretamente en sus Fases IIA, IIB y IIC, donde la cerámica a mano acaba desapareciendo y se incrementan las cerámicas a torno significativamente distintas a las del período anterior, con pastas marrones claras sin



Fig. 9: Brazaletes de bronce identificados en Los Casarejos y detalle de uno de los extremos en forma de cabeza de serpiente (Fotografías del autor).

tratamiento o decoradas con franjas y motivos geométricos que apuntan a la nueva estética ibérica (Arteaga y Serna 1975: 70-71). Tampoco el asentamiento colonial de Fonteta se queda fuera de esta dinámica, ya que en la segunda mitad del s. VI a.C. se produce una disminución importante de las cerámicas de engobe rojo que se contrarresta con un incremento de la cerámica gris, aunque lo que sobresale es la aparición e incremento de la cerámica definida como ibérica pintada y de pasta clara entre los platos y las cerámicas de almacenaje (Rouillard *et al.* 2007).

Sin embargo, a pesar de estos cambios que podrían apuntar a una regionalización de los circuitos productivos y comerciales, la identificación en Los Casarejos de importaciones del Círculo del Estrecho y la zona mala-gueña apunta a las conexiones que mantuvo este asentamiento a pesar de su particular emplazamiento, así como una creciente presencia tardoarcaica que se confirmará poco después con la presencia de ánforas T.11.2.1.3 en la región (Abad y Sala 1993; Ros y Cutillas 2020). Esto nos debe llevar a cuestionarnos sobre el tipo de comunidad que se instaló en Los Casarejos, pues, aunque las características del yacimiento apunten hacia un asentamiento de tipo rural, su ajuar cerámico podría corresponderse con el identificado en cualquier yacimiento principal en altura de este período. Esta hipótesis se ve además reforzada por el hallazgo de dos brazaletes de bronce que se constituyen en elementos de prestigio de notable valor destinados además a círculos de consumo restringidos (Jiménez 2002).

Este tipo de brazaletes de forma acorazonada y extremos ensanchados (fig. 9) se encuentra bien representado en otros enclaves fenicios arcaicos como Morro de Mezquitilla (Mansel 2000: 1612, fig. 9) o la propia Fonteta, donde se han localizado un total de 20 ejemplares (González Prats 2014a: 257-259), así como en yacimientos autóctonos con marcadas influencias coloniales como Huelva (González de Canales *et al.* 2004: fig. 38) o la necrópolis de la Loma de Boliche (Siret 1908: 433, fig. 36), entre otros. Se trata de prototipos puramente orientales que llegan a la península Ibérica mediante la colonización fenicia y acaban por arraigar entre las comunidades autóctonas, como se aprecia a partir de los tres brazaletes identificados en la necrópolis de Les Moreres (González Prats 2002: 250, fig. 192) o de su presencia en diversas necrópolis del NE peninsular durante la primera mitad del s. VI a.C. (González Prats 2014a: 259). No obstante, uno de los individuos de Los Casarejos cuenta con los extremos en forma de cabeza de serpiente, con los ojos, la boca y el arranque de las escamas del cuerpo marcados

(fig. 9, detalle), siendo un elemento distintivo que no se ha localizado en otros ejemplares ibéricos hasta el momento.

Por todo ello, en el marco territorial que durante la segunda mitad del s. VI a.C. se dio en el SE ibérico, parece posible plantear que el asentamiento de Los Casarejos responde a una ocupación puntual de una comunidad en tránsito que persigue alejarse de las principales vías de contacto, aunque ello le lleve a emplazarse en un lugar poco apto para vivir. Incluso cabe la posibilidad de plantear la naturaleza ganadera de este grupo, actividad más proclive para el entorno del asentamiento y el marco climático del período.

Pero tales circunstancias no impidieron a esta comunidad continuar participando de los circuitos económicos y comerciales de la época, algo para lo que seguro fue esencial que en el asentamiento se encontrasen determinados miembros de una élite que, además, fue capaz de adquirir o mantener ciertos bienes de prestigio como los brazaletes acorazonados. Así, a diferencia de otros traslados directos —de las ocupaciones del Corneros a La Parroquia o de Fonteta a El Oral—, Los Casarejos se constituye como un punto intermedio en un desplazamiento del que no conocemos el punto de origen ni el de destino de esta comunidad, pero que es fundamental para comprender la variabilidad de situaciones y respuestas que experimentaron los grupos del Hierro Antiguo al final de este período. De esta manera, la aparición de un asentamiento de corta duración revela la importancia que los traslados poblacionales tuvieron que tener durante esta época y pone de manifiesto la capacidad de resiliencia de estas comunidades para enfrentarse a las nuevas coyunturas que acabarían desembocando en la configuración de un nuevo paradigma sociocultural bajo la cultura Ibérica.

## CONSIDERACIONES FINALES

La revisión exhaustiva del yacimiento arqueológico de Los Casarejos y su registro material ha permitido reubicar este asentamiento en la coyuntura histórica a la que corresponde, así como presentar una actualización fundamental que corrige gran parte de lo planteado hasta ahora sobre este enclave. El enfoque desarrollado durante este trabajo ha permitido aunar el análisis de la propia secuencia del yacimiento y su repertorio vascular, con las dinámicas territoriales y movimientos poblacionales que se dieron a nivel regional. Una lectura multiescalar que ha

permitido empezar a cuestionarnos sobre la propia idiosincrasia de un asentamiento que por el momento se constituye en un *unicum* dentro de los patrones de asentamiento identificados en la región.

La posibilidad de que una comunidad se desplace desde algún punto probablemente mejor conectado, quizás desde el valle del Guadalentín, para instalarse en una posición agreste y alejada de las principales rutas de comunicación pone de manifiesto las dificultades que se pudieron dar en este periodo de inestabilidad. Sin embargo, ese traslado poblacional y la elección por una zona retirada no implicó un aislamiento de las principales corrientes comerciales del período, tal y como se desprende de la llegada de determinadas importaciones cerámicas. Una situación significativa que podría estar en línea con la existencia de algún personaje con cierto poder -o que al menos lo había tenido- como se desprende del hallazgo de los brazaletes de bronce, bienes de prestigio apenas identificados por el momento entre las comunidades autóctonas de la región. Así, Los Casarejos se define como una imagen fija de esta transición que apenas empezamos a conocer; una comunidad en movimiento de un territorio a otro, pero también en tránsito de un orden socioeconómico y cultural a punto de desaparecer hacia otro emergente que desembocará en la configuración de la cultura ibérica.

## AGRADECIMIENTOS

Esta investigación se enmarca dentro de los resultados de un proyecto predoctoral financiado por el Plan Propio de la Universidad de Murcia. Quisiera agradecer el trato recibido en el Museo Arqueológico de Lorca tanto por sus técnicos, Andrés Martínez y Juana Ponce, como por el resto del personal de la institución durante mis estancias de investigación en el Museo. También me gustaría dar las gracias a José Ángel Zamora por las indicaciones dadas sobre las marcas incisas sobre paredes de ánfora de Los Casarejos.

## BIBLIOGRAFÍA

- ABAD, L.; SALA, F. (1993): *El poblado ibérico de El Oral (San Fulgencio, Alicante)*, Valencia.
- ABAD, L.; SALA, F. (2001): *Poblamiento ibérico en el Bajo Segura. El Oral (II) y La Escuera*, Madrid.
- ÁLVAREZ, N.; CASTELLÓ, J. S.; GÓMEZ BELLARD, C. (2000): Estudio preliminar de las ánforas del Alt de Benimaquía (Denia, Alicante), *QPAC* 21, 121-136.
- ARANCIBIA ROMÁN, A.; MORA SERRANO, B.; SÁEZ ROMERO, A. (2021): Malaka in the 5th century BC: a major punic port-city in the east of the “Circuit of Gadir”, *Il Mediterraneo Occidentale dalla fase fenicia all’egemonia cartaginese. Dinamiche insediative, forme rituali e cultura materiale nel V secolo a.C.* (A. Roppa, M. Botto, P. van Dommelen, coords.), Roma, 265-284.
- ARTEAGA, O.; SERNA, A. (1975): Los Saladares-71, *NAH* 3, 7-140.
- ASTRUC, M. (1951): *La necrópolis de Villaricos*, Informes y Memorias 28, Madrid.
- AUBET, M. E. (2009): *Tiro y las colonias fenicias de Occidente*, Tercera edición actualizada y ampliada, Barcelona.
- AUBET, M. E.; CARMONA, P.; CURIÀ, E.; DELGADO, A.; FERNÁNDEZ CANTOS, A.; PÁRRAGA, M. (1999): *Cerro del Villar. I, El asentamiento fenicio en la desembocadura del río Guadalhorce y su interacción con el hinterland*, Sevilla.
- CAÑAVATE, V.; SALA, F.; LÓPEZ PRECIOSO, F. J.; NOVAL, R. (2017): Los Almadenes y la cuenca del río Mundo, un modelo de paisaje cultural para la protohistoria albacetense, *El Oriente de Occidente. Fenicios y púnicos en el área ibérica* (F. Prados, F. Sala, coords.), Alicante, 105-128.
- CÁRCELES, E.; GALLARDO, J.; RAMOS, F. (2011): Excavaciones urbanas en Lorca: solar esquina calle Álamo con Núñez de Arce (santuario ibérico de tipo orientalizante), *Verdolay* 13, 71-81.
- CÁRCELES, E.; SOLER, A.; LÓPEZ SÁNCHEZ, C. (2015): Restos singulares de un nuevo templo ibérico en Lorca (Murcia), *Anales de Prehistoria y Arqueología* 31, 117-130.
- CELA, X. (2006): Las cerámicas ibéricas del Ibérico Antiguo (siglos VI-V a.C.): estado de la cuestión y propuestas, *De les comunitats locals als estats arcaics: la formació de les societats complexes a la costa del Mediterrani occidental* (M. C. Belarte, J. Sanmartí, eds.), Barcelona, 221-261.
- CHAPA, M. T.; GONZÁLEZ REYERO, S.; ALBA, M. (2019): Los leones de El Macalón (Nerpio, Albacete): monumento, ideología y control territorial en la formación del mundo ibérico, *Complutum* 30 (2), 367-390.  
DOI: <https://doi.org/10.5209/cmpl.66338>
- CORREA, C. (2010): Memoria de las actuaciones arqueológicas realizadas en El Canal (El Saladillo, Mazarrón, Murcia), *Memorias de Arqueología de la Región de Murcia* 15, 129-147.
- CUTILLAS, B. (2016): La Torre de Sancho Manuel: un asentamiento del Hierro Antiguo en la llanura del campo lorquino, *Alberca* 14, 53-69.
- CUTILLAS, B. (2018): En busca de los pobladores de la Primera Edad del Hierro en el Campo de Cartagena: resultados preliminares en torno a la ocupación del Cabezo Ventura (Sureste ibérico), *Lucentum* 37, 75-91.  
DOI: <https://doi.org/10.14198/LUCENTUM2018.37.04>
- CUTILLAS, B. (2019): El ajuar cerámico de una unidad rural del Hierro Antiguo: el caso de La Torre de Sancho Manuel

- (Lorca, R. de Murcia), *Opera Fictiles. Estudios transversales sobre cerámicas antiguas de la península ibérica* (J. Coll, coord.), Valencia, 11-26.
- CUTILLAS, B.; NAVARRO, M. (2018): Dos nuevas esfinges del poblado protohistórico de El Macalón (Nerpio, Albacete) localizadas en el Museo Arqueológico de Cartagena, *Sagvntvm-PLAV* 50, 255-260.  
DOI: <https://doi.org/10.7203/SAGVNTVM.50.12962>
- CUTILLAS, B.; ROS, M. M. (2020): Asentamientos polinucleares y resiliencia urbana entre el Bronce Final y la Edad del Hierro en el Sureste ibérico: nuevos datos a partir del Castellar de Librilla, *Complutum* 31 (1), 71-96.  
DOI: <https://doi.org/10.5209/cmpl.71650>
- DEUS, M. DE; ANTUNES, A.; MONGE, A. M. (2010): A Salsa 3 (Serpa) no contexto dos povoados abertos do Bronce Final do Sudoeste, *IV Encuentro de Arqueología del Suroeste Peninsular* (J. A. Pérez, E. Romero, eds.), Huelva, 515-523.
- ELAYI, J. (2011): Inscripciones fenicias y marcas varias, *La Fonteta. Excavaciones de 1996-2002 en la colonia fenicia de la actual desembocadura del río Segura* (A. González Prats, coord.), Alicante, 259-290.
- ELAYI, J. (2013): *Histoire de la Phénicie*, París.
- ESQUEMBRE, M. A.; ORTEGA, J. R. (2017): El poblado fortificado del Castellar (Villena, Alicante), *El Oriente de Occidente. Fenicios y púnicos en el área ibérica* (F. Prados, F. Sala, coords.), Alicante, 129-154.
- FRANKESTEIN, S. (1997): *Arqueología del colonialismo. El impacto fenicio y griego en el sur de la Península Ibérica y el suroeste de Alemania*, Barcelona.
- GARCÍA BORJA, P.; CARRIÓN, Y.; COLLADO, I.; MONTERO, I.; MUÑOZ, M.; PÉREZ JORDÁ, G.; ROLDÁN, C.; ROMAN, D.; TORMO, C.; VERDASCO, C.; VIVES-FERRÁNDIZ, J. (2010): Campaña de excavación arqueológica de urgencia en Caramoro II (Elx, Alacant), *MARQ. Arqueología y Museos* 4, 37-66.
- GARCÍA BORJA, P.; VERDASCO, C.; MUÑOZ, M.; CARRIÓN, Y.; PÉREZ JORDÁ, G.; TORMO, C.; TRELIS, J. (2007): Materiales arqueológicos del Bronce Final aparecidos junto al Barranc del Botx (Crevillent, Alacant), *Recerques del Museu d'Alcoi* 16, 89-112.
- GARCÍA CANO, J. M.; INIESTA, A. (1987): Excavaciones arqueológicas en el Cabezo de la Rueda (Alcantarilla). Campaña de 1981, *Excavaciones y prospecciones arqueológicas en la Región de Murcia*, Murcia, 134-175.
- GARCÍA MARTÍNEZ, M. S.; ROS, M. M. (2010): Gestión del combustible leñoso e impacto medioambiental asociados a la metalurgia protohistórica de Punta de Los Gavilanes (Mazarrón, Murcia), *TP* 67, 545-559.  
DOI: <https://doi.org/10.3989/tp.2010.10055>
- GONZÁLEZ DE CANALES, F.; SERRANO, L.; LLOMPART, J. (2004): *El emporio fenicio precolonial de Huelva, ca. 900-770 a.C.*, Madrid.
- GONZÁLEZ PRATS, A. (1979): La tipología cerámica del horizonte II de Crevillente, *Sagvntvm-PLAV* 14, 59-96.
- GONZÁLEZ PRATS, A. (1983): *Estudio Arqueológico del poblamiento antiguo de la Sierra de Crevillente (Alicante)*, Anexo I de Lucentum, Alicante.
- GONZÁLEZ PRATS, A. (1990): *Nueva Luz sobre la protohistoria del Sudeste*, Alicante.
- GONZÁLEZ PRATS, A. (2002): *La necrópolis de cremación de Les Moreres (Crevillente, Alicante, España) (s. IX-VII a.C.)*, Alicante.
- GONZÁLEZ PRATS, A. (Coord.) (2011): *La Fonteta. Excavaciones de 1996-2002 en la colonia fenicia de la actual desembocadura del río Segura (Guardamar del Segura, Alicante)*, Alicante.
- GONZÁLEZ PRATS, A. (Coord.) (2014a): *La Fonteta, 1. Estudio de los materiales arqueológicos hallados en la colonia fenicia de la actual desembocadura del río Segura (Guardamar del Segura, Alicante)*. Tomo 1, Alicante.
- GONZÁLEZ PRATS, A. (Coord.) (2014b): *La Fonteta, 2. Estudio de los materiales arqueológicos hallados en la colonia fenicia de la actual desembocadura del río Segura (Guardamar del Segura, Alicante)*. Tomo 2, Alicante.
- GRAU, I.; SEGURA, J. M. (2013): El Puig en sus inicios: del período orientalizante a la época plena, *El oppidum ibérico de El Puig d'Alcoi: asentamiento y paisaje en las montañas de la Contestania* (I. Grau, J. M. Segura, eds.), Alcoi, 67-110.
- JIMÉNEZ ÁVILA, J. (2002): *La toréutica orientalizante en la Península Ibérica*, Madrid.
- LÓPEZ CASTRO, J. L.; MARTÍNEZ, V.; MOYA, L.; PARDO, C. (2011): *Baria I. Excavaciones de urgencia en Villaricos. La excavación de urgencia de 1987*, Almería.
- LÓPEZ CASTRO, J. L.; MARTÍNEZ, V.; PARDO, C. (2010): La ciudad de Baria y su territorio, *Mainake* 32 (1), 109-132.
- LÓPEZ CASTRO, J. L.; PARDO, C.; MOYA, L. (2017): ¿Fondos de cabaña o depósitos rituales? Sobre un tipo de contextos materiales del Bronce Final y comienzos de la Edad del Hierro en el sur de la Península Ibérica. El depósito de Cortijo Riquelme (Almería), *Zephyrus* 80 (2): 69-91.  
DOI: <https://doi.org/10.14201/zephyrus2017806991>
- LÓPEZ MONDÉJAR, L. (2012): Poblamiento, sociedad y economía en el valle del Guadalentín: el cerro del Castillo de Lorca entre los siglos V a.C. - I d.C., *Complutum* 23 (1), 145-163.  
DOI: [https://doi.org/10.5209/rev\\_Cmpl.2012.v23.n1.39535](https://doi.org/10.5209/rev_Cmpl.2012.v23.n1.39535)
- LÓPEZ MONDÉJAR, L. (2015): Una aproximación a los espacios sagrados en el conjunto ibérico de Lorca (Murcia) entre los períodos ibérico y romano: problemas y perspectivas de trabajo, *El tiempo final de los santuarios ibéricos en los procesos de impacto y consolidación del mundo romano* (T. Tortosa, S.F. Ramallo, coords.), Madrid, 117-133.
- LÓPEZ ROSENDO, E. (2009): Intervención arqueológica urgente en el yacimiento de Los Villares de Jerez de la Frontera (Cádiz). Campaña 2004, *Anuario Arqueológico de Andalucía 2004*, Sevilla, 369-378.

- LORRIO, A. (2008): *Qurénima: el Bronce Final del sureste de la Península Ibérica*, Madrid.
- LORRIO, A.; PERNAS, S.; TORRES, M. (2016): Puntas de flecha orientalizantes en contextos urbanos del Sureste de la Península Ibérica: Peña Negra, La Fonteta y Meca, *CuPAUAM* 42, 9-78.  
DOI: <https://doi.org/10.15366/cupauam2016.42.001>
- LORRIO, A.; PERNAS, S.; TORRES, M.; TRELIS, J.; CAMACHO, P.; CASTILLO, L. (2020): Peña Negra (Crevillent, Alicante): la ciudad orientalizante de Herna y su territorio, *Actas del IX Congreso Internacional de Estudios Fenicios y Púnicos. Un viaje entre el Oriente y el Occidente del Mediterráneo* (S. Celestino, E. Rodríguez, eds.), Mérida, 521-540.
- MANCHA, S.; LEÓN, L. M. (2009): *Memoria final de excavación arqueológica de urgencia sobre el trazado del gasoducto conexión a Lorca entre los vértices v-90 y v-91 en el término municipal de Lorca*, Memoria de Intervención Inédita depositada en la Dirección General de Bienes Culturales de la Comunidad Autónoma de la Región de Murcia.
- MANCHA, S. (2010): El yacimiento arqueológico del Hierro antiguo de Los Casarejos (Lorca, Murcia), *Alberca* 8, 41-60.
- MANSEL, K. (2000): Los hallazgos de metal procedentes del horizonte fenicio más antiguo B1 del Morro de Mezquitilla (Algarrobo, Málaga), *IV Congreso Internacional de Estudios Fenicios y Púnicos* (M. Barthélemy, M.E. Aubert, coords.), Cádiz, 1601-1614.
- MARTÍN CÓRDOBA, E.; RAMÍREZ, J. D.; RECIO, A. (2006): Producción alfarera fenicio-púnica en la costa de Vélez-Málaga (siglos VIII-V a.C.), *Mainake* 27, 257-287.
- MARTÍN RUIZ, J. A. (2007): *La crisis del siglo VI a.C. en los asentamientos fenicios de Andalucía*, Málaga.
- MARTÍNEZ, M. (2006). Excavación arqueológica en la zona de La Alberca (Lorca, Murcia). Un horno alfarero de los siglos VII-VI a.C. y un centro comercial y militar de época tardo-púnica y romana, *Memorias de Arqueología de la Región de Murcia* 14, 213-260.
- MATA, C.; BONET, H. (1992): Cerámica ibérica: ensayo de tipología, *Estudios de Arqueología Ibérica y Romana. Homenaje a Enrique Pla Ballester*, Valencia, 117-175.
- MATA, C.; SORIA, L. (1997): Marcas y grafitos sobre contenedores ibéricos, *APL* 22, 297-374.
- ORTIZ, R. (2014): La cerámica a mano, *La Fonteta, 1. Estudio de los materiales arqueológicos hallados en la colonia fenicia de la actual desembocadura del río Segura (Guardamar del Segura, Alicante)*. Tomo 1 (A. González, Coord.), Alicante: 13-238.
- PAPI, C. (1992-1994): Improntas de esterillas en cerámicas del Bronce Final de Peña Negra (Crevillente, Alicante). Campañas de 1983 y 1984, *Lucentum* 11-13, 39-49.
- PEÑA, J. L.; ENRIQUE, M.; GRAU, E.; MARTÍ, M. A. (1996): El poblado de la Mola d'Agres, *Homenaje a Milagros Gil-Mascarell Boscà*, Valencia.
- PLA, R. (2014): Las tinajas (tipo 43), *La Fonteta, 2. Estudio de los materiales arqueológicos hallados en la colonia fenicia de la actual desembocadura del río Segura (Guardamar del Segura, Alicante)*. Tomo 2 (A. González, Coord.), Alicante, 691-728.
- RAMON, J. (1995): *Las ánforas fenicio-púnicas del Mediterráneo Central y Occidental*, Barcelona.
- RAMON, J.; SÁEZ, A.; SÁEZ, A. M.; MUÑOZ, A. (2007): *El taller alfarero tardoarcaico de Camposoto (San Fernando, Cádiz)*, Sevilla.
- RODERO, A.; PEREA, A.; CHAPA, T.; PEREIRA, J.; MADRIGAL, A.; PÉREZ-DIE, M. (1996): La necrópolis de Villaricos (Almería), *Homenaje al Profesor Manuel Fernández-Miranda* (M. A. Querol, T. Chapa), Madrid, 373-383.
- ROS, M. M. (1986-1987): El poblado de Santa Catalina del Monte: una aproximación a la urbanística del siglo VI a.C. en el ámbito territorial del eje Segura-Guadalestín, *Cuadernos de Prehistoria y Arqueología* 13-14, 77-88.
- ROS, M. M. (1989): *Dinámica urbanística y cultura material del Hierro Antiguo en el Valle del Guadalestín*, Murcia.
- ROS, M. M. (1990): Datos para una definición del Bronce Final Pleno en el Altiplano Yecla-Jumilla: las cazuelas carenadas de Coimbra del Barranco Ancho (Jumilla), *TP* 47, 351-362.
- ROS, M. M. (2017): Nuevos datos en torno a la presencia fenicia en la Bahía de Mazarrón (Sureste Ibérico), *El Oriente de Occidente. Fenicios y púnicos en el área ibérica* (F. Prados, F. Sala, coords.), Alicante, 79-104.
- ROS, M. M.; BROTONS, F.; RAMALLO, S. F. (2016): Aproximación al horizonte preibérico - ibérico antiguo en el noroeste murciano: la prospección del oppidum de Los Villares del Estrecho de las Cuevas de la Encarnación (Caravaca de la Cruz), *Homenaje a la profesora Concepción Blasco Bosqued, Anejos de CuPAUAM* 2, Madrid, 219-239.
- ROS, M. M.; CUTILLAS, B. (2020): De Fenicios a Púnicos en la Bahía de Mazarrón: el registro de las ánforas T-11 en el promontorio costero de Punta de los Gavilanes, *Actas del IX Congreso Internacional de Estudios Fenicios y Púnicos. Un viaje entre el Oriente y el Occidente del Mediterráneo* (S. Celestino, E. Rodríguez, eds.), Mérida, 801-816.
- ROUILLARD, P.; GAILLEDROT, E.; SALA, F. (2007): *L'établissement protohistorique de La Fonteta (fin VIIIe – VIe siècle av. J.-C.)*, Madrid.
- RUIZ GIL, J. A.; LÓPEZ AMADOR, J. J. (2001): *Formaciones sociales agropecuarias en la Bahía de Cádiz, 5000 años de adaptación ecológica en la Laguna del Gallo (El Puerto de Santa María)*, Sanlúcar de Barrameda.
- RUIZ MATA, D.; VALLEJO, J. I. (2002): Continuidad y cambio durante el siglo VI a.C. Las cerámicas del corte C del Cerro Macareno (La Rinconada, Sevilla), *Spal* 11, 197-218.
- SALA, F. (2010): Nuevas perspectivas sobre las relaciones púnicas con la costa ibérica del sureste peninsular, *Mainake* 32 (2), 933-950.

- SALA, F.; LÓPEZ PRECIOSO, J.; NOVAL, R.; CAÑAVATE, V.; CARRATALÁ, I.; FERNÁNDEZ, S.; PERDIGUERO, P.; ROSELL, P. (2020): Los Almadenes (Hellín, Albacete) o la meta de un sistema productivo y comercial del siglo VI a.C. a través del río Segura, *Actas del IX Congreso Internacional de Estudios Fenicios y Púnicos. Un viaje entre el Oriente y el Occidente del Mediterráneo* (S. Celestino, E. Rodríguez, eds.), Mérida, 837-848.
- SÁNCHEZ GONZÁLEZ, M. J.; MEDINA, A. J.; SÁNCHEZ GONZÁLEZ, M. B. (2010): Prospecciones arqueológicas sistemáticas en el valle del Río Vélez o Río Corneros (Lorca, Murcia), *Memorias de Arqueología de la Región de Murcia* 15, 1125-1176.
- SIRET, L. (1908): *Villaricos y Herrerías. Antigüedades púnicas, romanas, visigóticas y árabes*, Madrid.
- SORIA, L.; MATA, C. (2015): Marcas y epígrafes sobre ánforas de época ibérica. II, *Lucentum* 34, 145-171.  
DOI: <https://doi.org/10.14198/LVCENTVM2015.34.05>
- SORIANO, S.; JOVER, F. J.; LÓPEZ SEGUÍ, E. (2012): Sobre la fase orientalizante en las tierras meridionales valencianas: el yacimiento de Casa de Secà (Elche, Alicante) y la dinámica del poblamiento en el Sinus Ilicitanus, *Sagvntvm-PLAV* 44, 77-97.  
DOI: <https://doi.org/10.7203/SAGVNTVM.44.1772>
- SUÁREZ, J.; MÁRQUEZ, J. E. (2014): La problemática de los fondos de cabaña en el marco de la arquitectura protohistórica del sur de la Península Ibérica, *Menga* 5, 199-225.
- VAN DOMMELEN, P. (1998): *On colonial grounds: a comparative study of colonialism and rural settlement in first millennium BC west central Sardinia*, Leiden.
- VIVES-FERRÁNDIZ, J. (2005): *Negociando encuentros: situaciones coloniales e intercambios en la costa oriental de la Península Ibérica (ss. VIII-VI a.C.)*, Cuadernos de Arqueología Mediterránea 12, Barcelona.
- ZAMORA, J. A. (2019): Poenica Hispana II: Documentos epigráficos fenicio-púnicos inéditos, mal conocidos o sujetos a nuevo examen procedentes de la Península Ibérica y su entorno, *Orientalística en tiempos difíciles: actas del VII Congreso Nacional del Centro de Estudios del Próximo Oriente* (J. Gil, A. Mederos), Zaragoza, 377-400.





# FINS QUE ES PODREIXI EL FANG<sup>1</sup>. COMPLEXOS TERRISSERS D'ÈPOCA IBÈRICA A L'ÀREA CATALANA

*Until clay putrefies. Iberian second Iron Age pottery workshops in the Catalan area*

RAMON CARDONA COLELL

Secció d'Arqueologia del Centre d'Estudis Lacetans. rcardona@xtec.cat

---

## RESUM:

*El canvi de tendència en els estudis sobre ceràmica i l'interès creixent per les estructures de producció i tota la cadena operativa de producció ceràmica ens porta a abordar també l'estudi dels complexos terrissers d'època ibèrica. En aquest treball es presenten i analitzen en una zona acotada d'estudi, Catalunya, tots els tallers i forns ceràmics ibèrics coneguts. La manca d'estudis i de dades fa que no puguem comptar amb un llistat de qualitat, tot i l'embranzida dels darrers anys d'estudis sobre el tema, sobretot a la zona de l'Alt Penedès. L'anàlisi de les dades existents ens dibuixa un mapa desigual i incomplet pel que fa als centres productors, atès l'ús generalitzat de la ceràmica a tota la zona d'implantació de la cultura ibèrica des del s. VI aC fins al s. I aC. Altres raons, tal vegada internes del món ibèric, poden ajudar a explicar l'acumulació dels centres productius a la Cessetània, Laietània i Indigècia.*

**Paraules clau:** forn ceràmic, terrisseria, ibèric, Catalunya.

## ABSTRACT:

*The change in trend in studies on ceramics and the growing interest in production structures and the entire operational chain of ceramic production, leads us to deal with the study of pottery complexes of Iberian period. In this article will be analyzed and presented all known Iberian ceramic workshops and kilns in a specific area of study, Catalonia. Because of lack of studies and data we cannot count on a list of quality, despite the recent studies on the subject, especially in the area of Alt Penedès. The analysis of the existing data draws us an unequal and incomplete map with respect to the production centres, given the general use of pottery throughout the Iberian period culture from 6th BC to 1st BC. Other reasons, perhaps internal, can help to explain the accumulation of productive centres in the Cessetània, Laietània and Indigècia regions.*

**Key words:** pottery kiln, workshop, Iberian, Catalunya.



*O és que no t'has adonat, pel que fa als oficis, com els fills dels terrissaires els contemplen en un llarg aprenentatge abans d'aplicar-se a la terrisseria?*  
Plat. Rep. 5.467a<sup>2</sup>

### ÀNIMA DE CÀNTIR<sup>3</sup>

La gran enciclopèdia bizantina *Suda*<sup>4</sup> sobre el món mediterrani antic, escrita en grec al s. X, fa servir el verb *κεραμεύειν* “fer ceràmica” com a sinònim de treball dur i pesat. La feina de terrisser ha estat tradicionalment un ofici penós i rudimentari, arrencar la terra, preparar-la, tornejar amb força de peus i braços, aplegar llenya. El poeta còmic Filèter considera el fabricant de llànties especialment digne de llàstima i pobre (*Αχιλλεύς*, Edmonds II 20, 4). La tradició ceramista medieval i moderna dóna testimoni de la duresa d'aquesta feina i de l'estatus social dels ceramistes. Els terrissers canviaven de feina els mesos freds de l'hivern, quan gelades i boires impossibilitaven el procés de secat de l'obra. En aquest mesos d'inactivitat terrissera aprofitaven per collir olives o per llogar-se a jornal (Hampden 2011: 90; Boleda 2010: 24-35).

No només els grecs tenien aquesta consideració sobre l'ofici de terrisser. Podem veure a Egipte una descripció de l'ofici de terrisser a La Sàtira dels Oficis o les instruccions de Dua-Kethy, datada del Regne Mitjà (2040 aC), papir Sallier II, columna VI, línia 1 a 3: *El terrisser està cobert de pols, encara que la seva vida es troba entre els vius. Escarbota al terra més que un porc per coure els seus atuells ceràmics. La roba queda encartonada pel*

*fang. Al cap s'hi posa només parracs, de tal manera que l'aire calent que ve del forn li entra directament pel nas. Fabrica amb el seus peus un pes amb el qual ell mateix és colpejat, cavant el pati de cada casa i arrossegant terra a tots els llocs oberts.*<sup>5</sup> Hom pot pensar que la Sàtira exagera les condicions pèssimes de l'ofici de terrisser en relació a l'ofici d'escriba, el més ben considerat de l'antic Egipte. No obstant això, segur que dóna algunes pistes de la realitat de les feines artesanals. Alguns tallers ceràmics els veiem representats en les pintures de les tombes egípcies (fig. 1). El terrisser no només estava exposat a la pols i al fang, al fum dels forns, sinó que també ho estava a les inclemències meteorològiques, tal com testimonia de forma molt expressiva una faula d'Isop:

Un pare té dues filles. Una la casa amb un jardiner i l'altra amb un terrisser. Passat un temps, el pare visita la filla casada amb el jardiner i li pregunta com li va. La filla respon que tot li va bé i que només demana una cosa als déus, tenir mal temps i pluges per poder regar els brots. Després ve el torn de l'altra filla, casada amb el terrisser. Li pregunta el mateix. Ella respon que no troba a faltar res, només demana que duri l'estiu i escalfi el sol per assecar bé l'argila. El pare replica, *si tu vols que faci bon temps i la teva germana el vol dolent, ¿amb quina de vosaltres m'uniré per pregar?*<sup>6</sup>

Els terrissers també els podem trobar associats a mites fundacionals i a bons auguris. No només ho veiem en el mite bíblic del Gènesi (Gènesi 2:7). A la mitologia grega Prometeu modela l'home a partir del fang. Caïra, filla d'un terrisser de la Jònia, va contribuir a la fundació de Milet. Segons aquest mite, Nileas, el segon fill de Codros, va veure's obligat a marxar del seu país i va fundar

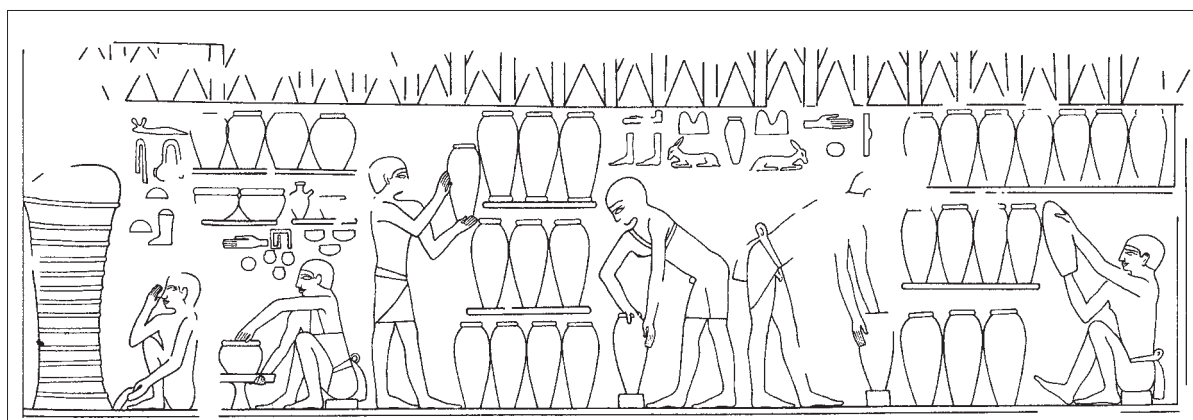


Fig. 1: El taller ceràmic del noble Ty, representat a la seva tomba a Saqqara (E. Simpson after Épron and Daumas 1939, pl. 71).

una colònia. Consultat l'oracle sobre quin era el millor lloc per construir la nova ciutat, la resposta va ser anar a un lloc on algú li oferís terra humida. Nileas va rodar fins arribar a la costa de l'Àsia Menor, on va trobar la verge Caïra, que preparava fang per al seu pare. Nileas li va demanar una mica de fang per estampar un segell. La noia li'n va donar i es va complir l'oracle (Grimal 1986: 80).

Talos, un fill de la germana de Dèdal, va inventar el torn (Diodor Sícul. *Biblioteca historica*, IV, 76). Segons altres l'inventor del torn és Pèrdix (Grimal 1986: 422), el nebot de Dèdal, l'arquitecte del rei de Creta. És interessant també la llegenda egípcia que parla de com la deïtat Khnum va modelar el primer home amb el torn ceràmic. Khnum era un déu terrisser, un dels principals déus creadors. Modelava déus, éssers humans i animals amb l'argila i els insuflava també l'alè de vida. Segons la mitologia egípcia Khnum, cansat de fer éssers humans un rere l'altre amb el seu torn i de fer girar la roda, el va trencar i va posar els trossets a l'úter de cada dona perquè d'aquesta manera fos la dona l'encarregada de modelar i crear la vida (Faulkner 2004). Seguint el mite egipci, podríem dir que en el fons tots tenim ànima de càntir, de fang tornejat. Per això al final de la vida desitgem que aquesta terra ens torni de forma lleu, sense oprimir-nos massa, *sit tibi terra levis (STTL)*<sup>7</sup>, com deien els romans que ja deien els grecs.

## A PASTAR FANG<sup>8</sup>. OBJECTIUS

El present article pretén abordar l'estudi dels complexos terrissers d'època ibèrica, partint de la necessitat inicial d'establir un inventari en una zona acotada d'estudi, en aquest cas Catalunya, dels principals tallers i forns ceràmics ibèrics coneguts. A partir de les dades presentades, s'establirà una tipologia hipotètica de centres bàsicament del moment ibèric ple, segons la seva ubicació i organització dins l'espai ibèric. També veurem com les tipologies en què tradicionalment s'han classificat els forns protohistòrics ens són útils encara per distingir tallers ceràmics dins el període ibèric. Una de les contradiccions a l'hora d'estudiar els complexos terrissers del període ibèric és que l'ús quotidià i generalitzat de la ceràmica no troba correspondència amb la quantitat discreta de centres productors localitzats fins a dia d'avui. El sentit comú porta a plantejar centres productors de proximitat, en terrisseries generalitzades d'abast comarcal o regional (Bonet i Mata 2008: 148). Veurem al llarg

d'aquest treball si podem aportar algunes respostes a aquests interrogants. Realment ens trobem amb una manca de dades per l'atzar de la investigació o són altres les causes, com la mateixa organització i funcionament de la producció ceràmica en època ibèrica, les que poden explicar la concentració del focus de producció de forma delimitada en el territori?

El recull de dades també sobre les produccions d'alguns dels forns inventariats en aquest article no permetrà tal vegada aportar massa novetats sobre els atuells que normalment es coïen en els forns ibèrics. Sí que ens poden donar algunes pistes sobre el caràcter mixt o especialitzat de les cuites i sobre la distribució en percentatges de les principals categories ceràmiques implicades en les coccions. La manca d'estudis de compendi i l'absència de dades de qualitat comporten un desànim a l'hora d'afrontar una recerca d'aquest tipus, atès que la informació de partida és escadussera, de mala qualitat i es troba escampada en multitud d'estudis i articles. Sí que és cert també que els estudis sobre aquesta temàtica han agafat embranzida, els darrers anys sobretot a la zona de l'Alt Penedès. No obstant això, les dades semblen incompletes i presenten un territori desequilibrat, si tenim en compte l'ús generalitzat de la ceràmica a tota la zona d'implantació de la cultura ibèrica des del s. VI aC fins al s. I aC.

## PASTONS<sup>9</sup>, CENTRATS AL TORN. INVESTIGACIÓ INCIPIENT

La ceràmica és el fidel exponent d'un complex sistema economicosocial i resultat d'un bagatge tècnic igual d'important (Sanmartí i Santacana 2005). El procés de producció ceràmica en si mateix condiciona el producte final. No es poden deixar de banda unes activitats que avui denominaríem auxiliars, però que són imprescindibles, atès que possibiliten l'elaboració, distribució i comercialització dels productes ceràmics. Per això és important connectar les produccions ceràmiques amb els seus centres productors. L'interès creixent pels centres productors marca un canvi de tendència en els estudis generals sobre ceràmica. Tradicionalment s'havia estudiat la ceràmica com a pauta cronològica i convenia establir-ne els trets morfològics principals i la decoració (Saiz *et al.* 2010: 266). L'oscil·lació del centre d'atenció investigadora cap a altres aspectes, com els centres terrissers i la dispersió i distribució dels atuells ceràmics, ha obligat

també a fer estats de la qüestió i posar el focus sobre una informació tantes vegades oblidada, matèries primeres, abocadors, sediments, dades arqueomètriques.

En el cas d'aquest article, a mode de radiografia, presentem el mapa que genera avui la informació de què es disposa sobre terrisseries ibèriques al NE peninsular, coincidint amb la zona catalana. Hi ha poques produccions que es puguin associar amb seguretat a centres productius concrets. A la zona catalana hi ha exemples molt didàctics com els que envolten l'àrea colonial d'Empúries i Roses. Existeixen tallers concrets, tot i que dins de l'òrbita focea i escapant de l'especificitat dels tallers pròpiament ibèrics, fet que permet fixar les ceràmiques que s'hi produïen. En el cas de les ceràmiques més antigues com la ceràmica grisa monocroma, el radi de distribució és força local, molt restringit. En el cas dels plats anomenat de vora à *marli* (Garcés *et al.* 2003), presenten acabats diferents si procedeixen d'Empúries o d'Ullastret, dos centres arqueològics diferents amb presència segura de

forns o tallers ceràmics, tot i que estiguin desapareguts o estiguin per trobar. Un cas semblant passa amb la posterior ceràmica grisa de la costa catalana, amb un nom ja prou ampli i genèric i que inclou ceràmiques que van del s. IV al I aC i, fins i tot, segons algun article, fins a època imperial (Casas *et al.* 1993) per a una zona que inclou el NE peninsular i el S de França (Adroher 1990; Rodríguez 2003; Sanmartí 1978; Cura i Principal 1995). Els únics forns clars productors localitzats d'aquest tipus de ceràmica serien els de Roses. Els interrogants es plantegen igual per al cas de Roses, que semblaria més senzill en principi. Sembla que les evidències fornàries, tot i ser clares, aporten poques dades (Puig 2007: 705) que ajudin a entendre el volum de materials categoritzats com a taller de Roses. Hi ha a més a més la incapacitat també de saber l'estructuració interna del taller, oficines, funcionament, extracció d'argila, combustible (Puig 2007: 706). Cal veure si l'estudi territorial de les produccions de Roses s'ha de basar en elements decoratius com palmetes i

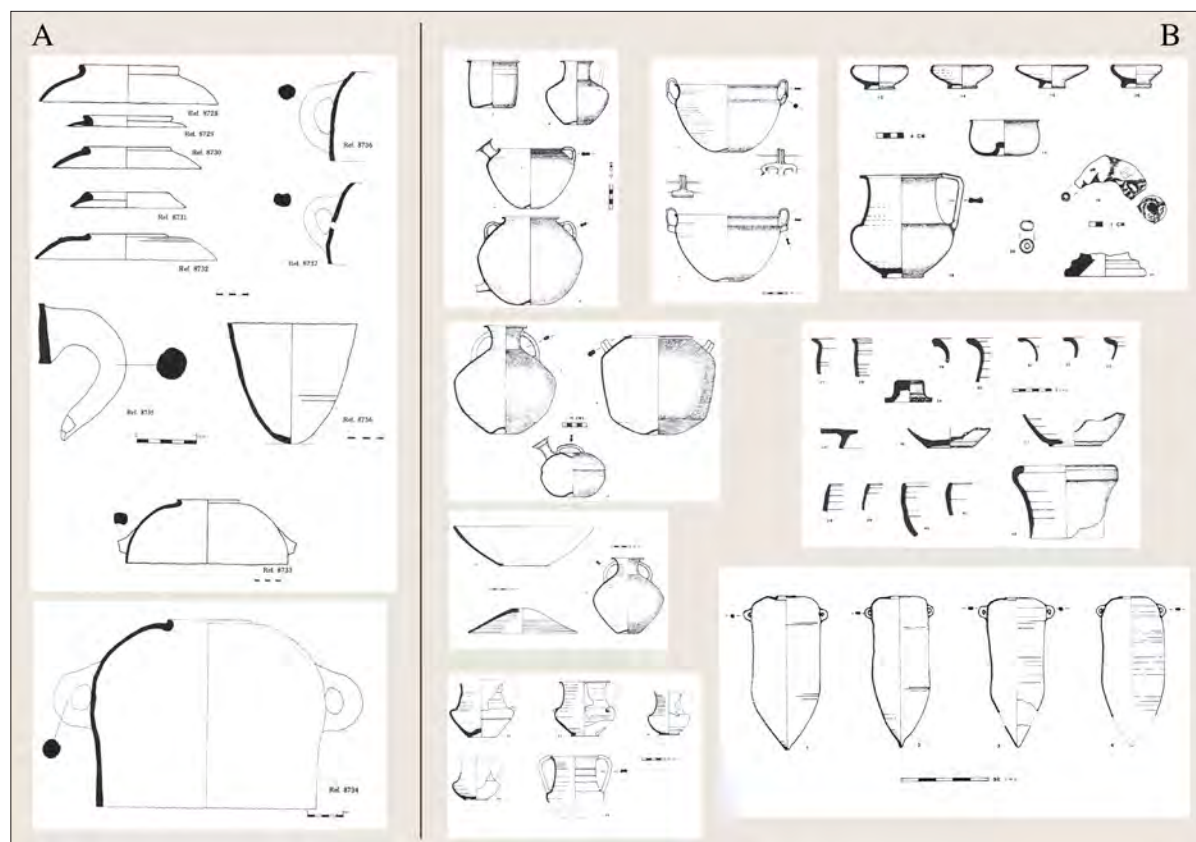


Fig. 2: Materials ceràmics representatius dels jaciments de: A) Riera de Sant Simó, Mataró (Pons 1983: 189-190); i B) Can Vedell, Bigues (Hernández 1983a: 83-86).

roses, roses nominals (Principal 1998) o sobretot a partir de les formes (Puig 2007: 711). Podríem afegir en aquest repertori de materials la ceràmica amb pintura blanca de l'àrea indiketa, de distribució reduïda, i amb possible centre productor a l'entorn de Puig de Sant Andreu (Martín 1978; Sanmartí 2007).

Es poden establir per a la zona catalana altres centres productors relacionats amb zones geogràfiques diferents, Hortes de cal Pons (Cardona *et al.* 2019) i Darró són un exemple clar per a la Cessetània, així com la Riera de Sant Simó i Can Vedell ho són per a la Laietània (fig. 2). A la zona de l'Alt Penedès cal afegir altres interessants jaciments d'excavació recent com Valls del Foix (Torrelles de Foix) i Font dels Igols (Pontons). Aquestes dues darreres terrisseries, juntament amb la d'Hortes de Cal Pons, estan situades a molt poca distància l'una de l'altra i presenten cronologies similars, fet que permet plantejar l'especialització de certes zones del territori ibèric en l'exploració ceràmica.

Alguns estudis recents a Catalunya han volgut dilucidar tot aquest vast camp de la caracterització de la ceràmica i la seva distribució centrant-se en la caracterització macroscòpica, a través de microscopi òptic. Veiem l'exemple a l'Esquerda (Roda de Ter), on s'analitzen exemples de ceràmica grisa de la costa catalana i ceràmiques grises medievals, amb l'objectiu d'identificar produccions i procedències. Són observacions que els mateixos autors diuen que no els han permès diferenciar produccions i que no és fiable una proposta d'aquest estil, que constitueixen només estudis preliminars que han de ser sotmesos a anàlisis d'altre tipus (Gutiérrez *et al.* 2007). Cal insistir en els estudis arqueomètrics per no dependre tan sols dels estudis tipològics ceràmics. Sembla que les tipologies no són suficients i no són tan útils quan transcendim les àrees d'impacte principal, de vegades corresponents a límits polítics actuals (Bonet i Mata 2008: 148).

Si ens volem referir a estudis de mercat i distribució de les produccions ibèriques, camp que fins ara estava restringit a les ceràmiques d'importació mediterrània, els estudis més rellevants són els que es realitzen a la zona valenciana. Són estudis que plantegen la possibilitat de l'existència d'un comerç intermedi, segons el patró establert per Renfrew (1975: 6). Un dels exemples és la individualització de produccions ibèriques de les zones ibèriques d'Arse/Tossal del Castell (Sagunt, València), Edeta/Tossal de Sant Miquel (Llíria, València), i Kelin/Los Villares (Caudete de las Fuentes, València) (Mata *et*

*al.* 2000: 395). Arse és l'exemple que mostra més dinamisme, sobretot per la troballa d'àmfores produïdes en aquest territori en punts allunyats de les seves fronteres (Mata *et al.* 2000: 395) i per la seva situació litoral. Llocs com Kelin, amb aparició de ceràmica de més d'un centre productiu del seu territori (Casillas del Cura, La Maralaga, Casa Guerra), es plantegen com a centres productors i distribuïdors de la seva ceràmica. Seria un comerç de curta distància atès l'abast de distribució entre els 14 i 32 km (Duarte *et al.* 2000: 238). El comerç seria bidireccional, fet que explica l'arribada també de la ceràmica importada.

Igualment altres estudis en el territori valencià proposen una aproximació ceràmica-territori a partir dels estils decoratius Oliva-Llíria o Elx-Arxena, revisats avui com estils de Llíria o edetà i d'Illici. Tradicionalment el primer s'ha atribuït a l'Edetània i el segon, a la Contestània (Abad i Sanz 1995: 82; Tortosa 2006; Bonet 2008: 147-171), límits que no semblen correspondre del tot a les troballes fetes en el territori. Les troballes fora del territori edetà alguns autors les atribueixen a les relacions comercials amb els centres productors. També és clara la presència de diferents tallers des del SE peninsular fins a la vall de l'Ebre que explicarien, tot i la unitat fonamental, les diverses variants (Bonet i Mata 2008: 155-156). Les troballes a la zona de Múrcia i Albacete serveixen per considerar una Contestània de límits més amplis (Abad i Sanz 1995: 82), plantejant noves relacions comercials i una nova situació sociopolítica de cada regió.

En canvi sí que hi ha hagut estudis en la zona catalana dedicats a caracteritzar grups i centres de producció més tardans, sobretot d'època romana, d'assenyalar els trets diferenciadors, definint àrees d'expansió comercial i explicant l'evolució de cada centre en relació al temps. Així ho veiem per als centres de producció romana de tradició indígena (Abascal 1986). Estudis com aquests permeten veure l'evolució de la ceràmica ibèrica en el seu contacte amb el món romà i els canvis que es produiran i que permeten postular que la ceràmica de tipus ibèric no perviu més enllà de mitjan s. I dC, sinó que es transforma. En aquests contextos tardoibèrics hi ha l'exemple del càlat, la peça ceràmica més característica d'aquest moment. Aquí els mapes de distribució es fan a partir d'anàlisi estructural i decoratiu i també de composició d'argiles a nivell fisicoquímic, donant com a resultat la caracterització d'àrees de producció i període cronològics de funcionament i producció. Destaca la producció sorgida de la zona emporitana al llarg del s. II aC fins a la primera

meitat del s. I aC, presents a tot el comerç ibèric interior i també en el comerç marítim peninsular i extrapeninsular (Conde 1990; 1991). S'ha volgut caracteritzar en el territori català també la producció de còlats i ceràmica comuna ibèrica oxidada del taller Fontscaldes (Valls, Alt Camp) (Lafuente 1992), taller que estigué actiu entre mitjans del s. II i els inicis del I aC (Lafuente 1992; Fabra 2008). Són materials apareguts en contextos segurs, però que no han estat sotmesos, que coneguem, a cap altre estudi que el tipològic.

Per a l'avanç d'aquests estudis de distribució caldrà identificar bé els testers de cada taller, no sempre fàcil, i establir produccions segures. La manca de dades físiques sobre terrisseries ceràmiques ha provocat que s'intentin caracteritzar produccions a partir de les ceràmiques, independentment del lloc físic de procedència. Un cas és el de la ceràmica de vernís roig ilergeta. Se suposa que el centre de producció estaria ubicat a les proximitats d'Il-tirta, atès l'estudi de les roques argiloses de les proximitats del teòric centre d'elaboració. Ni que no s'hagi trobat el taller, les analítiques per DRX, difracció de raigs X, i FRX, fluorescència de raigs X, de les pastes ceràmiques i les argiles mostrejades a la zona del Puig Pelegrí i Bòbila, permeten especular l'existència d'un taller en aquesta zona (Junyent i Alastuey 1991).

Els estudis arqueomètrics són recents i no es comencen a desenvolupar fins a la dècada dels '90 del s. XX, sobretot a l'àrea catalana, valenciana i balear (Buxeda i Madrid 2004; Tsantini *et al.* 2005). Es crea una primera base de dades sobre produccions ceràmiques, permetent amb estudis multidisciplinaris aplegar informació sobre orígens de cada ceràmica, aspectes tecnològics implicats en el seu treball i localització i difusió de centres productors i receptors. S'investiga la producció de còlats d'Empúries (Conde 1991) i es caracteritza la composició química i mineralògica de les produccions de la ceràmica monocroma grisa grega de la zona N catalana (Pradell *et al.* 1995) i es comencen a fer treballs centrats en les àmfores ibèriques (González *et al.* 1985). Pel que fa a les àmfores, sobretot a l'àrea laietana i cossetana, els estudis de referència són de J. Buxeda, M. Madrid i E. Tsantini (Buxeda i Madrid 2004; Tsantini 2004; 2007; Tsantini *et al.* 2005). Es poden ja identificar produccions, com la del forn d'àmfores de la Riera de Sant Simó a la Laietània, i identificar diferents centres de producció, com els de la Cessetània (Font dels Igols, Hortes de Cal Pons) (Ribera i Tsantini 2008: 630). En aquest treballs s'inclouen centres productors i centres receptors (Tsantini 2007),

podent-se diferenciar grups de referència i Unitats de Referència Composicional de Pasta (URPC) (Ribera i Tsantini 2008: 629). S'observa una gran varietat de produccions i com cada territori produeix la seva ceràmica, almenys pel que fa a les àmfores (Ribera i Tsantini 2008: 631).

## A PUNT D'ENFORNAR<sup>10</sup>. CATÀLEG DE JACIMENTS FORNARIS A L'ÀREA CATALANA

S'han recollit les dades dels principals jaciments amb constància arqueològica de producció ceràmica (veure Apèndix). No és un llistat exhaustiu. Alguns dels jaciments seran simples noms amb informació més aviat escassa i poc fiable. És tracta d'una seixantena de jaciments, amb un petit percentatge de dubtosos, per cronologia massa àmplia o per absència de dades. En el processament de dades s'estudia el percentatge de jaciments globalment, donant el mateix valor als jaciments que presenten evidències indirectes de producció ceràmica que als complexos que presenten un o més forns. En aquesta mostra no es recullen els forns de l'òrbita colonial, tot i que se'n facin referències al llarg de l'article.

Per no fer una tirallonga feixuga de jaciments, evitem esmentar els jaciments dubtosos, presentant els més fiables en diferents graelles. En primer lloc, dues graelles diferenciades per als complexos terrissers amb múltiples forns d'època ibèrica antiga i moment ple. Les graelles següents compendien els jaciments terrissers del moment ibèric tardà, distingint si contenen un o més d'un forn. La darrera graella classifica els jaciments amb evidències indirectes de producció ceràmica, tant per al moment ibèric ple com per a la fase ibèrica final. L'adscripció cronològica de cada jaciment terrisser s'ha distribuït en ibèric antic (ss. VI-V aC), ibèric ple (ss. IV-III aC) i ibèric tardà o final (ss. II-I aC).

Pel que fa al tipus de jaciment, la caracterització ha pretès diferenciar els centres de producció ceràmica amb presència de forns segons la seva complexitat. Els complexos terrissers responen a centres de producció amb diversitat de forns. Dins d'aquesta categoria, s'ha volgut individualitzar el barri artesanal, quan n'hi ha constància, per ser aquest un tipus de jaciment molt concret, ubicat en zones periurbanes o portuàries. Quan no es tracta d'un complex terrisser, es fan constar la presència d'alguna estructura fornària i, donada l'absència, d'altres elements indirectes, però molt clars de la presència d'activitat

ceramista, com escombreres i magatzems. Quan no s'han pogut caracteritzar els jaciments dins aquests grups, s'han fet constar les restes arqueològiques associades: camp de sitges, lloc o centre de producció i explotació agrícola, mas, lloc d'habitació amb estructures. De vegades són jaciments no trobats i així es fa constar.

La classificació tipològica A i B correspon a la planta circular o rectangular del forn, A (rectangular), B (circular, ovalada), segons la classificació feta pels autors J. Coll i Broncano (Broncano i Coll 1988: 224) per als forns d'època ibèrica. Creiem que és encara una classificació tipològica que té vigència, tot i que només analitza elements estructurals com la cambra de combustió, sistema de subjecció de la graella i forma de les toves, tal com havia establert ja Duhamel (1978). Ho entendrem al llarg d'aquest estudi, atès que la planta circular/ovalada, amb tots els seus subtipus, és la que té l'exclusivitat en el món protohistòric peninsular fins als ss. II-I aC (fig. 3).

Pel que fa a la producció de molts dels forns, l'anàlisi d'aquest treball es basa moltes vegades en dades escasses. Sovint es produeix la problemàtica que els materials associats als forns no han estat trobats a les estructures, sí a les proximitats, com en el taller de Fontscaldes (Lafuente 1992; Fabra 2008; Solé 1996; 1997), fet que provoca problemes cronològics de les estructures i molts dubtes en la confirmació de si aquests materials es produïen en aquests centres productors. No obstant això, s'han intentat sistematitzar els materials ceràmics per categories generals, per veure si, tot i les limitacions, poden aportar algunes pistes sobre la producció de la majoria de forns d'època ibèrica. Les produccions es classifiquen en materials d'emmagatzematge (tenalles, olles), àmfora ibèrica o d'altres tipus (imitació ebussitana, Dressel, Laietana, Pascual) reserva/vaixella (safates, morters, escudelles, gerres i varis de vaixel·la) i altres materials (pondera, an-tefixes, lluernes...). Es ressalten produccions concretes com la dels càlats, per ser produccions molt estudiades i que aporten aclariments cronològics. També les ceràmiques que fan imitació de campanianes i altres produccions locals, com la ceràmica gris de la costa catalana i la ceràmica ibèrica decorada amb pintura blanca produïda a Ullastret. Quan no es pot precisar, es fa constar ceràmica ibèrica comuna, que inclou ceràmica ibèrica oxidada i reduïda. Igualment es registren materials de construcció del moment ibèric tardà (*tegula*, *imbrex*), així com materials republicans diversos (*dolia*, ceràmica comuna romana, lluernes, àmfors), amb el dubte de com cal classificar aquests tallers, si ibèrics o romans, atès el poblament itàlic

	A	B
1		
2		
3		
4		
5		
6		
7		

Fig. 3: Taula tipològica dels forns ibèrics (Broncano y Coll 1988).

en vil·les litorals ja des del s. II aC. Per als jaciments amb manca de dades sobre la producció possible es fa constar "no identificat".

En l'apartat "altres dades" s'han fet constar altres detalls d'interès, com l'existència d'escombreres, magatzems ceràmics, rebuïjos de forn (suports, separadors, peces deformades), l'existència d'argileres, cubetes, basses i altres retalls, la proximitat d'un camp de sitges, si presenta semblances amb altres jaciments, si hi ha problemes de nomenclatura, si es tracta d'assentaments rurals i altres. Quan es tracta de complexos ceràmics s'especifica la quantitat de forns. D'altres vegades s'especifica que es tracta d'un jaciment no excavat o que es tracta d'un jaciment destruït.

## UN BON FUMAT<sup>11</sup>. ANÀLISI DE LES DADES

Un 48% dels jaciments registrats en l'estudi presenten l'existència d'una estructura o més de forn ceràmic. La resta de jaciments, un 52%, ofereixen una evidència indirecta de l'existència d'un taller o forn ceràmic: testers

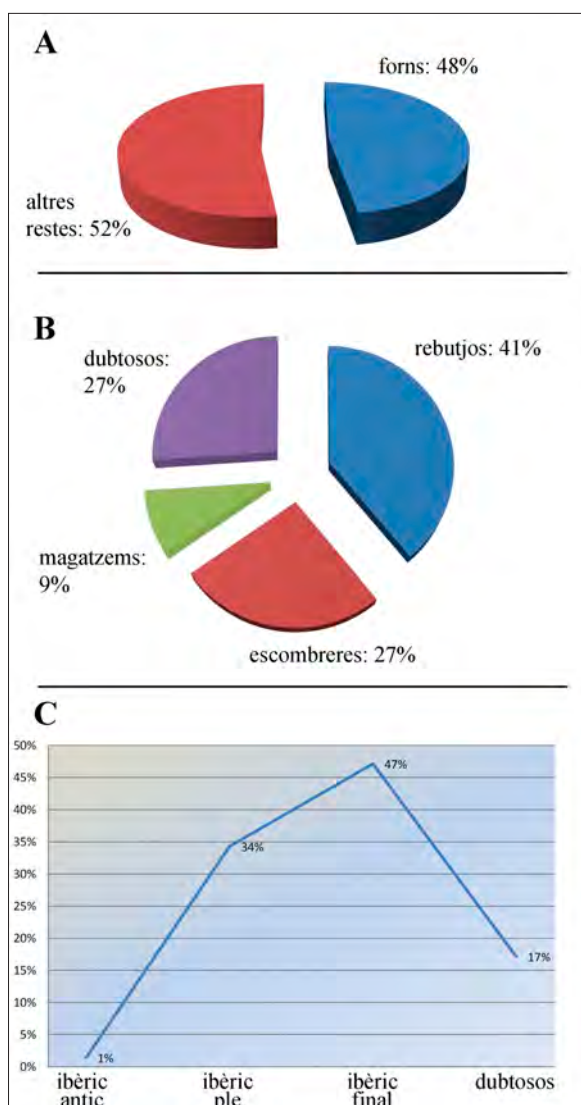


Fig. 4: A: Jaciments amb evidència de producció i explotació ceràmica durant el període ibèric; B: Jaciments amb evidència de producció i explotació ceràmica on no apareixen forns. Període ibèric (ss. VI-I aC); C: Jaciments ibèrics amb evidència de producció ceràmica segons cronologia.

o escombreres, abocadors, ceràmica mal cuita o passada de cocció, la troballa de separadors de forn i altres. No cal dir que hi ha sempre un percentatge d'aquests jaciments que són dubtosos, útils de recollir per les pistes que poden donar en algunes zones poc explorades del territori. Pel que fa als jaciments sense presència de forn ceràmic, com es pot veure en el gràfic, la major part es poden agrupar com a jaciments amb rebutjos de forn de diferents categories. El segon grup per ordre d'importància

és el dels jaciments en què s'ha localitzat o excavat una escombrera. La resta de jaciments són dubtosos, menys el cas de la Creu de Felines (Martín 1977; 1981), interpretat com a magatzem ceràmic (fig. 4).

La categoria "rebutjos de forn" és molt àmplia i a la vegada difusa. Es tracta de fragments de graella, suports o separadors de forn, àmfores amb defectes de cocció i altres peces ceràmiques amb el mateix defecte. De vegades aquesta evidència es troba com a part del reompliment d'una sitja, com als jaciments de l'Horta Fassina (Arqueociència SCP 1995), Can Jordi (Arqueociència SCP 1995a), la Vinya d'en Pau (Ros 2003), la Sitja de la Vinya del Ticó (Garcia 1991), les sitges de l'Alzinar Gran de la Massana (Garcia *et al.* 1993). De vegades un forn sense materials clars al seu interior associats pot ser interpretat a partir dels materials trobats en sitges properes, com passa al jaciment del Camp dels Escalers (Burch i Sagrera 2009). En algun cas són materials que es troben en museus, com en el cas dels materials amb defectes de cocció del Museu Molins de Rei (Bergadà 1984). La presència de separadors o suports de la càrrega del forn és un element molt aclaridor de la presència a les proximitats d'un taller ceràmic, com per exemple en l'escombrera associada al forn de la torre N del Puig de Sant Andreu a Ullastret (Oliva 1971; Plana i Martín 2001; 2012). Els vestigis, en aquest darrer cas, assenyalen una zona com a mínim que actuava com a escombrera d'una àrea de producció ceràmica. És plausible establir aquí una zona de producció ceràmica, atesa la descoberta antiga de les restes d'un forn, i activitat ceràmica entre els ss. IV i III aC. En casos puntuals on s'ha estudiat i caracteritzat una producció com la del vernís roig ilergeta s'ha suposat un forn de producció d'aquestes peces. Se sap que estaria ubicat a les proximitats d'Iltirta atès l'estudi de les roques argiloses de les proximitats del teòric centre d'elaboració (Junyent i Alastuey 1991).

Sobre la cronologia dels jaciments estudiats, la majoria pertanyen al moment ibèric final (47%), tot i que el present estudi corregeix les estimacions tradicionals que bàsicament recollien forns del període ibèric tardà. En la mostra d'aquest article, els tallers i possibles tallers del moment ibèric ple constitueixen un 34% del percentatge total. Es comptabilitza un sol taller per a la fase ibèrica antiga (1,47%), el forn de la porta 4 del Puig de Sant Andreu (Ullastret). És considerable també la quantitat de jaciments difícils de classificar, ja sigui cronològicament o com a centres productors (17%). Segurament l'avanç de la recerca ha ajudat a ampliar el percentatge de forns

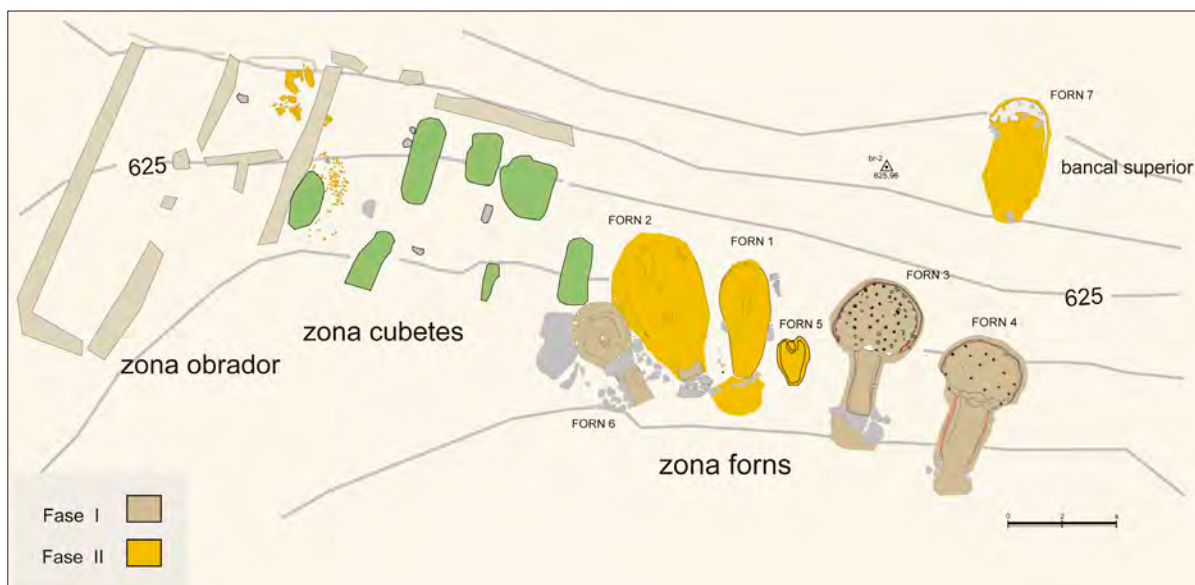


Fig. 5: Planta de terrisseria ibèrica de les Hortes de Cal Pons (Pontons) (Font: equip d'excavació UB-CEL).

del període ibèric ple i fins i tot a acostar les xifres. És cert que la investigació ha tirat durant molts anys de les mateixes dades, repetint una i altra vegada uns jaciments excavats d'antic la majoria i pobres d'informació, indicatius però del panorama català, sobretot durant l'època ibèrica tardana i el primer moment republicà (Juan Tovar i Bermúdez 1989; 1991; Coll 2000; Bermúdez i Massó 1984-1985; Juan Tovar *et al.* 1986-1987).

La dificultat de localitzar jaciments de producció ceràmica en complica sempre l'estudi, almenys per a l'època ibèrica. Un exemple de com la prospecció i la recerca exhaustiva del territori poden canviar radicalment els resultats és el de la zona d'estudi de l'equip a què pertany l'autor d'aquest treball<sup>12</sup>. La recerca des de l'any 2008 a l'Alt Penedès al jaciment de les Hortes de Cal Pons ha portat a la troballa de dos jaciments de producció ceràmica a poca distància l'un de l'altre, les Hortes de Cal Pons, al municipi de Pontons i les Valls del Foix/Els Casalots, a Torrelles de Foix (Cardona *et al.* 2019; Cardona 2019). La investigació de tot l'entorn d'aquests jaciments ha portat a localitzar-ne un tercer, la Font dels Igols (Giró 1958; Ferrer i Giró 1943; Cardona *et al.* 2019; Cardona 2019) (figs. 5 i 6). La investigació en aquesta zona permet formular hipòtesis interessants, que només es podran verificar amb la continuació dels treballs, sobre l'existència en època ibèrica de zones especialitzades en l'explotació i producció ceràmica, sobre la possibilitat de trobar un

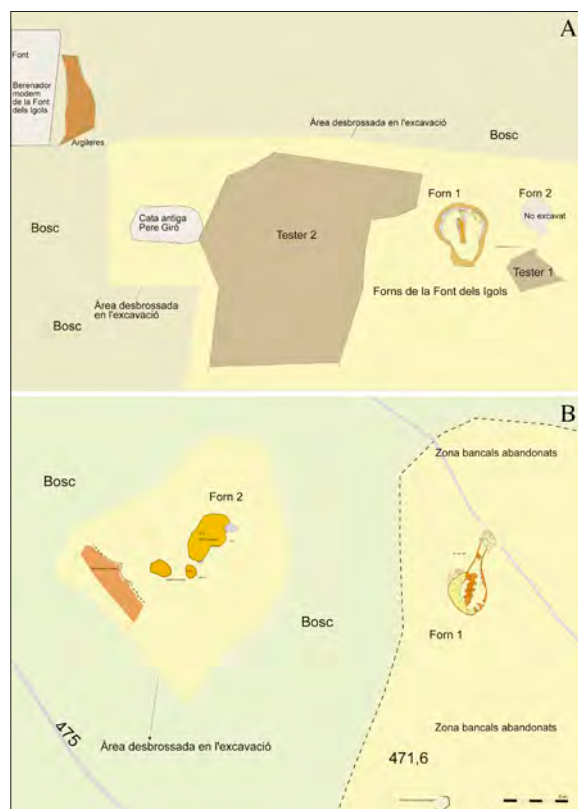


Fig. 6: Planes de les terrisseries ibèriques de: A) La Font dels Igols (Pontons); i B) Valls de Foix (Torrelles de Foix) (Font: equip d'excavació UB-CEL).

tipus de valls, com la del Foix en aquest cas, especialitzades en la producció ceràmica en època ibèrica, com tants dels exemples que ens aporta l'etnografia.

Fins ara la major part de forns que es coneixien, com ja hem dit, eren els del període tarδοibèric. Entre els treballs (Juan Tovar i Bermúdez 1989; 1991; Bermúdez i Massó 1984-1985; Juan Tovar *et al.* 1986-1987), hi ha l'estudi més general de Jaume Coll (2000). Utilitza també aquestes dades per fer el seu recull de forns preromans de la península Ibèrica. Per exemplificar millor aquest panorama presentarem una imatge per situar els forns d'època ibèrica tardana i primera fase republicana, ss. II-I aC. Aquest gràfic fusiona les dades de dos mapes anteriors, l'un publicat en el treball sobre el forn del Botarell (Bermúdez i Massó 1984-1985: 100) i que conté només set jaciments, i un segon (Juan Tovar i Bermúdez 1989: 41), més complet, amb la referència de 17 jaciments fornaris (fig. 7). En aquests treballs, es classifiquen com a forns de planta rectangular i s'exposa la problemàtica dels forns classificats com a ibèrics, però que encaixarien millor sota la etiqueta d'iberoromans (Juan Tovar i Bermúdez 1989: 45). Són treballs que ofereixen una primera aproximació als centres productius ibèrics, tot i la preponderància de forns tardans.

Altres estudis posteriors insisteixen en aquest moment de principis del s. II aC per al territori de Tarraco (Arrayàs 2005: 173). Es parla de l'aparició de terrisseries ja conegudes en la bibliografia esmentada fa un moment com la del Barranc de la Premsa Cremada (Botarell), La Coma (Fontscaldes), Can Cassanyes i les Badies (Castellet i la Gornal) i Vinya d'en Pau (Vilafranca del Penedès). Se cita com a jaciment nou, el possible de la Finca del Gori (Vilardida). La bibliografia cita altres tallers en estudis per exemple de parets fines a partir de l'últim quart de s. II aC. Se citen els tallers d'Empúries, Can Vedell, Ca l'Arnau, Darró, Fontscalds i el Vilar, immersos en el període inicial republicà (Alemán 2019: 54-55).

Aquests mateixos jaciments apareixen, com hem dit, en altres treballs bibliogràfics coneguts (Coll 2000). A excepció de Roses (Martín 1994; Puig 2006; 2007; 2012), Ullastret (Martín *et al.* 2000; Martín i Plana 2001), Darró (Ferrer 1978; López y Fierro 1988; López *et al.* 1992, 1994; 1996) i Bigues i Riells (Hernández 1983a i b), la resta de jaciments pertanyen al període ibèric final. És la sèrie de jaciments que ve citada en la bibliografia freqüentment i que molts d'ells deuen a Josep Colomines (1925, 1926, 1927-1931 i 1936) el que fossin batejats

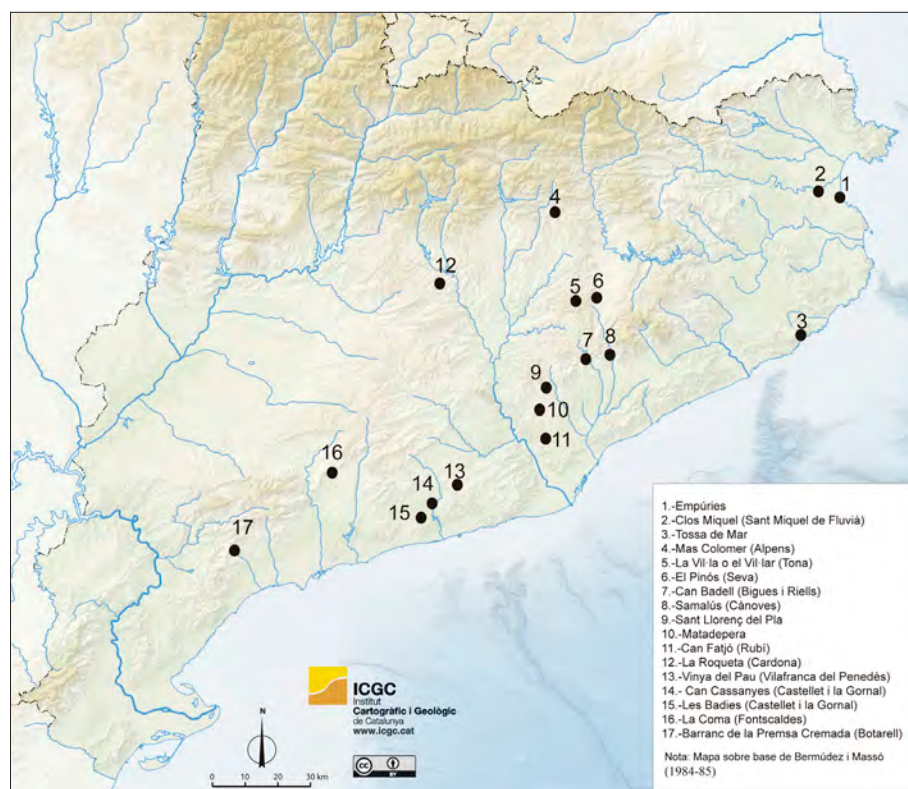


Fig. 7: Tallers d'època republicana a Catalunya amb forns de planta quadrangular (mapa sobre base de Tovar i Bermúdez).

com a ibèrics a partir del seu descobriment a principis de s. XX. Es va adduir en el seu moment només la proximitat de ceràmica ibèrica, passant a ser catalogats com a ibèrics. Estudis posteriors aclareixen que aquests forns són molt tardans en el desenvolupament de la cultura ibèrica i, sens dubte, s'han d'associar a una època de plena ocupació romana. En opinió d'A. Bermúdez Mendel i J. Massó Carballido (1984-1985), seria preferible denominar-los forns iberomans o forns indígenes aixecats mitjançant l'aplicació de conceptes i tècniques romanes, la interpretació de les quals denota un domini encara rudimentari dels nous principis introduïts.

La tipologia que planteja Coll (2000) per als forns preromans per a la zona catalana presenta un panorama de forns de planta rectangular que es corresponen gairebé tots als descrits com a ibèric tardans o iberoromans. Només els forns de l'òrbita colonial, Empúries, Ullastret (Martín i Plana 2001) i Roses (Puig 2006), i alguns jaciments com Orriols (Martín 1979), Bigues (Hernández 1983a i b) i Mataró (Pons 1983) presenten una tipologia diferenciada de la resta del forns publicats. El mateix autor (Coll 2000: 200) ja fa referència a la insuficiència de dades per tenir una quadre més clar de les agrupacions i tipologies de forns a la península Ibèrica.

En la recerca que presentem, els percentatges canvien (figs. 8 i 9). Podem veure com per als períodes ibèric antic i ple, el nombre de forns de planta circular és l'exclusiu, fet que canvia dràsticament en el període ibèric final. Si mirem el gràfic on es plasma la tipologia de forns de tota la mostra estudiada en aquest treball, podem veure com les tipologies de forns ja no presenten un paisatge monocolor de forns de planta rectangular. Aquest darrers constitueixen el 54% de la mostra, i els de planta circular el 40%. Hi ha el predomini d'una tipologia davant d'una altra en el conjunt total d'estructures de forn registrades. Sí, en canvi, és exagerada la presència d'un o altre model segons el període ibèric de què parlem. Hi ha una absència total de forns de planta rectangular en el moment ibèric ple. Per detectar uns únics casos, hem de recórrer als tallers de l'àmbit colonial, per exemple el forn 1 i 2 de la Neàpolis d'Empúries, de tipologia A4 i A5.2, que pertanyen a un moment final del s. III aC, amb producció de vaixel·la hel·lenística (Puig i Cadafalch 1923: 705) (Fletcher 1964) (Castanyer *et al.* 2012). En el cas del forn 1 de Can Vedell (Can Badell) (Hernández 1983), es tracta del forn final d'una sèrie de quatre forns. El jaciment té una cronologia que va del ss. IV al II aC. Versemblantment el forn 1 en la seva fase final, de tipologia A1, pot pertànyer

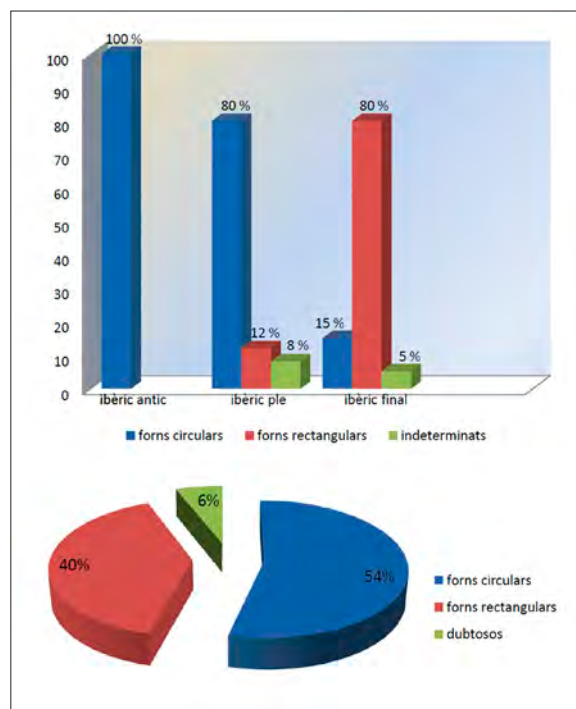


Fig. 8: Tipologia de forns de tota la mostra estudiada per al període ibèric.

al període ibèric tardà. En el cas del jaciment de Montclús (Monreal 1987), amb un forn de la tipologia A6, la cronologia és molt imprecisa, amb una forquilla que va del s. III al s. I aC.

En zones prou estudiades com la del Vallès hi ha veritables problemes a l'hora d'interpretar els forns ceràmics identificats. El complex de Can Vedell i el forn de Montclús serien els dos exemples més amb producció ceràmica assimilable a l'època ibèrica plena (Oller 2012: 163). Per la resta de jaciments, sense escombreres localitzades, l'adscripció cronològica resulta molt difícil. En el cas de forns amb ceràmica ibèrica associada, els exemples tampoc són clars i costa de donar cronologia aproximada a aquestes estructures. En el cas del Vallès, doncs, hi ha una tirallonga de forns dels quals no es pot donar encara una cronologia fiable, tot i que moltes vegades s'han batejat com a ibèrics. Només incloem en l'inventari d'aquest treball els jaciments de Sant Adjutori (Aguelo 1992), Can Pericas (Colomines 1925; 1926), Vinyes de Can Morull (Estrada i Villalonga 1967; Estrada 1955: 19) i Forn de Tremolencs (Estrada 1955). La precarietat de les dades és important. El Forn de Pericas (Salamús), se'l considera ibèric només per la semblança amb el forn

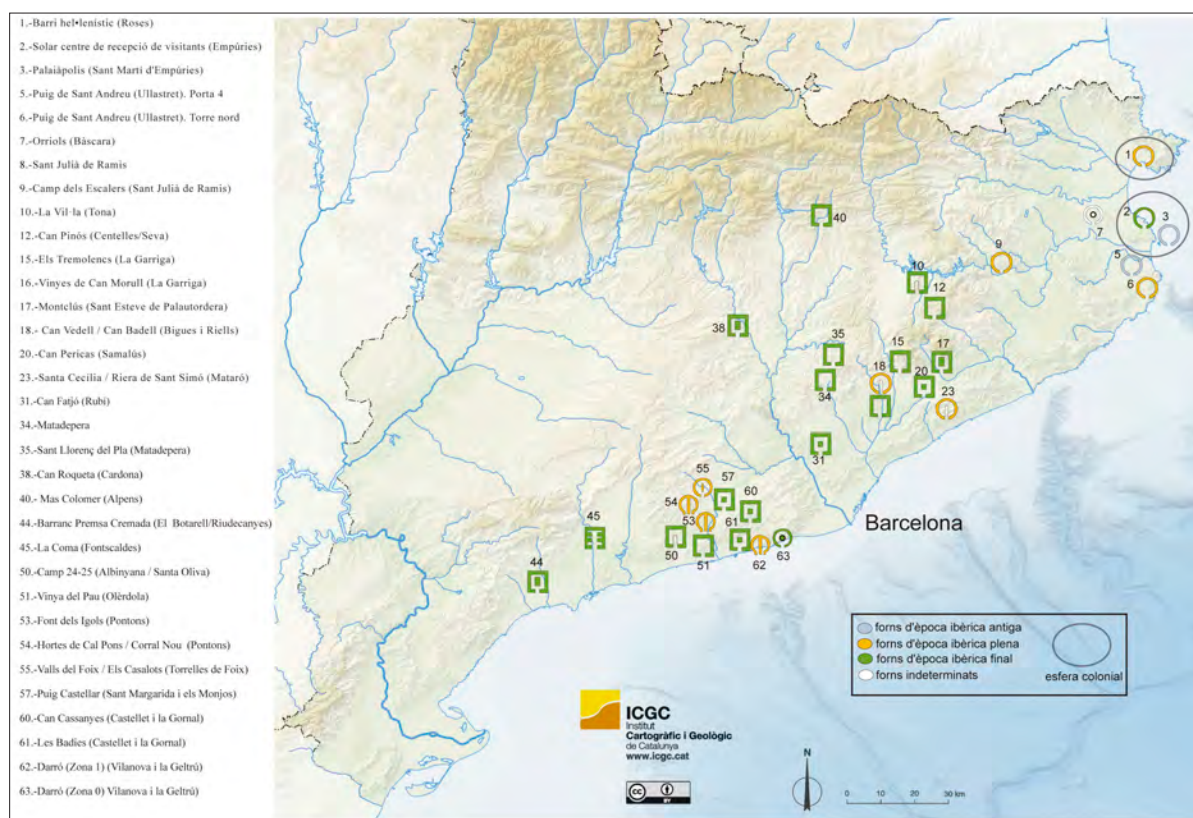


Fig. 9: Mapa de les tipologies de forns ibèrics i tardoibèrics de l'àrea catalana.

de Rubí i per la proximitat al jaciment de Puig Castell. En el cas de Sant Adjutori i forn dels Tremolencs no hi materials ibèrics associats i es torna a fer una adscripció iberoromana només per la semblança amb el forn de Rubí. Sant Adjutori es classifica fins i tot com a possible forn medieval. En el cas de les Vinyes de Can Morull, s'associen materials com ceràmica fina i grollera ibèrica decorada. Semblaria que es podria fer una llista inacabable de forns indeterminats, la major part de la fase ibèrica tardana, que depassa els objectius d'aquest estudi.

Ens ha interessat quantificar de la mostra quants dels jaciments amb la presència de forns es poden considerar complexos ceràmics amb un conjunt de forns i quants són troballes d'una sola estructura (fig. 9). Els percentatges resultants ens mostren per al període ibèric en general una preponderància dels tallers amb l'existència d'una sola estructura fornària. Si ho analitzem internament, podem observar pel que fa al moment ibèric inicial i ple que tots els exemples corresponen a complexos terrissers amb més d'un forn i en algun cas podem parlar de barri

artesanal, Puig de Sant Andreu (Ullastret) i Darró (Vilanova i la Geltrú). En el cas de la fase ibèrica final, en la majoria d'ocasions hem de parlar de jaciments amb una sola estructura fornària.

La quantificació d'aquesta evidència ens dona un patró de complex ceràmic per a la majoria de jaciments del moment antic i ple. Així tenim exemples clars com els tres forns de Can Vedell (Bigues i Riells) (Hernández 1983), els tres forns de la Riera de Sant Simó (Mataró) (Pons 1983), els dos forns, de moment, del jaciment en fase d'estudi de les Valls del Foix/Els Casalots (Torrelles de Foix) (Cardona 2019; Cardona *et al.* 2019), els tres forns de Darró (López i Fierro 1988; 1992), els set forns de les Hortes de Cal Pons (Pontons) (Cardona *et al.* 2019; Cardona 2019), els dos forns recentment trobats a la Font dels Igols (Pontons) (Cardona 2019). Pel que fa als forns relacionats amb el jaciment d'Ullastret (Martín i Plana 2001), tot i que només s'han trobat dos forns aïllats en dos indrets diferents del jaciment, el forn de la porta 4 i el forn de la torre N, avui desapareguts, tot fa pensar que

pertanyien a barris artesanals fora muralles i no podem descartar l'existència de més forns en aquests tallers. Igualment passa amb els tallers de l'esfera colonial, com els forns localitzats a Roses (Puig 2006). L'únic jaciment amb cronologia antiga del s. VI aC i també associat a Empúries es troba ubicat a la Palaiapolis (Aquilué *et al.* 2000). Presenta també un model de taller amb diferents forns. No hem inclòs en aquesta llista per dubtosos els tres forns del camp dels Escalers (Sant Julià de Ramis) (Tremoleda 2000), que en cas de ser ibèrics poden tenir una datació entre els ss. III i II aC. En les sitges que acompanyen els forns es troba ceràmica grisa emporitana i abundància de peces deformades del s. III aC, però també es troba material romà, motiu pel qual cal incloure aquest jaciment entre els dubtosos.

Tampoc hem inclòs dins els complexos terrissers ceràmics el jaciment de la Coma (Fonstcaldes, Valls) (Lafuente 1989). Tot i que sabem pels materials ceràmics que és un taller que inicia la seva activitat al s. III aC i que s'han documentat argileres diverses i abocadors, l'estat actual de la recerca només permet parlar d'un sol forn segur, de tipologia A3, datat en els ss. II-I aC. Per tant s'ha inclòs aquest jaciment dins els complexos terrissers amb un sol forn. Tampoc han estat inclosos els jaciments de la Moja/Cal Guineu i Cal Pontarrí (El Montmell) a la riera del Marmellar, on l'evidència arqueològica augura amb tota possibilitat un gran complex terrisser (Giró 1964-1965; Rauret 1963; Palet i Prevosti 2001) del s. III aC. Caldrà esperar a excavar el jaciment per poder verificar aquestes dades. Els abundants rebutjos ceràmics, cremats i rebregats, molts d'àmfora, i l'absència d'àmfora itàlica, acoten la cronologia i la funcionalitat del jaciment. Aquest model de taller complex, amb multiplicitat de forns i estructures annexes (cubetes, retalls, escombreres...), que presenciem per a la majoria de tallers del moment ibèric inicial i ple, és també el que trobem a altres àrees peninsulars com el País Valencià. Anomenem aquí alguns dels exemples coneguts com el de la Illeta dels Banyets (El Campello, Alacant) (López-Seguí 1997; Olcina *et al.* 2009), el Tossal de les Basses (Alacant) (Rosser i Fuentes 2007), El Arsenal (Elx) (López-Seguí 1995), forns de la Casa Guerra (Requena, València) (Martínez i Martínez 1989), Casillas del Cura (Venta del Moro, València) (Martínez i Castellanos 1997: 61-69). Altres estudis rellevants es realitzen al Baix Aragó, en jaciments com el del Olmo i Mas de Moreno (Foz Calanda, Terol) (Gorgues i Benavente 2007; 2012).

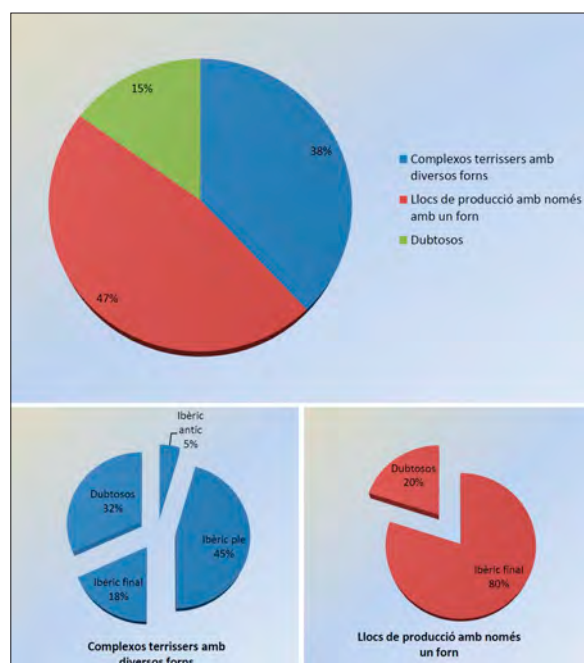


Fig. 10: Complexos terrissers amb un o més d'un forn.

Pel que fa al període ibèric recent, ens trobem que la majoria de jaciments (78%) estan formats per un sol forn i només un percentatge molt menor (9%) es poden considerar complexos ceràmics de diversos forns. És important el grup de jaciments dubtosos o indeterminats (13%). Pel que fa al forn de les Vinyes de Can Morull (La Garriga, Vallès Oriental), la bibliografia parla d'un forn de planta circular, un pou i unes sitges, excavats clandestinament i avui dia tapats per matolls. A les proximitats apareix ceràmica ibèrica. Per això caldrà ubicar també aquest jaciment entre els dubtosos a l'espera que nova recerca pugui aportar nous detalls. (Estrada i Villaronga 1967; Estrada 1955: 19). El forn d'Orriols (Bàscara, Alt Empordà), de tipologia circular per desgracia no aporta materials que s'hi puguin relacionar, fet que fa difícil la seva classificació, tot i que s'identificà com a antic (Martín 1979). També són incerts el forn de Sant Adjutori (Sant Cugat del Vallès), que fins i tot s'ha plantejat que sigui medieval, el de Ginebres (Balenyà) de cronologia molt àmplia i absència de ceràmica ibèrica i Clos Miquel (Sant Miquel de Fluvià), que es considera en molts aspectes romà.

Pel que fa als complexos de més d'un forn d'època ibèrica tardana, recollim el de la Riera de Teià (Masnou, El Maresme), que també podem classificar com a jaciment

problemàtic, atès que tot i la presència segura de forns (se'n parla de dos) i les restes d'escòries, rebutjos i peces recremades, aquests encara no s'han trobat. Estarien associats a una vil·la romana (Ruestes 2003). Hi ha també Can Portell (Argentona, Maresme), amb restes de tres petits forns sense excavar i d'un abocador de forn d'època baixa republicana i 1<sup>a</sup> meitat del s. I d.C., productors d'envasos amfòrics Pascual 1 i Dressel 2/4. Els forns detectats prop de l'abocador corresponen a forns petits circulars, més idonis per a la producció amfòrica, i no als rectangulars (CODEX 1992). El forn de la Vil·la (Tona, Osona) (Danés 1932) també es pot considerar un cas especial. Es tracta només d'un forn, però si s'agafa la zona més globalment i en relació al Camp de les Lloses, tenim tres forns més a les proximitats, el forn petit de la Vila, les Escomes i el forn antic de la Carretera (Molas 1975: 158-159 núm. 38, 45, 46 i 47), sense parlar del forn del municipi de Balenyà, tocant a Tona, el dels Ginebres (Molas 1975: 157 núm. 1). A la zona 0 del jaciment de Darró (Garraf, Vilanova i la Geltrú) trobem unes instal·lacions artesanals amb restes de forns i estructures annexes. Tot aquest conjunt s'ha pogut associar al remodelatge que va patir el poblat a inicis del s. II aC, ja sota l'òrbita romana. L'anàlisi de la zona 0 ha permès el descobriment d'un barri de l'època, dedicat sobretot a l'artesanat (Ferrer 1978: 24.28).

### **OBRIM EL FORN<sup>13</sup>. PRODUCCIÓ DELS TALLERS IBÈRICS**

Pel que fa a la producció d'aquesta mostra de forns, presentem només uns gràfics orientatius. La mostra és sobre forns constats i sobre jaciments amb evidència indirecta de ser centres de producció ceràmica. Cal tenir en compte que a banda dels jaciments on està implicat l'autor d'aquest treball, la resta d'informació prové de referències bibliogràfiques. Només podem fer constar els materials ceràmics que els autors de cada treball han especificat a les publicacions. Tot i la constatació de pocs tallers, es fa un acostament que pot semblar evident dels materials que produïen els forns ibèrics. Caldrà veure si a partir d'aquí es poden establir conclusions i hipòtesis.

La mostra per a l'ibèric antic és molt escassa. Hem de recórrer també al món colonial per aportar algunes dades més. En els forns de la Palaiàpolis d'Empúries es produeix ceràmica grega arcaica i plats *à marli* (Garcés *et al.* 2003), i en el forn de la porta 4 del Puig de Sant Andreu

(Ullastret), la producció és incerta, tot i que es parla de ceràmica de pasta clara pintada de tradició colonial i ceràmica ibèrica decorada amb pintura blanca. Dins el s. V aC no s'han comptabilitzat els forns d'Hortes de Cal Pons, en fase d'estudi, i que podrien iniciar la seva activitat a finals de s. V aC (Cardona *et al.* 2019). Per al moment ibèric ple, veiem com la majoria de forns s'associen a una producció important d'àmfora ibèrica, peces d'emmagatzematge i vaixel·la/reserva (gerres, plats, bols...). Per sobre de tot destaca l'aparició d'àmfora, constituint un dels elements més definitoris i característics de les produccions ibèriques (fig. 11). De vegades la bibliografia no especifica a quina categoria pertany el material trobat i es fa constar només la troballa de ceràmica ibèrica comuna (oxidada, reduïda), com a paquet indefinit de materials. En menor proporció trobem altres tipus de produccions: càlat, imitació àmfora ebussitana, ceràmica ibèrica imitació de campaniana, ceràmica de pasta clara pintada de tradició colonial i ceràmica ibèrica decorada amb pintura blanca.

La situació variarà a l'ibèric final pel que fa a l'augment significatiu de tallers no identificats clarament, fet que produirà un percentatge de jaciments amb produccions sense especificar, o bé perquè no s'han trobat o bé perquè no consten. La ceràmica ibèrica comuna apareix com a valor més representatiu. Sembla que els centres productors segueixen produint en general ceràmica ibèrica oxidada i reduïda. Dins els percentatges dels materials que es poden caracteritzar, l'àmfora ibèrica segueix tenint un paper destacat, amb la presència ara d'àmfora de tipologia republicana romana. A l'igual que veïem per al període anterior, les peces d'emmagatzematge i la vaixel·la/reserva es reparteixen, amb l'àmfora, els volums principals de materials susceptibles de ser cuits en els forns ceràmics de l'ibèric tardà. A partir d'aquí segueixen en menor volum altres materials (antefixes, pondera, imitacions campaniana...), dolia, càlats, ceràmica romana i materials de construcció. Es veu clarament en aquest tipus de tallers la irrupció del món romà, amb percentatges de mínim un 30% de produccions amb materials d'influència romana (fig. 12).

Posarem un exemple de jaciment concret per comparar les dades generals amb les particulars per al cas del període ibèric inicial i ple. Presentem un gràfic basat en part dels inventaris del jaciment d'Hortes de Cal Pons (Pontons), jaciment que està encara en fase d'estudi (Cardona *et al.* 2019; veure nota 12). A la gràfica es pot veure un altre cop el predomini dels grans envasos, àmfora, peces

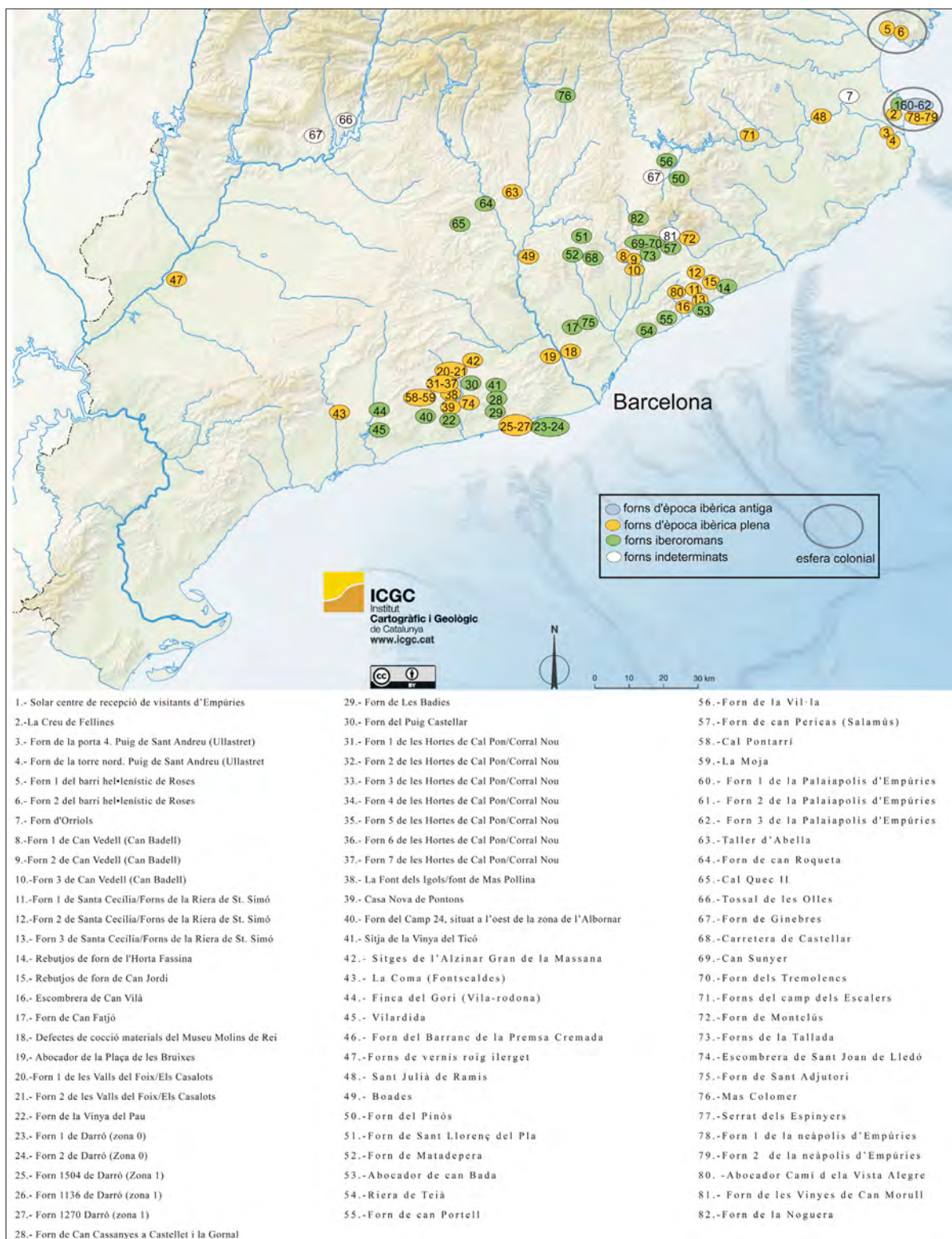


Fig. 11: Mapa de distribució dels jaciments ceràmics ibèrics i tarδοibèrics de l'àrea catalana.

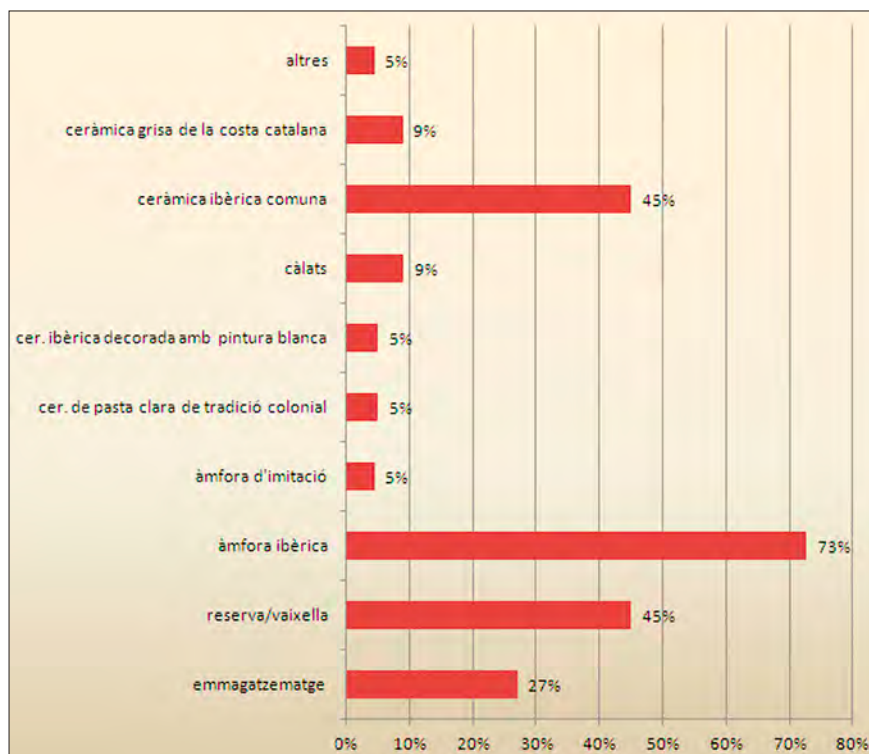


Fig. 12: Gràfica amb la producció hipotètica dels complexos terrissers a l'ibèric antic i ple (ss. V-III aC).

d'emmagatzematge, olles i gerres. A molta distància tenim la vaixel·la de taula, safates, bols, enòcoes. Com a altres, hi ha peces especials (figs. 13 i 14). La ceràmica reduïda en aquest jaciment és testimonial. A diferència dels gràfics generals, en aquest jaciment hem pogut discernir què es troba en el calaix de sastre de ceràmica ibèrica comuna o ceràmica ibèrica oxidada. Ja hem dit que en aquest grup s'amaga gran quantitat de material que costa de classificar. També s'ha de dir que la categoria d'olles i gerres es podria sumar a la de vaixel·la de taula si entenem que són atuells per al dia a dia i no atuells d'emmagatzematge o per a exportació i trasllat de producte. En aquest cas tindríem tres franges molt homogènies que es repartirien el pastís de cada fornada, amb un espai clarament simbòlic per a peces especials, coincidint amb el panorama general exposat per als tallers objecte d'estudi en aquest article.

A la vista del que hem dit sobre les produccions, cal entendre que devien ser mixtes, tot i que no s'exceptua certa especialització. Certa especialització la trobem per exemple en el jaciment de la Creu de Fellines, no essent precisament un centre productor sinó interpretat com a estructures de magatzem d'un taller ceràmic. En aquest cas està associat a ceràmica grisa emporitana (Martín 1977;

1981). Si busquem certa especialització hem de recórrer als centres colonials. Els tallers antics de la Paliàpolis desenvoluparen des del principi les seves produccions pròpies, estretament vinculades amb les sèries gregues d'Occident entre 575-525 aC (Garcés *et al.* 2003). Els plats relacionables amb aquesta producció es distribueixen preferentment a l'àrea empordanesa i indiquen un contacte immediat amb la factoria grega. Els tallers del barri hel·lenístic de Roses semblen dedicar la producció a peces de vernís negre, pastes clares, ceràmiques de cuina i produccions secundàries (Puig 1996). El forn tardà del solar del centre de recepció de visitants d'Empúries produeix pesos de teler i altres objectes ceràmics sense especificar.

Pel que fa als tallers indígenes, la majoria d'exemples recollits parlen de ceràmica comuna i àmfors ibèriques. Algun cop s'especifica ceràmica grisa, peces d'emmagatzematge, càlats, gerres, en altres, tot tipus de ceràmica. Si el forn es tardà apareixen materials romans (tegula, imbrex, dolia, antefixes, morters, ceràmica comuna romana, àmfora romana, imitacions de campaniana), tot i que no sol desaparèixer l'esment a l'àmfora ibèrica i a l'oxidada comuna ibèrica. S'entén que poden ser tallers ibèrics fabricant sota l'òrbita romana o tallers, fins i tot, itàlics, dubtes per als quals no aportem resposta en aquest article.

Fig. 13: Gràfica amb la producció hipotètica dels complexos terrissers a l'ibèric final (ss. II-I aC).

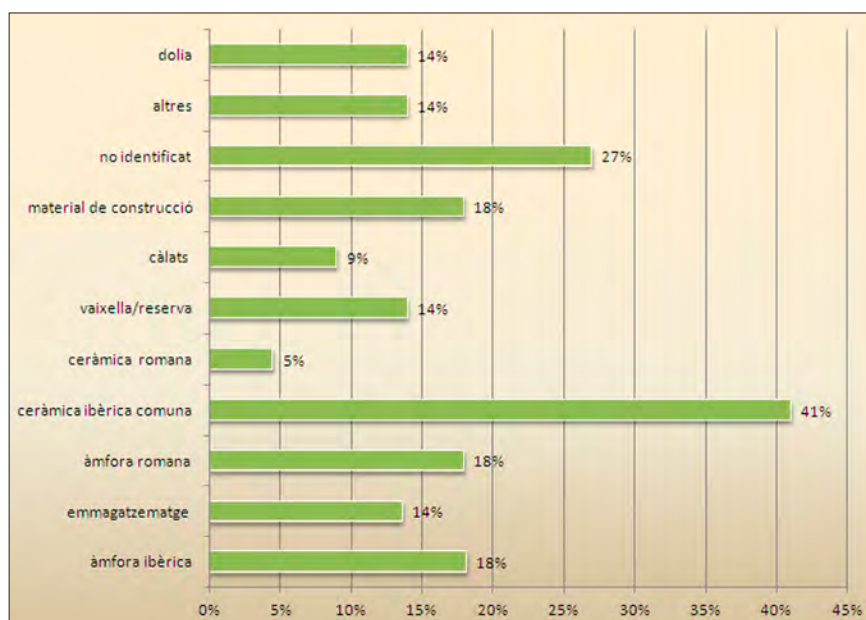
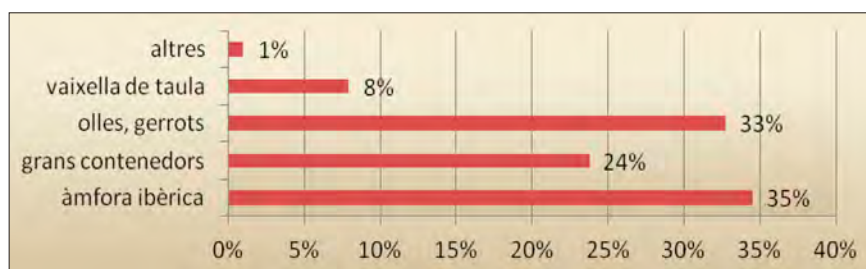


Fig. 14: Gràfica (incorpora llegenda). Producció del complex terrisser de les hortes de Cal Pons, segons inventaris 2008-2013. Ss. IV-III aC.



Una excepció podria ser l'àrea artesanal del Puig de Sant Andreu, amb produccions locals, ceràmica de pasta clara pintada de tradició colonial i ceràmica ibèrica de pintura blanca. Estem en la zona d'influència directa d'Empúries. Hi ha evidències també de magatzems per guardar importacions, en especial de vaixel·la àtica, que arribaven a Ullastret per a la seva distribució posterior. Aquesta zona ja es devia fer servir com a zona artesanal abans del darrer quart del s. V aC. Això lliga amb les conclusions a què s'ha arribat sobre les zones periurbanes d'Ullastret (Plana i Martín 2012). Les troballes suggereixen l'existència en aquest sector de magatzems ceràmics (Martín *et al.* 2000: 250). La troballa de molta ceràmica i la recurrència de certes peces fa pensar en l'existència d'aquests magatzems que podrien estar ubicats dins o a poca distància del complex artesanal de fora muralles.

Una altra certa especialització la podem veure en la producció del forn 1270 de Darró (zona 1), amb àmfors ibèriques i imitació dels envasos ebussitans T.8.1.2.1 i T.8.1.1.1. En general sembla que durant les dues èpoques tots els forns van coure totes les classes de ceràmica ibèrica, ja que els abocadors presenten deixalles de les diverses produccions, barrejades. Aquesta regla té una excepció, ja que dins del forn (ue.1270), versemblantment s'hi va coure les àmfors d'imitació. Aquests forns van servir per a la fabricació d'àmfors ibèriques i imitació dels envasos ebussitans T.8.1.2.1 i T.8.1.1.1 (López 1988; 1992; 1993). De fet hi ha una associació directa entre les estructures fornàries i els materials ceràmics, que recolza la hipòtesi d'una producció local que imitava les àmfors púnico-ebussitanes.

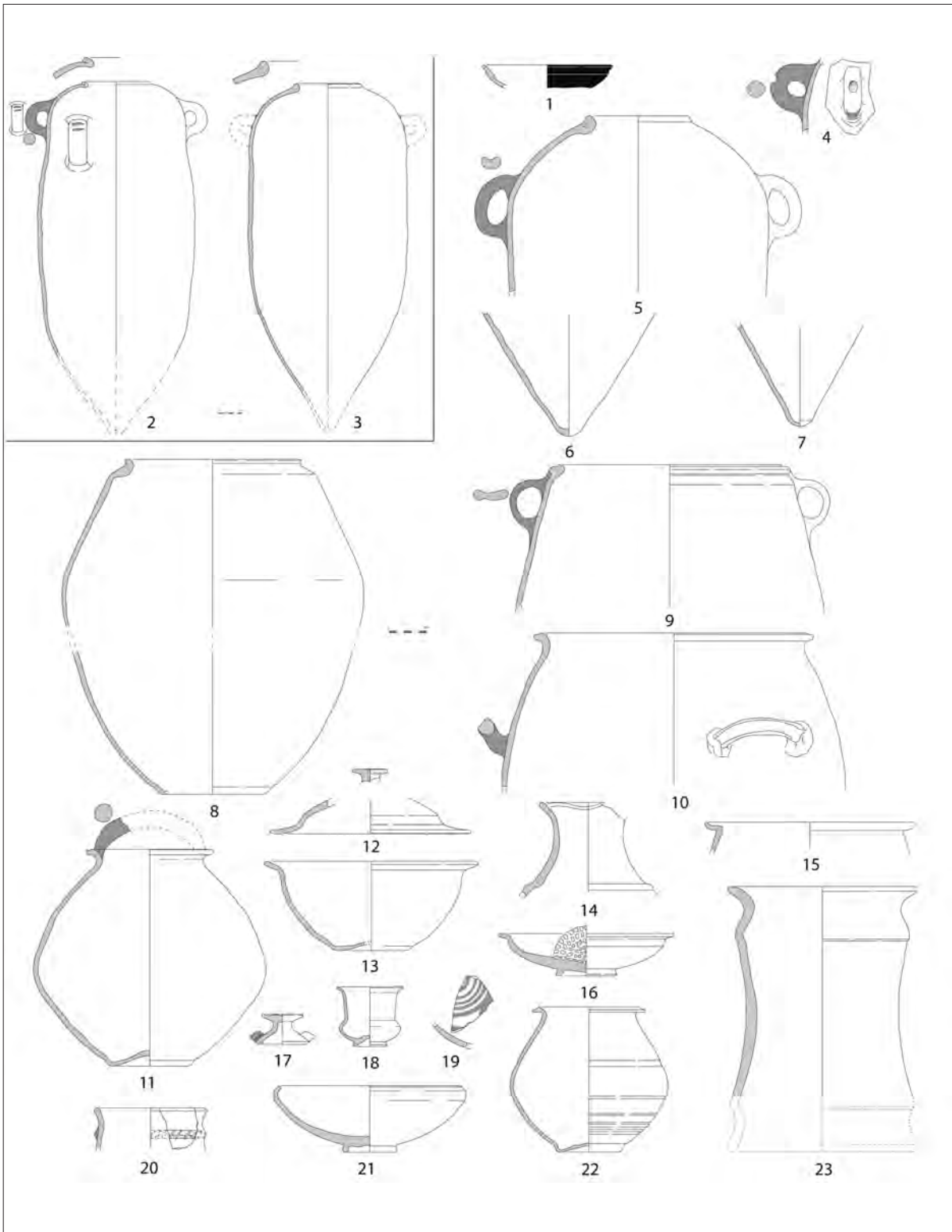


Fig. 15: Materials ceràmics més representatius del taller de les Hortes de Cal Pons (Pontons) (Font: Cardona *et al.* 2019: 262).

## FANG ASSOLAT<sup>14</sup>. CONCLUSIONS

El que més destaca del mapa de terrisseries ibèriques que presentem en aquest treball és l'absència de jaciments d'aquestes característiques en algunes zones ibèriques (fig. 10). Un dels buits és la zona de la Il·lercavònia, a diferència de les altres zones costaneres, on semblen agrupar-se la majoria de jaciments, la Cessetània, la Laietània i la zona indígeta. L'estat actual de la investigació sembla acotar la presència de les zones de producció ceràmica en aquestes indrets, essent un fenomen que pràcticament es concentra entre la Serralada Prelitoral i el mar, almenys pel que fa als complexos productors del moment ibèric ple. Rarament ultrapassa aquestes referències geogràfiques. Comptem amb molt pocs exemples a la depressió central catalana: forns de vernís roig ilerget, Tossal de les Olles, Forn de Ginebres, Taller d'Abella, forn de Can Roqueta (Petrus 1957-1958), Cal Quec II, Boades, forn de la Vil·la. D'aquests jaciments, només tres correspondrien a l'ibèric ple, els forns de vernís roig ilerget, que encara no s'han localitzat, tot i que s'hagi caracteritzat la producció, el taller d'Abella i Boades. Sobre el taller d'Abella, a Navès (Solsonès), només dir que es tracta d'un possible forn desaparegut, esmentat a la memòria que Joan Serra i Vilaró (1922) fa del poblat ibèric de Sorba (Montmajor, Berguedà). El forn de Boades (Castellgalí, Bages) no presenta en principi forns ibèrics sinó romans (Asensio *et al.* 2001; Sànchez 1987).

De tots aquests jaciments que ultrapassen la Serralada Prelitoral, només podem parlar amb tota seguretat de dos forns, el de Can Roqueta (Cardona, Bages) i el de la Vil·la (Tona Osona), tots d'època ibèrica tardana. La resta són restes de possibles forns que encara no s'han contrastat. Tampoc hi ha cap exemple localitzat a la zona del Pirineu. És clara, a partir de la informació de què es disposa actualment, la ubicació dels grans centres terrissers d'època ibèrica plena, entre la serralada litoral cara mar i el mar. Els tallers es concentren bàsicament en tres zones, Cessetània, Laietània i entorn d'Empúries. Podem considerar que l'abundància de restes en aquesta zona pot estar lligada a la recerca més intensa i al major volum d'obra pública i privada, a banda de l'atzar. Hom podria pensar que atén a altres raons com la pròpia organització interna de l'espai ibèric. Però és difícil de moment aportar altres dades justificatives d'aquesta interpretació que la manca provisional de grans centres terrissers que ultrapassin la Serralada Prelitoral.

A tenor de l'exposat fins ara, podem intentar d'establir com a proposta de treball una tipologia hipotètica de centres bàsicament del moment ibèric ple, segons la seva ubicació i organització dins l'espai ibèric. La poca mostra de centres de producció no permet donar massa consistència a aquest patró de localització i dependència dels centres terrissers. A la vista de totes aquestes dades es pot establir una zona de classificació de tallers de producció ceràmica partir de la seva ubicació a la zona litoral, prelitoral i interior. La majoria de jaciments contrastats s'ubiquen a les dues primeres zones. Cal dir amb molta claredat que no hi ha un sol jaciment ibèric ple de cronologia clara fora de les dues primeres zones. Seria molt agosarat dir que la producció ceràmica ibèrica en un moment antic i ple es redueix només a les zones litoral i prelitoral. No podem establir si aquest desequilibri ve donat per una manca de dades o per l'atzar de la investigació. De totes maneres sí que s'intueix amb els exemples aportats en aquest treball la concentració dels focus productius en àrees determinades, essent l'exemple de l'Alt Penedès un dels més clars. Hem vist que quan s'ha intensificat la recerca en una zona concreta, fruit de l'atzar moltes vegades, ha propiciat la troballa de centres terrissers. Aquesta dada fa suposar que ens trobem en una fase incipient de la recerca i que caldrà estudiar més bé el territori abans de suposar que els centres terrissers s'acumularien només en certes zones del món ibèric. Per altra banda, la troballa de tres complexos terrissers a la zona de l'Alt Penedès no fa desestimar de moment la possibilitat que certes valls o àrees del territori s'especialitzin en l'activitat terrissera, com l'etnografia ens assenyala per altres llocs del Mediterrani, com a la vall d'Ourika (Marroc) (Cardona *et al.* 2013: 426; 2014)

Els centres de producció ceràmica ibèrics, sobretot els complexos del moment ple, consten de més d'un forn. A la vegada la presència de testers i restes constructives relacionades amb tallers en una àrea suficientment allunyada fan pensar en l'existència de centres terrissers grans, com trobem també a l'àrea valenciana (L'Alfar de l'Alcúdia. El Arsenal (Elx) (López-Seguí 1995; Duarte *et al.* 2000: 231-239; Bonet i Mata 2002: 152; Mata *et al.* 2000; Valor *et al.* 2005). Les produccions, ni que pugui semblar evident, eren mixtes, i n'aportem aquí l'evidència empírica, amb preponderància per a l'àmfora, les peces d'emmagatzematge i les peces de vaixel·la/reserva. L'especialització de la producció de forns només la intuïm en barris artesanals com el del Puig de Sant Andreu i barris artesanals portuaris com el de Darró.

Les terrisseries ibèriques i les dades presentades ens obren una sèrie d'interrogants molt interessants de respondre però que depassen les intencions d'aquest article, com el destí i ús de les peces que es produïen als tallers ibèrics, sobretot els grans envasos. També caldria veure el lligam entre les peces fabricades i les activitats productives del camp ibèric, que de segur en determinaven la fabricació. També caldria parlar d'altres aspectes com l'ús dels excedents i els canvis en la producció d'aliments (Dietler 1996: 114) o la presència o no de camps de sitges vora els centres productius. És clara l'especialització, gairebé industrial, de l'ofici ceràmic i s'intueix molt bé que la instal·lació d'aquests tallers va lligada als interessos i estratègies de les elits dirigents del món ibèric septentrional ja en ple s. IV aC (Gorgues 2008; 2017; Sanmartí *et al.* 2019). Les dades que presentem de moment, però, són aquestes. Serà bo que deixem que s'assoli el fang un temps més a la bassa, abans de retirar l'aigua sobrant i amuntegar-lo en un racó ombradiu de l'obrador perquè és podreixi.

## NOTES

1. El fang s'ha de portar al podridor dins l'obrador perquè reposi el temps necessari.
2. ἢ οὐκ ἦσθησαι τὰ περὶ τὰς τέχνας, οἷον τοὺς τῶν κεραμέων παῖδας, ὡς πολλὸν χρόνον διακονοῦντες θεωροῦσι πρὶν ἄπτεσθαι τοῦ κεραμεύειν (Plat. *Rep.* 5.467a).
3. Figuradament persona curta d'enteniment i pusil·lànime (DGLC). Curta de gambals (DIEC). Hom ha fet servir el càntir com un substitut de l'home i, per tant, de manera subconscient, hom pressuposa l'existència d'ànima en el càntir quan substitueix l'home (*Refranyer català*, de Joan Amades. Edició especial Cercle de Lectors, 1989).
4. La Suda és el més gran dels lèxics grecs que s'han conservat. *Suda On Line* (basada en l'edició d'Ada Adler, *Suidae Lexicon* (5 Volums). Leipzig: B.G. Teubner, 1928-1938, reeditada el 1967-1971).
5. Traducció de William Kelly Simpson (2003) basada en la de Wolfgang Helckfromhis 1970 CE.
6. Isop, *Faules* (vol. I) XCIV El pare i les filles. Fundació Bernat Metge 1984.
7. Expressió originària grega κούφα σοι χθών ἐπάνωθε πέσοι, *koupha soi chthon epanothē pesoi*, citada per autors com Eurípides, *Alceste*, 463-464.
8. És coneguda l'expressió figurada catalana per engegar algú de la mala manera. Joan Amades recull en el seu cançoner la cançó *El pobre terrisser*, una peça cantada per pastar fang amb els peus, i que en recull també una versió de Ripoll de l'any 1919.

9. Pastó: bloc procedent del fang maurat, quantitat justa per col·locar i centrar en el rodet del torn.
10. En les terrisseries tradicionals catalanes, carregar el forn era un moment clau. Els cantirers s'ajudaven sovint per enforar. En alguns llocs com Miravet, hi havia una persona especialitzada a fer aquesta feina. Era una feina precisa i delicada (Castellvell 2015: 56-57).
11. La tradicional terrissa negra rebia també el nom de *fumada*, pel color gris tirant a negre. Abans de tancar el forn hermèticament s'omple amb feixos d'olivera humits que omplen de fum la cambra. Es creia que aquest fum entrava pels porus de la ceràmica donant-li el color característic. Un bon fumet és sinònim de bona cuïta.
12. La Universitat de Barcelona i el Centre d'Estudis Lacetans realitzen des del 2008 un projecte d'estudi de tres terrisseries ibèriques a la zona de l'Alt Penedès (Hortes de Cal Pons, Font dels Igols i Valls de Foix). Estudi inclòs dins un actual pla de recerca quadriennal titulat *El canvi sociocultural a la Cessetània oriental durant la Protohistòria i l'època romano-republicana*.
13. Obrir el forn després que refredés diversos dies significava veure el resultat de la cuïta, les peces que es podrien vendre i també la trencadissa.
14. Després de remenar el fang al bassó es decantava en una bassa gran fins que quedava assolat.

## BIBLIOGRAFIA

- ABAD, L.; SANZ, R. (1995): La ceràmica ibèrica con decoración figurada en la provincia de Albacete. Iconografía y territorialidad, *Sagvntvm-PLAV* 25, 73-84.
- ABASCAL, J. M. (1986): *La ceràmica pintada romana de tradición indígena en la Península Ibérica: centros de producción, comercio y tipología*. Alicante-Madrid.
- ABASCAL, J. M. (1992): La ceràmica pintada de tradición indígena en las áreas ibéricas de la Hispania romana, *Les ceràmiques de tècnica ibèrica a la Catalunya romana (segles II a.C.-I d.C.)*, Societat Catalana d'Arqueologia, 91-96.
- ADROHER, A. M. (1990): Anàlisi cronològic del yacimiento ibèric de Puig Castellet (Lloret de Mar) a partir de las ceràmicas de barniz negro, *Cypsela* 8, 79-85.
- AGUELO, J. (1992): Una aproximació als estudis sobre Sant Cugat del Vallès. Prehistòria i Antiguitat, *Gausac* 1, 18.
- ALEMÁN, J. C. (2019): Producciones de ceràmica romana de paredes finas en la fachada oriental peninsular, *Diacronía* 1, 47-63
- AQUILUÉ, X.; CASTANYER, P.; SANTOS, M.; TREMOLEDA, J. (2000): Les ceràmiques gregues arcaïques de la Palaià Polis d'Emporion, *Actes Taula Rodona: Ceràmiques jònies d'època arcaica: centres de producció i comercialització al Mediterrani Occidental, Empúries 1999*, Monografies emporitanes 11, 285-346.

- ARQUEOCIÈNCIA S.C.P. (1995 a): Can Fassina, *Autopistes i Arqueologia. Memòria de les excavacions en la prolongació de l'autopista A-19*, Autopistas C.E.S.A. i Generalitat de Catalunya, Departament de Cultura, 164-172.
- ARQUEOCIÈNCIA S.C.P. (1995 b): Can Jordi, *Autopistes i Arqueologia. Memòria de les excavacions en la prolongació de l'autopista A-19*, Autopistas C.E.S.A. i Generalitat de Catalunya, Departament de Cultura, 143-162.
- ARRAYÁS, I. (2005): *Morfología histórica del territorio de Tarraço (ss. III-I aC) en el Camp de Tarragona y su integración en el mundo romano (ss. III-I a.C.)*, Barcelona.
- ASENSIO, D.; CARDONA, R.; FERRER, C.; MORER, J.; POU, J. (2001): Tipus d'assentaments i evolució del poblament ibèric a la Catalunya central (Eix Llobregat-Cardener), *Actes de la Taula Rodona celebrada a Ullastret, Territori polític i territori rural durant l'edat del ferro a la Mediterrània Occidental*, Monografies d'Ullastret 2, 183-201.
- BERGADÀ, E. (1984): *Jaciment ibèric Plaça de les Bruixes*, Molins de Rei.
- BERMÚDEZ, A.; MASSÓ J. (1984-85): El horno cerámico del "Barranc de la premsa cremada" (Botarell, Tarragona), *Butlletí Arqueològic, Reial Societat Arqueològica Tarraconesa* época V n° 6-7, 63-106.
- BOLEDA, R. (2010): Els Cántirs i els cantirers: La terra, germen de l'art popular verduní, *Butlletí informatiu de ceràmica* 101, 24-35.
- BONET, H.; MATA, C. (2002): *El Puntal dels Llops. Un fortín edetano*, Treballs Varios S.I.P. 99, València.
- BONET, H.; MATA, C. (2008): Las cerámicas ibéricas. Estado de la cuestión, *Cerámicas hispanorromanas. Un estado de la cuestión* (D. Bernal Casasola, A. Ribera i Lacomba, eds.), Cadix, 147-169.
- BRONCANO, S.; COLL, J. (1988): *Horno de cerámica ibérica de la Casa Grande, Alcalá de Júcar (Albacete)*, NAH, 30.
- BURCH, J.; SAGRERA, J. (2009): *Excavacions arqueològiques a la muntanya de Sant Julià de Ramis, 3: Els sitjars*, Girona.
- BUXEDA, J.; MADRID, M. (2004): Resultados preliminares de la caracterización arqueométrica de las ánforas ibéricas de la Layetania y la Cosetania, *DAM* 27, 400-403.
- CARDONA, R. (2020): Híbrids color de foc. Avenços i solucions tecnològiques en forns ceràmics protohistòrics a l'àrea ibèrica catalana (segles IV-II aC), *RAP* 29, 45-67.
- CARDONA, R.; ASENSIO, D.; JORNET, R.; HERMS, J.; MORER, J.; POU, J. (2019): La terrisseria ibèrica de les Hortes de Cal Pons (Pontons, Alt Penèdes). Un centre productor de ceràmica ibèrica s. IV-III aC, *Tribuna d'Arqueologia* 2016-2017, 240-272.
- CARDONA, R.; ASENSIO, D.; MORER, J.; POU, J.; HERMS, J. (2014): *Informe de la intervenció al jaciment de les Valls del Foix/Els Casalots (Torrelles de Foix, Alt Penedès, Barcelona). Campaña de 2014*, Servei d'Arqueologia de la Generalitat de Catalunya.
- CARDONA, R.; ASENSIO, D.; MORER, J.; POU, J.; HERMS, J. (2015): *Memòria de les campanyes programades d'excavacions arqueològiques al jaciment de les Hortes de Cal Pons/Corral Nou (Pontons) a la comarca de l'Alt Penedès durant el 2012-2013*, Servei d'Arqueologia de la Generalitat de Catalunya.
- CARDONA, R.; CALDUCH, N.; GALLEGRO, J. M.; GIL, B.; POU, J. (2013): Reproduir la ceràmica ibèrica: un nou repte de l'arqueologia experimental (2), *Experimentación en arqueología. Estudio y difusión del pasado* (A. Palomo, R. Piqué, X., Terradas, eds.), Girona, 425-432.
- CARDONA, R.; POU, J.; CALDUCH, N.; GIL, B.; GALLEGRO, J. M.; CASTILLO, L. (2014): The Iron Age Iberian Experimental Pottery Kiln of Verdú, Catalonia, Spain, *EXARC Journal Issue* 2014/4.
- CASAS, J.; CASTANYER, P.; NOLLA, J. M.; TREMOLA, J. (1993): *Ceràmiques comunes i de producció local d'època romana I. Materials augustals, alto-imperials a les comarques orientals de Girona*, Centre d'Investigacions Arqueològiques, Sèrie Monogràfica 12, Girona.
- CASTANYER, P.; SANTOS, M.; TREMOLEDA, J.; AQUILUÉ, X. (2012): El paisatge periurbà d'Empòrion, *El paisatge periurbà a la Mediterrània occidental durant la protohistòria i l'antiguitat / Le paysage périurbain en Méditerranée occidentale pendant la Protohistoire et l'Antiquité* (M. C. Belarte, R. Plana Mallart, eds.), Documenta 26, 99-122.
- CODEX SCCL. (1992): *Memòria de les excavacions del jaciment de Can Portell*, Servei de la Generalitat de Catalunya.
- CODEX SCCL. (1992): *Memòria dels treballs de delimitació dels jaciments afectats per la construcció de la Variant de Mataró*, Servei d'Arqueologia de la Generalitat de Catalunya.
- COLL, J. (2000): Aspectos de tecnología de producción de la cerámica ibérica, *III Reunión sobre Economía en el Món Ibèric* (C. Mata, G. Pérez, eds.), Sagvntvm-PLAV Extra-3, València, 191-209.
- COLOMINAS, J. (1926): Un forn de ceràmica ibèrica a Rubí, *AIEC* vol. VII, 1921-1926, 65-67.
- COLOMINAS, J. (1936): Forn de ceràmica ibèrica del Pinós, Seva (Riu Congost), *Anuari de l'Institut d'Estudis Catalans, 1927-31* vol. VIII, 54.
- COLOMINAS, J.; PUIG I CADAFALCH, J. (1923): El forn ibèric de Fontscaldes, *AIEC* vol. VI, MCMXV-XX, 602-605.
- COLOMINES, J. (1925): Un forn de ceràmica ibèrica a Rubí, *Gasetta de les Arts* 29, 6.
- COLOMINES, J. (1927-1931): Forn de ceràmica ibèrica del Pinós, Seva (riu Congost), *AIEC*, 54.
- CONDE, M. J. (1990): *La producció ceràmica en el món ibèric. El "kalathos", anàlisi i classificació*, Tesi Docotral, Universitat de Barcelona.
- CONDE, M. J. (1991): Les produccions de kalathoi d'Empúries i la seva difusió mediterrània (s. II-I aC), *Cypsela* IX, 141-168.
- CURA, M.; PRINCIPAL, J. (1995): La producció de les tres palmetes radials amb roseta central o 3+1, *QPAC* 16, 173-188.

- DANÉS, J. (1932): Antiguitats de Tona, *Butlletí del CEC* 450, 331-334+láms.
- DIETLER, M. (1996): Feasts and commensal politics in the political economy. Food, power and status in Prehistoric Europe, *Food and the Status Quest: An Interdisciplinary Perspective* (P. Wiessner, W. Schiefenhövel, eds.), Oxford, 87-125.
- DUARTE, F. X.; GARIBO, J.; MATA, C.; VALOR, J.; VIDAL, X. (2000): Tres centres de producció terrissera al territori de Kellin, *III Reunió sobre Economia en el Món Ibèric* (C. Mata, G. Pérez, eds.), Sagvntvm-PLAV Extra-3, València, 231-239.
- DUHAMEL, P. (1978-1979): Les fours de potiers, *Les Dossiers de l'Archeologie*, 5-66.
- EDMONDS, J. M. (1959): *The Fragments of Attic Comedy*, vol. II [Middle Comedy], Leyde, E. J. Brill, 1 vol., [v]-683.
- ESTRADA, J. (1955): *Síntesis arqueológica de Granollers y sus alrededores*, Granollers.
- ESTRADA, J.; VILLARONGA, J. (1967): *La Lauro monetal y el hallazgo de Cànoves* (Barcelona), Empúries 29.
- FABRA, E. (2008): *Fontscaldes, Valls i la seva història*, volum II, Prehistòria i Història Antiga, Valls, 242-281.
- FAULKNER, R. O. (2004): *The Ancient Egyptian Coffin Texts: v. 1-3*, Aris & Phillips Classical Texts.
- FERRER, A.; GIRÓ, P. (1943): Font del Mas Pullina, Pontons, *Ampurias* V, 200.
- FERRER, A. (1978): El poblat ibero-romà de Darró, de nou al descobert, *Butlletí Informatiu de l'Institut de Prehistòria i Arqueologia de la Diputació Provincial de Barcelona*, gener-abril, 26, 24-28.
- FLETCHER, D. (1964 a): Los hornos cerámicos romanos y su tipología en España, *Actas del Segundo Congreso Español de Estudios Clásicos* (Madrid, 1961), 669-672.
- FLETCHER, D. (1964 b): Tipología de los hornos cerámicos romanos de España, *Arse* 7, 6-9.
- GARCÉS, I.; MARTÍ M. A.; VILAR, M. del (2003): Aproximació tipològica dels plats de vora a marli en ceràmica grisa monocroma i produccions afins a Catalunya, *RAP* 13, 7-40.
- GARCIA, J. (1991): Una sitja ibèrica a la Vinya del Ticó (Olèrdola), *Miscel·lània penedesenca* 15, 198-212.
- GARCIA, J.; SENABRE, M. R.; MORAGAS, N. (1993): *L'Alzinar Gran de la Massana* (Font-Rubí, Alt Penedès), *Memòria de l'Excavació d'Urgència, 1991*, Servei d'Arqueologia de la Generalitat de Catalunya, inèdita.
- GIRÓ, P. (1958): *Estudio sobre la probable aplicación de un vaso inédito ibero-romano, Vilafranca del Penedes*, Vilafranca del Penedès.
- GIRÓ, P. (1964-1965): Notas de Arqueología de Cataluña y Baleares-III, *Ampurias* XXVI-XXVII, 1964-1, 272-273.
- GONZÁLEZ, M. C.; GARCÍA, G.; GONZÁLEZ, F. (1985): Productos de alfarería de Cerro Macareno (Sevilla). Naturaleza y procedencia de las ánforas y otros objetos cerámicos. Siglos VIII al III a. J. C., *NAH* 21, 157-174.
- GORGUES, A. (2010): *Économie et société dans le nord-est du domaine ibérique (IIIe-Ier s. av. J.-C.)*, Madrid.
- GORGUES, A. (2017): The power of production in the northern Iberian world (6th-3rd centuries BC), *Artisans vs Nobility?* (A. Brysbaert, A. Gorgues, eds.), Leiden, 79-99.
- GORGUES, A.; BENAVENTE, J. A. (2007): Les ateliers de potiers de Foz-Calanda (Teruel) aux IIe -Ier siècles avant notre ère, *Mélanges de la Casa de Velázquez* 37-1, 295-312. DOI: <https://doi.org/10.4000/mcv.3172>
- GORGUES, A.; BENAVENTE, J. A. (2012): Organisation du travail et technologie potière dans les ateliers ibériques tardifs du Mas de Moreno (Foz Calanda, teruel): bilan provisoire des recherches (2005-2011), *Iberos del Ebro* (M. C. Belarte, J. A. Benavente, L. Fatás et al., eds.), Tarragona, 273-290.
- GRIMAL, P. (1986): *Diccionario de mitología grega y romana*, Barcelona.
- GUTIÉRREZ, A.; OLLICH, I.; ROCAFIGUERA, M. de (2007): Las cerámicas de cocción reductora del yacimiento de l'Esquerda (Roda de Ter, Barcelona), *Actas del VII Congreso Ibérico de Arqueometría*, 297-308.
- HAMPDEN, P. (2011), *Manufacturing in classical Athens*, Tesi doctoral, University of Melbourne.
- HERNÁNDEZ, M. (1983a): *Un horno ibérico. Can Badell* (Bigues-Riells del Fai), Bigues-Riells del Fay.
- HERNÁNDEZ, M. (1983b): *Yacimiento ibérico de Can Badell, Bigues-Riells del Fay, Vallés Oriental*, Barcelona.
- JUAN TOVAR, L. C.; BERMÚDEZ, A.; MASSÓ, J.; RAMON, E. (1986-1987): Medio natural y medio económico en la industria alfarera. El taller ibero-romano de Fontscaldes (Valls, Alt Camp, Tarragona), *Butlletí Arqueològic de la Reial Societat Arqueològica Tarraconense* 1986-1987, 8 i 9, 59-85.
- JUAN TOVAR, L. C.; BERMÚDEZ, A. (1989): Hornos de época republicana en Cataluña: Fontscaldes. *Revista de Arqueología* 98, 40-47.
- JUAN TOVAR, L. C.; BERMÚDEZ, A. (1991): Talleres cerámicos en la Prehistoria y Protohistoria de la Península Ibérica: Introducción a su estudio, *Rivista di Archeologia*, Anno XV, 116-124.
- JUNYENT, E.; ALASTUEY, A. (1991): La vaixel·la ilergeta de vernís roig, *RAP* 1, 9-50.
- LAFUENTE, A. (1989): *La estructura fornàcea de la Coma y la producció de ceràmica ibèrica de Fontscaldes, Valls, Alt Camp*, Tesi de llicenciatura, Estudi General de Lleida.
- LAFUENTE, A. (1992): La producció de ceràmica ibèrica del taller de Fontscaldes (Valls, Alt Camp), *Les ceràmiques de tècnica ibèrica a la Catalunya romana (segles II a.C.-I d.C.)*, Barcelona, 47-77.
- LÓPEZ, A.; FIERRO, X. (1988): Darreres intervencions a l'assentament ibèric i la vil·la romana de Darró (Vilanova i la Geltrú, Garraf), *Tribuna d'Arqueologia* 1987-1988, 53-68.
- LÓPEZ, A.; FIERRO, X.; CASTELLANO, A.; CAIXAL, À. (1992): La primera Vilanova: l'establiment ibèric i la vil·la romana d'Arró, Darró o Adarró de Vilanova i la Geltrú: síntesi dels resultats de les darreres recerques arqueològiques i històriques, *Institut d'Estudis Penedesencs* 67.

- LÓPEZ, A.; FIERRO, J.; MACÍA, X. (1994): Un horno con ánforas de tipo púnico-ebusitano hallado en Darró (Vilanova i la Geltrú, Barcelona), *Coloquios de Cartagena, I. El mundo púnico. Historia, sociedad y cultura (Cartagena, 17-19 de noviembre de 1990)*, Murcia, 443-463.
- LÓPEZ, A.; FIERRO, X.; RIERA, M.; SUAU, L. (1996): Resultats de les darreres campanyes d'excavació a l'establiment ibèric i la vil·la romana de Darró (Vilanova i la Geltrú, Garraf), *Miscel·lània Penedesenca*, 217-267.
- LÓPEZ SEGUÍ, E. (1995): El alfar ibèric de "El Arsenal" (Elche, Alicante), *Actas del XXII CNA (Vigo 1993)*, 231-234.
- LÓPEZ SEGUÍ, E. (1997): El Alfar Ibèric, *La Illeta dels Banyets (El Campello, Alicante)* (M. Olcina, ed.), Alicante, 221-250.
- MARTIN, M. A. (1977): Excavaciones de salvamento en el tramo de autopista Gerona-Figueras, *Crónica del XIV CNA (Vitoria, 1975)*, 1113-1128.
- MARTÍN, M. A. (1978): La ceràmica decorada amb pintura blanca de les comarques costeres del NE de Catalunya, *Cypsela* II, 145-160.
- MARTÍN, M. A. (1979): Dos forns antics de ceràmica: els d'Orriols i Sant Miquel de Fluvià, Institut d'Estudis Gironins (*Annals*) 25 (I), 97-105.
- MARTIN, M. A. (1981): El taller de ceràmiques emporitanes de Fellines, *Estudi General* 1, 37-49.
- MARTÍN, M. A. (1994): Céramique à pate claire de l'atelier de Roses (Rhode), *Lattara* 6, 244-246.
- MARTÍN, M. A. (1994): Els antecedents ibèrics de la ciutat de Gerunda, *Annals de l'Institut d'Estudis Gironins* 33, 89-108.
- MARTÍN, M. A.; PLANA, R. (2001): El Nord-est català en època ibèrica i l'entitat territorial de l'oppidum d'Ullastret, *Territori polític i territori rural durant l'Edat del Ferro a la Mediterrània Occidental* (M. A. Martín, R. Plana, eds.), Monografies d'Ullastret 2, 39-52.
- MARTÍN, M. A.; PLANA, R.; CARAVACA, J. (2000): Les activitats artesanals als poblats d'Ullastret (Baix Empordà, Girona), *III Reunió sobre Economia en el Món Ibèric* (C. Mata, G. Pérez, eds.), Sagvntvm-PLAV Extra-3, València, 249-256.
- MARTÍNEZ, A.; MARTÍNEZ, R. (1989): *Ficha de inventario para la Conselleria de Cultura de la Generalitat Valenciana*, València.
- MARTÍNEZ, A.; CASTELLANOS, J. J. (1997): Los hornos ibéricos de Las Casillas del Cura (Venta del Moro), *Recerques del Musell d'Alcoi* 6, 61-69.
- MATA, C.; DUARTE, F. X.; GARIBO, J.; VALOR, J.; VIDAL, X. (2000): Las cerámicas ibéricas como objeto de intercambio, *III Reunió sobre Economia en el Món Ibèric* (C. Mata, G. Pérez, eds.), Sagvntvm-PLAV Extra-3, València, 389-397.
- MOLAS, M. D. (1975): *La comarca de Osona. Problemática de su iberización y proceso de romanización a través de su carta arqueológica*, Tesi de llicenciatura.
- MONREAL, LI. (1987): Montclús, poblat ibèric i castell medieval, *Monografies del Montseny* 2, 147-157.
- OLCINA, M.; MARTÍNEZ, A.; SALA, F. (2009): *Illeta dels Banyets (El Campello, Alicante). Època Ibèrica y Romana I. Historia de la investigación y síntesis de las intervenciones recientes (2000-2003)*, Alicante.
- OLIVA, M. (1971): Tessela arqueològica: XX campanyes de excavacions en Ullastret (Gerona), II, 1, La Illa d'en Reixac y exploraciones a extramuros de la ciudad, *Separata de la Revista de Gerona* 54.
- OLLER, J. (2012): *El territori i poblament del Vallès en època antiga. Del sorgiment de la societat ibèrica a la romanització (ss. VI aC. - II dC.)*: Estudi arqueomorfològic i històric, Tesi doctoral, Universitat Autònoma de Barcelona, <<http://www.tdx.cat/handle/10803/96705>>.
- PALET, J. M.; PREVOSTI, M. (2001): La cronologia dels jaciments en prospecció: una reflexió a partir dels conjunts de materials conservats en diverses col·leccions, *Territoris antics a la Mediterrània i a la Cossetània oriental*, Generalitat de Catalunya.
- PETRUS, M. (1957-58): Prospecciones arqueológicas en la comarca de Cardona, *Ampurias* XIX-XX, 208-216.
- PLANA, R.; MARTIN, A. (2001): L'organització de l'espai rural entorn de l'oppidum d'Ullastret: formes i dinàmica del poblament, *Territori polític i territori rural durant l'Edat del Ferro a la Mediterrània Occidental* (M. A. Martín, R. Plana, eds.), Monografies d'Ullastret 2, 157-176.
- PLANA, R.; MARTÍN, A. (2012): El paisatge periurbà de l'oppidum d'Ullastret: una nova imatge de la morfologia i del funcionament d'una ciutat ibèrica, *Actes del Col·loqui Internacional, Tarragona, 6-8 maig de 2009, Le paysage périurbain en Méditerranée occidentale pendant la Proto-histoire et l'Antiquité* (M. C. Belarte, R. Plana Mallart, coords.), Tarragona, 123-148.
- PONS, E. (1983): Acerca de unos hornos ibéricos en la riera de Sant Simó (Mataró), *Laietania* 2, 185-200.
- PRADELL, T.; GARCÍA-VALLÈS, M.; MARTÍN, M. A.; VENDRELL-SAZ, M. (1995): Attribution of 'painted iberian' and 'monochrome grey greek' ceramics of the 6th century B.C. to a local production of Ullastret (Catalonia), *Estudis sobre ceràmica antiga, Congrés Europeu sobre ceràmica antiga*, 23-27.
- PRINCIPAL, J. (1998): *Las importaciones de vajilla fina de barniz negro en la Cataluña sur y occidental durante el siglo III aC: comercio y dinámica de adquisición en las sociedades indígenas*, B.A.R.-I.S. 729, Oxford.
- PUIG, A. M. (2006): Les excavacions a la zona del turó de Santa Maria, *La Colònia grega de Rhode (Roses, Alt Empordà)* (A. M. Puig, M. A. Martín, coords.), Sèrie Monogràfica 23, 53-138.
- PUIG, A. M. (2006): Els forns. Estructura i funcionament, *La Colònia grega de Rhode (Roses, Alt Empordà)* (A. M. Puig, M. A. Martín, coords.), Sèrie Monogràfica 23, 513-544.

- PUIG, A. M. (2007): *Rhode. Caracterització del jaciment i de les produccions dels seus tallers ceràmics*, Tesi doctoral, Universitat de Girona, <<http://hdl.handle.net/10803/7847>>.
- PUIG, A. M. (2012): La problemàtica de l'entorn periurbà de Rhode, *Actes del Col·loqui Internacional, Tarragona, 6-8 maig de 2009, Le paysage périurbain en Méditerranée occidentale pendant la Protohistoire et l'Antiquité* (M. C. Belarte, R. Plana Mallart, coords.), Tarragona, 83-98.
- PUIG I CADAFAALCH, J. (1923): Forn Romàns d'Empúries, *AIEC VI* (1915-1920), 705.
- RAURET, A. (1963): *El proceso de la antigua población del Penedès*, Tesi de llicenciatura, Universitat de Barcelona.
- RENFREW, C. (1975): Trade as Action at a Distance: Questions of integration and communication, *Ancient civilization and trade* (J. A. Sabloff, C. C. Lamberg-Karlovsky, eds.), Santa Fe (NM).
- RIBERA, A.; TSANTINI, E. (2008): Las ánforas del mundo ibérico, *Cerámicas hispanorromanas. Un estado de la cuestión* (D. Bernal, A. Ribera, eds. cient.), Cadix, 617-634.
- RODRÍGUEZ, A. (2003): *La ceràmica de la costa catalana a Ullastret*, Ullastret.
- ROS, A. (2003): El camp de sitges de Vinya d'en Pau (Vilafranca del Penedès), revalorització dels materials dipositats al Museu de Vilafranca, *RAP* 13, 191-209.
- ROSSER, P.; FUENTES, C. (2007): *Tossal de les Basses. Seis mil años de historia de Alicante*, Alicante.
- RUESTES, C. (2003): *El poblament antic a la Laietània litoral (del Besòs a la riera de Caldes) l'aplicació d'un GIS (Sistema d'Informació Geogràfica) a l'estudi de la seva evolució i les seves relacions espacials*, Tesi doctoral, Universitat Autònoma de Barcelona.
- SAIZ M. E.; BURILLO, F.; IGEA, J.; LAPUENTE, P.; PÉREZ, J. (2010): Caracterización de los materiales cerámicos de alfares de época celtibérica del sistema ibérico central, *Actas del VIII Congreso Ibérico de Arqueometría (Teruel, España, 19-21 de octubre 2009)* (M. E. Saiz, R. López Romero, M. A. Cano, J. C. Calvo, eds.), Terol, 265-276.
- SÀNCHEZ, E. (1987): *El poblament pre-romà al Bages, Caixa d'Estalvis de Manresa*, Manresa.
- SANMARTÍ, E. (1978): *La ceràmica campaniense de Emporion y Rhode*, Monografies Emporitanes IV, Barcelona.
- SANMARTÍ, J. (2007): El arte de la Iberia septentrional, *Actas del Congreso de Arte Ibérico en la España Mediterránea (Alicante, 2005)*, Alicante, 238-264.
- SANMARTÍ, J.; BELARTE, M. C.; NOGUERA, J.; ASENSIO, D.; JORNET, R.; MORER, J. (2019): A city-state system in the pre-roman Mediterranean West: the Iberian cities of eastern Catalonia, *Urbanization in Iberia and Mediterranean Gaul in the first millennium BC* (M. C. Belarte, J. Noguera, R. Plana, J. Sanmartí, eds.), TRAMA 7, 91-108.
- SANMARTÍ, J.; SANTACANA, J. (2005): *Els ibers del nord*, Barcelona.
- SERRA I VILARO, J. (1922): *Poblado ibérico de San Miguel de Sorba: memoria de las excavaciones realizadas en 1920-1921*, Junta Superior de Excavaciones y Antigüedades, Madrid.
- SIMPSON, W. K. (2003): *The Literatura of Ancient Egypt*, New Haven (CT).
- SOLÉ, D. (1996): Interrogants sobre el taller ibèric de Fontscaldes, *Quaderns de Vilaniu* 29, 109-128.
- SOLÉ, D. (1997): Interrogant sobre el taller ibèric de Fontscaldes (II), *Quaderns de Vilaniu* 32, 3-28.
- TORTOSA, T. (2006): Los estilos y grupos pictóricos de la cerámica ibérica figurada de la Contestania, *Anejos del AEspA XXXVIII*, 17-18.
- TREMOLEDA, J. (2000): *Industria y artesanado cerámico de época romana en el nordeste de Cataluña (época augustea y altoimperial)*, B.A.R.-I.S., 835, Oxford.
- TSANTINI, E. (2004): *Estudi de la producció i la distribució d'àmfores ibèriques del maresme a través de la seva caracterització arqueomètrica*, Treball tutelat d'investigació 2n curs del doctorat: bienni 2002-2004, Universitat de Barcelona.
- TSANTINI, E. (2007): *Estudi de la Producció i la distribució d'àmfores ibèriques en el N.E. peninsular a través de la seva caracterització arqueomètrica*, Tesi Doctoral, Universitat de Barcelona, <<http://www.tdr.cesca.es/TDX-0305107-083203>>.
- TSANTINI, E.; BUXEDA, J.; GURT, J. M. (2005): Estudi arqueomètric de les àmfores ibèriques del Puig Castellar (Santa Coloma de Gramenet), *Actes del XIII Col·loqui Internacional d'Arqueologia de Puigcerdà, 14-16 de Novembre de 2003*, 312-318.
- VALOR, J. P.; MATA, C.; FROCHOSO, R.; IRANZO, P. (2005): Las cerámicas con decoración impresa e incisa del territorio de Kelin (comarca de Requena-Utiel, Valencia), *Sagvntvm-PLAV* 37, 105-124.

**APÈNDIX: Taules-resum del conjunt de jaciments analitzats**

JACIMENTS AMB EVIDÈNCIES INDIRECTES DE PRODUCCIÓ CERÀMICA					
Nom del jaciment	Datació	Tipus jaciment	Altres dades	Tipologia forn A/B	Producció
<b>IBÈRIC PLE</b>					
Museu (Molins de Rei)	IV-III aC	restes desaparegudes a causa pedrera	materials amb defecte coccíó.	--	àmfora ibèrica Maña B3 amb defectes de coccíó.
Alzinar Gran de la Massana (Font-rubi)	IV-II aC	lloc d'habitació amb estructures conservades poblat	sitges amb peces defectuoses	--	àmfora ibèrica
Sant Joan de Lledó (Sant Martí Sarroca)	IV-III aC	escombrera		--	ceràmica ibèrica comuna, àmfora ibèrica, reserva/vaixella
Plaça de les Bruixes (Molins de Rei)	III-II aC	escombrera	suports o prismes de forn	--	ceràmica ibèrica comuna, àmfora ibèrica, reserva/vaixella, ceràmica a mà, pondera i càlats.
Creu de Fellines (Viladasens)	III-II aC	magatzem ceràmic		--	ceràmica oxidada i reduïda emporitana, reserva/vaixella, càlat.
Can Jordi (Sant Vicenç de Montalt)	III-II aC	lloc o centre de producció i explotació agrícola camp de sitges	sitges amb rebutjos de forn ceràmic	--	ceràmica ibèrica comuna i àmfora ibèrica
Camí de la Vista Alegre (Mataró)	III aC	escombrera, magatzem	proximitat als forns ibèrics de la Riera de Sant Simó	--	àmfora ibèrica
Can Vilà (Premià de Dalt)	III-II aC	escombrera		--	àmfora ibèrica i reserva/vaixella
Sant Julià de Ramis	III-II aC	escombrera	abocador localitzat a llevant de les muralles.	--	àmfora ibèrica, ceràmica ibèrica comuna, ceràmica grisa de la costa catalana
Taller de vernís roig ilerget	III-II aC	jaciment no localitzat	caracterització de la producció	?	reserva/vaixella. Superfície vitrificada rogenca destinada a competir amb les importacions de vernís negre.
Taller d'Abella (Navès)	III-II aC	jaciment no localitzat	trobada de material defectuós	--	emmagatzematge, reserva/vaixella

JACIMENTS AMB EVIDÈNCIES INDIRECTES DE PRODUCCIÓ CERÀMICA					
Nom del jaciment	Datació	Tipus jaciment	Altres dades	Tipologia forn A/B	Producció
<b>IBÈRIC FINAL</b>					
Horta Fassina (Arenys de Mar)	III-I aC	lloc o centre de producció i explotació agrícola camp de sitges	sitges amb rebutjos de forn ceràmic	--	toveres de forn vitrificades àmfora ibèrica, ceràmica ibèrica comuna (oxidada i reduïda), ceràmica de parets fines
Casa Nova (Pontons)	II-I aC	mas ibèric	interpretat potser erròniament com a tester de forn	---	àmfora ibèrica, ceràmica ibèrica comuna, emmagatzematge, 1 frag. defecte coccio,
Vinya del Ticó (Olérdola)	II aC 140-120 aC	sitges isolades	sitja amb peces defectuoses	--	àmfora ibèrica i un fragment de grisa monocroma emporitana, dolia
Finca del Gori (Vila-rodona)	II aC-imperi	notícies sobre la troballa d'una estructura fornària	establiment rural d'època tardorepublicana (50/25 aC)	?	ceràmica comuna, àmfora, emmagatzematge
Vilardida (Montferri)	II aC	estructura fornària	ibèric final - Assentament rural romà -	?	ceràmica comuna ibèrica, materials de construcció (tègula, imbrex)
Can Bada (Mataró)	II aC	escombrera		--	ceràmica a mà, imitació de parets fines, àmfora Dressel I
Cal Quec II (Castellfollit de Riubregós)	200 aC-192	possible estructura fornària	materials dipositats al Museu Comarcal de l'Anoia, ref. M-341.	?	ceràmica comuna ibèrica, àmfora ibèrica Mañá B-3, ceràmica oxidada ibèrica amb engalba blanca, reserva/vaixella, imitació vernís negre, tegula, comuna romana, carrets de ceràmica i separadors tubulars, 1 frag. motllo de TSH, àmfora Dressel I, ceràmica grisa alt-medieval.,
Carretera de Castellar (Terrassa)	200-50 aC- II-I aC	estructura fornària	Es troba al Museu Cartoixa de Vallparadís, 4 quatre toveres cilíndriques i deu arrencaments, sobre pilastres i plataforma de ciment artificial.	--	àmfora ibèrica i ceràmica ibèrica comuna.
Els Tremolencs (La Garriga)	II-I aC?	estructura fornària	forn semblant al de Rubí	A?	
Serrat dels Espinyers (Isona i Conca Dellà)	II-I aC	lloc o centre de producció i explotació agrícola camp de sitges; lloc d'habitació amb estructures	fosses extracció argila, drenatges	--	àmfora ibèrica, ceràmica ibèrica comuna (oxidada i reduïda), càlats, rebutjos coccio
La Noguera (Castellterçol)	II-I aC	estructura fornària	material amb defectes de coccio; lloc o centre de producció i explotació metal·lúrgia	?	ceràmica ibèrica, càlats, antefixes, ceràmica romana

JACIMENTS AMB UN SOL FORN DEL MOMENT IBÈRIC FINAL					
Nom del jaciment	Datació	Tipus jaciment	Altres dades	Tipologia forn A/B	Producció
Solar centre de recepció de visitants (Empúries)	II-I aC	instal·lació industrial	bassa	B	pesos de teler i altres objectes ceràmics indeterminats
Can Fajó (Rubí)	II-I aC	estructura fornària	cap material trobat dins el forn	A7	fragments de ceràmica ibèrica comuna als voltants
Can Cassanyes (Castellet i la Gornal)	II-I aC	estructura fornària	destruït	A7	tègula romana
Les Badies (Castellet i la Gornal)	II-I aC	estructura fornària		A7	fragments ceràmica ibèrica comuna
Puig Castellar (Sant Margarida i els Monjos)	II-I aC	estructura fornària		A7 ?	emmagatzematge, àmfora (iberoromana)
Camp 24-25, (Albinyana/Santa Oliva)	II-I aC	estructura fornària	concepció constructiva romana	A2	materials de construcció, ceràmica ibèrica comuna, àmfora ibèrica, <i>dolium</i>
La Coma (Fontscaldes)	II-I aC	complex terrisser	forn tardà (II-IaC) iberoromà abocadors	A3	vaixella/reserva, càlat, <i>tegulae</i> , <i>lateres</i>
Finca del Gori (Vila-rodonà)	II aC-imperi	estructura fornària	assentament rural. Existeixen notícies sobre la troballa d'un forn relacionat amb la vil·la del Columbari	?	ceràmica comuna, àmfora, emmagatzematge
Barranc de la Premsa Cremada (El Botarell, Riudecanyes)	II- I aC	estructura fornària		A7	no identificat
Can Pinós (Centelles/Seva)	II-I aC	estructura fornària	desaparegut	A	no identificat
Sant Llorenç del Pla (Matadepera)	II-I aC	estructura fornària	nomenclatura confosa donada per J. Tovar. Prop del Matadepera i can Fajó	A	no identificat
Matadepera (Matadepera)	II-I aC	estructura fornària		A	no identificat
Can Pericas (Samalús)	II-I aC	estructura fornària	considerat ibèric només per la semblança al forn de Rubí i proximitat al jaciment de Puig Castell.	A7	ceràmica ibèrica comuna?
Can Roqueta (Cardona)	100 aC/200 dC	estructura fornària	assentament rural (vil·la). Cronologia incerta tot i que pot ser iberomà	A7	ceràmica ibèrica comuna, <i>dolia</i> , <i>tegula</i> , material constructiu.
Montclús (Sant Esteve de Palautordera)	III-I aC	estructura fornària		A6	no identificat
Mas Colomer (Alpens)	II-I aC	estructura fornària	semblant al de Tona	A	no identificat
Vinya del Pau (Olèrdola)	II-I aC	estructura fornària	camp de sitges	A	ceràmica ibèrica comuna, reserva/vaixella, àmfora, tapadores a mà, lluerns romanes
La Noguera (Castellterçol)	II-I aC	estructura fornària	Forn de terracota. Material amb defectes de cocció	?	càlat, 2 antefixes, ceràmica romana (àmfora, <i>dolia</i> )

COMPLEXOS TERRISSERS AMB MÚLTIPLES FORNS D'ÈPOCA IBÈRICA FINAL					
Nom del jaciment	Datació	Tipus jaciment	Altres dades	Tipologia forn A/B	Producció
La Vil·la (Tona)	II-I aC	estructura fornària	forns desapareguts a la vora, associats al jaciment del Camp de les Lloses	A2	considerat ibèric només per la seva tipologia i semblança amb el forn de Rubí
Riera de Teià (El Masnou)	II-I aC	complex terrisser	al costat del mar. Materials de caràcter marcat indígena	?	imitacions de campaniana, ceràmica ibèrica comuna, ibèrica a mà, àmfora ibèrica, Dressel 1, Dressel 1B, Laietana 1 i, més endavant, Pascual 1 i Dr.2/4
Can Portell (Argentona)	I aC-10 aC- 15-20 dC	complex terrisser	abocador	?	àmfora Pascual 1 i Dressel 2/4, ceràmica ibèrica comuna
Darró (zona 0) (Vilanova i la Geltrú)	II-I aC	complex terrisser	2 forns	B7, B5	emmagatzematge, àmfora ibèrica, reserva/vaixella.

CENTRES DE PRODUCCIÓ TERRISSERS		
<b>Zona litoral</b>	Centres colonials	Empúries
		Sant Martí Empúries (Palaiàpoli)
		Barri hel·lenístic de Roses
	Barris artesanals	Ullastret
	Zona propera a la costa	Riera de Sant Simó/ Can Jordi/ Horta Fassina
	Zona portuària	Darró
<b>Serralada prelitoral</b>	Indigència	Camp dels Escalers
		Sant Julià de Ramis
	Laietània	Can Vedell
		Montclús
	Cessetània	Hortes de Cal Pons
		Font dels Igols
		Valls del Foix
		Pontarri
		La Coma (Fontscaldes)
<b>Interior de Catalunya</b>		Cap exemple clar



# URNAS DE TRADICIÓN INDÍGENA EN CORDUBA - COLONIA PATRICIA. UNA PROPUESTA ACTUALIZADA PARA EL ÁMBITO FUNERARIO

*Indigenous tradition urns in Corduba - Colonia Patricia. An updated proposal for understanding the funerary contexts*

ANA B. RUIZ OSUNA<sup>1</sup>, MANUEL RUBIO VALVERDE<sup>2</sup>

(1) Universidad de Córdoba. aa2ruosa@uco.es  
(2) manuelrubiovalverde@gmail.com

---

## RESUMEN:

*Las urnas de tradición indígena configuran uno de los conjuntos cerámicos más interesantes de la península Ibérica, tanto por sus orígenes como por su continuidad en época romana. Uno de los usos más significativos fue el de contenedor de restos óseos procedentes de las cremaciones, aunque también acogieron inhumaciones infantiles. Los recientes hallazgos que se han producido en diversas excavaciones en la ciudad de Córdoba nos permiten retomar cuestiones ya planteadas sobre tipología, usos, rituales y etnicidad en las necrópolis de Corduba - Colonia Patricia.*

**Palabras clave:** urnas de tradición indígena, necrópolis romanas, tipologías, etnicidad.

## ABSTRACT:

*The indigenous tradition urns constitute one of the most interesting ceramic ensembles on the Iberian Peninsula, both for their origins and for their continuity in Roman times. One of the most significant uses was as a container for bone remains from cremations, although they also housed child inhumations. Recent findings in various excavations in the city of Cordoba allow us to return to matters already formulated concerning typology, uses, rituals and ethnicity in the necropolis of Corduba - Colonia Patricia.*

**Key words:** Indigenous tradition urns, roman necropolis, typologies, ethnicity.



Aun cuando su presencia se constata en prácticamente toda la península Ibérica, la falta de excavaciones sistemáticas, la ausencia de publicaciones específicas y la variedad de tipos existentes en cada región, hacen difícil establecer su origen y evolución. Los primeros estudios sobre esta tipología, que forma parte de los grandes repertorios de cerámica común o cerámica pintada de época romana, nos remiten a obras como las de M. Vegas (1973) y J. M. Abascal (1986), en las que se establecen series globales. Desde la década de los 70 del s. XX son numerosas las tipologías sobre cerámica ibérica que se han publicado (*vid.* Pereira 1988 y 1989; Escacena 1987; Ruiz y Molinos 1993; Conde 1998; Olmos y Rouillard 2004); sin embargo, en el caso concreto de las que sirvieron como *ollae ossuariae* nos encontramos con marcos cronológicos tan amplios que resultan del todo inútiles como herramientas de datación.

Este es el caso de las necrópolis ibéricas del SE andaluz, comprendidas  *grosso modo* entre los ss. V y III a.C., donde la mayoría de los ejemplos carecen del contexto original de hallazgo (Pereira 1988). Por lo general, se trata de contenedores que muestran formas constantes, que nos remiten a tipos mediterráneos tradicionales y vasos autóctonos con precedentes en etapas anteriores. En cuanto a la decoración resultan también bastante uniformes, con un predominio de bandas horizontales estrechas y polícromas, con alternancia de semicírculos concéntricos, cuartos de círculo y líneas de agua en un primer momento, y simples líneas monocromas de distintos grosores en épocas posteriores (Escacena 1987).

Por lo que se refiere a las necrópolis republicanas volvemos a encontrarnos con una situación esquivada, siendo pocos los espacios funerarios conocidos o reconocidos como tales. La mayoría son necrópolis con precedentes indígenas que continúan en uso hasta los ss. I-II d.C., a saber: Castellones de Ceal (ss. IV-II a.C.) (Chapa *et al.* 1998); La Guardia (ss. IV a.C. - I d.C.) (Blanco 1959; 1960); Castulo (ss. V a.C. - II d.C.) (García Gelabert y Blázquez 1992); Giribaile (ss. IV - I a.C.) (Gutiérrez e Izquierdo 2001); Toya (ss. V-III a.C.) (Cabré 1925; Mergelina 1944); Galera (ss. V a.C. - I d.C.) (Cuadrado 1981; Pereira *et al.* 2004); Osuna (ss. VII - I a.C.) (Campos 1989; Escacena y Belén 1994; Chaves 2002); Cerro de las Balas (ss. III-I a.C.) (Núñez y Muñoz 1990); y Cerro de la Cruz (ss. IV-II a.C.) (Vaquerizo 1994; 1999); entre otras. Más recientemente se han llevado estudios sobre Baelo Claudia (Prados 2016) y la zona extremeña (Bustamante 2016).

En el caso concreto de Córdoba, la ausencia de evidencias funerarias anteriores a la llegada de los contingentes romanos sigue siendo una constante. Tan sólo un hallazgo procedente del área occidental de la Colina de los Quemados (fig. 1), lugar originario del poblado prerromano Corduba, podría plantear la existencia de un espacio funerario en este sector de la ciudad (Murillo y Jiménez 2002: 186 ss.). El problema es que el conjunto, compuesto por una urna de tradición indígena con plato-tapadera, un fragmento de cuchillo de hierro y una pieza de cerámica campaniense fechada entre 210-190 a.C., fue recuperado del mercado clandestino. En realidad, los

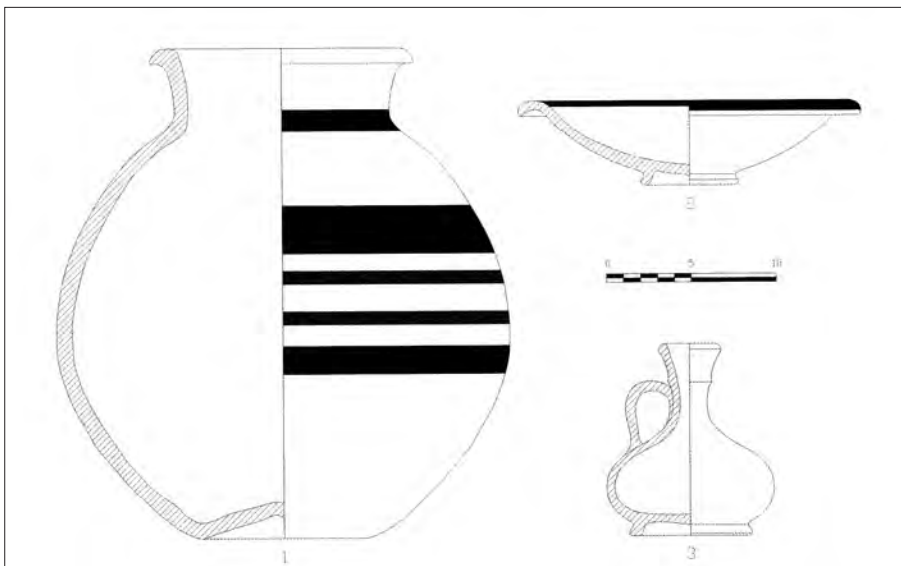


Fig. 1: Urna de tradición indígena con ajuar procedente de un contexto desconocido de Córdoba (Murillo y Jiménez 2002: 186 ss.).

primeros hallazgos seguros de índole funeraria en Córdoba nos remiten a fechas tardorrepublicanas, tal como se desprende de algunos epitafios en bloques de piedra (Ruiz Osuna 2007a: 125), varios elementos arquitectónicos (Márquez 1998: 106 ss.; 2002: 226; Vaquerizo 2001a: 145), y una serie de recintos funerarios ubicados en las proximidades de las principales puertas de la urbe y vías de comunicación (Vaquerizo 2001b: 169-205; 2020). Todas estas manifestaciones responden a modelos de influencia itálica (edículas, altares, recintos), traídos, seguramente, por los propios colonos asentados ya en la ciudad, los cuales permanecerían fieles a sus tradiciones y costumbres, poniendo las bases de la llamada monumentalización funeraria (*vid.* Ruiz Osuna 2007a).

Ante este panorama, resulta admirable la labor de investigación emprendida por B. García Matamala (2002; 2002-2003; 2006) sobre las urnas de tradición indígena en la capital cordobesa. Sus trabajos recogían los ejemplares conocidos hasta ese momento, un total de 19 precedentes tanto de excavaciones antiguas como de otras más recientes. Este repertorio cerámico permitió establecer cinco tipologías, teniendo en cuenta la morfología y decoración, con paralelos en otras necrópolis hispanas del momento (Castulo, Pajar de Artillo, Ampurias, Carmona, Baria, Peñarubia y Villa de los Castillones), y con precedentes en necrópolis indígenas cercanas (Almedinilla, Alhonor, Camorra de las Cabezuelas). Se trata de ejemplares encuadrados entre época tardorrepublicana y la primera mitad del s I d.C., que acogían principalmente restos óseos cremados (tres de ellos infantiles); si bien, se documentaron siete casos en los que las urnas de tradición indígena sirvieron como contenedores de inhumaciones infantiles (García Matamala 2002-2003: 268; 2006: 100 ss.).

## NUEVOS HALLAZGOS EN NECRÓPOLIS CORDUBENSES

Desde los estudios de B. García Matamala (*vid. supra*) son numerosas las excavaciones que se han ido desarrollando en entornos funerarios de la antigua Corduba - Colonia Patricia, las cuales han venido a completar la información disponible hasta la fecha (fig. 2). Entre los trabajos arqueológicos a los que vamos a hacer referencia, los cuales nos remiten en la mayoría de los casos a tumbas aisladas, destacan especialmente los conjuntos de la calle Beatriz Enríquez y avenida Llanos del Pretorio,

que han ofrecido 19 y 46 ejemplares, respectivamente, lo que sumado a la detección de varias fases de uso dentro de las propias necrópolis, su disposición en el interior de recintos funerarios lotificados y la existencia de ajueres funerarios contextualizados, nos permitirá avanzar en las propuestas tipológicas y cronológicas hasta ahora conocidas, así como en las usanzas de las urnas de tradición indígena en la capital de la Bética.

### AVENIDA DEL CORREGIDOR (fig. 2, 1)

Las obras de un colector en la Avenida del Corregidor permitieron poner al descubierto una nueva zona de necrópolis en el entorno del conocido como “Camino de las Abejorreras” (Vargas y Gutiérrez 2004: 309-328; Ruiz Osuna 2010b: 380-405). Aunque no mostraba rasgos de monumentalización, este espacio funerario volvía a hacer gala de una parcelación previa del terreno a través de cipos y recintos, así como de un cuidado permanente gracias a la reparación de suelos tras cada crecida del río *Baetis* (hoy Guadalquivir). Su inicio se sitúa en época protoaugustea, en un momento previo a la organización estructural del *sepulcretum*, donde encontramos una tumba de cremación interpretada como *bustum* (Tumba 15), en cuyo interior se depositó una urna de tradición indígena junto a un ungüentario de vidrio (Isings 6) (Vargas y Gutiérrez 2004: 232 ss.). A la fase siguiente, también de época augustea, pertenece la Tumba 67 identificada con una estructura de ladrillos de 79 x 30 cm, dividida en dos compartimentos: uno para llevar a cabo la cremación y otro para acoger la urna cineraria de tradición indígena identificada con el Tipo V de B. García Matamala.

### CALLE ANTONIO MAURA Nº 10 (fig. 2, 2)

Situada junto a la antigua *via Corduba-Hispalis*, en el *suburbium* occidental, la excavación documentó varias fases de uso funerario de las que destacaremos la adscrita a época altoimperial (Martín Blanco 2007). Nos referimos a varias tumbas de cremación, algunas de ellas identificadas solo a través de las manchas de combustión interpretadas como *busta*. Además de estos conjuntos de cenizas, fueron localizadas dos tumbas de carácter secundario: una de ellas respondía al Tipo V de B. García Matamala, en cuyo interior se localizaron restos óseos cremados y fragmentos de un ungüentario de vidrio; todo ello cubierto con los restos de otra urna. El hallazgo de parte de una estructura realizada a base de

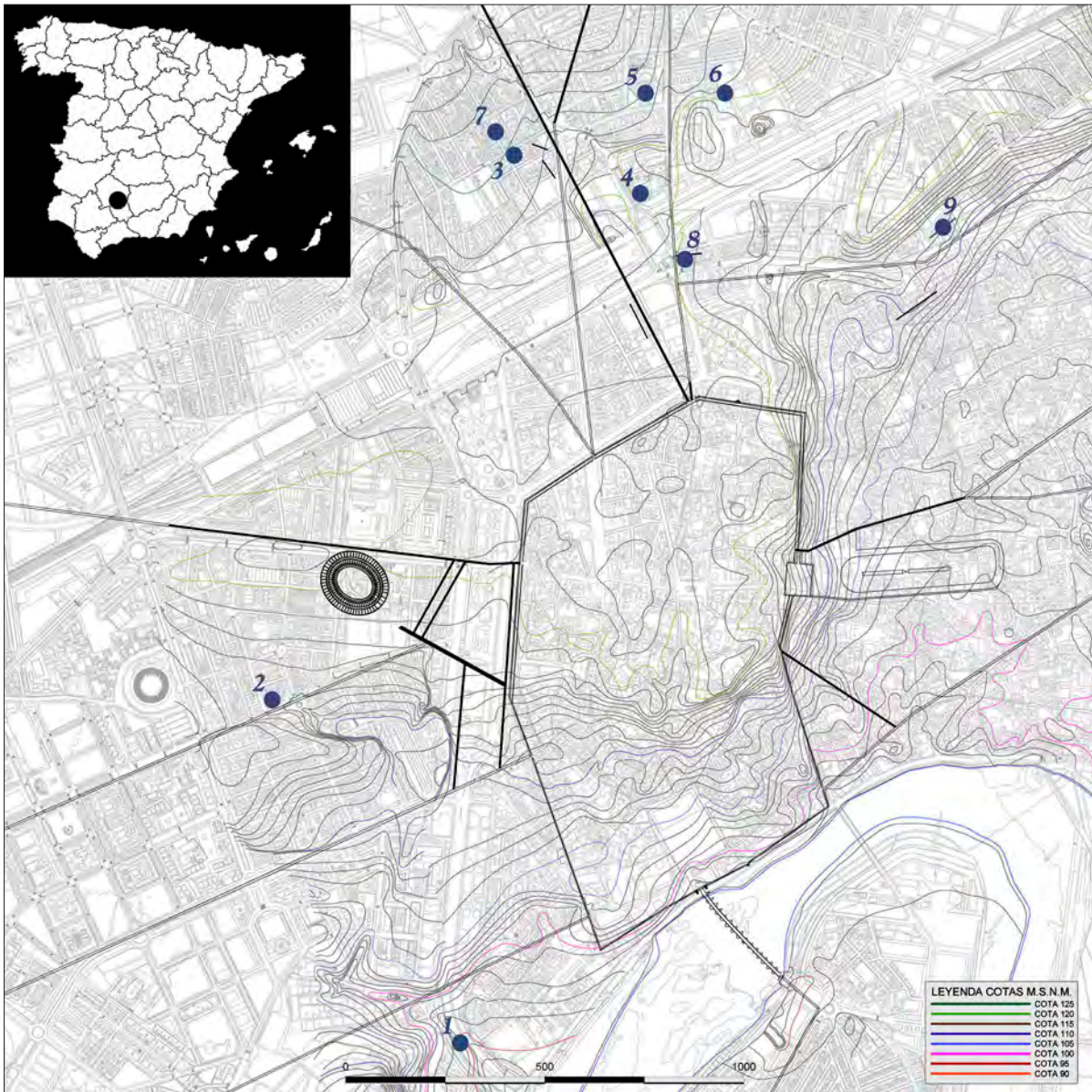


Fig. 2: Plano de dispersión de los nuevos hallazgos funerarios con presencia de urnas de tradición indígena en Córdoba. Elaboración propia.

cantos rodados podría hacer pensar en la existencia de algún acotado funerario o muro de delimitación de este sector de necrópolis.

### CALLE BEATRIZ ENRÍQUEZ (fig. 2, 3)

El solar arrojó casi 70 enterramientos de época altoimperial, fechados entre época tiberiana y vespasiana, siendo la principal problemática que nos encontramos a

la hora de abordar su estudio tipológico el degradado estado de conservación en el que fue encontrada, con piezas cerámicas muy fragmentadas, así como la parca descripción y ausencia de material gráfico en el informe de excavación (López Palomo 2004). Aun así, hemos podido diferenciar con claridad dos urnas del Tipo III de B. García Matamala, y otras dos algo más dudosas, especialmente la clasificada como UE 20, identificada con una cremación infantil por el tamaño de la urna, que se

hizo acompañar de una lucerna de venera y un ungüentario. Algunas de las *ollae* presentaban decoración de líneas vinosas y tan sólo el *bustum* donde apareció la urna UE 126, cubierta con una *tegula*, presentaba restos de ajuar, concretamente, una lucerna de volutas con representación de un perro atado a un árbol. Resulta curioso que el Tipo V de B. García Matamala, uno de los más abundantes en las necrópolis cordubenses, apenas tenga presencia en este yacimiento, suponiendo su existencia en un único ejemplar que se describe como urna cineraria con asas verticales (UE 161). De gran interés son las urnas cerámicas que muestran ciertas variantes con respecto a los tipos establecidos y que vendrían a ampliar el conjunto conocido hasta la fecha en la ciudad. Así pues, dentro del Tipo II cabe establecer la urna identificada con la UE 194, mientras que reconocemos un nuevo tipo con asa lateral en la UE 51, ambas cubiertas con un platito de tradición indígena. Igualmente, podemos hablar de un Subtipo IV sin asas, como así demuestran la UE 42, perteneciente a una cremación infantil introducida, a su vez, en un ánfora; y la UE 90, que contaba como único ajuar con un vasito de paredes finas.

SEDE DE EMACSA (AVDA. DEL PRETORIO, 4) (fig. 2, 4)

Las investigaciones arqueológicas han puesto de manifiesto el uso funerario e industrial que tuvo el *suburbium* septentrional, tal como demuestra en este caso el hallazgo de dos hornos cerámicos y una estructura funeraria interpretada como un *bustum-ustrinum* (Cánovas *et al.* 2006). Esta última presentaba planta rectangular (2,25 x 1,25 m, aproximadamente), estando realizada en *opus quadratum*, con una fase de recrecimiento que pone en evidencia un uso múltiple y dilatado en el tiempo, tal como confirma la presencia de cinco cremaciones en su interior. La más antigua contaba con una urna de cerámica común y un lebrillo de tradición ibérica decorado con círculos concéntricos. Esta decoración tan arcaizante no es propia de la primera mitad del s. I d.C. Se trataría, según Cánovas *et al.* (2006: 284), de un fenómeno aislado, que podría hacer alusión al depósito de piezas ancestrales o de cierto valor sentimental, sin que podamos descartar la idea de que se fabricara en un momento coetáneo al enterramiento, datado en época de Claudio<sup>1</sup>. La segunda cremación, de fechas neronianas, presentaba una urna de cerámica con una ranura en el borde para encajar la tapadera. La pieza resulta bastante estilizada, con pie muy estrecho, que va dando paso a una forma caliciforme, sin ningún tipo de decoración. El ajuar

repite modelos vistos con anterioridad, basado en la presencia de nueve piezas de cerámica Peñaflor (tres platos, tres tazas y tres tacitas), a las que se le suman una orcita de cerámica común, una lucerna de venera y otra de disco y una moneda de bronce (Cánovas *et al.* 2006: 286). La siguiente cremación contaba con una urna de borde exvasado y acanalado al exterior, muy habitual en el repertorio de cerámica común de la época. Por su parte, la tapadera sigue la tipología formal de las de tradición indígena, pese a que no presenta la característica decoración en color ocre (Cánovas *et al.* 2006: 288). El ajuar estaba compuesto por un plato, una jarra, una piedra pómez de forma troncopiramidal y una lucerna con representación de antorcha y guirnalda, lo que permite situarlo hacia finales de época neroniana. Por lo que se refiere a la cuarta cremación, la urna presentaba características morfológicas propiamente romanas, con el borde acanalado al exterior (Cánovas *et al.* 2006: 291). El contenedor cinerario estaba acompañado por dos lucernas de disco, posiblemente Dressel 11, un plato en *terra sigillata* hispánica, una orcita, un plato-tapadera, un jarro y una cantimplora, que han llevado a situarla entre época neroniana y flavia. Por último, encontramos una cremación en urna de cerámica de cierto gusto indígena con la base en umbo, pero sin decoración de bandas (Cánovas *et al.* 2006: 291), que apareció acompañada de una botella, un cuenco y una tapadera, que la sitúan hacia finales del s. I o principios del s. II d.C.

PLAN ESPECIAL MANZANA BANESTO (AVDA. CRUZ DE JUÁREZ) (fig. 2, 5)

En este solar de grandes dimensiones, ubicado en la zona septentrional de la ciudad, junto a los restos de una villa suburbana de época bajoimperial, fue posible documentar una necrópolis con un total de 33 tumbas de cremación adscritas al s. I d.C. (Salinas Villegas 2004). El *sepulcretum* contaba como elemento protagonista con un recinto funerario de planta cuadrangular con un único enterramiento en su interior. El resto de tumbas, de carácter sencillo, se encontraban dispersas en torno al recinto funerario y en la zona nororiental del solar, identificándose cinco enterramientos primarios o *busta* (Tumbas 1, 4, 6, 16 y 18), siete tumbas denominadas como *ustrinum* (Tumbas 2, 9, 10, 11, 12, 14 y 22) y cuatro enterramientos secundarios (Tumbas 5, 7, 13 y 24), además de tres quemaderos reutilizados como lugar de enterramiento en un momento posterior (Tumbas 3, 8 y 10).

Por lo que se refiere a las urnas de tradición indígena, tema central de nuestro trabajo, se localizaron cinco ejemplares:

- Tumba 3. *Bustum*. Urna de tradición indígena identificada con el Tipo V de B. García Matamala. De gran tamaño y forma ovoide con unas dimensiones de 21 cm de altura y 19 cm de diámetro. Presenta borde exvasado y ónfalo marcado (base hundida). De la zona central del galbo parten dos amplias asas geminadas. Cuenta con una decoración a base de líneas horizontales de color vinoso dispuestas de la siguiente manera: una en la parte inferior del galbo, cuatro en la parte superior y, por último, una línea en el borde del labio. El ajuar estaba compuesto por tres cubiletes de paredes finas decorados a la barbotina, fragmentos de tres ungüentarios de vidrio, tres copas, un plato de cerámica Peñaflor y dos clavos.

- Tumba 5. Cremación secundaria en hoyo. Urna de tradición indígena con características semejantes a la anterior, aunque sin presencia de ajuar.

- Tumba 7. Cremación secundaria en hoyo. Urna de tradición indígena correspondiente con el Tipo III de B. García Matamala, con un diámetro pequeño en la base (8 cm) que se va ensanchando en altura hasta alcanzar los 28 cm de diámetro máximo.

- Tumba 8. *Bustum*. Urna de tradición indígena imposible de identificar con ningún tipo dada su fragmentación, aunque las asas podrían indicar su equivalencia con el Tipo IV de B. García Matamala. Como parte del ajuar contaba con nueve piezas de vajilla Peñaflor (tres platos, tres cuencos y tres tacitas), dos ungüentarios de cerámica y uno de vidrio, una lucerna decorada con la cabeza del dios Pan y varios clavos. También se encontraron restos de ungüentarios de vidrio, deformados y rotos.

- Tumba 10. *Bustum*. Urna de tradición indígena que podría pertenecer al Tipo V de B. García Matamala, aunque el mal estado de conservación impide asegurarlo, acompañada por nueve piezas de vajilla Peñaflor (tres platos, tres cuencos y tres tacitas), además de una placa de pizarra con los bordes biselados.

#### CALLE PINTOR RACIONERO CASTRO (fig. 2, 6)

Aunque la subestación eléctrica de la Compañía Sevillana había alterado bastante la estratigrafía de este lugar, fue posible identificar una fase correspondiente a una necrópolis de época altoimperial compuesta por cinco tumbas de cremación (Cano 2003): dos de carácter primario (Tumbas 3 y 5), dos de carácter secundario (Tumbas 1

y 2) y otra más (Tumba 4) que presenta problemas de interpretación debido a su mal estado de conservación. Así las cosas, se pudieron recuperar un total de dos urnas cinerarias:

- Tumba 1: cremación secundaria en fosa rectangular en cuyo interior, concretamente en la esquina SO, se dispuso una urna de tradición indígena (Tipo III de B. García Matamala), que contenía restos muy fragmentados de la cremación, así como parte de un platito que habría servido como tapadera. Por su parte, en la esquina NO se había depositado un ungüentario de vidrio globular con cuello desarrollado y borde exvasado verde-azulado, y un vaso también de vidrio con asa, cubierto con un plato de cerámica común con el borde engobado en blanco dispuesto boca abajo. Este último vaso de vidrio, similar a una píxide, contenía restos óseos calcinados. La tumba quedó cubierta por dos capas de piedras de calcarenita trabadas con arcilla.

- Tumba 5: cremación primaria (*bustum*) en fosa cuadrangular con esquinas redondeadas. Parece ser que una vez realizada la combustión se retiraron los restos de cenizas y fragmentos óseos (muy fragmentados) y se introdujeron en una urna cineraria de tradición indígena (Tipo V de B. García Matamala). Sobre la olla se dispuso un platito de cerámica como tapadera y sobre éste una piedra de caliza. Acompañaban al enterramiento una botellita de cerámica común, de pasta clara anaranjada, un pequeño ungüentario de vidrio y un vasito de vidrio azulado. Igualmente, en el estrato de relleno de la fosa aparecieron restos de vidrio calcinado y retorcido, restos óseos humanos calcinados y restos de, al menos, tres ungüentarios de cerámica (uno de ellos completo) y de terra *sigillata itálica*.

Los ajuares ofrecen una cronología centrada en la primera mitad del s. I d.C., al igual que los materiales que se recogieron durante la excavación del estrato de matriz arcillosa que cubría todas las tumbas, sellando así el uso de la necrópolis en este momento.

#### CALLE PINTOR PALOMINO (fig. 2, 7)

En la Cata I se detectó un amontonamiento de cerámica, más o menos sellado por fragmentos de *tegulae* y ánforas, que ante la ausencia de cualquier tipo de estructura fueron interpretados como los restos de una sepultura de cremación, acompañada de un repertorio relativamente amplio de cerámica campaniense, algo de cerámica romana común y fragmentos de una o varias ánforas de difícil adscripción tipológica (López Palomo 2003).

Entre el material recogido destaca el fragmento del borde de una urna de labio vuelto al exterior, con decoración interior y exterior a base de bandas de color ocre, que podría identificarse con el Tipo II o III de B. García Matamala. También aparecieron dos fragmentos de platos de carena alta y labio saliente. Por último, formando parte del ajuar se recuperó parte de una gran pátera de cerámica gris que imita la forma de algunos platos de origen campaniense, aunque con reminiscencias indígenas. Todo este material nos sitúa en la primera mitad del s. I d.C.

#### AVENIDA LLANOS DEL PRETORIO (fig. 2, 8)

A continuación, nos centraremos en el análisis del conjunto de urnas documentadas en la necrópolis de Llanos del Pretorio, un nuevo sector de la necrópolis septentrional hallado durante la realización de un Seguimiento Arqueológico (Rubio 2019). En este *sepulcretum* se ha documentado el conjunto más numeroso de urnas cinerarias cordubenses contextualizadas, la mayor parte de tradición indígena, convirtiéndose en un caso paradigmático a

partir del cual extraer nuevas e interesantes conclusiones sobre el tema, especialmente, por la metodología de excavación y su posterior estudio en laboratorio a cargo de un equipo multidisciplinar (Vaquerizo *et al.* 2019: 79-105; 2020). En este sector de necrópolis, articulado en torno a varias vías funerarias, se documentaron un total de 15 recintos funerarios, en cuyo interior se dispusieron los diferentes enterramientos (fig. 3), tanto de cremación como de inhumación. Estos últimos siempre de categoría infantil. En total, se recuperaron 67 enterramientos repartidos de la siguiente forma: 50 cremaciones (dos de ellas dobles, con dos urnas cada una), 11 inhumaciones perinatales, dos enterramientos de sendos perros, dos posibles cremaciones, y dos posibles inhumaciones, todas ellas realizadas entre principios y el tercer cuarto del s. I d.C.

Centrándonos en los contenedores funerarios cerámicos, estos se usaron tanto para cremaciones como para inhumaciones perinatales. Estas últimas (Enterramientos 5, 34 y 40) usaron siempre urnas del Tipo V de B. García Matamala. Por su parte, las cremaciones se distribuyen

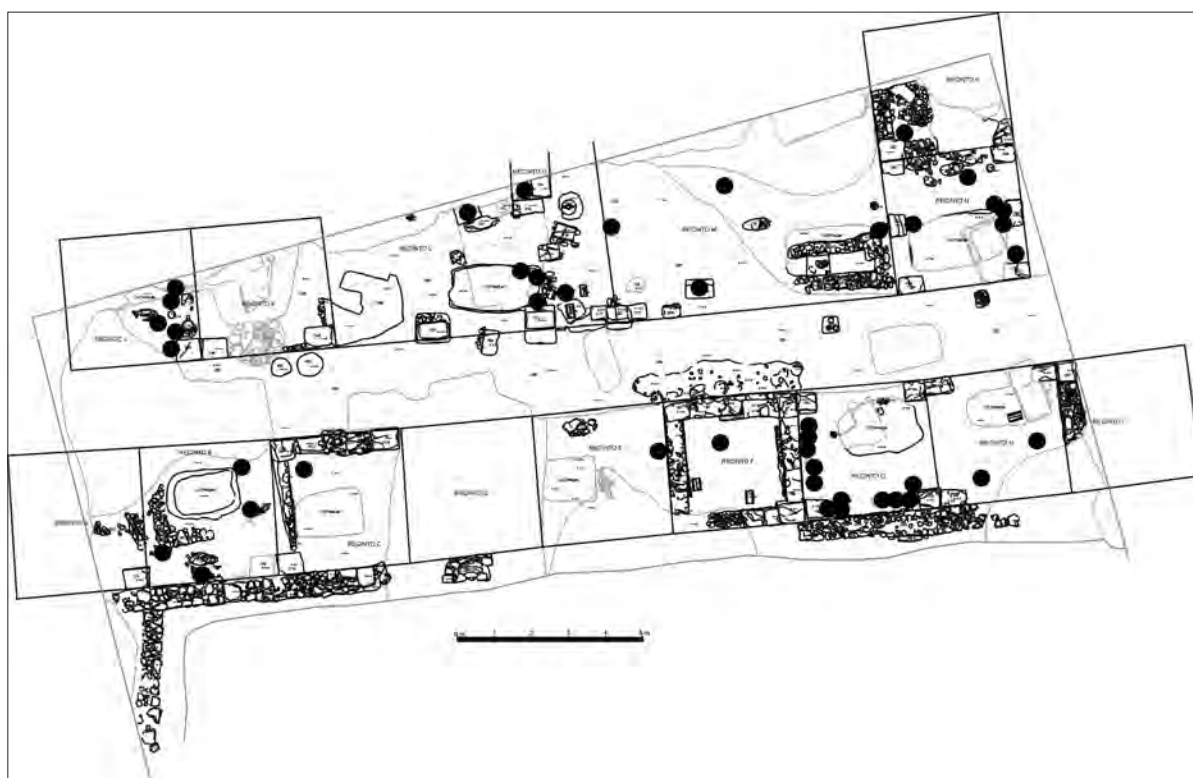


Fig. 3: Planimetría de la necrópolis de Llanos del Pretorio con indicación de los hallazgos correspondientes con urnas de tradición indígena. Elaboración propia.

entre urnas de cerámica de tradición indígena (43) y urnas de cerámica común, de cocción tanto oxidante como reductora (seis). Debido a la acción de las alteraciones post-deposicionales sobre algunas de las urnas de tradición indígena, que apenas han conservado la base, resulta complejo definir su tipología. Aun así, hemos intentado hacer una asignación provisional, siguiendo los parámetros establecidos por B. García Matamala (2002-2003), que resumimos a continuación:

- Tipo II: se han documentado un total de 15 ejemplares (Enterramientos 10, 11, 12, 14, 15, 16, 30, 46-A, 48, 53, 55, 56, 58, 66 y 67) de los que cabe destacar la ausencia total de asas. Todas comparten forma, decoración a base de bandas de color ocre y tipo pasta de tono claro. Con respecto a los bordes, la mayoría los presentan engrosados, siendo sólo dos las que lo tienen vuelto (Enterramientos 10 y 48). Sus medidas oscilan entre los 18 y los 19,1 cm de diámetro máximo, y entre los 22 y los 26 cm de altura. Con respecto a las tipologías de enterramientos en las que aparecen, la fosa simple es el predilecto, con algunas variantes dependiendo del tipo de materiales con los que se protege la urna, con un pequeño fragmento de ánfora, con un cuerpo de ánfora o con restos de mampostería.

- Tipo III: hemos documentado ocho ejemplares, lo que constituye un salto cualitativo muy importante con respecto al estudio de B. García Matamala (2001), donde apenas se analizaban un par de ejemplares. Nos referimos a los Enterramientos 2, 7, 23, 26, 27-A, 29, 46-B y 54, en los que se distinguen dos tipos de pastas: claras y anaranjadas. Para que la decoración a base de bandas de tono ocre fuera apreciable cuentan con un engobe blanquecino que se aplicaba de forma previa. Dentro de este grupo existen importantes diferencias en cuanto al tamaño: con alturas que oscilan entre los 15 cm y los 27 cm, con una media de 18-22 cm; y diámetros máximos que van de los 5,09 a los 7 cm, situándose la media entre 17,19 y 19,79 cm. Atendiendo a la tipología de enterramientos en los que aparece este tipo de urnas, al igual que en el tipo anterior, la fosa simple es el tipo mayoritario, también con diferencias en el tipo de elementos que protegían las urnas: cuerpos de ánforas o restos de mampostería.

- Tipo IV: se han documentado un total de siete ejemplares, sin duda el más escaso. Pese a que la muestra es pequeña, las características de las urnas localizadas nos llevan a plantear la existencia de dos subtipos, a saber:

- Subtipo IV-A (Enterramientos 6 y 21): urnas de perfil globular, de pequeño tamaño y con dos asas en la zona central del galbo, que presentan base plana y

borde recto. Este tipo de borde impone el uso de un tipo determinado de tapadera, los denominados cuencos-tapadera. Con respecto a la decoración, presentan un engobe blanco sobre el que se disponen diferentes bandas de color ocre. Su altura oscila entre los 16-17 cm, mientras que sus diámetros máximos van desde los 7 a los 17,83 cm. En cuanto a la tipología de enterramientos en los que aparecen, siempre son fosas simples en las que las urnas aparecen protegidas con cuerpos de ánfora.

- Subtipo IV-B (Enterramiento 1 y 31): urnas de perfil globular, de pequeño tamaño y con dos asas en la zona central del galbo, que presentan un pie marcado o ligeramente marcado y borde exvasado. Con respecto a la decoración, presentan un engobe blanco sobre el que se disponen bandas de color ocre. De especial relevancia es la urna perteneciente al Enterramiento 1, a base de varios semicírculos concéntricos, una decoración bastante arcaizante. La altura de las urnas de este tipo va desde los 16 a los 19 cm, y sus diámetros máximos oscilan entre los 7,32 y los 19,42 cm. Este tipo de urnas siempre aparecen en fosas simples sin ningún tipo de protección.

- Tipo V: contamos con diez ejemplares identificados con los Enterramientos 5, 24, 25, 27-B, 28, 34, 40, 47, 57 y 62. Todas las urnas comparten forma, decoración a base de bandas de color ocre y tipo de pasta de tono claro, diferenciándose solamente en su tamaño, con alturas que oscilan entre los 22 y los 34 cm, y diámetros máximos que van desde los 19,1 a los 27,07 cm. Como ya apuntábamos anteriormente, es el único tipo en el que se han documentado inhumaciones perinatales, ya que por su tamaño son las idóneas para acoger ese tipo de enterramientos. Estas inhumaciones infantiles siempre aparecen depositadas en fosas simples sin ningún elemento que proteja las urnas, mientras que las usadas para albergar cremaciones cuentan con restos de mampostería como cubierta e, incluso, un lebrillo colocado boca abajo, caso del Enterramiento 47.

#### CALLE HÉROES DE CHERNÓBIL (fig. 2, 9)

La excavación arqueológica en este sector de la necrópolis nororiental, vinculada a una calzada supuestamente fosilizada en la avenida de las Ollerías, puso al descubierto una dilatada ocupación de este solar que arrancaba con la presencia de algunos enterramientos vinculados a época tardorrepublicana (López Jiménez 2006; 2009; Ruiz Osuna 2007b: 25-40; Vaquerizo y

Sánchez 2008: 101-131). Estos hacen referencia a cremaciones aisladas y dispersas en fosa simple, mientras que en época altoimperial asistimos a la planificación topográfica del espacio funerario a base de vías secundarias (seguramente funerarias) y varios recintos dispuestos en batería, con medidas estandarizadas que oscilan entre los 12 y 15 pies romanos. Precisamente, en el interior de uno de estos recintos funerarios (Recinto 6) fueron localizadas las Tumbas 34, 35, 37, 41 y 42. Excepto la 35 (inhumación sobre *tegulae*), las demás eran cremaciones. Lo interesante es que se recuperaron dos urnas de tradición indígena que estaban depositadas directamente sobre el terreno, sin ningún tipo de cubrición. Se trata de dos urnas con tendencia globular y base con ónfalo central, con decoración a base de franjas paralelas de color ocre, que podemos identificar (sólo por observación fotográfica) con el Tipo II de B. García Matamala. Por último, haremos

referencia a otra urna de tradición indígena que formaba parte de la Tumba 43. No hay referencia a ella en el texto del informe ni en las diferentes planimetrías; sin embargo, aparece recogida en la documentación gráfica, lo que nos lleva a interpretarla como un posible Tipo IV de B. García Matamala.

#### ACTUALIZACIÓN TIPOLÓGICO-CRONOLÓGICA

La recopilación y revisión documental de todas las urnas de tradición indígena en ámbito funerario halladas en Corduba - Colonia Patricia hasta la fecha han permitido llevar a cabo una actualización de datos y una ampliación tipológica, siendo posible, además, atisbar determinadas pautas cronológicas que comentaremos a lo largo de este apartado. Para empezar, la estadística pone de

NECRÓPOLIS	Cerámica Tradición Indígena	Cerámica Común	Vidrio	Caliza	Terracota
<i>Calle Adarve</i>	1	-	-	-	-
<i>La Constancia</i>	3	4	7	4	1
<i>Calle Muñices</i>	5	-	-	2	-
<i>Manzana Banesto</i>	5	-	1	4	-
<i>Beatriz Enríquez</i>	19	-	1	1	-
<i>Camino Viejo Almodóvar</i>	14	-	-	-	-
<i>El Avellano, 12</i>	3	-	1	-	-
<i>C/ Héroes de Chernóbil</i>	3	-	2	-	-
<i>Antonio Maura, 10</i>	2	-	-	2	-
<i>Cercadilla</i>	1	-	-	-	-
<i>Ollerías, 14</i>	1	-	-	-	1
<i>Ronda de los Tejares, 6</i>	1	-	-	-	-
<i>La Bodega S/N</i>	1	-	-	-	-
<i>Abderramán III, 10</i>	-	-	-	1	-
<i>Glorieta Ibn Zaydun</i>	-	-	4	1	-
<i>Llanos del Pretorio</i>	46	3	1	5	-
<i>Pintor Racionero Castro</i>	3	-	1	1	-
<i>Pintor Palomino, 1</i>	1	-	-	-	-
<i>Avenida del Corregidor</i>	1	5	1	-	-
<i>Sede EMACSA (Llanos del Pretorio)</i>	3	3	-	-	-
<i>Viaducto del Pretorio</i>	1	-	-	-	-
<i>Red Arterial Ferroviaria de Córdoba</i>	1	-	-	-	-
<i>Calle Abéjar</i>	1	-	-	-	-
<i>Seguimiento Plan Renfe</i>	1	-	-	-	-
<b>TOTAL (N.M.I.)</b>	<b>117</b>	<b>14</b>	<b>19</b>	<b>21</b>	<b>2</b>

Fig. 4: Tabla de dispersión de *ollae ossuariae* (N.M.I.) procedentes de Córdoba. Elaboración propia.

manifiesto que las urnas de tradición indígena fueron, sin duda, el contenedor cinerario elegido por la mayoría de la población cordobesa de época romana época altoimperial, seguidas, con gran diferencia, por las urnas de vidrio y de caliza (fig. 4). Así pues, en apenas dos décadas hemos pasado de una treintena de ejemplares a 117, y lo más importante, hemos podido confirmar y ampliar mínimamente (con un tipo y un subtipo) las tipologías establecidas hasta el momento, configurando una nueva propuesta clasificatoria (fig. 5):

- Tipo I: urnas de tendencia globular con borde exvasado, cuello estrangulado prácticamente inexistente, y base con ónfalo. Se caracterizan por la presencia de decoración

a base de franjas paralelas que enmarcan líneas verticales con ondulaciones de color ocre. El único ejemplar de esta tipología, ya recogido por B. García Matamala, presentaba un diámetro de 14 cm y una altura de 19 cm.

- Tipo II: urnas con borde vuelto o engrosado, cuello desarrollado con forma acampanada, galbo bitroncocónico con tendencia globular y base con pie marcado y ónfalo central. Presentan una decoración con franjas horizontales paralelas de diferentes anchuras y color ocre que se disponen en el cuello las de menor amplitud y en el centro del galbo la más ancha, enmarcada por una o dos líneas más finas. Sus dimensiones oscilan entre los 14 y 16 cm de diámetro y su altura entre 22 y 25 cm. B. García

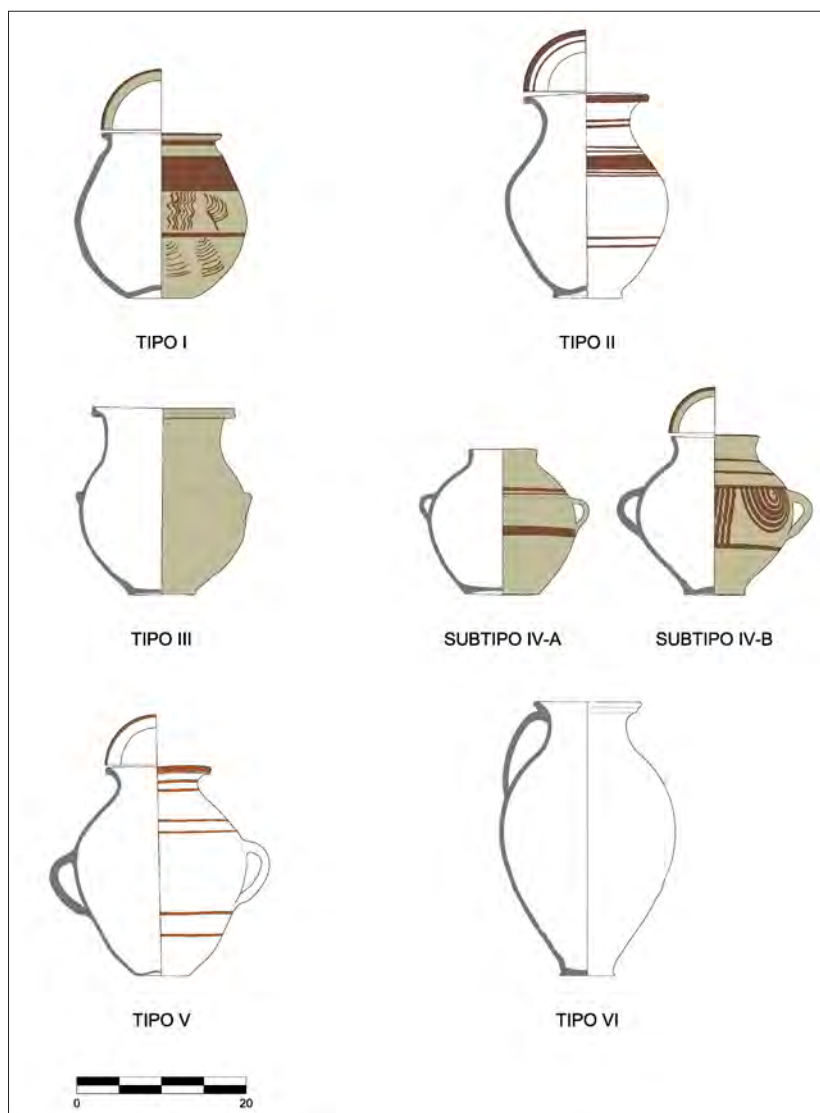


Fig. 5: Clasificación tipológica de urnas de tradición indígena en Córdoba (Dibujo: J. M. Tamajón).

Matamala identificó un total de cuatro urnas de esta tipología, procedentes del Seguimiento del Plan Renfe y tres del Camino Viejo de Almodóvar. A éstas debemos sumarles, con seguridad, doce urnas de Llanos del Pretorio (Enterramientos 10, 12, 15, 16, 30, 46-A, 48, 53, 55, 56, 58 y 66), la urna del *bustum* de Calle Muñices, la urna de la Tumba 41 de Héroes de Chernóbil, y la de la Tumba 24.1 de La Constancia.

- Tipo III: urnas bitroncocónicas con el borde engrosado y dos asas simuladas en el centro del galbo. Se caracterizan por tener la base plana o un pie ligeramente marcado. No obstante, la decoración se simplifica respecto a la tipología anterior pues se reduce el número de bandas horizontales de color ocre. 15,5 cm de diámetro y 23,5 cm de altura. B. García Matamala apenas contaba con un par de ejemplares de esta tipología, procedentes de un monumento funerario de calle La Bodega y de la necrópolis de Camino Viejo de Almodóvar. A esas dos debemos sumarle nueve ejemplares procedentes de Llanos del Pretorio (Enterramientos 2, 7, 23, 26, 27-A, 29, 46-B, 54 y 60), la urna de la Tumba 7 de Manzana Banesto, la de la Tumba 11 de Avda. de las Ollerías, la urna de la Tumba 1 de la calle Pintor Racionero Castro, y las urnas identificadas con las UUEE 108 y 126 de la calle Beatriz Enríquez.

- Tipo IV: urnas de perfil globular de pequeño tamaño con unas dimensiones que oscilan entre 7,5 cm y 10 cm de diámetro y una altura entre 13,5 y 16 cm. Presentan dos asas en el centro del galbo y base plana con el pie ligeramente indicado. En su trabajo, B. García Matamala adscribió a este tipo cuatro ejemplares procedentes del Camino Viejo de Almodóvar. Por nuestra parte, planteamos la existencia de dos subtipos en función del borde que presentan:

- Subtipo IV-A: urnas de perfil globular, de pequeño tamaño y con dos asas en la zona central del galbo, con unas dimensiones que oscilan entre 7 cm y 17,83 cm de diámetro y una altura entre 16 cm y 17 cm. Presentan base plana y borde recto, que impone el uso de un tipo determinado de tapadera, los denominados cuencos-tapadera, que se acoplan perfectamente al mismo. Con respecto a la decoración, presentan un engobe blanco sobre el que se disponen diferentes bandas de color ocre. A este tipo se adscribirían las urnas de las Tumbas 6 y 21 de Llanos del Pretorio, tres urnas del Camino Viejo de Almodóvar (urnas 6241, 6553 y 6563) y la urna de la calle Adarve.

- Subtipo IV-B: urnas de perfil globular, de pequeño tamaño y con dos asas en la zona central del galbo, con unas dimensiones que oscilan entre 7,2 cm y 19,42 cm de diámetro y una altura entre 16 cm y 19 cm. Presentan un pie marcado o ligeramente marcado y borde exvasado. Con respecto a la decoración, presentan un engobe blanco sobre el que se disponen bandas o semicírculos de color ocre, un tipo de decoración bastante arcaizante. Se adscriben a este tipo las urnas de las Tumbas 1 y 31 de Llanos del Pretorio, y una urna del Camino Viejo de Almodóvar (urna 6562).

- Tipo V: urnas de gran tamaño, con diámetro entre 15 y 18 cm y una altura de 30-33 cm. Presentan el borde exvasado, galbo de forma ovoide y ónfalo marcado. De la zona central del galbo parten amplias asas geminadas. Su decoración se basa en finas líneas horizontales de color vinoso en el cuello y en la parte superior e inferior del galbo. B. García Matamala adscribió 11 ejemplares a este tipo, procedentes de Cercadilla, cinco del Camino Viejo de Almodóvar, tres de calle El Avellano y dos de la necrópolis excavada en la antigua fábrica "La Constancia", a los que se suman los cuatro ejemplares de la calle Muñices que publicó con posterioridad. Ahora contabilizamos ocho ejemplares de Llanos del Pretorio (Enterramientos 5, 24, 25, 27-B, 28, 34, 40 y 47), tres de la Manzana Banesto (Tumbas 3, 5 y 10), uno de Ronda de los Tejares y otra más correspondiente con la Tumba 5 del sector funerario excavado en la calle Pintor Racionero Castro.

- Tipo VI: urnas con borde engrosado, cuello desarrollado con forma acampanada, galbo bitroncocónico con tendencia globular y base con pie marcado. Poseen una única asa de grandes dimensiones que arranca desde el borde y se desarrolla hasta el centro del galbo. En principio no presentan decoración, aunque es un extremo a constatar puesto que apenas contamos con dos ejemplares, y uno de ellos solo se conserva parcialmente. A este nuevo tipo se adscribe la urna de la Cremación 3 del *bustum-ustrinum* de la Sede de EMACSA y la urna UE 51 de la calle Beatriz Enríquez.

El crecimiento experimentado en el repertorio de urnas de tradición indígena nos permite aproximarnos un poco más a sus cronologías (fig. 6), especialmente, gracias a la presencia de algunos ajuares bastante complejos que se han prestado a datación. Así, para el s I a.C. contamos con la aparición del Tipo I, el más arcaizante de todos, mientras que para finales de esa misma centuria lo

	s. I a.C.	Fin. s. I a.C.	1ª ½ s. I d.C.	Tiberio	Claudio	Nerón	2ª ½ s. I d.C.	s. II d.C.
TIPO I	●							
TIPO II		●	●	●	●	●		
TIPO III			●	●	●	●	●	●
TIPO IVa					●			
TIPO IVb						●		
TIPO V			●	●	●	●	●	●
TIPO VI			●					

Fig. 6: Tabla tipo-cronológica de las urnas cinerarias de tradición indígena de Córdoba. Elaboración propia.

haría el Tipo II. La primera mitad del s. I d.C. estará protagonizada por la continuidad del Tipo II y la aparición de los Tipos III, V y VI, siendo el primero de ellos el más abundante. Para los años centrales del s. I d.C. observamos un uso más pronunciado del Tipo V con ocho ejemplos. Llegados a este punto, creemos necesario acercarnos de forma detallada a los resultados derivados de la necrópolis de Llanos del Pretorio, que, aunque datada de forma global en fechas tiberio-neronianas, es la única que nos permite establecer varias fases de uso, aportando una cronología relativa basada en la estratigrafía de los recintos funerarios y los *ustrina* (Ruiz Osuna 2020: 91-104). Así, en la primera fase de la necrópolis nos encontramos con cinco urnas del Tipo II y cuatro del Tipo III, que ya habían hecho acto de aparición en época augustea. Estas mismas continúan siendo habituales en la siguiente fase con tres ejemplares del Tipo II y dos del Tipo III, a las que se suman ahora dos urnas del Tipo IVa, que hace acto de aparición por primera vez. Para la tercera y última fase de vida de la necrópolis vemos que el Tipo II desaparece, el Tipo III se mantiene con dos nuevos casos y se introduce el Tipo IVb. Pasados los años centrales del s. I d.C. vemos como los Tipos III y V son los únicos que continúan, llegando incluso a inicios del s. II d.C.

De igual forma, la contextualización de los hallazgos más recientes nos ha permitido completar las tipologías de enterramientos ofrecidas por B. García Matamala, según la posición de las urnas en la tumba y las características formales de ésta, quedando de la siguiente forma (fig. 7):

- Tipo I: Enterramientos con urnas de tradición ibérica en fosa simple sin ningún tipo de elemento que las proteja.

- Subtipo Ia. Con la urna en posición vertical: se trata del tipo de enterramiento más usual, documentado en un total de 28 ocasiones. Destacan los 17 enterramientos de Llanos del Pretorio (Enterramientos 1, 3, 4, 5, 7, 8, 9, 14, 16, 31, 34, 40, 49, 53, 62, 63 y 66), las Tumbas A, C, D de Calle Muñices; así como

las Tumbas 5 y 7 de la Manzana Banesto. La Tumba VII de El Avellano, las Tumbas 42 y 43 de Héroes de Chernóbil, la tumba de Cercadilla, la Tumba 1 de Pintor Racionero Castro y la tumba de la Calle Adarve.

- Subtipo Ib. Con la urna posición invertida: un par de enterramientos se adscriben a este subtipo, la Tumba B de Calle Muñices y la Tumba VIII de El Avellano.

- Tipo II: Enterramientos con urnas de tradición ibérica en fosa simple con un recipiente o recipientes cubriéndolas.

- Subtipo IIa. Con un recipiente: documentado en 15 tumbas de Llanos del Pretorio (Enterramientos 6, 10, 11, 12, 15, 21, 25, 26, 30, 35, 45, 47, 48, 54 y 55), en la Tumba V de El Avellano, en la Tumba 2 de Pintor Racionero Castro y en las urnas UE 42 de Beatriz Enríquez y UE 49 de Antonio Maura.

- Subtipo IIb. Con varios recipientes: tan solo documentado en una tumba de Pintor Palomino.

- Subtipo IIc. En posición invertida con un recipiente: al igual que en el caso anterior, documentado en una única ocasión, en el Seguimiento de la Red Arterial Ferroviaria de Córdoba.

- Subtipo IId. Enterramiento doble con recipiente sobre una de las urnas: documentado en el Enterramiento 46 de Llanos del Pretorio.

- Tipo III: Enterramientos con urnas de tradición ibérica en fosa simple con presencia de *tegulae*

- Subtipo IIIa. Con *tegulae* en posición horizontal bajo la urna: documentado en un par de ocasiones, en la Tumba 24.1 de La Constancia y en una tumba del entorno del viaducto del Pretorio.

- Subtipo IIIb. Con varias *tegulae* en posición vertical a modo de cista: documentado en la Tumba 5 de La Constancia.

- Subtipo IIIc. Con cubierta de *tegulae alla cappuccina*: uno de los enterramientos del Camino Viejo de Almodóvar seguía esta tipología.

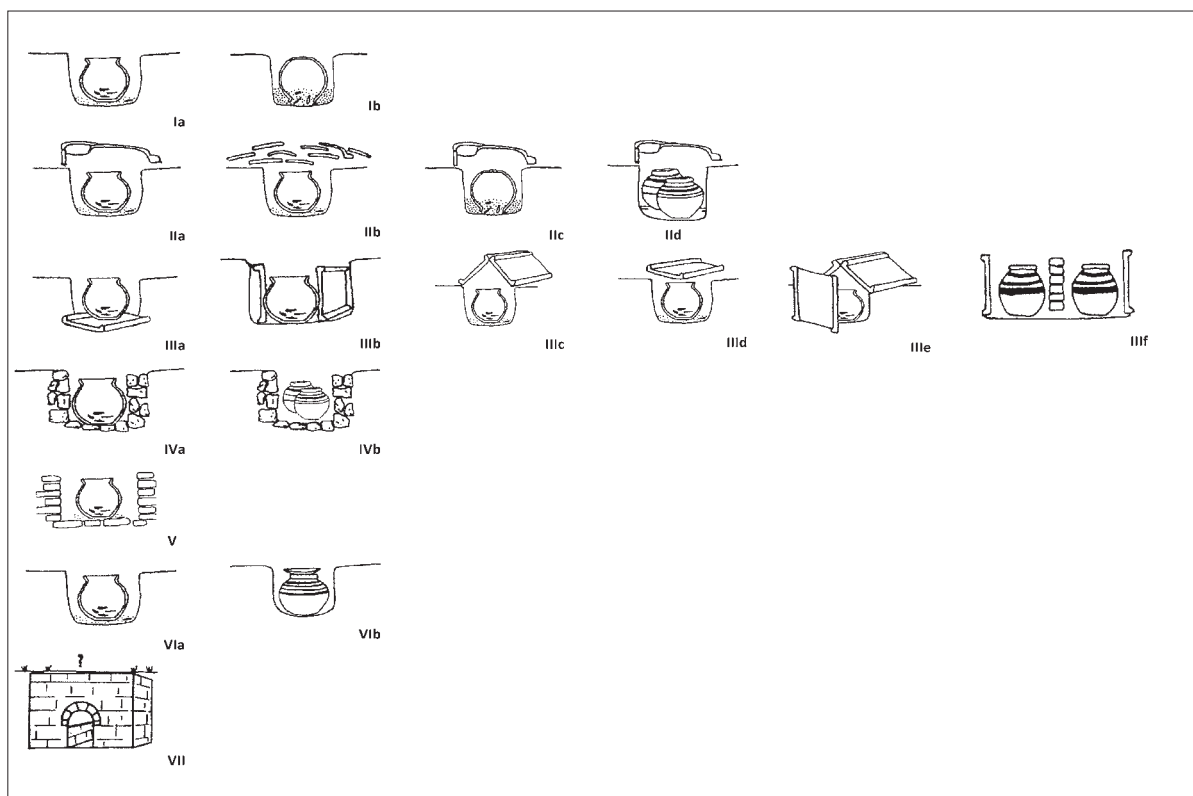


Fig. 7: Tipología de enterramientos con presencia de urnas de tradición indígena en Córdoba. Elaboración propia.

- Subtipo IIIId. Con cubierta de un fragmento de *tegula*: documentado en la Tumba 60 de Llanos del Pretorio.
- Subtipo IIIe. Con una *tegula* en posición vertical y cubierta de *tegulae alla capuccina*: documentado en la Tumba 11 de Ollerías.
- Subtipo IIIIf. Enterramiento doble con los extremos marcados con *tegulae* en posición vertical y un muro de *opus latericium*: La Tumba 18.3 de La Constancia pertenecía a esta tipología.
- Tipo IV: Enterramientos con urnas de tradición ibérica en fosa simple con cista de mampostería.
  - Subtipo IVa. Enterramiento individual con cista de mampostería: documentado en siete tumbas de Llanos del Pretorio (Enterramientos 2, 24, 28, 29, 56, 57 y 58) y en la Tumba 41 de Héroe de Chernóbil.
  - Subtipo IVb. Enterramiento doble con cista de mampostería: documentado en el Enterramiento 27 de Llanos del Pretorio.
- Tipo V: Enterramientos con urnas de tradición ibérica en fosa simple con estructura de ladrillo. Un único caso documentado en la Tumba 67 de Avenida del Corregidor.
- Tipo VI: Enterramientos con urnas de tradición ibérica en *busta*.
  - Subtipo VIa. En *bustum*: documentado en 15 *busta* de Beatriz Enríquez (UUEE 20, 51, 54, 62, 75, 78, 90, 93, 108, 122, 126, 140, 161, 194 y 203), en el *bustum* de Calle Muñices, en las Tumbas 3, 8 y 10 de la Manzana Banesto, en la Tumba 5 de Pintor Racionero Castro, y en las cremaciones 1, 3 y 5 del *bustum-ustrinum* de la Sede de EMACSA.
  - Subtipo VIb. En *bustum* con dos recipientes sobre la urna: documentado en la tumba de Ronda de los Tejares.
- Tipo VII: Enterramientos con urnas de tradición ibérica en un monumento funerario. Un único caso documentado en el monumento funerario de Calle La Bodega.
 

Con respecto a las cuestiones cronológicas, B. García Matamala (2002-2003: 260) apuntaba en sus trabajos que las estructuras más simples serían las más tempranas y que se desarrollarían hasta finales de época republicana, mientras que las que utilizan las *tegulae* en su construcción o cubierta podrían alcanzar los comedios del s. I d.C., llegando en algunos casos hasta comienzos del s. II

d.C. La revisión y actualización de las tipologías de enterramientos vinculadas a urnas de tradición indígena que hemos presentado aquí confirma y amplía estos supuestos, pudiendo aportar algo más de información en algunos casos. Así, la estructura funeraria más utilizada es, sin duda, la fosa simple sin ningún tipo de cubierta con 33 ejemplos, seguida de los *busta* en fosa simple con 24 casos. A continuación, destacan las fosas simples que utilizan como cubierta uno o varios recipientes, con un total de 20. Por su parte, hemos localizado diez tumbas realizadas en cista de mampostería y seis fosas simples con cubiertas de *tegulae*. Por último, la cista de ladrillo y el monumento funerario aparecen en una sola ocasión.

En cuanto a la distribución cronológica, para finales del s. I a.C. y principios del s. I d.C. contamos con dos enterramientos del Tipo I (fosa simple), uno del Tipo IV (cista de ladrillo) y otro del Tipo VII (monumento funerario). Durante la primera mitad del s. I d.C. seguimos observando la aparición de urnas de tradición indígena en fosa simple sin cubierta, pero también lo hacen las fosas simples con cubierta de recipientes cerámicos y los *busta*. Conforme nos acercamos a mediados del s. I d.C. el número de casos y de tipologías aumenta, tal como ponen de manifiesto las 20 fosas simples sin cubierta, las 15 fosas simples con cubierta de recipientes cerámicos, las cuatro fosas simples con cubiertas de *tegulae*, las nueve cistas de mampostería y los 16 *busta*, poniendo de manifiesto un auge de la cremación como principal rito de enterramiento. A finales del s. I d.C. o principios del s. II d.C. podemos adscribir cuatro tumbas realizadas en fosa simple, dos más en fosa simple con cubierta de recipientes cerámicos, otras dos con cubierta de *tegulae* y un *bustum*, lo que pone de manifiesto un descenso importante en el uso de urnas de tradición indígena para el cambio de siglo, coincidiendo en general con el aumento de las urnas de piedra caliza, de vidrio o de cerámica común.

Por último, no quisiéramos dejar de lado el estudio de los ajuares que han aparecido como acompañamiento de las urnas de tradición indígena y que no sólo han servido para acotar cronologías, sino para conocer con más detalle las costumbres y rituales vinculados a este tipo de enterramientos. Aun así, a pesar del incremento de casos, resulta imposible establecer un criterio que determine la presencia/ausencia de ajuares junto a urnas de este tipo, extensible también al resto de enterramientos de la época. Tampoco ha sido posible establecer la relación entre la elección de un tipo determinado de urna y un ajuar específico, no existiendo un criterio unificado, aunque sí unas

características similares dentro de cada sector funerario. Así, por ejemplo, en la necrópolis excavada en la calle Pintor Racionero Castro nos encontramos con una asociación clara entre ungüentario y vaso de vidrio, que no aparece, de momento, en ningún otro espacio funerario. Por su parte, en la Manzana Banesto es el uso de las cerámicas del tipo Peñaflores el que se impone en todos los enterramientos que cuentan con urnas de tradición indígena, vinculándose al ajuar-tipo definido hace años para las necrópolis cordubenses (Vargas 2002: 297-310). Por el contrario, las lucernas se convierten en las auténticas protagonistas en el caso de la necrópolis de la calle Beatriz Enríquez, próxima a la anterior, al igual que el *sepulcretum* de Llanos del Pretorio donde, sin embargo, los ungüentarios de vidrio se alzan como el elemento más recurrente, apareciendo en 15 de los 23 enterramientos realizados en urnas de tradición indígena que contaban con depósito ritual.

Todo ello podría poner de manifiesto que el material elegido como ajuar funerario, al menos el que no hace referencia a elementos de uso personal, no dependería tanto de la adscripción étnica o cultural ni de ciertas costumbres de tipo ancestral o posibles creencias religiosas, sino más bien de la capacidad económica de la familia o allegados y del repertorio y moda de los materiales disponibles para este fin en las proximidades de las distintas necrópolis; sin descartar la influencia que pudieron ejercer las empresas fúnebres encargadas de organizar los sepelios, especialmente los basados en la cremación, que necesitaban de profesionales al efecto y que contarían con su propia gama de productos, tanto locales como foráneos, listos para ofrecer a sus clientes.

## HACIA UN ESTUDIO INTEGRAL DE LAS URNAS DE TRADICIÓN INDÍGENA EN ÁMBITO FUNERARIO

Resulta, pues, indudable que las urnas de tradición indígena, tanto por la forma como por la decoración, son uno de los nexos de unión más claros entre las necrópolis de época prerromana (en caso de existir) y romana. Precisamente, su presencia en contextos altoimperiales ha sido objeto de un intenso debate entre los que defienden un lógico incremento de este tipo de contendores procedentes del comercio local, más económico, frente a las producciones importadas por los itálicos, y los que apuestan por ver en ellas un signo indudable de etnicidad, especialmente, en la esfera de lo funerario.

Como señalábamos al inicio de este trabajo, la falta de información sobre las actividades funerarias de la Corduba prerromana y republicana hace prácticamente imposible plantear si el uso de las urnas de tradición indígena en la capital de la Bética responde a un gesto de continuidad con respecto a los rituales oriundos de la zona o es el resultado de un proceso de fusión e hibridismo entre las costumbres de ambas comunidades (local y foránea). En este sentido, la única urna que podemos vincular a los primeros momentos de ocupación romana en la ciudad, datada a principios del s. II a.C. (Murillo y Jiménez 2002: 186), presenta bastante similitudes con el Tipo II planteado por B. García Matamala (2002-2003), lo que demostraría, según J. L. Jiménez Díez (2008: 345), que este tipo de recipientes debían ser asimilados por los habitantes de la región con formas tradicionales presentes durante generaciones en el territorio; algo similar a lo planteado para Tarraco (Remolà 2004), Valentia (García Prósper y Guérin 2002), Carthago Nova (Ramallo 1989) o Lucentum (Jiménez Salvador y Ribera 2002).

Así pues, las urnas de tradición indígena podrían estar perpetuando, en uno de los elementos más importantes del ajuar funerario, la herencia de un mundo anterior, ensalzado y potenciado como medida de choque ante los nuevos habitantes y sus costumbres de enterramiento (Jiménez Díez 2006; 2008: 344). A ello apuntaría el hecho

de que estas *ollae ossuariae* aparezcan asociadas a las primeras importaciones itálicas, así como a las imitaciones de este tipo de vajilla y, aún más, a las primeras hornadas de *terra sigillata* hispánica procedentes del alfar de Andújar. Sin embargo, el empleo de urnas de tradición indígena junto a ajuares de origen local (caso de Castulo, Carmo, Baelo Claudia y Onoba, entre otras), con una ausencia total de *terra sigillata*, ha sido utilizado como argumento para el afianzamiento étnico de la cultura precedente frente a la invasora (Bendala 1976; Bustamante 2010; Fernández Sutilo 2016); un debate todavía abierto y en vías de enriquecimiento con posturas tan contradictorias como la defendida por J. L. Escacena y M. Belén (1994: 237-265), para quien la cultura turdetana no habría dejado huella arqueológica dada su relación con las tradiciones funerarias atlánticas<sup>2</sup>.

No obstante, como ya hemos comentado anteriormente contamos con opiniones que ven en las urnas de tradición indígena el carácter humilde de los difuntos que albergan, sin solvencia para costearse un contenedor funerario de mayor valor económico, recurriendo al uso de este tipo de cerámica común, accesible a todos los sectores de la sociedad. De hecho, los enterramientos de tradición indígena identificados en Córdoba corresponden en todos los casos a estructuras sencillas, lo que descarta *a priori* su utilización por parte de las élites sociales. La única excepción la

Enterramiento	Sexo	Tipología	Ajuar primario	Ajuar secundario
Enterramiento 23	¿?	Tipo III	-	Ungüentario vidrio y varilla metálica
Enterramiento 24	¿?	Tipo V	-	-
Enterramiento 25	¿?	Tipo V	Oso	-
Enterramiento 27-A	M	Tipo III	-	-
Enterramiento 27-B	M	Tipo V	-	Ungüentario vidrio
Enterramiento 28	¿?	Tipo V	-	Ungüentario vidrio
Enterramiento 29	¿?	Tipo III	Ciervo y ave pequeña	Ungüentario vidrio
Enterramiento 44	¿?	Urna de vidrio	-	Ungüentario vidrio
Enterramiento 45	¿?	Tipo IV-A	-	Ungüentario vidrio
Enterramiento 46-A	M	Tipo II	Ungüentario vidrio	-
Enterramiento 46-B	M-V	Tipo III	-	Cajita metálica
Enterramiento 56	M	Tipo II	-	Ungüentario vidrio
Enterramiento 57	¿?	Tipo V	-	-
Enterramiento 58	¿?	Tipo II	Ungüentario vidrio	-

Fig. 8: Tabla de enterramientos del Recinto Funerario G de la necrópolis de Llanos del Pretorio en Córdoba. Elaboración propia.

encontramos en la urna aparecida en el monumento funerario de tipo semihipogeico de la Calle La Bodega, que se hizo acompañar además de un rico ajuar, lo que hace suponer su pertenencia a un miembro de alta categoría social (García Matamala 2002-2003: 265).

Hasta hace poco el análisis de estos contenedores cerámicos no permitía abordar la problemática específica en cuanto a la interpretación de etnia, género, edad o estatus social, tanto por la descontextualización de los hallazgos y estado de conservación, como por la falta de estudios pormenorizados. En este sentido, el hallazgo del *sepulcretum* de Llanos del Pretorio, el sector funerario que hasta el momento ha aportado una mayor cantidad de este tipo de urnas, supone un antes y un después en el conocimiento de los usos y costumbres relacionadas con ellas, puesto que han sido sometidas a un proceso de microexcavación en laboratorio, contando a continuación con un exhaustivo estudio antropológico (García-Prósper y Polo 2020: 161-172).

Las primeras conclusiones apuntan a un uso indistinto de las distintas tipologías de urnas por parte de hombres y mujeres. Tan sólo las urnas del Tipo IV-A han ofrecido restos vinculados a varones de forma exclusiva; si bien, la muestra es tan minoritaria que resulta complicado confirmar esta relación en términos absolutos. Algo similar a lo que ocurre si analizamos los casos según el rango de edad: aunque existe una predilección por las urnas de tradición indígena del Tipo V en el caso de las inhumaciones infantiles, seguramente por razones prácticas debido a sus grandes dimensiones, lo cierto es que han aparecido también en el interior de ánforas y entre dos *tegulae*. Por su parte, las cremaciones infantiles se han localizado en urnas de los Tipos III y IV-B, destacando un individuo a pretérmino introducido en una urna del Tipo IV-A, dando cuenta de las distintas casuísticas.

Si consideramos la distribución de los recipientes de tradición indígena en los diferentes recintos funerarios descubiertos en Llanos del Pretorio, aparecen en siete de las 15 estructuras identificadas. El Recinto Funerario G es el que acumula un mayor número de enterramientos de este tipo, con un total de 13 (fig. 8). Por el contrario, los Recintos Funerarios C, E, F, O y P contaban con una urna de tradición indígena en cada caso, bien acompañada de otros enterramientos, bien como protagonista absoluta del recinto. Este es el caso del Recinto Funerario C, que contaba con una única cremación en urna de tradición indígena (Tumba 30), sin ningún tipo de ajuar. Por lo que se refiere al Recinto Funerario F, sin duda, el más “monumental” de los excavados, con muros de mampostería en

sus cuatro lados y una entrada escalonada en piedra, se han localizado un total de tres cremaciones, de las cuales dos fueron localizadas en el interior de dos urnas de piedra (Enterramiento 43 y 59) con sendos ungüentarios de vidrio, y otra más en urna de tradición indígena (Enterramiento 48), sin ningún tipo de ajuar. Los datos con los que contamos para los Recintos Funerarios O y P son muy escasos, dado que quedaban fuera de los límites de la intervención, estando además muy dañados por el muro pantalla del bloque de viviendas en construcción. Aun así, ha sido posible plantear su vinculación con varios enterramientos de cremación en urna de tradición indígena, que conservaban, además, un rico ajuar.

Atendiendo a la cronología de todo este conjunto, que en ningún caso podemos asociar a un sector socio-económico elevado, la vida útil del mismo no excedería los 60-70 años, funcionando como necrópolis desde finales de época augustea hasta un momento impreciso de finales de época neroniana y flavia (Vargas y Hernández 2020: 105-110). Por lo que a las urnas de tradición indígena se refiere, este abanico cronológico resulta realmente interesante, puesto que nos estamos moviendo en un momento plenamente altoimperial, en el que destaca la ausencia de armamento, característico de las tumbas de época prerromana, y la presencia de cerámicas de importación (barniz negro o campaniense, *terra sigillata* itálica, paredes finas, lucernas y ungüentarios) como parte del ajuar, lo que demuestra, sin ningún género de dudas, la conformación de un ritual de carácter híbrido, en el que los elementos de ambas culturas se van integrando, adaptando y asimilando como consecuencia de un contacto continuo y directo que se inició con la llegada de los contingentes militares a partir del s. III a.C. para eclosionar en época julio-claudia, conformando un paisaje funerario típicamente romano, caracterizado por *viae* sepulcrales flanqueadas por recintos lotificados y grandes monumentos funerarios que se combinan con amplios sectores de cremación e inhumación.

Llegados a este punto, la última pregunta que cabría plantear es si los finados en la necrópolis de Llanos del Pretorio eran individuos de raigambre indígena o personas procedentes de otras regiones del Imperio, sin descartar la posibilidad de encontrarnos ante ambientes heterogéneos con representantes de ambos grupos. Esta aclaración permitiría dar respuesta definitiva a si el uso de las urnas de tradición indígena era una mera moda del momento o si se trataba de un elemento diferenciador de un grupo concreto. Por desgracia, seguimos sin contar con una respuesta definitiva, ya que la realidad arqueológica no nos permite ir



Fig. 9: Enterramiento en urna de tradición indígena con cipo señalizador y epitafio perteneciente a *Bassa* (Tumba 60 de la necrópolis de Llanos del Pretorio en Córdoba). Elaboración propia.

más allá de ciertas conjeturas, necesitando de estudios genéticos que, de momento, no se han podido realizar, sobre todo, si tenemos en cuenta la propia naturaleza del material óseo recuperado: cremaciones completas que alcanzaron altas temperaturas y afectaron a la calidad de las muestras.

Dentro de este panorama desolador, destaca la Tumba 60, una de las últimas realizadas en la necrópolis de Llanos del Pretorio (fig. 9). Se trata de un enterramiento en fosa simple con cubierta de tégula plana que acogía en su interior una urna de tradición indígena del Tipo III, acompañada de un unguentario de vidrio, que ha permitido fecharla entre época tiberiana y neroniana (Rubio 2020: 87-88). Sobre la tumba se dispuso un cipo funerario de gran tamaño con tabla epigráfica incrustada en la que se hace referencia a la difunta, de nombre *Bassa*, y al dedicante, su esposo: *I. Iuuentus Amarantus*. Nos encontramos ante un contubernio entre un liberto y una esclava que, en principio, muestran una onomástica de origen latino. *Bassus/a*, y todas sus variantes, fue un *nomen* y

*cognomen* de gran difusión en época romana, que haría referencia a una característica particular relacionada con el físico: la altura; si bien, hay epigrafistas que plantean un origen no latino (Kajanto 1982: 244), tal vez etrusco o griego, pero en ningún caso propio de los pueblos prerromanos hispanos. De igual modo, la inscripción funeraria localizada *in situ* en el *bustum-ustrinum* excavado en el solar de la sede de EMACSA muestra los nombres completos de dos personajes de origen servil (Cánovas *et al.* 2006: 291-293): *Cornelia Nympha*, liberta de Quinto, y *Caius Pomponius Statius*, posible liberto que ha eliminado la referencia a la filiación. De nuevo, nos encontramos ante las típicas fórmulas latinas en el uso de la onomástica, así como la procedencia griega del *cognomen* femenino, siguiendo los parámetros propios de la época, lo que de momento hace imposible plantear un binomio claro entre las urnas de tradición indígena y su uso por parte de un sector de la sociedad cordubense de raigambre local.

## NOTAS

1. Pese a la ausencia de cerámica fina de mesa, la presencia de lucernas Dressel 3 y 11, cerámica tipo Peñaflor y un ungüentario Isings 28b apuntan hacia esta cronología.
2. En este sentido, cabe destacar los últimos descubrimientos del yacimiento de La Silla del Papa (Moret *et al.* 2017: 49-71), junto a la ciudad romana de Baelo Claudia, con una necrópolis de cremación vinculada al poblado prerromano y época republicana, que podría cambiar lo hasta ahora establecido.

## AGRADECIMIENTOS

Agradecemos a todos los arqueólogos que nos han cedido la información de sus excavaciones y a los integrantes de la Oficina de Arqueología de la Gerencia Municipal de Urbanismo del Ayuntamiento de Córdoba por facilitarnos la consulta de algunos expedientes. También a José María Tamajón, por la elaboración de la Figura 5 y del material gráfico procedente de Llanos del Pretorio.

## BIBLIOGRAFÍA

- ABASCAL, J. M. (1986): *La cerámica pintada romana de tradición indígena en la Península Ibérica: centros de producción, comercio y tipología*, Madrid.
- BENDALA, M. (1976): *La necrópolis romana de Carmona (Sevilla)*, Sevilla.
- BLANCO, A. (1959): Excavaciones arqueológicas en la provincia de Jaén, *Boletín del Instituto de Estudios Giennenses* VI 22, 89-125.
- BLANCO, A. (1960): *Orientalia* II, *AEspA* XXXIII, 3-43.  
DOI: <https://doi.org/10.2307/334487>
- BUSTAMANTE, M. (2010): *El comercio de Terra Sigillata altoimperial en el Círculo del Estrecho. Balance historiográfico y líneas de investigación*, B.A.R.-I.S. 2148, Oxford.
- BUSTAMANTE, M. (2016): La cerámica pintada romana de tradición indígena en el territorio de Extremadura, *SPAL*, 25, Sevilla, 183-207.
- CABRÉ, J. (1925): *Arquitectura hispánica. El sepulcro de Toya*, Archivo Español de Arte y Arqueología 1, Madrid.
- CAMPOS, J. M. (1989): Análisis de la evolución espacial y urbana de Urso, *Estudios sobre Urso. Colonia Iulia Genetiva* (J. González, ed.), Sevilla, 281-302.
- CANO, J. I. (2003): *Informe Preliminar de la Intervención Arqueológica de Urgencia Parcela 2 de la UA SR-9, Córdoba (C/ Pintor Racionero Castro)*, Informe inédito.
- CÁNOVAS, A.; SÁNCHEZ, S.; VARGAS, S. (2006): La tumba de Caius Pomponius Statius en la necrópolis septentrional de Colonia Patricia, *AAC* 17.1, 279-296.
- CHAPA, T.; PEREIRA, J.; MADRIGAL, A.; MAYORAL, V. (1998): *La necrópolis ibérica de los Castellones de Ceal (Hinojares, Jaén)*, Sevilla.
- CHAVES, T. (ed.) (2002): *Urso. A la búsqueda de su pasado*, Osuna.
- CONDE, M. J. (1998): Estado actual de la investigación sobre la cerámica ibérica pintada de época plena y tardía, *REIb*, 3, 299-335.
- CUADRADO, E. (1981): Las necrópolis peninsulares en la Baja Época de la Cultura Ibérica, *La Baja Época de la Cultura Ibérica*, Madrid, 51-69.
- ESCACENA, J. L. (1987): *Cerámicas a torno pintadas andaluzas de la Segunda Edad del Hierro*, Tesis Doctoral, Universidad de Cádiz.
- ESCACENA, J. L.; BELÉN, M. (1994): Sobre las necrópolis turdetanas, *Homenaje al Profesor Presedo* (P. Sáez, S. Ordóñez, eds.), Sevilla, 237-265.
- FERNÁNDEZ SUTILO, L. (2016): *Espacios y usos funerarios en Onoba y su área de influencia entre los siglos II a.C.-VII d.C.*, Tesis Doctoral inédita.
- GARCÍA GELABERT, M. P.; BLÁZQUEZ, J. M. (1992): Las necrópolis oretanas de Cástulo. Paralelos con las necrópolis ibéricas del sureste, *Congreso de Arqueología ibérica. Las necrópolis (Madrid, 1991)*, Serie Varia, 455-472.
- GARCÍA MATAMALA, B. (2002): Enterramientos de tradición indígena en Corduba, *Espacios y usos funerarios en el Occidente Romano* (D. Vaquerizo, ed.), Córdoba, 275-296.
- GARCÍA MATAMALA, B. (2002-2003): Enterramientos de tradición indígena en Corduba, *AAC* 13-14, 251-278.
- GARCÍA MATAMALA, B.; LIÉBANA, J. L. (2006): Inhumaciones infantiles de tradición indígena en un sector de la necrópolis oriental de Corduba, *AAC* 17.1, 99-114.
- GARCÍA PRÓSPER, E.; GUÉRIN, P. (2002): Nuevas aportaciones en torno a la necrópolis romana de la Calle Quart de Valencia (s. II a. C.-IV d. C.), *Espacios y usos funerarios en el Occidente Romano* (D. Vaquerizo, ed.), Córdoba, 203-215.
- GARCÍA PRÓSPER, E.; POLO, M. (2020): Estudio bioantropológico y paleopatológico del sepulcretum de Llanos del Pretorio, *El sepulcretum de Llanos del Pretorio (Córdoba – España)* (D. Vaquerizo, A. Ruiz Osuna, M. Rubio, eds.), Edipuglia, 161-172.
- GUTIÉRREZ SOLER, L. M.; IZQUIERDO, I. (2001): Análisis arqueológico e interpretación de los espacios funerarios del oppidum de Giribaile en el territorio del Valle del Guadalimar (Jaén), *AEspA* 74, 35-52.  
DOI: <https://doi.org/10.3989/aespa.2001.v74.146>
- JIMÉNEZ DÍEZ, A. (2006): Contextos funerarios en la transición del mundo prerromano al romano en el sur peninsular, *Anarcor* 17.1, 67-98.
- JIMÉNEZ DÍEZ, A. (2008): *Imágenes Híbridas. Una aproximación postcolonialista al estudio de las necrópolis de la Bética*, Anejos de Archivo Español de Arqueología 43, Madrid.

- JIMÉNEZ SALVADOR, J. L.; RIBERA, B. (coords.) (2002): *Valencia y las primeras ciudades romanas de Hispania*, València.
- KAJANTO, I. (1982). *The Latin cognomina*, Giorgio Bretschneider.
- LÓPEZ JIMÉNEZ, A. (2006): *Informe y Memoria. Parcela 4 del Plan Especial SC-2a, 06*, Informe inédito.
- LÓPEZ JIMÉNEZ, A. (2009): A.A.P. Plan Especial SC2A Parcelas 3 y 4 (Córdoba), *Anuario Arqueológico de Andalucía* 2004.2, 313-325.
- LÓPEZ PALOMO, L. A. (2003): *Intervención Arqueológica de Urgencia en calles Joaquín Sama Naharro y Pintor Palomino*, Informe inédito.
- LÓPEZ PALOMO, L. A. (2004): *Actuación Arqueológica Preventiva en el solar de La calle Beatriz Enríquez, esq. con Avda. del Brillante, de Córdoba*, Informe inédito.
- MÁRQUEZ, C. (1998): *La decoración arquitectónica de Colonia Patricia. Una aproximación a la arquitectura y urbanismo de la Córdoba romana*, Córdoba.
- MÁRQUEZ, C. (2002), La ornamentación arquitectónica en ámbito funerario de Colonia Patricia, *Espacio y usos funerarios en el Occidente romano* (D. Vaquerizo, ed.), vol. II, Córdoba, 223-247.
- MARTÍN BLANCO, C. (2007): *Informe y Memoria de la Intervención Arqueológica Preventiva en la Calle Antonio Maura N° 10 de Córdoba*, Informe inédito.
- MERGELINA, C. (1944): Tugia. Reseña de unos trabajos, *Boletín del Seminario de Estudios de Arte y Arqueología* X, 13-32.
- MORET, P.; PRADOS, F.; FABRE, J.-M.; FERNÁNDEZ, E.; GARCÍA, F. J.; GONZÁLEZ, F.; JIMÉNEZ-VIALAS, H. (2017): La Silla del Papa: hábitat y necrópolis, *Mélanges de la Casa de Velázquez* 47 (1), 49-71.  
DOI: <https://doi.org/10.4000/mcv.7333>
- MURILLO, J. F.; JIMÉNEZ, J. L. (2002): Nuevas evidencias sobre la fundación de Corduba y su primera imagen urbana, *Valentia y las primeras ciudades romanas de Hispania* (J. L. Jiménez Salvador, A. Ribera, coords.), Valencia, 183-193.
- NÚÑEZ, E.; MUÑOZ, J. (1990): Excavaciones en la Necrópolis del Cerro de las Balas, Écija, *Anuario Arqueológico de Andalucía* 1988, Tomo III, 429-433.
- OLMOS, R.; ROUILLARD, P. (eds.) (2004): *La vajilla ibérica en época helénística (siglos IV-III al cambio de Era)*, *Actas del Seminario celebrado en la Casa de Velázquez*, Madrid.
- PEREIRA, J. (1988): La cerámica ibérica de la cuenca del Guadalquivir. I: Propuesta de clasificación, *TP* 45, 143-173.  
DOI: <https://doi.org/10.3989/tp.1988.v45.i0.608>
- PEREIRA, J. (1989): La cerámica ibérica de la Cuenca del Guadalquivir II. Conclusiones, *TP* 46, 149-159.  
DOI: <https://doi.org/10.3989/tp.1989.v46.i0.592>
- PEREIRA, J.; CHAPA, T.; MADRIGAL, A.; URIARTE, A.; MAYORAL, V. (eds.) (2004): *La Necrópolis ibérica de Galera (Granada)*, Madrid.
- PRADOS, F. (2016): La materialidad de la muerte en la necrópolis de Baeclo Claudia. Ritos y creencias en contexto, *AEA* 89, 273-291.  
DOI: <https://doi.org/10.3989/aespa.089.016.013>
- RAMALLO, S. F. (1989): *Cartagena, la documentación arqueológica*, Murcia.
- REMOLÀ, J. A. (2004): Arquitectura funeraria, *Las capitales provinciales de Hispania III, Tarragona, Colonia Iulia Vrbs Triumphalis Tarraco* (X. Dupré, ed.), Roma, 83-95.
- RUBIO, M. (2019): *Informe-Memoria del Seguimiento Arqueológico en Avenida Llanos del Pretorio N° 1 y 3 (Córdoba)*, Informe inédito.
- RUBIO, M. (2020): Las prácticas funerarias en la necrópolis de Llanos del Pretorio, *El sepulcretum de Llanos del Pretorio (Córdoba - España)* (D. Vaquerizo, A. Ruiz Osuna, M. Rubio, eds.), Edipuglia, 79-89.
- RUIZ, A.; MOLINOS, M. (1993): *Los iberos: análisis arqueológico de un proceso histórico*, Barcelona.
- RUIZ OSUNA, A. (2007a): *La monumentalización de los espacios funerarios en Colonia Patricia Corduba (ss. I a.C. - II d.C.)*, Córdoba.
- RUIZ OSUNA, A. (2007b): La historiografía local como herramienta de reconstrucción del mundo funerario en Colonia Patricia Corduba, *Spal* 16, 25-40.  
DOI: <https://doi.org/10.12795/spal.2007.i16.02>
- RUIZ OSUNA, A. (2010b): Viae sepulchrales y paisaje funerario, *El anfiteatro romano de Córdoba y su entorno urbano. Análisis arqueológico (ss. I-XIII d.C.)* (D. Vaquerizo, J. F. Murillo, eds.), Córdoba, 380-405.
- RUIZ OSUNA, A. (2020): Las estructuras de cremación del sepulcretum de Llanos del Pretorio, *El sepulcretum de Llanos del Pretorio (Córdoba - España)* (D. Vaquerizo, A. Ruiz Osuna, M. Rubio, eds.), Edipuglia, 91-104.
- SALINAS VILLEGAS, J. M. (2004): *Intervención Arqueológica de Urgencia. Plan Especial Manzana Banesto SR-13, vol. I, II y III*, Informe inédito.
- VAQUERIZO, D. (1994): Muerte y escultura ibérica en la provincia de Córdoba. A modo de síntesis, *REIb* I, 247-289.
- VAQUERIZO, D. (1999): *La cultura ibérica en Córdoba. Un ensayo de síntesis*, Córdoba.
- VAQUERIZO, D. (2001a): Formas arquitectónicas funerarias de carácter monumental en Colonia Patricia Corduba, *AEspA* 74, 131-160.  
DOI: <https://doi.org/10.3989/aespa.2001.v74.151>
- VAQUERIZO, D. (2001b): Recintos y Acotados funerarios en Colonia Patricia Corduba, *Madriditer Mitteilungen* 43, 169-205.
- VAQUERIZO, D. (2020): Parcelaciones funerarias en necrópolis cordubenses. Reflexiones a partir de dos hallazgos recientes, *AEspA* 93, 147-172.  
DOI: <https://doi.org/10.3989/aespa.093.020.007>
- VAQUERIZO, D.; SÁNCHEZ, S. (2008): Entre lo público y lo privado. La indicatio pedaturae en la epigrafía funeraria hispana, *AEspA* 81, 101-131.  
DOI: <https://doi.org/10.3989/aespa.2008.v81.42>

- VAQUERIZO, D.; RUIZ OSUNA, A.; RUBIO, M. (2019): Una nueva vía funeraria en Colonia Patricia (Córdoba): el sepulcrotum de Llanos del Pretorio, *Zephyrus* 83, 79-105.  
DOI: <https://doi.org/10.14201/zephyrus20198379105>
- VAQUERIZO, D.; RUIZ OSUNA, A.; RUBIO, M. (eds.) (2020): *El sepulcrotum de Llanos del Pretorio (Córdoba - España)*, Edipuglia.
- VARGAS, S. (2002): El conjunto funerario de La Constancia (Córdoba). Ajuares y cronología, *Espacios y usos funerarios en el Occidente Romano* (D. Vaquerizo, ed.), Córdoba, 297-310.
- VARGAS, S., HERNÁNDEZ, L. (2020): Los ajuares cerámicos en la necrópolis de Llanos del Pretorio, *El sepulcrotum de Llanos del Pretorio (Córdoba - España)* (D. Vaquerizo, A. Ruiz Osuna, M. Rubio, eds.), Edipuglia, 105-110.
- VARGAS, S., GUTIÉRREZ, M. I. 2004. Un ejemplo de los usos y costumbres funerarias de la Córdoba romana a través de un conjunto de tumbas de la necrópolis de la Avenida del Corregidor (Córdoba), *AAC* 15, 309-328.
- VEGAS, M. (1973): *Cerámica común romana del Mediterráneo occidental*, Barcelona.



# FIGURA DE BRONCE CON REPRESENTACIÓN DE HÉRCULES PROCEDENTE DE MÁLAGA

## *Bronze figure representing Hercules from Málaga*

ALEJANDRO PÉREZ-MALUMBRES LANDA<sup>1</sup> , JUAN ANTONIO MARTÍN RUIZ<sup>2</sup> 

(1) Junta de Andalucía. Delegación Territorial de Cultura y Patrimonio Histórico, Málaga. alejandro.perezmalumbres@juntadeandalucia.es  
(2) Universidad Internacional de Valencia. jamartinruiz@hotmail.com

---

### RESUMEN:

*Damos a conocer una figura de bronce con la representación de Hércules hallada en las excavaciones realizadas en los números 57 a 61 de la calle Granada en Málaga, donde se pudo documentar una zona de carácter industrial relacionada con diversas actividades productivas. Restaurada por el Instituto Andaluz de Patrimonio Histórico, donde se realizaron análisis metalográficos, esta pieza puede fecharse en el s. I a.C., por lo que resulta ser uno de los escasos bronces con la imagen del héroe griego que pueden datarse de los localizados en los antiguos asentamientos coloniales repartidos por el Estrecho de Gibraltar. Al haberse descubierto en una antigua colonia fenicia, como es Malaca, se estudia también su vinculación con el dios fenicio Melqart, cuyo sincretismo con Hércules es bien conocido, así como la posible existencia de su culto en esta ciudad.*

**Palabras clave:** bronce, Hércules, Melqart, fenicios, Málaga.

### ABSTRACT:

*We present a bronze figure with the representation of Hercules found in the excavations made at numbers 57 to 61 of Granada Street in Malaga, where an area of industrial character related to several activities could be documented. Restored by the Andalusian Institute of Historical Heritage, where metallographic analyzes were carried out, this piece can be dated to the 1st century BC, reason why it turns out to be one of the few bronzes with the image of the Greek hero that can be dated from those located in the old colonial settlements distributed by the Strait of Gibraltar. Having been discovered in an ancient Phoenician colony, as is Malacca, it is also studied its connection with the Phoenician god Melqart, whose syncretism with Hercules is well known, as well as the possible existence of his cult in this city.*

**Key words:** bronze, Hercules, Melqart, phoenicians, Málaga.



La estrecha relación que Hércules tuvo con las tierras situadas en el extremo occidente mediterráneo es sobradamente conocida, puesto que fue aquí donde el héroe heleno logró separar ambas orillas del Estrecho de Gibraltar creando así sus dos famosas columnas, Calpe y Abyla, que durante largo tiempo fueron consideradas el fin del mundo conocido, a la par que permitía de esta forma la comunicación entre las aguas del Atlántico y el Mediterráneo. Además, también lo vemos llevando a cabo dos de sus doce célebres trabajos ordenados por el rey Euristeo de Micenas, aunque dicho número puede variar puesto que en las puertas del santuario de Melqart en Cádiz solo se recopilaban una decena (Almagro-Gorbea y Torres Ortiz 2010: 195-198) y otros autores proponen que fueron hasta una veintena (Mederos Martín 2009: 198). En concreto, y desde el punto de vista canónico, se vinculan con su venida hasta el remoto occidente el décimo, que consistía en robarle los rebaños de bueyes a un gigante de tres cabezas llamado Gerión, y el undécimo en el que se le ordenaba hacer lo propio con las manzanas de oro del Jardín de la Hespérides (Gibbons 1975: 259-290; Humbert 1984: 120-128).

Esta circunstancia, junto con algunos aspectos de su figura como sucede con su resurrección, hace que no resulta extraño que con el paso de los siglos se fuese produciendo un proceso de sincretismo con el Melqart fenicio que, como no podía ser de otra forma, afectó a las colonias fenicias que antaño conformaron el Círculo del Estrecho. Ello ha propiciado que se hayan conservado esculturas, epígrafes y bronceos en los que se le alude o representa, si bien en el caso de estos últimos por desgracia la mayor parte de los hallados en estos establecimientos de origen colonial carecen de un contexto arqueológico con el que poder vincularlos y, por extensión, tener la posibilidad de situarlos en un ámbito temporal adecuado, circunstancia que vuelve a repetirse si nos referimos a un buen número de ejemplares procedentes de enclaves de ascendencia indígena.

No cabe duda de que esta falta de contexto confiere un indudable interés a la pieza que presentamos en estas páginas, al haber sido descubierta en el transcurso de unas excavaciones arqueológicas llevadas a cabo en la calle Granada de la capital malagueña, y que ya fue dada a conocer aunque solo sumariamente tras una primera limpieza y consolidación por los profesionales de Quibla Restaura, antes de la restauración a que fue sometida en el Instituto Andaluz de Patrimonio Histórico (Pérez-Malumbres Landa 2012: 382). Por ello creemos oportuno

realizar en estas páginas un estudio detallado de la misma, máxime cuando no solo ahora es posible apreciar sus características con mucha mayor claridad, sino que también disponemos de los resultados de los análisis metalográficos llevados a cabo en dicha institución y que por el momento resultan ser los únicos realizados a ejemplares metálicos de este tipo procedentes de enclaves coloniales.

Además, este hallazgo nos permite estudiar la presencia de esta figura mítica en el ámbito colonial fenicio del extremo occidente, así como su vinculación con el panteón religioso de estos navegantes orientales, en especial con el dios Melqart, haciendo hincapié en las figuras bronceas de este mítico personaje que han sido documentadas hasta el momento en estos yacimientos meridionales, cuyo número es sumamente escaso como tendremos ocasión de comprobar más adelante y que se incrementa con la publicación de este ejemplar malacitano.

## EL CONTEXTO ARQUEOLÓGICO

La figurilla fue descubierta el año 2008, en el transcurso de la segunda fase de la intervención arqueológica preventiva realizada siguiendo las indicaciones de la Delegación Provincial de la Consejería de Cultura de la Junta de Andalucía en la malagueña calle Granada, núms. 57 a 61 (fig. 1). Justamente por esta sinuosa calle transcurría el antiguo arroyo de El Calvario, conformando así el límite noroccidental de la zona ocupada por la primitiva colonia fenicia, cuyo cauce no fue cegado en su totalidad hasta la época califal y donde se ha sugerido que pudo haber existido un puerto natural (García Alfonso 2012: 353-354). La zona, hoy alejada de la costa pero que en la antigüedad se encontraba en las proximidades del mar, cuenta con una larga pervivencia en su ocupación que queda reflejada por la existencia de un área funeraria en la cercana calle Beatas de cronología ya tardía pues se fecha en el s. I a.C. (Martín Ruiz 2018: 53), así como por una zona comercial relacionada con el puerto desde sus orígenes.

Los trabajos arqueológicos emprendidos (fig. 2) han permitido documentar los restos de varias edificaciones de planta rectangular construidas con mampostería, cuyas estancias se articulan a ambos lados de una calle que contaba en torno a 1,5 m de ancho y que discurría en sentido aproximado N-S, de forma paralela a un arroyo cercano que hoy transcurre embovedado bajo la calle.

FIGURA DE BRONCE CON REPRESENTACIÓN DE HÉRCULES PROCEDENTE DE MÁLAGA

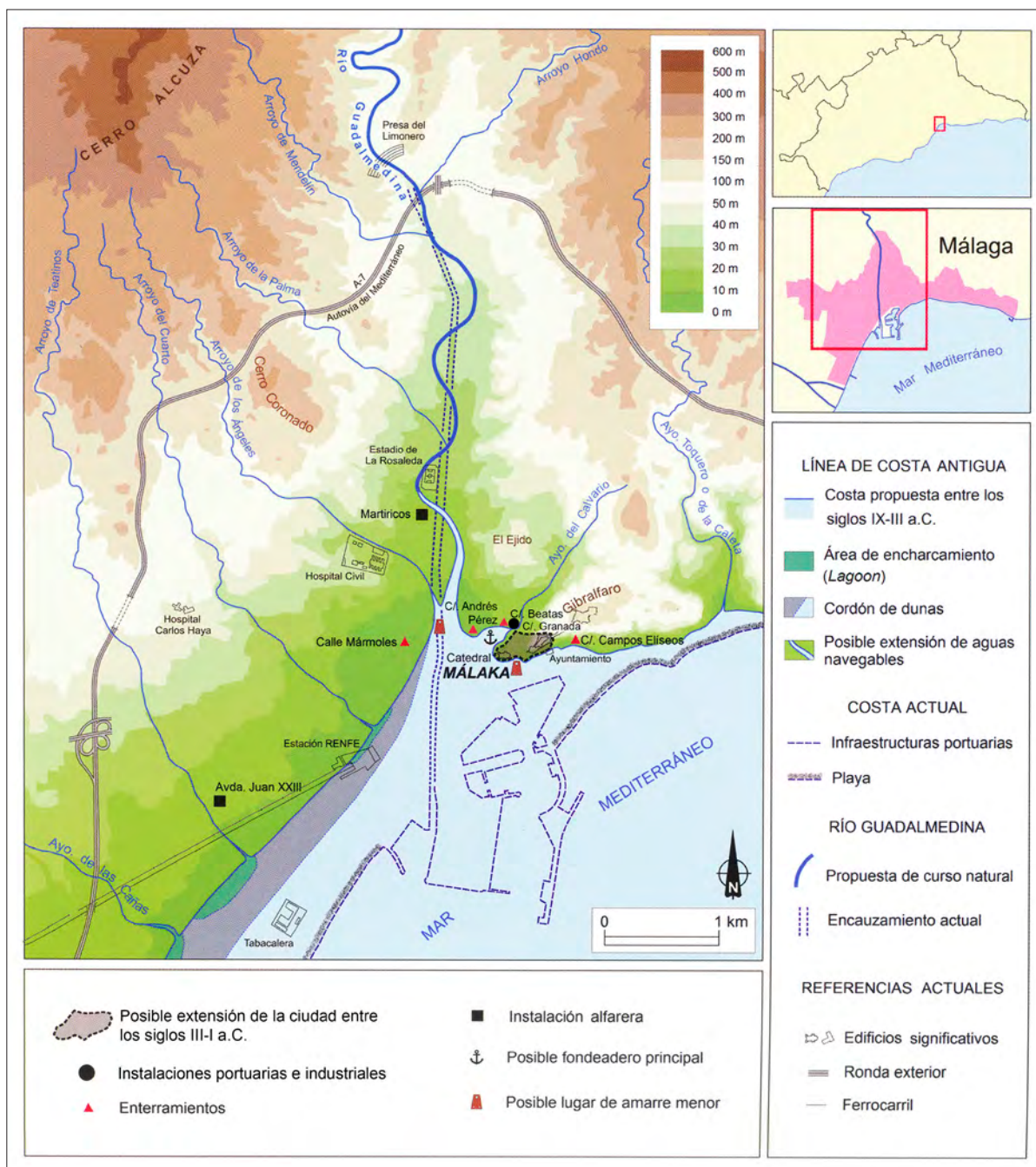


Fig. 1: Mapa de situación del solar en Málaga (Fuente: García Alfonso y Téllez Boigues).

Como podremos constatar, el contexto de su hallazgo ha sido datado en el s. I a.C., momento en el que sobre la primera fase constructiva del solar se produce una reordenación, acompañada de un recrecimiento de las cotas mediante rellenos que en diversos sectores del solar ha

podido comprobarse que se acompañan de la instalación de un sistema de drenaje del terreno, mediante la colocación de ánforas completas o bien en grandes fragmentos en posición horizontal y, a veces, acopladas entre sí. Así mismo, al S de la zona del hallazgo se exhumó una *cetaria*

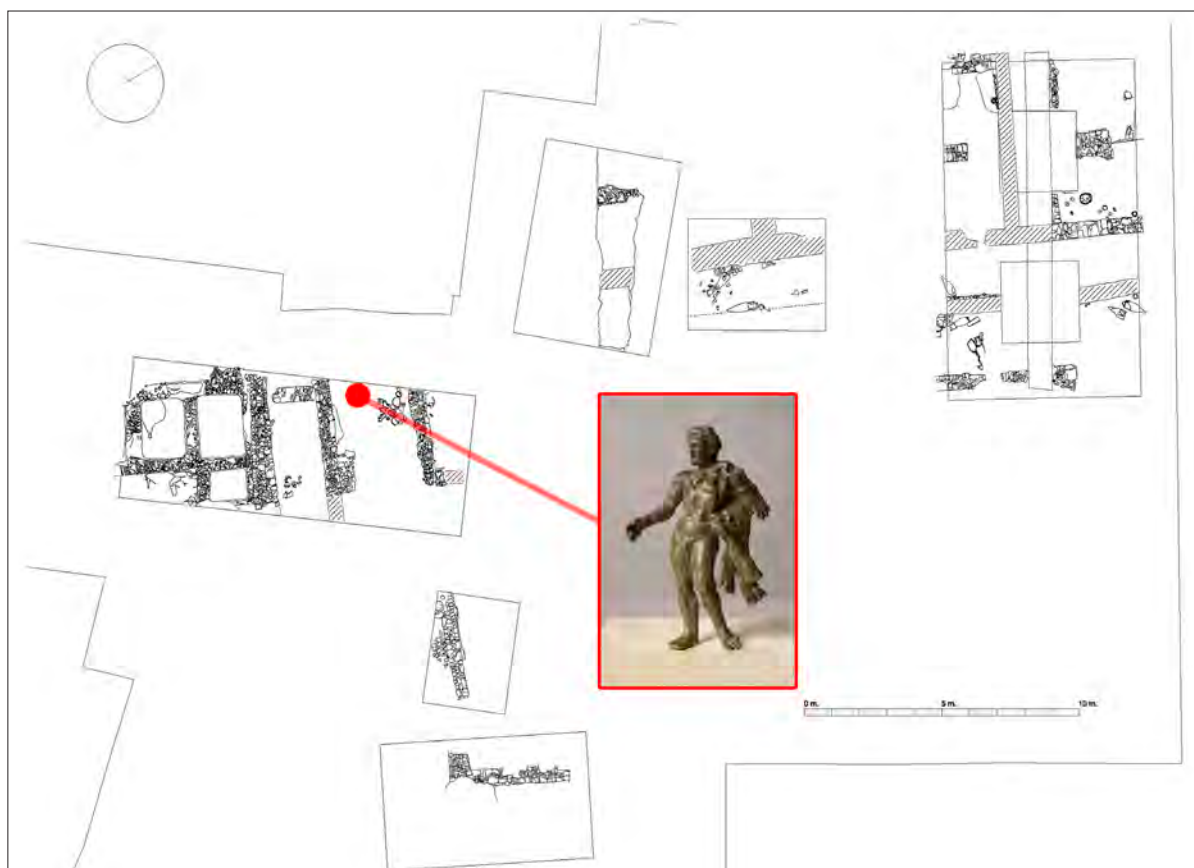


Fig. 2: Ubicación del hallazgo dentro de la excavación (Fuente: Pérez-Malumbres Landa y Téllez Boigues).

que resulta ser la más antigua conocida hasta el momento en la ciudad, integrada por cuatro piletas y a las que podemos añadir un espacio abierto con suelo de *opus signinum* que habría servido como zona de despique (Pérez-Malumbres Landa 2012: 364-372).

Justo al N de este conjunto, en un espacio alterado en los niveles superiores por la rotura de diversos pozos modernos y contemporáneos, documentamos un complejo estructural formado por varias estancias rectangulares, superpuestas en parte a la fase constructiva inferior, constituido por los muros UEM 6282 (superpuesto al 6304 anterior) y UEM 6316, mientras que más al S el muro UEM 6276 del nivel inferior es amortizado y sustituido por un potente muro de nueva planta, la UEM 6250, que conforma un espacio más estrecho que la distribución anterior (2,80 respecto a 3,80 m), cerrando dicho espacio a la citada calle por el O la UEM 6194, presente ya en la fase anterior. Como en otros muros de esta fase en su construcción se emplearon mampuestos muy bien ajustados de variado tamaño y

naturaleza (caliza, esquistos...), destacando por su tamaño un sillarejo de travertino en el frente N de la UEM 6250. Del mismo muro, al igual que en otros del mismo nivel situados más al N y en el corte 3, recuperamos diversos fragmentos de ánforas insertos como mampuestos en su estructura, incluyendo bases y bordes de ánforas Mañá C2, fragmentos de campaniense A tardía y *murex*, así como un fragmento de un elemento arquitectónico cerámico que formaba parte de un capitel jónico, el cual presenta decoración de un *kymation* de cinco ovas enteras enmarcadas por moldura y separadas por flechas, conservándose el plano inferior con astrágalo liso, mientras que en el plano superior faltan las volutas y el ábaco.

El nivel de uso asociado queda establecido en torno a las cotas 7,31 y 7,34 m snm, siendo en el relleno preparatorio al mismo donde cabe destacar la aparición en la UE 6281 de una estatuilla de bronce representando a Hércules, así como un fragmento de cuenco cerámico con cabeza femenina en relieve en la unidad coetánea UE 6268. Entre los materiales recuperados en esta fase cabe

Fig 3: Vistas de la figura de Hércules (Fuente: Bronce romano con representación de Hércules del Museo de Málaga. Archivo IAPH. Autor: E. Fernández Ruiz).



comentar la presencia de piezas de tradición fenicia junto a otras de clara raigambre itálica. Entre ellos podemos citar las ánforas grecoitálicas, Dressel IC y 7/11, Haltern 70 y Lomba do Canho 67, si bien las más numerosas son sin duda las Mañá C2b, a veces con defectos de cocción, además de vasos campanienses de las clases A tardía y B. Otro tanto sucede con las cerámicas de paredes finas,

varias de ellas pertenecientes a la forma Mayet VIII, que en algunos casos pueden incluso tratarse de imitaciones locales, sin olvidar las jarras y los morteros con repié, a los que cabría sumar las cerámicas de cocina como las cazuelas con borde bífido con desgrasante muy fino de mica, y algunos fragmentos de vasos de barniz rojo pompeyano (Pérez-Malumbres Landa 2012: 378-382).

Así pues, en consideración a los materiales asociados, parece factible situar temporalmente el establecimiento de este nivel de uso en el s. I a.C.

A tenor de los hallazgos realizados podemos señalar que las estructuras exhumadas en este punto de la ciudad muestran un claro carácter productivo relacionado con las industrias salazonera y alfarera (Pérez-Malumbres Landa 2012: 388), las cuales se encontrarían aledañas al puerto (García Alfonso 2017: 353-354), así como comercial, como hemos visto atestiguado por los abundantes materiales de importación. Con posterioridad a dicha ocupación se documenta la continuidad de la industria alfarera junto a otras actividades productivas, tales como varias *pistrina* (Pérez-Malumbres Landa 2018: 91), en tanto algunos indicios parecen avalar que aquí se trabajaron materiales como el vidrio o el hueso.

## EL BRONCE

Se trata de una figura maciza de bronce, conservada actualmente en el Museo Arqueológico de Málaga con el número de inventario A/DJ14417/6281.020. Con una altura de 14 cm, un ancho de 8 cm y un grosor de 3 cm, se aprecia un vástago en el pie derecho que debió servir para insertarlo en una peana y sustentarlo verticalmente. Representa a Hércules joven, desnudo e imberbe, tocado con una corona de laurel o una cinta en la cabeza (fig. 3), de muy cuidada factura pues los detalles de la nariz, ojos, cabello, etc. muestran un buen acabado, si bien hay una cierta desproporción que lo aleja de los cánones clásicos. Especialmente, los brazos y piernas aparecen representados muy robustos, quizás como un modo de celebrar su fuerza física. Mientras que su pierna derecha se muestra recta, la izquierda se flexiona, en tanto su brazo derecho se adelanta sin que quepa descartar que portase algún objeto puesto que presenta una pequeña fractura en su mano, de modo que le falta el pulgar y las dos primeras falanges del dedo índice. Este objeto podría muy bien ser una manzana, lo cual es plenamente factible puesto que este fruto hace acto de presencia en estas figurillas a partir de la época helenística, como sucede cronológicamente con este ejemplar (Palagia 1990: 57). También hay representaciones en las que sostiene un vaso para beber, un *skyphos* o *kantharos*, tipo conocido como *Hercules Bibax* o *Diouxumenos*, si bien en este caso la mano suele estar en posición horizontal. Sin embargo, dado que es posible encontrar paralelismos con otra figura hallada en Durostorum

que representa a Hércules joven con la mano en actitud de saludo (Georgiev 1995: 261), o con aquella otra también en actitud de reposo que procede de Iasos (Malgieri 2008: 24) y que vemos igualmente en el bronce descubierto en Sagunto (Oria Segura 1998: 219-220), hace que no podamos descartar que pudiera estar tendiendo su mano abierta en actitud de saludo, máxime cuando ésta se encuentra situada verticalmente. Su brazo izquierdo se dobla en su codo para apoyar su mano en la cintura, sosteniendo una clava que no llega a apoyar en el suelo y la piel del león de Nemea que cubre el hombro y se anuda alrededor del cuello, donde se pueden apreciar las garras. Así mismo, cabe señalar una fisura que lo atraviesa horizontalmente un poco más arriba de la cintura, que puede ser debida a un defecto en la fundición.

Como se ha indicado, estos bronce muestran una gran variedad formal en su ejecución (Oria Segura 1998: 80), lo que explica que no encontremos un paralelo fielmente exacto para esta figura. Genéricamente puede incluirse dentro de la Variante B del tipo II de la clasificación establecida por Fernández Uriel (2007: 288), en la que se incluyen los bronce de Hércules con clava y leonté, bien sobre el hombro o sobre uno de los brazos.

La realización por el Instituto Andaluz de Patrimonio Histórico de análisis arqueometalúrgicos, junto con algunas radiografías, aportan interesantes datos sobre esta pieza, teniendo en consideración que en todo caso se recurrió al uso de técnicas no destructivas a fin de asegurar su correcta preservación. En consecuencia, su composición fue examinada mediante Fluorescencia de Rayos X, siendo además tres las muestras estudiadas en las que se empleó la técnica de isótopos de plomo mediante espectrometría de masas con fuente de plasma acoplada inductivamente, tomando muestras de peso en cantidad menor a un gramo, una de la cabeza, otra de la nalga derecha y una última del tobillo, las cuales evidenciaron que se trata de un bronce ternario con alto contenido de plomo e impurezas de hierro y estroncio.

Así, la primera muestra indicaba la existencia de un 46,77% de cobre, un 39,98% de plomo y un 10,19% de estaño, habiéndose detectado impurezas de hierro (2,74%) y estroncio (0,31%). Por su parte, en la segunda se detectó una composición formada por un 48,36% de cobre, 41,46% de plomo, 8,33% de estaño, 1,66% de hierro y 0,2% de estroncio. Finalmente, la tercera de las muestras evidenció que estaba constituida por un 30,84% de cobre, un 55,01% de plomo y un 7,65% de estaño, junto con un 6,51% de hierro, todo lo cual queda reflejado en

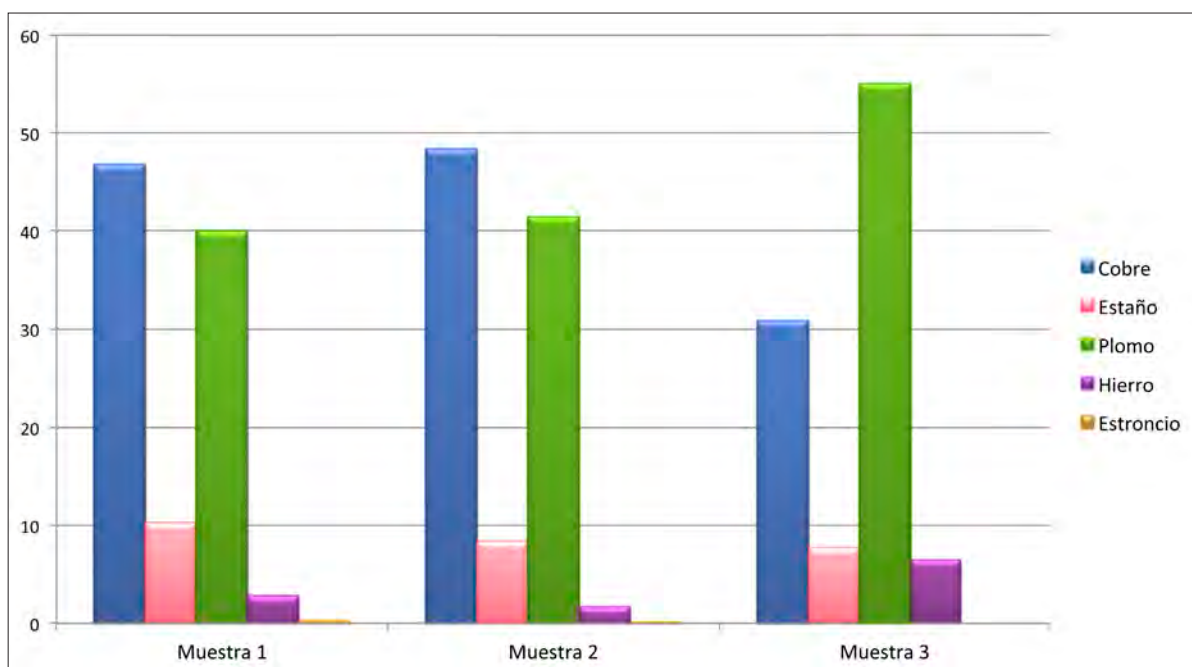


Fig 4: Composición de las distintas muestras analizadas (Fuente: elaboración propia a partir de Archivo IAPH).

el siguiente gráfico (fig. 4). Estos datos vienen a poner de manifiesto que la figura fue elaborada de tal forma que el molde estaba dirigido con la cabeza hacia arriba, lo que explica que el porcentaje de plomo sea mayor en los pies que en la parte superior (Hunt Ortiz 2014: 9-19).

Además, cabe indicar que esta elevada concentración de plomo resulta muy apropiada si se desea conseguir una colada lo bastante fluida como para permitir una mejor calidad a la hora de ejecutar los detalles de la obra, lo que por otro lado podría hablarnos de la utilización de un molde de arcilla a la cera perdida para su fabricación. De todo lo dicho puede deducirse que el artesano que elaboró este objeto dominaba las labores metalúrgicas a la perfección, si bien no estamos todavía en condiciones de estipular el lugar en el que fue fabricado.

### HÉRCULES COMO MELQART: SU PRESENCIA EN LAS COLONIAS FENICIAS DEL CÍRCULO DEL ESTRECHO

Como es sabido, durante la Antigüedad se produjo un proceso de sincretismo en virtud del cual la figura de Heracles/Hércules, nacido en la ciudad de Tebas según Hesíodo (*Teog.* 530), fue asimilada a la del dios fenicio

Melqart, el más importante de la ciudad de Tiro (Jensen 2002: 102-108) y al que se le atribuía la invención de la escritura y la industria de la púrpura, siendo así mismo garante del comercio y la navegación con un marcado carácter guerrero (Poveda Navarro 1999: 30). En el extremo occidente su culto está constatado en el célebre templo gaditano, donde incluso se situaba su sepultura tras haber sido muerto en Libia por Tifón, consistente en un monumento con varios pisos que remataba en una pirámide coronada por una escultura del dios fenicio en bronce dorado que era visible desde lejos y que fue destruida en el s. XII d.C., la cual ha sido datada de forma aproximada en época helenística con relación a la presencia bárcida aunque con bastante probabilidad sobre alguna estructura de época anterior (Almagro-Gorbea y Torres Ortiz 2010: 67-86; Almagro-Gorbea 2014: 169-182),

Como no puede ser de otra forma, su imagen está difundida en estos asentamientos de origen oriental como vemos, por ejemplo, en los escarabeos de los ss. V-IV a.C. procedentes de la isla de Ibiza (Vives i Escudero 1917: 70-71; Fernández y Padró 1982: 149-154; Velázquez *et al.* 2015: 111-113). Además, en la investigación sobre el tema se suele aceptar que una serie de bronces fenicios datados entre los ss. VIII-VII a.C., algunos de ellos hallados en Cádiz o Huelva y conocidos con el

nombre de *smiting gods*, serían representaciones de Melqart siguiendo un modelo estrictamente oriental (Corzo Sánchez 2005: 38; Zambrano Valdivia 2010: 228), aunque otros investigadores han puesto de manifiesto la dificultad que existe a la hora de atribuirlos a una divinidad en concreto a pesar del elevado número de candidatos que se han sugerido (Jiménez Ávila 2002: 282-285). En este sentido se ha planteado un posible préstamo iconográfico ya que estas figuras en origen eran imágenes de Baal y Reshef, e incluso de cierto sincretismo con esta última deidad como demostraría una placa de bronce de los ss. V-IV a.C. descubierta en la cueva ibicenca de Es Cuiram, en la que ambos aparecen mencionados (Poveda Navarro 1999: 33).

Hasta el momento las imágenes más antiguas conocidas de esta deidad se remontan al s. VIII a.C. como vemos en la estela de Barhadad (Bonnet 1992: 186), y cuyo culto fue renovado e institucionalizado por Hiram I de Tiro, ciudad de la que era el dios principal, celebrándose su *egersis* entre febrero y marzo de cada año (Martín Ruiz 2008: 13), la cual aparece representada en un vaso de piedra del s. IV a.C. procedente de Sidón, siendo interesante recordar la existencia en Cartago de un *mqm 'lm*

“resucitador de la divinidad” (Bonnet 1992: 286). En Cádiz se llevaba a cabo esta celebración religiosa con una duración de tres días, en los que se entonaban cantos fúnebres y en cuyo final se procedía a quemar una efigie del dios sobre un hipocampo hecha de madera (Almagro-Gorbea y Torres Ortiz 2010: 101).

Sin embargo, las investigaciones realizadas en los últimos años han puesto de manifiesto cómo desde el s. VI, y sobre todo a lo largo del V a.C., su iconografía oriental fue siendo sustituida por otra de tipo griego (Oria Segura 1998: 27-28; 2002: 227; Poveda Navarro 1999: 35), proceso que según algunos autores habría tenido lugar en la isla de Chipre (Bonnet 1992: 287). Quizás unos párrafos de Herodoto (II, 44) aludan a este hecho al indicar que algunos griegos lo adoraban como dios y otros como héroe. No obstante, ello no es obstáculo para que todavía en su segunda mitad encontremos alguna figurilla que, aunque sigue el modelo fenicio anterior, muestra cierta evolución por cuanto aparece desnudo sin que porte ya el típico tocado y sí una piel de león sobre sus hombros (Fernández Gómez 1985: 370-375). De todas formas esculturas de la calidad del denominado Efebo de Mozia, considerada una imagen de Hércules-Melqart del s. V a.C., ponen claramente de manifiesto la plena asunción por parte fenicia de estos modelos helenos (Moreno 1995: 547-550), modelos que a partir de la época helenística serán los imperantes como pone claramente de manifiesto un bronce de Biblos datado en el s. I d. C. conservado en el *British Museum* (Palagia 1990: 57-58). Su presencia fue tan notable que algunas ciudades lo eligieron como emblema de los anversos de sus acuñaciones monetarias, según cabe advertir en Gadir (Alfaro Asins 1988: 35-36), Carteia (Chaves Tristán 1979: 21-23) o Sexs (Alfaro Asins 1986: 76 y 79).

Son varias las figuritas de bronce en las que se representa a este héroe que han sido halladas en las antiguas colonias fenicias repartidas por el Círculo del Estrecho. Una de ellas maciza con 7,2 cm de altura, conservada en una colección particular (fig. 5), procede de Ceuta donde se halló en 1920 sin contexto y, por consiguiente, de cronología incierta, aun cuando parece que fue extraída sin control de alguna excavación emprendida a comienzos del pasado siglo (Hita Ruiz y Villada Paredes 2017: 1402). Desnudo, barbado y en pie con la clava en la mano derecha y la *leonté* sobre la cabeza, no se descarta que portara una manzana en su mano derecha (Rebuffat 1971: 183-184; Rodríguez Oliva 1988: 907-908). Otro tanto acontece con otra pieza procedente de Carteia que se



Fig 5: Bronce con representación de Hércules de Ceuta (Fuente: Rodríguez Oliva).



Fig 6: Figura de Hércules hallada en Cádiz en el s. XVIII (Fuente: Rodríguez Oliva).

custodia en el Museo Arqueológico Nacional cuya altura alcanza los 8 cm en la que se representó de pie, desnudo con barba y tocado con una corona de laurel, la mano derecha extendida con una manzana y clava y *leonté* en la mano izquierda (Oria Segura 1993: 177; 1996: 212), enclave donde incluso se han documentado téglulas con estampillas en las que se lee su nombre (Rodríguez Oliva 1988: 910).

Algo similar sucede en el caso gaditano donde se han descubierto dos bronce, si bien de uno de ellos, en la actualidad perdido (fig. 6), se duda incluso de su fecha de aparición, puesto que si algunas fuentes nos indican que fue arrojado por las mareas en la playa de Santi Petri en 1631, otras lo sitúan en el año 1755 con ocasión del famoso terremoto de Lisboa (García y Bellido 1963: 86; Rodríguez Oliva 1988: 912-913). Sea como fuere, esta pieza formó parte de la colección que el gaditano Guillermo Tyrry, Marqués de la Cañada, tenía en El Puerto de Santa María, siendo conocida solamente por un dibujo que él mismo remitió al anticuario francés Conde de Caylus (Rodríguez Oliva 1990: 94-95) en el que se aprecian ciertas libertades por parte de su autor, apareciendo citada en una relación publicada en 1795 por Pedro Alonso



Fig 7: Imagen de Hércules de Cádiz (Fuente: Martín Ruiz).

O'Crouley (Sánchez Cantón 1943: 220). En ella se advierte que estaba como todas las conocidas hasta ahora en pie, barbado y desnudo con la *leonté* sobre la cabeza y anudada al cuello y la cadera (Oria Segura 1996: 211).

La segunda pieza está fundida en hueco con ojos incrustados y fue descubierta en 1984 en la zona de Santi Petri conservándose hoy en día en el Museo Arqueológico Provincial de Cádiz, a la que le faltan parte de las piernas, aun cuando la izquierda se conserva hasta casi la rodilla, y el brazo derecho a partir del hombro. También en pie, desnudo y barbado con la mano extendida en la que se ha sugerido habría portado una manzana; en su torso musculoso se grabaron las letras *H(erculis) G(aditani)* (fig. 7) por lo que se ha sugerido pudo pertenecer al propio templo y que sería una copia de la escultura

de Hércules realizada por Mirón en la isla de Samos, el cual se ha datado en época alto imperial (Corzo Sánchez 2004: 41-45; Oria Segura 1996: 201-211; 2002: 226). También está presente en otro importante centro norteafricano como es Lixus que se expone en el Museo de Rabat (fig. 8), alcanzando los 35 cm de altura fundido en hueco de gran calidad artística y técnica, si bien en esta ocasión responde a un modelo diferente por cuanto se le representa en plena lucha contra Anteo a quien desde atrás sujeta por ambos brazos, mostrándolos a ambos desnudos y barbados con aspecto musculoso (Blázquez Martínez 2008: 183-186), ya que no es seguro que otro fragmento corresponda a la *leonté* de otra pieza (Rebuffat 1971: 186) por lo que preferimos no incluirlo.

En el caso concreto de Malaca las excavaciones arqueológicas desarrolladas a lo largo de las últimas décadas han permitido constatar la existencia de restos de un templo datado hacia finales del s. VII e inicios del VI a.C. (Escalante Aguilar *et al.* 2012: 89-94), pero sin que hasta el momento tengamos evidencias seguras de que tuviera

lugar un culto a Melqart, máxime cuando se han hallado altares con forma de piel de toro que se viene aceptando simbolizarían a otro dios como es Baal (Escacena Carrasco e Izquierdo de Montes 2000: 15-25). Y tampoco tenemos información acerca de cuáles pudieron ser las advocaciones a las que estuvo dedicado un templo tetrástil que vemos representado en algunas de las monedas acuñadas en la propia ciudad (Mora Serrano 1981: 38-39).

Sin embargo, no debemos olvidar que algunos autores han sugerido que la efigie que vemos representada en los anversos de las monedas acuñadas en su Período I sería una imagen de esta deidad (Moreno Pulido 2014-2015: 159-161), e incluso que sería uno de los dioses acuñados en las emisiones posteriores (Blázquez Martínez 2006: 94-95). A ello podemos sumar ya en época alto imperial romana la presencia de varios fragmentos de mármol blanco de las canteras de la sierra de Mijas que podrían pertenecer a una escultura de Hércules, tal vez hallados en los derribos de la alcazaba efectuados a comienzos de la pasada centuria, la cual pudo formar parte de una fuente y que se ha datado hacia mediados del s. II d.C. (Baena del Alcázar 1984: 166-167; Oria Segura 1996: 200-201). Así mismo, el carácter salutífero de esta figura heroica puede apreciarse en la inscripción ubicada en una torre situada junto a la puerta llamada del “Vizcocho” de la Alcazaba y realizada en un pedestal de mármol blanco, el cual debió sustentar una estatua de plata que un tal *Caius Veilius Domitius* mandó erigir a Marte como señal de agradecimiento a Hércules Augusto por haberse curado de una herida que le habían infringido (García de la Leña-Medina Conde 1790, fol. 17; Sánchez de la Torre 2016: 87).

Ello nos lleva a plantearnos cómo debemos interpretar la aparición de esta figura broncea intentando así ampliar la escasa información que tenemos sobre la relación de Hércules-Melqart con esta urbe. Lo parcial de una excavación preventiva no ha permitido determinar con claridad a qué estaban destinadas las distintas dependencias excavadas en la calle Granada, aun cuando en una primera instancia podríamos considerar su posible uso como tiendas. Sin embargo, la cercanía de unas instalaciones tan insalubres como son las piletas de salazón y posiblemente también hornos cerámicos, nos hace dudar de esta posibilidad por lo que parece más aconsejable valorarlas como estancias vinculadas con esta *cetaria*, tal vez unos almacenes e incluso sin descartar tampoco que alguna pudiera ser una dependencia para uso del personal. Si tenemos en cuenta que a estos bronceos se les viene asignando una finalidad cultural (Oria Segura 1998: 79-80),



Fig 8: Grupo bronceo de Hércules y Anteo procedente de Lixus (Fuente: Blázquez Martínez).

cabe preguntarnos si este Hércules-Melqart podría haber pertenecido a las personas que trabajaron en estas instalaciones industriales, enmarcándolo en un culto privado de forma similar a lo que vemos en la mina de Mazarrón que estuvo en actividad entre los ss. I a.C. y II d.C., y donde en 1840 se descubrió una figurita broncea de Hércules (Oria Segura 1998: 216). También podemos traer a colación el ejemplar de Carteia que ha sido puesto en relación con cultos privados (Oria Segura 1996: 212), así como otro hallado en Itálica sin un contexto conocido del que, no obstante, no se descarta que incluso pudiera haber formado parte de un larario al igual que se documenta en Pompeya (Oria Segura y Escobar Pérez 1994: 447 y 458). Este hecho los diferenciaría de los dos hallados en Cádiz que se vincularían con ofrendas marinas hechas en honor de la divinidad, y que son bien conocidas en la ciudad en relación con lugares de culto (Corzo Sánchez 1999: 30-37), mientras que desconocemos por completo el contexto en el que se hallaron los de Ceuta, Carteia y Lixus.

Además, aun siendo notorio su sincretismo con Melqart como hemos expuesto, tampoco debemos olvidar que nos hallamos en una fecha en la que las creencias romanas ya eran bien conocidas en la ciudad. En este sentido Hércules era para los romanos un eficaz garante del comercio, existiendo en Roma una advocación de Hércules en tal sentido, el conocido como *Hércules ponderum* o guardián de los pesos (Aubet Semmler 1987: 242; Pérez Zurita 2011: 118 y 141; Rodríguez Martorell y Ruiz de Arbulo 2016: 174-175).

La falta de contexto que muestran la totalidad de estas figuritas bronceas, circunstancia que como es lógico dificulta asignarles una datación, otorga mayor interés al ejemplar que ahora presentamos ya que puede fecharse con seguridad en el s. I a.C. En este sentido el ejemplar malacitano que ahora estudiamos resultaría ser el más antiguo documentado hasta el momento, puesto que los dos gaditanos se datan en época alto imperial sin que se haya ofrecido una datación para las restantes.

## CONCLUSIONES

Esta figura de bronce ternario con un alto contenido de plomo hallada en Malaca constituye una de las pocas imágenes bronceas de Hércules procedente de un yacimiento de origen fenicio que puede asociarse a un contexto arqueológico definido. Además, su hallazgo viene a incrementar el escaso volumen de bronceos de este tipo

que han sido documentados en el área del Círculo del Estrecho, puesto que resulta ser el sexto ejemplar conocido, la mayoría de ellos en su vertiente septentrional. Aunque la información de carácter cronológico que tenemos sobre este tipo de bronceos en esta zona es sumamente escasa, habida cuenta la falta de contexto de la práctica totalidad, esta pieza malacitana sería la más antigua de todas ellas por cuanto se dataría en el s. I a.C.

La pieza muestra cierta calidad artística y técnica en su fabricación, si bien no sucede lo mismo en lo referente a su composición metalográfica dado su elevado contenido en plomo, tendente a facilitar el proceso de fundición al mismo tiempo que se abarataba el producto final y facilitaba una mejor realización de los detalles artísticos. Creemos que lo más probable es que quepa relacionarla con algún culto privado, quizás incluso relacionado con el personal de estas instalaciones productivas, ya que cabe descartar por completo que se trate de una zona donde se llevó a cabo alguna actividad cultural de carácter público o funerario.

Si nos detenemos en examinar estos bronceos hallados en las antiguas colonias fenicias del extremo occidente en su conjunto podemos advertir un detalle de interés, y es que esta figura malacitana resulta ser la única por el momento que no se muestra barbado, o lo que es lo mismo, que presenta un aspecto juvenil. Además, todos ellos se muestran de pie, ninguno sedente, los de Ceuta y el perdido de Cádiz con la *leonté* cubriendo la cabeza. Ninguna de estas figuras ha sido hallada en áreas de enterramiento por lo que no pueden vincularse con el mundo funerario, sino que las encontramos en asentamientos o en lugares de culto íntimamente vinculados con éstos. Tal vez los ejemplares gaditanos recuperados en ambos casos en el mar pudieran haber formado parte de prácticas rituales continuidad de otras constatadas para fechas más antiguas.

Dada su aparición en una ciudad fundada por los navegantes fenicios, no parece que exista problema alguno para relacionarlo con Melqart, cuyo sincretismo por otra parte está bien constatado en el mundo antiguo. Así mismo, conociendo la veneración que los romanos sintieron por Hércules no debe extrañarnos que su culto estuviera presente en Malaca durante la etapa romana alto imperial y, como vemos ahora, también fue conocido en la última centuria antes del cambio de era. Aun cuando no es seguro, no resulta descartable que al menos ya desde finales del s. III a.C., fecha de la primera emisión monetaria de la ciudad, Melqart fuese uno de sus dioses titulares.

En definitiva, podemos concluir diciendo que se trata de una pieza que viene a ampliar el reducido *corpus* de estas representaciones hercúleas en bronce conocidas en esta zona, siendo por el momento la única que aporta datos seguros sobre su contexto, cronología y composición metalográfica, lo que le confiere un indudable interés.

## BIBLIOGRAFÍA

- ALFARO ASINS, C. (1986): Observaciones sobre las monedas de Sexs en el MAN, *Almuñécar. Arqueología e Historia*, III (F. Molina Fajardo, ed.), Granada, 75-104.
- ALFARO ASINS, C. (1988): *Las monedas de Gadir/Gades*, Madrid.
- ALMAGRO-GORBEA, M. (2014): La tumba de Melqart' del Herakleion de Gadir, *Madrider Mitteilungen* 54, 159-202.
- ALMAGRO-GORBEA, M.; TORRES ORTIZ, M. (2010): *La escultura fenicia en Hispania*, Madrid.
- AUBET SEMMLER, M. E. (1987): *Tiro y las colonias fenicias de occidente*, Barcelona.
- BAENA DEL ALCÁZAR, L. (1984): *Catálogo de las esculturas romanas del Museo de Málaga*, Málaga.
- BLÁZQUEZ MARTÍNEZ, J. M. (2006): La religiosidad en el mundo fenicio del sur de Hispania, *Mainake* 28, 79-104.
- BLÁZQUEZ MARTÍNEZ, J. M. (2008): Mitos griegos en Lixus (Mauritania Tingitania). Los bronces de Hércules en lucha con Anteo, y de Teseo con el Minotauro, *Anuario de Estudios Atlánticos* 54, II, 169-194.
- BONNET, C. (1992): Melqart, *Dictionnaire de la Civilisation Phénicienne et punique* (E. Lipinski, ed.), Bruxelles, 285-287.
- CORZO SÁNCHEZ, R. (1999): *Venus marina gaditana*, Sevilla.
- CORZO SÁNCHEZ, R. (2004): Sobre la imagen del Hércules Gaditano, *Romula* 3, 7-62.
- CHAVES TRISTÁN, F. (1979): *Las monedas hispano-romanas de Carteia*, Madrid.
- ESCACENA CARRASCO, J. L.; IZQUIERDO DE MONTES, I. (2000): Altares para Baal, *Arys: Antigüedad, religiones y sociedades* 3, 11-40.
- ESCALANTE AGUILAR, M. M. (2012): El santuario fenicio de Malaka, *Diez años de arqueología fenicia en la provincia de Málaga (2001-2010)* (E. García Alfonso, ed.), Sevilla, 87-103.
- FERNÁNDEZ, J. H.; PADRÓ, J. (1982): *Escarabeos del Museo Arqueológico de Ibiza*, Madrid.
- FERNÁNDEZ GÓMEZ, F. (1985): Un Melkart de bronce en el Museo Arqueológico de Sevilla, *Homenaje al prof. Martín Almagro Basch*, Madrid, vol. III, 369-375.
- FERNÁNDEZ URIEL, P. (2007): Bronces de los lararios domésticos, *Metalisteria en la Hispania romana* (C. Fernández Ibáñez, ed.), Santander, 277-300.
- GARCÍA ALFONSO, E. (2017): Aproximación a los fondeaderos fenicios de la bahía de Málaga y su evolución: paleogeografía y arqueología, *Mazarrón II. Contexto, viabilidad y perspectivas del barco B-2 de la bahía de Mazarrón. En homenaje a Julio Mas García* (M. Martínez, J. M. García, J. M. Blánquez, A. Iniesta, eds.), Madrid, 341-383.
- GARCÍA DE LA LEÑA, C.; MEDINA CONDE, C. (1790): *Conversaciones historicas malagueñas. Descanso II en que se da la Malaga romana, y sarracénica*, Málaga.
- GARCÍA Y BELLIDO, A. (1963): Hércules Gaditanus, *AEspA* 36, 70-153.
- GEORGIEV, P. (1995): Bronze Figurines of Heracles from Moesia inferior, *Acta of the 12 Congress of Ancient Bronzes* (A. Gerhatl-Witteveen, ed.), Nijmegen, 261-265.
- GIBBONS, S. E. (1975): *The Labours of Heracles, a literary and artistic examination*, Thesis of Doctor, London University.
- HERODOTO (1982): *Los nueve libros de la Historia*, Barcelona.
- HESÍODO (1975): *Teogonía, Trabajos y Días*, Barcelona.
- HITA RUIZ, J. M.; VILLADA PAREDES, F. (2017): Museo de Ceuta: pasado, presente y futuro, *Boletín del Museo Arqueológico Nacional* 35, 1399-1414.
- HUMBERT, J. (1984): *Mitología griega y romana*, Barcelona.
- HUNT ORTIZ, M. A. (2014): *Memoria final de un bronce romano con representación de Hércules*. Museo de Málaga, informe inédito, Sevilla.
- JENSEN, R. (2002): Melqart and Heracles: A Study of Ancient Gods and their influence, *Studia Antiqua* 2 (2), 101-109.
- JIMÉNEZ ÁVILA, J. (2002): *La toréutica orientalizante en la Península Ibérica*, Madrid.
- MALGIERI, A. (2008): Un bronzetto di Hercules e il culto di Ercole a Iasos, *Blasos* 14, 24-29.
- MARTÍN RUIZ, J. A. (2010): Hiram I, rey de Tiro, *Herakleion. Revista Interdisciplinar de Arqueología e Historia del Mediterráneo* 3, 7-35.
- MARTÍN RUIZ, J. A. (2018): *Malaca. De colonia fenicia a municipio romano*, Ronda.
- MEDEROS MARTÍN, A. (2009): La fundación de la ciudad de Gadir y su primer santuario urbano de Astarté-Afrodita, *Isimu. Revista sobre Oriente Próximo y Egipto en la Antigüedad* 13, 183-207.
- MORA SERRANO, B. (1981): Sobre el templo de las acuñaciones malacitanas, *Jábega* 35, 37-42.
- MORENO, P. (1995): Il Melqart di Mozia: dal dio di Tiro all'Eracle di Lissipo, *I Fenici: ieri oggi domani. Ricerche, scoperte, progetti* (E. Acquaro, ed.), Roma, 545-552.
- MORENO PULIDO, E. (2014-2015): Imágenes arcaizantes de Melqart: figurando el Heracles egipcio. Nuevas hipótesis de interpretación desde la iconografía monetaria malacitana y mauritana, *Byrsa. Scritti su'Il antico oriente mediterraneo* 25-26/27-28, 149-183.
- ORIA SEGURA, M. (1993): El Hércules de Carteia en época imperial, *Almoraima. Revista de Estudios Campogibraltareños* 9, 163-174.

- ORIA SEGURA, M. (1996): *Hércules en Hispania: una aproximación*, Barcelona.
- ORIA SEGURA, M. (2002): Religión, culto y arqueología: Hércules en la Península Ibérica, *Ex Oriente Lux: las religiones orientales en la Península Ibérica* (E. Ferrer Albelda, ed.), Sevilla, 219-243.
- ORIA SEGURA, M.; ESCOBAR PÉREZ, B. (1994): Dioses romanos en bronce de la Bética occidental. Propuesta de interpretación, *Arqueología en el entorno del Bajo Guadiana* (J. M. Campos, J. Aurelio Pérez, F. Gómez, eds.), Huelva, 441-467.
- PALAGIA, O. (1990): Two statues of Hercules in the Forum Boarium in Rome, *OJA* 9 (1), 51-70.  
DOI: <https://doi.org/10.1111/j.1468-0092.1990.tb00215.x>
- PÉREZ-MALUMBRES LANDA, A. (2012): Contextos comerciales de la transición de la Malaka fenicia a la romana en los solares de calle Granada, 57-61, *La etapa neopúnica en Hispania y el Mediterráneo centro occidental: identidades compartidas* (B. Mora Serrano, G. Cruz Andreotti, coords.), Sevilla, 361-389.
- PÉREZ-MALUMBRES LANDA, A. (2018): Sello cerámico de panadero de época romana con representación del Dextrarum Iunctio, procedente de Málaga, *Albhari. Entre Oriente y Occidente. Revista Independiente de Estudios Históricos* 5, 83-98.
- PÉREZ ZURITA, A. (2011): Control y administración de pesos y medidas en las ciudades del Imperio romano (Pars Occidentalis), *Gerión* 29, 1, 123-148.  
DOI: [https://doi.org/10.5209/rev\\_GERI.2011.v29.n1.39048](https://doi.org/10.5209/rev_GERI.2011.v29.n1.39048)
- POVEDA NAVARRO, A. M. (1999): Melqart y Astarté en el occidente mediterráneo: la evidencia de la presencia ibérica (siglos VIII-VI a.C.), *De Oriente a Occidente: los dioses fenicios en las colonias occidentales, XII Jornadas de Arqueología fenicio-púnica* (B. Costa, J. H. Fernández, eds.), Eivissa, 25-61.
- REBUFFAT, R. (1971): Bronzes antiques d'Hercule à Tanger et à Arzila, *Antiquités Africaines* 5, 179-191.  
DOI: <https://doi.org/10.3406/antaf.1971.926>
- RODRÍGUEZ MARTORELL, F.; RUIZ DE ARBULO, J. (2016): Un aequipondium de peso excepcional y la balanza pública del puerto de Tarraco, *AEspA* 89, 163-180.  
DOI: <https://doi.org/10.3989/aespa.089.016.008>
- RODRÍGUEZ OLIVA, P. (1988): Pequeños bronceos romanos de Ceuta, *Actas del Congreso Internacional El Estrecho de Gibraltar* (E. Ripoll Perelló, ed.), Ceuta, vol. I, 907-917.
- RODRÍGUEZ OLIVA, P. (1990): Los bronceos romanos de la Bética y la Lusitania, *Los bronceos romanos en España: catálogo de la exposición*, Madrid, 91-102.
- SÁNCHEZ CANTÓN, F. J. (1943): La primera colección española de cuadros y estatuas que tuvo un catálogo impreso, *Boletín de la Real Academia de la Historia* 111, 217-227.
- SÁNCHEZ DE LA TORRE, M. N. (2016): *La religión romana en Hispania*, Tesis Doctoral, Universidad Complutense de Madrid.
- VELÁZQUEZ, F.; LÓPEZ-GRANDE, M. J.; MEZQUIDA, A.; FERNÁNDEZ, J. H. (2015): *Nuevos estudios sobre escarabeos hallados en Ibiza*, Eivissa.
- VIVES I ESCUDERO, A. (1917): *Estudios de Arqueología cartaginesa. La necrópoli de Ibiza*, Madrid.
- ZAMBRANO VALDIVIA, L. C. (2010): Estatuillas de Melkart, Cádiz y Huelva. *Puertos fenicios del Atlántico* (M. D. López de la Orden, E. García Alfonso, eds.), Sevilla, 228-229.





# OCUPACIÓN ROMANA DE LA CUEVA DE LOS TORILES (CARRIZOSA, CIUDAD REAL): PRIMEROS TESTIMONIOS Y TRASCENDENCIA

## *Roman frequentation of the Los Toriles cave (Carrizosa, Ciudad Real): first testimonies and implications*

PEDRO R. MOYA-MALENO<sup>1</sup> , MACARENA BUSTAMANTE-ÁLVAREZ<sup>2</sup> , ALBERTO DORADO ALEJOS<sup>3</sup> ,  
AITZIBER SUÁREZ-BILBAO<sup>4</sup> , MARCOS GALEANO-PRADOS<sup>5</sup> , DANIEL GARCÍA-MARTÍNEZ<sup>6</sup> 

- (1) Dpto. Prehistoria, Hª Antigua y Arqueología. Universidad Complutense de Madrid. Centro de Estudios del Campo de Montiel. preyesmo@ucm.es  
(2) Dpto. Prehistoria y Arqueología. Universidad de Granada. UNIARQ-Lisboa. mbustamante@ugr.es  
(3) Dpto. Prehistoria y Arqueología. Universidad de Granada. doradoalejos@ugr.es  
(4) Dpto. Geología. Universidad del País Vasco. aitziber.suarez@ehu.eus  
(5) marcos.ga.pr@gmail.com  
(6) Dpto. Biodiversidad, Ecología y Evolución. Universidad Complutense de Madrid. Centro de Estudios del Campo de Montiel. dangar29@ucm.es

### RESUMEN:

*Se dan a conocer los primeros testimonios de frecuentación romana de la cueva de Los Toriles (Carrizosa, Ciudad Real), una gruta con una larga ocupación animal y humana, cuanto menos desde el Pleistoceno y hasta nuestros días. Aunque en la primera campaña de excavación de la cueva sólo se han podido constatar algunos fragmentos de cerámica, estos son lo suficientemente relevantes como para confirmar el conocimiento y entrada a la cavidad durante la Antigüedad. Además del análisis tipológico y arqueométrico de las cerámicas, esta novedosa cronología permite reflexionar sobre estos y otros casos similares de época romana, acerca de la infrarrepresentación del fenómeno en la meseta Sur, así como sobre el contexto inmediato del ager laminitanus.*

**Palabras Clave:** Los Toriles, Carrizosa, cueva, terra sigillata, Ager laminitanus.

### ABSTRACT:

*This paper presents the first testimonies of Roman frequentation of the Los Toriles cave (Carrizosa, Ciudad Real), a cave with a continued animal and human occupation, at least since the Middle Pleistocene and up to the present day. Although in the first campaign of excavation of the cave only a few ceramic fragments have been found, these are relevant enough to confirm the knowledge and occupation of the cavity during Antiquity. In addition to the typological and archaeological analysis of the ceramics, this unexpected chronology allows us to reflect on these and other similar cases from the Roman period, on the underrepresentation of the phenomenon in the Southern Plateau, as well as on the immediate context of the ager laminitanus.*

**Key words:** Los Toriles, Carrizosa, cave, Terra Sigillata, Ager laminitanus.



La cueva de Los Toriles se encuentra en el costado oriental del valle de cañada de Pozo Hondo (Carrizosa, Ciudad Real), en una garganta de unos 40 m de ancho que conduce hasta el cercano río Cañamares (fig. 1).

La cueva que nos centra es una cavidad en “L” con una profundidad sumada de unos 29 m. Su piso se va elevando hasta la zona más profunda explorada, a más de 330 cm respecto a la superficie del exterior (fig. 2). Se ha definido cuatro subáreas que se han denominado visera, boca, codo o sala, todas con material arqueológico o paleontológico, siendo en las dos últimas donde se localizaron las piezas que tratamos en este trabajo (García-Martínez *et al.* 2020).

Las primeras lecturas geológicas de la cueva la datan hace más de 70.000 años –fecha mínima por U-Th– sobre un sistema kárstico generado sobre estratos paleolacustres y travertínicos. La primera campaña que se desarrolló en el

sitio en 2019 ha confirmado la presencia de comunidades de la Edad del Bronce, pero la cronología se dilata ampliamente antes y después de la Prehistoria Reciente (García-Martínez *et al.* 2020; Megía-García *et al.* 2020). En este trabajo se valora la posible frecuentación del sitio en época romana a tenor de unos restos cerámicos que analizamos sucintamente en las páginas venideras.

## LOS MATERIALES ROMANOS: CARACTERÍSTICAS TIPOLOGICAS Y ARQUEOMÉTRICAS

Si bien durante la campaña de 2019 se han documentado restos cerámicos a mano y a torno que, con visión amplia de este tipo de producciones y de las comunidades que convivieron durante varios siglos a caballo del cambio de era, podrían adscribirse también a cronologías

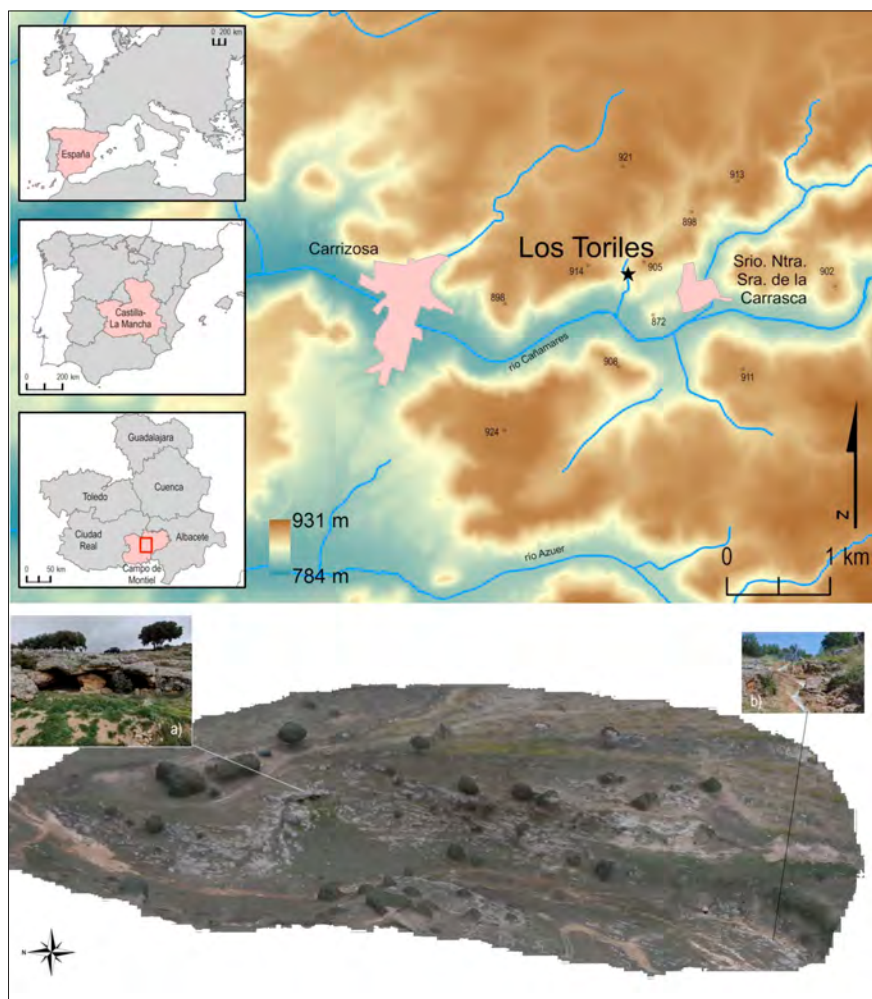


Fig. 1: Mapa de situación de la cueva de Los Toriles (arriba) y recreación fotogramétrica de la Cañada de Pozo Hondo (abajo) con detalle de la entrada (a) y del arroyo (b).

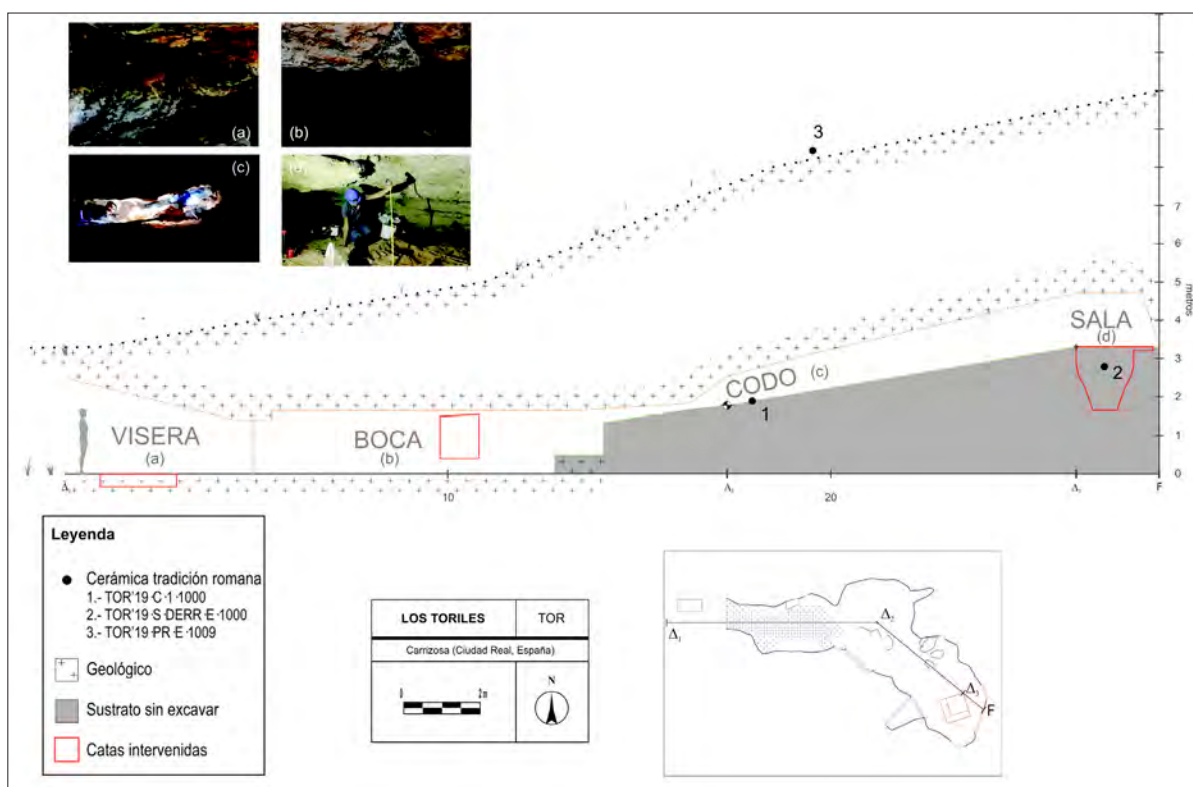


Fig. 2: Sección y planta aproximadas de la cueva de Los Toriles, con áreas de intervención y de localización de las cerámicas estudiadas en el artículo (con indicación con punto negro nº 1-3).

hispanorromanas, lo fragmentado del registro y la prudencia invitan a centrarnos en aquellos materiales cuya factura es inequívocamente de tradición romana. Sirvan estas evidencias para plantear nuevas hipótesis de partida de una cueva de la que, hasta el momento, se conocía únicamente su ocupación prehistórica.

Estos son tres fragmentos, dos en *terra sigillata* procedentes del interior de la cueva (TOR'19·C·1·1000 y TOR'19·S·DERR·E·1000) y uno de cerámica de imitación tipo Peñaflor localizado en los alrededores de la cavidad (TOR'19·PR·E·1009; 2) (fig. 3). Su presencia en un contexto de difícil acceso como éste apunta directamente a la frecuentación del sitio y no a hallazgos casuales ni a procesos postdeposicionales.

#### TOR'19·C·1·1000

Este fragmento de *terra sigillata* fue localizado en el codo de la cueva debajo de un gran bloque caído de la techumbre (fig. 2). Es un fragmento de fondo plano de ca. 13 cm de diámetro y pie elevado con leve indicación

al exterior. La pasta es de tonalidad marronácea oscura (Cailleux R-17) muy depurada, amasada y contiene algún nódulo calcáreo de granulometría media (fig. 4, d; fig. 5, a). Presenta un recubrimiento sinterizado marrón rojizo (Cailleux R-17) (fig. 3, 2) brillante fruto de una elevada cocción que raya la vitrificación favoreciendo una adherencia perfecta con la arcilla (fig. 4, a-c). Cuenta con amplio espesor de recubrimiento que, incluso, generó que el alfarero imprimiera sus huellas dactilares en el anillo del pie al sacar la pieza del recipiente que contuvo dicho recubrimiento líquido (fig. 4, f). Queda para el futuro analizar en detalle este paleodermatoglifo.

El análisis macroscópico de la pieza revela una producción cuidada, realizada en ambientes oxidantes. La matriz, de tono pardo, presenta una importante cantidad de pequeñas inclusiones (ca. 5%) inferiores a 1 mm e identificadas como posibles fragmentos de CaO, junto a pequeñas reducciones de tonos oscuros que podrían relacionarse con pequeños contenidos de materia orgánica (fig. 5, a). La orientación de estas inclusiones es oblicua debido al modelado de la vasija mediante torno. Por su

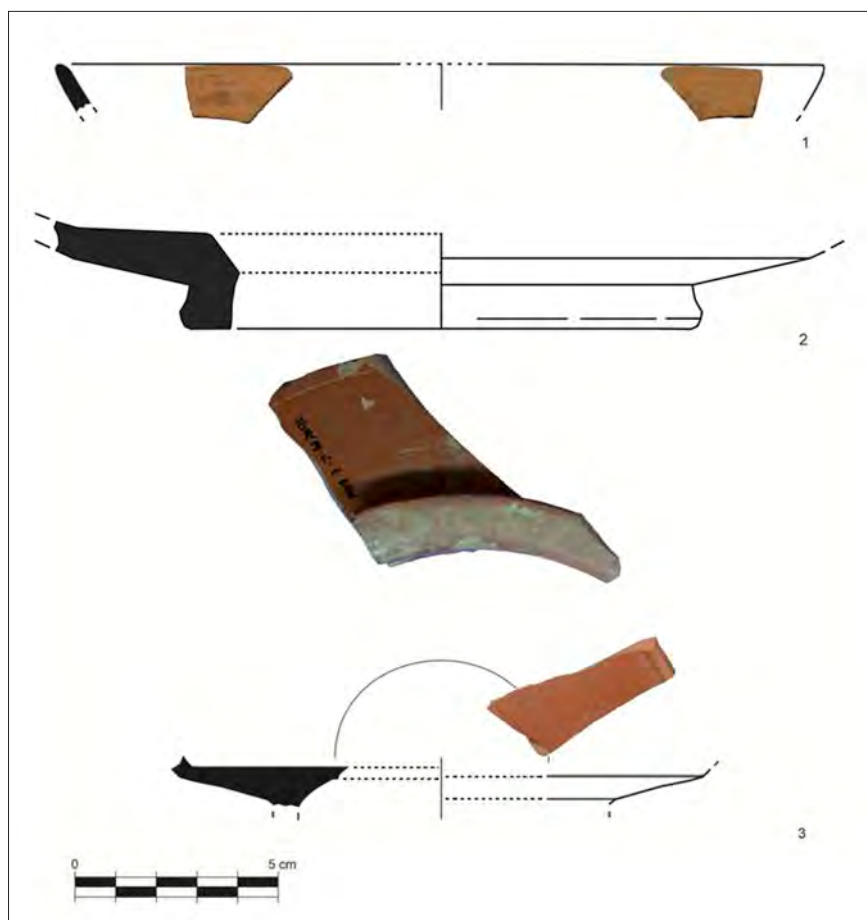


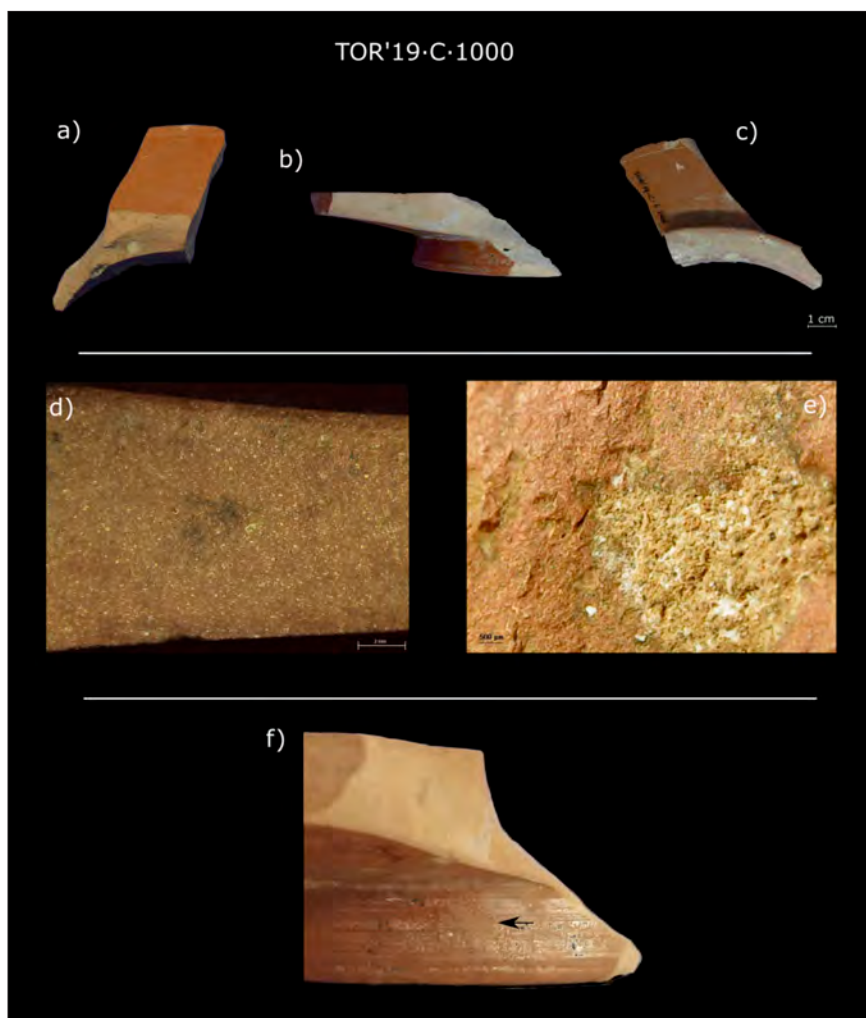
Fig. 3: Lámina de formas de los fragmentos cerámicos de tradición romana documentados en la primera campaña de la cueva de Los Toriles: 1) TOR'19-PR-E-1009; 2) TOR'19-C-1-1000; y 3) TOR'19-S-DERR-E-1000.

parte, los pocos poros que aparecen aquí son de muy pequeño tamaño y están relacionados con el proceso de secado y cocción, localizados preferentemente en la zona central de la matriz. El engobe documentado en sendas superficies presenta una alta calidad y buen grado de sinterización. Sin embargo, pueden observarse pequeñas vacuolas cuyo origen podemos vincular a las temperaturas alcanzadas durante el proceso de cocción en el horno (fig. 5, b).

Interpretativamente, estamos ante un gran plato de pie elevado de clara conformación augustea vinculado tipológicamente a las conocidas páteras del servicio 1 de Haltern (*Consp.* 10-11). Sin embargo, a pesar de la adopción morfológica de una forma itálica, la arcilla posee importantes nódulos cálcicos algo que se aleja de la realidad arqueométrica de estas producciones. Ante esto, proponemos como hipótesis de trabajo que el lugar de origen de esta singular pieza fueran los talleres su-cursales itálicos en Lyon. Sin embargo, esta propuesta

necesitará ser confirmada a partir de análisis comparativos arqueométricos con piezas procedentes de este taller. Recordemos que, hasta el momento, uno de los más conocidos, el de la Muette, ha sido definido como un taller galo que manufactura al *italico modo confectae*. Este taller surge como respuesta de la demanda que la cerámica itálica estaba teniendo en este arco mediterráneo que supuso no sólo la transferencia de conocimientos técnicos a esta zona sino también un posible trasvase de *figuli* así como de instrumental o incluso arcillas (Picon y Garmier 1974; Picon y Lasfargues 1974; Genin *et al.* 2002; Desbat 2000). La presencia de esta cerámica itálica está atestiguada por los sellos que evidencian su origen (Beltrán 1990: 67). Además, se cimienta en la aparición de otras producciones de la zona más fáciles de adscribir macroscópicamente como son las paredes finas ampliamente difundidas en el arco NO peninsular (Morillo y García Marcos 2003: 298-300).

Fig. 4: Fotografías generales y macroscópicas de la cerámica TOR'19·C·1000.



En el entorno del enclave que estamos analizando se ha atestiguado como paralelo, una posible variante de las *Consp.* 10-11 en el enclave hispanorromano de Libisosa, Lezuza (Poveda y Sánchez 2018: 279).

Ante esto podemos concluir que estamos ante una gran pátera itálica de producción provincial cuya manufactura se debió focalizar en el cambio de era. En relación a su función, claramente, estamos ante un recipiente destinado al servicio e ingesta de alimentos.

#### TOR'19·S·DERR·E·1000

Este fragmento apareció en la cata de la “Sala”, en el lugar más profundo de la cueva al que hoy día tenemos acceso (fig. 2). Apareció dentro de un paquete que se derrumbó del perfil E de la cata durante la excavación.

Aunque no se sabe exactamente de qué nivel artificial procede, no cabe duda de su presencia entre los niveles 0-V (Prehistoria Reciente-Edad Contemporánea).

La cerámica es un fragmento de la carena entre el cuerpo y la base de un plato. En la parte superior se observa la presencia de una incisión central que marcaría un círculo de unos *ca.* 51 mm que podría haber delimitado el *sigillum*. Presenta recubrimiento marrón anaranjado mate (Cailleux R-40) y craquelado exterior fruto de una fuerte temperatura de cocción (fig. 6, e). Su pasta está muy depurada, con apenas nódulos calcáreos (fig. 5, c; fig. 6, e). Su coloración es marronácea clara (Cailleux N-47). La circunferencia que traza la carena permite definir un diámetro de base que alcanza los *ca.* 12,3 cm. El fondo es claramente plano hasta que llega a la carena, la cual se presenta exvasada (fig. 3, 3).

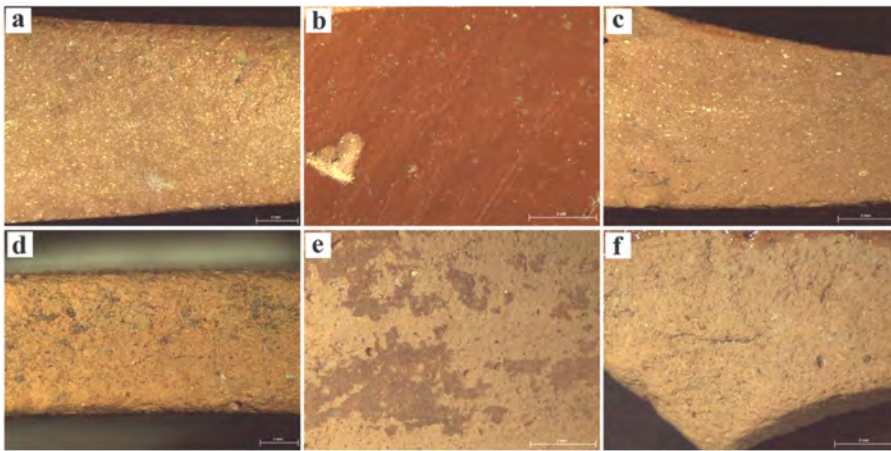


Fig. 5: Fotografías mediante lupa estereoscópica de las matrices y engobes de TOR'19-C-1-1000 (a-b), TOR'19-S-DERR-E-1000 (c) y TOR'19-PR-E-1009 (d-f).

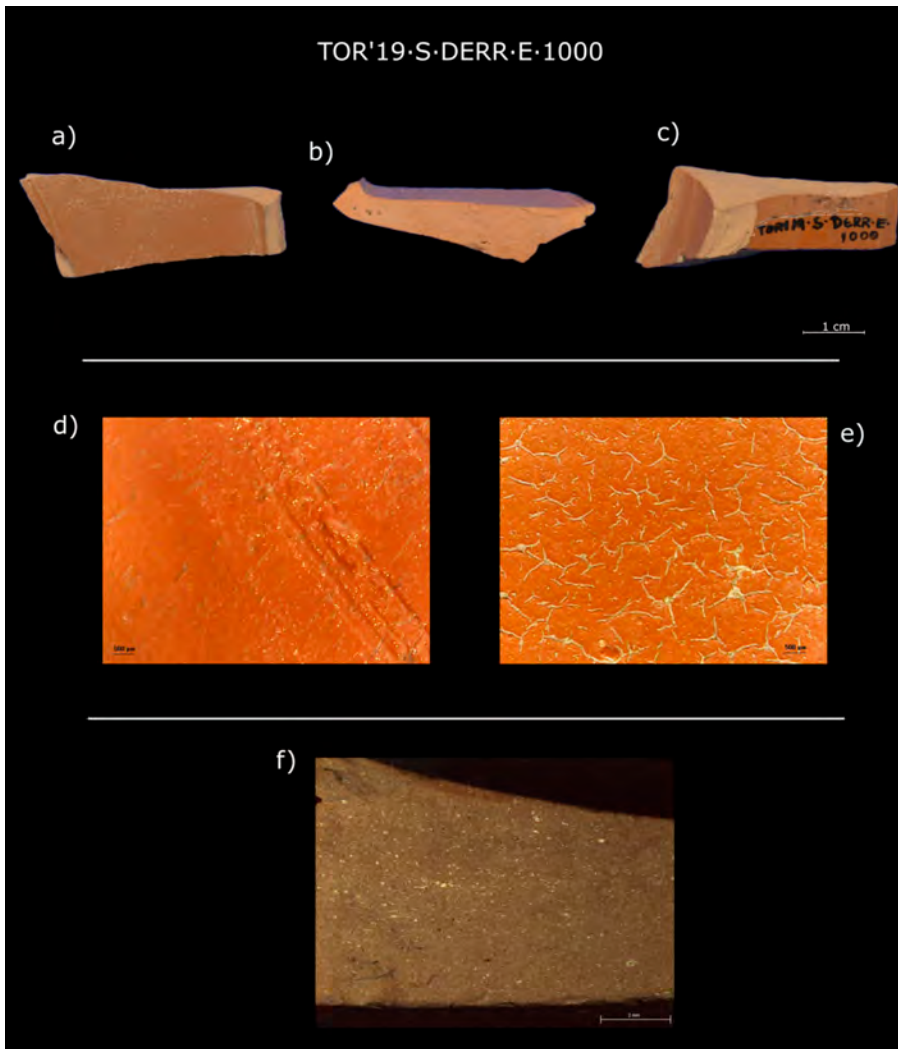
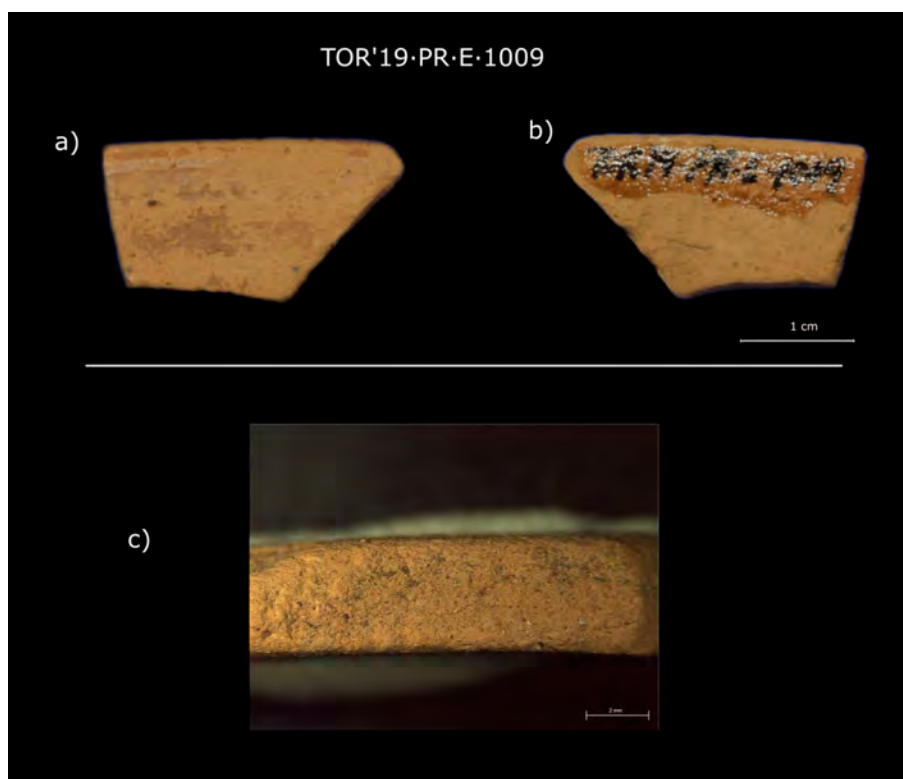


Fig. 6: Fotografías generales y macroscópicas de la cerámica TOR'19-S-DERR-E-1000.

Fig. 7: Fotografías generales y macroscópicas de la cerámica TOR'19 PR-E 1000.



Macroscópicamente es una cerámica muy similar a la anterior. Estamos ante una producción cuidada, realizada en ambientes oxidantes. La matriz es parda – con tintes ligeramente más claros – presenta menores cantidades de inclusiones (<2%), inferiores a 0,1 mm e igualmente identificadas como posibles fragmentos de CaO (fig. 5, c). Igualmente, la orientación de estas inclusiones es oblicua debido al modelado de la vasija mediante torno. Se observan algunas estrías en las zonas externas, también relacionadas con el proceso de secado y cocción, localizados preferentemente en la zona central de la matriz. El engobe documentado presenta una alta calidad con escasas vacuolas que, como en el caso anterior, son fruto de la fase de secado y cocción.

A pesar del grado de obliteración podemos concluir que se trata de un plato de producción gálica, concretamente de los talleres de La Graufesenque. La dificultad que presenta la ausencia de elementos diagnósticos –como bordes o fondos– obstaculizan su posible adscripción cronológica, aunque no descartamos que formara parte de un plato del tipo Drag. 18, una forma ya constatada en otros puntos de la provincia (Fuentes 2015: 143 ss).

#### TOR'19-PR-E-1009

Pequeño fragmento de labio aparecido en superficie por encima de la cueva durante una inspección del terreno. Presenta un recubrimiento externo con doble acabado, al interior brillante y adherente (Cailleux P-20) y al exterior parcialmente perdido (fig. 7, a-b). La pasta es granulosa y de coloración rosácea (Cailleux M-20) (fig. 5, d; fig. 7, c). Tampoco mantiene perímetro suficiente como para conocer su diámetro con exactitud, si bien rondará los 10-15 cm (fig. 3, 1).

Este vaso difiere de las producciones anteriores en el análisis macroscópico. Cocido en ambientes oxidantes, la matriz ofrece unas tonalidades ligeramente más anaranjadas en la que se documentan un mayor número de desgrasantes (5-7 %), identificados como cuarzos (<0,3 mm) de morfología redondeada, y algunas micas y nódulos de CaO de forma accesoria heterogéneamente distribuidas en la matriz (fig. 5, d). La orientación preferencial de estos desgrasantes tiende a ser horizontal, que podría vincularse a producciones realizadas a molde lo que, por otro lado, permite señalar también las estrías formadas a lo largo de la pared y de forma paralela a esta. El engobe aplicado en este caso es de mala calidad, lo que ha provocado que se

perda casi totalmente. Este problema podría tener relación con las menores temperaturas alcanzadas en el horno, lo que habría provocado que tal película no se fijara adecuadamente (fig. 5, e-f).

A pesar de sus reducidas dimensiones, concluimos que estamos ante una cerámica de imitación tipo Peñaflor de la forma del tipo Mart. Ib. Tradicionalmente se ha establecido su dispersión en la zona S peninsular pero los nuevos hallazgos perfilan una distribución más allá del espacio meridional. Para la región castellano-manchega los hallazgos, aunque limitados, permiten hablar de un comercio puntual en estos momentos. Al respecto, los procedentes de las Minas de Diógenes (Solana del Pino) (Domergue 1967: 76; Martínez 1989), Sisapo (Zarzalejos 1995) o Lezuza (Poveda 1994) son claros ejemplos de este fenómeno. La procedencia de este fragmento podría apuntar a los talleres de la Bética suroccidental por su carácter pulverulento, bien del área de Celti (Keay y Romo 2001) o bien de la bahía de Cádiz (Bustamante y López Rosendo 2014). En relación a la cronología, los análisis desarrollados en Augusta Emerita focalizan este tipo de formas a fines del periodo julioclaudio (Bustamante-Álvarez 2013: 69).

## RESULTADOS GEOQUÍMICOS

La caracterización geoquímica de las tres muestras mediante un espectrómetro PANalytical modelo Zetium de Fluorescencia de Rayos X en la Universidad de Granada ha permitido la identificación de los elementos mayoritarios SiO<sub>2</sub>, Al<sub>2</sub>O<sub>3</sub>, CaO, Fe<sub>2</sub>O<sub>3</sub>, MnO, Na<sub>2</sub>O, K<sub>2</sub>O, TiO<sub>2</sub>, P<sub>2</sub>O<sub>5</sub> y los minoritarios Zr, Sr, Cr, Ba, Rb, Zn y V

(fig. 8). Al análisis estadístico mediante Análisis de Componentes Principales (ACP) (Aitchison 1983) se han añadido 47 análisis más con el fin de ampliar el espectro comparativo (Compana *et al.* 2010; 2013; 2014; Madrid y Buxeda 2013; Serrano 2016: 360, tab. 7.3, 449 ss; Serrano *et al.* 2016). Así, aunque no se corresponde con el mismo tipo de producción, atendemos al principio de procedencia (Weigand *et al.* 1977; Cau 2003: 155; Tsantini 2007: 132).

Los resultados muestran que las producciones identificadas como TSG y TSI de producción provincial no poseen una relación geoquímica con ninguno de los principales centros productores peninsulares conocidos hasta la fecha lo que, por otro lado, no sorprende dada su tipología; esto nos permite, por otro lado, ver la coherencia de los resultados estadísticos (figs. 8 y 9). De igual modo, la producción tipo Peñaflor tampoco parece relacionarse con las analizadas por Madrid y Buxeda (2013), indicativo de su dispar procedencia. Sin embargo, existe un importante vacío analítico en relación a estas producciones que deberá ser suplido en trabajos futuros. A tenor de la gran cantidad de piezas de este tipo documentadas en suelo peninsular, con seguridad debieron existir más talleres alfareros. Este incremento del muestreo y su consecuente análisis permitirá en un futuro generar datos más robustos sobre sus posibles centros de producción.

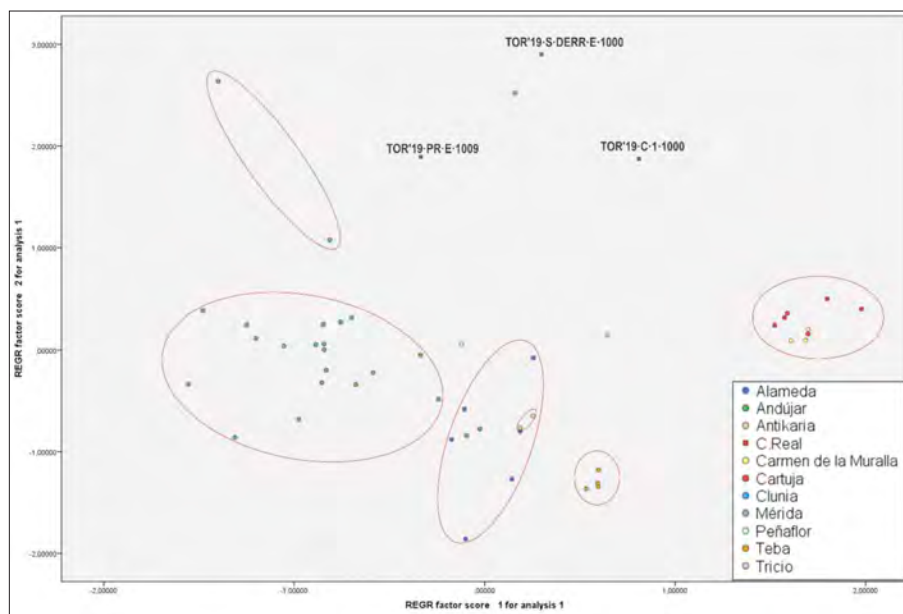
## CONTEXTO E INTERPRETACIÓN

Aunque la reconstrucción paleoambiental de la gran muestra un bosque mediterráneo abierto antropizado durante los últimos dos milenios, la prospección

Sample	TOR'19•PR•E•1009	TOR'19•S•DERR•E•1000	TOR'19•C•I•1000
SiO <sub>2</sub>	61,38	53,37	51,44
Al <sub>2</sub> O <sub>3</sub>	20,94	22,16	22,46
CaO	1,95	9,79	12,01
Fe <sub>2</sub> O <sub>3</sub>	7,03	5,94	5,65
MnO	0,03	0,05	0,05
Na <sub>2</sub> O	0,16	0,23	0,29
K <sub>2</sub> O	2,51	3,87	3,78
TiO <sub>2</sub>	11,100	10,600	10,300
P <sub>2</sub> O <sub>5</sub>	0,1000	0,3700	0,3500
Zr	0,0252	0,1635	0,1499
Sr	0,0099	0,0293	0,0392
Cr	0,0144	0,0140	0,0126
Ba	0,0346	0,0276	0,0272
Rb	0,0050	0,0166	0,0166
Zn	0,0039	0,0129	0,0112
V	0,0168	0,0690	0,0080

Fig. 8: Datos geoquímicos obtenidos para las muestras analizadas procedentes de Ciudad Real (expresados en %).

Fig. 9: Resultado del ACP obtenido a partir de los datos geoquímicos de las muestras analizadas procedentes de Ciudad Real junto con otros datos disponibles para otros centros productores peninsulares.



intensiva de la parcela<sup>1</sup> no muestra materiales romanos más allá del fragmento tipo Peñafior localizado en el entorno de la gruta. De no haber ningún hábitat inmediato, estaríamos ante un polo de atracción y frecuentación de asentamientos más lejanos.

La cueva se encuentra en una zona bastante abrupta de la comarca, separada considerablemente de los principales lugares y vías de comunicación romanas: las rutas de primer orden distan entre 5-8 km (Rodríguez Castillo 2008; Roldán y Caballero 2014: 161-173) y los testimonios tipo *villae* más próximos –sin excavar– a unos 4 km. Cabe sospechar de la necrópolis ibérica de Carrizosa, a unos 2,3 km (Jiménez y Chaparro 1981), cuyo poblado pudo acabar romanizado a tenor de una inscripción funeraria del s. I d. C. allí localizada (Alföldy 1987: 248 §19), aunque ésta bien pudiera proceder de cualquier punto de la órbita laminitana como en otros casos (Moya y Novillo 2009: 189 ss) (fig. 10).

Igualmente destacable es otra cueva con materiales romanos en la comarca, la de Montesinos (Ossa de Montiel, Albacete), a más de 17 km en línea recta al NE. De esta famosa cavidad proceden restos alto y bajoimperiales en superficie junto a la boca y a su laguna interior (Jiménez 1996: 5 ss, 17-23, láms. B-F; Jiménez y Chaparro 1989: 91).

Sea como fuere, parece evidente que Los Toriles, *ab silentio* de otros indicadores como la *terra sigillata* hispánica, fue frecuentada en el primer siglo de nuestra era y bajo la órbita territorial y económica de Laminium

(Alhambra), un importante cruce de caminos entre la Alta Andalucía y la Meseta a 12 km y uno de los municipios más romanizados de la Oretania (Domingo 2001; Moya-Maleno 2008; Carrasco y Fuentes 2020).

En cuanto a la función de la cueva durante época romana, estamos ante contextos difíciles de sistematizar por la amplia cronología, calidad y/o ambigüedad del registro que necesitará completarse con futuros hallazgos (*inter alia* Apellaniz *et al.* 1967; San Nicolás 1985; Bernal *et al.* 2008; Gutiérrez *et al.* 2012: 239-243; Tobalina *et al.* 2015). Puesto que a día de hoy en Los Toriles carecemos de inhumaciones, distintos equipamientos cerámicos, tesorillos o testimonios de explotación, hemos de descartar el uso funerario, la exploración, de cantera o un hábitat pastoril o rupestre (*sensu* Gutiérrez *et al.* 2012: 243). El relativamente escaso valor de la TS en comparación con otros elementos suntuarios también descarta una intencionalidad de ocultación. Es por ello que consideramos más viable el uso económico, para resguardar un pequeño rebaño o fresquera; o el uso mágico-religioso, como lugar de contacto con algún numen o divinidad de las profundidades, el ultramundo –o incluso de las aguas que todavía hoy se dice oír–, a las que se le realizarían ofrendas con fines propiciatorios, ya fueran cívicos o individuales (*inter alia* Lorrio *et al.* 2006; Alfayé 2016; Panosa *et al.* 2014). En uno y otro caso, lo importante sería el contenido de productos naturales o procesados allí depositados.

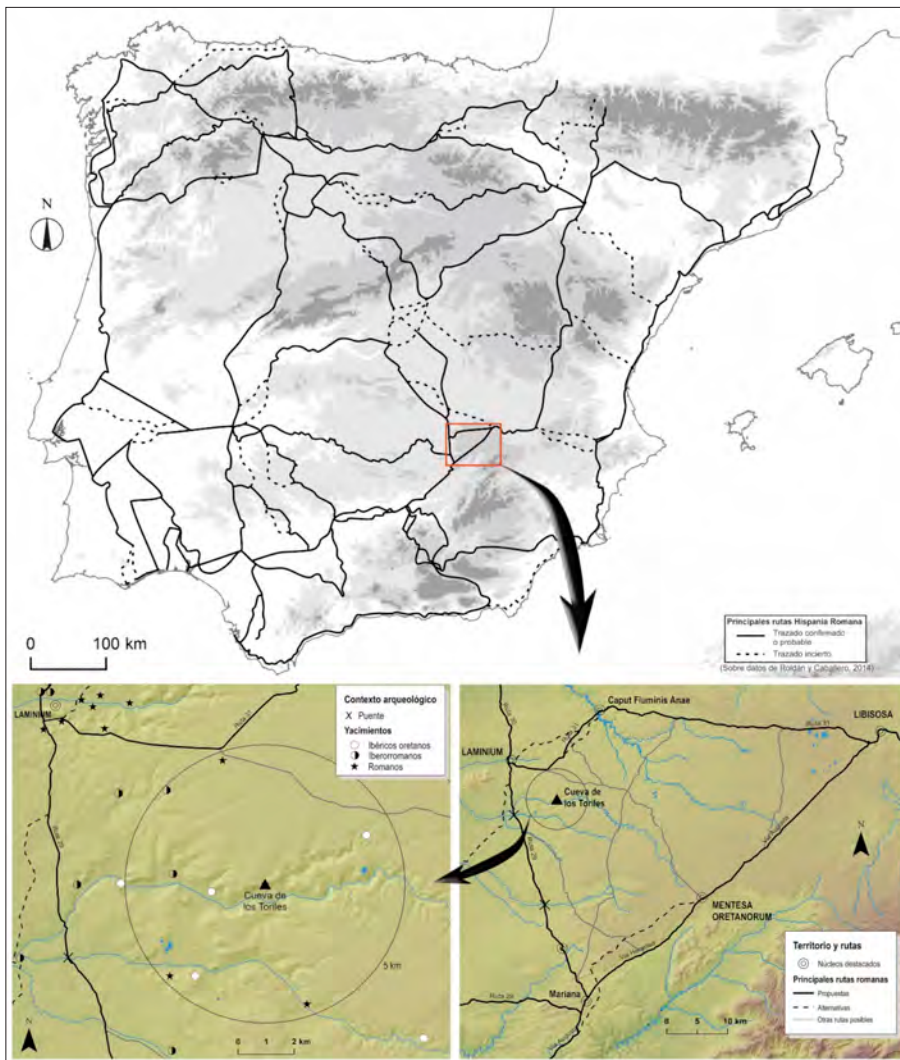


Fig. 10: Vías de comunicación principales en la comarca y yacimientos con materiales oretanos y romanos en el área de la cueva de Los Toriles.

Con todo, en este primer siglo d.C. estamos ante una sociedad mixta y donde la cultura material romana no puede ser indicador inequívoco de la romanidad de su poseedor, sino que en esta cueva, al igual que en el resto del territorio, pudieron estar operando gentes locales con tradiciones prerromanas pero con una progresiva “romanización material” (Fuentes 1992: 590 ss; Woolf 1998). Así se constata, por ejemplo, en alguna urna cineraria ibérica con pátera de TS en la necrópolis del camino del Matadero de Alhambra (Madrigal y Fernández 2001: 239 y fig. 4.3). Este contexto de transición concuerda aquí si entendemos las cerámicas de imitación tipo Peñafior como un fenómeno de idiosincrasia y reticencia indígena a incorporar las producciones típicamente romanas (Vaquerizo *et al.* 2005: 182; Bustamante-Álvarez 2013: 70 ss)

durante una implantación romana de lenta génesis. De hecho, la cronología julio-claudia de nuestras sigillatas nos sitúan en el contexto la reformulación del territorio en torno a antiguos núcleos oretanos, como Laminium, así como a asentamientos rurales romanos *ex novo* de la zona. Véase a este respecto cómo cuevas-santuario como la de Gorham (Gibraltar) languidecen con la romanización y la erección de nuevos espacios de culto en zonas urbanas cercanas, caso de Carteia (Belén y Pérez 2000: 534; Bernal *et al.* 2008: 171). No obstante, la inexistencia hasta la fecha de algún fósil director de tradición oretana o de otros elementos votivos indígenas (Cazorla y Celestino 2008) nos impiden caracterizar quién o quiénes pudieron realizar la deposición de estas piezas y su por qué en la cueva.

## CONCLUSIONES

Las piezas presentadas, aunque poco numerosas dado el estadio inicial de la investigación, suponen una muestra inequívoca de la frecuentación en época romana de este lugar. Esto se reafirma por el estado de conservación de las piezas y por su contexto en altura y de difícil acceso, lo que anula la llegada de estas piezas por procesos postdeposicionales.

La localización prácticamente intacta en Los Toriles de dos fragmentos de platos de TS destinados al servicio e ingestión de productos sólidos o semisólidos –y no a su preparación– y su ubicación en las partes más profundas de cavidad, así como otro tipo Peñaflor al exterior de la misma, apunta hacia un fenómeno de frecuentación de cuevas, cuando menos, en la primera mitad del I d.C. en esta parte de la submeseta S, en una fase transicional de las poblaciones autóctonas hacia un consumo de piezas plenamente romanas.

Estos testimonios, a expensa de nuevas excavaciones y hallazgos más fecundos, nos exhortan a estudiar su uso en relación con otros casos hispanos similares así como a contextualizar cómo estuvo operando esta cavidad con núcleos menores o principales del *ager* laminitano y dentro del comercio entre la Gallia y el centro y S peninsular. Finalmente, pone de manifiesto la infrarrepresentación de este proceso de ocupación de cuevas en la región, no sólo por los condicionantes geomorfológicos, sino también por la carencia de investigaciones al respecto como se evidencia también en la de Montesinos.

## NOTA

1. Prospección realizada a finales de 2020, N° Exp. JCCM: 202057-P1.

## AGRADECIMIENTOS

Agradecemos la colaboración del propietario de la finca, del Ayuntamiento de Carrizosa y de cuantos trabajaron en la cueva o nos han brindado apoyo bibliográfico (M. Almagro-Gorbea, J.C. Guisado y J.A. Hierro). También a los mecenas vía Experiment.com y la Sociedad Española de Paleontología.

Este trabajo se enmarca en el proyecto *Corpus Vasorum Hispanorum. Análisis tipológico, cronológico y prosopográfico de los sigilla en terra sigillata hispánica a partir de los centros consumidores. Parte I: Lusitania* (PGC2018-093478-A-I00 – Convocatoria Proyectos de Excelencia – Plan Estatal de Generación de Conocimiento –

Ministerio de Ciencia, Innovación y Universidades – España). A. Suárez-Bilbao es receptora de un contrato de doctores recientes hasta su integración en programas de formación postdoctoral en la UPV/EHU (DOKBERRI), código: DOCREC20/01.

## BIBLIOGRAFÍA

- AITCHISON, J. (1983): Principal Component Analysis of Compositional Data, *Biometrika* 70 (1), 57-65.  
DOI: <https://doi.org/10.1093/biomet/70.1.57>
- ALFAYÉ VILLA, S. (2016): Expresiones religiosas en las ciudades del poder de la Hispania Céltica: el caso de Clunia, *Revista de Historiografía* 25, 355-383.  
DOI: <https://doi.org/10.20318/revhisto.2017.3596>
- ALFÖLDY, G. (1987): Epigraphica Hispanica IX. Inschriften aus Ciudad Real, *Zeitschrift für Papyrologie und Epigraphik* 67, 225-248.
- APELLANIZ, J. M.; NOLTE, E; ALTUNA, J. (1967): Cuevas sepulcrales de Vizcaya. Excavación, estudio y datación por el C 14, *Munibe*, XIX (3/4), 159-226.
- BELÉN, M.; PÉREZ, I. (2000): Gorham's Cave, un santuario en el Estrecho. Avance del estudio de los materiales cerámicos, *ACFP* 4, II, 531-542.
- BELTRÁN LLORIS, M. (1990): *Guía de la cerámica romana*, Pórtico, Zaragoza.
- BERNAL, D.; DOMÍNGUEZ, J. C.; RAISSOUNI, B. (2008): Las cuevas en el Círculo del Estrecho en época histórica. Una línea de investigación arqueológica con futuro, *Las ocupaciones humanas de la cueva de Caf Taht el Ghar (Tetuán): los productos arqueológicos en el contexto del estrecho de Gibraltar* (J.R. Muñoz, M. Zouak, D. Bernal Casasola, B. Raissouni coords), Cádiz, 153-189.
- BUSTAMANTE-ÁLVAREZ, M. (2013): *La terra sigillata hispánica en Augusta Emerita. Estudio tipo cronológico a partir de los vertederos del suburbio norte*, Anejos de AEspA LXV, CSIC, Mérida.
- BUSTAMANTE-ÁLVAREZ, M.; LÓPEZ ROSENDO, E. (2014): Las imitaciones locales de terra sigillata de la Bahía de Cádiz, *Comer a la moda. Imitaciones de vajilla de mesa en Tartetania y la Bética occidental durante la Antigüedad (VI a.C.-VI d. C.)* (F. J. García Fernández, E. García Vargas), Universitat de Barcelona, 271-300.
- CARRASCO SERRANO, G.; FUENTES SÁNCHEZ, J. L. (2020): Comercio de terra sigillata hispánica altoimperial del ámbito de tritium magallum en la provincia de Ciudad Real, *Economía romana en Castilla-La Mancha* (G. Carrasco, coord), Cuenca, 389-435.
- CAU ONTÍVEROS, M. A. (2003): *Cerámica tardorromana de cocina en las Islas Baleares: Estudio arqueométrico*, B.A.R.-I.S. 1182, Oxford.  
DOI: <https://doi.org/10.30861/9781841715490>

- CAZORLA MARTÍN, R.; CELESTINO PÉREZ, S. (2008): La Cueva del Valle (Zalamea de La Serena, Badajoz): un santuario rupestre en la comarca de La Serena, *SPAL* 17, 207-232.  
DOI: <https://doi.org/10.12795/spal.2008.i17.09>
- COMPANA, J. M.; CABEZA, A.; ARANDA, M. A. G.; LEÓN-REINA, L. (2014): The Baetican workshops: a starting point to study terra sigillata hispanica, *JAS* 45, 26-35.  
DOI: <https://doi.org/10.1016/j.jas.2014.01.003>
- COMPANA, J. M.; LEÓN-REINA, L.; ARANDA, M. A. G. (2010): Archaeometric characterization of terra sigillata hispanica from Granada workshops, *Boletín de la Sociedad Española de Cerámica y Vidrio* 49, 113-119.
- COMPANA, J. M.; LEÓN-REINA, L.; MACÍAS, J.; SERRANO, E.; ARANDA, M. A. G. (2013): El alfar romano de sigillata hispánica de Singilia Barba: una perspectiva arqueométrica, *Actas del I Congreso Internacional Sobre Estudios Cerámicos. Homenaje a la Dra. Mercedes Vegas* (L. Girón, M. Lazarich, M. C. Lopes, eds.), Cádiz, 627-652.
- DESBAT, A. (2000): Les ateliers Lyonnais et Viennois à l'Époque d'Auguste et leur rapport avec les ateliers padans, *Produzione cerámica in área padana tra il II secolo a.C. e il VII secolo d. C.: nuovi dati e prospettive di ricerca* (G. P. Brogiolo, G. Olcese, coords.), Mantua, 70-92.
- DOMERGUE, C. (1967): *La mine antique de Diogenes (Province de Ciudad Real)*, Mélanges de la Casa de Velázquez.  
DOI: <https://doi.org/10.3406/casa.1967.957>
- DOMINGO PUERTAS, L. A. (2001): La ciudad iberorromana de Laminium: evolución y municipalización, *Historia Antiqua* XXV, 151-170.
- FUENTES DOMÍNGUEZ, A. (1992): Las necrópolis ibéricas y su transformación ante la romanización, *Las necrópolis* (J. Blánquez, V. Antona del Val, coords.), Madrid, 587-606.
- FUENTES SÁNCHEZ, J. L. (2015): El comercio de cerámicas romanas en la provincia de Ciudad Real: las sigillatas altoimperiales, *Actas del I Congreso Nacional Ciudad Real y su provincia* (M. S. Campos, A. R. del Valle, F. Alía, J. Anaya, eds.), Ciudad Real, 135-169.
- GARCÍA-MARTÍNEZ, D. (2019): ¿Dónde están los fósiles manchegos? El sesgo en el registro Paleontológico del Pleistoceno de La Mancha, *Aportaciones a la investigación, gestión y difusión del patrimonio del Campo de Montiel* (E. Navarro, F. J. Moya, C. Moya, M. A. Serrano, P. Moya-Maleno, eds.), Almedina: Centro de Estudios del Campo de Montiel, 17-43.  
DOI: <https://doi.org/10.30823/recm.02019116>
- GARCÍA-MARTÍNEZ, D.; VALENCIANO, A.; SUÁREZ BILBAO, A.; PALANCAR MARÍN, C. A.; MEGÍA GARCÍA, I.; MORENO GARCÍA, D.; CAMPAÑA, I.; MOYA-MALENO, P. R. (2020): New remains of a primitive badger from Cueva de los Toriles (Carrizosa, Castilla-La Mancha, Iberian Peninsula) suggest a new quaternary locality in the southern Iberian plateau, *Journal of Iberian Geology*.  
DOI: <https://doi.org/10.1007/s41513-020-00127-y>
- GENIN, M.; HOFFMANN, B.; VERNHET, A. (2002): Les productions anciennes de la Graufesenque, *Céramiques de la Graufesenque et autres productions d'époque romaine: nouvelles recherches: hommages à Bettina Hoffmann, Archéologie et Histoire Romaine* (M. Genin, A. Vernhet coords.), Montagnac, 45-104.
- GUTIÉRREZ CUENCA, E.; HIERRO, J. A.; RÍOS, J.; GÁRATE, D.; GÓMEZ OLIVENCIA, A.; ARCEREDILLO ALONSO, D. (2012): El uso de la cueva de Arlanpe (Bizkaia) en época tardorromana, *AEspA* 85, 229-251.  
DOI: <https://doi.org/10.3989/aespa.085.012.013>
- JIMÉNEZ RAMÍREZ, S.; CHAPARRO SABINA, A. (1981): Hallazgo arqueológico en Carrizosa, *Lanza* 26-3-1981, 10.
- JIMÉNEZ RAMÍREZ, S.; CHAPARRO SABINA, A. (1989): *Las lagunas de Ruidera en el tiempo*, Villanueva de los Infantes.
- JIMÉNEZ RAMÍREZ, S. (1996): *Guía de la cueva de Montesinos, ermita de San Pedro de Sahelices y castillo de Rochafriada: Parque Natural Lagunas de Ruidera, Iniestares*, Madrid.
- KEAY, S.; ROMO, A. (2001): Las cerámicas, *La arqueología de unas excavaciones* (S. Keay, J. Grighton, eds.), Celti (Peñaflor), 1987-1992.
- LORRIO, A. J.; MONEO, T.; MOYA, F.; PERNAS, S.; SÁNCHEZ DE PRADO, M. D. (2006): La cueva Santa del Cabriel (Mira, Cuenca): Lugar de culto antiguo y ermita cristiana, *Complutum* 17, 45-80.
- MADRID I FERNANDEZ, M.; BUXEDA I GARRIGOS, J. (2013) Anexo VI: estudio de caracterización arqueométrica de cerámicas finas altoimperiales procedentes de la ciudad romana de Augusta Emerita, *Terra Sigillata Hispánica en Augusta Emerita (Mérida, Badajoz). Valoración tipocronológica a partir de los vertederos del suburbio Norte* (M. Bustamante, coord.), Mérida, 180-210.
- MADRIGAL, A.; FERNÁNDEZ RODRÍGUEZ, M. (2001): La necrópolis ibérica del Camino del Matadero (Alhambra, Ciudad Real), *Arqueología funeraria: las necrópolis de incineración* (R. García Huertas, J. Morales Hervás coords.), Cuenca, 225-257.
- MARTÍNEZ RODRÍGUEZ, M. (1989): Las cerámicas beticas de imitación tipo Peñaflor, *BAEAA* 26, 60-65.
- MEGÍA GARCÍA, I.; PAULOS-BRAVO, R.; CIFUENTES-ALCOBENDAS, G.; PALANCAR, C. A.; SUÁREZ-BILBAO, A.; MOYA-MALENO, P. R.; GARCÍA-MARTÍNEZ, D. (2020): Typo-technological analysis of a bifacial stone tool from Cueva de los Toriles (Carrizosa, Castilla-La Mancha, Iberian Peninsula) and its importance as a new Acheulean site from the Southern Iberian Plateau, *Proceedings of the European Association of Human Evolution (ESHE)*, 77.
- MORILLO, A.; GARCÍA MARCOS, V. (2003): Importaciones itálicas en los campamentos romanos del norte de Hispania durante el periodo augusteo y julioclaudio, *Rei Cretariae Romanae Fautores* 38, 295-304.

- MOYA-MALENO, P. R. (2008): Ager y afladeras. Dos hitos en el estudio del municipio laminitano (Alhambra, Ciudad Real), *El territorio de las ciudades romanas* (J. Mangas, M. A. Novillo, coords.), Madrid, 557-588.
- MOYA-MALENO, P. R.; NOVILLO LÓPEZ, M. A. (2009): El pasado prerromano y romano del Campo de Montiel, *Por tierras del Campo de Montiel: Segundo paseo literario* (L. Matamoros, J. F. Cuenca coords.), Madrid, 168-191.
- PANOSA, M. I.; RODÁ, I.; UNTERMANN, J. (2014): Les inscriptions ibériques i llantines del Cogull (Les Garrigues, Lleida), *RAP* 24, 27-40.
- PICON, M.; GARMIER, J. (1974): Un atelier d'Ateius à Lyon, *Revue Archéologique de l'Est* 25 (1), 71-76.
- PICON, M.; LASFARGUES, J. (1974). Transfert de moules entre les ateliers d'Arezzo et ceux de Lyon, *Revue Archéologique de l'Est* 25 (1), 60-69.
- POVEDA NAVARRO, A. M. (1994): Nuevos datos sobre aspectos del comercio exportador de la bética hacia el sudoeste de la Tarraconense, *Actas del II Congreso de Historia de Andalucía, Córdoba*, 391-392.
- POVEDA NAVARRO, A. M.; FUENTES SÁNCHEZ, J. L. (2018): Un ejemplo de contextualización cerámica altoimperial: la evidencia del Área II de la colonia romana de Libisosa Foroagustana (Lezuza, Albacete), *Estudios para la configuración de las facies cerámicas altoimperiales en el Sur de la Península Ibérica* (P. Ruiz Montes, M. V. Peinado, M. I. Fernández García, coords.), Albacete, 271-283.  
DOI: <https://doi.org/10.2307/j.ctv170x3t6.17>
- RODRÍGUEZ CASTILLO, J. (2008): El camino de Alandumbar y el 'Quijote', *Con los pies en la tierra. Don Quijote en su marco geográfico e histórico: XII Coloquio Internacional de la Asociación de Cervantistas (XII-CIAC)* (F. B. Pedraza, R. González, coords.), Argamasilla de Alba, 121-132.
- ROLDÁN HERVÁS, J. M.; CABALLERO CASADO, C. (2014): *Itinera Hispana: estudio de las vías romanas en Hispania a partir del Itinerario Antonino, el Anónimo de Rávena y los Vasos de Vicarello*, Madrid.
- SAN NICOLAS DEL TORO, M. (1985): Aportación al estudio de las cuevas naturales de ocupación romana en Murcia, Conventus Carthaginensis a la Chora de Tudmir, *Antigüedad y Cristianismo* II, 303-309.
- SERRANO ARNÁEZ, B. (2016): *Estructuras humanas y económicas de producción de la terra sigillata hispánica. Los productores de moldes*, Tesis Doctoral, Universidad de Granada.
- SERRANO ARNÁEZ, B.; COMPANA, J. M.; FERNÁNDEZ-GARCÍA, M. I. (2016): Chemical and mineralogical characterization of Roman Sigillata moulds from Andújar (Jaén, Spain), *JAS: Reports* 7, 60-70.  
DOI: <https://doi.org/10.1016/j.jasrep.2016.03.044>
- TOBALINA PULIDO, L.; DUMÉNIL, V.; CAMPO, A. (2015): Fréquentations des grottes durant l'époque romaine: le cas de la Navarre, *Cuadernos de Arqueología de la Universidad de Navarra* 23, 123-161.  
DOI: <https://doi.org/10.15581/012.23.123-161>
- TSANTINI, E. (2007): *Estudi de la producció i la distribució d'àmfores ibèriques en el NE peninsular a través de la seva caracterització arqueomètrica*, Tesis doctoral, Universitat de Barcelona.
- VAQUERIZO GIL, D.; GARRIGUET MATA, J. A.; VARGAS CANTOS, S. (2005): *La Constancia. Una contribución al conocimiento de la topografía y los usos funerarios en la Colonia Patricia de los siglos iniciales del Imperio*, Córdoba.
- WEIGAND, P. C.; HARBOTTLE, G.; SAYRE, E. V. (1977): Turquoise source and source analysis: Mesoamerica and the Southwestern U.S.A., *Exchange Systems in Prehistory*, 15-34.  
DOI: <https://doi.org/10.1016/B978-0-12-227650-7.50008-0>
- WOOLF, G. (1998): *Becoming Roman. The Origins of Provincial Civilization in Gaul*, Cambridge.  
DOI: <https://doi.org/10.1017/CBO9780511518614>
- ZARZALEJOS, M. (1995): *Arqueología de la región sisaponense, aproximación a la evolución histórica del extremo SW de la provincia de Ciudad Real (fines del VIII a.C. al II d. C.)*, Tesis Doctoral, Universidad Autónoma de Madrid.





# ¿LABRA FICTILIA? UNA PROPUESTA INTERPRETATIVA PARA TRES TERRACOTAS DECORADAS PROCEDENTES DE SEGISAMO (SASAMÓN, BURGOS) Y VILLABERMUDO (PALENCIA)

**Labra fictilia? An interpretative proposal for three decorated terracotta fragments from Segisamo (Sasamón, Burgos) and Villabermudo (Palencia)**

JESÚS GARCÍA SÁNCHEZ<sup>1</sup> , JOSÉ MANUEL COSTA-GARCÍA<sup>2</sup> 

(1) Instituto de Arqueología de Mérida. CSIC - Junta de Extremadura. j.garcia@iam.cisc.es

(2) Universidade de Santiago de Compostela. Universidad de Salamanca. jmcostagarcia@usal.es

---

## RESUMEN:

*En este trabajo analizamos tres piezas realizadas en terracota: las dos primeras son originarias del yacimiento de Tisosa (Sasamón, Burgos), mientras que la restante proviene de la villa de Villabermudo (Palencia). Su morfología y semejanzas decorativas nos permiten plantear una nueva interpretación de las mismas como posibles labra fictilia –también denominados louteria o alvei–, esto es, recipientes contenedores de agua para su uso en ambientes domésticos. Este estudio se completa con los resultados de varios análisis arqueométricos cuyo fin ha sido estudiar las pastas y el proceso de fabricación de las piezas halladas en Tisosa.*

**Palabras clave:** arqueometría, terracota, labra fictilia, Segisamo, arqueología romana.

## ABSTRACT:

*We present the study of three Roman terracotta fragments. Two of them were located at the site of Tisosa (Sasamón, Burgos), the third artefact was retrieved during the excavations of the villa at Villabermudo (Palencia). The morphological and decorative similarities brought us to present an interpretive hypothesis as labra fictilia, also called louteria or alveus to define water containers for domestic use. This study is complemented with archaeometry research, which provided insightful details of fabric and the manufacturing process of the artefacts located at Tisosa.*

**Key words:** archaeometry, terracotta, labra fictilia, Segisamo, Roman archaeology.



Desde 2009, el territorio de la ciudad romana de Segisamo –bajo el solar de la actual Sasamón, Burgos– ha sido objeto de estudio en el marco de un programa de investigación cuya finalidad es conocer mejor el modo en que se articularon los paisajes arqueológicos entre la Segunda Edad de Hierro y la Antigüedad Tardía en el valle del río Duero (fig. 1). En sus primeras fases, la investigación se centró en el estudio espacial del poblamiento desde una perspectiva cronológica amplia (García Sánchez 2009; 2012), re-orientándose más recientemente al mapeado y catalogación detallada de evidencias arqueológicas en esta zona, así como a la prospección y excavación del *oppidum* prerromano del Cerro de Castarreo (Olmillos de Sasamón, Burgos) (García Sánchez y Costa-García 2019). Este enclave se ha relacionado recurrentemente con los Turmogi o turmogos (en ocasiones también denominados turmódigos), un pueblo indígena situado en la periferia del mundo vacceo, ubicado a su vez en torno al cauce medio del río Duero (Teja Casuso 1991; Solana Sainz 2001; Francés Negro 2011; García Sánchez 2019) y al S del territorio de los *Cantabri*, cuyos grandes *oppida* como La Ulaña, Monte Bernorio, Icedo o Coculina pueden verse desde la vega de los ríos Pisuerga, Odra y Brullés.

Así, pretendemos ahondar en el conocimiento de las profundas transformaciones vividas en el territorio con motivo de la expansión del estado romano, proceso durante el cual las comunidades indígenas locales sufrieron un cambio de paradigma cultural equiparable al de muchas otras poblaciones que habitaron la Meseta Norte. Tras la conquista romana –proceso definitivamente concluido después de las campañas de 29-19 a.C. contra *Cantabri* y *Astures*– se produjo el abandono de los grandes *oppida* que caracterizaban a la organización sociopolítica precedente (Sacristán de Lama 2011). Este proceso ha de relacionarse con la fundación *ex novo* de ciudades romanas, llamadas a ser los centros administrativos de la región (López Noriega 1997; 1998; Martínez Caballero *et al.* 2018).

En este contexto, la ciudad de Segisamo surge en un momento indeterminado del último cuarto del s. I a.C. (Abásolo y García 1993), muy posiblemente en relación con la reestructuración experimentada en la región a consecuencia de las campañas augusteas contra los *Cantabri*. Aunque las fases de ocupación más antiguas de la ciudad son mal conocidas arqueológicamente, sabemos que el asentamiento de la *legio IIII Macedonica* en la vecina Herrera de Pisuerga –antigua Pisoraca– tuvo un enorme impacto en la cuenca del río Pisuerga y sus afluentes (Morillo Cerdán 2000; Gómez Pantoja 2000).

El hallazgo de numerosos cipos o *termini* delimitando los *prata legionis* del territorio de las ciudades de Iuliobriga –*ager Iuliobrigensis*– al N y de Segisamo –*ager Segisamonensis*– al S, así parecen indicarlo (Cortés Bárcena 2009). De la implicación de esta unidad militar en la ordenación del territorio hispano a través de la construcción de infraestructuras de comunicaciones tenemos testimonios en los miliarios de la vía de las Cinco Villas (Zaragoza) (Lostal Pros 2009) o en los sillares del Pont del Diable (Martorell, Barcelona) (Gurt y Rodá de Llanza, 2005; Rodá de Llanza 2006). En relación con el ambicioso plan urbanístico iniciado en la meseta N durante la posguerra, sabemos que la legión jugó un papel activo en la monumentalización de la capital conventual, Clunia Sulpicia (Coruña del Conde, Burgos) (Palao Vicente 2017: 59; Morillo Cerdán y Salido Domínguez 2013: 311-12).

Durante las prospecciones de 2017 recuperamos además en Segisamo-Sasamón un sello con numerales sobre un fragmento de material constructivo (García Sánchez *et al.* 2020). Esta pieza, todavía inédita, viene a sumarse a otras evidencias materiales y estructurales relacionables con la presencia militar romana en la zona, todavía en fase de estudio (Didierjean *et al.* 2014; García Sánchez y Costa-García 2020).

En los últimos años hemos basado nuestra estrategia de investigación en la prospección arqueológica para la detección de nuevos yacimientos (Menéndez Blanco *et al.* 2020) y para documentar espacios de actividad pretéritos, tanto de ocupación como de actividades económicas relacionadas con el medio rural. Esta dialéctica entre el registro arqueológico convencional a escala de sitio o yacimiento y de no-sitio (*off-site*) ha sido conceptualizada en numerosas experiencias de trabajo en el Mediterráneo Oriental y Central, dando lugar a un interesante debate sobre métodos e interpretaciones del registro arqueológico de superficie (Cherry *et al.* 1991; Fentress 2000; Blanton 2001). También ha sido empleado en la arqueología peninsular en diversos casos de estudio paradigmáticos como La Serena (Badajoz) (Mayoral Herrera y Uriarte 2011; Sevillano Perea *et al.* 2013) o en la serraña alicantina (Grau Mira 2017).

Durante el transcurso de las prospecciones orientadas al registro *off-site* en el territorio de Sasamón (García Sánchez y Cisneros Cunchillos 2013) localizamos en 2010 el yacimiento inédito de Tisosa (García Sánchez y Cisneros 2014). Situado en la orilla derecha del río Brullés y próximo a la ciudad de Segisamo, este yacimiento fue

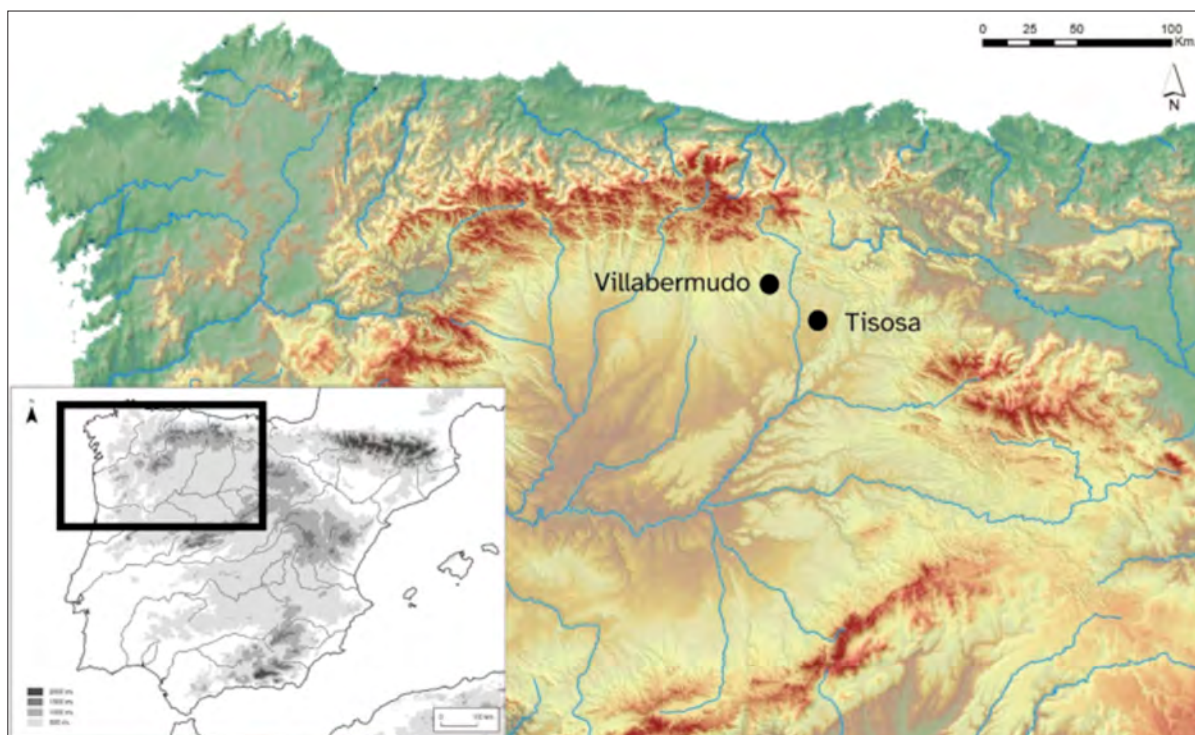


Fig. 1: Ubicación de los yacimientos de Tisosa (Sasamón) y Villabermudo en el contexto de la meseta Norte (Autor: Jesús García Sánchez).

interpretado en primera instancia como un posible establecimiento suburbano subordinado a la ciudad romana. Los materiales arqueológicos allí hallados constituyen la espina dorsal de este trabajo.

## PROCEDENCIA DE LAS PIEZAS

### EL YACIMIENTO DE TISOSA

Durante la prospección arqueológica desarrollada en 2010 se localizó una concentración de material muy densa que incluía abundante material constructivo romano, cerámica común, *terra sigillata* hispánica, fragmentos de mosaicos y algunos fragmentos de ánfora (García Sánchez y Cisneros Cunchillos 2014, 131-133). La tipología de los fragmentos anfóricos han sido identificados con las formas Dressel 1 de origen campano –un pivote–, Haltern 70 del valle del Guadalquivir y tipos rodios (García Sánchez y Cisneros 2014; Carreras y Morais 2004). Esto tipos se datan en los momentos finales del s. I a.C., proporcionando una datación *post quem* que se sitúa en el mismo horizonte cronológico en el que se efectúa la fundación de la ciudad

romana. El resto de materiales cerámicos, TSH y TSHt, evidencian la perduración del yacimiento en el tiempo, hasta al menos el s. III d.C. Aunque inicialmente confundida con un fragmento de tégula romana, se localizó durante estas prospecciones la primera terracota decorada que analizamos en este trabajo (número de inventario 10.21.100/museo de Burgos MBU-9961) (fig. 2).

Por el momento desconocemos la funcionalidad exacta del yacimiento, ya que no se han realizado excavaciones o prospecciones geofísicas en la zona. Su interpretación funcional se basa en el análisis de fotografías aéreas realizadas en 2010 y 2020, así como en los resultados de las mencionadas prospecciones arqueológicas. De la información arqueológica acumulada se colige que estamos ante un complejo edilicio de al menos 1,5 has de extensión, quizás compuesto por diferentes estructuras con suelos decorados con mosaicos a bandas tricolores como los localizados en superficie y habitado posiblemente por individuos de origen o gustos itálicos. Esta hipótesis no solo se fundamenta en las mencionadas importaciones egeas y campanas, sino también en el borde de un plato de engobe rojo interno “pompeyano”, indicativo de una cocina al estilo romano (Girón y

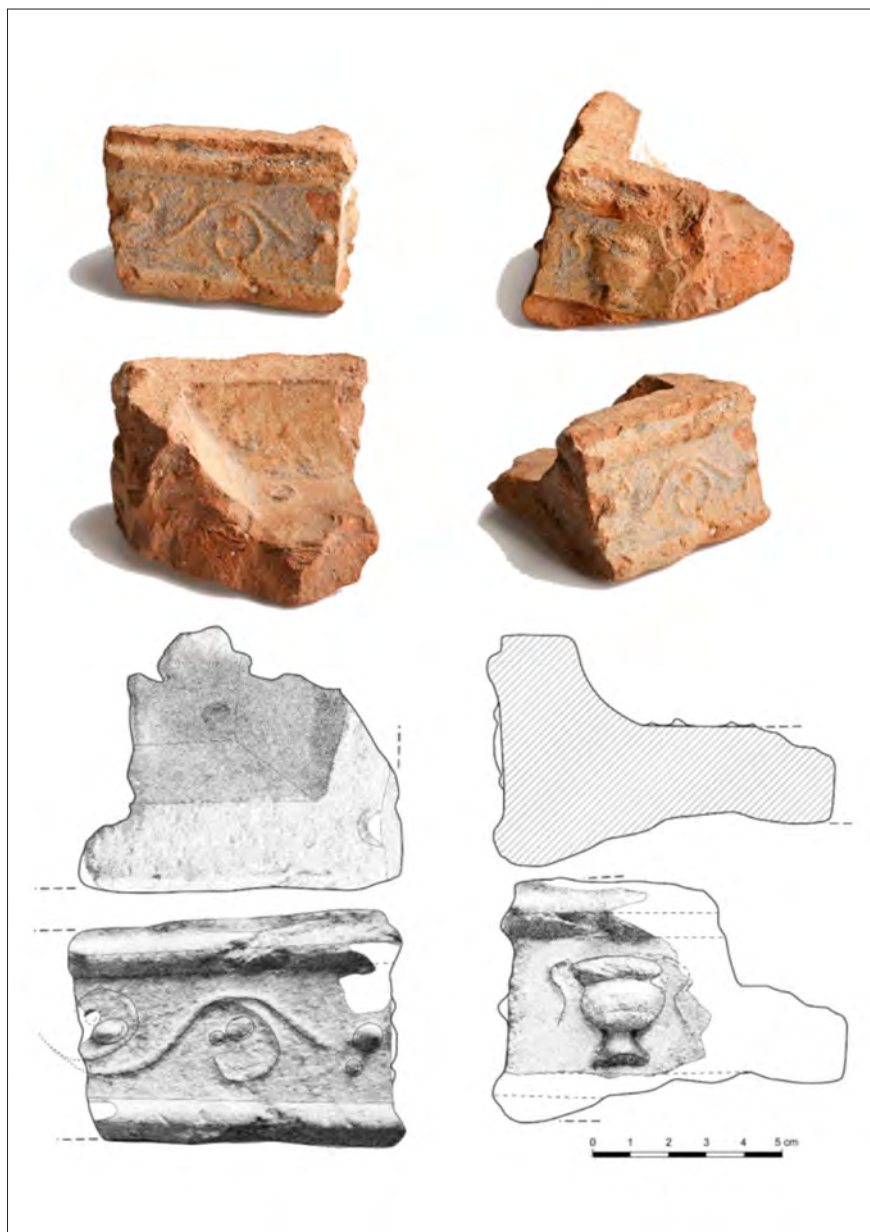


Fig. 2: Fotografía y dibujo de la pieza 1, MBU-9961. Fotografía de Julián Romeo y dibujo de Mari-cruz Sopena, montaje: Jesús García Sánchez.

Costa-García 2009). Cabe señalar, además, que la producción de las Haltern 70 del valle del Guadalquivir se ha relacionado con la esfera militar (Carreras y Morais 2004; Lapuente *et al.* 1996).

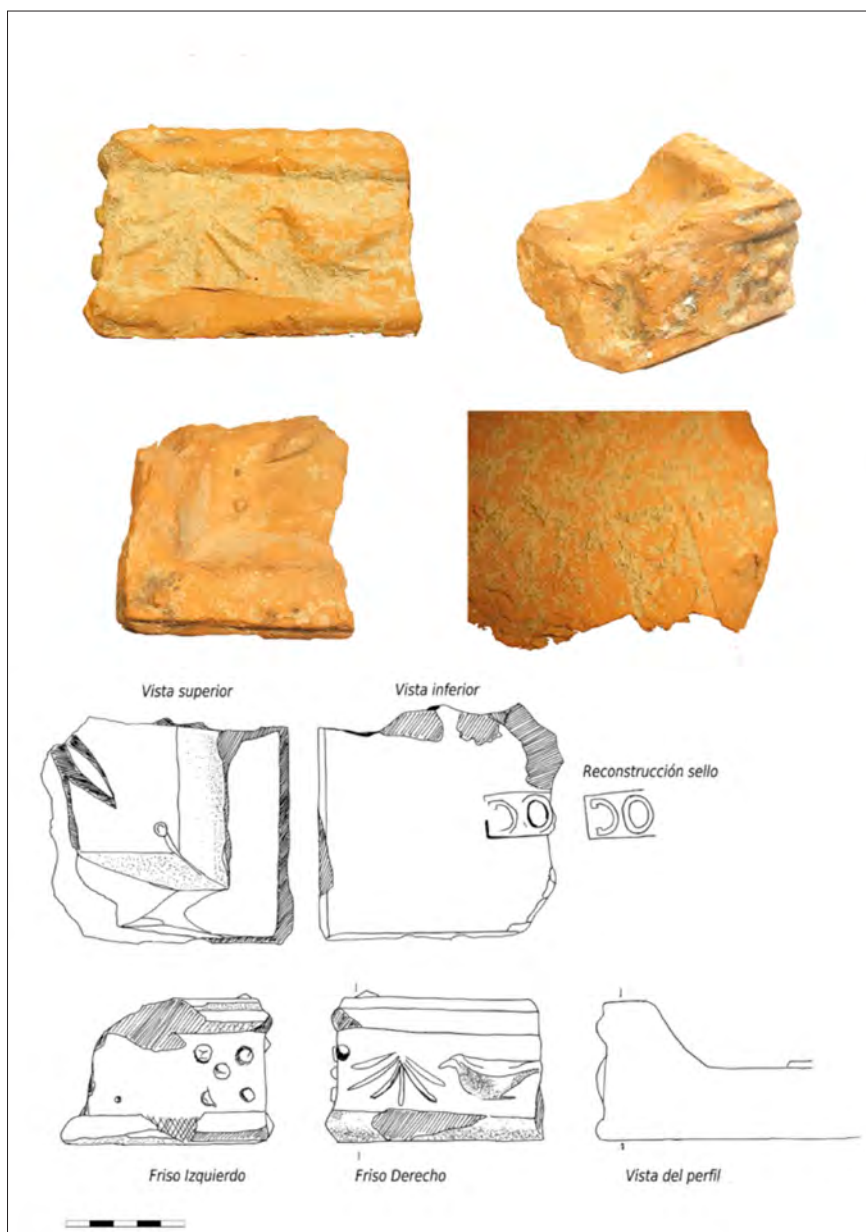
Por lo que respecta a la segunda pieza (nº de inventario 17.17.2005) (fig. 3), fue entregada por un vecino de Sasamón a los autores de este trabajo durante la campaña de prospección *Warscapes: documentando la presencia militar romana en la campiña* (Nº de expediente 31-17-BU) (García Sánchez *et al.* 2020)<sup>1</sup>. De acuerdo con sus

indicaciones, procede de la misma finca prospectada por nuestro equipo en 2010 y conocida como Tisosa. Con las debidas precauciones, hemos considerado que su contexto es, por tanto, idéntico al de la primera pieza descrita.

#### LA VILLA DE VILLABERMUDO

El tercer fragmento analizado en este trabajo procede del yacimiento romano de Villabermudo (Herrera de Pisuegra, Palencia) y se encuentra actualmente en

Fig. 3: Fotografía y dibujo de la pieza 2, 17.17.2005. Fotografía de J. García Sánchez y dibujo de Lisa Götz.



paradero desconocido<sup>2</sup>. Esta pieza fue inicialmente publicada como un fragmento de cajita celtibérica (Pérez González 1983; Pérez González y Illarregui 1990), un elemento característico de la cultura material de las poblaciones prerromanas de la cuenca del Duero, cuya interpretación funcional es controvertida (Fernández Vega *et al.* 2010: 229-30). No obstante, de acuerdo con el dibujo publicado por sus descubridores (Pérez González 1983: 20), creemos que la decoración fue realizada a molde y no a navaja, como suele suceder en

prácticamente la totalidad de dichas cajitas (Pérez González y Illarregui 1990) (fig. 4).

Recientemente, Pérez González ha reseñado las intervenciones en la villa romana, atribuyendo la totalidad del yacimiento al periodo romano y clasificando estas piezas bajo el tipo “cajitas romanas” (Pérez González 2017: 125). Para el fragmento que nos ocupa propone una cronología amplia –ss. I-III d.C.–, aunque la encuadra preferentemente en el s. II d.C. por haberse hallado en los niveles más antiguos de la villa (Pérez González 1993: 14).

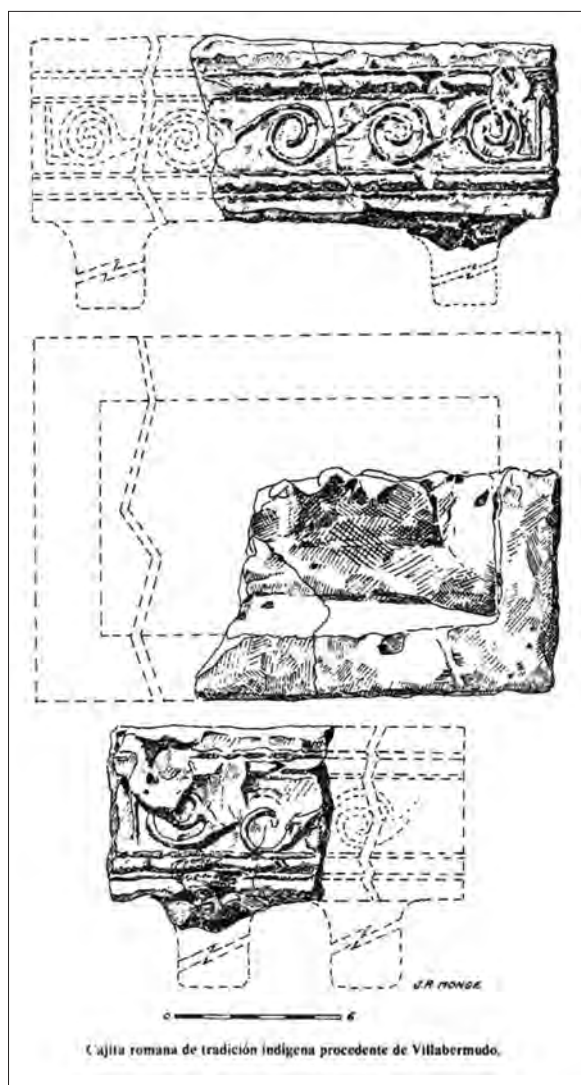


Fig. 4: Dibujo de la pieza de Villabermudo. Autor Cesáreo González.

## DESCRIPCIÓN FORMAL Y DECORACIÓN DE LAS PIEZAS

### PIEZA 1. MBU-9961

La primera pieza proveniente de Tisosa mide 6 cm de alto por 8,4 cm de largo en su parte mejor conservada. El exterior está formado por un friso de 3,4 cm de ancho y 8,1 cm de largo en el lado mejor conservado y de 5,1 cm de largo en el lateral contiguo. Los frisos están enmarcados por una moldura superior e inferior de 1,1 cm. Desde una perspectiva cenital los bordes del friso poseen una anchura

de 2,2 cm. El borde interior presenta una pared curva que finaliza en la parte interna de la pieza, parece estar cubierta por una pátina fina muy adherente. La parte inferior está rota, aunque hay restos de mortero adherido (fig. 2).

La decoración del primer friso está compuesta por una guirnalda de roleos en espiral, que finalizan en un aplique o botón en relieve. El friso contiguo presenta una vasija cerámica globular con pie alto, quizás una cratera flanqueada por dos espirales. La decoración de ambos frisos se realizó a molde. El color de esta pieza es naranja rojizo 7.5YR 7/6.

### PIEZA 2. 17.17.2005

La segunda pieza tiene una altura de 6,1 cm de altura por 8,4 cm en su extremo mejor conservado. El friso mide 3,3 cm y las molduras que lo enmarcan miden 1,2 cm. El ancho de los laterales es de 2,1 cm. Como vemos, las medidas son prácticamente iguales a las de la pieza 1. Su parte interior tiene también una pared curva en cuya diagonal se dispone la decoración de palmeta con perspectiva cenital (fig. 3). Esta última decoración parece haber sido realizada *a posteriori*, aplicándose a barbotina al interior de la pieza.

En el primer friso de la pieza encontramos cinco perlas o apliques plásticos dispuestos de forma que recuerdan a la cara de un dado: dos en la parte superior, uno en el centro y dos en la parte inferior. Estos apliques se realizaron muy probablemente con la técnica de la barbotina. El friso contiguo es quizás más expresivo, pues representa una hoja invertida con cinco nervios y un pájaro con las alas plegadas orientado hacia dicha hoja. El color de la pasta es de color anaranjado de tonalidad amarillo 5YR 7/8.

Este fragmento presenta elementos que no aparecían en la primera pieza. El primero de ellos es un sello en la parte inferior que no conserva completo, pero en el que puede reconocerse la leyenda *DO[...]*. Este sello podría reflejar un nombre común *domo Domitius*, o bien referirse a la fórmula *(Opera)Do(liare)*, una forma habitual de referirse a piezas constructivas como ladrillos, tejas, tuberías, piezas decorativas (Berni Millet 2008: 130). Sabemos, además, que esta parte inferior no era visible, pues en la primera pieza se detectó presencia de mortero para poder fijarse a un soporte. El segundo elemento a destacar –más relevante si cabe–, es la presencia de una hojita –la parte conservada no permite esclarecer si es una hoja de laurel, lanceolada o de agua– y un pequeño botón en relieve en la parte interior de la pieza. Esta

decoración nos hace pensar que esta parte sí era visible, por lo que debemos descartar que sobre este friso se localizase otra estructura, tal vez un tejado compuesto por tégulas, ímbrices y antefijas en miniatura.

### PIEZA 3

Sus dimensiones divergen solo ligeramente de aquellas registradas en las dos piezas halladas en Tisosa, pues mide 13 cm en el lado mayor, 8 cm en el menor y alcanza los 7 cm de altura. El friso mide 2,5 cm y está enmarcado por las consabidas molduras de aproximadamente 1 cm de anchura. El ancho de los laterales alcanza los 2,1 cm. Por su parte la decoración está compuesta en ambos lados por roleos en espiral entrelazados. Según el dibujo proporcionado por sus investigadores (Pérez González 1993: 20), podría conservar el arranque de una pata, quizá sustento para su interpretación como cajita. Este elemento solo se ha documentado en esta pieza, pero no nos ha sido posible reconocerlo en persona al no conocerse el paradero de este objeto (fig. 4).

## ANÁLISIS ARQUEOMÉTRICOS

Una primera observación macroscópica de las piezas 1 y 2 –las únicas localizables– parecía indicar que, a pesar de la similitud formal, nos encontrábamos antes dos objetos diferentes. Habida cuenta de la indefinición tipológica a la que nos enfrentábamos, planteamos un análisis arqueométrico detallado de estas piezas con el objeto de contextualizar mejor su composición y obtener nueva información sobre su proceso de manufactura.

Así pues, se llevaron a cabo dos análisis con estas piezas: una difracción de rayos X y una lámina delgada<sup>3</sup>. Ambas técnicas son de sobra conocidas en el estudio petrográfico de la cerámica en contextos arqueológicos (Quinn 2013), por lo que no describiremos detalladamente los procedimientos seguidos. No obstante, queremos reseñar que nuestro estudio hace especial hincapié en las modificaciones de la composición mineralógica como clave para comprender el proceso tecnológico de fabricación de las piezas (Linares *et al.* 1983: 482). En primer lugar, la difracción de rayos X busca conocer los tipos de materiales, su cantidad y los posibles procesos técnicos (temperatura de cocción) que han tenido como resultado la composición y factura actual de las pastas. El segundo método, empleado para su estudio comparativo actual y

futuro, consiste en la realización de láminas delgadas de ambas piezas y su fotografiado en un microscopio petrográfico para su posterior estudio mineralógico.

La difracción de rayos X (fig. 5) practicada en la pieza 1 revela la existencia de gehlenita, un material de neoformación que aparece al alcanzar temperaturas de entre 800°C y 950°C para posteriormente descomponerse en CaO –óxido de calcio–. La ausencia de una fase de neoformación de diópsido indicaría que la temperatura de cocción alcanzada fue de entre 950 y 1000°C.

Como se aprecia en los gráficos de difracción y en las estadísticas para la pieza 2, la diferente proporción de moscovita y cuarzo indica diferencias en la materia prima utilizada, ya observables en el examen macroscópico. Además, esta pieza sí muestra la mencionada fase de neoformación del diópsido y la descomposición de la gehlenita, además de un mayor contenido en illita. Estos datos nos sirven como geotermómetros, permitiéndonos apuntar que la temperatura de cocción es ligeramente inferior a la primera muestra, es decir de entre 900 °C y 950°C.

En cuanto al estudio de las láminas delgadas (fig. 6), la pieza 1 presenta clastos de carbonatos muy abundantes, cuarzo, cuarcita y cemento ferruginoso. La pieza 2 presenta cemento ferruginoso con abundantes clastos de cuarzo, cuarcita, carbonatos, micas accesorias y fragmentos de rocas carbonatadas. La figura 7 muestra los porcentajes para ambas muestras.

Como ya se avanzaba anteriormente, las piezas están en efecto compuestas por materias primas diferentes, pues así se deduce de la proporción entre moscovita y cuarzo. Los valores similares de diópsido y gehlenita indican una leve diferencia en la temperatura de cocción que sin embargo no sería extraña en procesos productivos serializados. De este modo, se concluye que los materiales empleados son realmente similares y las diferencias que encontramos en la tabla de semicuantificación se deben principalmente a la neoformación de materiales en función de la temperatura alcanzada en el horno. Podemos especular con una producción en un mismo taller con ligeras variaciones y con modelos diferentes, siempre realizados con la técnica del molde.

## ¿POSIBLE LABRA FICTILIA?

En 2014 –cuando se dio a conocer el yacimiento de Tisosa– ofrecimos una primera aproximación cronológica y funcional basándonos únicamente en la pieza 1, junto



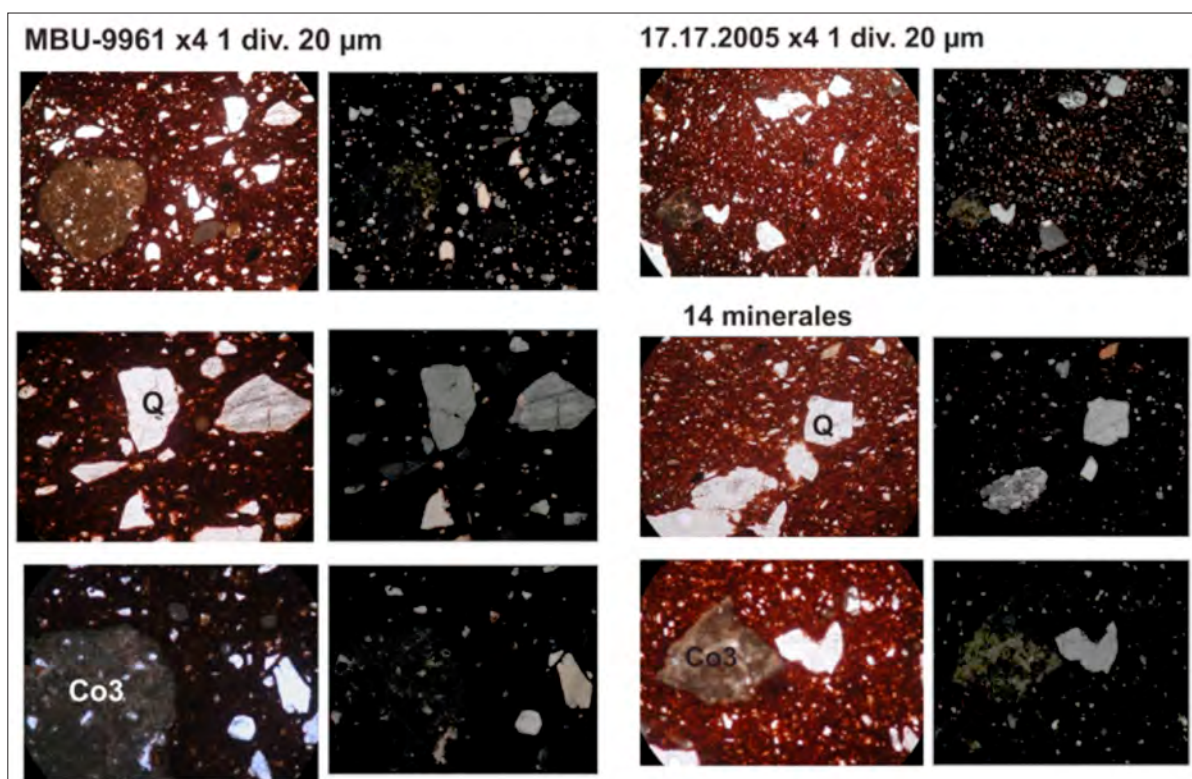


Fig. 6: Lámina delgada de piezas 1 y 2. Autor: María Candelas Moro, montaje: Jesús García Sánchez.

con el conjunto material localizado en la prospección superficial (García Sánchez y Cisneros Cunchillos 2014). La ausencia de paralelos nos llevó a interpretar el fragmento como parte de un pequeño altar o larario, del que la pieza parte de un friso. Esta hipótesis se basaba en las pequeñas dimensiones del fragmento y la existencia bien conocida de antifijas de pequeño tamaño (Ramos Sainz 1996: 201-202), seguramente también parte de la decoración de un edificio en miniatura.

La aparición de la pieza 2 en 2017 aporta nuevos indicios para comprender la forma y función del objeto. Como hemos señalado, la decoración interior cuenta con una hoja de laurel, lanceolada o de agua. La parte inferior a pesar de estar sellada podría no ser visible, ya que existen indicios que nos hacen sospechar que estuviese sujeta a otro elemento. Si la ubicación del sello *DO* es representativa del centro de la pieza, nos encontraríamos ante un objeto de entre 15 y 20 cm de lado. El bisel que forman las paredes del friso hacia el interior de la pieza, junto a la decoración de la hoja en perspectiva cenital son quizá indicativos de que la parte interior sirviese para contener un líquido o un sólido.

	Pieza 1 (MBU-9961)	Pieza 2 (17.17.2005)
Cuarzo	40	32
Moscovita	22	32
Hematita	3	3
Diópsido	10	9
Microclina	17	18
Calcita	3	3
Gehlenita	5	3
SUMA	100	100

Fig. 7: Semicuantificación de los materiales en lámina delgada para las dos piezas procedentes de Tisosa (Sasamón).

Una posibilidad sugerente es que se trate de *labra fictilia* o *alvei*. Las fuentes ornamentales han sido estudiadas por Morillo y Salido (2011: 155; 2010: 168) para la Península Ibérica, representándose además en los frescos de la villa A de Popea en Oplontis un ejemplar muy similar a las piezas que nos ocupan (Morillo y Salido 2011: 156, fig. 4). Con todo, los *alvei* conservados son elementos

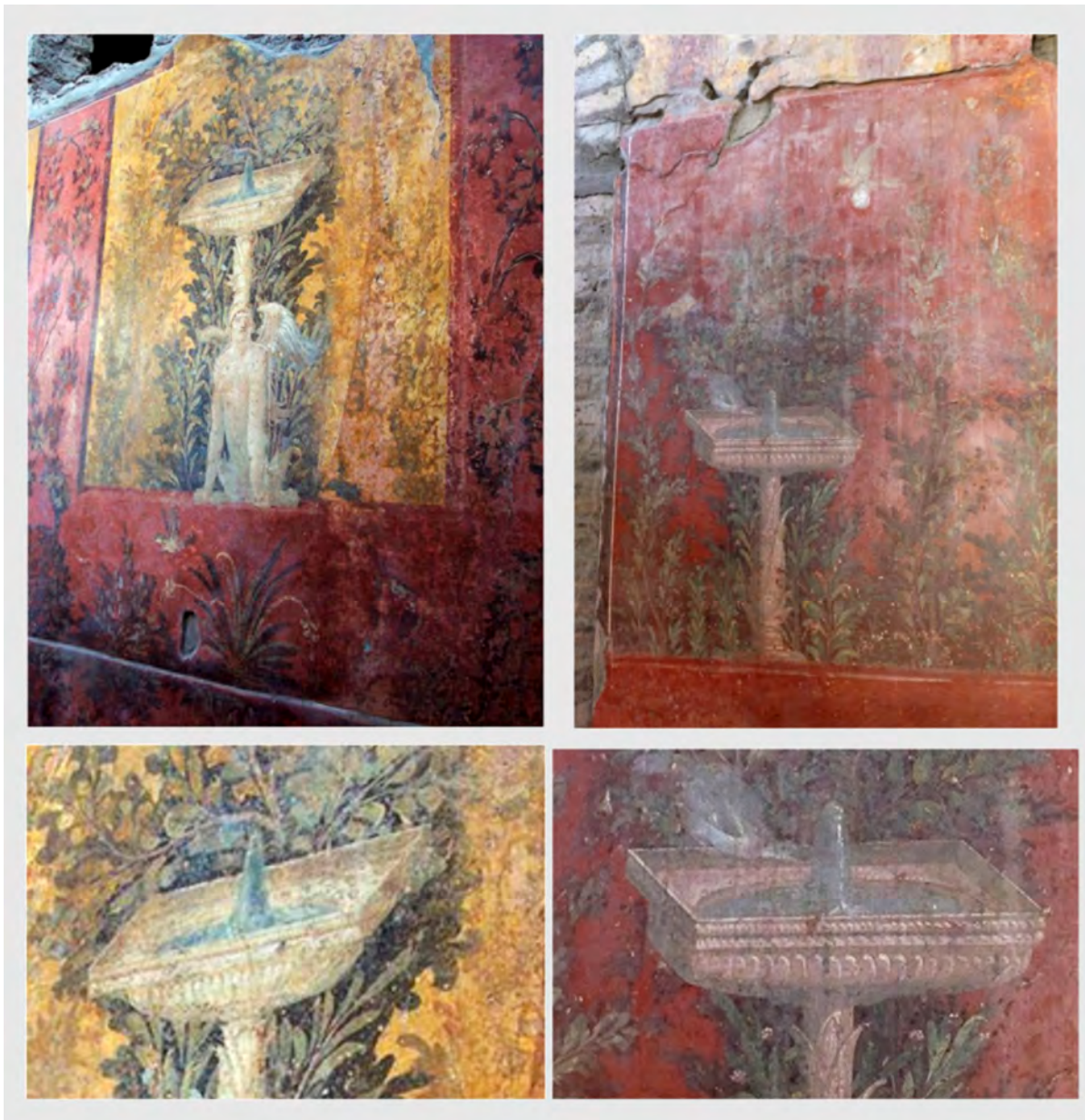


Fig. 8: Representación de *loutheria* o *alveus* decorativos en frescos de la villa de Popea en Oplontis, Campania. Fuente: <http://incampania.com/en/location/archaeological-excavations-of-oplontis-en/> Creative Commons. Montaje: Jesús García Sánchez.

fabricados en mármol y no contamos con paralelos conocidos fabricados en material cerámico. Más allá de su uso como tales fuentes, se recoge además de forma somera en Columela la existencia de lebrillos de barro o piedra utilizados para secar higos –*labra fictilia*<sup>4</sup>– o bien contenedores para recoger el aceite recién exprimido –*fictilia labra*<sup>5</sup>– (fig. 8).

Huguet (2013: 315) confirma que los *loutheria* de origen griego, realizados en pastas locales, se caracterizan por su *gran diámetro*, *base plana*, *paredes bajas* y están decorados *tanto en el borde como el interior*, con *motivos geométricos o vegetales*. De nuevo en Pompeya encontramos referencias a estos elementos de origen griego (Fergola y Scatozza-Höricht 2001). Estos *loutheria* se

destinan a contener agua en ambientes públicos donde se realizarían ejercicios *–palestrae–* y precederían a la popularización de los *labra* domésticos confeccionados en mármol (Fergola y Scatozza-Hörich 2001: 165).

A partir de esta documentación podemos deducir que las piezas que nos ocupan posiblemente se corresponden con recipientes destinados a contener líquidos, pudiendo usarse eventualmente como para contener agua a modo de *alveus*. La decoración de las piezas aquí presentadas nos permite descartar su uso meramente productivo.

## CONCLUSIÓN

En este breve trabajo hemos contextualizado las piezas 1 y 2 como elementos procedentes del yacimiento de Tiso-sa, un complejo construido en torno al cambio de era en el área periurbana de Segisamo (Sasamón). En este lugar encontramos elementos que nos informan del gusto o capacidad de los habitantes de este lugar para obtener productos importados del centro y el oriente del Mediterráneo, transportándose en algunos casos en los ya mencionados contenedores anfóricos. En este horizonte de consumo debemos ubicar las terracotas decoradas que proponemos puedan clasificarse como en *alvei* o incluso *labra fictilia*.

Con todo, la ausencia de paralelos conocidos para estas piezas, así como lo reducido de la muestra analizada, nos impiden definir su origen y funcionalidad exactos. Únicamente podemos conjeturar que en época temprana un alfarero o alfareros conocedores de las decoraciones itálicas y de los modelos griegos/itálicos de *alveus* o *louteria* fabricaron estas piezas. El análisis arqueométrico concluye que las piezas 1 y 2 fueron fabricadas separadamente empleando pastas ligeramente diferentes, pero siguiendo un mismo proceso técnico. La decoración se aplicó empleando el molde.

En este contexto resulta inevitable pensar en la proximidad de Herrera de Pisuerga y las particulares características de la producción y consumo cerámicos documentados aquí hacia el cambio de era (Morillo Cerdán 1992; Morillo Cerdán *et al.* 2006; González y Gómez 2006; Gómez Pantoja 2000). Sin embargo, en el actual estado de conocimiento solo podemos esperar que los datos provistos por las láminas delgadas y la difracción de rayos X puedan ayudar a contextualizar estas y otras piezas en el futuro. Igualmente, la localización y estudio de la extraviada pieza de Villabermudo contribuiría a conocer mejor estos interesantes elementos y a establecer paralelismo con esta área.

## NOTAS

1. Agradecemos a Carlos Gallego la entrega de esta pieza para su estudio y conservación en el Museo de Burgos.
2. Agradecemos a Francisco Javier Abarquero del Museo de Palencia sus intentos de ubicar la pieza, que por el momento se mantiene en paradero desconocido.
3. Los análisis han sido realizados por M. Candelas Moro Benito, profesora titular del Área de Cristalografía Y Mineralogía, Departamento de Geología de la Universidad de Salamanca.
4. *Quidam lectis ficis pediculos adimunt et in sole eas expandunt; cum deinde paulum siccatae sunt, antequam indurescant, in labra fictilia vel lapidea congerunt eas, tum pedibus lotis in modum farinae proculcant et admiscunt torrefactam sesamam cum aneso Aegyptio et semine faeniculi et cymini* (Columella Rust. 12.15.3).
5. *Quod deinde primum defluerit in rotundum labrum - nam id melius est quam plumbeum quadratum vel structile gemellar - protinus capulator depleat et in fictilia labra, huic usui prae-parata, defundat* (Columella Rust. 12.52.10).

## AGRADECIMIENTOS

Agradecemos a la Dra. M. Candelas Moro Benito (Departamento de Cristalografía y Mineralogía de la Universidad de Salamanca) la realización de los análisis y la lámina delgada de las piezas 1 y 2. A Marta Negro y a Adelaida Rodríguez, respectivamente directora y restauradora del Museo de Burgos, el habernos facilitado el acceso a la pieza 1, ya depositada en sus instalaciones. Finalmente, queremos recordar los esfuerzos del Museo de Palencia por localizar la pieza 3. Agradecemos también a M. de los Reyes de Soto (CSIC) sus comentarios sobre el manuscrito y a Macarena Bustamante (Universidad de Granada) su opinión sobre el sello DO en la pieza 2. Finalmente agradecemos a Julián Romeo y a Maricruz Sopeña las fotos y dibujo de la pieza 1 y a Lisa Götz el dibujo de la pieza 2.

## BIBLIOGRAFÍA

- ABÁSOLO, J. A.; GARCÍA, R. (1993): *Excavaciones en Sasamón (Burgos)*, Madrid.
- BERNI MILLET, P. 2008- *Epigrafía anfórica de la Bética*, Barcelona.
- BLANTON, R. E. (2001): Mediterranean myopia, *Antiquity* 75, 627-29.  
DOI: <https://doi.org/10.1017/S0003598X00088918>
- CARRERAS, C.; MORAIS, R. (2004): Geografía del consum de les Haltern 70m, *Culip VIII i les àmfores Haltern 70. Monografies del Casc 5*, Barcelona, 93-115.
- CHERRY, J. F.; DAVIS, J. L.; MANTZOURANI, E. (1991): Data Evaluation and Off-Site Distribution, *Landscape Archaeology as Long-Term History. Northern Keos in the Cycladic*

- Islands* (J. F. Cherry, D. L. Davis, E. Mantzourani, eds.), Los Angeles, 37-54.
- COLUMELLA (1941): *On Agriculture*, H. B. Ash. Cambridge, Loeb Classical Library.  
DOI: <https://doi.org/10.4159/DLCL.columella-agriculture.1941>
- CORTÉS BARCENA, C. (2009): El territorio militar en la epigrafía de la Hispania Romana: los Termini Pratorum, *Anejo de Gladius* 9, 91-101.
- DIDIERJEAN, F.; MORILLO CERDÁN, A.; PETIT-AUPERT, C. (2014): Traces de guerres, traces de paix armée: l'apport de quatre campagnes de prospection aérienne dans le nord de l'Espagne, *La guerre et ses traces: conflits et sociétés en Hispanie à l'époque de la conquête romaine (IIIe-Ier s. a. C.)* (F. Cadiou, M. Navarro, eds.), Bourdeaux, 149-80.
- FENTRESS, E. (2000): What are we counting for?, *Extracting Meaning from Ploughsoil Assemblages* (R. Francovich, H. Patterson, G. Barker), Oxford, 44-52.
- FERGOLA, L.; SCATOZZA-HÖRICH, L. A. (2001): "Louteria" fittili da Pompei, *Rivista di Studi Pompeiani* 12/13, 143-66.
- FERNÁNDEZ VEGA, P. A.; BOLADO DEL CASTILLO, R.; ILLAREGUI, E.; PEÑIL MÍNGUEZ, J. (2010): Hallazgo de dos nuevas cajitas celtibéricas en Camesa-Rebolledo (Valdeolea-Cantabria), *Munibe* 61, 221-34.
- FRANCÉS NEGRO, M. (2011): Los turmogos. Revisión de una etnia poco conocida del Norte, *ArqueoUCA* 1, 31-40.
- GARCÍA SÁNCHEZ, J. (2009): El poblamiento y la explotación del paisaje en la meseta norte entre la edad del hierro y época romana altoimperial. Una aproximación a través de la arqueología espacial, *Zephyrus* 59 (2), 81-96.
- GARCÍA SÁNCHEZ, J. (2012). *Arqueología y paisaje en el noroeste de Burgos: la transición de la Segunda Edad de Hierro a época romana a través del registro material*, Tesis Doctoral, Universidad de Cantabria, <<http://www.tdx.cat/handle/10803/80486>>.
- GARCÍA SÁNCHEZ, J. (2019): Los turmogos, sociedad y territorio en los confines del valle del Duero, *Vaccea Anuarial*, 52-28.
- GARCÍA SÁNCHEZ, J.; CISNEROS CUNCHILLOS, M. (2013): An Off-Site Approach to Late Iron Age and Roman Landscapes on the Northern Plateau, Spain, *European Journal of Archaeology* 16 (2), 289-313.  
DOI: <https://doi.org/10.1179/1461957112Y.0000000027>
- GARCÍA SÁNCHEZ, J.; CISNEROS, M. (2014): Tisosa: Un establecimiento suburbano de Segisamo (Sasamón, Burgos), *Archivo Español de Arqueología* 87, 123-40.  
DOI: <https://doi.org/10.3989/aespa.087.014.008>
- GARCÍA SÁNCHEZ, J.; COSTA-GARCÍA, J. M. (2019): El oppidum del Cerro de Castarreo, Olmillos de Sasamón. Historiografía y arqueología de un hábitat fortificado de la Segunda Edad del Hierro, *Boletín de la Institución Fernán González* 258, 9-45.
- GARCÍA SÁNCHEZ, J.; COSTA GARCÍA, J. M. (2020): Del oppidum indígena a la ciudad romana. Evolución del paisaje de Segisamo (Sasamón, Burgos, España) a través de la fotografía aérea. Datos de la prospección aérea de 2019, *Lutecium* XL, 131-148.  
DOI: <https://doi.org/10.14198/LVCENTVM2020.39.07>
- GARCÍA SÁNCHEZ, J.; COSTA-GARCÍA, J. M.; FERNÁNDEZ-GÖTZ, M.; TEICHNER, F. (2020): *Proyecto de prospección arqueológica. Warscapes: documentando la presencia militar romana en La Campiña (Sasamón, Burgos)*, Informe Final -Expte. 31/2017-BU. Mérida.
- GIRÓN, L.; COSTA GARCÍA, J. M. (2009): La cerámica de imitación de engobe rojo pompeyano en los yacimientos militares romanos peninsulares. Un estado de la cuestión, *Limes XX Congreso Internacional de Estudios sobre la Frontera Romana* (A. Morillo, N. Hanel, M. Martín, eds.), León, 497-512.
- GÓMEZ PANTOJA, J. L. (2000): Legio IIII Macedonica, *Les Légions de Rome sous le Haut-Empire: actes du Congrès de Lyon (17-19 septembre 1998)* (Y. Le Bohec, C. Wolff, eds.), Paris, 104-117.
- PÉREZ GONZÁLEZ, C.; ILLARREGUI GÓMEZ, E. (2006): Producciones militares en el campamento de la "legio IIII Macedonica" en Herrera de Pisuerga, *Arqueología militar romana en Hispania II: producción y abastecimiento en el ámbito militar* (A. Morillo, ed.), León, 111-183.
- GRAU MIRA, I. (2017): Archaeological surveys in areas with a high density of artefacts: Analysis and interpretation proposals, *Quaternary International* 435 (B), 71-80.  
DOI: <https://doi.org/10.1016/j.quaint.2015.12.063>
- GURT, J. M.; RODÀ DE LLANZÁ, I. (2005): El Pont del Diable. El monumento romano dentro de la política territorial augustea, *AEspA* 78, 147-165.  
DOI: <https://doi.org/10.3989/aespa.2005.v78.78>
- LAPUENTE, M. P.; PEREZ-ARANTEGUI, J.; AGUAROD OTAL, C.; ALCORTA, E. (1996): Caracterización de imitaciones provinciales micaceas de engobe rojo-pompeyano en el norte de la Península Ibérica, *Actes du colloque de Périgueux 1995* (M. Di Filippo, O. Grubessi, B. Toro, eds.), Supplément à la Revue d'Archéométrie, 89-94.
- LINARES, J.; HUERTAS, F.; CAPEL, J. (1983): La arcilla como material cerámico. Características y comportamiento, *CPAUG* 8, 479-490.
- LÓPEZ NORIEGA, P. (1997): Organización territorial romana en el conventus cluniensis, *Zephyrus* 50, 217-24.
- LÓPEZ NORIEGA, P. (1998): Proceso de urbanización en época romana: algunos ejemplos del conventus cluniensis, *Los orígenes de la ciudad en el noroeste hispánico. Actas del Congreso Internacional I* (A. Rodríguez Colmenero, ed.), Lugo, 643-52.
- LOSTAL PROS, J. (2009): Los miliarios de la via romana de las Cinco Villas y del Pirineo aragonés, *Item a Caesarea Augusta Beneharno: la carretera romana de Zaragoza al Bearn* (I. Moreno, ed.), Ejea de los Caballeros, 191-237.

- MARTINEZ CABALLERO, S.; SANTOS YANGUAS, J.; MUNICIO GONZÁLEZ, L. (Eds.) (2018): *El urbanismo romano en el valle del Duero. Actas de la I Reunión de ciudades romanas del valle del Duero. Segovia, 20 y 21 de octubre de 2016*, Segovia.
- MAYORAL HERRERA, V.; URIARTE, A. (2011): 'Background noise' and landscape exploitation in the Late Iron Age Andalusian countryside, *Hidden Landscapes of Mediterranean Europe. Cultural and methodological biases in pre-and protohistoric landscape studies* (P. M. Van Leusen, G. Pizziolo, L. Sarti, eds.), London, 265-270.
- MENÉNDEZ BLANCO, A.; GARCÍA SÁNCHEZ, J.; COSTA-GARCÍA, J. N.; FONTE, J.; GONZÁLEZ-ÁLVAREZ, D.; VICENTE GARCÍA, V. (2020): Following the Roman Army between the Southern Foothills of the Cantabrian Mountains and the Northern Plains of Castile and León (North of Spain): Archaeological Applications of Remote Sensing and Geospatial Tools, *Geosciences* 10 (12), 485.  
DOI: <https://doi.org/10.3390/geosciences10120485>
- MORILLO CERDÁN, Á. (1992): *Cerámica romana de Herrera de Pisuerga (Palencia - España)*. *Las lucernas*, Santiago de Chile.
- MORILLO CERDÁN, Á. (2000): La legio IIII Macedonica en la península Ibérica. El campamento de Herrera de Pisuerga (Palencia), *Les Légions de Rome sous le Haut-Empire: actes du Congrès de Lyon (17-19 septembre 1998)* (Y. Le Bohec, C. Wolff, eds.), Paris, 609-624.
- MORILLO CERDÁN, Á.; PÉREZ GONZÁLEZ, C.; ILLARREGUI GÓMEZ, E. (2006): Herrera de Pisuerga (Palencia). Cronologías estratigráficas: cerámicas y monedas, *Los campamentos romanos en Hispania (27 a.C.-192 d.C.): el abastecimiento de moneda* (M. P. García-Bellido, ed.), Madrid, 324-337.
- MORILLO CERDÁN, Á.; SALIDO DOMÍNGUEZ, J. (2010): "Labrum" romano procedente de las termas del campamento de la "Legio VII gemina" en León, *Zephyrus* 65, 167-178.
- MORILLO CERDÁN, Á.; SALIDO DOMÍNGUEZ, J. (2011): Labra de época romana en Hispania, *AEspA* 84, 153-78.  
DOI: <https://doi.org/10.3989/aespa.084.011.006>
- MORILLO CERDÁN, Á.; SALIDO DOMÍNGUEZ, J. (2013): Marcas militares sobre producciones latericias en Hispania. Nuevas consideraciones sobre su origen y difusión, *Gerión* 31, 287-329.  
DOI: [https://doi.org/10.5209/rev\\_GERI.2013.v31.43623](https://doi.org/10.5209/rev_GERI.2013.v31.43623)
- PALAO VICENTE, J. J. (2017): Milites in urbibus: La presencia de soldados en las ciudades hispanas durante el Alto Imperio, *Memoriae civitatum: arqueología y epigrafía de la ciudad romana: estudios en homenaje a José Manuel Iglesias Gil* (A. Ruiz, C. Cortés, eds.), Santander, 51-80.
- PÉREZ GONZÁLEZ, C. (1983): Cajitas celtibéricas de la provincia de Palencia: aportaciones, síntesis y localización, *Publicaciones de la Institución Tello Téllez de Meneses* 48, 5-27.
- PÉREZ GONZÁLEZ, C. (1993): Villabermudo: la villa romana más al norte de Palencia, *Apuntes Históricos Herrera de Pisuerga* 17, 5-23.
- PÉREZ GONZÁLEZ, C. (2017): Nuevos datos para un mejor conocimiento histórico-arqueológico del asentamiento hispano-romano de Villabermudo de Ojeda (Palencia), *Oppidum: cuadernos de investigación* 13, 105-29.
- PÉREZ GONZÁLEZ, C.; ILLARREGUI, E. (1990): Las llamadas cajitas de celtibéricas de época romana de Villabermudo, *Actas del II Congreso de Historia de Palencia* (M. V. Calleja, coord.), Palencia, 297-317.
- PÉREZ GONZÁLEZ, C.; ILLARREGUI, E. (2006): Producciones militares en el campamento de la Legio IIII Macedonica en Herrera de Pisuerga, *Arqueología militar romana en Hispania II: producción y abastecimiento en el ámbito militar* (Á. Morillo, ed.), León, 111-134.
- QUINN, P. (2013): *Ceramic Petrography: The Interpretation of Archaeological Pottery & Related Artefacts in Thin Section*, London.  
DOI: <https://doi.org/10.2307/j.ctv1jk0jf4>
- RAMOS SAINZ, M. L. (1996): *Las terracotas arquitectónicas en la Hispania romana: la tarraconense*, Tesis Doctoral, Universidad Autónoma de Madrid.
- SACRISTÁN DE LAMA, J. D. (2011): El urbanismo vacceo, *Complutum* 22 (2), 185-222.  
DOI: [https://doi.org/10.5209/rev\\_CMPL.2011.v22.n2.37731](https://doi.org/10.5209/rev_CMPL.2011.v22.n2.37731)
- SEVILLANO PEREA, L. A.; MAYORAL HERRERA, V.; SALAS TOVAR, E.; LICERAS, R.; HERAS MORA, F. J. (2013): Detectando prácticas agrarias antiguas en el territorio sur de Medellín. La expresión material de las actividades agrícolas protohistóricas del Suroeste peninsular, *VI Encuentro de Arqueología del Suroeste Peninsular, Villafranca de los Barros* (J. Jiménez Ávila, M. Bustamante-Álvarez, M. García Cabezas, coords.), Villafranca de los Barros, 1031-1064.
- SOLANA SÁINZ, J. M. (2001): Los turmogos: territorio y modos de vida, *Indígenas y romanos en el norte de la Península Ibérica* (J. Santos Yanguas, ed.), Donostia, 95-118.
- TEJA CASUSO, R. (1991): Turmogos, *Las entidades étnicas de la Meseta Norte de Hispania en época romana* (J. M. Solana, coord.), Valladolid, 193-210.





# ESTUDIO ANTROPOLÓGICO DE LAS ALQUERÍAS DE BENIZAHAT Y ZENETA (VALL D'UIXÓ, CASTELLÓN). UNA VENTANA A LA VIDA RURAL ANDALUSÍ

*Anthropological study of Benizahat and Zeneta hamlets. A window into Andalusian rural life*

JÚLIA OLIVÉ-BUSOM<sup>1</sup> , OLALLA LÓPEZ-COSTAS<sup>2</sup> , NICHOLAS MÁRQUEZ-GRANT<sup>3</sup> ,  
HELENA KIRCHNER<sup>1</sup> 

(1) Dpt. de Ciències de l'Antiguitat i l'Edat Mitjana. Universitat Autònoma de Barcelona. julia.olive@uab.cat , helena.kirchner@uab.cat  
(2) Group EcoPast - Universidade de Santiago de Compostela. Archeological Research Laboratory - Stockholm University. Laboratorio de Antropología Física - Universidad de Granada. olalla.lopez@usc.es  
(3) Cranfield Forensic Institute. Cranfield University (UK). n.marquezgrant@cranfield.ac.uk

## RESUMEN:

*En época andalusí, la Vall d'Uixó (Castellón, España) se conformaba por una serie de alquerías que estuvieron habitadas por población islámica hasta el s. XVI. A través del análisis antropológico de 99 esqueletos procedentes de dos de estas alquerías, Benizahat y Zeneta, el presente estudio explora la posible existencia de diferencias en el estilo de vida de hombres y mujeres y un posible estrés ocupacional relacionado con la economía rural en esta población. También evalúa sus condiciones de vida y niveles de estrés durante el crecimiento respecto otras poblaciones islámicas peninsulares. Aunque la población estudiada no se distingue claramente de otras poblaciones andaluzas a nivel de estrés fisiológico y ocupacional, destacan las diferencias significativas entre la población masculina y femenina en la presencia de nódulos de Schmörl y las elevadas frecuencias de caries dentales en el conjunto de la población.*

**Palabras clave:** *šarq al-Andalus, estrés fisiológico, estado de salud, arqueología islámica, cementerio.*

## ABSTRACT:

*During the Andalusian period, modern day Vall d'Uixó (Castellón, Spain) was formed by a series of hamlets that were inhabited by Islamic population until the 16th century. Through the anthropological analysis of 99 skeletons from two of these hamlets, Benizahat and Zeneta, this study explores the possible existence of differences in the lifestyle of males and females and occupational stress related to the rural economy of this population. In addition, their living conditions and stress levels during growth are assessed through the confrontation with other peninsular Islamic populations. Although the studied sample is not clearly distinguishable from other Andalusian populations in terms of physiological and occupational stress, the significant differences in the distribution of Schmörl's nodes between males and females and the high frequencies of dental caries in the population should be highlighted.*

**Key words:** *šarq al-Andalus, physiological stress, health status, Islamic archaeology, cemetery.*



La Vall d'Uixó (VDU) es una localidad situada en la Sierra de Espadán, al S de la provincia de Castellón (Comunitat Valenciana). Desde el s. VIII hasta el s. XIII su territorio formó parte de al-Andalus, más concretamente de šarq al-Andalus (fig. 1). Después de la conquista cristiana, que ocurrió aquí en la primera mitad del s. XIII, la población musulmana pudo permanecer en el área, como parte del Reino de Valencia, hasta el decreto de expulsión de los moriscos de 1609, posterior a la pragmática de conversión de 1525 (Bazzana *et al.* 1988: 168-169; Torró 2007; 2010).

En época andalusí, esta localidad consistía en doce alquerías organizadas alrededor de un *ḥiṣn*<sup>1</sup> situado en la cima de un cerro. A. Bazzana (1996; 1999) estudió este *ḥiṣn* y distinguió dos fases de ocupación. En la primera el *ḥiṣn* consistía en una estructura poligonal situada en el centro del asentamiento de planta pentagonal e irregular. El escaso espesor de los muros podría indicar que más que un edificio con funciones militares o defensivas se trataba de una estructura de hábitat. Este reducto iba acompañado de una muralla situada en la parte inferior del cerro, que encerraba un espacio con casas fechadas entre los ss. X y XI apoyadas en su parte interior. La calidad de sus muros indica que no se trataba de una simple

estructura provisional o para estabular el ganado. Bazzana propone que en la segunda fase (ss. XII-XIII) se alza el castillo actual, con el reducto inicial ya arrasado, y un recinto poligonal que encierra prácticamente todas las estructuras del castillo, con bastiones cuadrangulares y estructuras ligeras en su interior. Fuera de este complejo de fortificación se identifican zonas residenciales ocupadas durante época cristiana.

Por su parte, las doce alquerías se documentan en las fuentes feudales y se encuentran en cotas más bajas que el *ḥiṣn*. H. García García (1982) y Bazzana *et al.* (1988) proponen la siguiente distribución (fig. 2): Castro, Benicapdó y Alfandech se sitúan en la parte alta y angosta del valle, dentro de la Sierra de Espadán. Alcudia, Benigafull y Ceneja en diferentes puntos de una colina en la entrada del valle. Ya en el llano se encuentran Benizahat, Zeneta, Benigasló y Orleyl. Por último, se desconoce la localización de Benadalmeh y Care. Mediante el estudio de la toponimia, se ha podido relacionar el poblamiento de seis de estas alquerías con el asentamiento de tribus árabes y bereberes: Benigasló, Benigafull, Zeneja, Benizahat y Zeneta podrían corresponder a los Banū Gazlūn, Gafūl, Zanāta, Sa'd y Sanhāḡa respectivamente (Guichard 1976; 2016). No han sido datadas aun con exactitud o excavadas en extensión, por lo que se desconoce si todas ellas son sincrónicas.

Se tienen pocas referencias acerca del modo de vida en VDU en época andalusí. La documentación generada por la conquista feudal muestra una escasez de ganado y la existencia de cultivos como el trigo y la cebada en el s. XIII (Guichard 2001: 307). Ambos hechos coinciden con los conocimientos historiográficos que se tienen de las comunidades rurales andalusíes, las cuales parece que basaban su dieta en el consumo de cereales y legumbres (García Sánchez 2011). Sin embargo, los datos referentes a la alimentación que se pueden generar a través del estudio de la documentación feudal pueden presentar un sesgo ya que en ellos se recogen los cultivos que interesaban a los conquistadores, aquellos que se podían almacenar (Kirchner *et al.* 2014). En los últimos años se han iniciado estudios carpológicos y antracológicos en distintos asentamientos andalusíes (Alonso *et al.* 2014; Kirchner *et al.* 2014; Mira *et al.* 2017; Carrión *et al.* 2019; Peña-Chocarro *et al.* 2019). Éstos concluyen que los cereales son los más representados, principalmente trigo y cebada. También se ha documentado la presencia de legumbres y árboles frutales, especialmente en el levante.



Fig. 1: Emplazamiento de la Vall d'Uixó.

Tal como se ha mencionado anteriormente, VDU formaba parte de šarq al-Andalus, las tierras del oriente de al-Ándalus, que incluían el territorio de Tortosa a Almería y en el interior hasta Albarracín y Cuenca (Torró 2012). A. Bazzana y P. Guichard (1981) propusieron que la estructura del poblamiento del šarq al-Andalus se basaba en el binomio *hišn*- alquería(s) que ya se ha observado en VDU, una proposición que ha sido corroborada en esta región por varios autores (Esquilache 2018; Torró 2012; Selma 1991). Las alquerías consistían en territorios de límites no definidos con uno o diversos núcleos habitacionales ocupados por una comunidad rural. Junto a los *huṣūn*, castillos rurales con variedad de funciones (v.g. refugio de la población o alojamiento de guarniciones), constituían la base del poblamiento rural del šarq al-Ándalus (Bazzana y Guichard 1981; Glick 2007: 41-53). Tanto la arqueología como estudios toponímicos sugieren que este territorio tuvo una intensa presencia bereber junto a algunos elementos árabes desde un momento inicial (Bazzana y Guichard 1981; Bazzana *et al.* 1988; Guichard 2016). Diversos autores han propuesto que fueron estos grupos los que articularon las alquerías y sus espacios agrícolas (Barceló 1997; Bazzana *et al.* 1988; Kirchner y Navarro 1993).

Esta estructura de poblamiento cambió radicalmente con la conquista catalano-aragonesa, oficialmente completada en 1245, que dio como resultado la formación del Reino de Valencia (ver Torró 2007). A partir de 1248 se implementó una política de expulsión de comunidades andalusíes que encontró resistencia en la Sierra de Espadán, donde se identifican las aljamas de VDU y Eslida, y al S en las aljamas del valle situado entre Cocentaina y Denia (Guinot 1993; Torró 2007). Aunque parece que las aljamas que opusieron resistencia fueron aquellas protegidas por el rey –ya que los nobles propietarios de señoríos querían mantener a los musulmanes en sus tierras– tanto la expulsión de amplios segmentos poblacionales como la relocalización forzosa de otros y la mayor presión fiscal expedida sobre los musulmanes del Reino de Valencia fueron decreciendo y empobreciendo las comunidades musulmanas hasta su desaparición en el s. XVI (Guinot 1993; Guichard 2016; Torró 2007).

La permanencia de un grueso poblacional musulmán en el reino provoca una problemática considerable para la datación de las inhumaciones por rito islámico ya que se pueden encontrar desde el s. VIII hasta el s. XVI sin que sus características cambien o se puedan vincular a un periodo en particular<sup>2</sup>. Además, puesto que las tumbas no

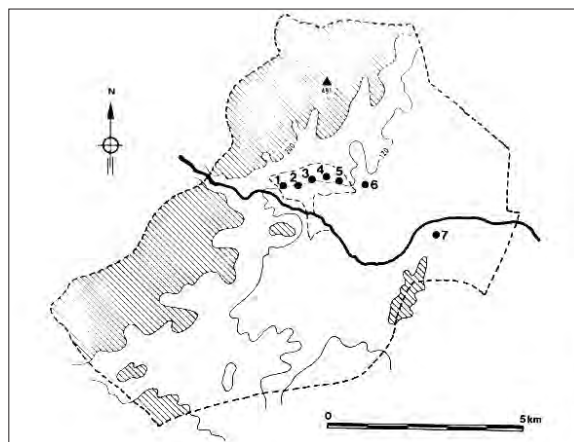


Fig. 2: Detalle del emplazamiento de las alquerías de la Vall d'Uixó planteado por Bazzana *et al.* (1988). El *hišn* está marcado con un triángulo, la numeración corresponde a: 1 Benigafull; 2 Alcudia; 3 Ceneja; 4 Benizahat; 5 Zeneta; 6 Benigasló; 7 Orleyl. Fuente: Bazzana *et al.* 1988:160.

acostumbran a contener ajuar, las dataciones por método estratigráfico son difíciles y se requieren dataciones por <sup>14</sup>C para poder distinguir con mayor seguridad poblaciones andalusíes de aquellas que vivieron bajo dominio cristiano.

La osteoarqueología puede proveer información directa sobre las personas que formaron parte de estas comunidades en aspectos como su demografía, salud y alimentación. En la región estudiada, las poblaciones urbanas de Morella, Segorbe, Onda y Burriana han sido objeto de estudios antropológicos publicados o contenidos en memorias arqueológicas (Alfonso 2003; Barrachina 2004-05; Alfonso *et al.* 2006; Duarte 2009; Polo *et al.* 2013; Noverint 2017; Melchor y Benedito 2018). Hallazgos de cementerios andalusíes rurales, como es el caso de Forcall, Borriol y Castellón de la Plana, también han sido estudiados (Polo *et al.* 2008; Duarte *et al.* 2019; Arquer y Coch 2017). En Valencia se ha explorado en profundidad la dieta reconstruida a nivel isotópico. Alexander *et al.* (2015) llevaron a cabo un estudio isotópico donde se compara la alimentación de la población mudéjar de Benipeixcar y la población cristiana de Gandía, concluyendo que la población mudéjar consumía más aportes de plantas <sup>4</sup>C (mijo y sorgo) y pescado. No obstante, quedan muchos aspectos por explorar relacionados con la dieta y otros aspectos de la vida diaria de estas comunidades, en especial aquellos que caracterizan a las poblaciones rurales, cuyo estudio es todavía incipiente.

El presente artículo plantea tres cuestiones acerca de la población rural de VDU que se estudiarán a partir de los restos óseos de 99 individuos hallados en las alquerías de Benizahat y Zeneta: 1) La posible existencia de diferencias en el estilo de vida<sup>3</sup> de hombres y mujeres, relacionadas con las evidencias historiográficas que indican una orientación más doméstica en el caso de las mujeres. 2) La detección de un posible estrés ocupacional<sup>4</sup> en VDU que se pueda relacionar con una economía rural, tal como sugieren otras colecciones rurales andaluzes y se infiere de varios estudios antropológicos (Novak y Šlaus 2011; Jiménez-Brobeil *et al.* 2012; Redfern *et al.* 2015). 3) La evaluación de las condiciones de vida y niveles de estrés durante el crecimiento en VDU respecto otras poblaciones islámicas peninsulares.

## MATERIALES Y MÉTODOS EMPLEADOS

### LA NECRÓPOLIS

Las alquerías de VDU no se han excavado en extensión, ya que se encuentran debajo de la trama del actual núcleo urbano. Por este motivo, los restos humanos estudiados proceden de varias excavaciones de urgencia realizadas entre los años 1995 y 2006 a causa de renovaciones en la canalización e instalaciones eléctricas. Estas intervenciones se concentraron en la Calle Cervantes

(1995, 2000 y 2006) y la Plaza de la Asunción (1998) y, debido a su ubicación, se atribuyen a los cementerios de las alquerías de Zeneta y Benizahat respectivamente<sup>5</sup> (fig. 3). En conjunto, se encontraron un mínimo de 89 fosas simples, en ocasiones cubiertas por losas, que contenían individuos enterrados mediante el rito islámico. De estas 89 fosas, 81 se han atribuido al cementerio de Zeneta y 8 al de Benizahat. No se han encontrado elementos de ajuar asociados a los enterramientos. La muestra estudiada se ha datado arqueológicamente entre los ss. X y XVI (Rovira 2018). Por lo tanto, puede corresponder tanto a la población andalusí que vivió en šarq al-Andalus como a una población mudéjar que vivió después de la conquista feudal.

### ESTUDIO ANTROPOLÓGICO

Se ha estimado un número mínimo de individuos de 99. Éste se ha establecido calculando el número de individuos identificados en cada fosa y sumando su total. En cada fosa, este número mínimo se calculó en base al número de los huesos repetidos que se detectaban (ej. dos húmeros izquierdos se interpretarían como la presencia de dos individuos). Se tuvieron también en cuenta diferencias de carácter sexual o de edad (White y Folkens 2005: 339-340). El índice de conservación esquelética medio de la muestra era del 42,5%. Este se ha obtenido adaptando las recomendaciones de Walker *et al.* (1988).

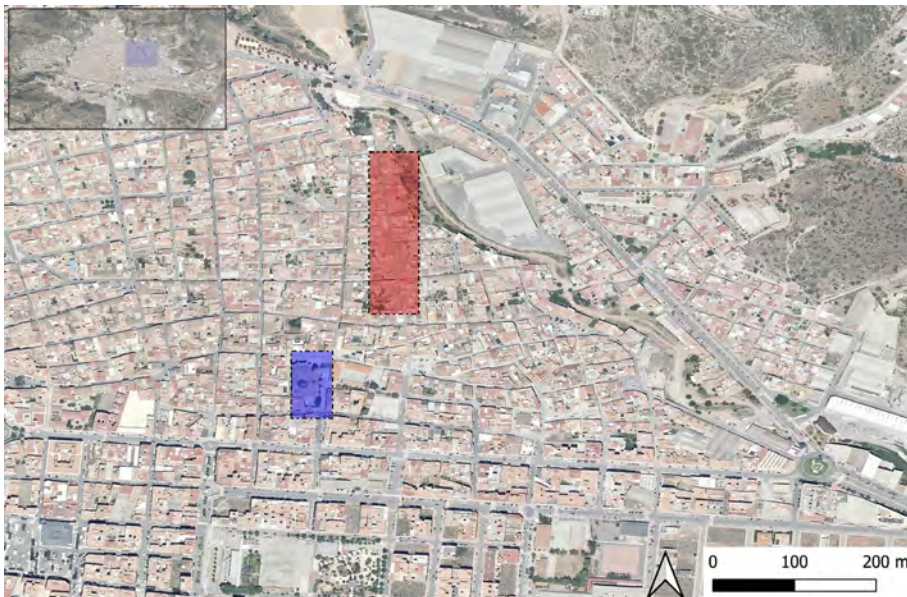


Fig. 3: Localización de las áreas de cementerio asociadas a las alquerías Zeneta (rojo) y Benizahat (azul).

Para estimar su edad se han empleado los métodos recomendados por Schaefer y colegas (2009) en los individuos menores de 15 años, y los recomendados por Brooks y Suchey (1990), Lovejoy *et al.* (1985) e Işcan y Loth (1986a y b) en individuos adultos principalmente. El sexo solo se ha estimado en individuos adultos siguiendo la metodología establecida por Buikstra y Ubelaker (1994), observando los criterios para la pelvis y el cráneo.

Con el fin de conocer el estilo de vida de la comunidad de VDU a través de los restos óseos se han documentado y analizado una serie de variables antropométricas y paleopatológicas. Se incluyó la variable antropométrica de la estatura. En el caso de la paleopatología oral se registraron las caries dentales (DC). Como patologías traumáticas se documentó la presencia de nódulos de Schmörl (SN) y traumatismos. Dentro de las marcas degenerativas se documentó artrosis (OA), y en los marcadores inespecíficos de estrés metabólico la hipoplasia lineal del esmalte (LEH) y la *cribra orbitalia* (CO). Estas variables fueron registradas para evaluar diferencias en el estilo de vida de hombres y mujeres (estatura, DC, SN, OA y traumatismos), en las características de la vida ocupacional rural y urbana (SN, OA y traumatismos) y la calidad de vida y posible estrés fisiológico (DC, SN, OA, traumatismos, estatura, LEH y CO).

Las diferencias intra e interpoblacionales en estatura pueden ser el resultado del entorno biocultural y se pueden atribuir a factores de estrés durante el desarrollo, aunque la mortalidad selectiva y fragilidad heterogénea pueden ser también factores determinantes (Schweich y Knüsel 2003; Vercellotti *et al.* 2014). Se ha estimado la estatura de cada individuo mediante las fórmulas de regresión de Pearson (1899) y Mendonça (2000) puesto que son las más indicadas para poblaciones ibéricas (Lalueza-Fox 1998). Solamente se tomaron las medidas de huesos completos y sin patologías.

Las DC tienen una etiología multifactorial y consisten en la desmineralización del esmalte dental por las bacterias bucales (Hillson 2019). En colecciones osteológicas son utilizadas para inferir diferencias en la dieta puesto que el consumo de carbohidratos puede incrementar el metabolismo bacteriano y, por lo tanto, ocasionar la aparición de DC (Grenby *et al.* 2001; Hillson 2019; Kubehl y Temple 2020). No obstante, no se trata de una interpretación directa y existen otros factores que pueden influir en la aparición de esta patología dental. Otros estudios sugieren que, en la población femenina, se pueden

ver influidas por cambios hormonales relacionados con la fertilidad, ya que las hormonas relacionadas con el embarazo alteran el pH de la saliva y pueden incrementar el riesgo de desarrollar DC (Burakoff 2003; Silk *et al.* 2008). Se analizaron todos los dientes permanentes erupcionados para evaluar la presencia o ausencia de DC y LEH. Se excluyeron aquellos que tenían superficies bucales no observables (debido a concreciones de tierra o cálculo dental); cuando debía observarse la presencia de LEH, también se descartaron aquellos dientes que presentaban más del 50% de su área desgastada o afectada por DC. Tanto para su registro como para su valoración se emplearon estándares ampliamente utilizados en estudios antropológicos (Hillson 1996; 2001).

Los SN son el resultado de la herniación del núcleo pulposo del disco intervertebral (Waldron 2009: 45). Diversos estudios en poblaciones arqueológicas vinculan su aparición con la realización de tareas físicamente intensas y con carga mecánica, mientras que la literatura clínica los vincula a factores biomecánicos y a la realización de tareas pesadas durante la etapa de desarrollo de la vértebra (Faccia y Williams 2008; Üstündağ 2009; Dar *et al.* 2010; Novak y Šlaus 2011; Burke 2012). El registro sistemático de SN se realizó en vértebras pertenecientes a individuos adultos siguiendo los estándares descritos por Knüsel *et al.* (1997) descartándose aquellas vértebras cuyos discos estaban erosionados o presentaban una pérdida *postmortem* superior a la mitad del disco. Por otro lado, la OA consiste en la degeneración del cartílago articular. Aunque se considera que tiene un origen multifactorial y se vincula estrechamente con la edad, también se relaciona con cargas mecánicas repetitivas (Weiss y Jurmain 2007). Por lo tanto, la repetición de ciertas acciones, como aquellas realizadas en una ocupación, pueden ocasionarla (Waldron 2009: 27-28). Su registro se realizó siguiendo los criterios propuestos por Waldron (2009). Solo se consideraron esqueletos adultos y se excluyeron las epífisis erosionadas o incompletas.

El estudio de los traumatismos observados en restos humanos puede ayudar a entender las prácticas culturales y socioeconómicas, y a evaluar las condiciones ambientales y sociales de una población (Šlaus *et al.* 2012; Meyer y Steyn 2016). Por esta razón diversos estudios emplean frecuencias de ciertos tipos de fracturas para hacer inferencias acerca del ambiente en que una población trabaja y/o vive (e.g. Judd y Roberts 1999; Sanders *et al.* 2002; Djurić *et al.* 2006; Šlaus *et al.* 2012; Meyer y Steyn 2016). Las prevalencias de fracturas se calcularon tanto

por individuo como por zona del esqueleto preservada (e.g. húmero proximal), registrando si éstas eran *peri-* o *antemortem*.

Respecto a las patologías que se desarrollan durante el crecimiento, se han estudiado LEH y CO (Scott y Hoppa 2018; Pilloud y Schwitalla 2020). LEH es un defecto del esmalte dental causado por interrupciones generalizadas en la formación de la matriz del esmalte, que se manifiestan como ranuras paralelas a la unión del cemento y el esmalte (Hillson 1996). CO consiste en porosidad en las paredes orbitales y puede variar en densidad y tamaño (Stuart-Macadam 1998). Aunque se discute la etiología de ambas, siguen considerándose indicadores válidos para estudiar la salud y el estatus nutricional durante la infancia en poblaciones pasadas (Scott y Hoppa 2018; Hillson 2019; Pilloud y Schwitalla 2020). LEH se documentó como presente cuando se observó al menos una línea o defecto en el esmalte. Para la evaluación de CO, se utilizó el sistema descrito por Stuart-Macadam (1991) anotando la presencia/ausencia de CO en cada órbita observada y presentándola por individuo.

Los análisis estadísticos de los datos recopilados se han hecho mediante SPSS 16. Posibles diferencias sexuales con variables categóricas se han comprobado mediante la prueba exacta de Fisher, ya que es un método adecuado para poblaciones con un número de muestra bajo. Las posibles diferencias en la estatura se analizaron mediante la Prueba U de Mann-Whitney. En ambos casos, la significancia seleccionada fue  $p < 0,05$ .

## RESULTADOS

La distribución demográfica de la muestra se expresa en la Figura 4. La muestra adulta ( $n=59$ ) contiene más hombres ( $n=26$ ) que mujeres ( $n=17$ ). Todos los rangos de edad se encuentran representados en la muestra adulta, aunque hay un mayor número ( $n=18$ ) de adultos indeterminados. En la población mayor de 30 años se observa un mayor número de hombres ( $n=13$ ) que de mujeres ( $n=5$ ). Aunque no se han encontrado individuos perinatales, destaca la proporción de individuos no adultos, cercano al  $\sim 40\%$  ( $n=40$ ) y con la presencia de un individuo perinatal, posiblemente propiciado por buen estado de conservación ósea de la colección (Grado 2 según McKinley 2004).

La estatura fue estimada en un total de 29 individuos obteniéndose una media de  $\sim 165 \pm 4$  cm en la población masculina y  $\sim 156 \pm 7$  cm en la población femenina (fig. 5). No se han observado grandes diferencias entre las estimaciones hechas por ambos métodos. Estos valores son similares a los resultados obtenidos en otros cementerios islámicos peninsulares, tanto aquellos de cronología más amplia (v.g. Maro o La Torrecilla) como los de cronologías acotadas en época andalusí (v.g. San Lázaro o Santa Teresa). Se cuenta como excepción el cementerio de La Rauda, que presenta una media para la población masculina notablemente más alta (fig. 5). El cementerio visigodo de La Almoina, también en Valencia, presenta estaturas parecidas a las obtenidas en VDU (fig. 5). Las diferencias entre sexos son significativas ( $p < 0,05$ ) tanto

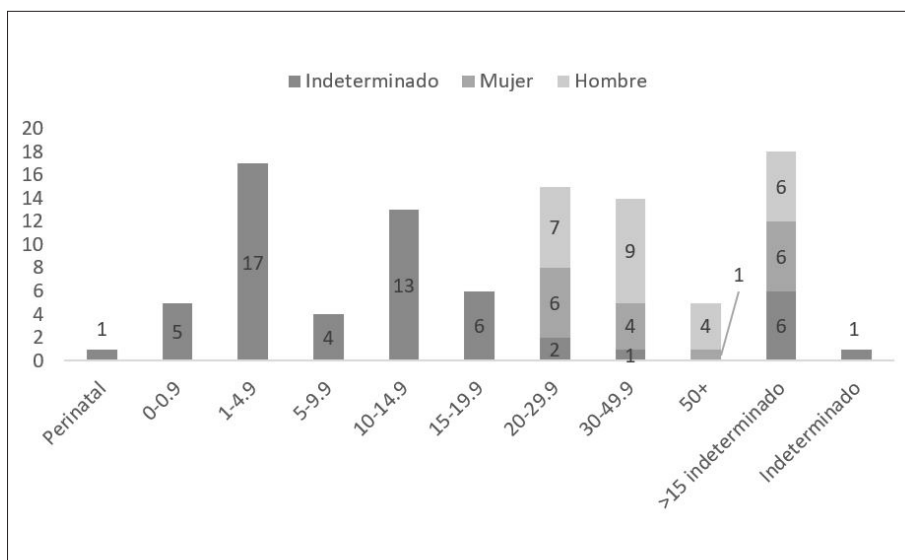


Fig. 4. Composición demográfica de la muestra.

	Tipo	Ubicación	Pearson (1899)			Mendonça (2000)				Autores
			Estatura media	S.D.	<i>p</i>	Estatura media	S.D.	<i>p</i>	<i>n</i>	
♂ VDU	Islámica X-XVI	Castellón	165,2	3,9	<0,001	165,5	4,9	0,002	17	Esta publicación
♀ VDU			156,4	6,7		156,5	7,6		12	
♂ Maro	Islámica VIII-XV	Málaga	N/A	N/A	N/A	170,5	6,8	<0,001	N/A	Sánchez- Aparcero <i>et al.</i> 2020
♀ Maro			N/A	N/A		161,1	5,8		N/A	
♂ Can Fonoll	Islámica X-XIII	Islas Baleares	159,4	N/A	N/A	N/A	N/A	N/A	4	Kyriakou <i>et al.</i> 2012
♀ Can Fonoll			150,5	N/A		N/A	N/A		6	
♂ San Lázaro	Islámica X-XI	Toledo	N/A	N/A	N/A	166,7	7	N/A	N/A	Molero 2017:117-118
♀ San Lázaro			N/A	N/A		157,6	6		N/A	
♂ Santa Teresa	Islámica VIII-X	Toledo	N/A	N/A	N/A	163,8	7	N/A	N/A	
♀ Santa Teresa			N/A	N/A		156,3	6		N/A	
♂ La Almoína	Visigoda VI-X	Valencia	1,69	N/A	N/A	N/A	N/A	N/A	7	Djlali 2018
♀ La Almoína			1,57	N/A		N/A	N/A		7	
♂ La Rauda	Islámica XI-XIII	Valencia	1,74	N/A	N/A	N/A	N/A	N/A	9	
♀ La Rauda			1,56	N/A		N/A	N/A		9	
♂ La Torrecilla	Islámica IX-XIV	Granada	164,9	9	N/A	N/A	N/A	N/A	N/A	Souich 1974
♀ La Torrecilla			151,8	9		N/A	N/A		N/A	

Fig. 5: Estaturas medias en la muestra estudiada y comparación con otras colecciones.

si se emplean las fórmulas de regresión de Mendonça (2000) como las de Pearson (1899).

Las caries dentales (DC) fueron evaluadas en un total de 592 dientes pertenecientes a 46 individuos. La frecuencia total estimada en la población adulta es del 21,1%. Como suele ser habitual, la dentición posterior se ve más afectada. No se encuentran diferencias significativas entre hombres (23,1%) y mujeres (22,8%) (fig. 6). Se debe advertir, sin embargo, que el número de dientes disponibles en la población femenina es inferior, 171 contra 281 en la masculina.

El mayor número de individuos masculinos mayores de 30 años ( $n=13$ ) respecto a los de sexo femenino ( $n=5$ ) podría estar condicionando los valores observados puesto que vivir más puede aumentar el riesgo de desarrollar DC. Por este motivo, en la Figura 7 se muestran las frecuencias de DC en dos grupos de edad (grupo1: <30 años; grupo2: >30 años). Se puede observar que el grupo de mayor edad no presenta una tendencia clara de frecuencias más altas, sin obtenerse resultados significativos en ninguno de los casos.

Los nódulos de Schmörl (SN) son notablemente menos frecuentes en individuos femeninos (6,8%) que en masculinos (28,5%) y las diferencias encontradas resultan

significativas ( $p<0,001$ ; fig. 8). Se debe advertir que el número de observaciones realizadas es siempre superior en los individuos masculinos. La mayoría de articulaciones muestran signos de artrosis (OA), con una afectación total del ~6%. Parece ser más común en las extremidades superiores (7,7%; 1,7% en las inferiores) y no se aprecian diferencias significativas entre sexos. La OA vertebral presenta diferencias significativas entre sexos con  $p<0,001$  puesto que los hombres (16,2%) presentan frecuencias más elevadas que las mujeres (2,6%) (fig. 8). Otra vez, debe tenerse en cuenta que el número de observaciones realizadas en la población femenina es inferior.

Puesto que la mayoría de los individuos mayores de 30 años son hombres, es posible que esto condicione las observaciones de SN y OA. Debido a ello, se ha establecido una comparación entre aquellos individuos menores de 30 años y los de edad superior (fig. 9). Los individuos del grupo joven presentan frecuencias mayores de SN en ambos grupos vertebrales observados, pero las diferencias solamente resultan significativas cuando se tiene en cuenta el total de observaciones ( $p=0,03$ ). Ninguno de los individuos menores de 30 años muestra signos de OA en los huesos largos. Salvo en la articulación de la cadera y

	Total DC (n=46)			Hombres (n=23)			Mujeres (n=14)			p
	n	N	%	n	N	%	n	N	%	
I1	8	85	9	2	40	5	4	24	17	0,17
I2	7	86	8	4	47	9	1	26	4	0,65
C	9	99	9	3	49	6	5	29	17	0,14
P1	27	91	30	13	32	41	10	30	33	0,61
P2	17	85	20	10	38	26	5	26	19	0,56
M1	23	52	44	13	24	54	6	12	50	1
M2	20	48	42	13	26	50	3	9	33	0,46
M3	14	46	30	7	25	28	5	15	33	0,74
TOTAL	125	592	21,1	65	281	23,1	39	171	22,8	1

Fig. 6: Frecuencias de caries dentales (DC) en la muestra estudiada por diente observado. Al no encontrarse diferencias significativas entre lateralidades, se han agrupado.

	<30 años			>30 años			p
	n	N	%	n	N	%	
I1	6	38	16	0	25	0	0,07
I2	3	44	7	3	29	10	0,68
C	7	47	15	2	28	7	0,47
P1	14	42	33	10	27	37	0,8
P2	9	41	22	6	25	24	1
M1	11	25	44	7	15	47	1
M2	11	24	46	7	13	54	0,74
M3	10	27	37	3	11	27	0,71
TOTAL	71	288	25	38	173	22	0,57

Fig. 7: Frecuencias de caries dentales (DC) en la muestra estudiada por diente observado. Al no encontrarse diferencias significativas entre lateralidades, se han agrupado.

	Total			Mujeres			Hombres			p
	n	N	%	n	N	%	n	N	%	
OA extremidad superior	36	468	7,7	7	138	5,1	25	282	8,9	0,24
Hombro	2	172	1,2	3	48	6	16	110	14,5	0,19
Codo	9	193	4,7	4	64	6	4	109	3,7	0,47
Muñeca	7	103	6,8	0	28	0	5	63	8	0,32
OA extremidad inferior	8	465	1,7	4	143	2,8	3	256	1,2	0,26
Cadera	2	145	1,4	2	46	4	0	83	0	0,13
Rodilla	5	202	2,5	1	64	4	3	106	2,8	1
Tobillo	1	118	0,8	1	33	4	0	67	0	0,33
OA Vértebras	145	1103	13,1	9	344	2,6	110	677	16,2	< 0,001
SN vértebras torácicas	92	753	12,2	10	156	6,4	57	230	24,8	< 0,001
SN vértebras lumbares	58	275	21,1	2	20	10	35	93	37,6	0,018
SN total	150	1028	14,6	12	176	6,8	92	323	28,5	< 0,001

Fig. 8: Prevalencias y frecuencias de artrosis (OA) y nódulos de Schmörl (SN) en la muestra estudiada. En OA las lateralidades se encuentran agrupadas al no encontrarse diferencias significativas<sup>6</sup>.

	<30 años			>30 años			p
	n	N	%	n	N	%	
OA extremidad superior	0	149	0	19	203	9,4	0
Hombro	0	36	0	12	84	14	0
Codo	0	72	0	2	77	3	0
Muñeca	0	41	0	5	42	12	0
OA extremidad inferior	0	169	0	5	175	2,9	0
Cadera	0	51	0	0	58	0	1
Rodilla	0	73	0	5	75	7	0
Tobillo	0	45	0	0	42	0	1
OA vertebral	13	447	2,9	116	509	22,8	<0,001
SN vértebras torácicas	48	228	21,1	39	264	14,8	0,08
SN vértebras lumbares	27	101	26,7	20	104	19,2	0,25
SN	75	329	22,8	59	368	16	0,03

Fig. 9: Prevalencias y frecuencias de artrosis (OA) y nódulos de Schmörl (SN) en la muestra estudiada por grupos de edad. En OA las lateralidades se encuentran agrupadas.

	Hombres <30			Mujeres <30			Hombres >30			Mujeres >30		
	n	N	%	n	N	%	n	N	%	n	N	%
OA extremidad superior	0	89	0	0	63	0	16	139	11,5	1	46	2
OA extremidad inferior	0	87	0	0	54	0	3	129	2,3	1	33	0
VOA	4	228	1,8	9	187	4,8	96	330	29,1	36	253	14,2
SN	53	188	28	8	108	7	39	273	14	2	67	3

Fig. 10: Prevalencias y frecuencias de artrosis (OA) y nódulos de Schmörl (SN) en la muestra adulta estudiada por grupos de sexo y edad. En OA las lateralidades se encuentran agrupadas.

el tobillo, las frecuencias más elevadas en el grupo de mayores de 30 años se presentan como significativas (fig. 9). En el caso de la OA vertebral, aunque el grupo joven presenta esta patología (2,9%), la frecuencia observada es mucho menor que el grupo de mayores de 30 años (22,8%) y la diferencia resulta significativa ( $>0,001$ ).

Si la muestra estudiada se divide por sexos y los grupos de edad especificados anteriormente, los hombres muestran frecuencias mayores independientemente del grupo de edad (fig. 10). El grupo joven, independientemente del sexo, no muestra OA en las extremidades superiores o inferiores, y una frecuencia del 2,9% en las vértebras de individuos masculinos y del 4,8% en femeninos. La OA vertebral en individuos jóvenes es el único caso en que esta patología es más usual en mujeres que en hombres. Con todo, es posible que la edad, con una mayoría de mujeres jóvenes y hombres mayores de 30 años, sea un factor que influye y condiciona la supuesta diferencia significativa entre sexos observada en la Figura 8.

No se han encontrado fracturas *perimortem* en la muestra, pero sí nueve casos de fracturas *antemortem* en ocho individuos distintos ( $n=8/99$ ;  $\sim 8\%$ ) (fig. 11). Dos individuos presentan fracturas costales, otros dos mandibulares en su plano anterior, y se cuentan dos fracturas claviculares. Otros dos individuos presentan una fractura de peroné y metacarpo respectivamente.

No se observa hipoplasia del esmalte (LEH) en la dentición decidua, mientras que en la dentición permanente se presenta con una frecuencia total del 37,1% (fig. 12). Parece ser ligeramente más abundante en hombres, sin que las diferencias sean significativas ( $p=0,22$ ). En los 14 individuos no adultos analizados, más de la mitad tienen marcas de *cribra orbitalia* (CO; 57%), mientras que la muestra adulta presenta una frecuencia del 17% (fig. 12). Ninguno de los individuos femeninos ( $n=10$ ) tiene marcas de CO, a diferencia de los masculinos, que presentan una frecuencia del 18% (17 individuos). Por lo general, se observó una porosidad de grado medio-leve correspondiente a los grados 1-2 propuestos por Stuart-Macadam (1991).

Individuo	Sexo	Edad (años)	Localización	n/N	%
AC1F3	Indet.	20-29,9	Tercer metatarso derecho.	1/226	<1
AC7F5	Mujer	20-29,9	Costilla izquierda.	1/275	<1
C95F30	Hombre	50+	Costilla derecha.	1/272	<1
C95F21	Hombre	20-29,9	Tercio distal del peroné derecho.	1/52	2
C00UE117	Mujer	>15	Mandíbula anterior.	2/53	4
C95F36	Mujer	20-29,9	Clavícula acromial izquierda.	1/35	3
C06F3	Hombre	30-49,9	Mandíbula anterior. Clavícula acromial derecha.	2/53; 1/37	4; 3
C06F21	Indet.	30-49,9	Quinto metacarpo derecho.	1/219	<1

Fig. 11: Descripción y frecuencia de las fracturas *antemortem* encontradas en la muestra.

	Mayores de 15			Hombres			Mujeres			<i>p</i>	Menores de 15*		
	n	N	%	n	N	%	n	N	%		n	N	%
LEH anterior (6)	222	372	59,7	72	129	55,8	39	81	48,1	0,32	0	97	0
LEH posterior	82	447	18,3	32	148	21,6	12	81	14,8	0,23	0	69	0
LEH total	304	819	37,1	104	277	37,6	51	162	31,5	0,22	0	166	0
CO	6	34	17	3	17	18	0	10	0	0,27	8	14	57

Fig. 12: Frecuencias de hipoplasia de esmalte (LEH) y *criba orbitalia* (CO) en la muestra estudiada. \*Se muestra la dentición decidua.

## DISCUSIÓN

A nivel demográfico, no se encuentra una distribución anormal que indique un episodio de mortalidad excepcional o catastrófica (DeWitte 2010; Curtis y Rousen 2017). La muestra no adulta presenta mayoritariamente individuos de entre 1 y 5 años (~44%), seguida de individuos de 10 a 15 años (13/39). Los individuos de 5 a 10 años (~10%) y de 0 a 1 años (~13%) tienen una representación menor, encontrándose un solo individuo perinatal (fig. 2). Por lo tanto, la distribución de la mortalidad no-adulta coincide en gran medida con los patrones de mortalidad de poblaciones preindustriales ya que desciende después de los 5 años y vuelve a aumentar en el rango de 10 a 15 años (Rousham y Humphrey 2002: 124). Sin embargo, también cabría esperar una mortalidad mayor en los individuos de menos de 1 año (Rousham y Humphrey 2002: 124). La baja representación de este grupo se puede deber al número de muestra, a la fragilidad de los restos, y al hecho que solo

una parte del cementerio ha sido excavado, por lo que se cuenta con una muestra parcial de la población (Chamberlain 2009).

## DIFERENCIAS EN EL ESTILO DE VIDA DE HOMBRES Y MUJERES

Se ha detectado un dimorfismo sexual significativo en la estimación de la talla media por sexo, puesto que la estatura estimada para los hombres es ~9 cm más de media que la de las mujeres (fig. 5). Este valor es considerado normal por Manouvrier (1893) y se ajusta a los rangos observados en poblaciones modernas (Bogin *et al.* 2017). Se observan estaturas muy similares en otras poblaciones islámicas peninsulares, salvo en la necrópolis de la Rauda, donde la población masculina es notablemente más alta (~9 cm; fig. 13) (Djilali 2018). La frecuencia de caries dentales (DC) difiere entre hombres y mujeres sin que estas diferencias sean significativas o constantes (fig. 6). Tal y como muestra la Figura 7,

Fig. 13: Localización de los cementerios islámicos mencionados en la discusión: 1. Verge de Lledó (Castelló); 2. Burriana y Vall d'Uixó; 3. la Rauda y la Almoina (Valencia); 4. Xàtiva; 5. Can Fonoll; 6. Marroquíes Bajos; 7. Maro; 8. San Nicolás; 9. el Fontanar; 10. la Torrecilla; 11. San Lázaro y Santa Teresa (Toledo); 12. Santarem.



la edad no parece ser un factor que haya influenciado los resultados obtenidos por sexos. Por lo tanto, estos parámetros no permiten plantear posibles diferencias de alimentación. En otras necrópolis islámicas peninsulares, donde estas diferencias también se han analizado, se han obtenido resultados similares (Brandi 1992: 124-126; López-Morango 2020: 97-117).

La población femenina presenta frecuencias significativamente más bajas de nódulos de Schmörl (SN) (fig. 8). Este patrón se repite en otras necrópolis andaluzas salvo en el Fontanar, donde la población femenina muestra una mayor afectación (fig. 14) (Lacalle y Guijo 2006; Aran 2012). La colección analizada está compuesta por un mayor número de hombres mayores de 30 años que de mujeres. Esto podría influir las diferencias detectadas por sexo. Sin embargo, si la muestra estudiada se divide en grupos de edad (grupo 1: 15-30 años; grupo 2: >30 años), las diferencias observadas no resultan significativas. Solo cuando se agrupan ambos grupos vertebrales lo son y se destaca que los SN son

más comunes en los individuos más jóvenes (fig. 9). Además, los datos de la Figura 10 parecen indicar que, independientemente del grupo de edad, los individuos masculinos tienden a presentar frecuencias más elevadas de SN.

La artrosis (OA) vertebral es significativamente más común en hombres, lo que también se detecta en la necrópolis de la Torrecilla, pero no en la de Maro (fig. 14), ambas rurales (Jiménez-Brobeil *et al.* 2012; Sánchez-Aparcero *et al.* 2020). No se observan diferencias significativas en las otras articulaciones, aunque parece intuirse que la población masculina presenta frecuencias más elevadas en las articulaciones de miembros superiores y la femenina en las de miembros inferiores. No obstante, la mayor cantidad de individuos masculinos de edad superior a 30 años podría estar condicionando los resultados obtenidos en esta patología degenerativa estrechamente ligada a la edad. De hecho, se obtienen diferencias significativas, siendo OA más frecuente entre los mayores de 30 años

Yacimiento	Ubicación	Cronología	Tipo	Total*	No-adultos**	Hombres	Mujeres	Autores
<i>DC</i>								
VDU	Castellón	ss. X-XVI	Rural	21,10%	5%	23,10%	22,80%	N/A
Xàtiva	Valencia	s. X?	Rural	16%	—	—	—	Negre <i>et al.</i> 2003
El Fontanar	Córdoba	s. X	Urbano	9%	—	—	—	Lacalle y Guijo 2006
San Nicolás	Murcia	ss. XI-XIII	Urbano	—	5,30%	14,6%	18,7%	Brandi 1992
<i>SN</i>								
VDU	Castellón	ss. X-XVI	Rural	14,60%	N/A	28,50%	6,80%	N/A
La Torrecilla	Granada	ss. IX-XIV	Rural	—	—	35,9%	8,6%	Jiménez-Brobeil <i>et al.</i> 2012
Santarém	Portugal	ss. VIII-XII	Urbano	9%	—	—	—	Rodrigues 2013
San Nicolás	Murcia	ss. XI-XIII	Urbano	12,10%	—	23,3%	19%	Campo 2015:149-151
<i>OA</i>								
VDU	Castellón	ss. X-XVI	Rural	6%	N/A	N/A	N/A	N/A
La Torrecilla	Granada	ss. IX-XIV	Rural	—	—	13,1%***	6,7%***	Jiménez-Brobeil <i>et al.</i> 2012
<i>Fracturas</i>								
VDU		ss. X-XVI	Rural	8%	N/A	N/A	N/A	N/A
Marroquíes Bajos	Jaén	ss. IX-XIII	Rural	9%	—	—	—	Aran 2012
El Fontanar	Córdoba	s. X	Urbano	~15%	—	~10%	~20%	Lacalle y Guijo 2006
<i>CO</i>								
VDU	Castellón	ss. X-XVI	Rural	17%	57%	18%	0%	N/A
Burriana	Castellón	ss. XI-XIII	Urbano	42,80%	—	—	—	Polo <i>et al.</i> 2013
Verge de Lledó	Valencia	ss. XI-XIII	Rural?	37,9%				Polo <i>et al.</i> 2008
Maro	Málaga	ss. VIII-XV	Rural	9,1%	—	—	—	Sánchez-Aparcero <i>et al.</i> 2020
El Fontanar	Córdoba	s. X	Urbano	—	4%	2,60%	2%	Lacalle y Guijo 2006
<i>LEH</i>								
VDU	Castellón	ss. X-XVI	Rural	37,1	0	37,60%	31,50%	N/A
Xàtiva	Valencia	s. X?	Rural	14%	—	—	—	Negre <i>et al.</i> 2003
El Fontanar	Córdoba	s. X	Urbano	25%	—	—	—	Lacalle y Guijo 2006
San Nicolás	Murcia	ss. XI-XIII	Urbano	—	2,7%	29%	29,7%	Brandi 1992

Fig. 14: Tabla resumen de las frecuencias en patologías obtenidas en otros sitios islámicos. \*refiere a los adultos \*\* en dentición refiere a la decidua \*\*\*solamente artrosis (OA) vertebral.

(fig. 9). Los resultados obtenidos al dividir la muestra teniendo en cuenta el sexo y la edad de los individuos parecen confirmar esta tendencia (fig. 10). Por lo tanto, es posible que la mayor cantidad de individuos de sexo masculino influya en los resultados obtenidos analizando la población en conjunto.

Por otro lado, no parece que el sexo juegue un papel en la distribución de las fracturas *ante mortem*. Las fracturas costales, claviculares, de metacarpos y de metatarsos suelen ser el resultado de caídas y accidentes (fig. 11) (Lovell y Grauer 2019). Aunque las fracturas mandibulares y otras fracturas del esqueleto facial pueden ser el resultado de violencia interpersonal, también pueden ser causadas por caídas y otro tipo de accidentes que causen un impacto directo (Martin y Harrod 2015; Lovell y Grauer 2019).

Asumiendo el sexo como una aproximación al género de los individuos, parece que la mayoría de los marcadores estudiados no presentan una diferencia entre hombres y mujeres. Los resultados obtenidos en SN podrían sugerir una diferenciación sexual de la actividad física. En el caso de los hombres las frecuencias observadas son equiparables a las publicadas para poblaciones modernas de las que se conoce la realización de tareas físicamente pesadas y exigentes (Burke 2012, reporta un ~19% en SN una población militar norteamericana). No se puede concluir, por lo tanto, que con los datos obtenidos la división de la actividad coincida con los datos historiográficos. Según éstos, la mujer se dedicaba principalmente a las tareas domésticas y el cuidado de los niños, mientras que la población masculina se encargaba preferiblemente del resto de sectores económicos (Ávila 1995; Cabanillas 2012; Pérez Ordóñez 2018). Aun así, hay muy poca información acerca de la mujer en el mundo rural y se ha propuesto que, paralelamente a las tareas domésticas, podría desarrollar tareas similares a los hombres (Shatzmiller 1993: 348-350). A nivel antropológico no hay ningún estudio que integre y compare los datos obtenidos en diferentes poblaciones andaluzas, cuyos números muestrales son bajos una vez se dividen en grupos de acuerdo con el sexo y edad de los individuos.

## ESTRÉS OCUPACIONAL Y VIDA RURAL

Al comparar patologías relacionadas con la realización de tareas repetitivas y físicamente exigentes entre poblaciones rurales y urbanas hay que tener presente que,

tal como parecen demostrar diversos estudios clínicos, el esqueleto es más capaz de desarrollar adaptaciones durante la etapa de crecimiento (Huang *et al.* 2003). Por este motivo, es posible que aquellos individuos que se inicien en tareas de alta intensidad en etapas más jóvenes desarrollen una mayor robustez y masa ósea que, a su vez, propicien una menor tasa de aparición de estas patologías (Knüsel 1993).

Aunque la distribución de SN en la muestra estudiada se asemeja más a las observadas en otras necrópolis rurales, se detectan frecuencias similares en medios urbanos islámicos de la península Ibérica (fig. 14). De un modo parecido, OA es también una patología común en otras colecciones islámicas peninsulares y, coincidiendo con la muestra observada, se localiza principalmente en la columna vertebral (Barrachina 2004-2005; Gutiérrez *et al.* 2016; Sánchez-Aparcero *et al.* 2020). Las frecuencias observadas en las extremidades de la colección estudiada son similares a las halladas en la población rural de Maro (Sánchez-Aparcero *et al.* 2020). En la población también rural de la Torrecilla, se observan frecuencias similares en OA vertebral (Jiménez-Brobeil *et al.* 2012). Puesto que el principal factor que influye en la presencia y severidad de la artrosis es la edad, seguida de carga mecánica y movimiento y también factores genéticos, es posible que el bajo número de adultos de edad avanzada encontrados en la muestra de VDU explique en los resultados obtenidos (Creamer 1997; Weiss y Jurmain 2007; Gellhorn *et al.* 2013).

Las fracturas parecen ser comunes en diversas poblaciones andaluzas tanto rurales como urbanas (Lacalle y Guijo 2006; Polo *et al.* 2008; Aran 2012; Polo *et al.* 2013). Es necesario recalcar que la frecuencia observada en la población urbana del Fontanar prácticamente dobla tanto la observada en la muestra estudiada como la de Marroquíes Bajos, por lo que, con los datos actuales, no parece detectarse que la vida rural implicara una mayor exposición a accidentes según las técnicas empleadas (fig. 14).

Por lo tanto, los resultados obtenidos en la muestra estudiada para SN y OA parecen compatibles con los hallados en otras necrópolis rurales. En el caso de las poblaciones urbanas, no se observan grandes diferencias en la distribución de SN, aunque no ha sido posible establecer esta comparativa con OA. Las fracturas observadas en la muestra estudiada parecen ser en su mayoría atribuibles a accidentes.

## CONDICIONES DE VIDA RESPECTO A OTRAS COLECCIONES ANDALUSÍES

Tal como se ha dicho anteriormente, no se han encontrado patrones que individualicen claramente la colección estudiada sobre las colecciones islámicas de comparación disponibles. Sin embargo, las frecuencias de DC observadas en VDU (fig. 6) son más altas que las observadas en las colecciones de Xàtiva, el Fontanar y San Nicolás (fig. 14). Aunque DC es una patología oral de origen multifactorial que no se ve afectada solamente por la dieta (Burakoff 2003; Silk *et al.* 2008; Hillson 2019), varios autores han propuesto su relación con un mayor consumo de carbohidratos (Keenleyside 2008; Ritter *et al.* 2009; Cucina *et al.* 2011). Es por esto que las frecuencias obtenidas en VDU podrían ser indicativas de un consumo de alimentos ricos en estas moléculas: los cereales y la fruta. Los datos historiográficos referentes a la dieta andalusí de esta región, así como los económicos que se tienen acerca de VDU en época medieval, mencionan el protagonismo de los cereales en la economía (Bollens 1990; Guichard 2001: 307; García Sánchez 2011). Recientemente, estudios carpológicos centrados en ámbitos principalmente urbanos del levante peninsular, con la excepción del estudio de Carrión *et al.* (2019), confirman una mayor representación de los cereales en el registro, aunque también documentan la presencia de legumbres y árboles frutales (Alonso *et al.* 2014; Kirchner *et al.* 2014; Carrión *et al.* 2019; Peña-Chocarro *et al.* 2019).

Los parámetros observados (SN, OA o fracturas) constituyen indicadores de acciones repetitivas o del riesgo de sufrir accidentes (e.g. caídas) tal como indican estudios clínicos e interpretan publicaciones basadas en poblaciones arqueológicas (Jurmain 1999: 3-5; Faccia y Williams 2008; Üstündağ 2009; Waldron 2009: 152; Dar *et al.* 2010; Novak y Šlaus 2011; Burke 2012). Como se ha dicho anteriormente, las frecuencias observadas en VDU no se distinguen sobremanera respecto a otras colecciones andalusíes donde estos parámetros también se han estudiado.

Respecto a las condiciones de vida en la infancia, éstas se pueden abordar desde la estatura, ya que la talla alcanzada depende de las condiciones durante el crecimiento, LEH y CO, que marcan periodos de estrés metabólico durante el desarrollo. No obstante, somos conscientes que los factores genéticos influyen en

la estatura adulta por lo que no se trata de una relación simple de causa-efecto con la nutrición. El hecho de haber observado un dimorfismo sexual 1) similar al de otras poblaciones andalusíes y 2) considerado dentro de los rangos esperados en poblaciones modernas, se puede vincular a la existencia de un entorno poco adverso ya que la falta de dimorfismo sexual se vincula a la existencia de un entorno adverso durante la etapa de desarrollo del individuo (Bogin *et al.* 2017). Las frecuencias de individuos con marcas de LEH observadas en la población adulta son ligeramente más elevadas si se comparan con otras poblaciones islámicas (fig. 14), lo que indica que los individuos que sobrevivieron hasta la edad adulta pasaron por uno o varios periodos de estrés en la infancia. Más de la mitad de los individuos no adultos presentan marcas de CO, mientras que los esqueletos adultos muestran frecuencias bajas si se comparan con otras poblaciones andalusíes (fig. 14).

Por lo tanto, las frecuencias de CO en la muestra adulta sugieren que se trata de una población con menos periodos de estrés durante la infancia. La presencia de dimorfismo sexual en la estatura apoya esta interpretación. Sin embargo, las frecuencias de LEH se presentan como mayores con respecto a otras colecciones peninsulares islámicas. Diversos estudios han identificado que CO y LEH no presentan coocurrencia, especialmente en individuos adultos, y se ha propuesto que los patógenos que las provocarían, juntamente con una posible malnutrición y un sistema inmunológico debilitado, harían que el individuo fuera menos resistente ante posibles enfermedades adicionales y un mayor estrés (Obertová y Thurzo 2007; Liebe-Harkort 2012). Es difícil establecer una causa para las frecuencias de CO observadas en la muestra no-adulta, puesto que no hay suficientes poblaciones de comparación. Con todo, se podría interpretar que esta población rural tenía un acceso a los recursos alimentarios sujetos a limitaciones, pero en todo caso, posiblemente estas serían menores que en otras poblaciones islámicas. También que estaba menos sujeta a estrés derivado de enfermedades como la anemia, parásitos u otros causantes de estrés nutricional durante la infancia puesto que, aunque sus etiologías aún están discutidas, LEH y CO siguen considerándose como un buen indicador para estimar la salud y estatus nutricional durante el crecimiento en las poblaciones arqueológicas (Scott y Hoppa 2018; Hillson 2019; Pilloud y Schwitalla 2020).

## CONCLUSIONES

La mayoría de los parámetros estudiados no muestran diferencias por sexo. Sin embargo, se han detectado diferencias entre la población masculina y la femenina con respecto a la presencia de nódulos de Schmörl en los individuos. Normalmente se vinculan a una división de la actividad basada en el sexo, en la que los individuos masculinos llevarían a cabo tareas más demandantes (Faccia y Williams 2008; Üstündağ 2009; Dar *et al.* 2010; Novak y Šlaus 2011; Burke 2012). Aunque esta observación concuerda con las referencias historiográficas sobre la división del trabajo en la vida diaria de al-Ándalus y la vinculación de la mujer al ámbito doméstico, deben tenerse en cuenta cuatro puntos: 1) no existe un estudio que englobe los resultados de esta patología, u otras, en diferentes colecciones andalusíes y una muestra suficientemente representativa por edades; 2) no hay información acerca de la distribución de las tareas ocupacionales en el mundo rural según el sexo; 3) en la muestra adulta de la colección estudiada se ha detectado que la mayoría de individuos mayores de 30 años son de sexo masculino, lo que podría estar influyendo en los resultados observados; 4) otras patologías como la OA no muestran unas claras diferencias por sexo.

VDU presenta frecuencias similares en las patologías traumáticas y degenerativas estudiadas cuando éstas se comparan con las obtenidas en otras muestras de contextos rurales islámicos. En el estudio de las diferencias entre el ámbito rural y urbano, no se observan grandes variaciones entre las patologías de origen traumático de esta colección ni de otras islámicas. Además de ello, las fracturas observadas se pueden vincular a accidentes por lo que no son atribuibles a violencia interpersonal. Sobre las patologías degenerativas, no se han podido establecer comparaciones con base estadística con colecciones urbanas. En la misma línea, aunque la frecuencia de LEH es elevada, los marcadores vinculados a fases de estrés durante el crecimiento (CO) y la estatura no distinguen claramente la población de VDU del resto de las poblaciones andalusíes con las que se compara. Por eso, aunque es posible que sufriera periodos de estrés durante la infancia, su ocurrencia no fue extraordinaria. Sin embargo, VDU se distingue por presentar frecuencias de caries dental elevadas, que podrían estar vinculadas a un mayor consumo de carbohidratos cosa que las fuentes escritas ya atestiguan. Esta patología dental es en todo caso multifactorial y se deberá profundizar estimando la dieta de los individuos mediante métodos complementarios tales como análisis de isótopos estables.

## NOTAS

1. El término *hišn* designa, en las fuentes andalusíes, principalmente a las fortificaciones rurales aunque puede corresponderse con diversas soluciones constructivas y de habitación (Bazzana *et al.* 1988). En general, ha sido adoptado por la historiografía para designar esta variedad de fortificaciones.
2. Algunos autores fechan aquellas fosas con orientación E-O, en vez de la usual NE-SO, en el periodo califal puesto que se alinearían con la *qibla* de la mezquita de Córdoba (Duarte *et al.* 2019).
3. Por estilo de vida se entienden las actividades que una persona o grupo suele hacer, incluida su dieta, orientaciones conductuales y perfil de acción (v.g. tareas ocupacionales) (Sniechotta *et al.* 2005; Haenfler *et al.* 2012).
4. El concepto estrés ha sido ampliamente debatido (Hubbe *et al.* 2018; Klaus 2014; Larsen 2015). En bioarqueología, evalúa las limitaciones ambientales, el potencial de amortiguadores culturales y la capacidad del individuo para resistir, y se manifiesta como disrupciones en el crecimiento, la presencia de ciertas patologías, o la propia muerte del individuo (Goodman *et al.* 1984). Se utiliza, además, para hacer inferencias acerca del estado de salud, comportamiento y adaptaciones de la población estudiada (Larsen 2015). En el caso del estrés ocupacional, se trata de inferencias relacionadas con la cantidad, y en ocasiones el tipo, de carga relacionada con la actividad física de una población.
5. Comunicación personal de M. L. Rovira a Júlia Olivé-Busom entre febrero y abril de 2018.
6. Para el hombro se ha tenido en cuenta la epífisis proximal del húmero, la cavidad glenoide y la epífisis clavicular; para el codo el húmero distal y el radio y cúbito proximales; para la muñeca el cúbito y radio distales; para la cadera el fémur proximal y el acetábulo; para la rodilla el fémur distal, la tibia proximal y la rótula; para el tobillo la tibia y el peroné distales.

## AGRADECIMIENTOS

Los autores desean expresar su agradecimiento al *Museu Arqueològic Municipal de la Vall d'Uixó*, que ha cedido los materiales de estudio.

Júlia Olivé-Busom está financiada por un contrato FPU (FPU17/02934) otorgado por el Ministerio de Ciencia, Innovación y Universidades. Olalla López-costas está financiada por el Ministerio de Ciencia, Innovación y Universidades (JIN Project PID2019-111683RJ-100). El proyecto *Órdenes agrarias y conquistas ibéricas (siglos XII-XVI). Estudios desde la arqueología histórica* (HAR2017-82157-P) concedido por el Ministerio de Ciencia, Innovación y Universidades ha financiado esta investigación.

## BIBLIOGRAFÍA

- ALEXANDER, M. M.; GERRARD, C. M.; GUTIÉRREZ, A.; MILLARD, A. R. (2015): Diet, society, and economy in late medieval Spain: Stable isotope evidence from Muslims and Christians from Gandía, Valencia, *American Journal of Physical Anthropology* 156 (2), 263-273.  
DOI: <https://doi.org/10.1002/ajpa.22647>
- ALFONSO, J. (2003): *Memòria excavació arqueològica en carrer Soroller nº5 (Onda, Castelló)*, Inédito.
- ALFONSO, J.; OLLER, A.; HERNÁNDEZ, R. (2006). *Informe Preliminar excavación arqueológica de urgencia. Pl. El Pla, nº 1. Nova Casa de la Vila (Onda, Castellón)*, Inédito.
- ALONSO, N.; ANTOLÍN, F.; KIRCHNER, H. (2014): Novelty and legacies in crops of the Islamic period in the northeast Iberian Peninsula: The archaeobotanical evidence in Madīna Balagī, Madīna Lārīda, and Madīna Turtūša, *QualInt* 346, 149-161.  
DOI: <https://doi.org/10.1016/j.quaint.2014.04.026>
- ARAN, A. (2012): La población de “Marroquíes Bajos”: Reconstrucción de la vida biológica, social y cultural de la necrópolis musulmana de Jaén, *Estrat crític: Revista d'Arqueologia* 6, 68-84.
- ARQUER, N.; COCH, C. (2017): Intervenció arqueològica d'urgència a la necròpolis andalusina del Palmar II (Borriol, Plana Alta), *QPAC* 35, 203-211.
- ÁVILA, M. L. (1995): La estructura de la familia en al-Andalus, *Casas y Palacios de al-Andalus* (J. Navarro, ed.), Barcelona, 33-37.
- BARCELÓ, M. (1997): Assaig d'identificació del rastre dels assentaments de la immigració berber més primerenca, *El curs de les aigües. Treballs sobre els pagesos de Yàbisa (290-633 H/902-1235 dC)* (M. Barceló, ed.), Eivissa, 9-28.
- BARRACHINA, A. (2004-05): La necrópolis islàmica de la plaça de l'Almudín. Sogorb (Alt Palància): estudi antropològic i cronològic, *QPAC* 24, 281-294.
- BAZZANA, A. (1996): Un Hisn valenciano: Shûn (Uxó) en la Vall d'Uixó (Castellón) I, *QPAC* 17, 445-475.
- BAZZANA, A. (1999): Un Hisn valenciano: Shûn (Uxó) en la Vall d'Uixó (Castellón) II, *QPAC* 20, 317-346.
- BAZZANA, A.; GUICHARD, P. (1981): Irrigation et société dans l'Espagne orientale au Moyen Age, *MOM Éditions* 2 (1), 115-140.
- BAZZANA, A.; CRESSIER, P.; GUICHARD, P. (1988): *Les châteaux ruraux d'al-Andalus: histoire et archéologie des huşûn du sud-est de l'Espagne*, Madrid.
- BOGIN, B.; SCHEFFLER, C.; HERMANUSSEN, M. (2017): Global effects of income and income inequality on adult height and sexual dimorphism in height, *AJHB* 29 (2), e22980.  
DOI: <https://doi.org/10.1002/ajhb.22980>
- BOLENS, L. (1990): *L'Andalousie du quotidien au sacré. XI-XII siècles*, Norfolk.
- BRANDI, A. (1992): *Paleodemografía y paleopatología dental en la población hispanomusulmana de Murcia. s. XI-XIII*, Tesis doctoral. Universidad Autónoma de Madrid.
- BROOKS S. T.; SUCHEY, J. M. (1990): Skeletal age determination based on the os pubis: a comparison of Acsádi-Nemeskéri and Suchey-Brooks methods, *Human Evolution* 5, 227-238.  
DOI: <https://doi.org/10.1007/BF02437238>
- BUIKSTRA, J. E.; UBELAKER, D. H. (1994): *Standards for data collection from human skeletal remains*, Fayetteville.
- BURAKOFF, R. P. (2003): Preventive dentistry: current concepts in women's oral health, *Primary Care Update for OB/GYNS* 10 (3), 141-146.  
DOI: [https://doi.org/10.1016/S1068-607X\(03\)00021-0](https://doi.org/10.1016/S1068-607X(03)00021-0)
- BURKE, K. L. (2012): Schmorl's nodes in an American military population: Frequency, Formation, and Etiology, *Journal of Forensic Sciences* 57 (3), 571-577.  
DOI: <https://doi.org/10.1111/j.1556-4029.2011.01992.x>
- CABANILLAS, M. I. (2012): La mujer en Al-Ándalus, *Actas del IV Congreso Virtual sobre historia de las mujeres*, Jaén, 3-19.
- CAMPO, M. (2015): *Paleopatología de la columna vertebral en la población hispanomusulmana de San Nicolás, (Murcia, S. XI-XIII)*, Tesis doctoral. Universidad Autónoma de Madrid.
- CARRIÓN, Y.; PÉREZ-JORDÀ, G.; XIMÉNEZ DE EMBÚN, M. T. (2019): La explotación agrícola y forestal en el entorno del Cabezo Pardo (San Isidro-Granja de Rocamora, Alicante): los restos vegetales de los niveles emirales, *MARQ: arqueología y museos* 10, 67-78.
- CHAMBERLAIN, A. (2009): Archaeological demography, *Human Biology* 81 (3), 275-286.  
DOI: <https://doi.org/10.1017/S0959774318000380>
- CREAMER, P.; HOCHBERG, M. C. (1997): Osteoarthritis, *Lancet* 350, 503-508.  
DOI: <https://doi.org/10.1136/pmj.79.933.377>
- CUCINA, A.; CANTILLO, C. P.; SOSA, T. S.; TIESLER, V. (2011): Carious lesions and maize consumption among the Prehispanic Maya: an analysis of a coastal community in northern Yucatan, *AJPA* 145 (4), 560-567.  
DOI: <https://doi.org/10.1002/ajpa.21534>
- CURTIS, D. R.; ROOSEN, J. (2017): The sex-selective impact of the Black Death and recurring plagues in the Southern Netherlands, 1349-1450, *AJPA* 164 (2), 246-259.  
DOI: <https://doi.org/10.1002/ajpa.23266>
- DAR, G.; MASHARAWI, Y.; PELEG, S.; STEINBERG, N.; MAY, H.; MEDLEJ, B.; PELED, N.; HERSHKOVITZ, I. (2010): Schmorl's nodes distribution in the human spine and its possible etiology, *European Spine Journal* 19 (4), 670-675.  
DOI: <https://doi.org/10.1007/s00586-009-1238-8>
- DEWITTE, S. N. (2010): Age patterns of mortality during the Black Death in London, AD 1349-1350, *JAS* 37 (12), 3394-3400.  
DOI: <https://doi.org/10.1016/j.jas.2010.08.006>

- DJILALI, K. (2018): Estudio antropológico de las necrópolis visigoda e islámica de La Almoína (Valencia), *Jornades d'Arqueologia de la Comunitat Valenciana* (C. Matamoros, F. E. Tendero, L. Alapont, J. Alfonso, eds.), València, 205-216.
- DUARTE, F. X. (2009): Arqueología funeraria en Morella (Els Ports, Castelló): 1994-2007, *Actas del IX Congreso Nacional de Paleopatología* (M. Polo, E. García Prosper, eds.), Morella, 79-96.
- DUARTE, F. X.; PÉREZ, R.; ARASA, F. (2019): *Memòria científica: La Moleta dels Frares, Forcall (Ports, Castelló)*, Inédito.
- DJURIĆ, M. P.; ROBERTS, C. A.; RAKOČEVIĆ, Z. B.; DJONIĆ, D. D.; LEŠIĆ, A. R. (2006): Fractures in late medieval skeletal populations from Serbia, *AJPA* 130 (2), 167-178. DOI: <https://doi.org/10.1002/ajpa.20270>
- ESQUILACHE, F. (2018): *Els constructors de l'Horta de València*, València.
- FACCIA, K. J.; WILLIAMS, R. C. (2008): Schmorl's nodes: clinical significance and implications for the bioarchaeological record, *International Journal of Osteoarchaeology* 18(1), 28-44. DOI: <https://doi.org/10.1002/oa.924>
- GARCÍA GARCÍA, H. (1982): *Notas para la historia de Vall d'Uixó*, Vall d'Uixó.
- GARCÍA SÁNCHEZ, E. (2011): Alimentación y paisajes agrícolas en al-Andalus, *Ambienta: La revista del Ministerio de Medio Ambiente* 95, 64-76.
- GELLHORN, A. C.; KATZ, J. N.; SURI, P. (2013): Osteoarthritis of the spine: the facet joints, *NRRheum* 9 (4), 216-224. DOI: <https://doi.org/10.1038/nrrheum.2012.199>
- GLICK, T. F. (2007): *Paisajes de conquista: Cambio cultural y geográfico en la España medieval*, València.
- GOODMAN, A. H.; MARTIN, D. L.; ARMELAGOS, G. J. (1984): Indications of stress from bone and teeth, *Paleopathology at the Origins of Agriculture* (M. N. Cohen, G. J. Armelagos, eds.), Nueva York, 13-49.
- GRENBY, T. H.; ANDREWS, A. T.; MISTRY M.; WILLIAMS, R. J. H. (2001): Dental caries-protective agents in milk and milk products: investigations in vitro, *Journal of Dentistry* 29 (2), 83-92. DOI: [https://doi.org/10.1016/S0300-5712\(00\)00061-0](https://doi.org/10.1016/S0300-5712(00)00061-0)
- GUICHARD, P. (1976): *Al-Andalus. Estructura antropológica de una sociedad islámica en occidente*, Barcelona.
- GUICHARD, P. (2001): *Al-Ándalus frente a la conquista cristiana: los musulmanes de Valencia, siglos XI-XIII*, Valencia.
- GUICHARD, P. (2016): The population of the region of Valencia during the first two centuries of Muslim domination, *The Formation of al-Andalus, Part 1: History and Society* (M. Marín, ed.), Abingdon, 129-182.
- GUINOT, E. (1993): Sobre la depredació dels drets dels sarraïns valencians per part de les comunitats cristianes. Un exemple de la baronia d'Arenós a inicis del segle XV, *Saitabi* 43, 1-10.
- GUTIÉRREZ, F. J.; LALIENA, C.; PINA, M. (2016): La maqbara medieval de Tauste, primeras investigaciones, *Actas del I Coloquio de Arqueología y Patrimonio de Aragón*, Zaragoza, 433-442.
- HAENFLER, R.; JOHNSON, B.; JONES, E. (2012): Lifestyle movements: Exploring the intersection of lifestyle and social movements, *Social Movement Studies* 11(1), 1-20. DOI: [10.1080/14742837.2012.640535](https://doi.org/10.1080/14742837.2012.640535)
- HILLSON, S. (1996): *Dental anthropology*, Cambridge.
- HILLSON, S. (2001): Recording dental caries in archaeological human remains, *International Journal of Osteoarchaeology* 11(4), 249-289. DOI: <https://doi.org/10.1002/oa.538>
- HILLSON, S. (2019): Dental pathology, *Biological Anthropology of the Human Skeleton* (M. A. Katzenberg, A.L. Grauer, eds.), Hoboken, 295-334. DOI: <https://doi.org/10.1002/9781119151647.ch9>
- HUANG, T. H.; LIN, S. C.; CHANG, F. L.; HSIEH, S. S.; LIU, S. H.; YANG, R. S. (2003): Effects of different exercise modes on mineralization, structure, and biomechanical properties of growing bone, *Journal of Applied Physiology* 95(1), 300-307. DOI: <https://doi.org/10.1152/jappphysiol.01076.2002>
- HUBBE, M.; GREEN, M. K.; CHEVERKO, C. M.; NEVES, W. A. (2018): Brief communication: A re-evaluation of the health index of southern Brazilian shellmound populations, *AJPA* 165 (2), 353-362. DOI: <https://doi.org/10.1002/ajpa.23346>
- IŞCAN, M.; LOTH, S. (1986a): Determination of Age from the Sternal Rib in White Males: A Test of the Phase Method, *JFS* 31 (1), 122-132. DOI: <https://doi.org/10.1520/JFS11866J>
- IŞCAN, M. Y.; LOTH, S. R. (1986b): Determination of age from the sternal rib in white females: a test of the phase method, *JFS* 31 (3), 990-999. DOI: <https://doi.org/10.1520/JFS11107J>
- JIMÉNEZ-BROBEIL, S.; ROCA-RODRÍGUEZ, M.; AL OUMAOUI, I.; DU SOUICH, P. (2012): Vertebral pathologies and related activity patterns in two mediaeval populations from Spain. *Collegium antropologicum* 36 (3), 1019-1025.
- JUDD, M. A.; ROBERTS, C. A. (1999): Fracture trauma in a medieval British farming village, *AJPA* 109 (2), 229-243. DOI: [https://doi.org/10.1002/\(SICI\)1096-8644\(199906\)109:2<229::AID-AJPA7>3.0.CO;2-Y](https://doi.org/10.1002/(SICI)1096-8644(199906)109:2<229::AID-AJPA7>3.0.CO;2-Y)
- JURMAIN, R. (1999): *Stories from the Skeleton: Interpreting the Remains of the Past*, San José.
- KEENLEYSIDE, A. (2008): Dental pathology and diet at Apollonia, a Greek colony on the Black Sea, *International Journal of Osteoarchaeology* 18(3), 262-279. DOI: <https://doi.org/10.1002/oa.934>
- KIRCHNER, H.; NAVARRO, C. (1993): Objetivos, métodos y práctica de la arqueología hidráulica, *Arqueología y Territorio Medieval* 1, 159-182.

- KIRCHNER, H.; VIRGILI, A.; ANTOLÍN, F. (2014): Un espacio de cultivo urbano en al-Andalus: Madīna Turtūsa (Tortosa) antes de 1148, *Historia agraria: Revista de agricultura e historia rural* 62, 11-45.
- KLAUS, H. D. (2014): Frontiers in the bioarchaeology of stress and disease: Cross-disciplinary perspectives from pathophysiology, human biology, and epidemiology, *AJPA* 155 (2), 294-308.  
DOI: <https://doi.org/10.1002/ajpa.22574>
- KNÜSEL, C. J. (1993): On the biomechanical and osteoarthritic differences between hunter-gatherers and agriculturalists, *AJPA* 91 (4), 523-525.  
DOI: <https://doi.org/10.1002/ajpa.1330910409>
- KNÜSEL, C. J.; GÖGGEL, S.; LUCY, D. (1997): Comparative degenerative joint disease of the vertebral column in the medieval monastic cemetery of the Gilbertine Priory of St. Andrew, Fishergate, York, England, *AJPA* 103 (4), 481-495.  
DOI: [https://doi.org/10.1002/\(SICI\)1096-8644\(199708\)103:4<481::AID-AJPA6>3.0.CO;2-Q](https://doi.org/10.1002/(SICI)1096-8644(199708)103:4<481::AID-AJPA6>3.0.CO;2-Q)
- KUBEHL, K.; TEMPLE, D. H. (2020): Reproductive life histories influence cariogenesis: Exploring sex-specific variation in dental caries and survivorship in the human past, *AJPA* 172 (3), 376-385.  
DOI: <https://doi.org/10.1002/ajpa.24034>
- KYRIAKOU, X. P.; MARQUEZ-GRANT, N.; LANGSTAFF, H.; SAMUELS, C.; SPRINGS PACELLI, C.; CASTRO, J.; KRANIOTI, E. (2012): The human remains from the medieval Islamic cemetery of Can Fonoll, Ibiza, Spain: Preliminary results, *Proceedings of the twelfth annual conference of the British Association for Biological Anthropology and Osteoarchaeology* (P. D. Mitchell, J. Buckberry, eds.), Oxford, 87-101.
- LACALLE, R.; GUIJO, J. M. (2006): Análisis antropológico de la población islámica califal de El Fontanar, *AAC* 17 (2), 291-316.
- LALUEZA-FOX, C. (1998): Stature and sexual dimorphism in ancient Iberian populations, *Homo* 49, 260-272.
- LARSEN, C. S. (2015): *Bioarchaeology: Interpreting Behavior from the Human Skeleton*, Cambridge.
- LIEBE-HARKORT, C. (2012): Cribra orbitalia, sinusitis and linear enamel hypoplasia in Swedish Roman Iron Age adults and subadults, *International Journal of Osteoarchaeology* 22(4), 387-397.  
DOI: <https://doi.org/10.1002/oa.1209>
- LÓPEZ-MORANGO, C. (2020): *Estudio comparativo de la calidad de vida en la Edad Media, en poblaciones musulmanas y cristianas de la Península Ibérica, a través de la Antropología Dental*, Tesis doctoral. Universidad de Granada.
- LOVEJOY, C. O.; MEINDL, R. S.; PRYZBECK, T. R.; MENS-FORTH, R. P. (1985): Chronological metamorphosis of the auricular surface of the ilium. A new method for the determination of adult skeletal age at death, *AJPA* 68 (1), 15-28.  
DOI: <https://doi.org/10.1002/ajpa.1330680103>
- LOVELL, N. C.; GRAUER, A. L. (2019): Analysis and Interpretation of Trauma in Skeletal Remains, *Biological Anthropology of the Human Skeleton* (M.A. Katzenberg, A.L. Grauer, eds.), Hoboken, 335-384.  
DOI: <https://doi.org/10.1002/9781119151647.ch10>
- MANOUVRIER, L. (1893): La détermination de la taille d'après les grands os des membres, *Mémoires de la Société d'Anthropologie de Paris* 4, 347-402.
- MARTIN, D. L.; HARROD, R. P. (2015): Bioarchaeological contributions to the study of violence, *AJPA* 156, 116-145.  
DOI: <https://doi.org/10.1002/ajpa.22662>
- MCKINLEY, J. L. (2004): Compiling a skeletal inventory: disarticulated and co-mingled remains, *Guidelines to the Standards for Recording Human Remains (IFA Technical Paper 7)* (M. Brickley, J. L. McKinley eds.), Southampton, 14-17.
- MELCHOR, J. M.; BENEDITO, J. (2018): Estudio general de las maqābir de la Madīna Buryena (Burriana, Castellón), *QPAC* 36, 203-216.
- MENDONÇA, M. C. (2000): Estimation of height from the length of long bones in a Portuguese adult population, *AJPA* 112 (1), 39-48.  
DOI: [https://doi.org/10.1002/\(SICI\)1096-8644\(200005\)112:1<39::AID-AJPA5>3.0.CO;2-%23](https://doi.org/10.1002/(SICI)1096-8644(200005)112:1<39::AID-AJPA5>3.0.CO;2-%23)
- MEYER, A.; STEYN, M. (2016): Chinese Indentured Mine Labour and the Dangers Associated with Early 20th Century Deep-level Mining on the Witwatersrand Gold Mines, South Africa, *International Journal of Osteoarchaeology* 26 (4), 648-660.  
DOI: <https://doi.org/10.1002/oa.2455>
- MIRA, J. A.; CARRIÓN, Y.; MORALES-PÉREZ, J. V.; ORTEGA, J. R. (2017): Nuevas aportaciones sobre el aprovechamiento faunístico y vegetal en el Castell de Castalla (Alicante, España) durante los siglos XI-XV, *Arqueología y Territorio Medieval* 24, 291-33.
- MOLERO, I. (2017): *Estudio bioantropológico de la maqbara andalusí de Toledo (siglos VIII-XI). Apuntes sobre el proceso de islamización*, Tesis doctoral. Universidad Autónoma de Madrid.
- NEGRE, M. C.; FORNER, A. B.; PUCHALT, F. J.; VILLALALÍN, J. D. (2003): Estudio antropológico y paleopatológico de Sant Pere (Xàtiva), *Actas del VI Congreso Nacional de Paleopatología* (M. Campo Martín, F. J. Robles Rodríguez eds.), Madrid, 220-225.
- NOVERINT (2017): *Informe preliminar. Seguimiento arqueológico. Actuación de mejora de la calle Virgen del Rosario (Morella)*, Inédito.
- NOVAK, M.; ŠLAUS, M. (2011): Vertebral pathologies in two early modern period (16th-19th century) populations from Croatia, *AJPA* 145 (2), 270-281.  
DOI: <https://doi.org/10.1002/ajpa.21491>
- OBERTOVÁ, Z.; THURZO, M. (2007): Relationship between cribra orbitalia and enamel hypoplasia in the early medieval

- Slavic population at Borovce, Slovakia, *International Journal of Osteoarchaeology* 18 (3), 280-292.  
DOI: <https://doi.org/10.1002/oa.937>
- PEARSON, K. (1899): IV. Mathematical contributions to the theory of evolution.-V. On the reconstruction of the stature of pre-historic races, *Philosophical Transactions of the Royal Society* 192 (193), 169-244.  
DOI: <https://doi.org/10.1098/rsta.1899.0004>
- PEÑA-CHOCARRO, L.; PÉREZ-JORDÀ, G.; ALONSO, N.; ANTOLÍN, F.; TEIRA-BRIÓN, A.; TERESO, J. P.; MOYA, E. M. M.; REYES, D. L. (2019): Roman and medieval crops in the Iberian Peninsula: a first overview of seeds and fruits from archaeological sites, *QualInt* 499, 49-66.  
DOI: <https://doi.org/10.1016/j.quaint.2017.09.037>
- PÉREZ ORDÓÑEZ, P. (2018): Vida cotidiana: la vivienda andalusí a través de la Arqueología en la provincia de Málaga, *El islam. Presente de un pasado medieval: XXVIII Semana de Estudios Medievales* (E. López Ojeda, coord.), Nájera, 205-250.
- PILLOUD, M. A.; SCHWITALLA, A. W. (2020): Re-evaluating traditional markers of stress in an archaeological sample from central California, *JAS* 116, 105102.  
DOI: <https://doi.org/10.1016/j.jas.2020.105102>
- POLO, M.; CRUZ, E.; COCH, C. (2008): Bioantropología de la necrópolis hispano-musulmana del nuevo hogar 'Verge del Lledó' (Castellón), *Butlletí de la Societat Castellonenca de Cultura* 84, 475-488.
- POLO, M.; GARCÍA-PRÓSPER, E.; MELCHOR, J. M.; BENEDITO, J. (2013): Paleopatología en tres conjuntos funerarios medievales de Burriana (Castellón), *Actas del XI Congreso Nacional de Paleopatología* (A. Malgosa, A. Isidro, P. Ibáñez-Gimeno, G. Prats-Muñoz, eds.), Barcelona, 573-598.
- REDFERN, R. C.; DEWITTE, S. N.; PEARCE, J.; HAMLIN, C.; DINWIDDY, K. E. (2015): Urban-rural differences in Roman Dorset, England: A bioarchaeological perspective on Roman settlements, *AJPA* 157 (1), 107-120.  
DOI: <https://doi.org/10.1002/ajpa.22693>
- RITTER, A. V.; GRIPPO, J. O.; COLEMAN, T. A.; MORGAN, M. E. (2009): Prevalence of carious and non-carious cervical lesions in archaeological populations from North America and Europe, *Journal of Esthetic and Restorative Dentistry* 21 (5), 324-334.  
DOI: <https://doi.org/10.1111/j.1708-8240.2009.00285.x>
- RODRIGUES, A. C. (2013): A maqbara de Shantarín: Enfermidade e saúde numa amostra esquelética de adultos, Tesis de máster. Universidad de Coimbra.
- ROUSHAM, E. K.; HUMPHREY, L. T. (2002): The dynamics of child survival, *Human Population Dynamics. Cross-Disciplinary Perspectives* (H. Macbeth, P. Collison, eds.), Cambridge, 124-140.
- SÁNCHEZ-APARCERO, B.; ALEMÁN, I.; BOTELLA, M. C. (2020): The necropolis of Maro (Málaga, Spain): an anthropological study, *AAS* 12 (7), 1-17.  
DOI: <https://doi.org/10.1007/s12520-020-01092-4>
- SANDERS, K. M.; NICHOLSON, G. C.; UGONI, A. M.; SEEMAN, E.; PASCO, J. A.; KOTOWICZ, M. A. (2002): Fracture rates lower in rural than urban communities: the Geelong Osteoporosis Study, *JECH* 56 (6), 466-470.  
DOI: <http://dx.doi.org/10.1136/jech.56.6.466>
- SCHAEFER, M.; BLACK, S. M.; SCHEUER, L. (2009): *Juvenile osteology*, San Diego.
- SCHWEICH, M.; KNÜSEL, C. (2003): Bio-cultural effects in medieval populations, *EHB* 1(3), 367-377.  
DOI: <https://doi.org/10.1016/j.ehb.2003.09.002>
- SCOTT, A. B.; HOPPA, R. D. (2018): The subtleties of stress: A comparative analysis of skeletal lesions between the Medieval and post-Medieval Black Friars cemetery population (13th to 17th centuries), *International Journal of Osteoarchaeology* 28 (6), 695-702.  
DOI: <https://doi.org/10.1002/oa.2691>
- SELMA, S. (1991): El molí hidràulic de farina I: L'organització de l'espai rural andalusí. Dos exemples d'estudi arqueològic espacial a la serra d'Espadà (Castelló), *Mélanges de la Casa de Velázquez* 27 (1), 65-100.
- SHATZMILLER, M. (1993): *Labour in the medieval Islamic world*, Leiden.
- SILK, H.; DOUGLASS, A. B.; DOUGLASS, J. M.; SILK, L. (2008): Oral health during pregnancy, *American Family Physician* 77 (8), 1139-1144.
- ŠLAUS, M.; NOVAK, M.; BEDIĆ, Ž.; STRINOVIĆ, D. (2012): Bone fractures as indicators of intentional violence in the eastern adriatic from the antique to the late medieval period (2nd-16th century AD), *AJPA* 149 (1), 26-38.  
DOI: <https://doi.org/10.1002/ajpa.22083>
- SNIEHOTTA, F. F.; SCHWARZER, R.; SCHOLZ, U.; SCHÜZ, B. (2005): Action planning and coping planning for long-term lifestyle change: theory and assessment, *EJSP* 35 (4), 565-576.  
DOI: <https://doi.org/10.1002/ejsp.258>
- SOUICH, P. (1974): La necrópolis y poblado de la Torrecilla. Estudio antropológico, *Anuario de Estudios Medievales* 9, 41-74.
- STUART-MACADAM, P. (1991): Anaemia in Roman Britain: Poundbury Camp, *Health in past societies: biocultural interpretations of human skeletal remains in archaeological contexts* (H. Bush, M. Zvelebil, eds.), Oxford, 101-113.
- STUART-MACADAM, P. (1998): Iron deficiency anemia: exploring the difference, *Sex and gender in paleopathological perspective* (A. L. Grauer, P. Stuart-Macadam, eds.), Cambridge, 45-63.
- TORRÓ, J. (2007): Guerra, repartiment i colonització al regne de València (1248-1249), *Repartiments a la Corona d'Aragó (segles XII-XIII)* (E. Guinot, J. Torró, eds.), València, 201-276.
- TORRÓ, J. (2010): Els camperols musulmans del regne de València. De la conquesta a la conversió, *La Rella* 23, 201-212.
- TORRÓ, J. (2012): Les Regions orientals d'al-Àndalus abans de la conquesta catalanoaragonesa. Una visió general, *Catalan Historical Review* 5, 143-157.

- ÜSTÜNDAĞ, H. (2009): Schmörl's nodes in a post-medieval skeletal sample from Klostermarienberg, Austria, *International Journal of Osteoarchaeology* 19(6), 695-710.  
DOI: <https://doi.org/10.1002/oa.993>
- VERCELLOTTI, G.; PIPERATA, B. A.; AGNEW, A. M; WARREN, W. M; DUFOUR, D. L.; REINA, J. C.; BOANO, J.; JUSTUS, H. M.; LARSEN, C. S.; STOUT, S. D.; SCIULLI, P. W. (2014): Exploring the multidimensionality of stature variation in the past through comparisons of archaeological and living populations, *AJPA* 155 (2), 229-242.  
DOI: <https://doi.org/10.1002/ajpa.22552>
- WALDRON, T. (2009): *Palaeopathology*, Cambridge.
- WALKER, P. L.; JOHNSON, J. R.; LAMBERT, P. M. (1988): Age and sex biases in the preservation of human skeletal remains, *AJPA* 76 (2), 183-188.  
DOI: <https://doi.org/10.1002/ajpa.1330760206>
- WEISS, E.; JURMAIN, R. (2007): Osteoarthritis revisited: a contemporary review of aetiology, *International Journal of Osteoarchaeology* 17(5), 437-450.  
DOI: <https://doi.org/10.1002/oa.889>
- WHITE, T. D.; FOLKENS, P. A. (2005): *The human bone manual*, London.



# NO SÓLO CUERPOS: LA CULTURA MATERIAL EXHUMADA DE LAS FOSAS DEL FRANQUISMO EN PATERNA

*Not just bodies: material culture documented in the mass graves from Francoism repression in Paterna*

ANDREA MORENO MARTÍN<sup>1</sup>, MIGUEL MEZQUIDA FERNÁNDEZ<sup>2</sup>, ELOY ARIZA JIMÉNEZ<sup>3</sup>

(1) andrea.moreno@uv.es  
(2) arqueoantro@gmail.com  
(3) eloyariza@gmail.com

---

## RESUMEN:

*Este artículo pretende destacar cómo, desde la arqueología forense, se puede abordar el análisis de las prácticas de represión y violencia política sobre la población civil y, al mismo tiempo, estudiar a las víctimas y el contexto de sus asesinatos desde un enfoque social. Para abordar este reto partimos de la cultura material documentada en las fosas del cementerio municipal de Paterna (Valencia) como ejemplo paradigmático en las exhumaciones de víctimas del franquismo del territorio valenciano. A partir de esta materialidad nos planteamos algunas cuestiones sobre el futuro de los objetos asociados a las víctimas que se recuperan en las fosas comunes y, especialmente, reflexionamos sobre estos objetos exhumados, pues dadas las casuísticas y los escenarios jurídicos y procedimentales en los que se ven inmersos, permanecen a menudo en un limbo patrimonial y jurídico.*

**Palabras clave:** *arqueología forense, franquismo, exhumaciones, cultura material, memoria pública.*

## ABSTRACT:

*This article aims to highlight how, from forensic archeology, one can approach the analysis of the practices of repression and political violence against the civilian population and, at the same time, study the victims and the context of their murders from a social perspective. To address this challenge, we review some material culture documented in the mass graves of the Paterna cemetery (Valencia) as a paradigmatic example of the exhumations of Franco's dictatorship victims in Valencian territory. Based on this materiality, we argue some questions about the future of these objects associated with the victims which are recovered in mass graves and, especially, we analyse these exhumed objects, because given the casuistry and the legal and procedural scenarios in which they are immersed, its management often remains in a patrimonial and legal limbo.*

**Key words:** *forensic archeology, Francoism, exhumations, material culture, public memory.*



*Cuando las autoridades temporales y espirituales han puesto una categoría de seres humanos fuera de aquellos cuya vida tiene un precio, no hay nada más natural para el hombre que matar. Cuando se sabe que es posible matar sin arriesgarse a un castigo ni reprobación, se mata; o al menos se rodea de sonrisas alentadoras a aquellos que matan.*

Simone Weil

## INTRODUCCIÓN

La arqueología es una disciplina que se ha consolidado como una ciencia donde los planteamientos monolíticos han sido marginados y donde los temas y objetos de estudio no se acotan únicamente al pasado remoto o clásico. Muy al contrario, tanto los enfoques multitemporales y diacrónicos como la interdisciplinariedad se han tornado pilares básicos de nuestro trabajo (Johnson 2000; Buchli y Lucas 2001; Vicent 2007; Criado 2010; Hamilakis 2011; Hodder 2012a y 2012b; Harris y Cipolla 2017; Theune 2018). En la actualidad, aunque convivimos con paradigmas hegemónicos, trabajamos –o eso se pretende– partiendo de enfoques donde la arqueología dialoga con otras disciplinas, donde las teorías antropológicas y filosóficas también nos ayudan a la hora de formular nuestras tesis, y donde la cronología no sesga nuestros intereses, pues el pasado reciente también es susceptible de ser estudiado y analizado bajo la óptica arqueológica (González-Ruibal 2008; Schofield 2010; Harrison y Schofield 2010; González-Ruibal 2012; Sturdy 2015; Renshaw 2018; González-Ruibal 2019). Precisamente, este rasgo de la arqueología se torna en una de las piedras angulares de la arqueología forense. Y lo es, especialmente, cuando abordamos proyectos arqueo-antropológicos para la localización, exhumación e identificación de víctimas de represión y violencia política durante la guerra civil y la dictadura franquista. Huelga decir, que la arqueología forense –la arqueología del conflicto (González-Ruibal 2007; Gassiot 2008; Mezquida 2013) o arqueología del desastre al referirse a crímenes masivos y vulneración de derechos humanos (Gould 2007)– incide tanto en la dimensión histórico-política como en la dimensión jurídica de la violencia sobre las víctimas; y sigue la premisa de *hacer justicia no consiste sólo en castigar al culpable, sino también en adoptar la perspectiva de las víctimas* (Mate 2011: 5-6).

Complementariamente a la investigación documental y la memoria oral, son precisamente las exhumaciones y los estudios y análisis que llevan aparejados, los que

aportan luz y confirman de una manera científica y empírica muy evidente, prácticas de violencia premeditada, de masacres coordinadas y de represión estandarizada por parte del Estado franquista. El estudio estratigráfico de las fosas, el análisis osteoarqueológico de los restos humanos y la interpretación y documentación de las evidencias materiales asociadas permiten recuperar a las víctimas y, además, repensar desde el presente una historia reciente que se construyó ignorando esas memorias y sus historias. Y es que, aunque otras disciplinas como la historia, la antropología o la sociología tienen un gran calado en la construcción de la memoria pública y la recuperación del pasado reciente, no hay duda que la arqueología, como disciplina científica, también lo tiene y permite, además, subvertir la invisibilización de las víctimas en un grado que, debido también al eco mediático de las exhumaciones, no ha tenido parangón en estas últimas décadas.

En este sentido, la arqueología forense nos permite cartografiar la magnitud y la naturaleza de la represión y de las políticas de exterminio que se pusieron en marcha durante la guerra y durante la dictadura. Ahora bien, en los procesos de exhumación con metodología arqueológica, no sólo se recuperan cuerpos, pues junto a los restos óseos también se suelen documentar otros restos materiales. Es decir, repertorios de enseres que conforman la materialidad asociada a procesos de represión y violencia política de nuestro pasado reciente. Normalmente, se trata de objetos asociados a las víctimas que pueden ser enseres personales y/o evidencias de su muerte violenta.

Sin embargo, llama la atención el escaso interés teórico y conceptual que esta cultura material ha generado, hasta la fecha, en el ámbito de la reflexión arqueológica entre profesionales/académicos del Estado español. Jiménez y Herrasti ya abordaron este tema de forma preliminar en su contribución en el volumen monográfico *Objects from the missing. Exhumations and uses of the material traces of mass violence*, que analiza las prácticas de socialización de la memoria que se llevan a cabo a partir de la cultura material de las fosas en otros países (Baby y Nérard 2017). En el caso del Estado español, como apuntan estos autores: los objetos recuperados en las fosas comunes no están integrados en el patrimonio cultural, nada garantiza su integridad ni tampoco los atiende el ámbito jurídico debido a que estos delitos, cometidos hace 80 años, han prescrito según la justicia española. Hasta la fecha, de conformidad con los protocolos forenses que se aplican en los procesos científicos de exhumación (Orden PRE/2568/2011), los objetos

recuperados junto con los cuerpos de las víctimas deben ser inhumados de nuevo. Y, por consiguiente, estos objetos se encuentran en un limbo jurídico y cultural que comporta que la arqueología del pasado reciente, especialmente en lo que se refiere a la exhumación de restos humanos, no sea considerada ni una cuestión patrimonial ni tampoco legal (Jiménez y Herrasti 2017).

En este artículo, tomamos como ejemplo la cultura material exhumada en las fosas del cementerio de Paterna (Valencia) para abordar varios objetivos. En primer lugar, mostrar una selección de los materiales conservados para, cualitativamente, poner en valor la cultura material exhumada más allá de los restos óseos y, además, destacar el grado de preservación de algunos elementos como la indumentaria, especialmente cuando se documentan cuerpos saponificados. En segundo lugar, intentar esbozar una tipología de los objetos documentados en las fosas que nos permita definir algunos tipos descriptores con los que trabajar y sistematizar la catalogación de los objetos. Por último, es nuestra intención abordar algunas cuestiones como el reto que supone la gestión, conservación y divulgación de esta materialidad. Pues, aún teniendo en cuenta que las exhumaciones se centran

en la recuperación de los cuerpos y la identificación de las víctimas, consideramos que eso no nos exime a los profesionales del compromiso con la reflexión específica sobre los objetos exhumados en las fosas y sobre su posible vida/uso social en la investigación, la divulgación y la construcción de la memoria pública. En este sentido, planteamos que su uso social incide en la dimensión humana y en la memoria colectiva sin restar un ápice de importancia a su valor como elemento personal e identificativo de la víctima con la que apareció asociado.

### EL CEMENTERIO DE PATERNA: CARTOGRAFÍA DEL TERROR

Paterna es un municipio a escasos 8 km de la ciudad de València, que jugó un papel clave durante la guerra y durante la posguerra (Gabarda 2020a; Mezquida y Calpe 2021). En la actualidad cuenta con dos lugares de destacada significación para la memoria pública de nuestra historia reciente: la partida de El Terrer y el cementerio municipal; ambos intensamente vinculados (Gabarda 2020b).

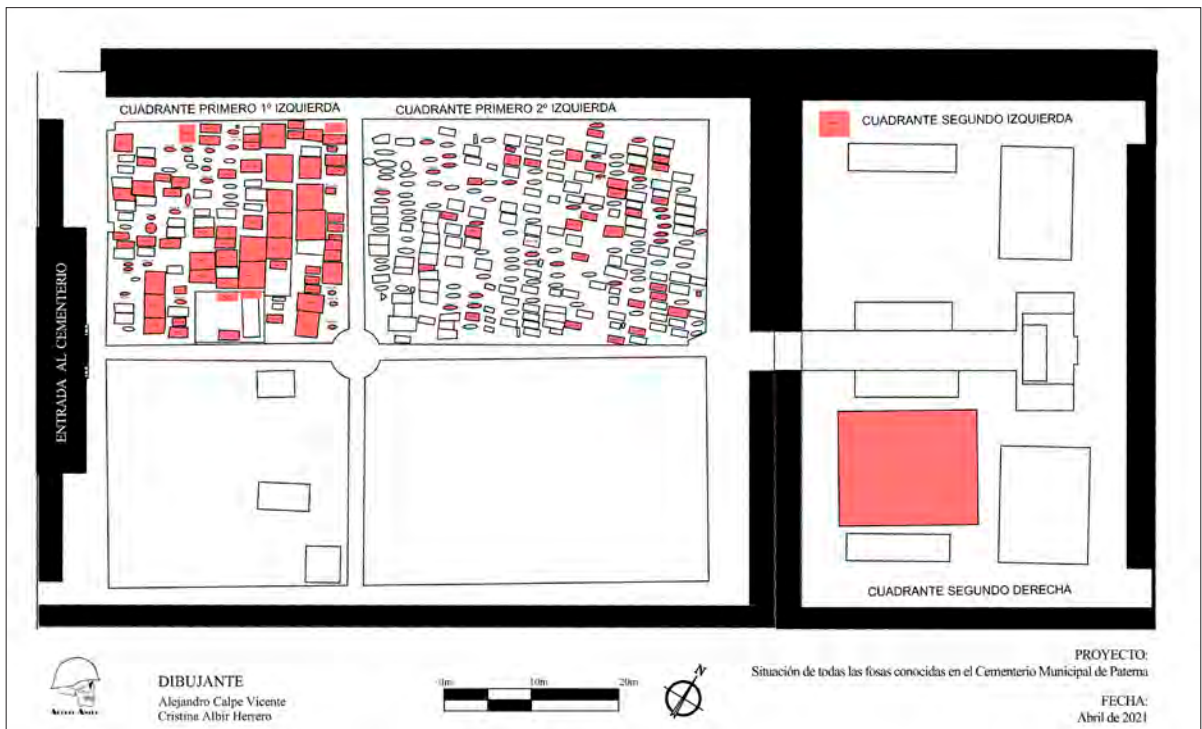


Fig. 1: Plano de ubicación de las fosas conocidas del cementerio de Paterna a fecha de abril de 2021.

En El Terror se encuentra el calificado popularmente como *Paredón de España*. Hoy en día apenas se mantienen visibles unos pocos metros de aquel muro, donde la dictadura franquista fusiló masivamente a personas acusadas de desafectas al nuevo régimen. Como apunta Gabarda, en Paterna comenzaron las ejecuciones el 3 de abril de 1939, tan solo cuatro días después de la entrada de las tropas a la ciudad, y finalizaron en noviembre de 1956; allí fueron fusiladas, al menos, 2237 personas, valencianos y valencianas, pero también de otros territorios de la geografía española (Gabarda 2020b: 172). Huelga decir que, a fecha de hoy, este lugar –verdadero punto negro de la represión y la violencia política del Estado franquista– no está señalizado ni cuenta con ningún elemento que explique lo que allí sucedió y que ponga nombre y apellidos a todas las personas que allí fueron asesinadas a golpe de fusil y tiros de gracia. Quizás sea también el momento de estudiar arqueológicamente, poner en valor y plantear la construcción de un centro de interpretación que permita musealizar el Terror como espacio de memoria junto al cementerio de Paterna<sup>1</sup>.

Anexo a este lugar, a apenas unos centenares de metros, se encuentra el cementerio municipal de Paterna, donde coetáneamente a los fusilamientos, se excavaron las fosas comunes donde fueron lanzados y soterrados los cuerpos de esos hombres y mujeres víctimas de la violencia de la dictadura franquista. El recinto cementerial antiguo, que data de finales del s. XIX e inicios del XX, tiene planta rectangular y una extensión aproximada de 5500 m<sup>2</sup>. En él, se pueden distinguir dos espacios diferenciados: el denominado cuadrante primero con cuatro áreas

de enterramiento y, en una zona inferior, el cuadrante segundo que se divide en dos subáreas de enterramiento. Ambos, a su vez, tienen definidas, según su distribución en referencia al pasillo central, un ala derecha y otra izquierda. El camposanto cuenta con, al menos, 154 fosas documentadas y su distribución en el espacio cementerial muestra lo que podríamos calificar como una cartografía del terror sin parangón en territorio valenciano y español<sup>2</sup> (fig. 1). En una superficie de aproximadamente 1600 m<sup>2</sup> (cuadrantes primero izquierda 1 y 2 del cementerio) se cavaron más de un centenar de fosas que albergan los cuerpos amontonados de las más de 2200 personas, asesinadas en El Terror en un intervalo de 17 años (fig. 2).

Las exhumaciones científicas se iniciaron en el cementerio municipal de Paterna en el año 2012, y hasta octubre de 2021 se han intervenido 27 fosas y siete nichos, que han permitido la recuperación de 1163 víctimas a través de procesos científicos llevados a cabo por tres equipos profesionales (PaleoLab, ArqueoAntro y Cavea) (Díaz-Ramonedá *et al.* e.p.; Moreno *et al.* 2021).

Las fosas de Paterna se encuentran en el interior del cementerio y albergan los cuerpos de personas provenientes, principalmente, de la cárcel Modelo y de la de Sant Miquel dels Reis, que fueron asesinadas en el paredón mediante ejecuciones sumarísimas colectivas ante pelotón de fusilamiento. En el camposanto, el espacio ha sido reutilizado y algunas de las fosas tienen afección con enterramientos ordinarios de momentos anteriores. Sin embargo, el recuerdo constante de los familiares ha permitido la señalización de las fosas y el

Superficie	El espacio cementerial antiguo cubre unos 5500 m <sup>2</sup> . Dentro de esta área se ubican fosas, al menos, en una superficie de 1600 m <sup>2</sup> (especialmente en cuadrantes primero izquierda 1 y 2).
Nº fosas	154 fosas; nº de víctimas: 2337 personas.
Datos tesina de Gabarda (1985)	Sobre el total de 2237 personas: 2110 víctimas son del PV (93,38%, 2090 hombres y 20 mujeres); 109 del resto de España (4,87%) y 19 de procedencia desconocida e ilocalizable (0,84%). Sobre el total de víctimas sólo hay 20 mujeres (0,89%): todas valencianas.
	Personas ejecutadas en Paterna por año: 1939: 772; 1940: 948; 1941: 202; 1942: 170; 1943: 82; 1944: 32; 1945: 2; 1947: 6; 1948: 4; 1949: 2; 1950: 11; 1951: 3; 1952: 2; 1955: 1; 1956: 1.
Nº sacas (Gabarda 1993)	148 sacas en total. Sacas/días de fusilamiento por año: 29 (1939); 22 (1940); 16 (1941); 33 (1942); 16 (1943); 10 (1944); 2 (1945); 2 (1947); 4 (1948); 1 (1949); 6 (1950); 3 (1951); 2 (1952); 1 (1955) y 1 (1956).
Uso intensivo de las fosas	Hasta la fecha se conoce, al menos, una decena de fosas que albergan más de una saca (F.13/14, F.20, F.21, F.91, F.111, F.112, F.114, F.115, F.126, F.127, F.128); lo que permite confirmar la premeditación a la hora de establecer la profundidad y uso intensivo del espacio.

Fig. 2: Datos de la cartografía del terror en el cementerio de Paterna (datos a fecha de abril 2021).



Fig. 3: Izquierda: Fosa 115, ejemplo de fosa-pozo del Cementerio Municipal de Paterna; durante los trabajos de excavación se alcanzó una cota de 5,5 m de profundidad y se exhumaron 144 víctimas. Derecha: Fosa 94; detalle de la disposición de cuerpos una vez extraída la capa de cal. Fotografías: Eloy Ariza-ArqueoAntro.

mantenimiento de mapas mentales que ubican las fosas en el espacio con un grado de certidumbre bastante preciso, al menos en el conocido como primer cuadrante izquierdo<sup>3</sup> (fig. 1).

Desde un punto de vista arqueológico, la singularidad de las fosas del cementerio de Paterna, respecto al resto de fosas del territorio valenciano, responde a distintas variables. Por un lado, su morfología, pues se trata de estructuras en negativo de planta cuadrangular, que suelen albergar más de una saca de víctimas. Por otro, su tamaño ya que la reutilización del camposanto y el gran número de fosas que existe condicionan su distribución en el espacio de manera intensiva, dando lugar a fosas de dimensiones reducidas (normalmente inferiores a los 2x2,50 m) que se han excavado en el terreno natural anexas unas a otras. Esto implica que, en algunos casos, cuando las distintas sacas se superponen, la fosa alcance una profundidad considerable (hasta la fecha se ha llegado a los 6 m en la fosa 128). En este escenario, nos encontramos ante estructuras en negativo que no responden a la tipología común de fosa-zanja de orientación longitudinal y una profundidad relativamente escasa, como las que se documentan en el Cementerio de Castelló, en las fosas del Frente de Levante o en las cunetas del resto del Estado español, sino que en Paterna se documentan fosas cuadrangulares que pueden ir desde escasamente un metro de profundidad a ser bastante hondas, convirtiéndose

en fosas-pozo de varios metros (Gabarda *et al.* 2019, Mezquida *et al.* 2021; Díaz-Ramonedá *et al.* e.p.). Ello implica que, cuando se superan los 4 o 4,5 m de profundidad, entran en juego otros condicionantes como la naturaleza del subsuelo, el nivel freático o la temperatura que, entre otras variables y junto a la capa de cal que sella la saca, generan atmósferas donde los procesos de descomposición y putrefacción de los cuerpos se ralentizan y tienen lugar procesos como la saponificación cadavérica. La saponificación es un proceso inducido por un alto nivel de humedad que favorece la conservación del cuerpo a partir de un proceso de cambio químico que afecta a la grasa corporal, que se transforma a través de la hidrólisis en un compuesto semejante a la cera o el jabón (Casas *et al.* 2006; Etxeberria y Serrulla 2019), lo que permite que tanto los cuerpos como las evidencias materiales que se localizan, aparezcan en un estado de preservación excepcional. Así se ha documentado hasta la fecha en las F.128 y F.111 (parcialmente en las F.112, 115 y 127), donde un grado de conservación tanto de los restos antropológicos como de los objetos, ha permitido la recuperación de indumentaria y un número excepcional de evidencias materiales asociadas a los cuerpos exhumados, que convierten al cementerio de Paterna en un escenario singular y bastante único en lo que respecta a los procesos de exhumación, que se convierten en un reto personal, profesional y metodológico (fig. 3).

En Paterna, los cuerpos de las víctimas se documentan generalmente amontonados unos sobre otros, sin receptáculo funerario, indicando un trato poco ortodoxo, que no se hubiera dado en sepulturas ordinarias de personas consideradas *de bien*<sup>4</sup>. Esa disposición de cuerpos abigarrados confirma la magnitud de los fusilamientos y la existencia de sacas, es decir, permite definir grupos de víctimas coetáneas, fusiladas e introducidas en la fosa simultáneamente. No obstante, durante el proceso de excavación se han podido documentar, al menos, cuatro tratamientos de los cuerpos: víctimas que se inhuman de manera individualizada previo pago por parte de la familia; víctimas individualizadas en cajas funerarias sufragadas por las propias familias, que se entierran en la fosa común (ambos casos denotan una intención de recuperación futura del cuerpo); víctimas ordenadas con cierta precisión en las fosas de menor profundidad o en las sacas superiores de fosas más hondas, lo que implica una deposición de los cuerpos más precisa y cuidadosa por parte del enterrador<sup>5</sup>; y la práctica generalizada de víctimas lanzadas de manera descuidada, que genera amontonamiento de los cuerpos (Díaz-Ramonedá *et al.* e.p.).

## ARQUEOLOGÍA, FOSAS Y MATERIALIDAD

La materialidad es una dimensión básica de la arqueología; lo ha sido desde sus orígenes como disciplina científica. La cultura material arqueológica presenta, además, una amplia trayectoria de estudio especialmente para los períodos de la prehistoria, protohistoria y mundo clásico, gracias tanto al trabajo del mundo académico como de la arqueología de gestión. Sin embargo, los referentes donde poder sistematizar y analizar la materialidad del pasado reciente en perspectiva arqueológica tienen cada vez más presencia y son ciertamente enriquecedores (Haglund *et al.* 2001; Schofield 2005; Olsen 2010; Theune 2010; Olsen *et al.* 2012; González-Ruibal y Ayán 2018; Renshaw 2018; Schute 2018). Los trabajos arqueológicos sobre la guerra civil y el primer franquismo crecen exponencialmente, en especial vinculados al patrimonio bélico, el estudio de campos de concentración, la recuperación de los cuerpos de soldados del frente y las víctimas de la violencia (por citar algunos trabajos recientes: Polo *et al.* 2012; Muñoz-Encinar *et al.* 2013; Fortuna *et al.* 2017; Mezquida 2017; Moreno y Sapena 2017; Ramos 2019; Mejías 2020; Solé y Gallego 2020). De manera que no hay duda que estas praxis consolidan

a la arqueología como una disciplina pública, política y social donde el estudio del pasado reciente y el conflicto no pueden obviarse. La arqueología, por tanto, deviene clave en la recuperación de la memoria, en la anamnesis de la justicia (Zamora y Mate 2011) y en la ecuación de la denominada justicia transicional, pues permite poner el foco en el punto de vista de las víctimas (Hazan 2008) y abordar no únicamente la guerra y la violencia, sino cómo ésta y sus consecuencias afectan a la sociedad.

No obstante, y volviendo al tema central que aquí nos ocupa (la cultura material exhumada de las fosas del franquismo), también es cierto que aún queda pendiente en la arqueología del Estado español la reflexión/debate teórico y metodológico centrado en una parte de esa materialidad contemporánea que no es monumental, ni osteoarqueológica ni arquitectónica. Nos referimos a los objetos exhumados en las fosas, cuyo reconocimiento y análisis, aunque ha experimentado un despegue evidente, sigue siendo un tema pendiente. A todas luces, es una cuestión que produce cierto vértigo. Quizás la proximidad cronológica, la naturaleza de esos objetos y los contextos en que se documentan pueden generar rechazo al trasladarnos a episodios de muerte violenta de un pasado aún sin cerrar. También es cierto que nos traslada a una escala microespacial donde priman objetos de uso cotidiano contemporáneos que para algunos quizás tampoco tienen valor patrimonial *per se* y, de hecho, la legislación vigente ofrece lagunas sobre su naturaleza, grado de protección y gestión. Y, por otro lado, también es una materialidad que exige de un compromiso y una pulcritud ética, científica y humana, que no podemos obviar. Huelga decir que la responsabilidad ética en la práctica arqueológica debe ser algo irrenunciable en nuestro trabajo (Fernández 2006; Scarre y Scarre 2010; González-Ruibal y Moshenska 2015; Olsen y Witmore 2015).

No obstante, sí existen referentes teórico-metodológicos en otros países que abordan las exhumaciones de fosas comunes y que ponen el acento tanto en los restos óseos de las víctimas como en los objetos que aparecen asociados a ellos durante la excavación. En estos procedimientos la metodología arqueológica siempre va de la mano con las técnicas forenses y genéticas, pero también bajo el paraguas de los paradigmas de la sociología y la antropología social y cultural. Por citar algunos ejemplos, baste consultar el caso de las fosas comunes en Argentina (Crossland 2000); Chipre (Sant-Cassia 2005); Timor (Blau y Skinner 2005); Iraq (Stover *et al.* 2003) o en Bosnia-Herzegovina (Wagner 2008) o el volumen

monográfico sobre la cultura material exhumada de fosas comunes en distintos proyectos internacionales (Baby y Nérard 2017).

En nuestro caso, proponemos el análisis arqueológico de la materialidad exhumada de las fosas en diálogo constante con los enfoques que la historia, la antropología y la etnografía nos ofrecen; dado que las tipologías de objetos, los materiales y los contextos en que se documentan, nos permiten acudir a fuentes orales, archivos y documentación *ante-mortem* en un grado cualitativo y cuantitativo muy singular si lo comparamos con otros contextos crono-culturales arqueológicos. En este sentido, algunos autores han acuñado los conceptos de etnografía de las exhumaciones o la etnografía de la fosa, como procedimientos científicos en los procesos de localización e identificación de víctimas, donde como complemento a la metodología arqueológica y forense (de campo y de laboratorio), el trabajo desde la antropología socio-cultural, la sociología y los proyectos de documentalistas son cruciales (Hallam y Hockey 2001; Ferrándiz 2006; 2014 y 2020; Renshaw 2011; Robben 2017; Iturriga 2019; García y Gadea 2020). Porque como apunta Solé: *la fosa en sí misma, la materialidad ósea y todos los objetos que la acompañan, es una fuente que también se enriquece del hecho de ser investigada desde la interdisciplinariedad* (2019: 451).

Precisamente, en esta cadena operativa a menudo hay fases de trabajo que no son lineales ni consecutivas, pues el trabajo a pie de fosa puede dar origen a la localización de nuevas evidencias bien sean materiales (objetos exhumados) o bien testimonios orales. De lo que no hay duda es de que, además del registro arqueológico (cuerpos y objetos), contamos con actores sociales (familiares vivos), testimonios orales o documentos escritos que permiten que la triada Arqueología, Historia y Antropología aborden conjuntamente el estudio, análisis y divulgación de nuestro pasado reciente.

Cuando estudiamos enterramientos en fosa en otros contextos de diferente naturaleza y cronología, la arqueología analiza cómo se ha realizado la fosa; cómo se ha practicado la inhumación, se define e interpreta si su tipología y sus dimensiones responden a algún rito; se estudia el ajuar funerario asociado al cuerpo (en los casos en que se documente). En este sentido, las excavaciones con metodología arqueológica que se implementan en los procesos de exhumación son actuaciones científicas donde además de la recuperación del cuerpo de las víctimas<sup>6</sup>, también se estudia y documenta arqueológicamente y de

manera individualizada su disposición, sus características anatómicas y su relación con otros cuerpos y evidencias que puedan incidir en la identificación de individuos y la causa de la muerte. Porque si bien es cierto que la exhumación de una saca nos permite hablar de “comunidad de muerte”, es decir, de personas que compartieron la muerte al haber sido asesinadas y sepultadas juntas (Ferrándiz 2011: 541), también es cierto que la materialidad asociada a los cuerpos puede complementar las tareas de identificación y ofrecer información sobre individuos concretos, que sumada a los estudios de información y testimonios se use junto a las pruebas de ADN (Renshaw 2010).

Ferrándiz define las fosas de la derrota como *memoriales del miedo* (2011: 527) al contribuir con su presencia a consolidar las raíces del régimen dictatorial, en lo que Rodrigo describe como una *pedagogía de la sangre* que paraliza las resistencias (2008: 73). Las autoridades franquistas gestionaron las fosas del cementerio de Paterna de un modo deleznable. En el caso de estudio que aquí nos ocupa, tratamos con fosas comunes masivas, excavadas con premeditación dentro del camposanto, cuya finalidad no es dar sepultura ritual a los muertos (al menos de manera ortodoxa) sino esconder sus cuerpos, pero visibilizar su muerte. Por sus dimensiones y características responden a un rito funerario (si así se pudiera denominar) que nace de la muerte violenta y de la deshumanización de la víctima que es concebida como *traidor* y *culpable*. De manera que la simbología que tiene adquiere todo su significado enmarcada en el contexto que produce las muertes y las fosas, es decir, la victoria y el exterminio del adversario que es conceptualizado como la *Anti-España*.

Era –y es evidente– el rol que estos enterramientos masivos tuvieron: establecer un tratamiento diferenciado de las víctimas y mostrar de manera ejemplarizante esos asesinatos y el tratamiento que se hacía de esos cuerpos. Era además una manera de infundir miedo y aleccionar. Los mataban a la luz, porque fusilaban y mataban sin temor, sabedores de su impunidad. Sin embargo, una vez muertos los ocultaban bajo tierra sin dejar que tuvieran acceso a un ritual y sepultura dignos. Parece que los victimarios seguían esa máxima de que no existe lo que no se ve: estos muertos no estaban *Presentes* ni podían ser velados ni llorados, pues las manifestaciones públicas de su muerte estaban prohibidas. Siguiendo a Ferrándiz podemos confirmar que las fosas comunes fueron un paisaje físico, político, simbólico y social que intencionalmente contribuyó a tejer un discurso hegemónico que invisibilizó

y silenció a los vencidos, sus historias y sus memorias, en pro de relatos de muerte ritualizados que heroizaban a los vencedores y los caídos que éstos consideraban como propios (Ferrándiz 2009).

Privar a una persona de una sepultura digna es en nuestra sociedad un verdadero castigo para la víctima y para la familia, pues la una es despojada de humanidad y la otra es estigmatizada de por vida por la sociedad y sufre la imposibilidad de cerrar su duelo, perdiendo el derecho a vivir la muerte del familiar acorde a los ritos sociales establecidos (García y Gadea 2020; Santonja 2021). Y es que el matiz del proceso y del concepto no es baladí: no murieron, los asesinaron; no los enterraron, los metieron bajo tierra, sepultados por capas de tierra, cal y los cuerpos apilados de otras muchas víctimas que conforman paquetes estratigráficos que pueden alcanzar varios metros de profundidad.

La calificada por Marianne Hirsch como generación de la posmemoria, es decir, aquellas segundas o terceras generaciones de las víctimas directas que han heredado historias traumáticas y duelos no cerrados (2015), se han aferrado a la materialidad (pipa, corbata, fotos...) para conservar y transmitir esos recuerdos. Los objetos encapsulan unas memorias y unas historias que intentaron ser borradas y aniquiladas desterrándolas bajo tierra, pero cuyo recuerdo ha pervivido en sus casas, a través de las familias. Ahora, esas memorias se hacen públicas y vuelven a la vida con la exhumación. Resulta significativo que los familiares hablen de reconstruir la memoria y la historia de sus muertos desde la vida, desde el presente, a partir de lo que cuenta la fosa, lo que cuentan los cuerpos y los objetos. Las familias hablan de buscar (*estoy buscando a mi abuelo*) y de recuperar (*queremos recuperarlo*) para poder dar sepultura digna, para cerrar una etapa de décadas de “mal entierro” y para contar y recuperar sus historias (*no queremos que se les olvide*). Esta dualidad Fosa-Muerte, Memoria-Vida convierte al proceso de exhumación en una práctica reparadora para las familias.

## OBJETOS EXHUMADOS: LA MATERIALIDAD DE LAS FOSAS DE LOS VENCIDOS

La cultura material que acompañaba a estos muertos (cuando se conserva) supone para la documentación arqueológica y antropológica una foto instantánea de esas personas y nos permite analizar la naturaleza de su muerte y algunos destellos de lo que fue su vida<sup>7</sup>.

En el proceso científico de exhumación, esos objetos son nuestros fósiles directores, pues permiten, por ejemplo, confirmar la datación de los muertos. Es cierto que tanto la documentación de archivo como los testimonios nos permiten conocer el día, el año, la saca... pero ante la aparición de restos humanos en la exhumación se debe confirmar tanto la muerte violenta como el hecho de que, efectivamente, estamos ante asesinatos perpetrados durante la dictadura. Y ahí la materialidad arqueológica es clave pues confirma que estamos ante cuerpos con claras evidencias de muerte violenta, que se asocian a objetos que se pueden datar –en el caso de las fosas de Paterna– entre los años 1940 y 1950 y no de otras épocas. De manera que ante la pregunta de ¿cómo sabéis que no son más antiguos? La osteoarqueología, la materialidad y/o la identificación de anomalías estratigráficas son cruciales.

En lo que respecta a los objetos exhumados, al menos en lo referente a la materialidad documentada en las fosas del cementerio de Paterna, la experiencia de sucesivas excavaciones (concretamente 27 entre 2012 y 2021) ha permitido documentar unos repertorios de objetos que pueden ser clasificados en diferentes categorías (Iglesias *et al.* 2018: 154-155; Díaz-Ramonedá *et al.* e.p.). No obstante, lejos que intentar definir una tipología exhaustiva de esta cultura material, al menos sí hemos intentado definir algunos tipos descriptores que nos permitan indexar los objetos. Nuestro interés no se limita únicamente a describir los objetos en sí mismos sino analizarlos y estudiarlos como evidencia y testimonio del pasado contemporáneo en una praxis que como indicábamos vincula a la arqueología con las prácticas etnográficas asociadas al pasado reciente. Proponemos que, además del pertinente inventario de los materiales siguiendo los estándares tradicionales (descripción, medidas, peso, materia, técnica, etc.), se detalle una clasificación de objetos centrada en descriptores que nos permitan, no sólo la mera descripción de las piezas, sino la catalogación de ese material para poder extrapolar información sobre los individuos y hacer lecturas a partir de los objetos para abordar, en perspectiva social y antropológica, temas como el cuerpo y vida material, la sociedad, la política, la economía, la cultura y la educación o las creencias. En este sentido, quizás habría que valorar la necesidad de un trabajo clasificatorio que se estructure formalmente más que como una tipología, como un tesoro, es decir, un vocabulario formado por términos que guardan entre sí relaciones semánticas y genéricas: de equivalencia, jerárquicas y

asociativas. De esta manera el inventario, estudio y catalogación de estos objetos permitiría un control tipológico a la vez que terminológico muy útil para el análisis, descripción y recuperación automatizada de esa información.

Así, por ejemplo, encontramos objetos que nos permiten abordar desde la disciplina arqueológica, la histórica y desde la antropología social y cultural temas diversos como: la muerte, la vida carcelaria, las creencias, algunos ritos del ciclo vital (noviazgo, matrimonio, nacimiento...), el ocio, la higiene y la salud o el cuerpo, entre otros. Los objetos además tienen un valor y una potencialidad a la hora de humanizar y encarnar vidas, memorias e historias que probablemente no tengan otros soportes, fuentes o documentos históricos. Son variados los calificativos que desde distintos planteamientos teóricos y conceptuales se barajan cuando tratamos con esta materialidad del pasado reciente, especialmente la vinculada a crímenes masivos y vulneración de derechos humanos. Por un lado, algunos autores han destacado el carácter aurático de los objetos (González-Ruibal 2008: 18), centrándose en la capacidad que tienen de despertar emociones y afectos. Cabe matizar, no obstante, que el aura de los objetos, siguiendo a Walter Benjamin (2003), incide específicamente en la capacidad de generar extrañamiento y, por tanto, pueden producir tanto afectos como desafectos.

Por otro lado, también se ha acuñado el término *testimonial objects* (Hirsch y Spitzer 2006: 358). Estos autores parten de la noción de *punctum* de Roland Barthes y conciben los objetos como puntos de intersección entre el pasado y el presente. Es una propuesta que incide tanto en la espacialidad como en la temporalidad a la hora de trabajar la memoria y concibe los objetos como nodos de memoria.

Recientemente, Iturriaga ha propuesto el concepto *activated objects* destacando así que los objetos junto con los cuerpos no son sólo evidencias materiales, sino que a través de las narrativas que los discursos científicos ofrecen con los procesos de exhumación, los objetos también participan activamente en la construcción de la memoria y el conocimiento del pasado (Iturriaga 2019). Es un planteamiento que, parafraseando a Latour (1987), propone que los objetos pueden tener voz propia.

En una formulación complementaria, Muñoz-Encinar destaca que estos artefactos se vinculan con la identidad individual de las víctimas marcando su manera de vestir, sus hábitos personales, su ideología, su ocupación, género, etc. (2019: 762).

Partiendo de este escenario de planteamientos, lo que es evidente es, por un lado, la potencialidad de esta cultura material para cimentar relecturas sobre las víctimas, pues los objetos son elementos descriptivos y definitorios de sus portadores. Y, por otro lado, la capacidad que tienen estos objetos para producir reacciones en la gente: dolor, miedo, emotividad. En este sentido, la mera contemplación de estos objetos produce en los familiares una conexión directa con los recuerdos y las historias de vida de sus víctimas, pues encuentran una vinculación con su historia familiar y esos objetos encarnan a la persona ausente. En muchos casos, el impacto se magnifica ya que algunas personas nunca conocieron a ese familiar asesinado y es, ahora, cuando conocen su historia a través de sus huesos, sus objetos y la comunidad de muerte que con él se ha creado en la fosa. Podríamos hablar de que la aproximación de las familias a esa materialidad bien podría vincularse a los enfoques fenomenológicos, es decir, aquellos basados en las relaciones entre sujeto y objeto, pues no cabe duda de que se cimientan en sus experiencias sensoriales y emocionales.

Sin embargo, cuando el observador no tiene un lazo de parentesco con la víctima, estos objetos humanizan los huesos exhumados. El impacto es aún mayor cuando la persona percibe al observar la fosa que esos huesos no son de cuerpos de otras épocas remotas, sino que se advierte la conexión con el presente, con nosotros, al reconocer zapatos, hebillas, anillos, una pipa o un lápiz como los que nosotros mismos o nuestros padres aún conservamos o los que identificamos en las fotos familiares de nuestros abuelos y bisabuelos. Es una cultura material que reconocemos, entendemos y patrimonializamos. No hay que recurrir a manuales ni libros para saber qué es y para qué sirve. Y en esa ecuación, la empatía hace que automáticamente se piense, que esos huesos y esos objetos nos hablan de gente que tuvo vidas y familias semejantes a las nuestras y tan cercanas que podríamos ser nosotros mismos. Porque estos objetos forman repertorios personales/familiares, pero la arqueología a través de su exhumación, su estudio y divulgación permite que se conviertan también en repertorios culturales e históricos colectivos que vinculan el pasado reciente y el presente.

Estos cuerpos y objetos nos hablan de un pasado traumático, de muertes violentas y de represión, pero el estudio de esta materialidad, junto con los cuerpos, los testimonios, la documentación histórica, también nos permite analizar e individualizar con profunda significación personal, los relatos sociales vinculados a esas historias y

a sus vidas. Una pluralidad de nombres, siglas, procedencias, credos, militancias que la dictadura uniformizó y deshumanizó como una gran masa de culpables, desafectos, fanáticos, subversivos y antipatriotas; una especie de *degeneración de la raza española* que la España de Franco tenía que purgar, hacer desaparecer y enviar al paredón y al olvido. No obstante, esta política premeditada de deshumanizar y uniformizar a la oposición y a la República con un reduccionismo y un maniqueísmo feroz, se desmonta con argumentos científicos, con la Historia, la Antropología y la Arqueología. Así, los estudios históricos de Gabarda definen listados de víctimas con perfiles diversos tanto en edades como en profesiones (obreros, labradores, comerciantes, maestros, funcionarios, artistas, etc.) y en siglas políticas (anarquistas, comunistas, socialistas) (2020a: 102). Y la arqueología y la antropología corroboran que las personas exhumadas de las fosas y los objetos asociados a ellas, que se recuperan en los procesos científicos de identificación, localización y exhumación, nos dejan ver una población plural y no aquella especie de horda de demonios rojos con tridente y cola (Moreno e.p.).

De manera que, si aceptamos, como recoge Ferrándiz, que *excavar las fosas significa, literalmente, excavar la memoria* (2007: 5), no podemos más que leer y tener presente el registro arqueológico al completo. Y, por tanto, la materialidad en su conjunto debe ponerse en valor para recuperar y socializar la memoria de nuestro pasado

reciente y para visibilizar alteridades y memorias que durante demasiado tiempo se habían mantenido soterradas en una invisibilidad que resulta reveladora de lo que ha sido nuestra historia reciente.

## CLASIFICACIÓN DE OBJETOS

Como se ha indicado al inicio del texto, uno de los objetivos del artículo es ofrecer una selección de los materiales documentados en los procesos de exhumación del cementerio de Paterna. En este sentido, no se pretende en este trabajo un inventario ni un estudio cuantitativo de los materiales sino mostrar la variedad de objetos conservados para, cualitativamente, poner en valor la materialidad exhumada más allá de los restos óseos e intentar definir algunos tipos descriptores con los que trabajar y sistematizar la catalogación de los objetos. Huelga decir que la clasificación de objetos se ha definido a partir del análisis del registro arqueológico de Paterna, donde se han podido exhumar hasta octubre de 2021, 27 fosas y 1163 cuerpos del total de 2237 personas que allí fueron asesinadas (Moreno *et al.* 2021).

## EVIDENCIAS DE VIOLENCIA Y REPRESIÓN (fig. 4)

### Munición

En el registro arqueológico se recuperan tanto proyectiles de fusil como proyectiles de pistola. Lo que nos permite



Fig. 4: Selección de materiales documentados en el interior de las fosas: 1: proyectiles de 7 mm de fusiles Máuser empleados para los fusilamientos; 2: proyectiles de 9 mm correspondientes con el tiro de gracia. 3: ligaduras de esparto para maniatar a las víctimas (arriba: Fosa 128, abajo: Fosa 111). Fotografías: Eloy Ariza-ArqueoAntro.

interpretar un uso diferenciado de distintas armas para el fusilamiento y para el posterior tiro de gracia, así como plantear qué cuerpos de seguridad del Estado formaban parte de los pelotones de fusilamiento, o incluso documentar la participación de civiles o paramilitares (al localizarse proyectiles de caza o de avancarga). En este sentido, el análisis de la munición documentada ha identificado proyectiles de 7 mm de fusil Máuser, un arma reglamentaria del ejército español; y proyectiles de 9 mm corto y largo utilizados en arma corta tanto por la Guardia Civil como por el ejército (Mezquida *et al.* 2018: 143-144; Gabarda *et al.* 2019: 58). Sin embargo, los proyectiles de 9 mm largo también eran empleados por subfusiles RU-35, Si-35, TN-35 y Atlántic, cuyo uso en la posguerra se asocia a la Guardia Civil. Recientemente, también se han registrado proyectiles de pistola de un calibre inferior (7,65 mm), en la Fosa 114, lo que además podría significar el cambio y los diversos gustos a la hora de escoger su armamento entre los jefes de los pelotones de ejecución, encargados de rematar a las víctimas.

#### Ataduras en las manos

Normalmente es cuerda de esparto trenzada o hilo de alambre que a modo de esposas, funciona para aprisionar las muñecas para reducir la movilidad de las víctimas.

#### Vendajes

Algunos cuerpos se documentan con restos de telas de algodón colocadas en el cuerpo para sujeción o cura de heridas en forma de gasa o cabestrillo, lo que indicaría que previamente al fusilamiento, muy probablemente durante su estancia en prisión o en el traslado al paredón sufrieron algún tipo de violencia que les provocó heridas y traumatismos.

La exhumación de estos objetos confirma que estos cuerpos son de víctimas de violencia y privación de libertad. Estas evidencias materiales interpretadas conjuntamente con las heridas y orificios en los cuerpos, la ropa con sangre y las fracturas *perimortem* nos ofrecen argumentos para hablar de prácticas de tortura/violencia física, crímenes y de violaciones de derechos humanos.

#### INDUMENTARIA Y COMPLEMENTOS

Por lo general en las fosas, junto a los cuerpos de las víctimas, se recuperan fragmentos de cierres, hebillas, piezas de vestir, botones y también restos de zapatos y tejidos. No obstante, en aquellas donde se produce la saponificación cadavérica se documenta la vestimenta completa de los individuos en un grado de conservación excepcional (fig. 5).

La singularidad del registro arqueológico en las sacas saponificadas del cementerio de Paterna posibilita la catalogación de indumentaria con un grado de detalle excepcional, que describe a cada individuo de manera personalizada desde la ropa interior a la vestimenta y el calzado. Este inventario, catalogación y estudio de la ropa nos permite interpretar variables vinculadas al mundo de trabajo y los oficios, la estructura social y las clases o también el género de las víctimas.

#### Vestimenta

- **Calzado.** Respecto al calzado se documentan cuatro tipos: botas (calzado que cubre todo el pie, el tobillo y una parte variable de la pierna), botín (bota de piel fina, generalmente puntiaguda y de vestir, que llega hasta encima del tobillo; puede llevar cordones o abrocharse con



Fig. 5: Selección de parte de la indumentaria recuperada junto con los cuerpos exhumados en la Fosa 128. Fotografías: Eloy Ariza-ArqueAntro.

cierre, hebilla o botones), alpargatas (calzado de lona, con suela de esparto, cáñamo o goma, que se sujeta al pie por presión o con unas cintas que se atan al tobillo), sandalias (calzado ligero sujeto al pie con correas, cintas o cordones), zapato de salón masculino (zapato cerrado generalmente de cuero, de línea simple, sin cierres ni adornos, plano o con tacón y con y sin cordones), zapato de salón femenino (zapato cerrado generalmente de cuero, de línea simple, suele ser escotado, de punta más o menos redondeada y puede tener diferentes alturas de tacón).

- **Ropa interior:** Calcetines (de algodón), calcetines masculinos con liga para sujetar a la pantorrilla, calzones masculinos con perneras de distintos largos: calzoncillos cortos hasta la rodilla, calzoncillos largos hasta los tobillos, camiseta interior (de tirantes, de manga larga y de manga corta).

- **Pantalones:** mayormente son pantalones largos con periles que terminan en forma recta. Los hay de diferentes tejidos: algodón, pana, de tela vaquera o denim. Es frecuente que tengan bolsillos y botones, y la cintura suele incluir algún tipo de cinturón.

- **Parte superior:** Camisetas de manga larga y de manga corta, camisas (prenda de tela con cuello y mangas que cubre el torso y abotonada por delante), chalecos (prenda sin mangas que se viste sobre la camisa), jerséis o suéters (prenda de punto, generalmente de lana o algodón, cerrada y con mangas), chaquetas (cubre hasta la cadera) con distinto tipo de cierre (cremallera, botones), abrigo (prenda de vestir larga, con mangas, abierta por delante y con botonera, mono-peto de una pieza con pantalón largo (parte de arriba con mangas o con tirantes)

- **Complementos:** Corbatas, pañuelos, cinturones, tirantes, gemelos, alfiler de corbata, bufanda, faja (pieza de tela en forma de cinta ancha que se coloca alrededor de la cintura).

### Objetos personales (fig. 6)

Los cuerpos exhumados en las fosas suelen conservar enseres personales asociados. Este tipo de materiales pueden servir como elementos identificativos de la persona y también nos permiten, desde una lectura socio-cultural, conocer costumbres, hábitos y prácticas de las víctimas y también inferir sus actividades o profesiones.

- **Abalorios y complementos destinados al adorno personal** como reloj de pulsera, colgantes, pendientes, brazaletes, anillos.

- **Objetos para fumar:** pipa, tabaquera, mechero, papel de fumar, paquete de tabaco picado.

- **Cubiertos para alimentación:** cuchara y tenedor de metal. Excepcionalmente, también se han documentado en los bolsillos de algunas víctimas (Fosa 128) cacahuetes con cáscara, y también semillas de uva al cribar el sedimento documentado en la cavidad abdominal (individuo nº 24 Fosa 112).

- **Otros:** Lápiz de carpintero, tapón de neumático de vehículo.

### Útiles de farmacopea y cuidado personal (fig. 7)

La materialidad recuperada en las fosas también refleja las prácticas del aseo cotidiano y la difícil vida carcelaria de la posguerra. En este sentido se han identificado objetos como pastilleros, frascos y botellas de medicamentos, así como alguna lendrera, cabestrillo, faja lumbar, bragueros de hernia inguinal, dentadura o dientes/puentes de oro. También se distinguen objetos de aseo personal como peines, horquilla de pelo, cepillo de dientes, pasta de dientes o espejo de mano. Estos repertorios nos permiten una relectura de las víctimas incidiendo en el cuerpo, la salud y la higiene personal desde un enfoque de análisis antropológico social y cultural muy enriquecedor.

### Útiles de escritura y elaboración de documentos

Se trata de objetos como lápices, sacapuntas, plumillas, fragmentos de goma de borrar y extensores de lápiz. Estos repertorios nos permiten abordar la amplia esfera de la cultura y la educación, pues la lectoescritura se asocia a la capacidad de leer y escribir y por tanto a la alfabetización. Los testimonios orales confirman que aquéllos que sabían escribir, transcribían, leían o enseñaban en prisión a los que eran analfabetos. De manera que la documentación de lápices y minas de grafito evidencian que la escritura y/o el dibujo eran una práctica habitual.

### Objetos de culto

Otras evidencias materiales que identifican prácticas personales son los elementos de la religión católica que se documentan. Por lo general, aparecen algunas medallas, escapularios, rosarios, alianzas de boda... Estos repertorios materiales nos ofrecen información sobre la religiosidad, el culto y la fe de algunas víctimas y confirman el amplio espectro de las víctimas, refutando el reduccionismo franquista que tildaba a todos los republicanos de anticlericales y contrarios a la fe cristiana y la religión.



Fig. 6: Selección de objetos para fumar documentados junto con las víctimas en distintas fosas: 1. Mechero F.115; 2. Envoltorio de tabaco picado F.112; 3. Chisquero F.112; 4. Caja de cerillas F.128; 5. Pipa de fumar F.112; 6. Caja de cerillas F.112; 7. Pipa F.112. Fotografías: Eloy Ariza-ArqueoAntro.



Fig. 7: Selección de útiles de farmacopea y aseo personal, documentados en las fosas: 1. Cuchara F.115; 2. Fragmento de cepillo de dientes F.112; 3. Peine F.115; 4. Pastillero F.112; 5. Fragmento de tubo de pasta dentífrica F.112; 6. Bote y ampolla de insulina F115. Fotografías: Eloy Ariza-ArqueoAntro.

### **Juego/Ocio**

Aunque con menor presencia, también se identifican entre los objetos exhumados alguna ficha de dominó, dados, recorte de sopa de letras, que son prueba de algunas aficiones que las víctimas llevaban cabo en la cárcel y muestran tanto las prácticas de socialización en prisión como, muy probablemente, el ocio y el juego como válvula de escape ante la reclusión y la privación de libertad. Sin duda, este tipo de materialidad nos permite plantear relecturas de carácter social y cultural en el día a día de las víctimas ya que la cárcel se convierte en espacio social y escenario de la vida personal de los condenados durante su encierro.

### **Documentación en papel**

Los documentos que se han recuperado ofrecen pequeñas pinceladas de información sobre la realidad socio-política de las víctimas y sus historias personales, y responden a dos tipos. Aquellos que son documentación oficial de distinta naturaleza (cartilla militar, pagarés, cartilla vacunación) y documentos de carácter personal, como notas manuscritas en pequeños recortes de papel o tarjetas postales donde la víctima aparece como destinatario (algunas conservan sellos y marcaje de censura) o como remitente (su documentación en la fosa implica que la víctima no la llegó a enviar).

### **Dinero-elementos de curso legal**

También están presentes en el registro arqueológico de las fosas los billetes y monedas (de distintas etapas históricas: Alfonso XIII, República, Franquismo), los sellos postales y timbres fiscales franquistas vinculados a documentación, algunas fichas como la del frontón, de casino o de apuestas. No cabe duda de que estos objetos tienen interpretaciones sobre la vida social y económica de las víctimas, aunque también hay que plantear la posibilidad de que algunas de estas piezas se atesoraran durante la estancia en prisión como recuerdos o elementos personales a modo de amuletos.

### **Objetos reutilizados**

La existencia de objetos y elementos reutilizados nos indica la escasez de enseres y materiales, como el papel que fue muy deficitario durante la posguerra. Además, el contexto carcelario en el que las víctimas tuvieron que malvivir es una de las causas que explica la multifunción que pudieron tener algunos enseres, como los periódicos o casi cualquier cosa que pudiera

reciclarse para aprovecharse al máximo, como pequeñas láminas de hojalata que, pulidas, se convertían en buriles o punzones para elaborar artesanía.

En algunas fosas se han documentado, recipientes y frascos de cristal reutilizados para contener notas en papel para identificar a la persona (fig. 8). Aparecen en la fosa como objetos asociados a las víctimas, pero depositados por el enterrador, siendo una clara evidencia de que ya existía la intencionalidad de identificarlos y facilitar la posible recuperación de los cuerpos desde el mismo momento en que los habían asesinado e iban a ser sepultados en la fosa.

Reutilización de documentación y cualquier soporte en papel para escribir en el reverso.

Reutilización de hojas de periódico para usos diversos (papel higiénico, protección del pecho ante la humedad). Algunos recortes de periódico que incluyen la foto y la noticia completa podrían haber sido atesorados como recuerdo o elemento de interés personal.

### **Artesanía carcelaria**

Se trata de objetos manufacturados por las propias víctimas durante su estancia en prisión. Los que se exhuman en las fosas, normalmente son de pequeño tamaño y se han diseñado reutilizando elementos y materiales cotidianos como los huesos de fruta (oliva, albaricoque) o piedras. Aunque, en prisión, también se elaboraban piezas más complejas y de mayor tamaño en los talleres de artes plásticas, siendo precisamente referentes en el sistema penitenciario de posguerra, los que se impartían en la cárcel Modelo de València y Sant Miquel dels Reis (Agramunt 2005: 113-ss). No hay duda que algunos objetos que se documentan son vehículo de la creación y expresión artística, pues son diseñados y creados manualmente y *ex profeso*; es el caso de los huesos de fruta tallados, colgantes artesanales, navajas de pequeño tamaño de elaboración artesanal a modo de buril para cortar y tallar. Estos objetos tienen varias funciones. Por un lado, sirvieron a quien los realizó para evadirse de la rutina de la cárcel y de la dura vida en prisión que los privaba de libertad. Por otro, algunos encarnan el recuerdo constante de los seres queridos que vivían también condenados fuera de aquella celda. Aferrarse a aquellos recuerdos era tanto vía de escape como elemento de fuerza y resistencia. Estos objetos fueron quizá un regalo, un recordatorio, pero también un potente mensaje dirigido a sus familias, pues como productos de la actividad manual de la víctima se convierten en una forma de expresión.



Fig. 8: 1.-Botella con nota manuscrita en su interior documentada en nicho 645. 2.- Conjunto de siete recipientes de distinta tipología documentados en la Fosa 120 junto con las víctimas. Fotografías: Eloy Ariza-ArqueoAntro.

Con esta clasificación de objetos de las fosas de Paterna hemos intentado presentar de forma concisa la variada materialidad que es susceptible de ser documentada en los procesos de exhumación, con la intención de destacar su relevancia y la necesidad de estudio y divulgación. Estos objetos exhumados de las fosas comunes son albaceas de las historias de vida de las víctimas y han permanecido sepultados en las fosas junto a ellos. Pero a su vez, esta cultura material es transmisora de la memoria de un país y de las memorias de todos y todas. Los objetos humanizan los cuerpos y catalizan en la sociedad la importancia de la recuperación de las víctimas y, en paralelo, sirven a las familias para encarnar los recuerdos y memorias de sus seres queridos. A nuestro modo de ver, estos objetos exhumados de las fosas junto a las víctimas del franquismo, además de ser objetos personales, tienen una lectura memorial y personal que nos describe cada una de esas historias y que los convierte en patrimonio y memoria de todas y todos.

### **PERO ¿QUÉ HACEMOS CON LOS OBJETOS RECUPERADOS EN LOS PROCESOS DE EXHUMACIÓN DE LAS FOSAS?**

Una vez exhumados esos objetos nos encontramos ante diferentes casuísticas:

Cuando la víctima ha podido ser identificada y la familia quiere recuperar tanto los restos mortales como aquellos objetos que en el proceso científico de excavación se han vinculado con dicha persona, en este caso, se entrega a los familiares el conjunto de restos humanos y objetos exhumados y es la familia la que decide qué hacer con ellos (Orden/PRE/2568/2011, III.E.1). En la mayoría de casos, los restos humanos y materiales son entregados en una misma caja de madera/resina, denominada caja de reducción, y suelen reinterhumarse conjuntamente en el lugar que decide la familia. No obstante, cuando los objetos recuperados tienen cierta entidad o significado emocional para las familias, se convierten en piezas que ellos custodian en sus casas como memoria y herencia familiar, ya que a menudo estos materiales (pipas, anillos, colgantes, botones, a veces un puñadito de la tierra extraída de la fosa) son uno de los pocos recuerdos materiales que tienen de sus seres queridos.

Si no se ha podido identificar a la víctima, el cuerpo se interhuma en el cementerio de la población donde se halla la fosa, de manera individualizada e identificada

de modo que permita su localización en futuras exhumaciones. En estos casos el protocolo de actuación apunta “junto con los efectos personales que hayan sido hallados” (Orden/PRE/2568/2011, III.E.2), es decir, que el individuo (cuya identidad no se ha podido concretar) y los objetos a él asociados en el proceso de exhumación se reinterhuman conjuntamente.

Cuando el proceso de excavación arqueológica ha documentado objetos que no han podido asociarse a ningún individuo o no han sido reclamados por nadie, en este caso se aplica también el procedimiento III.E.2 del protocolo de exhumaciones (Orden PRE/2568/2011), se vuelven a interhumar en el cementerio de la población donde se halla la fosa junto con los restos antropológicos que no han podido ser identificados.

Dada la naturaleza de este tipo de exhumaciones, que pretenden reparar a las víctimas y a sus familiares, es evidente que al tratarse de objetos personales que pueden ser asociados a individuos y a familias identificables en la actualidad, son ellas quienes en primera instancia tienen la capacidad de obrar y decidir. Sin embargo, dichos objetos tienen la potencialidad de ser mucho más que un recuerdo con valor emocional y personal. Son, además, piezas con un significado relevante para la memoria contemporánea al ser una cultura material que nos habla de nuestro pasado reciente, de la violencia de estado y de la represión. Pero también del duelo, de los procesos de transmisión de la memoria, del miedo, del silencio, de la desmemoria e incluso de la vida y la identidad de esas personas. Y por tanto nos ofrecen unos escenarios muy interesantes para el análisis histórico y también el antropológico desde un punto de vista social y cultural.

Quizás deberíamos de valorar y asumir la necesidad de generar repertorios patrimoniales del pasado reciente con el objetivo de poder nutrir futuros museos y con la finalidad de poder ofrecer discursos y relecturas que aúnen la reparación judicial, social e historiográfica de las víctimas y que permitan la justicia y la verdad en los discursos y en la memoria pública.

Por otro lado, sin apertura de procedimiento judicial, los objetos recuperados en las exhumaciones dejan de ser pruebas en un caso de investigación, y su función como evidencias de interés criminalístico se difumina pues no hay delito/crimen que juzgar. La exhumación requiere una intervención forense con metodología arqueo-antropológica y aunque debería llevar aparejado un procedimiento judicial para el esclarecimiento de los crímenes, en el Estado español no ocurre así (Pego 2020).

Lo que sí ocurre es que al tratarse de restos que se localizan en el subsuelo, la exhumación queda supeditada a la implementación de métodos y técnicas de la disciplina arqueológica. Y, por tanto, se deben cumplir los requisitos que la legislación establece en cuanto a actuaciones arqueológicas (obtención de permisos, plazos, registro de materiales, elaboración de informes y memorias, etc.) de conformidad con el Decreto 107/2017 del Consell, por el que se aprueba el Reglamento de Regulación de las Actuaciones Arqueológicas en la Comunitat Valenciana. Sin embargo, no se les aplica la legislación patrimonial vigente para objetos recuperados en actuaciones arqueológicas, la cual indica que deben ser custodiados y depositados en museos o instituciones públicas competentes de la salvaguarda, el estudio y la divulgación de la cultura material arqueológica.

Las fosas y los cuerpos y objetos que en ellas se documentan, están flotando en un limbo en lo que respecta al ámbito judicial y también al patrimonial. Y si bien es cierto que desde 2011 se han protocolizado las exhumaciones con la intención principalmente de estructurar y planificar las excavaciones y la metodología, estos protocolos forenses no concretan algunos temas esenciales en lo que respecta al régimen jurídico de los cuerpos (Montero 2010) ni tampoco sobre los objetos a ellos asociados (Jiménez y Herrasti 2017).

Si leemos la Ley de Memoria Valenciana, en ella se habla de Espacios y Lugares de Memoria (artículo 20.1) como aquellos espacios, inmuebles o parajes del territorio valenciano que revelen interés por haberse desarrollado en ellos hechos de singular relevancia por su significación histórica, simbólica o por su repercusión en la memoria colectiva de la lucha de los valencianos y valencianas por sus derechos y libertades democráticas desde la proclamación de la II República Española hasta la entrada en vigor del Estatuto de Autonomía (a tenor de lo cual, reiteramos, de nuevo, la singularidad y significación de El Terror y el cementerio de Paterna). También se definen los Itinerarios de Memoria (art. 20.2) formados por dos o más lugares de la memoria democrática de la Comunitat Valenciana que coincidan en el espacio y tengan criterios interpretativos comunes de carácter histórico o simbólico, sin perjuicio de que concurren otros valores relevantes de carácter arquitectónico, paisajístico o de tipo ambiental, etnográfico o antropológico. Además, en el Título III sobre el derecho a la memoria, la ley también regula la protección y conservación del patrimonio documental, bibliográfico e

inmaterial. Del mismo modo, también se reconoce explícitamente algunos elementos materiales de nuestro pasado reciente como patrimonio y se protegen las construcciones civiles y militares de la Guerra Civil de conformidad con la ley 9/2017, de 7 de abril, de la Generalitat, que modifica la Ley 4/1998, del patrimonio cultural valenciano. Estos *vestigios arqueológicos se consideran una herramienta fundamental de recuperación de los acontecimientos del pasado para las generaciones futuras, que podrán tener una aproximación más fidedigna a los hechos, a partir de estos testimonios patrimoniales de nuestra historia más reciente.*

Sin embargo, no existe mención alguna a la cultura material que se exhuma de las fosas. El debate está en si son vestigios arqueológicos y un patrimonio material relevante por su significación histórica, simbólica o por su repercusión en la memoria colectiva o no. En este sentido, nosotros abogamos por abordar este debate desde un punto de vista teórico y conceptual, pues en este marco bien podríamos denominar a este patrimonio mueble asociado a las exhumaciones como Objetos de Memoria. El argumento es sencillo, pues como recoge la Ley de Memoria Valenciana, la Organización de Naciones Unidas en la Resolución 2.004/72 de la Comisión de Derechos Humanos (E/CN.4/2005/102/Add.1), señala, dentro de las obligaciones de los estados, la adopción de medidas eficaces para luchar contra la impunidad, la garantía del derecho inalienable a la verdad, el deber de recordar y el derecho al saber. El principio 3.º sobre el deber de recordar proclama: *El conocimiento por un pueblo de la historia de su opresión forma parte de su patrimonio y, por ello, se debe conservar adoptando medidas adecuadas en aras del deber de recordar que incumbe al Estado para preservar los archivos y otras pruebas relativas a violaciones de los derechos humanos y el derecho humanitario y para facilitar el conocimiento de tales violaciones. Esas medidas deben estar encaminadas a preservar del olvido la memoria colectiva y, en particular, a evitar que surjan tesis revisionistas y negacionistas.*

No hay duda que los objetos ofrecen unas narrativas sobre el pasado traumático en clave familiar que puede extrapolarse al conjunto de la sociedad. Demos, pues, la opción a que las familias valoren si quieren conservar esos objetos o si quieren donarlos a museos públicos para que con la recuperación de la historia y la memoria de sus familiares se explique y se divulgue la memoria y la historia de todos. Pues la invisibilidad absoluta de esa materialidad y su circunscripción exclusivo al ámbito privado

dificulta su gestión, conservación y difusión como elementos claves para la construcción y la divulgación de una memoria pública de nuestro pasado reciente. De manera que después de una década de exhumaciones científicas en territorio valenciano, quizás sea necesario plantear un debate profesional sobre esta cultura material que nos permita abordar desde la arqueología las prácticas socio-políticas y culturales vinculadas a las políticas de violencia, purga y represión del Estado franquista. Quizás debería evaluarse la necesidad de que se establezcan *ex novo* protocolos de custodia conservación y divulgación de esta cultura material exhumada a partir de la modificación y actualización del marco legislativo vigente. Pues hasta la fecha, las lagunas en la legislación hacen difícil su custodia, conservación y puesta en valor. En este sentido, abogamos porque se de opción siempre a las familias a poder elegir en primer lugar, pero que ante situaciones de no identificación o de renuncia sea la administración la que asuma la custodia y estos materiales sean depositados en instituciones y museos públicos, ya que su rehumación anula la posibilidad de un uso científico, museográfico y público de estos objetos.

### **REFLEXIÓN FINAL: EL RETO DE GESTIONAR, CONSERVAR Y DIFUNDIR LA MEMORIA**

Es un gran reto poder asumir la preservación de unos objetos contemporáneos, normalmente de uso cotidiano, que fabricados con materiales muy variados no responden a la tipología tradicional de objeto arqueológico. Es decir, no están hechos ni de cerámica ni de piedra ni de metales que tras cientos o miles de años han consolidado sus procesos corrosivos. Al contrario, nos encontramos objetos de materiales contemporáneos diversos, cuyo proceso de degradación no ha cumplido un siglo y, por tanto, su extracción del subsuelo con los procesos de exhumación altera su naturaleza de manera feroz. De manera que, no tiene ningún sentido recuperar pantalones, zapatos, camisas, cinturones, botones, hebillas, lápices, cucharas, pipas, carteras anillos y un largo etcétera de objetos personales y cotidianos, si una vez exhumados no son sometidos a procesos científicos y profesionales de limpieza, documentación, inventario, catalogación, consolidación preventiva y restauración. Por el contrario, almacenar estas piezas en cajas y bolsas de plástico durante meses para posteriormente entregarlas, en el mejor

de los casos, después de una limpieza o consolidación preliminar a los familiares parece un sin sentido, a no ser que su finalidad sea estrictamente la rehumación, que es lo que ha sucedido hasta la fecha.

Por otro lado, asumida la necesidad de gestión, y del mismo modo que las administraciones públicas ofrecen subvenciones o asumen de oficio el gasto en los procesos de exhumación de las víctimas, se debería contemplar la necesidad de que asuman también los gastos de estudio, limpieza, consolidación preventiva, restauración, documentación, así como la divulgación posterior de los restos materiales arqueológicos exhumados en estos procedimientos científicos. Del mismo modo debería suceder con los estudios antropológicos sociales, etnográficos y documentales que abordan desde el presente y desde los vivos estos procesos que la exhumación arqueológica excava, y que en territorio valenciano son anecdóticos (García y Gadea 2020).

En el protocolo de actuación en exhumaciones de víctimas de la guerra civil y la dictadura (Orden PRE/2568/2011) se considera que la apertura de una fosa es una tarea interdisciplinar y se cita expresamente la intervención de tres tipos de especialistas: historiadores, arqueólogos y especialistas forenses. Quizás si se entendiera la exhumación como un procedimiento transversal con lecturas multidisciplinares e intergeneracionales se advertiría lo enriquecedor que sería que profesionales de la antropología, la conservación-restauración, la documentación fotográfica y audiovisual, sociología y la divulgación también fueran de presencia obligatoria en estos procedimientos. Porque la memoria va más allá de exhumar, y no entenderla así supone un reduccionismo simplista que nos hace desaprovechar oportunidades de implementar políticas públicas de memoria integrales.

Recientemente, en 2020 y a propósito de la exhumación de la fosa nº 128, el equipo técnico de ArqueoAntro planteó a la Delegación de Memoria de la Diputación de Valencia, que subvencionaba el proceso, la necesidad de valorar la recuperación, puesta en valor y preservación de, al menos, una selección de las más de los 25 conjuntos de indumentaria y materiales exhumados en esta fosa, dado su excepcionalidad. La propuesta técnica de ArqueoAntro fue valorada positivamente por el área de Memoria de la Diputación que junto con el Museu Valencià d'Etnologia (L'Etno), están evaluando las necesidades y posibilidades para que estos materiales exhumados puedan conservarse y

custodiarse en el museo con fines memorialísticos públicos. Precisamente, el equipo de ArqueoAntro ya colaboró con L'Etno para incluir en su exposición *Prietas las Filas: Vida Cotidiana y Franquismo* de 2018, una pequeña selección de objetos exhumados de la fosa 113 del cementerio de Paterna, que fueron expuestos en sala durante los 12 meses que fue visitable la exposición (Moreno y Candela 2018: 65-ss).

En este sentido, reiteramos nuestra propuesta y defendemos que el estudio de los cuerpos y los objetos exhumados nos debe servir para analizar y conocer las microhistorias personales de cada víctima, pero también para ofrecer al conjunto de la ciudadanía relatos que deconstruyan la hegemonía de la memoria heredada. No cabe duda que los cuerpos y objetos que las metodologías arqueológica y antropológica consiguen recuperar en los procesos de exhumación, devienen –siguiendo las tesis de W. Benjamin (2003)– evidencias clave para hacer historia a contrapelo, para ofrecer discursos desde la perspectiva de los vencidos y desde la marginalidad que los discursos hegemónicos habían sepultado. Recuperar la memoria desde la interdisciplinariedad es necesario para dar voz los olvidados de la historia y para *alumbrar el presente desde la memoria de las víctimas del pasado* (Mate 2006).

La arqueología y la memoria deben ser públicas y sociales y fomentar la participación y la convivencia a partir del análisis y la divulgación de los problemas que afectan a la sociedad actual, anclándose siempre en la ciencia, pues solo así conseguiremos que a través de la multidisciplinariedad y de las políticas públicas de memoria se contribuya además de a la reparación, la justicia y la verdad, al crecimiento cívico, moral y reflexivo a través del conocimiento y la divulgación de nuestro pasado reciente.

## NOTAS

1. En 2019, la Diputación de Valencia, a través del Área de Memoria Histórica, creó una comisión de trabajo “para recuperar la memoria de los fusilados en el Paredón de España” en la que también participan el Ayuntamiento de Paterna, la Agrupación de Familias de Víctimas del Paredón de España, el Grupo para la Memoria Histórica de València y la empresa Barrio La Pina, propietaria de los terrenos. El objetivo es la construcción de un memorial en honor de las víctimas asesinadas allí y sepultadas en el cementerio de Paterna. No obstante, hasta la fecha aún no se ha materializado. <<https://www.dival.es/es/sala-prensa/content/la-diputacio-crea-una-comision-de-trabajo-para-recuperar-la-memoria-de-los-fusilados-en-el-p>>.
2. Según la información demográfica que conserva el archivo municipal del municipio, Paterna en la década de 1930 contaba con una población de 6284 habitantes, que creció a 7885 en 1940 y alcanzó los 9736 habitantes en 1950. Si tomamos estos datos como referencia y los comparamos con las cifras de muertes violentas, causa de la represión en El Terror, la magnitud de los asesinatos escapa a cualquier duda. En este sentido, las fosas del cementerio municipal albergaron una cantidad de personas que si se computan de manera acumulativa equivaldría al 28% de la población local en los años 1940. Las 2237 personas asesinadas en Paterna suponen el 47% del total de fusilados del territorio valenciano (Gabarda 2007).
3. Cabe mencionar que, en el caso del cementerio de Paterna, el registro cementerial de la época, que se conservaba hasta época de la Transición, desapareció y hoy sólo es consultable únicamente alguna información parcial que las familias han ido aportando desde entonces. Por otro lado, se produjeron vaciados de fosas y traslados al Valle de los Caídos durante la dictadura (según la información del Mapa de Fosas Estatal al menos en el año 1959) que también generan vacíos de información.
4. En este sentido, sus cuerpos también tuvieron un trato diferenciado en su acceso al camposanto. El cementerio se circunda perimetralmente con un muro de mampostería y el acceso principal al camposanto se hace por una puerta principal que recae en la fachada del recinto (fig. 1). Sin embargo, según cuentan los testimonios orales, los cuerpos ya sin vida de los ejecutados en El Terror eran introducidos en el cementerio, destino a las fosas, por una pequeña puerta lateral del cuadrante 2.
5. Leoncio Badía Navarro (1907-1987) era republicano y fue condenado a trabajar como sepulturero en el cementerio de Paterna entre 1939 y 1945 para “enterrar a los suyos”. Leoncio es reconocido por su humanidad y buen hacer durante los años que fue enterrador pues, siempre que pudo y a escondidas: colocó botellas con notas de papel que identificaban a la víctima; entregó a las viudas y huérfanos de las víctimas retales de la ropa que él mismo recortó de la indumentaria que llevaban los muertos antes de enterrarlos en la fosa; incluso, en alguna ocasión, mostró a la familia el cuerpo al amparo de la noche (Gabarda *et al.* 2019: 64).
6. Es cierto que, como apunta González-Ruibal, en el caso de los asesinatos políticos masivos, hablamos no solo de recuperar las identidades individuales de las víctimas sino también la importancia de recuperar desde la arqueología las identidades colectivas que fueron desubjetivadas y cosificadas (2020: 9-10).
7. Además de los objetos exhumados, también contamos con objetos de las víctimas que conservan las familias bien porque fueron recuperados en caliente a pie de fosa (fragmentos de indumentaria, objetos personales) o bien porque las familias pudieron preservarlos como último y, a menudo, único recordatorio de la víctima (fotografía, abalorios, enseres personales, cartas).

## BIBLIOGRAFÍA

- AGRAMUNT, F. (2005): *Arte y represión en la guerra civil española. Artistas en checas, cárceles y campos de concentración*, Valladolid.
- BABY, S.; NÉRARD, F. X. (2017): Objects from the missing. Exhumations and uses of the material traces of mass violence, *Les Cahiers Sirice* 19 (2), 5-20.  
DOI: <https://doi.org/10.3917/lcsi.019.0005>
- BENJAMIN, W. (2003): *La obra de arte en la época de su reproductibilidad técnica*, México.
- BLAU, S.; SKINNER, M. (2005): The use of forensic archaeology in the investigation of human rights abuse: Unearthing the past in East Timor, *The International Journal of Human Rights* 9 (4), 449-463.  
DOI: <https://doi.org/10.1080/13642980500349857>
- BUCHLI, V.; LUCAS, G. (eds.) (2001): *Archaeologies of the contemporary past*, Londres-Nueva York.  
DOI: <https://doi.org/10.4324/9780203185100>
- CASAS, J. D. D.; SANTIAGO, A.; RODRÍGUEZ, M. S.; ALBARRÁN, M. E. (2006): Fenómenos de conservación cadavérica. Saponificación, *Revista de la Escuela de Medicina Legal* 3, 27-36.
- CRIADO, F. (2010): Què és avui l'Arqueologia, *Cota Zero: revista d'arqueologia i ciència* 25, 51-56.
- CROSSLAND, Z. (2000): Buried Lives: Forensic Archaeology and the Disappeared in Argentina, *Archaeological Dialogues* 7 (2), 146-159.  
DOI: <https://doi.org/10.1017/S1380203800001707>
- DÍAZ-RAMONEDA, E.; VILA, A.; SANCHO, S.; CALPE, A.; IGLESIAS-BEXIGA, J.; MEZQUIDA, M. (e.p.): Les fosses de Paterna, testimonis de la maquinària repressiva del règim franquista al País Valencià, *RAP* 31.
- ETXEBERRIA, F.; SERRULLA, F. (2019): El caso de los cerebros de Pedraja. Ciencias forenses y memoria histórica en España, *Mètode: Revista de difusió de la Investigació* 2 (101), 82-91.
- FERNÁNDEZ, V. M. (2006): *Una arqueología crítica. Ciencia, Ética y Política en la construcción del pasado*, Barcelona.
- FERRÁNDIZ, F. (2006): The Return of Civil War Ghosts: The Ethnography of Exhumations in Contemporary Spain, *Anthropology Today* 22 (3), 7-12.  
DOI: <https://doi.org/10.1111/j.1467-8322.2006.00437.x>
- FERRÁNDIZ, F. (2007): Exhumaciones y políticas de la memoria en la España contemporánea, *Hispania Nova. Revista de Historia Contemporánea* 7.
- FERRÁNDIZ, F. (2009): Fosas comunes, paisajes del terror, *Revista de Dialectología y Tradiciones Populares* LXIV, 61-94.  
DOI: <https://doi.org/10.3989/rdtp.2009.029>
- FERRÁNDIZ, F. (2011): Autopsia social de un subterrio, *Isegoría. Revista de Filosofía Moral y Política* 45, 525-544.  
DOI: <https://doi.org/10.3989/isegoria.2011.i45.741>
- FERRÁNDIZ, F. (2014): *El pasado bajo tierra. Exhumaciones contemporáneas de la Guerra Civil*, Barcelona.
- FERRÁNDIZ, F. (2020): *Etnografías contemporáneas: anclajes, métodos y claves para el futuro*, Barcelona.
- FORTUNA, M.; MEZQUIDA, M.; MARTÍNEZ, A. (2017): *Enterramientos de soldados exhumados en el Frente de Levante*, CSIC.
- GABARDA, V. (2007): *Els afusellaments al País Valencià (1938-1956)*, València.
- GABARDA, V. (2020a): *El cost humà de la repressió al País Valencià (1936-1956)*, València.
- GABARDA, V. (2020b): El cementeri de Paterna con a exemple de monumentalització popular, *Postguerres/Aftermaths of war* (T. Abelló, G. C. Cattini, V. Gavin, J. Ibarz, C. Santacana, O. Solé, A. Vives, coords.), Barcelona, 169-187.
- GABARDA, V. (dir.) (2021): *Violència, conceptualització, memòria, repressió, estudis, monumentalització, exhumacions, València, 1936-2020*, València.
- GABARDA, V.; MEZQUIDA, M.; IGLESIAS, J.; CALPE, A.; LÓPEZ, G.; ARIZA, E. (2019): *La memòria en un racó*, Manises.
- GARCIA-HERNANDORENA, M. J.; GADEA i PEIRÓ, I. (2020): *Etnografía d'una exhumació. El cas de la fossa 100 del cementeri de Paterna*, València.
- GASSIOT, E. (2008): Arqueología de un silencio. Arqueología forense de la Guerra Civil y del Franquismo, *Complutum* 19 (2), 119-130.
- GONZÁLEZ-RUIBAL, A. (2007): Making Things Public: Archaeologies of the Spanish Civil War, *Public Archaeology* 6 (4), 203-226.  
DOI: <https://doi.org/10.1179/175355307X264165>
- GONZÁLEZ-RUIBAL, A. (2008): Arqueología de la Guerra Civil Española, *Complutum* 19 (2), 11-20.
- GONZÁLEZ-RUIBAL, A. (2012): From the battlefield to the labour camp: archaeology of civil war and dictatorship in Spain, *Antiquity* 86, 456-473.  
DOI: <https://doi.org/10.1017/S0003598X00062876>
- GONZÁLEZ-RUIBAL, A. (2019): *An Archaeology of the contemporary era*, Abingdon.  
DOI: <https://doi.org/10.4324/9780429441752>
- GONZÁLEZ-RUIBAL, A.; AYÁN, X. (2018): *Arqueología. Una introducción al estudio de la materialidad del pasado*, Madrid.
- GONZÁLEZ-RUIBAL, A.; MOSHENSKA, G. (eds.) (2015): *Ethics and the Archaeology of Violence*, New York.  
DOI: <https://doi.org/10.1007/978-1-4939-1643-6>
- GOULD, R. A. (2007). *Disaster Archaeology*, Salt Lake City.
- HAGLUND, W. D.; CONNOR, M.; SCOTT, D. D. (2001): The Archaeology of Contemporary Mass Graves, *Historical Archaeology* 35 (1), 57-69.  
DOI: <https://doi.org/10.1007/BF03374527>
- HALLAM, E.; HOCKEY, J. (2001): *Death, Memory and Material Culture*, Oxford.

- HAMILAKIS, Y. (2011): Archaeological ethnography: A multi-temporal meeting ground for archaeology and anthropology, *Annual Review of Anthropology* 40, 399-414.  
DOI: <https://doi.org/10.1146/annurev-anthro-081309-145732>
- HARRIS, O.; CIPOLLA, C. (2017): *Archaeological Theory in the new Millennium: Introducing Current Perspectives*, London & New York.  
DOI: <https://doi.org/10.4324/9781315713250>
- HARRISON, R.; SCHOFIELD, J. (2010): *After modernity. Archaeological approaches to the contemporary past*, Oxford.  
DOI: <https://doi.org/10.1093/oso/9780199548071.001.0001>
- HAZAN, P. (2008): Les dilemmes de la justice transitionnelle, *Mouvements* 53, 41-47.  
DOI: <https://doi.org/10.3917/mouv.053.0041>
- HIRSCH, M. (2015). *La generación de la posmemoria. Escritura y cultura visual después del Holocausto*, Madrid.
- HIRSCH, M.; SPITZER, L. (2006): Testimonial Objects: Memory, Gender, and Transmission. *Poetics Today* 27 (2), 353-383.  
DOI: <https://doi.org/10.1215/03335372-2005-008>
- HODDER, I. (ed.) (2012a): *Archaeological theory today*, Cambridge.
- HODDER, I. (ed.) (2012b): *Entangled. An archaeology of the relationships between humans and things*, Oxford.  
DOI: <https://doi.org/10.1002/9781118241912>
- IGLESIAS, J.; BENITO, M.; CALPE, A.; FORTUNA, M.; MARTÍNEZ, A.; MEZQUIDA, M. (2018): Proceso de exhumación, cadena de custodia e identificación de los cuerpos. Aspectos técnicos y jurídicos. Antropología forense durante los trabajos en el Cementerio Municipal de Paterna, *Actas I Jornades de Memòria Democràtica a Paterna*, València, 131-145.
- ITURRIAGA, N. (2019): At the Foot of the Grave: Challenging Collective Memories of Violence in Post-Franco Spain, *Socius: Sociological Research for a Dynamic World* 5, 1-16.  
DOI: <https://doi.org/10.1177/2378023119832135>
- JIMÉNEZ, J.; HERRASTI, L. (2017): Objets associés des fosses de la guerre civile en Espagne, *Les Cahiers Sirice* 19, 41-54.  
DOI: <https://doi.org/10.3917/lcsi.019.0041>
- JOHNSON, M. (2000): *Teoría arqueológica. Una introducción*, Barcelona.
- MATE, M. R. (2006): *Medianoche en la historia. Comentarios a las tesis de Walter Benjamin*, Madrid.
- MATE, M. R. (2011): Justicia: autores y temas para una nueva aproximación, *Justicia y memoria. Hacia una teoría de la justicia anamnética* (J.A. Zamora, M. R. Mate Eds.), Barcelona, 5-8.
- MEJÍAS, F. (2020): Arqueología de la represión, entre el silencio y la memoria: las fosas comunes del campo de concentración de Albaterra (San Isidro, Alicante), *Ebre* 38 10, 69-123.
- MEZQUIDA, M. (2013): Arqueología de la Guerra Civil. Una arqueología por asimilar, *La Linde* 1, 42-50.
- MEZQUIDA, M. (2017): Excavaciones y exhumaciones de fosas de la guerra civil y del franquismo en el País Valenciano, *La Linde* 8, 167-218.
- MEZQUIDA, M.; CALPE, A. (2021): El Paredón de Paterna: Una deuda con uno de los espacios de memoria más significativos del País Valenciano, *Violencia, conceptualización, memoria, represión, estudios, monumentalización, exhumaciones, Valencia, 1936-2020* (V. Gabarda, coord.), València, 213-234.
- MEZQUIDA, M.; IGLESIAS, J.; CALPE, A.; MARTÍNEZ, A. (2021): Procesos de investigación, localización, excavación, exhumación e identificación de víctimas de la Guerra Civil y del Franquismo en el Levante peninsular, *Violencia, conceptualización, memoria, represión, estudios, monumentalización, exhumaciones, Valencia, 1936-2020* (V. Gabarda Coord.), València, 295-314.
- MEZQUIDA, M.; MARTÍNEZ, A.; CALPE, A.; BENITO, M.; IGLESIAS, J.; FORTUNA, M. (2018): Procesos de Excavación y Exhumación en el Cementerio Municipal de Paterna, *Actas de I Jornades de Memòria Democràtica a Paterna*, València, 146-156.
- MONTERO, J. (2010): Exhumando el legado material de la represión franquista: De la percepción social a la encrucijada jurídica y patrimonial, *Recorriendo la Memoria* (J. Almansa, ed.), Oxford, 67-82.
- MORENO, A. (e.p.): La corbata de José, *Objectes (des)apareguts* (M. A. Gomar, ed.), València.
- MORENO, A.; CANDELA, J. M. (2018): *Prietas las Filas, Vida Codiana y franquismo*, València.
- MORENO, A.; MEZQUIDA, M.; SCHWAB, M. E. (2021): Exhumaciones de fosas comunes en el País Valenciano: 10 años de intervenciones científicas, *Ebre 38: revista internacional de la Guerra Civil, 1936-1939* 11, 125-152.
- MORENO, A.; SAPENA, T. (2017): Refugis antiaeris: patrimoni de la Guerra Civil a la ciutat de València, *DEBATS. Revista de cultura, poder i societat* 131/2, 123-140.  
DOI: <https://doi.org/10.28939/iam.debats.131-2.10>
- MUÑOZ-ENCINAR, L. (2019): Unearthing gendered repression: an analysis of the violence suffered by women during the civil war and Franco's dictatorship in Southwestern Spain, *World Archaeology* 51 (2), 759-777.  
DOI: <https://doi.org/10.1080/00438243.2020.1740775>
- MUÑOZ-ENCINAR, L.; AYÁN, X; LÓPEZ, A. (2013): *De la ocultación de las fosas a las exhumaciones. La represión franquista en el entorno del Campo de Concentración de Castuera*, Castuera.
- OLSEN, B. (2010): *In defense of things. Archaeology and the ontology of objects*, Lanham.
- OLSEN, B.; SHANKS, M.; WEBMOOR, T.; WITMORE, C. (2012): *Archaeology. The discipline of things*, Berkeley.  
DOI: <https://doi.org/10.1525/9780520954007>
- OLSEN, B.; WITMORE, C. (2015): Archaeology, symmetry and the ontology of things. A response to critics, *Archaeological Dialogues* 22, 187-197.  
DOI: <https://doi.org/10.1017/S1380203815000240>

- PEGO, L. (2020): Naciones Unidas. El estado de la cuestión de las fosas de personas desaparecidas en la Guerra Civil y la Dictadura franquista en la España actual, *Las exhumaciones de la Guerra Civil y la dictadura franquista 2000-2019. Estado actual y recomendaciones de futuro* (F. Etxeberria, coord.), 107-126.
- POLO, M.; GARCÍA-PRÓSPER, E.; CRUZ, E.; RUIZ, H. (2012): Fosas comunes exhumadas en el territorio de la agrupación guerrillera de Levante y Aragón (2005-2011), *Boletín Galego de Medicina Legal e Forense* 18, 99-116.
- RAMOS, J. (2018): La arqueología de la Guerra Civil Española en Cataluña, *Romula* 17, 133-154.
- RENSHAW, L. (2010): The Scientific and Affective Identification of Republican Civilian Victims from the Spanish Civil War, *Journal of Material Culture* 15: 4, 449-63.  
DOI: <https://doi.org/10.1177/1359183510382961>
- RENSHAW, L. (2011): *Exhuming Loss. Memory, Materiality and Mass Graves of the Spanish Civil War*, Londres y NY.
- RENSHAW, L. (2018): Thinking outside the grave. The material traces of Republican lives before the Spanish Civil War, *Public Humanities and the Spanish Civil War. Connected and Contested Histories* (A. Ribeiro de Menezes, A. Cazorla-Sánchez, A. Shubert eds.), Cham, 139-162.  
DOI: [https://doi.org/10.1007/978-3-319-97274-9\\_7](https://doi.org/10.1007/978-3-319-97274-9_7)
- ROBBEN, A. C. G. M. (2017): *Death, Mourning and Burial: A cross-cultural reader*, New York.
- RODRIGO, J. (2008): *Hasta la raíz: Violencia durante la Guerra Civil y la dictadura franquista*, Madrid.
- SANT-CASSIA, P. (2007): *Bodies of Evidence: Burial, Memory and the Recovery of Missing Persons in Cyprus*, New York-Oxford.
- SANTONJA, J. L. (2021): *Animetes Santes. Costums tradicionals valencians sobre el més enllà*, València.
- SCARRE, C.; SCARRE, G. (2006): *The Ethics of Archaeology: Philosophical Perspectives on Archaeological Practice*, Cambridge.  
DOI: <https://doi.org/10.1017/CBO9780511817656>
- SCHOFIELD, J. (2005): *Combat archaeology. Material culture and modern conflict*, London.
- SCHUTE, I. (2018): Collecting Artifacts on Holocaust Sites: A Critical review of Archaeological Research in Ybenheer, Westerbork and Sobibor, *International Journal of Historical Archaeology* 22 (3), 593-613.  
DOI: <https://doi.org/10.1007/s10761-017-0437-y>
- SOLÉ, Q. (2019): Pervivencia de las fosas comunes de la guerra civil española en el siglo XXI. Evidencia cultural, particularidad académica, *Historia Contemporánea* 60, 439-475.  
DOI: <https://doi.org/10.1387/hc.20312>
- SOLÉ, Q.; GALLEGO, L. (eds.) (2020): Repressed bodies. Archaeology, memory, politics. *Journal of Contemporary Archaeology* 7 (2).
- STOVER, E.; HAGLUND, W. D.; SAMUELS, M. (2003): Exhumation of Mass Graves in Iraq: Considerations for Forensic Investigations, Humanitarian Needs, and the Demands of Justice. *Journal of the American Medical Association* 290:5, 663-66.  
DOI: <https://doi.org/10.1001/jama.290.5.663>
- STURDY, C. (2015): *Holocaust Archaeologies: Approaches and Future Directions*, Nueva York.
- THEUNE, C. (2010): Historical Archaeology in National Socialist Concentration Camps in Central Europe, *Historische Archäologie* 3, 1-14.
- THEUNE, C. (2018): *A Shadow of War. Archaeological Approaches to Uncovering the Darker Sides of Conflict from the 20th Century*, Leiden.
- VICENT, J. M. (2007): La arqueología a comienzos del siglo XXI. Ciencia, tecnología, valores y sociedad, *Actas de las XII Jornadas de Estudios sobre Lanzarote y Fuerteventura* (E. R. de León Arbelo, A. F. Martín, M.J. Alonso, coords.), Lanzarote 2: III, 325-347.
- WAGNER, S. (2008): *To Know Where He Lies: DNA Technology and the Search for Srebrenica's Missing*, Berkeley.  
DOI: <https://doi.org/10.1525/9780520942622>
- WEIL, S. (2007): *Escritos históricos y políticos*, Madrid.
- ZAMORA, J. A.; MATE, M. R. (2011): *Justicia y memoria. Hacia una teoría de la justicia anamnética*, Barcelona.



## NOTICIARIO





# CASAS DE DON PEDRO (BELMEZ, CÓRDOBA): MENHIRES Y CRONOLOGÍA

## *Casas de Don Pedro (Belmez, Córdoba): menhirs and chronology*

BEATRIZ GAVILÁN CEBALLOS<sup>1</sup> , MARTÍ MAS CORNELLÀ<sup>2</sup> 

(1) Dpto. Historia, Geografía y Antropología. Universidad de Huelva. beatriz.gavilan@dhis1.uhu.es

(2) Dpto. Prehistoria y Arqueología. UNED. mmas@geo.uned.es

---

### RESUMEN:

*Ofrecemos los resultados de una datación sobre una muestra de carbón procedente de un hogar asociado a un monumento megalítico no funerario, concretamente dos menhires que, posteriormente, formaron parte de la cabecera del Dolmen de las Casas de Don Pedro. La fecha obtenida permite defender que los menhires debieron erigirse a comienzos del IV milenio a.C. y que el simbolismo que encarnan estaba en un punto álgido.*

**Palabras clave:** *menhires, hogares, cronología, Neolítico, IV milenio a.C., simbolismo.*

### ABSTRACT:

*We offer the results of a dating on a charcoal sample from a fire associated with a non-funerary megalithic monument, specifically two menhirs that later formed part of the head of the Dolmen de las Casas de Don Pedro. The date obtained allows us to defend that the menhirs must have been erected at the beginning of the 4th millennium BC and that the symbolism they embody was at a peak.*

**Key words:** *menhirs, fires, chronology, Neolithic, IV millennium BC, symbolism.*



El objetivo de este trabajo es dar a conocer una datación radiocarbónica procedente de uno de los hogares asociados a dos menhires erigidos previamente a la construcción del Dolmen de las Casas de Don Pedro. Este sepulcro megalítico se encuentra en el Alto Valle del Guadiato, en el sector NO de la provincia de Córdoba. Se localiza en las coordenadas 38°14'57,42" N y 5°11'58,35" O, a 479 m snm y a unos 215 m de distancia del cauce del Arroyo Fresnedoso (fig. 1) poco antes de su confluencia con el Guadiato, sobre el que se eleva el conjunto calizo de Sierra Palacios, donde se encuentran dos poblados, Sierra Palacios I y Sierra Palacios II, a cuya necrópolis dolménica pertenece esta sepultura megalítica (Gavilán 2003-2004).

## LA EXCAVACIÓN DEL YACIMIENTO

En el yacimiento se realizaron dos campañas de excavación arqueológica de urgencia (Gavilán 1987; Gavilán y Vera 2005), excavándose en la primera la cámara y una zanja al exterior, en la zona NO, que reveló una ocupación previa a la construcción del dolmen. En la segunda se intervino en el corredor, abriéndose también una amplia cuadrícula de 105 m<sup>2</sup> que abarcaba todo el espacio funerario constituido por la cámara y el corredor.

Al exterior se detectó la siguiente sucesión estratigráfica de techo a base:

1. Tierra beige, arcillosa, que formaba el túmulo hasta una profundidad media de unos -218 cm. Sólo aparecieron algunos fragmentos de cerámica y una pieza de metal.

2. Arenas amarillas, estériles, con una potencia de unos 30 cm.

3. Tierra anaranjada y granulosa; las zanjas de inserción de los ortostatos del dolmen cortaban esta tierra, que se depositó con anterioridad a la construcción de la cámara.

La excavación de este último nivel reveló la existencia de una fase previa a la edificación de la sepultura megalítica, que se puso de manifiesto a través de varias estructuras que se relacionan con dos menhires que, con posterioridad —en la segunda fase constructiva de la arquitectura megalítica y primera de edificación del dolmen—, pasaron a formar parte de la cabecera de la cámara megalítica. Así, la primera fase de construcción, en la que nos vamos a centrar, no da comienzo como una sepultura, sino como un monumento megalítico no funerario. Para una mayor información acerca de las distintas fases constructivas de esta arquitectura megalítica remitimos al lector a otras publicaciones (Gavilán 1987; Gavilán y Vera 2005; Barrios *et al.* 2014; Gavilán *et al.* 2020).



Fig. 1: Situación de Casas de Don Pedro y los poblados de Sierra Palacios.

### PRIMERA FASE O FASE NO FUNERARIA

Se inaugura, como hemos indicado, con la erección de dos menhires (fig. 2), cuyas zanjas de inserción se rellenaron de la tierra local, impidiendo esto determinar su forma y tamaño. En relación con ellos se disponían unas estructuras que reafirman su carácter como espacio simbólico y ritual: varios hoyos, un pavimento rojo, dos fosas y tres hogares, que se distribuían por los sectores S y O, afectando también al N en la zona de contacto con el lado O (fig. 3); nada se registró en el E, pese a que se excavó una extensión similar.

Las estructuras más antiguas corresponden a varios hoyos de 10 a 15 cm de diámetro y 8-10 cm de profundidad, que, excavados en el ángulo NO, casi circundaban el menhir más estrecho (figs. 2 y 3, nº 2), quizá el primero en alzarse. Estructuras similares quizá se dispusieron también en el ángulo SE hasta rodear el menhir, sin embargo, debieron quedar arrasadas cuando, en la segunda fase constructiva, los menhires formaron parte de la cámara funeraria (fig. 3). Todos estaban vacíos.

La siguiente estructura es un pavimento o suelo rojo que sellaba los hoyos. Se hizo a base de hematites triturada mezclada con tierra arcillosa; presentaba un espesor de entre 4-6 cm, 1,70 m de anchura y unos 2 m de longitud. Partía principalmente del menhir nº 2 y no aportó resto alguno.



Fig. 2: Menhires de Casas de Don Pedro.

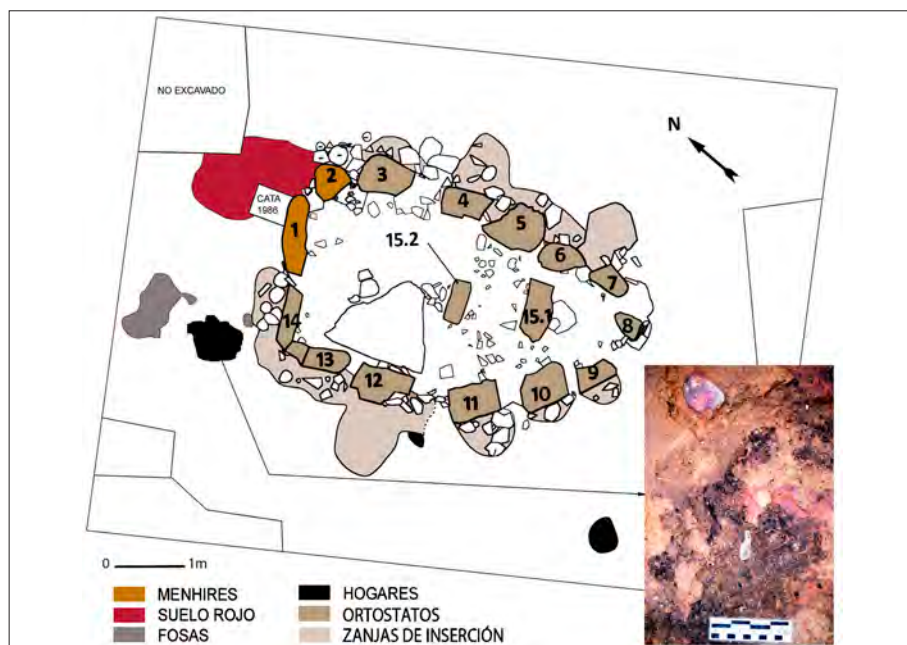
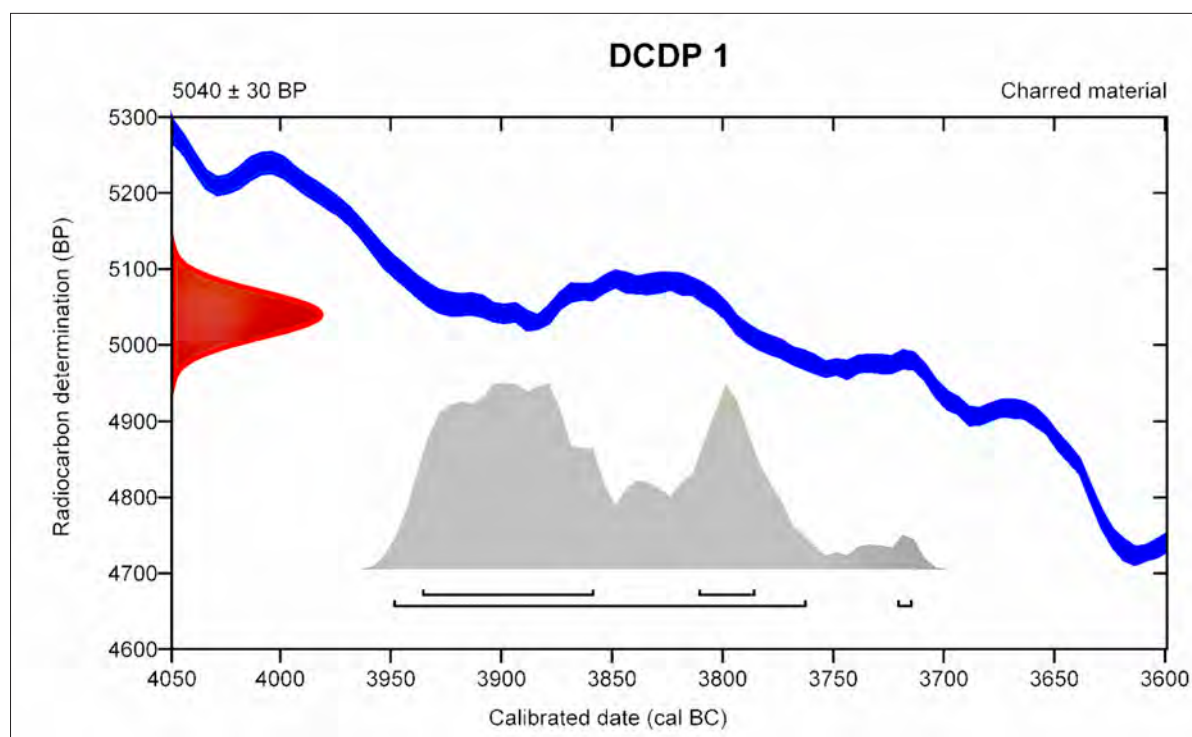


Fig. 3: Zona excavada en 2001. Planta del Dolmen de Casas de Don Pedro. Situación de los menhires y las estructuras detectadas: hoyos, pavimento rojo, fosas y hogares. Detalle del hogar del que se extrajo la muestra de carbón.



Yacimiento	Sigla Lab.	Muestra	Fase	Fecha BP	Fecha BC cal 1 $\sigma$	Fecha BC cal 2 $\sigma$	Curva de calibración
Casas de Don Pedro	Beta-471735	Carbón	1ª	5040±30	3723-3716	3951-3764	INTCAL 13

Fig. 4: Datación radiocarbónica Beta-471735.

En el sector O se detectaron dos fosas. La de mayores dimensiones proporcionó, como únicos restos, industria lítica, ósea, cerámica y varios trozos de hematites u óxido de hierro, éstos aparecieron acumulados en un saliente de la fosa.

Por último, se localizaron tres hogares que presentaban una mezcla de carbones y cinabrio (Gavilán *et al.* 2020); los tres se encontraban en línea recta, equidistantes unos 3,60 m y sin acondicionamiento previo.

Aparte de los restos recuperados en la fosa citada, aparecieron, dispersos, varios fragmentos de cerámica, industria ósea y lítica tallada, todo ello en el sector O. Para esta primera fase no funeraria propusimos una cronología de mediados-finales del V milenio (Gavilán 2003-2004; Gavilán y Vera 2005), propuesta que no se corresponde exactamente con la datación radiocarbónica obtenida.

## LA DATACIÓN

Del hogar de mayores proporciones (fig. 3) se tomó una muestra de carbón no identificado que fue introducida en doble bolsa de plástico, con etiquetado exterior en la segunda. Fue enviada en el 2017 a Beta Analytic Inc., empleándose la técnica AMS (fig. 4).

## CONSIDERACIONES

Somos conscientes de que la datación presenta limitaciones puesto que se ha obtenido a partir de carbón no identificado, no procede de la fosa de cimentación de alguno de los dos menhires y no es posible defender una total sincronía entre el momento de erección de los bloques y los hogares, aunque la relación entre las estructuras y

los menhires resulta evidente. Como también lo es que los acondicionamientos más antiguos asociados a aquellos son los primeros hoyos, que debieron excavarse tras abrir las fosas de cimentación destinadas a instalar los menhires, para, posteriormente, excavar los segundos. En un primer momento los interpretamos como agujeros para poste destinados a sustentar una estructura realizada en material perecedero (Gavilán y Vera 2005), sin embargo, su profundidad es escasa para tal finalidad y, actualmente, a la luz de lo documentado en el Dolmen de Dombate (Lestón 2011), pensamos que tal vez acogieron cantos de río, a modo de betillos, que debían reforzar el simbolismo de los menhires, sobre todo del primero en alzarse (fig. 3, nº 2), en torno al cual se disponían los hoyos. Mediado un tiempo que no podemos precisar se dispuso el pavimento rojo, que selló los hoyos.

Desconocemos si los hogares se encendieron simultáneamente a las anteriores estructuras, como también, si no fue así, cuánto tiempo transcurrió entre la construcción de las citadas estructuras y los hogares. No obstante, la fecha sí data parte de las actividades que se llevaron a cabo en torno a los menhires, y pone de manifiesto que a comienzos del IV milenio el simbolismo que encarnaban estaba plenamente vigente, tratándose de un hito territorial que se relaciona con la posesión, control y derecho al uso de este territorio por parte de una comunidad productora que realiza aquí determinados rituales, como parecen evidenciar el suelo a base de hematites y los tres hogares, en los que los carbones se combinaron con cinabrio, hecho que prueba que su función no era de carácter cotidiano. La importancia de este sitio como hito territorial perduró más allá de la fecha obtenida, como se ha defendido en otras ocasiones (Gavilán y Vera 2005; Gavilán *et al.* 2020).

La datación que damos a conocer es la primera que se ha obtenido relacionada con el megalitismo en la provincia de Córdoba y, por ahora, la más antigua para el no funerario en Andalucía, aunque no fecha el momento preciso de erección de estas arquitecturas, y, resulta ser, por el momento, de las más antiguas del megalitismo andaluz, sólo precedida por las del Dolmen de Alberite, donde tampoco se ha fechado la construcción (Ramos y Giles 1996), y similar a la de una de las fases de uso del Dolmen de El Palomar (Cabrero *et al.* 2005). En cuanto a los círculos, el onubense de la Pasada del Abad ha proporcionado unas fechas muy recientes, aunque se defiende una construcción entre el V-IV milenios (Linares 2009).

Para finalizar, no resulta posible plantear para el caso que nos ocupa la existencia de un comienzo del megalitismo asociado a poblados, como ocurre en el S de Portugal (Calado *et al.* 2004), ya que los restos materiales y las estructuras sólo aparecían en sectores muy concretos, como ya se ha indicado, y tampoco se localizaron restos en los terrenos inmediatos al túmulo que indiquen una ocupación espacial más amplia que permita defender la presencia de un poblado, salvo el de Sierra Palacios II, en la ladera de este conjunto calizo y a poco más de 1 km de distancia. Entre los restos materiales aportados por este poblado están presentes las cerámicas decoradas –aplicación de cordones, incisas, acanaladas y almagra–, pero son mayoría las no decoradas, con especial representación de las cazuelas carenadas. Para nosotros, Sierra Palacios II pertenece al Neolítico Final (Gavilán 2003-2004), pese a contar con una lezna de cobre, cuya presencia habrá que explicar en otro momento, pero, de entrada, debe tenerse en cuenta la proximidad de Sierra Palacios I, de la Edad del Cobre (Gavilán 2003-2004). Las fechas que se proponen para las ocupaciones correspondientes al Neolítico Final con cazuelas carenadas se sitúan en la primera y segunda mitad del IV milenio (Escacena y Rivero 2019), coincidiendo, en buena medida, con la datación que aquí damos a conocer.

La ausencia de las cazuelas carenadas entre los restos recuperados en torno a los menhires de Casas de Don Pedro puede deberse a dos factores: o bien la erección de los menhires es anterior a la aparición y extensión en esta zona de las citadas formas cerámicas, en cuyo caso, no puede establecerse una relación entre ellos y Sierra Palacios II; o bien responde al desarrollo de actividades completamente diferentes en ambos sitios, como parece lógico pensar ya que los menhires marcan un hito territorial, un espacio simbólico en el que las actividades desarrolladas poco o nada tiene en común con la esfera de la vida cotidiana, sino con la de las creencias y, en este caso, los menhires fueron erigidos por los habitantes de dicho poblado. De cualquier manera, es el único asentamiento que se conoce en la zona, hasta el momento, con suficiente entidad y, además, también debe tenerse en cuenta que al final del Neolítico los menhires pasan a formar parte de una estructura megalítica funeraria, que será objeto ya en el Calcolítico de remodelaciones, con la adición de un corredor de acceso. Sin duda, todo indica una continuidad en el poblamiento de la zona desde comienzos del IV milenio hasta el paso del III al II milenio.

Para finalizar, sí queda patente que en los primeros años del IV milenio, por el momento, las sociedades productoras establecidas en la zona NO de la provincia de Córdoba comenzaron a erigir arquitecturas megalíticas, concretamente menhires, mientras que algunas cavidades aún tenían una función sepulcral, como tal vez puede deducirse de los restos localizados en Cueva Agustín, en Sierra Palacios (Gavilán 2003-2004), que concuerdan tipológicamente con los procedentes del exterior del Dolmen de las Casas de Don Pedro, es decir, en torno a los menhires. Para, a finales del Neolítico comenzar con los enterramientos en estructuras megalíticas ya funerarias.

## AGRADECIMIENTOS

Este trabajo se ha realizado en el marco del Grupo de Investigación HUM-838: *Poder y territorio desde la Prehistoria a la Edad Media*, subvencionado por la Consejería de Educación y Ciencia de la Junta de Andalucía.

## BIBLIOGRAFÍA

- BARRIOS, J.; GAVILÁN, B.; MARTÍN, J. C.; MONTEALEGRE, L. (2014): Territorio y materias primas: el dolmen de las Casas de Don Pedro (Belmez, Córdoba), *II Congreso de Prehistoria de Andalucía. Movilidad, contacto y cambio*, Sevilla, 391-398.
- CABRERO GARCÍA, R.; AMBROSIANI FERNÁNDEZ, J.; GUIJO MAURI, J. M.; GÓMEZ MURGA, E. (2005): Estudio de restos humanos procedentes del Dolmen de Cañada Real depositados en el Departamento de Anatomía y Embriología Humanas de la Facultad de Medicina de la Universidad de Sevilla, *Spal* 14, 59-74.  
DOI: <https://doi.org/10.12795/spal.2005.i14.02>
- CALADO MENDES, D.; NOCETE CALVO, F.; CÁMALICH MASSIEU, M. D.; MARTÍN SOCAS, D.; NIETO LIÑÁN, J. M.; ALEX TURQ, E.; RODRÍGUEZ BAYONA, M. (2004): Los poblados con menhires del Algarve Occidental: Nuevas perspectivas para la explicación de las primeras sociedades sedentarias en el Suroeste Peninsular, *Jornadas Temáticas Andaluzas de Arqueología*, 195-204.
- ESCACENA CARRASCO, J. L.; GARCÍA RIVERO, D. (2019): Producción neolítica de sal marina en La Marismilla (La Puebla del Río, Sevilla). Datos renovados e hipótesis complementarias, *LVCENTVM XXXVIII*, 9-26  
DOI: <https://doi.org/10.14198/LVCENTVM2019.38.01>
- GAVILÁN, B. (1987): Excavación arqueológica de urgencia en el Dolmen de las Casas de Don Pedro (Belmez, Córdoba). *Anuario Arqueológico de Andalucía, 1986. III: Actividades de Urgencia*, Junta de Andalucía, Sevilla, 118-120.
- GAVILÁN, B. (2003-2004): El Alto Valle del Guadiato durante la Prehistoria Reciente: El poblamiento Neolítico y Calcolítico, *Espacio, Tiempo y Forma. Serie I: Prehistoria y Arqueología* 16-17, 119-170.  
DOI: <https://doi.org/10.5944/etfi.16-17.2003.4753>
- GAVILÁN, B.; MAS, M.; RODRÍGUEZ, J.; SOLÍS, M.; GARRIDO, E. (2020): Hallazgos de cinabrio en contextos del Neolítico cordobés: la Cueva de los Murciélagos (Zuheros) y el dolmen de Casas de Don Pedro (Belmez), *El oro rojo en la Antigüedad. Perspectivas de investigación sobre los usos y aplicaciones del cinabrio entre la Prehistoria y el fin del mundo antiguo* (M. Zarzalejos Prieto, P. Hevia Gómez, L. Mansilla Plaza, eds.), Madrid, 161-186.
- GAVILÁN, B.; VERA, J. C. (2005): Neolítico y megalitismo prefunerario en Andalucía, *III Congreso del Neolítico en la Península Ibérica* (R. Ontañón, C., García-Moncó, P. Arias, eds.), Santander, 535-541.
- LESTÓN GÓMEZ, M. (2011): Las excavaciones y los descubrimientos, *El Dolmen de Dombate. Arqueología, Arquitectura y Conservación* (F. Cebrián del Moral, J. Yáñez, M. Lestón, F. Vidal, F. Carrera, eds.), A Coruña, 139-227.
- LINARES CATELA, J. A. (2009): El círculo megalítico de la Pasada del Abad (Rosal de la Frontera, Huelva). El megalitismo no funerario de la Rivera del Chanza, *IV Encuentro de Arqueología del Suroeste Peninsular*, Huelva, 174-208.
- RAMOS MUÑOZ, J.; GILES PACHECO, F. (eds.) (1996): *El Dolmen de Alberite (Villamartín). Aportaciones a las Formas Económicas y Sociales de las Comunidades Neolíticas en el Noroeste de Cádiz*, Cádiz.



# UN NOU FRAGMENT D'ÀMFORA AFRICANA DEL TIPUS *STATIO 48* D'ÒSTIA, AMB MARCA *M·(PALMA)·C*, TROBAT A LA COSTA DE *TÀRRACO*

*New fragment of african amphora type Statio 48 Ostia, with stamp M·(palm)·C found in the coast of Tàrraco*

ENRIC COLOM MENDOZA , JORDI LÓPEZ VILAR 

Institut Català d'Arqueologia Clàssica. ecolom@icac.cat, jlopez@icac.cat

## RESUM:

*En el present treball donem a conèixer un nou exemplar de la coneguda marca M·(palma)·C, que fou trobada a principis de 2020 a la costa tarragonina, procedent d'un possible context arqueològic de fondejador o, menys probablement, d'un derelict naufragat en aquestes contrades. Aprofitant la troballa, recuperem l'estat de la qüestió sobre aquest segell epigràfic i la forma amfòrica a la qual va associat, el tipus Statio 48 d'Òstia, representada a un dels mosaics de la plaça de les Corporacions d'aquella ciutat. La manca d'estudis recents fent-hi referència ha provocat que el debat sobre l'origen de la marca i la tipologia amfòrica, s'hagi esvaït lleugerament en els darrers anys, encara que l'estat de la qüestió no estigui conclòs. Per aquest motiu, volem presentar noves hipòtesis per tal de reanimar la discussió entorn a l'origen de les àmfors africanes del tipus Statio 48.*

**Paraules clau:** epigrafia amforal, àmfors africanes, comerç marítim mig-imperial, Provincia Mauretania Caesariensis.

## ABSTRACT:

*In this present paper, we want to present a new of the well-known amphora stamp M·(palm)·C, which was found in early 2020 on the coast of Tarragona, from a possible anchorage point or, much less probably, from a shipwreck sunked in this site. Taking advantage of this finding, we recover the State of the question about this epigraphic stamp and the amphora form with which it is associated, type Statio 48 from Ostia, represented in one of the mosaics of the piazzale delle Corporazioni in that city. The lack of recent studies making reference, has caused that the debate around the origin of the stamp and the amphora typology has slightly disappeared in recent years, although the state of question has not been concluded yet. For this reason, we want to present new hypotheses with which to continue the discussion about the origin of african amphorae type Statio 48.*

**Key words:** Amphora epigraphy, african amphoras, mid-imperial maritime trade, Provincia Mauretania Caesariensis.



Les fortes llevantades que periòdicament van colpit la costa tarragonina acostumen a afectar d'una manera o altra les platges. Aquest fet és especialment acusat a la de la Pineda (Vila-seca) en la que sovint el mar s'endú gran part de la sorra, especialment de la zona més oriental, deixant al descobert un substrat format per còdols procedents en bona part del riu Francolí que desemboca a escassa distància. Entre els còdols s'hi troben també altres materials, la majoria contemporanis però també d'època antiga. En el tercer quart del s. XX es van fer exploracions submarines en aquesta zona, a la recerca de la mítica Cal·lípolis, que van donar com a resultat la troballa de fragments d'àmfora. Al Museu Arqueològic de Tarragona es conserven d'aquesta àrea un fragment de Dressel 2-4 tarraconense (ingressat el 1915), així com altres materials trobats al construir el segon pantanà de Repsol: una àmfora completa assimilable a una Beltran 85, una alfàbia dels ss. XIII-XIV i un cep d'àncora (Pérez 2007: 34-35 i 121-122).

En la col·lecció Ferrando –ara sota custòdia de l'Ajuntament de Vila-seca– s'hi troba un conjunt de ceràmica romana, fragments molt desgastats i de procedència submarina, recollits d'aquesta platja i que no han estat mai estudiats.

Entre els dies 20 i 23 de gener de 2020 es va produir un d'aquests forts temporals que novament s'endugué la sorra i aportà nous fragments de ceràmica romana: àmfores itàliques (Dressel 1) i, sobretot, baix-imperials. Entre tots destaca pel seu interès el que publiquem aquí, trobat casualment pel Sr. Josep Companys: un fragment d'àmfora africana, corresponent a la zona de la campana, just on comença la unió amb el coll, que presenta una marca epigràfica (fig. 1, 1). L'estat tant fragmentari de la peça no ens dona cap informació sobre la tipologia d'àmfora en concret, si bé proposarem una hipòtesi en base als paral·lels que enumerarem més endavant.

## DESCRIPCIÓ DE LA MARCA

El segell es troba en molt bon estat, però la zona central ha patit lleument els efectes de l'erosió i la cartel·la està lleugerament fragmentada als angles superior i inferior de la part dreta. La impressió és bona, i la pressió exercida va desplaçar part de l'argila a la zona superior de la cartel·la. Malgrat els petits desperfectes, es pot llegir sense cap dificultat:

*M · (palma) · C* en *litteris extantibus*, dins d'una cartel·la rectangular de 1,9 x 5,5 cm, en posició *in campana prope collo*.

Proposem transcriure-la com: (*Ex Provincia?*) *M(auretania) · (palma) · C(aesariensis)*.

El segell *M·(palma)·C* és ben conegut, si bé el que aquí analitzem presenta un punxó, o matriu, inèdit, ja que les lletres es troben més separades entre elles, i el seu traç és diferent als exemplars documentats (Bonifay 2004: 16-17, fig. 6, a i b). Les mesures de la marca de la Pineda també són diferents a les dues variants d'aquest segell registrades per Bonifay (2004: 19), donant-li un aspecte marcadament rectangular. A part, la representació de la palmera també és única, ja que combina les interpuncions situades entre les lletres amb els dàtils units a dues tiges que surten del tronc (fig. 1, 2). Un exemplar recuperat al golf de Fos, és l'únic on apareix la representació dels dàtils, però en aquell cas substitueixen les interpuncions.

## ANÀLISI MACROSCÒPICA DE LA PASTA CERÀMICA

El fragment que aquí presentem mostra, a nivell macroscòpic, una pasta de color vermell-ataronjat força depurada amb presència de partícules minúscules, quasi invisibles *de visu*, anguloses i sub-arrodonides de color blanc i d'altres entre negre-grisós, degut al tipus de cuita efectuada. Podria tractar-se de roques calcàries o feldspats, però sense una anàlisi físico-química no podem corroborar aquest extrem. La paret interior presenta una coloració obscura, segurament fruit d'una cocció en un ambient reductor o parcialment reductor en un forn de convecció (fig. 1, 4 i 5).

El fragment d'àmfora amb segell *M·(palma)·C* descobert a Sullectum fou objecte d'una anàlisi arqueomètrica per un equip de la Universitat de Barcelona (M. Madrid i J. Buxeda), arribant a la conclusió de que la pasta ceràmica no era del tot compatible amb la producció d'aquesta ciutat, i que hauria estat produït a la regió del Sahel (Mrabet *et al.* 2014: 647-648).

## LA REPRESENTACIÓ DE LA STATIO 48 DE LA PLAÇA DE LES CORPORACIONS D'ÒSTIA

Quan a principis del s. XX es va excavar l'anomenada plaça de les Corporacions a la ciutat portuària d'Òstia, es van descobrir, decorant el sòl d'una llarga sèrie d'àmbits, els coneguts mosaics que fan referència als *navicularii* de diverses ciutats de l'Imperi. En la *statio* 48 hi figura la

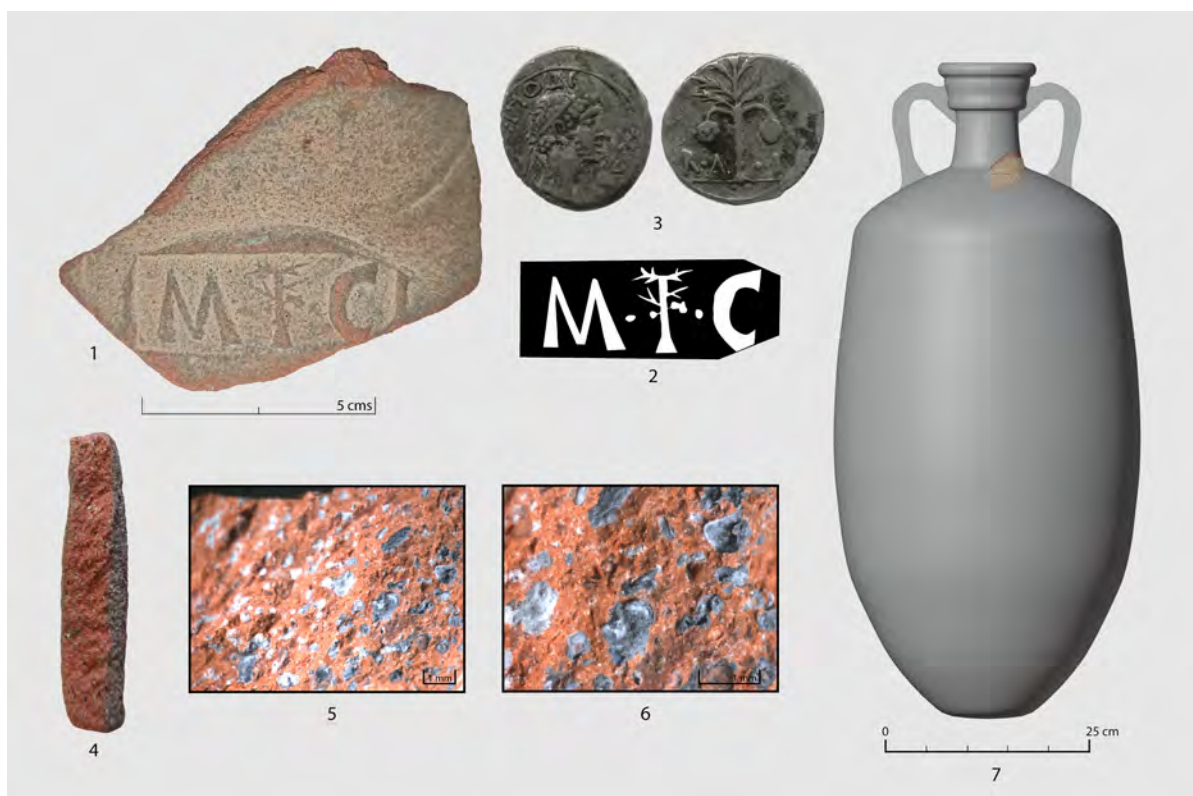


Fig. 1: Fotografia del fragment ceràmic trobat a la platja de la Pineda, Vila-seca; 2: Dibuix de la marca; 3: Anvers i revers de moneda de plata encunyada pel rei Ptolomeu de Mauritània (a partir de Alexandropoulos 2007: n.248); 4: Fotografia a nivell macroscòpic del tall; 5: Imatge de lupa binocular a 25x augmentats; 6: Imatge de lupa binocular a 40x augmentats; 7: Restitució tridimensional de l'àmfora *Statio* 48 d'Òstia (a partir de Ben Abed *et al.* 1999: 171, fig. 2).

representació d'una àmfora entre dues palmeres portant a l'espatlla les inicials *MC*, que es va proposar desenvolupar com *M(auretania) C(aesariensis)* (Vaglieri 1913). A la mateixa ciutat d'Òstia es va trobar un fragment d'àmfora amb la marca *MC* amb una palmera entre les lletres (Cristofani i Zevi 1966: 14 i nota 21). A Roma (*Castra Praetoria*, termes de Dioclecià, Monte Testaccio) es coneixien diversos exemplars d'àmfores africanes del tipus Dressel 30, similars a la representada en el mosaic, amb segells sobre nanses d'àmfores (*CIL* XV, 2635), esmentant la ciutat de Tubusuctu, especificant la seva ubicació *EX PROVINC(ia) MAURETAN(ia) CAES(ariensis)*; en un cas, aquest títol fou abreujat *PMC* (Laporte 1980: fig. 6, segell de tipus 9). Per tot això, es va acabar corroborant la lectura de Vaglieri, tot lligant les àmfores portadores del segell amb la forma Dressel 30.

L'any 1999 A. Ben Abed-Ben Khader, M. Bonifay i M. Griesheimer van publicar un tipus fins llavors no catalogat d'àmfora africana localitzat en les excavacions de

la necròpolis de Puppūt (Tunísia) que mostrava a l'espatlla el segell *M-(palma)-C*. Els investigadors la descriuen com un recipient gran (altura conservada 92 cm, mancant el pivot), amb un cos panxut (diàmetre 42 cm), una espatlla marcada per una lleugera carena, un coll curt i estret i una embocadura formada per un cilindre acabat amb un llavi arrodonit; les nanses en orella, de secció ovalada amb un simple nervi al mig, estan afegides a la unió de la boca i el coll i es recolzen a l'espatlla, a mitja alçada d'aquesta última. El segell, imprès al nivell inferior de l'adheriment de les nanses, està emmarcat per un cartutx rectangular (3,2 x 5,9 cm). La pasta ceràmica és de color taronja fosc, amb inclusions de quars i la superfície és de color beix (Ben Abed-Ben Khader *et al.* 1999).

La comparació d'aquesta nova àmfora amb la representada a la plaça de les Corporacions té moltes semblances, especialment el mateix segell *MC* col·locat, a més, a l'espatlla. Per tant, sembla evident que no és l'àmfora Dressel 30, sinó l'àmfora de Puppūt la representada al

mosaic d'Òstia. Per aquest motiu, proposem associar el fragment recuperat a la costa tarragonina amb la forma *Statio* 48 d'Òstia.

## ÀMBIT DE DISTRIBUCIÓ

Els tres investigadors que donen a conèixer aquest nou tipus d'àmfora n'esmenten d'altres amb segells idèntics: una al campament romà de Gholaià (Bu Njem, Líbia) i dues més al golf de Fos, a la desembocadura del Roine (Amar i Liou 1984: 182, n. 230), però llegides de forma incorrecta, donat l'estat de conservació del segell, com *M·I·C*, o possiblement es tracta d'una marca diferent. Sorprenentment, les dues àmfors pertanyen a tipus diferents: una és idèntica a la trobada a Puppüt i l'altra respon al tipus Africana II, un model generalment considerat originari de l'*Africa Byzacena*, malgrat la lectura és incerta i tal volta pugui tractar-se realment de la marca *M·I·C* enlloc de *M·(palma)·C*. Tanmateix, la ubicació del segell a l'espatlla s'ajusta a la pràctica dels terrissaires de la *Mauretania Caesariensis*, mentre que els artesans de l'*Africa Byzacena* marquen habitualment el coll. Per tant, suposen els autors que aquest seria un tipus imitat pels ceramistes de la *Mauretania Caesariensis*.

Pels contextos on s'han trobat, es poden datar entre el s. II i la primera meitat del III dC. Respecte al seu contingut, el recobriment resinós del seu interior exclou l'oli, per tant cal pensar en vi o bé en salaons. La distribució geogràfica dels segells sembla indicar una àmplia difusió d'aquesta àmfora, tot i que en petites quantitats (fig. 2). A part dels casos enunciats anteriorment, a Hispània es troba a Baelo Claudia (Bernal 1997: lām. CXXXII, n.273). A la península Itàlica, comptem amb l'exemplar de Lugnani in Teverina (Martin 1999: fig. 263, n. 67) i al N d'Àfrica, a part dels individus de Bu Njem i Puppüt, a Alexandria (Bonifay 2004: 17, fig. 6, b. 8) i a Sullecthum (Salakta, Tunísia) (Mrabet *et al.* 2014: 647, n. 30). Finalment, comptem amb un interessant cas al derelicte Ouest Embiez 1, naufragat a la regió de Var, al S de França (Bernard *et al.* 2007). Aquest navili transportava un carregament força heterogeni, format per àmfors africanes, una d'elles amb la marca *M·(palma)·C*, àmfors de la Campània i de Falern, que hem proposat denominar Dressel 2 itàliques "evolucionades" (Járrega i Colom, en premsa), o *anfore a bastone* segons Panella (1989), Dressel 2 "evolucionades" produïdes a l'*ager Tarraconensis*, àmfors orientals (Agora M54 i F65/66, Knossos 18 i Kāpitan I), Gauloise 4 i àmfors bètiques de fons pla (Bernard *et al.* 2007: 216-222). Aquest derelicte és un testimoni molt important



Fig. 2: Dispersió del segell *M·(palma)·C*.

del comerç de redistribució a finals del s. II - principis del III dC, ja que transporta un conjunt d'àmfores de procedències molt distants. Un port important, Tàrraco, Narbo o Arelate, hauria rebut les àmfores bètiques, itàliques, africanes, orientals i tarraconenses. Aquestes *a posteriori* s'haurien embarcat cap a un indret indeterminat del S de la Gàl·lia, enfonsant-se en el trajecte. L'exemplar trobat a la platja de la Pineda podria posar de manifest la importància del port de Tàrraco com a punt de redistribució, ja que es troba a mig camí en les rutes entre el N i el S del Mediterrani occidental, així com les illes Balears, on la presència de derelictes i fondejadors amb àmfores africanes és força abundant (Colom Mendoza 2016; 2013, amb bibliografia anterior; Marimon 2004) i les monedes encunyades a Ebusus són majoritàries entre les hispanes d'un tresoret trobat a Caesarea (Gozalbes Cravioto 1993: 174). Curiosament, les àmfores del tipus *Statio* 48 d'Òstia no han estat documentades en cap context urbà de Tàrraco (Remolà 2000; Trullén 2010), pel que possiblement tan sols es tractaria d'un punt d'escala, o redistribució.

Ara bé, entre els segells africans és habitual fer esment del nom de la ciutat i només excepcionalment especificar també la província, però mai la província sola. El mateix concepte s'empra en la plaça de les Corporacions, on les *stationes* esmenten ciutats, no províncies. Així, per

exemple, entre les africanes, els *navicularii Misuenses, Curbitani, Gummitani, Syllecti(ni), Karthag(inienses)* o *Muslu(uitani)*. Llavors, com explicar que el mosaic de la *statio* 48 refereixi només un origen provincial? Ben Abed-Ben Khader, M. Bonifay i M. Griesheimer es van fixar en la singularitat de la palmera representada entre les lletres M i C, un element sense dubte emblemàtic de la província, present en la numismàtica del rei Ptolomeu de Mauritània (20-40 dC). En ser doncs un element redundant, van plantejar, a tall d'hipòtesi, la possibilitat que la palmera fes referència a la capital provincial, *Caesarea Mauretaniae*. L'exemplar que aquí analitzem mostra una representació d'una palmera molt semblant a la que apareix en aquestes monedes (fig. 1, 3).

## REFLEXIÓ FINAL

Malgrat les evidències enumerades al llarg d'aquest treball, alguns autors han proposat recentment que la lectura correcta de la marca *M·(palma)·C* sigui realment *M(unicipium) C(ercina)*, és a dir, les actuals illes Querquennes, a Tunísia (Bonifay 2016: 513), encara que, gràcies a les conversacions mantingudes amb M. Bonifay, hem pogut conèixer el seu actual parer, i pensa que aquesta línia d'investigació ha de ser contrastada amb



Fig. 3: Dispersió de la marca *EXPROV/MAVRCAES/TVBVS*.

futures troballes que permetin avançar en l'actual estat de la qüestió. Les seves suposicions estan basades en la troballa d'aquesta marca a diverses zones de Tunísia, però no a Algèria, i en la incompatibilitat de l'anàlisi petrogràfica de diversos fragments d'aquesta marca amb les produccions de Tubusuctu i Cherchel (Capelli 1999: 178), sense tenir en compte que podrien haver estat produïdes a altres *figlinae* de l'actual Algèria ja que, malauradament, l'estat de la investigació sobre les produccions ceràmiques d'aquella província romana està profundament marcat per la manca d'estudis (Quevedo 2019). També afirmen que degut a que Tunísia es troba al bell mig d'aquesta zona de difusió, aquest hauria de ser-ne l'origen. Pensem que aquesta argumentació és molt feble, ja que les àmfores de Tubusuctu, amb la marca *EXPROV/MAVRCAES/TVBVS* també es documenten a molts altres indrets del Mediterrani Occidental (fig. 3), com per exemple a l'Alcúdia, Alacant (Márquez i Molina 2005: 301-302, n. 292), a la vil·la romana de Sa Mesquida, a Calvià, Mallorca (Orfila i Merino 1989), a la Mauretania Tingitana a Thamusida, Volubilis i Banasa (Laporte 1980: 147-148), Alexandria (AE 1922, 0136), Òstia, Roma, Carales (AE 1987, 00468) i fins i tot a Meroe, al Sudan (Léqueument 1980: 189, fig. 1), però no en context de centre productor, a l'actual Tiklat.

A part, tenint en compte la relativa importància que podria haver assolit el *municipium* de Cercina en aquest període, pensem que resulta poc probable que fos representat en un mosaic de la plaça de les Corporacions i comptés amb una *statio* pròpia. A més, el segell *M-(palma)-C* presenta una sèrie de trets característics que difereixen dels de l'Àfrica Proconsular. En primer lloc, com ja hem recalcat, es troba en posició *in campana*, no *in collo*, però la principal peculiaritat que presenta és que el segell es troba encunyat sobre una petita placa d'argila a part (Bonifay 2004: 15).

Tanmateix, com ja hem comentat, comptem amb el cas de la marca P·MC sobre Dressel 30, fent referència a la Província *Mauretania Caesariensis*, pel que podem confirmar que es tractaria d'una abreviació utilitzada per referir-s'hi. Per tant, després d'haver valorat les diferents evidències i hipòtesis, pensem que l'àmfora *Statio* 48 d'Òstia podria haver estat produïda a alguna, o varies *figlinae* de l'antiga Província *Mauretania Caesariensis*, com altres autors ja havien proposat. Malgrat aquests apunts, malauradament a dia d'avui, no podem establir amb precisió l'origen d'aquesta marca.

## BIBLIOGRAFIA

- AMAR, G.; LIOU, B. (1994): Les estampilles sur amphores du golfe de Fos, *Archaeonautica* 4, 145-211.  
DOI: <https://doi.org/10.3406/nauti.1984.956>
- ALEXANDROPOULOS, J. (2007): *Les monnaies de l'Afrique antique. 400 av. J.-C. – 40 ap. J.-C.*, Presses Universitaires du Mirail, Toulouse.  
DOI: <https://doi.org/10.4000/books.pumi.11199>
- BEN ABED-BEN KHADER, A.; BONIFAY, M.; GRIESHEIMER, M. (1999): L'amphore maurétienne de la station 48 de la place des Corporations, identifiée à Puppūt (Hammamet, Tunisie), *Antiquités Africaines* 35, 169-175.  
DOI: <https://doi.org/10.3406/antaf.1999.1315>
- BERNAL CASASOLA, D. (1997) *Las ánforas romanas bajoimperiales y tardoantiguas del Museo Municipal de Ceuta*, Ceuta.
- BONIFAY, M. (2004): *Etudes sur la céramique romaine tardive d'Afrique*, B.A.R.-I.S. 1301, Oxford.  
DOI: <https://doi.org/10.3086/9781841716510>
- CAPELLI, C. (1999): Annexe II. Analisis minero-petrografiche preliminar su anfore del tipo Stazione 47 del Piazzale delle Corporazioni, *Antiquités africaines* 35, 177-178.
- COLOM MENDOZA, E. (2013): La isla de Mallorca (Balears) como hito marítimo del eje comercial procedente de la Bética en época romana, *@rqueología y Territorio* 10, 87-100.
- COLOM MENDOZA, E. (2016): La isla de Mallorca (Balears) dentro de los circuitos comerciales de la Antigüedad, *Actas del V Congreso Internacional de Arqueología Subacuática (IKUWA V)* (I. Negueruela, R. Castillo, P. Recio, coords.), Cartagena, 574-589.
- CRISTOFANI, M.; ZEVI, F. (1966): *Anfore ostiensi*.
- GOZALBES CRAVIOTO, E. (1993): Observaciones acerca del comercio de época romana entre Hispania y el norte de África, *Antiquités africaines* 29, 163-176.  
DOI: <https://doi.org/10.3406/antaf.1993.1218>
- JÁRREGA, R.; COLOM, E. (en premsa): La presencia de ánforas romanas itálicas en Hispania durante el alto y medio imperio, *V Congreso Internacional de la SECAH*, Alcalá de Henares.
- LAPORTE, J.-P. (1980): Amphores de Tubusuctu et l'huile de la Maurétanie Césarienne, *Bulletin Archéologique du Comité des Travaux Historiques et Scientifiques* 12-14 B (1976-78), 131-157.
- LEQUÉMENT, R. (1980): Le vin africain à l'époque impériale, *Antiquités africaines* 16, 185-193.  
DOI: <https://doi.org/10.3406/antaf.1980.1063>
- MÁRQUEZ, J. C.; MOLINA, J. (2005): *Del Hiberus a Carthago Nova. Comercio de alimentos y epigrafía anfórica grecolatina*, Instrumenta 18, Universitat de Barcelona.
- MARTIN, A. (1999): Amphorae, *A Roman Villa and a Late Roman Infant Cemetery. Excavation at Poggio Gramignano, Lugnano in Teverina* (D. Soren, S. Soren, dirs.), Roma, 329-362.

- MRABET, A.; MANI, T.; HAMROUNI, M. R. (2014): Nouvelles découvertes de marques amphoriques à Sullectum (Salakta, Tunisie), *Estudios sobre el Monte Testaccio (Roma) VI* (J. M. Blázquez, J. Remesal, eds.), Instrumenta 47, 629-681.
- PANELLA, C. (1989): Le anfore italiche del II secolo d.C., *Amphores romaines et histoire économique. Dix ans de recherche*, Publications de l'École Française de Rome, 139-178.
- PÉREZ, W. (2007): *Troballes arqueològiques al litoral tarragoní. Dotze anys d'arqueologia subaquàtica (1968-1980)*, Tarragona.
- ORFILA, M.; MERINO, J. (1989): Una marca de ánfora de Tubusuctu hallada en Sa Mesquida, Santa Ponça (Mallorca), *Sagvntvm-PLAV* 22, 465-470.
- QUEVEDO, A. (2019): Dinámicas Comerciales entre Hispania y Mauretania Caesariensis. Algunas reflexiones a partir de la evidencia cerámica (ss. I - V d.C.), *Zephyrus* LXXXIII, 59-77.  
DOI: <https://doi.org/10.14201/zephyrus2019835977>
- REMOLÀ, J. A. (2000): *Las ánforas tardo-antiguas en Tarraco (Hispania Tarraconensis)*, Instrumenta 7, Universitat de Barcelona.
- TRULLÉN, A. (2010): *Tarraco urbs opulentissima: Anàlisi de contextos ceràmics del segle I al III d.C.*, Tesi doctoral inèdita, Universitat Rovira i Virgili.
- VAGLIERI, D. (1913): Regione I (Latium) - Ostia, *Atti della R. Accademia dei Lincei, anno CCCX, Serie quinta, Notizie degli scavi di Antichità, volume X*, Roma, 120-141.



## NORMAS PARA LA PRESENTACIÓN DE ORIGINALES

*SAGVNTVM – Papeles del Laboratorio de Arqueología de Valencia* es una revista de acceso abierto que cumple con todos los requisitos de la European Research Commission (ERC) sobre la publicación de trabajos científicos en abierto. La revista publica un volumen de periodicidad anual dedicado principalmente a la prehistoria y arqueología de la península Ibérica y del ámbito Mediterráneo occidental, así como al patrimonio arqueológico.

Los trabajos enviados para su publicación deberán ser inéditos y no estar pendientes de evaluación en otras revistas, incluidas las ediciones electrónicas.

Se admiten textos en todas las lenguas oficiales del estado español, además del portugués, francés, italiano, inglés y alemán.

Los trabajos serán remitidos a través de: <http://ojs.uv.es/index.php/saguntum>, dándose de alta como autor/a y siguiendo los pasos que se indican: cumplimentar datos personales de todos/as los autores/as (filiación, correo electrónico y nº ORCID), resumen (máx. 150 palabras), entre tres y cinco palabras clave; el título, el resumen y las palabras clave deberán figurar en inglés además de en la lengua del artículo. Los artículos en inglés, deberán proporcionar el título, el resumen y las palabras clave en una de las lenguas oficiales del estado español.

Los originales recibidos se someterán a dos evaluaciones externas, mediante el sistema de doble ciego, en cuyo proceso no se tardará más de cuatro meses. No se aceptarán para su publicación en el volumen anual de la revista hasta que se haya completado positivamente el proceso de evaluación.

Con la publicación impresa de los trabajos, los/as autores/as aceptan que el Departament de Prehistòria, Arqueologia i Història Antiga de la Universitat de València pueda permitir la difusión y el libre acceso a través de las direcciones electrónicas y enlaces del editor.

El contenido de los trabajos es responsabilidad de sus autores y no expresa la posición, ni la opinión del Consejo de Redacción. Los originales no aceptados se eliminan de la plataforma.

El objetivo fundamental de las normas que se detallan a continuación es lograr la mayor difusión internacional de la revista. Las bases de datos internacionales exigen el cumplimiento de convenciones formales referentes a: presentación de texto y figuras; fecha de aceptación; identificadores del autor/a; extensión, título, resumen y palabras clave en inglés; precisión en las citas bibliográficas.

El Consejo de Redacción recomienda a autores/as y revisores/as utilizar un lenguaje inclusivo que respete la igualdad en todos los ámbitos.

## SECCIONES

La revista tiene dos secciones ambas sometidas a evaluación externa (doble ciego):

**Artículos:** Salvo casos excepcionales, los originales tendrán una extensión máxima de 12.000 palabras con bibliografía y notas incluidas; el número de figuras tendrá que estar equilibrado con el texto; un resumen no superior a 150 palabras y entre tres y cinco palabras clave, todo ello redactado en inglés y en la lengua del artículo.

**Noticario:** Se recogen de forma breve (entre 2000 y 5000 palabras incluida la bibliografía) novedades de campañas de excavación, prospección o proyectos de investigación, así como presentación de hallazgos puntuales que incluyan información inédita y de relevancia para la investigación. No se publicarán resúmenes ni memorias de actividades arqueológicas. La redacción deberá ajustarse al lenguaje propio de una noticia. La parte gráfica tendrá que estar equilibrada con el texto y, en cualquier caso, no superará una página completa. Llevarán resumen y palabras clave (en la lengua del artículo y en inglés).

## ENTREGA

Los originales deberán enviarse a través de: <http://ojs.uv.es/index.php/saguntum>, dándose de alta como autor/a y siguiendo los pasos que se indican en la plataforma.

Se solicita que los trabajos estén organizados en archivos separados, siguiendo las instrucciones de la plataforma: uno con el texto, otro con los pies de figuras y otro con la bibliografía, siguiendo las normas que se describen en este documento, así como las figuras debidamente identificadas.

## TAMAÑO DE ILUSTRACIONES

La caja de texto y láminas es de 7,5 cm cuando se compone a una columna, permitiendo una amplitud máxima de 16 x 20,5 cm para el caso de imágenes que ocupen las dos columnas. La documentación gráfica deberá estar proporcionada con los contenidos del texto,

será de calidad suficiente y estar ordenada con claridad. Las figuras e imágenes se presentarán en formato .jpg .eps o .tiff. Los dibujos de materiales, planimetrías, etc., tendrán, como máximo, el tamaño de caja (16 x 20,5 cm) y una resolución de 600 ppp; las imágenes tendrán también, como máximo el tamaño de caja y una resolución mínima de 300 ppp. Las tablas y gráficas se mandarán siempre en formato xlsx, ajustando los colores a la gama de grises para su publicación en papel. Igualmente, toda la parte gráfica se podrá enviar en color, si bien teniendo presente que será transformada en escala de grises para su publicación en papel. La edición en color queda limitada exclusivamente a la publicación web.

Todos los formatos (tablas, cuadros, fotos, dibujos, planos, etc.) se considerarán figuras y deberán numerarse de forma correlativa.

Se deberá indicar la procedencia de todas las ilustraciones que no sean originales e inéditas. SAGVNTVM entiende que se habrán solicitado y recibido previamente los permisos de reproducción pertinentes y, por tanto, no se hace responsable del uso no autorizado de las ilustraciones y de las consecuencias legales por infracción de derechos de propiedad intelectual.

Se podrá indicar, al final del trabajo, la fecha de finalización del mismo. La revista indicará la fecha de recepción y aceptación del original en su versión definitiva.

## TIPOGRAFÍA, ABREVIATURAS Y REFERENCIAS BIBLIOGRÁFICAS

Los textos deberán ser organizados en epígrafes, sin numerar, y podrán ser jerarquizados utilizando la siguiente tipografía:

**MAYÚSCULA NEGRITA:** enunciado principal

**MAYÚSCULA NORMAL:** epígrafe principal

**MAYÚSCULA CURSIVA:** epígrafe secundario

Se escribirán en cursiva los títulos bibliográficos y las palabras en lengua diferente a la del texto. Sin embargo, para la toponimia antigua se mantendrá la letra normal.

Se empleará cursiva para las citas textuales de otros autores, que no irán entrecomilladas. Los títulos de los artículos irán en letra normal, sin comillas.

El artículo que precede a un topónimo arqueológico irá en mayúscula (ej.: El Carambolo) pero se deben utilizar las contracciones al y del cuando la frase lo requiera.

El artículo que precede a los topónimos geográficos irá en minúscula (ej.: la Contestania; el Bajo Guadalquivir).

Los puntos cardinales se escribirán abreviados, en mayúsculas y sin punto detrás (N, S, E, O).

Los términos m, cm, km, ha, –siempre en singular– irán abreviados y sin punto detrás.

Las cifras se escribirán en letras hasta diez y en números a partir de 11. Hasta 10.000 las cifras se escribirán sin punto (ej.: 2000). Si se trata de medidas, enumeraciones o inventarios, todas las cifras estarán expresadas en números.

Las fechas se harán constar abreviando siglo = s., o siglos = ss.; e indicando a.C. (o equivalente) sólo cuando sea pertinente y procurando evitar la reiteración.

Las fechas de C14 en las tablas deben incluir la sigla del laboratorio, si se trata de muestras singulares o agregados (si es conocido), la clase de material y la desviación estadística; las fechas calibradas deben incluir la referencia al software de calibración. En el texto se indicará la sigla del laboratorio, la fecha, la desviación así como la calibración.

En el texto, las referencias a las ilustraciones se harán siempre utilizando la forma abreviada, indicando (fig. 1), (fig. 1, 3), (fig. 1, 3; fig. 2, 2). No se admiten notas a pie de página. Las notas y agradecimientos se pondrán al final del texto y deberán limitarse al máximo.

## CITAS Y BIBLIOGRAFÍA

Las citas bibliográficas irán entre paréntesis, en minúsculas, con el apellido del autor o autores seguido del año de la publicación sin coma entre ambos: Ej.: (Bonsor 1898). Se utilizará *et al.* cuando haya tres o más autores, cuyos apellidos aparecerán completos en la lista bibliográfica (Jordá *et al.* 1961). La referencia a las páginas se hará sin abreviaturas (p. o pp.), precedido de dos puntos (Fletcher 1954: 220) y para las figuras se utilizará el mismo sistema (Bonet y Mata 2002: fig. 20). La separación entre referencias será de la manera siguiente: (Mata 2001; 2005; Ramon 1995). Deben evitarse las citas bibliográficas irrelevantes.

La bibliografía irá al final del trabajo, ordenada alfabéticamente. Se deberá hacer constar el DOI (Identificación de Objeto Digital) en aquellos artículos de revistas que dispongan del mismo (<http://www.crossref.org>), así como la fecha de consulta en las ediciones electrónicas. El listado bibliográfico deberá seguir el modelo siguiente:

## LIBROS:

CELESTINO, S.; JIMÉNEZ, F. J. (1993): *El palacio santuario de Cancho Roano IV. El sector norte*, Badajoz.

## ACTAS DE CONGRESOS, CAPÍTULOS DE LIBROS:

BERNABEU, J.; BONET, H.; MATA, C. (1987): Hipótesis sobre la organización del territorio edetano en época ibérica plena: el ejemplo del territorio de Edeta/Llíria, *Actas de las primeras jornadas sobre el mundo ibérico. Iberos* (A. Ruiz, M. Molinos, eds.), Jaén, 137-156.

VILLAVARDE, V.; DOMINGO, I.; LÓPEZ-MONTALVO, E.; GARCÍA-ROBLES, M. R. (2002): Descripción de los motivos pintados en el Abric II de la Cova dels Cavalls, *La Cova dels Cavalls en el Barranc de la Valltorta (Tírig, Castelló)* (R. Martínez, V. Villaverde, coords.), València, 83-133.

## ARTÍCULOS Y APARTADOS DE ARTÍCULOS, EN REVISTAS:

BENDALA, M. (1994): Reflexiones sobre la Dama de Elche, *REIb* 1, 85-105.

BERNABEU, J.; OROZCO, T. (1994): La Cerámica, En J. Bernabeu *et al.*, Niuet (l'Alqueria d'Asnar). Poblado del III Milenio a.C., *Recerques del Museu d'Alcoi* 3, 28-41.

LONGIN, R. (1971): New Method of Collagen Extraction for Radiocarbon Dating, *Nature* 230, 241-242.

DOI: <http://dx.doi.org/10.1038/230241a0>

## PUBLICACIONES EN INTERNET Y PÁGINAS WEB:

MATA, C.; MORENO, A.; QUIXAL, D. (2008): Hábitat rural y paisaje agrario durante la segunda Edad del Hierro en el este de la Península Ibérica, *International Congress of Classical Archaeology. Meetings between cultures in the ancient mediterranean*, Bolletino di Archeologia, Roma, <[http://151.12.58.75/archeologia/index.php?option=com\\_content&view=article&id=11&Itemid=11](http://151.12.58.75/archeologia/index.php?option=com_content&view=article&id=11&Itemid=11)> (Consulta 15-II-2011).

*Punica granatum*, <[www.florayfaunaiberica.org](http://www.florayfaunaiberica.org)> (Consulta 28-II-2011).

## CATÁLOGOS Y CORPUS:

CNH = VILLARONGA, L. (1994): *Corpus Nummum Hispaniae ante Augusti Aetatem*, Madrid.

IRPVI = CORELL, J. (2002): *Inscripciones romanas del País Valencià. I. (Saguntum i el seu territori)*, València.

Los nombres de las revistas se abreviarán según lo establecido en *L'Année Philologique* ([http://www.archeo.ens.fr/IMG/pdf/annee\\_philologique\\_abrev\\_revues\\_pdf](http://www.archeo.ens.fr/IMG/pdf/annee_philologique_abrev_revues_pdf)) cuando consten en el mismo.

Las citas de autores clásicos se harán utilizando el sistema de abreviaturas del Diccionario griego-español del CSIC (<http://dge.cchs.csic.es/1st/1st1.htm>).

## CORRECCIÓN DE PRUEBAS

Los/as autores/as se comprometen a corregir las pruebas de imprenta en un plazo no superior a diez días, contados a partir de la recepción de las mismas, evitando introducir variaciones significativas o adicionales al texto ya impreso. Cada trabajo publicado tendrá derecho a recibir, de forma gratuita, un único ejemplar de la revista. Igualmente se remitirá un único pdf que puede ser compartido.

## DECLARACIÓN DE PRIVACIDAD

Los nombres y direcciones de correo electrónico introducidos en la revista se usarán exclusivamente para los fines declarados y no estarán disponibles para ningún otro propósito o persona.

**SAGVNTVM. EXTRA**  
**Títulos publicados en la serie**

SAGVNTVM-Extra 1, C. Aranegui (ed.), Los Íberos, príncipes de Occidente. Las estructuras de poder en la sociedad ibérica, Barcelona 1998. (Agotado)

<https://ojs.uv.es/index.php/saguntumextra/issue/view/199>

SAGVNTVM-Extra 2, J. Bernabeu, T. Orozco (eds.), II Congrés del Neolític a la Península Ibèrica, València 1999.

<https://ojs.uv.es/index.php/saguntumextra/issue/view/200>

SAGVNTVM-Extra 3, C. Mata, G. Pérez Jordà (eds.), Íbers. Agricultors, artesans i ramaders. III Reunió sobre Economia en el mon ibèric, València 2000.

<https://ojs.uv.es/index.php/saguntumextra/issue/view/201>

SAGVNTVM-Extra 4, C. Aranegui (ed.), Lixus. Colonia fenicia y ciudad púnico-mauritana. Apuntes sobre la ocupación medieval, València 2001.

<https://ojs.uv.es/index.php/saguntumextra/issue/view/775>

SAGVNTVM-Extra 5, E. Badal, J. Bernabeu, B. Martí (eds.), El paisaje en el Neolítico Mediterráneo. Neolithic Landscapes of the Mediterranean, València 2002.

<https://ojs.uv.es/index.php/saguntumextra/issue/view/787>

SAGVNTVM-Extra 6, C. Aranegui (ed.), Lixus-2. Ladera Sur. Excavaciones arqueológicas marroco-españolas en la colonia fenicia. Campañas 2000-2003, València 2005.

<https://ojs.uv.es/index.php/saguntumextra/issue/view/690>

SAGVNTVM-Extra 7, M. Kbiri Alaoui, Revisando Kuass (Assilah, Marruecos). Taller cerámico y enclave fenicio, púnico y mauritano, València 2007.

<https://ojs.uv.es/index.php/saguntumextra/issue/view/818>

SAGVNTVM-Extra 8, C. Aranegui, H. Hassini (eds.), Lixus-3. Área suroeste del sector monumental [Cámaras Montalbán] 2005-2009, València 2010.

<https://ojs.uv.es/index.php/saguntumextra/issue/view/817>

SAGVNTVM-Extra 9, C. Mata, G. Pérez Jordà, J. Vives (eds.), De la cuina a la taula. IV Reunió d'Economia en el primer mil·leni a.C., València 2010. (Agotado)

<https://ojs.uv.es/index.php/saguntumextra/issue/view/106>

SAGVNTVM-Extra 10, C. Gómez Bellard, E. Díes Cusí, V. Marí, Tres paisajes ibicencos: un estudio arqueológico, València 2011.

<https://ojs.uv.es/index.php/saguntumextra/issue/view/107>

SAGVNTVM-Extra 11, E. Badal, Y. Carrión, E. Grau, M. Macías, M. Ntinou (eds.), 5th International Meeting of Charcoal Analysis. The Charcoal as Cultural and Biological Heritage, València 2011. (Agotado)

<https://ojs.uv.es/index.php/saguntumextra/issue/view/108>

SAGVNTVM-Extra 12, J. Bernabeu, M.A. Rojo, LL. Molina (coords.), *Las Primeras Producciones Cerámicas: el VI Milenio cal AC en la Península Ibérica*, València 2011.

<https://ojs.uv.es/index.php/saguntumextra/issue/view/126>

SAGVNTVM-Extra 13, E. Badal, Y. Carrión, M. Macías, M. Ntinou (coords.), *Wood and Charcoal. Evidence for Human and Natural History*, València 2012.

<https://ojs.uv.es/index.php/saguntumextra/issue/view/164>

SAGVNTVM-Extra 14, A. Roppa, *Comunità urbane e rurali nella Sardegna punica di età ellenistica*, València 2013. (Agotado)

<https://ojs.uv.es/index.php/saguntumextra/issue/view/180>

SAGVNTVM-Extra 15, A. Vizcaino, S. Machause, V. Albelda, C. Real (eds.), *Desmuntant Lara Croft. Dones, Arqueologia i Universitat*, València 2014.

<https://ojs.uv.es/index.php/saguntumextra/issue/view/276>

SAGVNTVM-Extra 16, J. L. Jiménez, E. Díes, J. Tierno (eds.), *hişn Turīş - Castell de Turís - El Castellet. 500 años de historia*, València 2014.

<https://ojs.uv.es/index.php/saguntumextra/issue/view/324>

SAGVNTVM-Extra 17, C. Aranegui (ed.), *El sucronensis sinus en época ibérica*, València 2015.

<https://ojs.uv.es/index.php/saguntumextra/issue/view/534>

SAGVNTVM-Extra 18, F. X. Duarte Martínez, *L'Avinguda d'Espanya, 3 (Eivissa). Un taller púnic de producció ceràmica. Ceràmiques engalbades púnico-hel·lenístiques d'Eivissa*, València 2016.

<https://ojs.uv.es/index.php/saguntumextra/issue/view/677>

SAGVNTVM-Extra 19, F. Arasa, C. Mata (eds.), *Homenaje a la profesora Carmen Aranegui Gascó*, València 2017.

<https://ojs.uv.es/index.php/saguntumextra/issue/view/761>

SAGVNTVM-Extra 20, B. Marín-Aguilera, M. Gleba (eds.), *Interweaving traditions: clothing and textiles in Bronze and Iron Age Iberia*, València 2020.

<https://ojs.uv.es/index.php/saguntumextra/issue/view/1277>

SAGVNTVM-Extra 21, C. Real, J. E. Aura, V. Villaverde (eds.), *Estudios de Arqueozoología y Tafonomía de la península Ibérica. Homenaje al Profesor Manuel Pérez Ripoll*, València 2020.

<https://ojs.uv.es/index.php/saguntumextra/issue/view/1283>

SAGVNTVM-Extra 22, F. Arasa, A. Ribera (eds.), *Les excavacions de Miquel Tarradell a la plaça de La Reina (València, 1965-1966)*, València 2021.



